



UNIVERSITAT
POLITÈCNICA
DE VALÈNCIA

ESCUELA TÉCNICA SUPERIOR
DE INGENIEROS DE CAMINOS,
CANALES Y PUERTOS



Efecto de las diversas tipologías de fibras en la retracción del hormigón de altas prestaciones de aplicación en elementos laminares para viviendas prefabricadas.

Trabajo final de grado

Titulación: Grado en Ingeniería Civil

Curso: 2014/15

Autor: Marta Lloret Sánchez-Escribano

Tutor: Liberato Ferrara; Pedro Serna Ros

Valencia, julio de 2015

ABSTRACTO

Dentro de este trabajo sobre los hormigones fibroreforzados de alta resistencia, ha sido analizado el efecto que producen las fibras de acero y/o naturales en la sobre la retracción sobre este tipo de hormigón. Las fibras naturales provienen de Brasil, a través del proyecto de investigación internacional Encore - solución respetuosa del medio ambiente para el hormigón con reciclado y componentes naturales. La retracción del hormigón ha sido evaluada para materiales compuestos con una fracción de volumen de fibra de 1,28%,

Ha sido estudiada la retracción autógena y secado de los materiales compuestos con diferentes tipos de fibras comparado con la muestra de referencia que no contiene ninguna fibra con el fin de apoyar la hipótesis de que las fibras naturales pueden crear una red porosa de forma que conectan la matriz interna y el medio ambiente.

ÍNDICE

1. INTRODUCCIÓN.....	7
1.1 INTRODUCCIÓN	7
1.2 OBJETIVOS	7
1.3 ESTRUCTURA DEL DOCUMENTO	8
2. ESTADO DEL ARTE.....	10
2.1 EVOLUCIÓN DEL HORMIGÓN.....	10
2.1.1 Hormigones de cementos naturales.	10
2.1.2 El siglo XIX: Cemento Portland y hormigón armado	11
2.1.3 El siglo XX: El boom de la industria del hormigón.....	12
2.1.4 El siglo XXI: La conciencia medioambiental	13
2.2 HORMIGÓN DE ALTAS PRESTACIONES (HPC).....	14
2.3 HORMIGÓN FIBROREFORZADO (FRC).....	15
2.3.1 Hormigones Reforzados con Fibras de Acero (SFRC)	17
2.3.2 Los Hormigones Reforzados con Fibras Naturales.....	18
2.3.2.1 Sisal.....	19
2.3.2.2 Eucalipto.....	20
2.3.2.3 Nanopulp	20
2.3.2.4 Nanopowder	20
2.4 HORMIGÓN FIBROREFORZADO DE ALTAS PRESTACIONES	21
2.4.1 Características mecánicas del HPFRCCs	22
2.4.1.1 Resistencia a compresión.....	22
2.4.1.2 Módulo de deformación	22
2.4.1.3 Resistencia a tracción.....	22
2.4.1.4 Resistencia a flexión.....	22
2.4.1.5 Tenacidad.....	22
2.4.1.6 Fenómenos viscosos.....	22
2.5 RETRACCIÓN DEL HORMIGÓN	23
2.5.1 Factores que afectan a la retracción.....	24
2.5.2 Tipos de retracción	24
2.5.2.1 Retraccion plástica	24

2.5.2.2 Retracción térmica.....	25
2.5.2.3 Retracción química o de hidratación	25
2.5.2.4 Retracción autógena.....	25
2.5.2.5 Retracción de secado	25
2.5.2.6 Retracción por carbonatación.....	26
3. METODOLOGIA Y PROGRAMA EXPERIMENTAL.....	28
3.1 PROGRAMA EXPERIMENTAL.....	28
3.2 MATERIALES.	28
3.2.1 Mix design HPFRCCs	28
3.2.1.1Cemento	29
3.2.1.2 Escoria de alto horno.....	30
3.2.1.3 Agua	31
3.2.1.4 Áridos	31
3.2.1.5 Aditivo superfluidificante	32
3.2.1.6 Fibras.....	33
3.2.1.6.1 Acero.....	33
3.2.1.6.2 Sisal.....	33
3.2.1.6.3 Eucalipto	34
3.2.1.6.4 Nanopulp	34
3.2.1.6.5 Nanopowder.....	34
3.3 CAMPAÑA DE RETRACCIÓN.....	34
3.3.1 Mix Design	35
3.3.2 Metodología	36
3.3.2.1 Realización de las probetas.....	38
3.3.2.2 Análisis de la retracción.....	39
3.3.3 Pruebas mecánicas.	41
4. ANÁLISIS Y DISCUSIÓN DE LOS RESULTADOS	45
4.1 ANÁLISIS DE LA RETRACCIÓN.....	45
4.1.1 Retracción autógena.....	45
4.1.2 Retracción total.....	49
4.1.3 Retracción por secado.....	53
4.2 ACERO	54
4.3 SISAL SATURADO	56

4.4 Sisal saturado + acero	58
4.5 Sisal no saturado	60
4.5.1Sisal no saturado + acero	62
4.6 Eucalipto	64
4.6.1 Eucalipto + acero/sisal	66
4.7 Nanopulp.....	68
4.7.1 Nanopulp+ acero/sisal	70
4.8 Nanopowder.....	72
4.8.1 Nanopowder + acero/sisal	74
4.9 PRUEBAS MECÁNICAS.....	76
5. CONCLUSIONES FINALES Y FUTURAS LINEAS DE INVESTIGACIÓN.	79
5.1 CONCLUSIONES DE LA CAMPAÑA DE RETRACCIÓN AUTÓGENA..	79
5.2 CONCLUSIONES DE LA CAMPAÑA DE RETRACCIÓN TOTAL.	80
5.3 CONCLUSIONES DE LAS PRUEBAS MECÁNICAS.	81
5.4 FUTURAS LÍNEAS DE INVESTIGACIÓN	81
5.5 APLICACIÓN EN ELEMENTOS LAMINARES PARA CASAS PREFABRICADAS.....	82
BIBLIOGRAFÍA	84
ANEXO 1.....	87
ANEXO 2.....	113
ANEXO 3.....	140
ANEXO 4.....	166

1. INTRODUCCIÓN

1. INTRODUCCIÓN

1.1 INTRODUCCIÓN

La demanda de estructuras sostenible, más capaces y duraderas en las que se optimice la gestión de residuos derivados de la construcción provoca la búsqueda de nuevas soluciones innovadoras que reduzcan el impacto ambiental.

Aunque varias soluciones posibles para mejorar tanto la compatibilidad medioambiental y la sostenibilidad de la producción de hormigón en la industria de la construcción ya han sido propuestas, todavía se necesitan más investigaciones para abordar diversas cuestiones relacionadas con la compatibilidad de materiales reciclados con los tradicionales empleados en la producción de hormigón. A raíz de esta necesidad surge EnCoRe, un Proyecto de Cooperación Internacional otorgado por la Unión Europea dentro del Plan internacional de intercambio de personal investigador. El acrónimo de EnCoRe es ENvironmentally-friendly solutions for COncrete with REcycled and natural components.

Este está destinado a la investigación de la física, química y comportamiento mecánico de hormigones fabricados con componentes reciclados y naturales. Una solución respetuosa del medio ambiente y además rentable para la producción de hormigones fibroreforzados se puede lograr mediante la aplicación de fibras naturales como un sistema de refuerzo.

1.2 OBJETIVOS

Este estudio forma parte de una investigación más amplia emprendida por los autores en el marco de EU-FP7 del Proyecto Encore, orientado a evaluar la posibilidad de utilizar los materiales a base de celulosa y fibras naturales como promotores de cementicios de procesos de autocuración en compuestos de cemento avanzados.

El proyecto de Encore es de carácter internacional en el que toman parte varias universidades de diferentes partes del mundo.

El Politécnico de Milano forma parte de este proyecto concretamente, se ha hecho cargo de la el desarrollo de la línea de guía para la construcción de hormigón reforzado con fibras con el uso de fibras naturales - NFRC (Natural Fiber Reinforced Concrete). Aunque la realización de NFRC en el Politécnico di Milano se ha desarrollado gracias a colaboración con la Universidad Federal de Río de Janeiro, Brasil.

Concretamente en esta tesis, se analizan los resultados que el efecto que las fibras naturales provoca en la retracción del hormigón de altas prestaciones.

1.3 ESTRUCTURA DEL DOCUMENTO

Este documento está organizado en 5 capítulos. El primero de ellos hace referencia a la introducción, objetivos perseguidos en la investigación y la estructura del documento.

En el capítulo 2 se han reunido una parte de los estudios relacionados con los hormigones fibroreforzados de altas prestaciones. Concretamente en los hormigones de altas prestaciones reforzados con fibras naturales.

En el capítulo 3, se ha explicado el programa y la metodología experimental llevados a cabo, así como los materiales usados y sus características.

En el capítulo 4 se muestran y se analizan los resultados obtenidos.

Por último, en el capítulo 5 se desarrollaran las conclusiones finales y futuras líneas de investigación, así como una posible aplicación práctica.

2. ESTADO DEL ARTE

2. ESTADO DEL ARTE.

2.1 EVOLUCIÓN DEL HORMIGÓN.

2.1.1 Hormigones de cementos naturales.

La historia del hormigón es un capítulo fundamental de la historia de la construcción. Aunque realmente no se sabe a ciencia cierta de quien descubrió o quien lo utilizó por primera. Es muy probable que el concepto surgiera a la vez que cuando se dominó el fuego. Gracias a algunos hallazgos se tiene certeza que hace unos 7.500 años, durante la Edad de Piedra, los habitantes construían el suelo de sus viviendas uniendo tierra caliza, arena, grava y agua. Pudiendo considerar esta mezcla como un hormigón rudimentario.

Hace unos 5.000 años en el norte de Chile aparecieron las primeras obras de piedra unidas por un conglomerante hidráulico procedente de la calcinación de algas, estas obras formaban las paredes de las chozas utilizadas por los indios.

Los egipcios hace más de 2300 años, utilizaron yeso cocido como aglomerante, lo que se podríamos llamar hormigón primitivo. Los griegos sin embargo, usaron como aglomerante, tierra volcánica, aunque también existen indicios de que muy probablemente utilizaron caliza calcinada que mezclaron con arcilla cocida y agua.

El pueblo romano también usó hormigón en sus construcciones. Al principio elaboraban sus fábricas (*opus caementicium*) con una mezcla de guijarros (*caementa*) y aglomerante de cal y puzolana. La palabra pasó de la piedra al aglomerante. De ahí “cemento”. Más tarde, hacia el año 200 a.C, se produjo un significativo avance en los aglomerantes para construcción, apareció lo que conocemos como cemento Romano. En un lugar cercano al Vesubio se encontró una la puzolana que principalmente estaba constituida por sílice. Este material mezclado con cal y agua permite conformar un aglomerante hidráulico. El hormigón alcanzo durante el Imperio Romano tal auge que no se volvió a lograr hasta el siglo XIX. La caída del imperio romano provocó el desuso del hormigón y muchos de los conocimientos que se habían desarrollado desaparecieron.

Durante los siglos siguientes, no hubo grandes avances, apenas se llegó a producir un mortero débil hecho únicamente de cal y arena. A principios de la edad moderna se presentó una disminución general en la calidad y la crisis llegó al punto, de acabar con la fabricación y el uso del cemento. Hasta el siglo XVIII puede decirse que los únicos conglomerantes empleados en la construcción fueron los yesos y las cales hidráulicas, sin embargo, es durante este siglo cuando se despierta un interés notable por el conocimiento de los cementos.

Fue en el siglo XVIII cuando volvió a nacer el uso del hormigón, se le encargo a un ingeniero de Leeds que construyera un faro en el acantilado de Edystone en la costa Cornwall en Inglaterra que había fracasado ya dos veces. Para ello, empleó piedras unidas con un mortero de cal calcinada para conformar una construcción monolítica de manera que soportara la constante acción de las olas y los húmedos vientos.

2.1.2 El siglo XIX: Cemento Portland y hormigón armado

En los años siguientes a este hallazgo, se desarrollaron muchos tipos de cementos hidráulicos y desde ese momento, mejora la calidad de los morteros y comienza el desarrollo del hormigón. Son varios nombres por los que pasamos que estuvieron investigando hasta llegar al hormigón que conocemos en la actualidad.

En 1811, Dabbs obtuvo una patente para producirlo empleando arcilla.

En 1824 Joseph Aspdin, un constructor de Wakefield (Reino Unido), calcinó en un horno una mezcla de tres partes de piedra caliza por una de arcilla. Lo llamaron portland porque su aspecto era similar al de las calizas de la isla de Portland. Probablemente, el material patentado por Aspdin era una caliza hidráulica debido a las bajas temperaturas empleadas en la cocción.

No obstante, Aunque se podría considerar realmente al químico Vicat como el padre del cemento moderno. Fue quien en 1817 propuso un sistema de fabricación, que se sigue empleando en la actualidad. Este estableció las mezclas de calizas y arcillas dosificadas en las proporciones convenientes y molidas conjuntamente, apareciendo como consecuencia los primeros cementos naturales, avanzadilla de los actuales portland.

Años después, en 1838 Brunel emplea por primera vez un cemento procedente de la fábrica de Aspdin en el que se había logrado una parcial sinterización al elegir una temperatura adecuada de cocción.

El cemento portland, tal y como hoy lo conocemos, fue producido en 1845 por Isaac C. Johnson al moler finamente los nódulos sobrecocidos que quedaban a la salida del horno de Aspdin. Con esta idea mejoró las dosificaciones y aumentó las temperaturas de cocción hasta lograr la sinterización de la mezcla.

El desarrollo del hormigón como material de construcción, empezó hacia principios del siglo XIX, poco después de la obtención de la patente del "Cemento Portland" (1824).

Posteriormente se afianzó con la invención del hormigón armado que se atribuye al jardinero parisense Jack Monier, quien, hacia 1861, fabricó un jarrón de mortero de cemento, reforzado con un enrejado de alambre. Aunque fue el constructor William Wilkinson, quien solicitó en 1854 la patente de un sistema que incluía armaduras de hierro para «la mejora de la construcción de viviendas, almacenes y otros edificios resistentes al fuego»

En 1861, el Ingeniero francés Coignet estableció normas para fabricar bóvedas, vigas, tubos, etc., con este novedoso material y presentó, asociado con Monier, algunos ejemplares en la exposición del año 1867. En este mismo año, Monier obtuvo sus primeras patentes para hacer estos elementos.

El intenso desarrollo de la construcción de ferrocarriles, puentes, puertos, diques, etc. en la segunda mitad del siglo XIX promocionó el uso de este producto y sus fábricas, especialmente las de cemento natural, que empezaron a extenderse por doquier. Igualmente beneficiosa para el desarrollo de la industria fue la invención de los hornos rotatorios para la calcinación y el molino tubular para la molienda, ya que contribuyeron a reducir los costes de fabricación e incrementar la disponibilidad de este material, pudiendo producirse el cemento portland en cantidades comerciales. Es a partir de 1900 cuando los cementos portland se imponen en las obras de ingeniería y cuando empieza un descenso veloz del consumo de cementos naturales.

2.1.3 El siglo XX: El boom de la industria del hormigón

Desde la concesión de las primeras patentes de hormigón armado a mediados del siglo XIX hasta los inicios del siglo XX, el cálculo, diseño y ejecución de obras y elementos de hormigón armado anduvieron sus pasos sin normas que las constriñeran pero también sin reglamentaciones que las orientaran en lo que a cálculo, diseño y ejecución se refiere.

Desde principios del siglo XX, algunos ingenieros intentaron precomprimir los elementos de hormigón, atravesándolo de parte a parte con barras de acero dulce trefilado, pretensándolo por la presión de una tuerca; pero estos ensayos no sufrieron más que reveses debido a la intervención de la fluencia y la retracción del hormigón: el acortamiento diferido del hormigón, sensiblemente igual al alargamiento inicial a que se sometían los cables, bastaba para anular la tracción del acero, desapareciendo el pretensado al cabo de algunos meses.

Desde mediados del siglo XX hasta la actualidad, la investigación en los diferentes ámbitos de utilización del hormigón armado, especialmente obra civil y arquitectura, ha avanzado a una velocidad realmente espectacular y vertiginosa, de hecho, se han producido importantes descubrimientos en el ámbito de la potenciación de determinadas características del material con la aparición de nuevos aditivos, y también se han conseguido con estos elementos puestas en obra del material en condiciones cada vez más extremas.

Decimos que el siglo XX fue el auge de la industria del hormigón ya que se desarrollaron tecnologías como tecnologías como la del hormigón pretensado y el hormigón proyectado, y han aparecido hormigones llamados “especiales”: hormigones de alta resistencia, hormigones ligeros, hormigones pesados, hormigones porosos, hormigones autocompactables, hormigones reciclados y, también, el hormigón reforzado con fibras.

2.1.4 El siglo XXI: La conciencia medioambiental

Igual que la Revolución Industrial provocó la desaparición progresiva de los procesos de producción artesanales, el desarrollo de las nuevas tecnologías ha permitido una evolución y mejora del cemento así como de su proceso de fabricación.

Actualmente, la investigación sobre el cemento ha ido de la mano del desarrollo de nuevas propiedades del mismo, mientras que la referida a las instalaciones ha optado por la implantación de las mejores técnicas disponibles como garantía de la apuesta de la industria por la sostenibilidad.

En relación al producto, la investigación se ha centrado fomentar las adiciones al cemento para mejorar algunas de sus propiedades y minimizar la huella ambiental de su producción. Además, el uso de algunos residuos industriales, como materia prima del cemento, es una vía de reciclado de desechos que suponían un grave problema ambiental, permitiendo a la industria ser más eficaces medioambientalmente tanto por la utilización del residuo como por la menor emisión de CO₂ que su uso supone.

De otra parte, el creciente nivel de tecnificación de los usuarios ha provocado una mayor exigencia en las prestaciones del cemento, lo que ha favorecido la diferenciación del producto y el aumento de la competencia. Por ello, el cemento fabricado en nuestro país es un producto de alto nivel tecnológico, cada vez más ecológico y con una amplia gama de variedades.

2.2 HORMIGÓN DE ALTAS PRESTACIONES (HPC)

El hormigón es uno de los materiales más utilizados en la industria de la construcción, ya que este ofrece grandes ventajas frente a otros materiales. El hormigón es un material que puede tomar casi cualquier forma que se desee, posee una alta resistencia a compresión, bastante facilidad en la obtención de sus componentes y es relativamente económico.

La mayor desventaja que se podría decir que tiene el material, es su baja resistencia a tracción respecto a la de compresión. Esto provoca comportamientos frágiles cuando no se encuentra reforzado. Normalmente se considera como cero la resistencia de diseño a tracción del hormigón. Es por esto que se suele disponer de mecanismo de refuerzos para cuando aparezcan tensiones de tracción en el hormigón.

El Hormigón de Altas Prestaciones (HPC) proporciona cualidades de durabilidad y sostenibilidad que hormigones convencionales no podrían alcanzar. Añadiendo aditivos que mejoran las propiedades provocando así una mejora del comportamiento respecto al hormigón tradicional. Se trata de hormigones que ven mejorado su comportamiento en fresco, lo que hace variar su trabajabilidad y colocación en obra. También repercute en su comportamiento en estado endurecido, así como puede ser en su ductilidad, su resistencia a compresión o a flexión. De esta forma amplia las numerosas aplicaciones del hormigón.

Las principales ventajas que presentan los hormigones de altas prestaciones con respecto a los hormigones convencionales podrían ser la rentabilidad que proporciona una máxima rentabilidad a la hora de construir, sostenibilidad, durabilidad de las obras, la mejora de la estética y la reducción de los costes de mantenimiento.

Muchas de las investigaciones que se han realizado en los últimos años, se centran en el estudio de los hormigones de altas prestaciones, pero más concretamente en la alta resistencia. Son los conocidos hormigones de alta resistencia aquellos cuya resistencia característica a compresión en probeta cilíndrica de 15 por 30 cm sea superior a los 50 y hasta los 100 MPa.

Como su nombre indica, los hormigones de alta resistencia (HAR) se refieren a un material con unas características mecánicas más altas de lo normal.

El incremento de resistencia del hormigón está directamente relacionado a una mejora en la mayoría de sus prestaciones, especialmente de la durabilidad, aunque también produce un aumento en la fragilidad y una disminución de la rugosidad de las fisuras, lo que afecta a la resistencia a cortante.

Los componentes de los hormigones de alta resistencia son los mismos que normalmente se utilizan. Aunque es necesario la selección rigurosa de cada material y que la relación a/c sea la menor posible. Para lograr valores bajos de esta relación normalmente se añade un superfluidificante que actúa como agente reductor de agua.

Tras un estudio correcto de las características de los materiales, proporciones adecuadas de mezcla y la adopción de unos determinados criterios, es posible la obtención de hormigones con resistencias situadas por encima de los 50MPa en el entorno de los 80MPa. Niveles superiores implican la necesidad de utilizar otro componente adicional que permita el incremento de resistencia necesario, como puede ser adiciones de humo de sílice o escorias de alto horno.

Tanto en la fabricación como en la puesta en obra las características del hormigón de alta resistencia presentan algunas diferencias respecto al convencional. Es por ello que en toda obra en la que el mismo vaya a ser empleado es necesario informar del hecho a todos los agentes que intervienen en los distintos procesos.

En resumen, se puede decir que los hormigones de alta resistencia ofrecen una mayor durabilidad, se estima una vida útil tres veces más que el hormigón tradicional. Con una sostenibilidad mayor gracias a la nueva tecnología abre la puerta a la esbeltez, a las grandes luces, a la habitabilidad, a la optimización y aprovechamiento de los espacios. A la vez que acorta los tiempos de ejecución y necesita un menor mantenimiento.

2.3 HORMIGÓN FIBROREFORZADO (FRC)

Desde la antigüedad ha estado presente la aplicación de fibras naturales en la construcción, para reforzar aquellos materiales que apenas tienen resistencia a tracción. Algunos ejemplos son los adobes de barro cocidos al sol que se armaban con paja o el yeso armado por crines de caballo o pelos de cabra. Fue a finales del siglo XIX, a partir de la evolución del Cemento Portland, cuando se empezó a reforzar los productos de cemento con elementos fibrosos.

Se han realizado numerosas patentes sobre las fibras del hormigón. La primera patente de hormigón reforzado con fibras es de 1874 por A.Berard. Las primeras experiencias en las que se añadían fibras al hormigón, han sido fibras metálicas. Con el paso de los años, la forma de las fibras se ha ido perfeccionando y en las patentes se usaron parámetros muy similares a los actuales para fibras de acero.

A partir de los años 50 se realizan numerosos trabajos de investigación sobre hormigones reforzados con fibras de acero desarrollados principalmente por la industria militar. Fue a en los años 60 cuando se empezó a utilizar en distintos ámbitos civiles como la pavimentación de tableros de puentes, pavimentos industriales, contenedores de puertos, revestimientos de túneles, prefabricados...

Los materiales reforzados con fibras están constituidos por fibras embebidas o ancladas en una matriz generando una interfase entre las partes (fibras y matriz). Esta interfase provoca una combinación de propiedades que no podrían ser alcanzadas si estuvieran por separadas, ambas, las fibras y la matriz mantienen sus características físicas y mecánicas. Normalmente, las fibras son las que asumen las tensiones de tracción mientras que la matriz que las rodea mantiene su localización y orientación. De forma que actúa como un medio de transferencia de carga entre ellas, además de proteger a las fibras de los agentes agresivos del medio ambiente como la humedad y la temperatura.

Las fibras soportan esfuerzos de tracción que transmiten por adherencia al hormigón, controlan la fisuración y reducen la intensidad de la misma a la vez que mejoran la tenacidad.

En este tipo de hormigones es muy importante tener en cuenta el tamaño del árido usado. Como comentó Hannant (1978) su tamaño caracteriza la dispersión de las fibras dentro de la matriz ya que el movimiento de las fibras depende de la proporción de árido grueso- árido fino. Un gran tamaño de los áridos provoca una homogeneidad inferior de la dispersión de las fibras en la masa. La JSCE (Japan Society of Civil Engineers) plantea que el valor óptimo de tamaño máximo de árido es aproximadamente igual a la mitad de la longitud de la fibra.

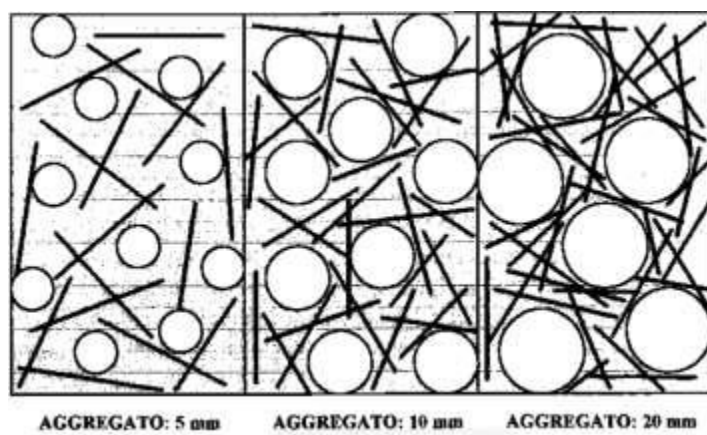


Figura 2.1- Tamaño del árido en función a las fibras

Principalmente el tipo de fibra y su naturaleza determinan la efectividad de la acción reforzante y la eficacia de la transmisión. La mayor condición en la elección del tipo de fibra suele ser la aplicación que se le vaya a dar, pero también influyen factores económicos, de disponibilidad de materiales y de durabilidad.

El anexo 14 de “ Recomendaciones para la utilización de hormigón con fibras “ clasifica las fibras de manera general en función de la capacidad de aumentar la resistencia del hormigón:

- Estructurales en las que la contribución de las mismas puede ser considerada en el cálculo de la respuesta de la sección de hormigón.
- -No estructurales, que no se consideran en el cálculo pero suponen una mejora ante determinadas propiedades como pueden ser en el control de la fisuración, el incremento de la RF, la abrasión, impacto...

También pueden ser divididas en dos familias en función del módulo de elasticidad:

- Rígidas cuyo módulo de Young es mayor que el de la matriz cementicia como es el casi de las fibras de acero.
- Flexibles cuyo módulo de Young es más pequeño que el de la matriz cementicia en el que son dispersas como sucede con la celulosa.

Las fibras pueden ser naturales o artificiales según su naturaleza y tienen como fin reforzar la masa del hormigón incrementando la resistencia a la tracción disminuyendo la fisuración y aumentando la tenacidad mediante la transmisión de esfuerzos a través de la sección fisurada. Por otro lado la adición de fibras disminuye los efectos de la retracción por fraguado y aumenta la resistencia al impacto y la resistencia a la fatiga.

2.3.1 Hormigones Reforzados con Fibras de Acero (SFRC)

Los hormigones reforzados con fibras de acero (SFRC) o también conocidos como hormigones fibroreforzados están constituidos por los mismos componentes que un hormigón tradicional y añadiendo adicionalmente las fibras de acero. La inclusión de las fibras, además de alterar el comportamiento del hormigón en estado endurecido, también lo hace en estado fresco, por lo que a algunos de los componentes se les exigen condiciones que en los hormigones tradicionales no son necesarias.

Dependiendo de la cantidad y la geometría de fibras que se añaden al hormigón el material sufre algunas modificaciones respecto de un hormigón tradicional. Estas modificaciones pasan principalmente por una limitación en el tamaño máximo del árido, menores valores de relación grava-arena, mayores cantidades de aditivos reductores de agua, y mayor demanda de finos.

Las fibras de acero son elementos de corta longitud y pequeña sección que se añaden al hormigón con la finalidad de darle algunas propiedades específicas, con las características necesarias para dispersarse aleatoriamente en una mezcla de hormigón en estado fresco empleando metodologías de mezclado tradicionales. Aunque actualmente se están desarrollando diversas investigaciones en las que se estudia como la posición de las fibras puede afectar a la resistencia del hormigón.

Según Naaman (2000) la efectividad del refuerzo matriz-fibras, exige a las fibras las siguientes propiedades:

- Una resistencia a tracción significativamente mayor que la del hormigón.
- Una adherencia con la matriz del mismo orden o mayor que la resistencia a tracción de la matriz.
- Un módulo de elasticidad significativamente mayor que el del hormigón.

Las fibras tienen que cumplir algunas exigencias mecánicas de resistencia a tracción, doblado y condiciones de superficie. Estas pueden ser de acero al carbono (en ocasiones con aleaciones con el fin de mejorar prestaciones técnicas y mecánicas) o acero inoxidable. También se pueden encontrar fibras con revestimientos de zinc o galvanizadas, que resultan menos costosas que las de acero inoxidable y presentan resistencia a la corrosión.

Las fibras de acero pueden tener formas muy variadas: rectas, onduladas, corrugadas, con extremos conformados, dentadas y otras. Las secciones también pueden ser muy variadas: circulares, cuadradas, rectangulares y planas

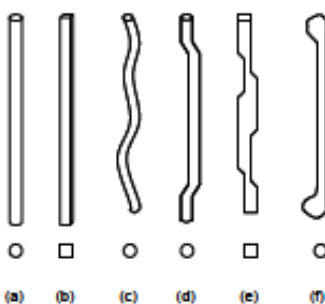


Figura 2.2- Formas de las fibras de acero: a) Sección circular b) sección rectangular c) ondulada d) extremos conformados e) de extractos fundidos y f) extremos ensanchados

Rossi (2000) afirmó que la resistencia a tracción y la ductilidad del material pueden ser incrementadas empleando una alta proporción de fibras cortas y, para mejorar la capacidad resistente y la ductilidad de la estructura, se debe añadir una cierta cantidad más baja de fibras largas.

2.3.2 Los Hormigones Reforzados con Fibras Naturales

Los Hormigones Reforzados con Fibras Naturales (NFRC), son aquellos que son elaborados con fibras naturales generalmente obtenidas mediante procesos económicos, con baja demanda de energía y sin necesidad de técnicas complejas.

El uso de las fibras naturales en la elaboración del cemento presenta algunas ventajas frente al uso de otro tipo de fibras como metálicas o poliméricas. Las fibras naturales son biodegradables, presentan buenas características mecánicas, son abundantes en la naturaleza y a menudo se obtienen de procesos relacionados con la industria agrícola.

Los tipos de fibras difieren entre sí por diferentes factores. La cantidad de células en cada fibra, el tamaño de las células, el grosor de sus paredes y el área de la sección transversal son factores que caracterizan a cada fibra vegetal. Presentando características mecánicas diferentes y por tanto distintos módulos de Young y resistencias a tracción. Sus formas geométricas poco habituales, hacen que la evaluación de las características mecánicas sea más complicada.

Las fibras vegetales como el sisal, el yute y el coco se usan como refuerzo de matrices cementosas. Estas fibras tienen los filamentos cortos, lo que provoca un comportamiento con baja resistencia a tracción y poca tensión. Es por ello, que estas fibras son más usadas para aplicaciones no estructurales. Aunque estos materiales tienen dos grandes inconvenientes: el proceso de la dispersión de la celulosa en el agua requiere mucha energía y mucho tiempo y que la matriz es una pasta de cemento que presenta un gran consumo de cemento, por tanto, aumenta la emisión de CO₂ a la atmósfera y una gran retracción.

Son muchas los tipos de fibras naturales pero a continuación se entra en detalle las fibras que se ha estudiado en este trabajo.

2.3.2.1 Sisal

Las fibras de sisal se obtienen de la planta de Agave sisalana. El proceso de secado es esencial después de la extracción de las fibras de las hojas de la planta, así como la calidad de las fibras depende en gran medida de la humedad de su interior.

Las fibras de sisal están en la sexta posición en la producción de fibras en todo el mundo. En 2007 había se produjeron cerca de 240.000 toneladas de las cuales 113.000 toneladas fueron producidas en Brasil.

Cada planta sisal produce 200 ÷ 250 hojas, cada una de las cuales contiene aproximadamente 700 a 1.400 conjuntos de fibras interconectadas. Estos paquetes están disponibles en tamaños que van desde 0,5 m a 1 m, que son sólo el 4% del peso de la planta. El interior de las hojas consta de tres tipos de fibras: fibras de arco estructural y del xilema.

Fibras tienen un número variable de células fibrosas entre 100 y 200. Estas células tienen un tamaño de 18 mm de longitud y tienen un diámetro variable entre 6 ± 30 micras. La evaluación mecánica de fibras se muestra a continuación:

- Resistencia a la tracción: 350 ± 600 MPa
- El módulo de Young: 9.8 ± 19 GPa
- Deformación al fracaso: 2,5 ± 5%

2.3.2.2 Eucalipto

Estas fibras son de un color blanco y se presentan en forma compacta: un conjunto de fibras comprimidas, robustas y resistentes. Para poder dispersar mejor las fibras individuales se ha de aprovechar los planos más débiles del conjunto.

La relación de forma de esta fibra es muy alta y por lo tanto, desarrollan valores bajos de la percolación, también porque hay una evolución de la estructura en forma de red. Son particularmente hidrófilas, con una capacidad de retención de agua. Con altas propiedades mecánicas y un módulo de aproximadamente 150 GPa.

2.3.2.3 Nanopulp

NanoPulp fibras pueden estar presentes en diferentes modos: por un lado pueden tener las fibras en suspensión en una solución acuosa o estas mismas fibras pueden encontrarse en forma de hojas de celulosa. La fibras en forma sólida en realidad son primero una solución acuosa de NanoPulp la cual se vierte en una bandeja y después se deja secar en un horno a una temperatura de 80 ° C.

2.3.2.4 Nanopowder

Nanopowder es una celulosa microcristalina (MCC), una forma purificada de poly- α -cellobiose derivada de la celulosa por hidrólisis ácida del algodón o de madera-pasta. Tiene un pH entre 5-7 una densidad aparente de 0,5 g / ml a 25°C. Es un agente de carga, agente anti-apelmazamiento, la ayuda de extrusión y estabilizador para espumas y emulsiones. Tiene un alto polvos de celulosa de pureza para cromatografía de reparto. Sus regiones amorfas son hidrolizadas dejando microfibrillas cristalinas. Forma geles tixotrópicos, buena estabilidad térmica.

2.4 HORMIGÓN FIBROREFORZADO DE ALTAS PRESTACIONES

El uso de los hormigones fibroreforzados de altas prestaciones (HPFRCC) es fruto de una evolución por separado de: los hormigones con fibras y los hormigones de altas prestaciones usados en construcciones como edificios de gran altura o puentes de grandes luces. La combinación de ambos da lugar a los compuestos HPFRCC.

A partir de los años más recientes, los materiales reforzados con fibras han sufrido un gran desarrollo y han recibido un gran impulso. Esto ocurrió porque los diferentes avances sobre la matriz de cemento, las fibras en la interfaz de fibra-matriz, el proceso de producción de los compuestos...

El uso de adiciones tales como escoria, humo de sílice o ceniza de combustible pulverizado. O el uso de los aditivos de fluidización introduce mejoras en la mezcla de materiales, además de aumentar la homogeneidad en la distribución de las fibras.

Las características principales son que el diámetro máximo de partícula está limitado a 2 mm, tienen baja permeabilidad debido a un buen uso de partículas finas y una relación agua / cemento muy bajos mediante el uso de aditivo superplastificante. Tienen buena deformación a la tracción y agrietamiento desarrollan múltiples dar al material un comportamiento flexión tipo endurecido.

Los HPFRCCs, se caracterizan por una excelente capacidad de deformación a la tracción y mostrar un comportamiento de craqueo múltiple, que proporciona al material un comportamiento deflexión de endurecimiento. El alto porcentaje de cemento presente en este tipo de material, hace necesario el uso de mezcla de cemento, que se sustituye aparte de cemento mediante la adición de otros productos minerales tales como cenizas volantes o escoria. El objetivo es reducir el costo de material, además de mejorar la durabilidad y rendimiento del hormigón.

En general podemos decir que son de material autocompactante con una alta resistencia a la compresión y tracción, con baja permeabilidad que garantiza una mayor durabilidad y control de la fisuración debido a la acción de las fibras utilizadas.

2.4.1 Características mecánicas del HPFRCCs

2.4.1.1 Resistencia a compresión

Es de común aceptación que la adición de fibras al hormigón no conlleva un incremento significativo de la resistencia del hormigón a compresión, si bien suelen producirse ligeros incrementos o incluso descensos de ésta.

2.4.1.2 Módulo de deformación

El módulo de Young en el caso de los hormigones tradicionales, presenta valores más altos a medida que aumenta la resistencia a compresión. Sin embargo, mientras que en los hormigones tradicionales el módulo de Young depende solo de las propiedades mecánicas de la matriz cementicia y no de las propiedades de los áridos, en los de altas prestaciones, debido a la elevada resistencia de la matriz cementicia, depende también de las propiedades mecánicas de los áridos.

2.4.1.3 Resistencia a tracción

La resistencia a tracción uniaxial en este tipo de materiales se caracteriza por un comportamiento elástico lineal hasta rotura. Mientras que para hormigones tradicionales la resistencia a tracción es de cerca del 10% de la resistencia a compresión, en los de altas prestaciones este valor se reduce hasta casi el 5% para los hormigones de las clases más altas.

2.4.1.4 Resistencia a flexión

El incremento de la resistencia a flexotracción al adicionar fibras de acero al hormigón es considerablemente mayor que el de la resistencia a compresión y a tracción. Esto se debe al comportamiento dúctil del hormigón en la zona fisurada por tracción, desarrollando resistencias residuales

2.4.1.5 Tenacidad

Según Banthia y Trottier (1995) la variable que más influye en la tenacidad es la capacidad adherente de las fibras. La tenacidad es tradicionalmente cuantificada como el área bajo la curva carga-flecha obtenida experimentalmente. El ensayo de tracción directa, por la dificultad que implica realizarlo, no es muy empleado para evaluar esta propiedad. El ensayo de flexotracción, además de ser más simple que el de tracción directa, simula las condiciones de carga para muchas aplicaciones prácticas.

2.4.1.6 Fenómenos viscosos.

En los hormigones de altas prestaciones es importante evaluar el comportamiento viscoso ya a tempranas edades. En efecto, muy a menudo, se utilizan estos materiales para explotar la resistencia que pueden alcanzar a pocas horas desde su puesta en obra

2.5 RETRACCIÓN DEL HORMIGÓN

El hormigón, como la mayoría de materiales, sufre variaciones dimensionales debidas a numerosos fenómenos, mayoritariamente debido a cambios de humedad y aplicación de cargas. Las principales deformaciones que puede sufrir el hormigón deformaciones a lo largo del tiempo son:

- Deformación elástica, producto de la puesta en carga.
- Retracción compuesta por retracción autógena y de secado.
- Fluencia compuesta por fluencia básica y de secado.

Los fenómenos de fluencia y retracción pueden darse simultáneamente. Estos se originan en la pasta de cemento y tienen tendencias similares a lo largo del tiempo.

Ha sido muy común considerar los dos fenómenos como aditivos, asumiendo la deformación total de un elemento sometido a desecación y cargado como la suma de las deformaciones debidas a la retracción (igual en magnitud a las deformaciones de un elemento sin carga y sometido a las mismas condiciones de desecación) y a las solicitudes (fluencia). La anterior suposición fue tomada por Neville et al. (1983) y aunque no es del todo correcta, es simple y funciona bien para muchas aplicaciones prácticas donde la fluencia y la retracción suceden simultáneamente.

La retracción es el decrecimiento del volumen de hormigón con el tiempo, debido a la variación de la humedad del hormigón y cambios físico-químicos ocurridos son esfuerzos atribuibles a acciones externas al hormigón.

Aunque esta deformación inelástica del hormigón fue observada con anterioridad su importancia fue reconocida solo cuando White (1911) en un artículo de la American Society for Testing Materials escribió sobre el desarrollo de tensiones en el hormigón a causa de la retracción.

La retracción es un fenómeno indeseable aunque inevitable en el hormigón que se encuentra expuesto por debajo de la condición de saturación, se encuentra ligada a fenómenos patológicos de las construcciones, siendo una de las principales causas de fisuración, afectando directamente la durabilidad del hormigón, apariencia y perdida de tensión en miembros pretensados.

Uno de los estudios más anticipados reportando deformaciones tiempo-dependientes en el hormigón cargado y sin carga, fue el McMillan (1915). Desde ahí hasta nuestros días, la relación retracción-fluencia sigue siendo un punto de preocupación desde el punto de vista teórico y del diseño estructural.

2.5.1 Factores que afectan a la retracción

La retracción depende de factores como: contenido de pasta de cemento, relación agua /cemento, proporciones de la mezcla, características de los áridos, grado de compactación, tiempo, temperatura y humedad del curado, temperatura ambiental, humedad relativa, geometría del elemento, adiciones y aditivos.

2.5.2 Tipos de retracción

Los principales tipos de retracción se muestran en la figura siguiente son: retracción plástica, retracción térmica, retracción autógena, retracción de secado y retracción por carbonatación. La retracción total es la suma de diversos tipos de retracción: química, autógena, por carbonatación y de secado. Sobre ellas interviene dos fenómenos complejos: pérdida de agua¹ y transformaciones de tipo químico.

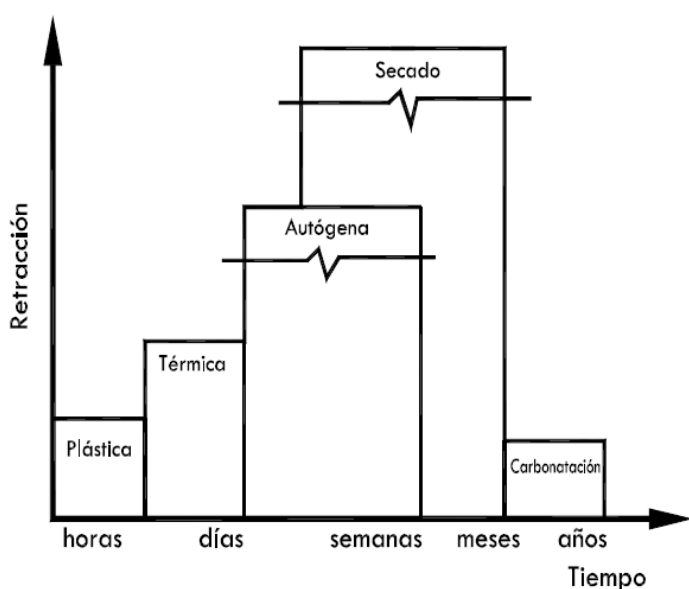


Figura 2.2 Tipos de retracción e importancia

2.5.2.1 Retracción plástica

La retracción plástica actúa durante las primeras horas después de verter el hormigón. Se produce por un asentamiento plástico en estado fresco del hormigón. El espacio libre entre las partículas del hormigón está lleno de agua. Este agua, libre y sin combinar, tiende a salir al exterior y evaporarse, disminuyendo el volumen inicial del hormigón antes de fraguar. No suelen generarse daños en el hormigón, dado que éste todavía no presenta rigidez y se acomoda rápidamente con el nuevo volumen.

2.5.2.2 Retracción térmica

Llega a ser importante durante los primeros días después de la colocación del hormigón. Durante la hidratación del cemento se producen reacciones exotérmicas, aumentando la temperatura del hormigón durante la primera etapa de hidratación y haciendo que la pasta se dilate. Con el paso del tiempo, con el hormigón ya endurecido, la temperatura se regulariza con el exterior y se produce una contracción conocida como retracción térmica.

2.5.2.3 Retracción química o de hidratación

En algunas fases de la hidratación del cemento los productos resultantes ocupan menos volumen que los productos iniciales, provocando la retracción de la pasta hidratada del cemento y consecuentemente del hormigón. Esta deformación también es conocida como contracción de Le Chatelier.

Mientras la pasta de cemento es fluida, la retracción química es totalmente convertida a un cambio de volumen externo. En otras palabras la pasta fluida no es capaz de soportar los vacíos internos creados por la retracción química y se contrae.

2.5.2.4 Retracción autógena

La retracción autógena, por su difícil separación, incluye la suma de la retracción de autosecado y la química⁴. Esta disminución de volumen es debida al consumo del agua durante la hidratación del cemento. Se da en las primeras edades del hormigón y se prolonga mientras se desarrollen los procesos de hidratación que consumen agua.

El volumen de los productos hidratados resultantes es menor que el volumen original del cemento anhidro y del agua, provocando la retracción de la pasta y consecuentemente del hormigón. En un hormigón de baja relación a/c puede ocurrir que no haya suficiente agua para completar el proceso de hidratación, agotando el agua libre que se encuentra en los poros capilares. Este fenómeno de consumo interno de agua también llamado autosecado es la causa, en parte, de la retracción autógena del hormigón.

2.5.2.5 Retracción de secado

La retracción de secado es la más importante de todas las retracciones del hormigón. Es parte de la retracción total y por su importancia se suele tener en cuenta en el cálculo estructural. Se produce a largo plazo debido a la pérdida de agua absorbida por evaporación. Se da en el hormigón endurecido y tiene que ver con la pérdida de humedad ante la existencia de un gradiente de humedad entre el interior del hormigón y el ambiente al que está expuesto.

Este fenómeno de retracción es complejo al intervenir diferentes mecanismos, siendo los principales el de capilaridad y el de la tensión superficial del agua contenida en los poros de la pasta (Rodríguez y González, 2008). Las variables que más influyen en este fenómeno son la HR, el espesor y dimensión de la pieza, composición y edad del hormigón, cantidad de armaduras y sobre todo la relación a/c.

2.5.2.6 Retracción por carbonatación.

Se presenta cuando queda cierta proporción de material cementante sin hidratar, susceptible de reaccionar con el dióxido carbónico del aire, produciendo carbonato de calcio, combinación química que tiene un carácter contractivo, por lo cual el espesor de hormigón afectado por él, disminuye su volumen inicial, generándose la denominada retracción por carbonatación.

Las deformaciones por retracción de carbonatación son muy pequeñas y despreciables, en general, el espesor afectado es pequeño, alcanzando sólo un par de milímetros en la zona cercana a la superficie en contacto con el aire. Sin embargo, por el confinamiento que produce el hormigón interior adyacente, esa capa queda sometida a tensiones de tracción, pudiendo presentarse fisuración.

3. METODOLOGIA Y PROGRAMA EXPERIMENTAL

3. METODOLOGIA Y PROGRAMA EXPERIMENTAL

3.1 PROGRAMA EXPERIMENTAL

El objetivo de la campaña experimental realizada es la de conocer la retracción que se produce en hormigones de altas prestaciones fibroreforzados (HPFRCCs). Concretamente la evaluación de la retracción de los materiales con fibras naturales combinadas entre ellas o con acero. Esta es la continuación de una investigación ya iniciada por Marco Della Torre que estudió la retracción de algunas fibras de diversos materiales. La campaña consiste en variar el tipo de fibras así como la combinación entre ambas manteniendo fija la relación agua/cemento, agua/fluidificante, y en el porcentaje en volumen de fibra.

Para conocer el grado en que se desarrolla la retracción del material HPFRCCs, se compara el comportamiento de las probetas en la fase inicial y su comportamiento en un mes después. Estas probetas se someten a pruebas de rotura para conocer su resistencia a los 28 días.

3.2 MATERIALES.

3.2.1 Mix design HPFRCCs

Se han utilizado hormigones llamados HPFRCCs con diseño de la mezcla desarrollada durante la investigación precedente por el Prof. Ferrara . El diseño de la mezcla utilizada para la realización de muestras es siempre el mismo: únicamente varía el tipo de fibra utilizada. Se han realizado muestras utilizando solo un tipo de fibras y también combinando dos tipos diferentes de fibras en el mismo diseño de la mezcla, pero siempre se ha mantenido fijo el volumen total de 1,28%. El diseño de la mezcla realizada se muestra a continuación en la Tabla 3.1:

Material	Cantidad (kg/m ³)
Cemento-CEM I /52.5 R	600
Escoria de alto horno	500
Áridos	983
Agua	200
Aditivo superfluidificante	33 l/m ³
Fibras	Variable

Tabla 3.1- Diseño de mezcla de HPFRCCs

La cantidad de fibras varía ya que la densidad de las fibras no es la misma, su relación con el volumen total permanece constante. Las características de las mezclas se muestran a continuación en la Tabla 3.2:

Relación agua/cemento	0,33
Relación agua/fluidificante	0,18
Porcentaje de fibras en relación al volumen	1,28%

Tabla 3.2- Parámetros representativos de la mezcla

A continuación se desarrolla más detalladamente los materiales usados para la fabricación del hormigón fibroreforzados de altas prestaciones.

3.2.1.1 Cemento

El cemento utilizado para la fabricación del hormigón es ULTRACEM 52,5 R es un cemento Portland de tipo I que según la UNE EN 197-1 está compuesto por 95% de Clinker y un 5% formado por componentes minoritarios.

La resistencia a compresión del cemento usado es de 52,5 MPa. Lo que significa que la resistencia inicial a los dos días debe ser mayor a 30 MPa y pasados 28 días debe ser mayor a 52,5 MPa, el tiempo de principio de fraguado es mayor o igual a 45 minutos y la expansión de su volumen debe ser menos a 10mm. Cuya composición está indicada en la tabla 3.3:

Componentes	%
C ₃ S	65
C ₂ S	11
C ₄ AF	6
C ₃ A	9

Tabla 3.3-Composición química del cemento



Figura 3.1- Cemento utilizado

3.2.1.2 Escoria de alto horno

La escoria de alto horno se usa para proporcionar beneficios tanto en el estado fresco como en el endurecido. La ceniza de alto horno utilizada es la LV 425 y siempre ha sido utilizada con mascara antipolvo. La tabla 3.4 muestra la composición de la escoria empleada de granulometría nominal $12 \mu\text{m}$.

Composición	%
SiO ₂	39
Al ₂ O ₃	11
Fe ₂ O ₃	0,7
TiO ₂	0,55
CaO	37,5
MgO	8,3
Na ₂ O	0,2
K ₂ O	0,3
MnO	0,2
C	0,2
S	1

Tabla 3.4- Composición química de la escoria



Figura 3.2- Cenizas de alto horno

3.2.1.3 Agua

El agua que se ha usado en los experimentos ha sido agua del grifo. El tipo de agua usada puede llevar a resultados diferentes según su composición química ya que es un componente esencial para la reacción. Es por ello que se ha considerado más práctico y de utilidad el uso de agua del grifo en lugar de agua destilada, para la extrapolación de los resultados a posibles aplicaciones en obra.



Figura 3.3- Agua

3.2.1.4 Áridos

Para realizar el hormigón se utilizará árido de diámetro máximo 2mm. Es por ello que se han pasado por el tamiz #2mm.

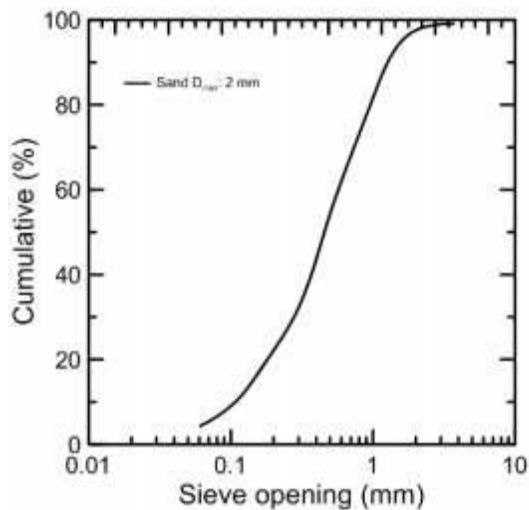


Figura 3.4- Gráfica de la curva granulométrica del árido para la realización del mortero.



Figure 3.5 – Almacenamiento, tamiz #2 y áridos tamizados.

3.2.1.5 Aditivo superfluidificante

Los aditivos superfluidificantes son bastante usados ya que aumentan fácilmente la trabajabilidad de la mezcla y reducen el contenido de agua del hormigón manteniendo la misma consistencia.

El aditivo utilizado es BASF Glenium Ace 30. ACE 30 es una segunda generación innovadora de policarboxílico polímeros de éter superplastificante. La configuración molecular particular de Glenium® .

En un principio la cantidad utilizada iba a ser igual a $0,33\text{ l}/\text{m}^3$ de ligante, pero en algunas mezclas se ha usado $0,41\text{ l}/\text{m}^3$ de ligante con el fin de mejorar las propiedades reológicas exclusivamente ya que durante la realización de las muestras se notó una fluidez inferior de lo normal.



Figura 3.6- Superfluidificante

3.2.1.6 Fibras

El motivo por el que se usan fibras en el hormigón es para mejorar su rendimiento y comportamiento mecánico y rendimiento, lo que se conoce como hormigones fibroreforzados. La caracterización de las fibras utilizadas es la siguiente:

Fibras	Densidad (kg/dm ³)	Celulosa (%)	Hemicelulosa (%)	Lignina (%)	D.L ongitudinal (mm)	Sección (mm ²)
Acero	7,85	-	-	-	13	0,75
Sisal	1,01	60,5	25,7	12,1	25	0,019
Eucalipto	1,68	84,5	14,5	-	0,8	0,019
Nanopulp	1,4	96,5	-	-	-	-
Nanopowder	1,5	98,7	-	-	-	0,015

Tabla 3.5 Caracterización de las fibras utilizadas

En la tabla 3.6 Viene descritas la cantidad de fibras utilizadas en las muestras para que su volumen sea igual al 1,28%:

Fibras	Cantidad (kg/m ³)
Steel	100
Sisal	14,1
Eucalyptus	21,4
Nanopulp	186
Nanopowder	17,8

Tabla 3.6- Cantidad de fibras en relación al volumen

A continuación se describen las combinaciones de fibras que se han estudiado:

3.2.1.6.1 Acero

Para la realización de las probetas se ha usado fibras de acero lisas con alto porcentaje de carbono con dimensión longitudinal (l_f) de 13mm y un diámetro (d_f) igual a 0,16mm. Tiene una relación longitud /diámetro igual a 81 por lo que pueden ser clasificadas como micro fibras. Están producidas Bekaert® (OL 13/0.16) y tienen una resistencia mínima a tracción igual a 2000 MPa

3.2.1.6.2 Sisal

Las fibras de Sisal empleadas en el proyecto provienen de la Bahía de Brasil.

En la campaña experimental se han utilizado estas fibras con características higrométricas en condiciones ambientales normales y saturadas en agua. En aquellos casos que se usa saturada, para lograr una absorción completa de las fibras, es aconsejable dejarlos en solución durante al menos una hora.

3.2.1.6.3 Eucalipto

Las fibras de eucalipto usadas en este estudio han sido fabricadas por SUZANO-Brazil. La densidad de fibras de eucalipto es igual a 1,68 g / cm³ y su humedad natural es igual a 8,8% en masa. La longitud de las fibras es de 0,8 mm . Tiene una elevada capacidad de retención de agua y un módulo elástico aproximadamente de 150 GPa

3.2.1.6.4 Nanopulp

Las fibras de NanoPulp pueden estar presentes en diferentes formas se pueden encontrar fibras en suspensión en una solución acuosa o estas mismas fibras en forma de hojas de celulosa.

Las fibras utilizadas para la investigación están en forma acuosa. Las microfibras nanopulp utilizados en este estudio fueron fabricados por SUZANO-Brasil. Por consiguiente, las fibras nanopulp tienen un diámetro nominal entre 20 y 50 nm y una densidad de 1,4 kg / dm³. La concentración de sólidos es del 1,5% por litro, (15 g de fibras nano por litro de suspensión). En un ambiente acuoso, las propiedades reológicas de la suspensión nanopulp pueden ser descritos en términos de comportamiento pseudoplásticidad y corte.

3.2.1.6.5 Nanopowder

Las fibras de nano powder usadas en este estudio han sido fabricadas por Sigma, Brasil. Son las llamadas Sigma cellulose tipo 20, lo que significa que las partículas tienen un tamaño de 20 µm. Estas siempre han sido manejadas con una máscara antipolvo.

3.3 CAMPAÑA DE RETRACCIÓN.

Se ha realizado una campaña experimental para investigar el efecto que producen las fibras en la retracción del hormigón. Esta campaña fue iniciada por Marco della Torre, es por ello que se utilizaran sus resultados para la comparación con los de ahora obtenidos.

Las pruebas llevadas a cabo en esta campaña analizan la variación dimensional de las probetas prismáticas a través de su eje longitudinal. La medición de esta longitud viene acompañada del análisis de la variación del peso de la probeta a lo largo del tiempo. De forma que en relación con ambas mediciones poder analizar mejor el fenómeno de la retracción.

3.3.1 Mix Design

Como ya se ha comentado con anterioridad, este trabajo forma parte de un estudio ya iniciado. En el proyecto completo se estudian un total de 5 materiales: Steel, sisal, eucalipto, nanopulp y nanopower. En total se han realizado un total de 14 mezclas más la de referencia que no contiene ninguna fibra, en las que se estudian cada una de estas fibras por separado y combinadas entre ellas para conocer su efecto. Las mezclas son las siguientes:

- I. Reference**
- II. Steel**
- III. Sisal**
 - a. Saturado
 - b. Condiciones hidrotermicas ambientales
- IV. Eucalyptus**
- V. Nano pulp**
- VI Powder**
- VII Steel+Sisal**
 - a. Saturado
 - b. Condiciones hidrotermicas ambientales
- VIII Steel+Eucalyptus**
- IX Steel+ Nanopulp**
- X Steel + Powder**
- XI Sisal+ Eucalyptus**
- XII Sisal + Nanopulp**
- XIII Sisal +Powder**

Mezclas	Dosificación									
	Cemento	de alto horn	Áridos	Agua	Aditivo	Acero	Sisal	Eucalyptus	Nanopulp	Powder
I	600	500	1000	200	33					
II	600	500	983	200	40	100				
III.a	600	500	983	200	40		14,1			
III.b	600	500	983	200	40		14,1			
IV	600	500	983	200	40			21,4		
V	600	500	983	13	40				186	
VI	600	500	983	200	45					17,8
VII.a	600	500	983	200	40	50	7,05			
VII.b	600	500	983	200	40	50	7,05			
VII	600	500	983	200	40	50		10,7		
IX	600	500	983	107	40	50			93	
X	600	500	983	200	50	50				8,9
XI	600	500	983	200	40		7,05	10,7		
XII	600	500	983	107	40		7,05		93	
XIII	600	500	983	200	50		7,05			8,9

Tabla 3.8 Mix realizado para el estudio de la retracción

3.3.2 Metodología

En este apartado se explica el proceso seguido, desde la definición de los parámetros iniciales y la dosificación utilizada hasta el momento donde se dejan reposar las probetas durante 24 a una humedad y temperatura

El protocolo seguido para la realización de las probetas es el seguido por Marco Della Torre. Este está inspirado en el propuesto por Haist y Ferrara que han llevado a cabo investigaciones sobre las fibras de acero reológico HPFRCCs en diferentes calidades. Se podría resumir en las siguientes 6 fases que se enumeran a continuación:

Fases	Actividad	Velocidad	Tiempo
Fase 1	Mezcla del cemento con la escoria	50 rpm	1 min
Fase 2	Añadir el agua y el aditivo	50 rpm	1 min
Fase 3	Mezcla de la pasta cementicia	50 rpm	5 min
Fase 4	Añadir mientrás se mezcla los áridos	50 rpm	2 min
Fase 5	Mezclar el mortero	100 rpm	5 min
Fase 6	Añadir las fibras	50 rpm	2,5 min
Fase 7	Mezclar el hormigón de alta resistencia	100 rpm	5 min
TOTAL			21,5 min

Tabla 3.9- Protocolo de realización de la mezcla

El protocolo descrito consiste en mezclar el cemento con la escoria de alto horno durante 1 minuto a 50 rpm. Después se añade el agua junto con el aditivo superfluridificante durante un minuto, y se continúa mezclando durante 5 minutos más, todo ello manteniendo la mezcladora a una velocidad de 50rpm. Se añaden los áridos finos durante 2 minutos y se aumenta la velocidad a 100 rpm mezclando el mortero durante 5 minutos. Se reduce la velocidad a 50rpm para añadir las fibras durante 2 minutos y medio. En esta fase se ha visto modificado el protocolo seguido por Haist y Ferrara ya que este recomendaba añadir las fibras a una velocidad de 100 rpm. Pero en este caso, para que se generase una mezcla homogénea, minimizar el desperdicio del material y por temas de seguridad se ha limitado la velocidad de rotación de la cuchilla de mezcla. Por último se ha mezclado el hormigón durante 5 minutos.

La mezcladora utilizada para la realización del hormigón es una mezcladora planetaria Controls con una pala de acero inoxidable. El CER tiene una capacidad de 1,2 litros.



Figura 3.7- Mezcladora Controls

Por cada mix de material realizado, se han producido 6 probetas. Tres de ellas para el estudio de la retracción autógena y las otras tres para el estudio de la retracción en condiciones ambientales normales. Los moldes usados son lo que se muestran en la figura 3.8 están formados por tres compartimentos, de medidas 40x40x160mm. Cada compartimento tiene una capacidad 0,256 litros y por tanto por cada molde necesitamos 0,768 litros. Es por ello que para cada mix se harán dos “coladas”.



Figura 3.8- Molde de tres compartimentos

3.3.2.1 Realización de las probetas

Una vez mezclado el hormigón, este se vierte en los compartimentos del molde metálico. Siguiendo los procedimientos establecidos por las normas (). Los compartimentos como se ha comentado con anterioridad tienen un tamaño de 40x40x160 mm. Estos tienen en sus lados inferiores atornillados unos pernos metálicos. Antes de proceder con el vertido, se aplica el desarmante sobre los bordes interiores del molde para facilitar el desmoldado pero con especial cuidado de no aplicarlo sobre los pernos metálicos pues esto podría afectar posteriormente en la toma de medidas de la retracción.

Una vez aplicado el desarmante se puede empezar con el vertido. Primero se rellenan los moldes al 50% y con la ayuda de una paletilla se tapa con el material los pernos de manera que se garantice la adhesión del hormigón. Y se coloca sobre una mesa vibratoria como se observa en la figura 3.9 y se hace vibrar 60 veces en un minuto, es decir, cada segundo.



Figura 3.9 - Mesa vibradora

Una vez vibrado, se rellenan los tres compartimentos del molde completamente y se hace vibrar del mismo modo que el anterior, 60 veces al minuto. Después se coloca el molde en una sala a una humedad de 90% y una temperatura de 20º donde se deja reposar aproximadamente durante las 24 horas sucesivas cubriéndolo con un vidrio sobre el cual también tiene aplicado desarmante.

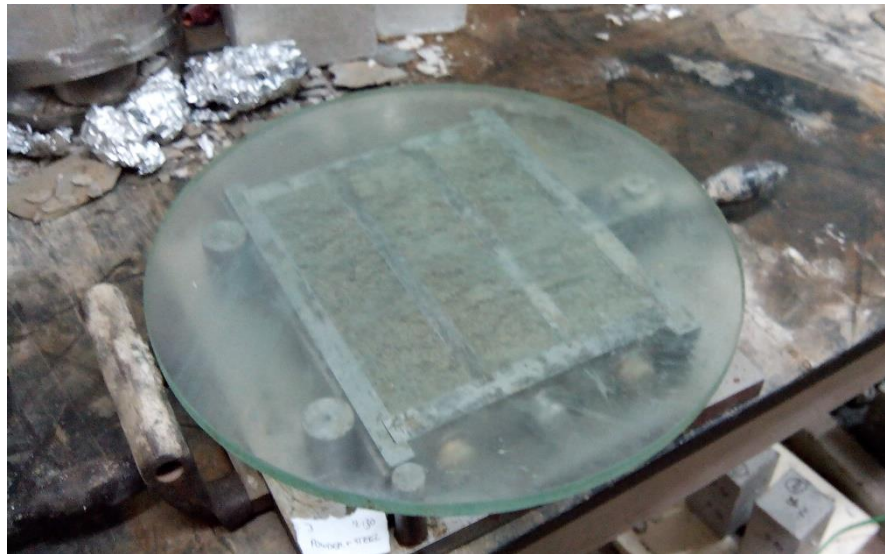


Figure 3.10- Vidrio cubriendo el molde con la muestra

Pasado un día se desarmen los moldes de manera que se obtienen las probetas. Como se ha comentado con anterioridad en tres de ellas se evaluará la retracción autógena es por ello que se envolverán de papel aluminio de forma que la perdida de agua sea la mínima. Las otras tres probetas se dejaran en contacto con el ambiente, en estas se estudiara la retracción total.

3.3.2.2 Análisis de la retracción.

La retracción es la pérdida de volumen del hormigón con el tiempo, debido la variación de la humedad de este y a los cambios físico- químicos que se producen que no pueden ser atribuidos a esfuerzos de acciones externas al hormigón. En este caso, se estudia tanto la retracción autógena como la retracción total. Pudiendo obtener la retracción por secado de la resta de ambas.

Para el estudio de la retracción del hormigón para cada mezcla se han realizado 6 probetas. Tres de ellas se destinaran al estudio de la retracción autógena y la otra mitad para la retracción total. Para el análisis se han tomado medidas con respecto a la variación lineal de las probetas en su dimensión longitudinal y simultáneamente se ha medido el peso de la muestra.

Para el correcto análisis se han tomado las medidas durante 28 días. La variación del volumen es mayor los primeros días es por ello que la frecuencia en la toma de medidas depende del periodo en el que nos encontramos. El primer y segundo día es recomendable tomar las medidas cada 30 minutos. Los dos días siguientes cada hora. Hasta los primeros 10 días medidas cada 2-4 horas. Y el resto de días hasta completar los 28 al menos tomar dos medidas al día.

Para conocer la variación de peso se hecho mediante el uso de una balanza de precisión. Esta tiene una precisión igual a la centésima parte de un gramo.



Figura 3.11- Balanza de precisión

Una vez se obtiene el peso se calcula la variación de masa que sufren las probetas. Esto se hace en referencia al peso inicial (m_0) y se representa en forma porcentual:

$$Mi(t) = \frac{m_i(t) - m_0}{m_0} * 100$$

Siendo,

M_i porcentaje de variación de la masa

m_i la masa en el momento i

m_0 la masa inicial

Para conocer la variación longitudinal que se ha producido en las probetas se usa un extensómetro lineal. Este nos permite medir la variación axial debido a la contracción del hormigón por la retracción tanto autógena como de secado. La máquina proporciona la variación con respecto a un valor de referencia obtenido por el espaciador de medición de calibrage conocido. Este espaciador que en la imagen se ve de color negro tiene una longitud de 160mm. Por lo que las medidas que obtenemos no son en valor absoluto sino relativo. El extensómetro tiene un factor de escala de 0,001mm por lo que puede medir hasta con una precisión de micras. Todas las medidas tienen como referencia el primer valor obtenido una vez pasadas las 24 horas desde que se realizó la mezcla. Para medir la contracción primero se debe obtener la variación lineal a lo largo del tiempo:

$$L(t) = L_i(t) - L_0$$

Donde,

L es la variación lineal

L_i es la longitud en el momento determinado

L_0 la longitud inicial

Una vez conocida la variación lineal, se puede calcular la deformación que sufren las probetas. Esta es igual a la relación entre la variación sufrida y la longitud total, es decir :

$$\varepsilon = \frac{\Delta L(t)}{L_{tot}}$$

Siendo ,

ε la deformación

ΔL variación lineal

L_{tot} la longitud total de la probeta



Figura 3.12- Extensómetro

La posición de las probetas en el aparato tiene que ser siempre la misma, es por ello que se marcará en la primera medición de manera que así en las futuras tomas de datos quede colocado igual. Antes de anotar el valor es bueno girar la probeta una vez se encuentra colocada, si no se produce ninguna variación en el valor, o la variación es como mucho de $\pm 0,001$ mm se da como bueno el dato. Si la variación es mayor se deberá alinear de nuevo el instrumento. Sucede muy a menudo especialmente cuando se hace girar la probeta.

3.3.3 Pruebas mecánicas.

Una vez pasados los 28 días desde la producción de las probetas y estudiado la retracción estas probetas pueden ser sometidas a pruebas mecánicas. Según la UNI EN 1015-11:2001 especifica un método para determinar la resistencia a flexión y compresión de las muestras. La resistencia a flexión se obtiene sometiendo tres puntos de la muestra hasta su rotura. La resistencia a compresión se determina sometiendo a esfuerzos de compresión las dos partes obtenidas de la prueba de flexión.

La maquinaria usada para la realización de las pruebas es una prensa hidráulica, de la casa MetroCom. Esta está formada por un... donde se efectúa la prueba de flexión sobre tres puntos de las probetas prismáticas y por una prensa cuadrada para la prueba de compresión.



Figure 3.18- Hydraulic press METROCOM



Figure 3.19- Maquina prueba a compresión

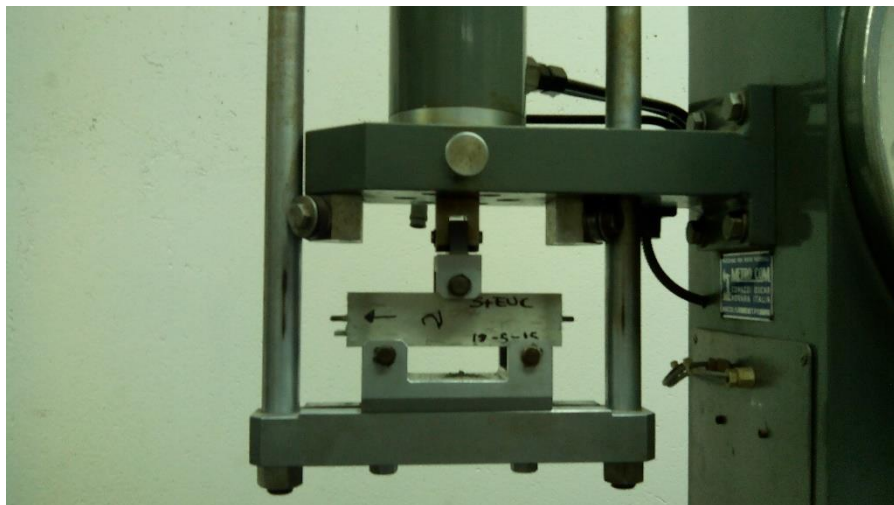


Figura 3.20- Maquina para las pruebas a flexión

Al aplicar la carga es importante mantener la velocidad constante entre 50 N/s y 100 N/s para así obtener la rotura entre los 30 y 90 segundos. A la hora de calcular la resistencia se deberá tener en cuenta que la maquinaria expresa las cargas en Kgs en lugar de en KN. Una vez aplicada la carga y llegada a la rotura, la muestra queda rota en dos trozos, sobre cada uno de ellos se realizará la prueba a compresión.

La norma nos sugiere para calcular la resistencia a flexión, usar la siguiente ecuación:

$$f = 1.5 * \frac{F * l}{b * d^2}$$

Donde,

F es la fuerza aplicada

l es la distancia entre los dos apoyos

b longitud de la sección de la base

d longitud de la altura

Para determinar el esfuerzo a compresión se calcula como la fuerza aplicada por unidad de área:

$$\sigma_c = \frac{f_c}{a * b}$$

En el capítulo siguiente se muestran los resultados de las pruebas.

4. ANÁLISIS Y DISCUSIÓN DE LOS RESULTADOS

4. ANÁLISIS Y DISCUSIÓN DE LOS RESULTADOS

4.1 ANÁLISIS DE LA RETRACCIÓN.

Por cada mix se han realizado 6 probetas, tres de ellas se ha evaluado la retracción autógena y en las otras tres la retracción total, tanto la variación de la longitud axial como la pérdida de peso. Estos resultados ya fueron analizados por Ferrara pero a continuación se argumenta con más detalle los resultados experimentales.

4.1.1 Retracción autógena

De las seis probetas realizadas por cada mezcla, tres de ellas se han utilizado para la evaluación de la retracción autógena. Estas probetas prismáticas de 40x40x160mm tras 24 horas en la cámara con una humedad de 90% y una temperatura de 20°C se envuelven en papel aluminio para evitar que se produzcan variaciones de higrométricas y térmicas en las muestras. De manera que se evalúan las transformaciones que sufre el hormigón debido al consumo del agua durante la hidratación del cemento.

A continuación se muestra un gráfico en el que se puede observar la deformación autógena a lo largo del tiempo que se ha producido en cada mezcla:

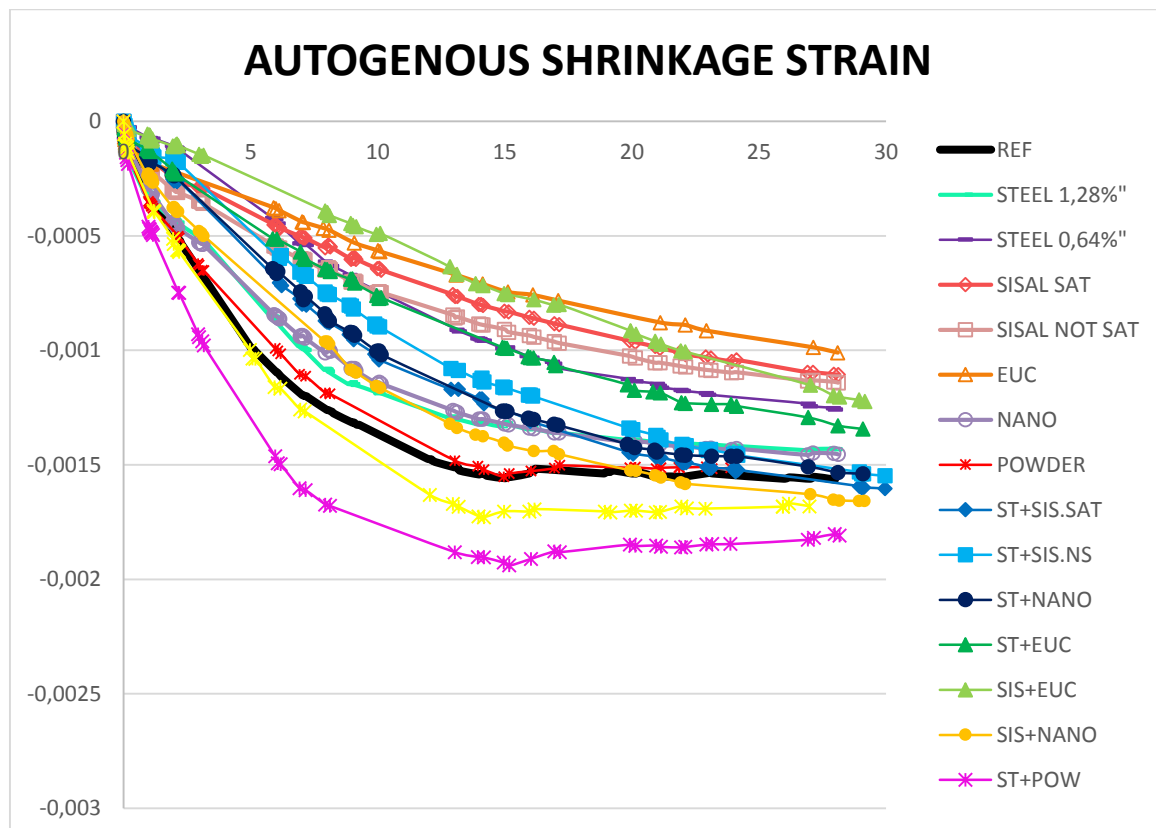


Figura 4.1- Gráfica de la deformación por la retracción autógena del hormigón (escala lineal)

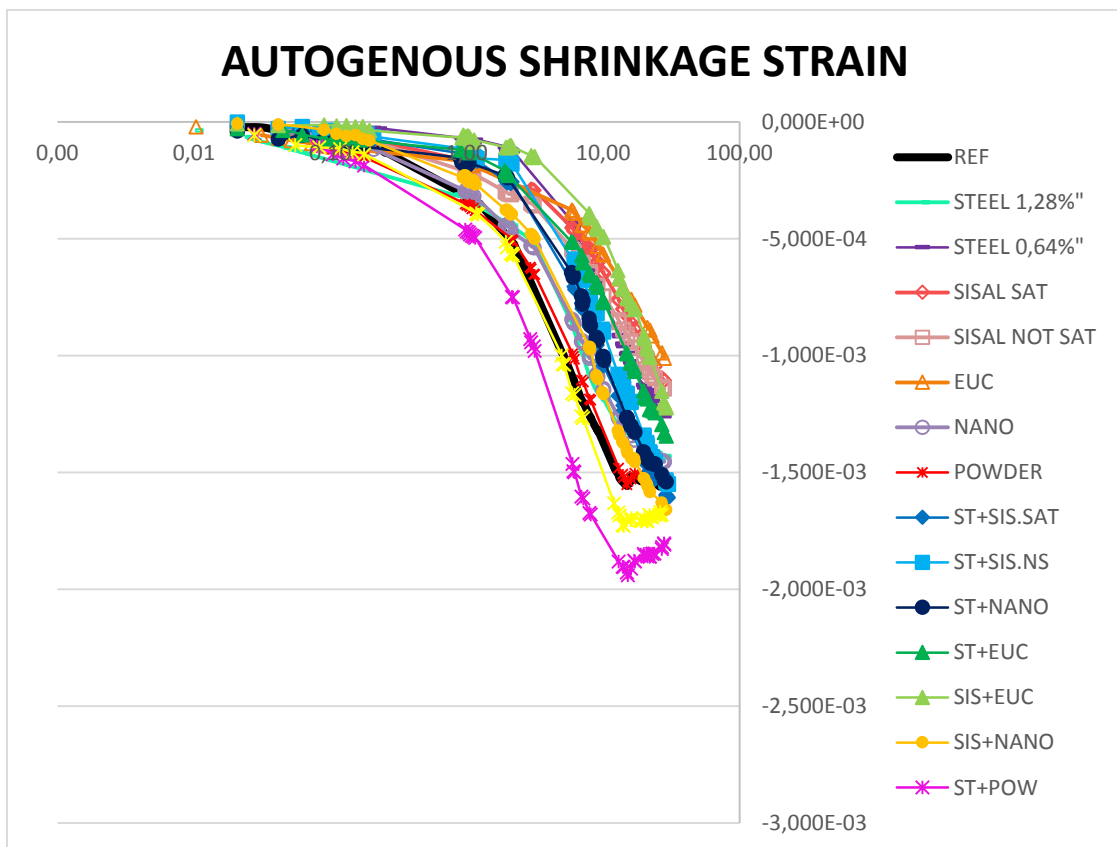


Figura 4.2- Gráfica de la deformación por la retracción autógena del hormigón (escala logarítmica)

La retracción autógena resulta ser más marcada en aquellas muestras donde está presente el NanoPowder combinado con Sisal o con Steel, siendo un poco menor cuando se ve combinado con el Steel. El Powder cuando actúa solo sigue casi la misma tendencia que la muestra de Referencia, coincidiendo en la mayoría de los puntos. El acero al 1,28% así como el nanopulp cuando no se encuentran combinados con otras fibras muestran la misma tendencia. Sin embargo el acero 0,64% tiene un comportamiento muy similar al acero combinado con el eucalipto. El acero combinado con el Nanopulp coincide en muchos puntos con el acero combinado con el sisal saturado, y tienen un comportamiento bastante similar que el sisal combinado con el nanopulp, que a su vez es bastante parecido a la muestra de referencia. El sisal combinado con el eucalipto tiene una tendencia bastante lineal y reduce bastante la retracción autógena. Tanto el sisal saturado como el no saturado como el eucalipto tienen un comportamiento bastante igual y reducen la retracción siendo el eucalipto el que más.

Todas las probetas fueron pesadas tras medir su variación longitudinal de manera que se conozca su pérdida de peso. Esta variación acumulada del peso debe ser inferior al 0,5%, si esto no fuera así, no podría darse por valido los resultados.

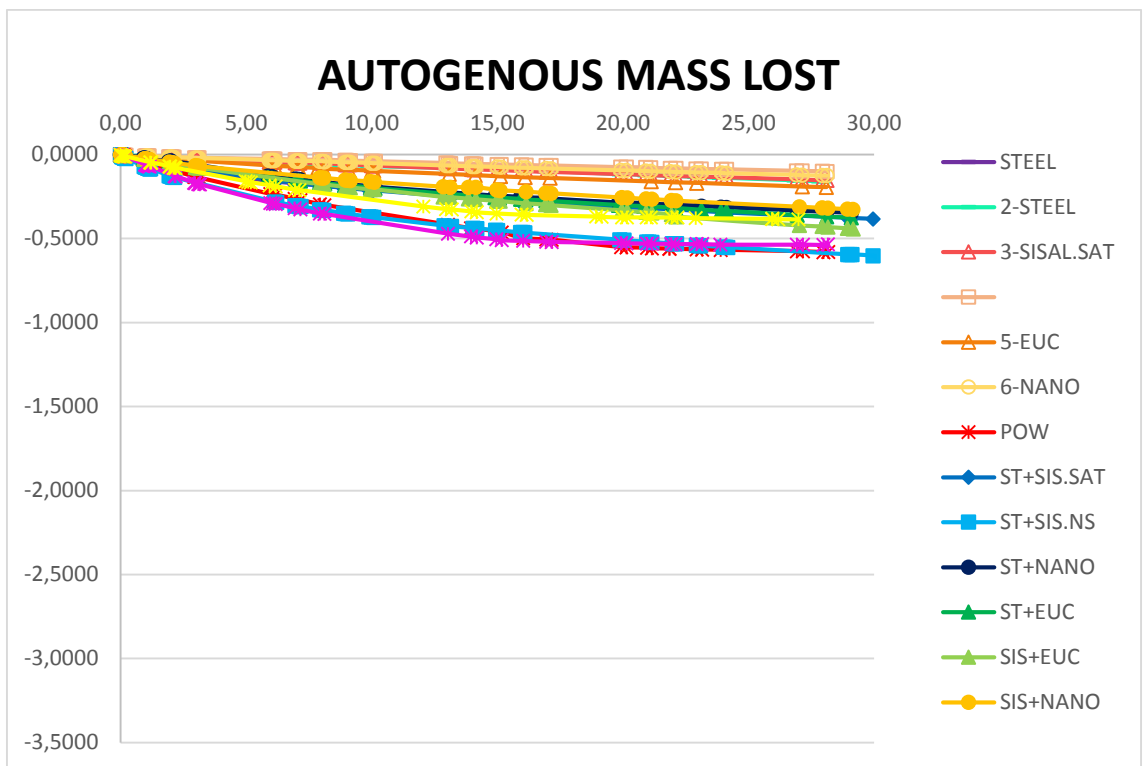


Figura 4.3- Gráfica de la pérdida de masa por la retracción autógena del hormigón (escala lineal)

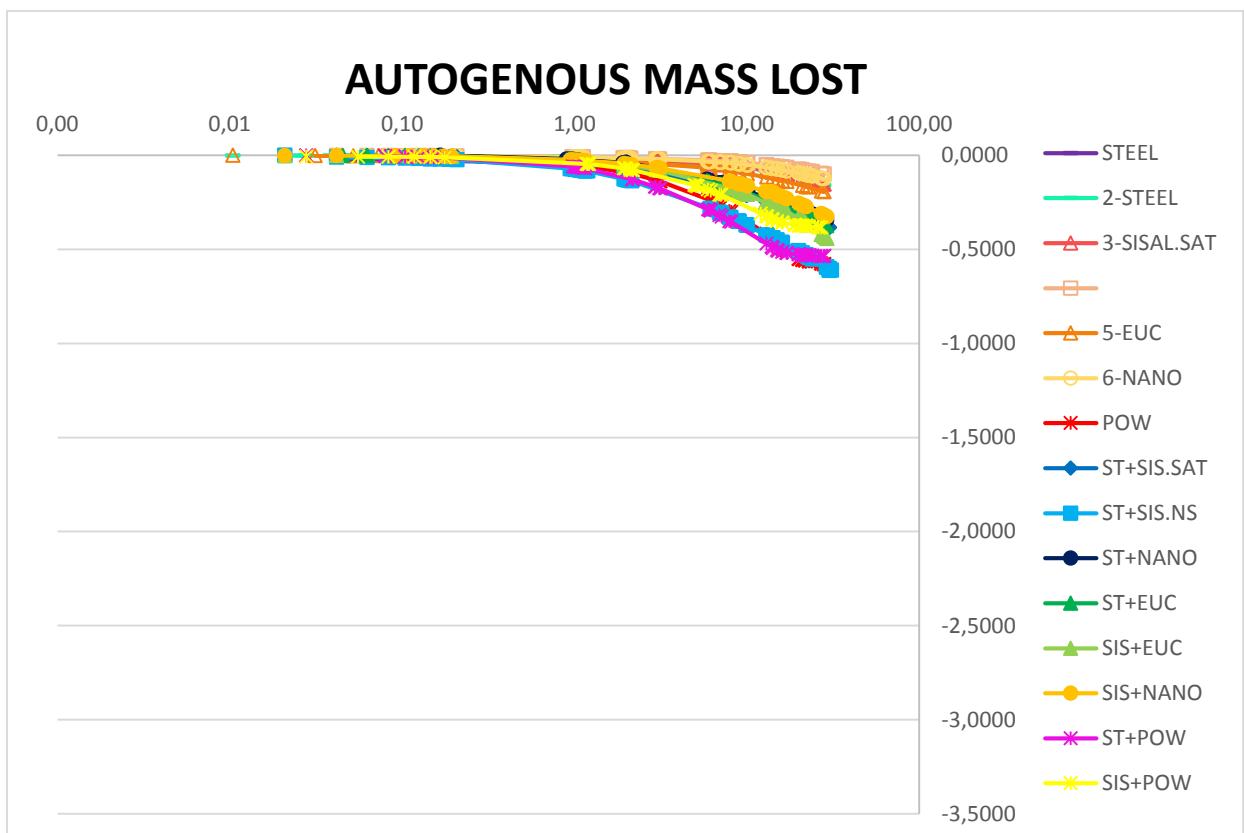


Figura 4.4- Gráfica de la pérdida de masa por la retracción autógena del hormigón (escala logarítmica)

El porcentaje de la deformación por retracción autógena a lo largo del tiempo se muestra en la tabla:

	1st week	2nd week	3th week	4th week
I	76,43	98,54	99,47	100
II	69,00	91,85	97,96	100
III.a	45,76	72,32	89,64	100
III.b	52,92	77,55	92,34	100
IV	43,51	70,31	87,01	100
V	64,33	89,40	96,99	100
VI	74,68	102,09	101,53	1000
VII.a	50,07	76,08	91,76	100
VII.b	42,86	73,88	90,07	100
VII	44,83	74,29	89,18	100
IX	50,82	82,47	94,97	100
X	89,09	105,30	102,76	100
XI	32,53	59,52	80,80	100
XII	58,11	83,02	93,96	100
XIII	75,34	102,85	101,49	100

Tabla 4.1- Porcentaje de la deformación autógena a lo largo del tiempo

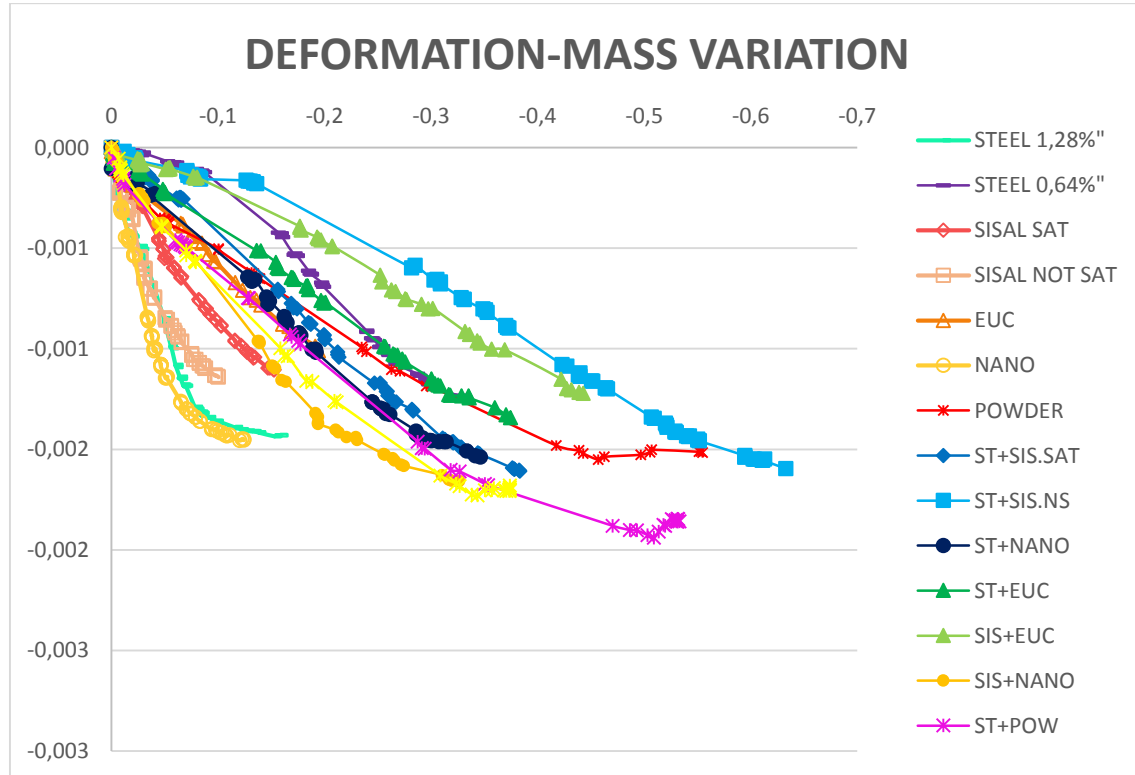


Figure 4.5- Gráfica de la deformación de la retracción autógena en función a la variación de masa

4.1.2 Retracción total

Las probetas utilizadas para analizar la retracción total han permanecido durante 24 horas desde su producción en la cámara a 20°C y 50% de humedad relativa de tal manera que se pueda evaluar el intercambio higrométrico de las muestras con el ambiente.

A continuación se muestra un gráfico en el que se puede observar la deformación total a lo largo del tiempo que se ha producido en cada mezcla:

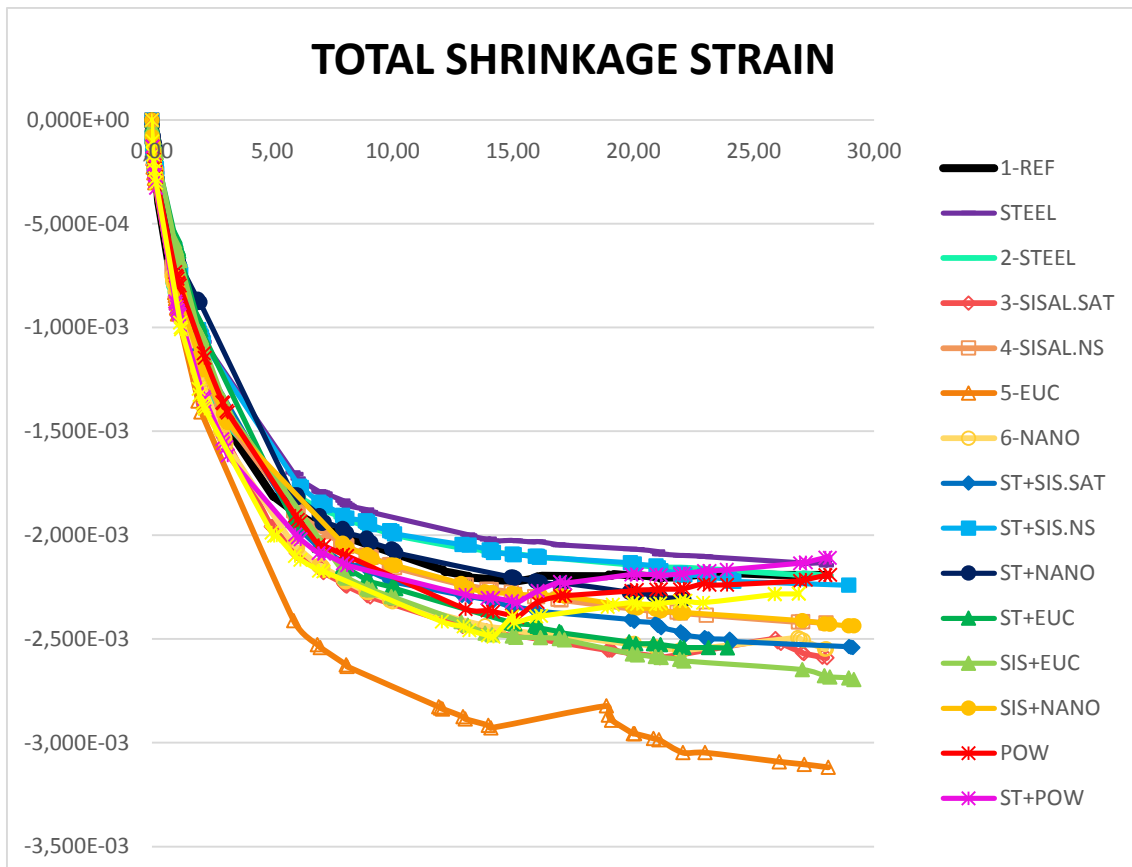


Figure 4.6- Gráfica de la deformación por la retracción total del hormigón (escala lineal)

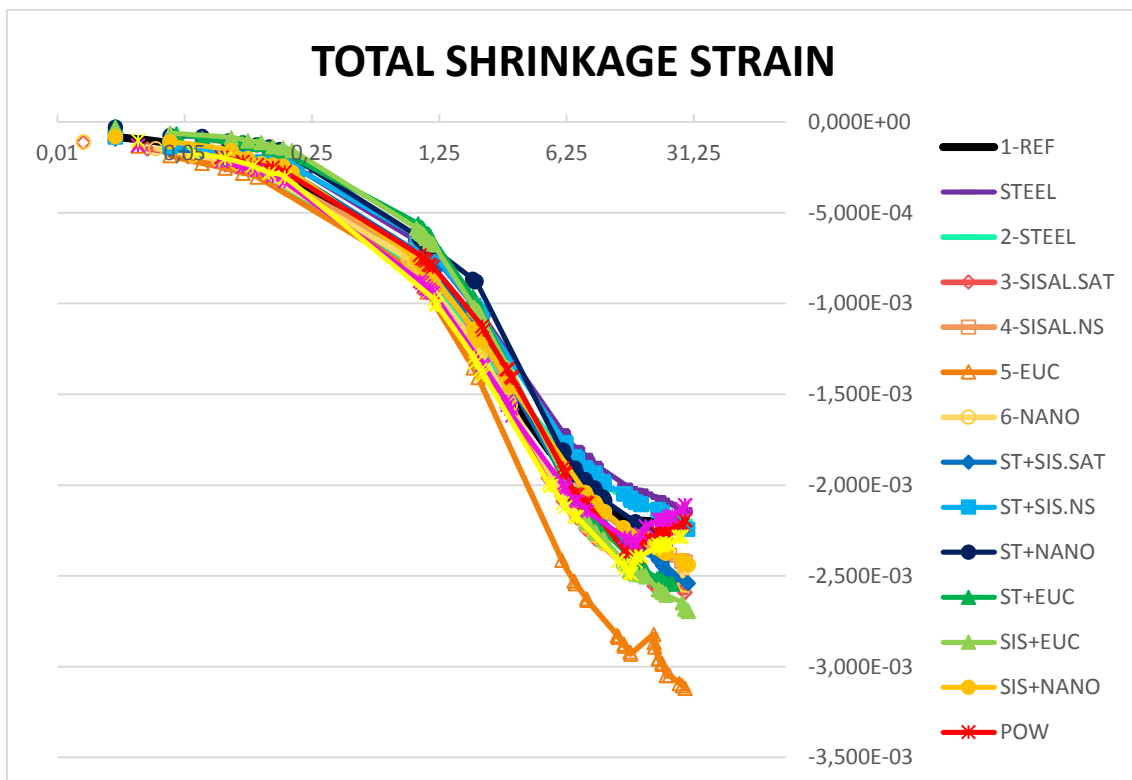


Figure 4.7- Gráfica de la deformación por la retracción total del hormigón (escala logarítmica)

Se puede observar como el acero al 1,28% como el acero al 0,64% han registrado una retracción menor teniendo un comportamiento casi idéntico, y muy similar al acero combinado con el sisal no saturado y a la muestra de referencia. El nanopulp tiene un comportamiento parecido cuando actúa solo que cuando actúa combinado con Sisal, pero la retracción se ve reducida y se aproxima bastante al de referencia, cuando este nanopulp se combina con el acero. El sisal saturado tiene una retracción un poco mayor que el sisal no saturado, pero esta se reduce cuando se combina con el acero un poco más en el caso del sisal no saturado que es menos que aquella de referencia y el sisal saturado por encima de la muestra de referencia. El eucalipto cuando actúa solo sufre la mayor contracción, cuando se combina con el sisal o el acero se reduce la retracción. Las muestras que tienen presente nanopowder en su interior tienen una tendencia muy similar al eucalipto combinado con el acero y el sisal.

Todas las probetas fueron también pesadas tras medir su variación longitudinal para conocer su pérdida de peso.

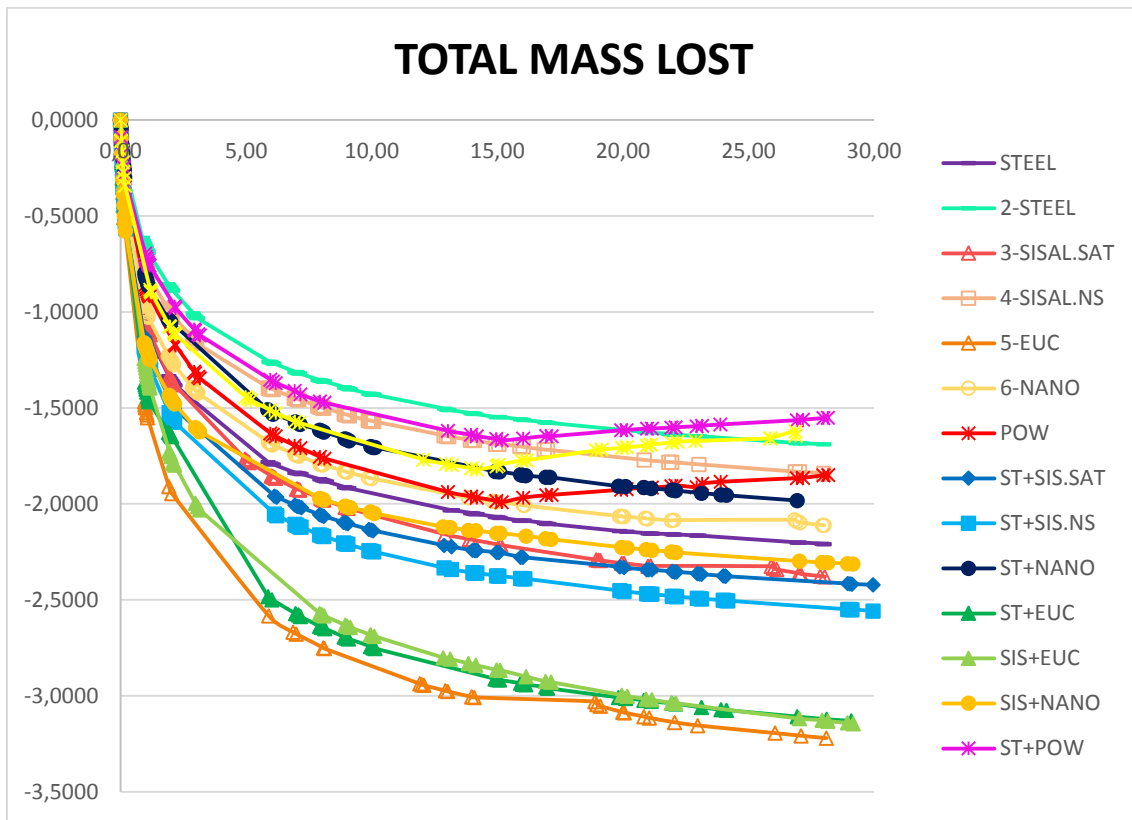


Figure 4.8- Gráfica de la pérdida de masa por la retracción autógena del hormigón (escala lineal)

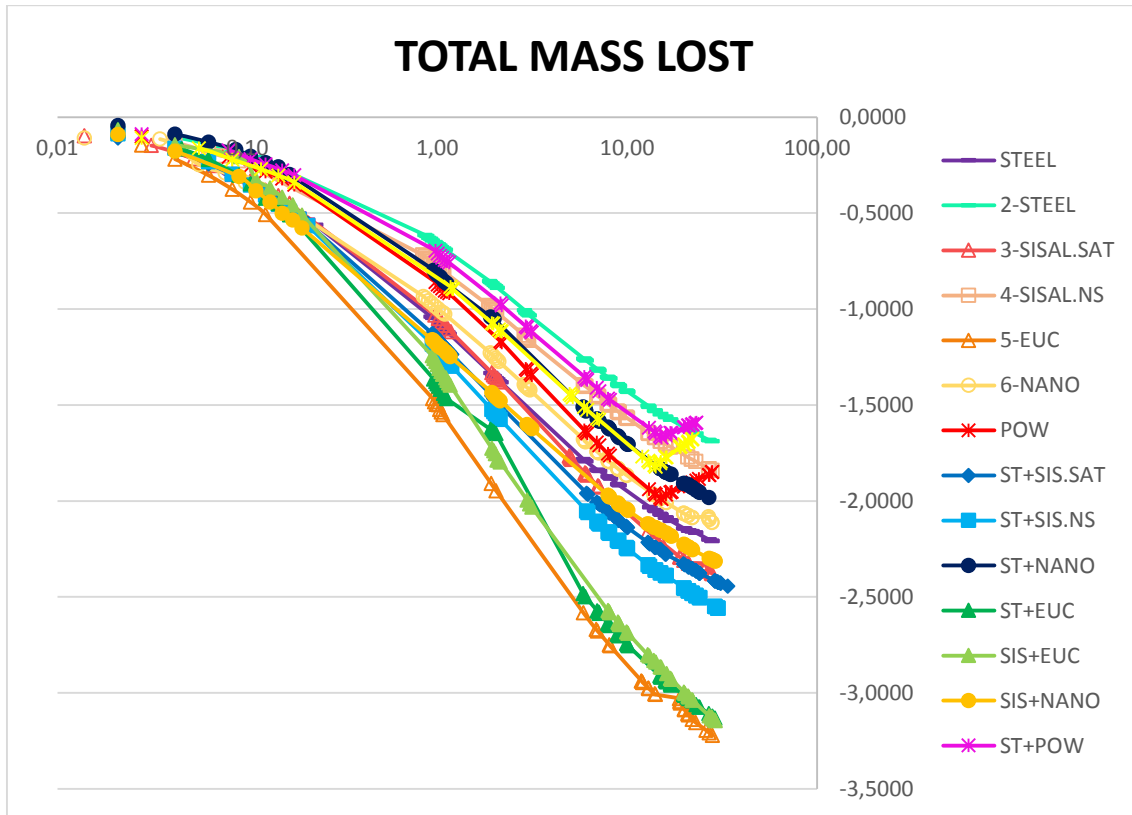


Figure 4.9- Gráfica de la pérdida de masa por la retracción autógena del hormigón (escala logarítmica)

El porcentaje de la deformación por retracción total a lo largo del tiempo se muestra en la tabla:

	1st week	2nd week	3th week	4th week
I	89,54	98,8	98,90	100
II	85,45	94,59	98,19	100
III.a	83,28	95,18	99,76	100
III.b	81,59	93,38	97,85	100
IV	81,50	93,92	95,72	100
V	83,75	95,53	99,59	100
VI	93,63	108,08	103,14	100
VII.a	81,61	91,13	95,97	100
VII.b	82,53	92,38	96,28	100
VII	79,12	93,33	97,43	100
IX	83,38	94,46	98,66	100
X	99,01	109,08	103,95	100
XI	81,06	92,39	96,51	100
XII	83,96	93,73	97,34	100
XIII	95,34	109,13	102,10	100

Tabla 4.2- Porcentaje de la deformación total a lo largo del tiempo

La siguiente grafica muestra la relación de la evolución de la contracción axial con la pérdida de peso:

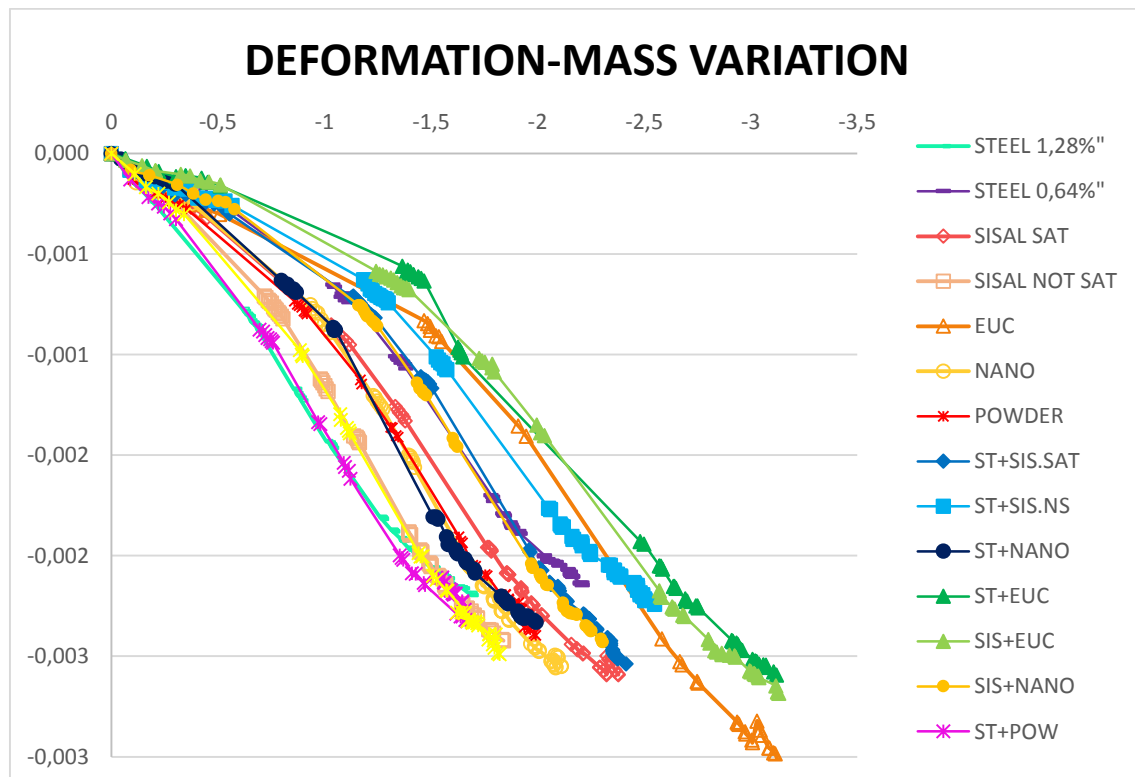


Figura 4.10- Gráfica de la relación de deformación pérdida de peso del hormigón

La gráfica muestra como la contracción axial está relacionada con la pérdida de peso y por tanto con la evaporación de la humedad desde el interior de la probeta hacia el exterior

4.1.3 Retracción por secado.

La retracción de secado se puede obtener restando la retracción autógena a la retracción total. En las probetas en las que se mide la retracción total, en realidad también se está produciendo el fenómeno de la retracción autógena debido al proceso químico que se sufre por la hidratación del cemento.

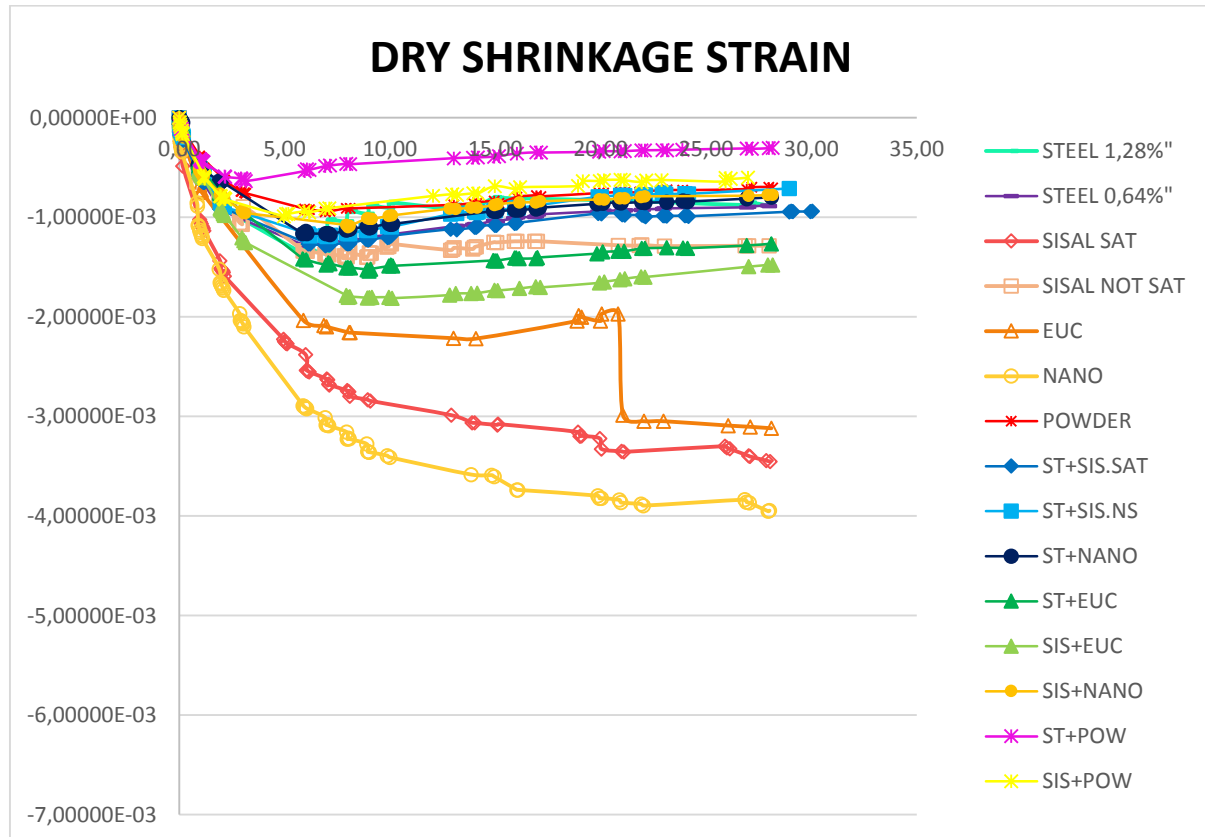


Figura 4.11- Gráfica de la deformación por la retracción total del hormigón

La gráfica muestra como la presencia de fibras naturales dentro de la matriz de hormigón influye en el efecto de la retracción de secado. De hecho se nota como la mezcla con las fibras de acero no sufre grandes variaciones lineales con el tiempo, así como el mix de referencia, mientras que las fibras naturales sufren una retracción más marcada a lo largo del tiempo.

A continuación analiza cada material con más detalle.

4.2 ACERO

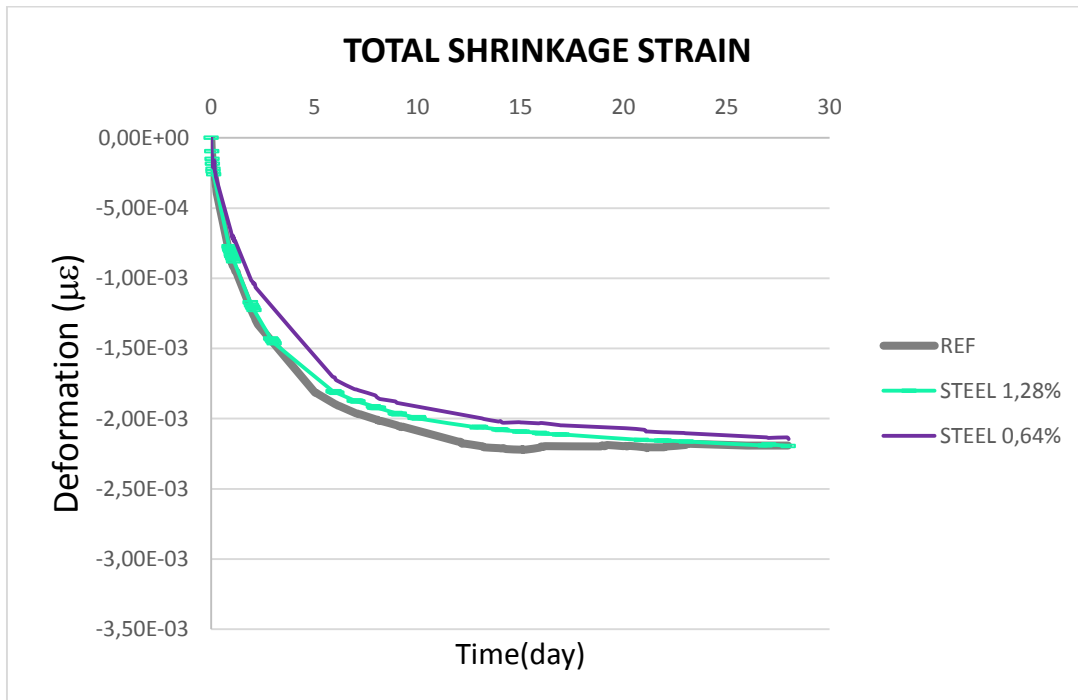


Figura 4.13- Gráfica de la deformación por la retracción total del hormigón. Reference, acero 0,64%, acero 1,28%.

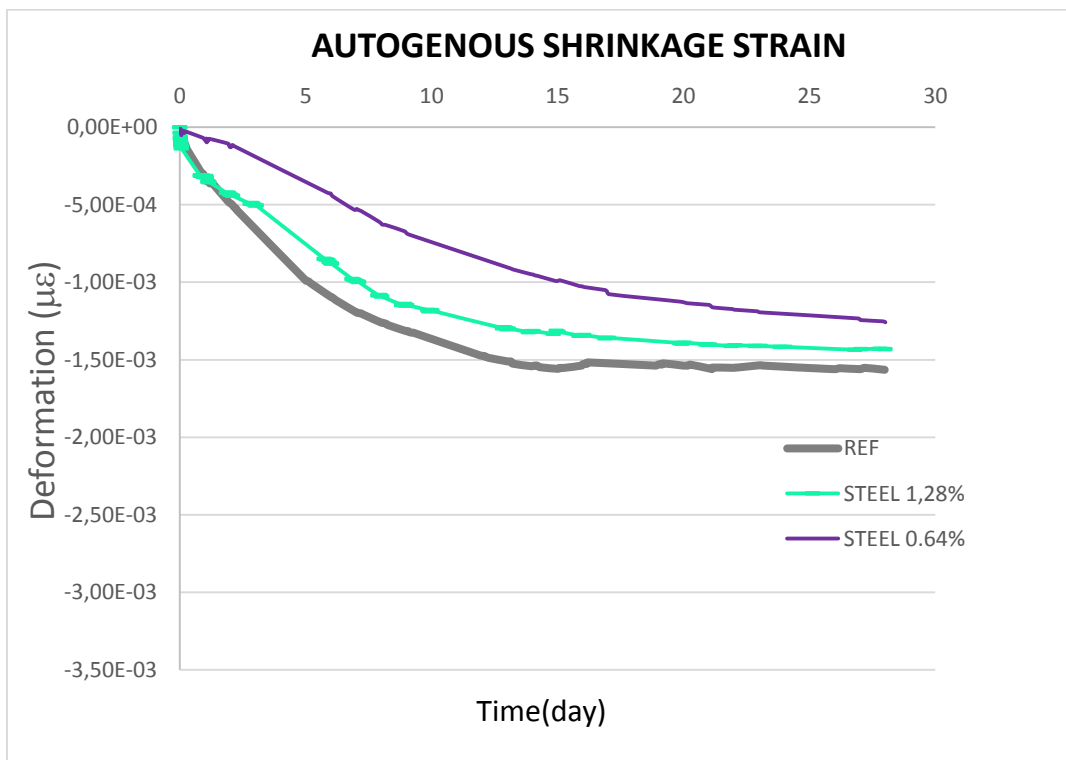


Figura 4.14- Gráfica de la deformación por la retracción autógena del hormigón. Reference, acero 0,64%, acero 1,28%.

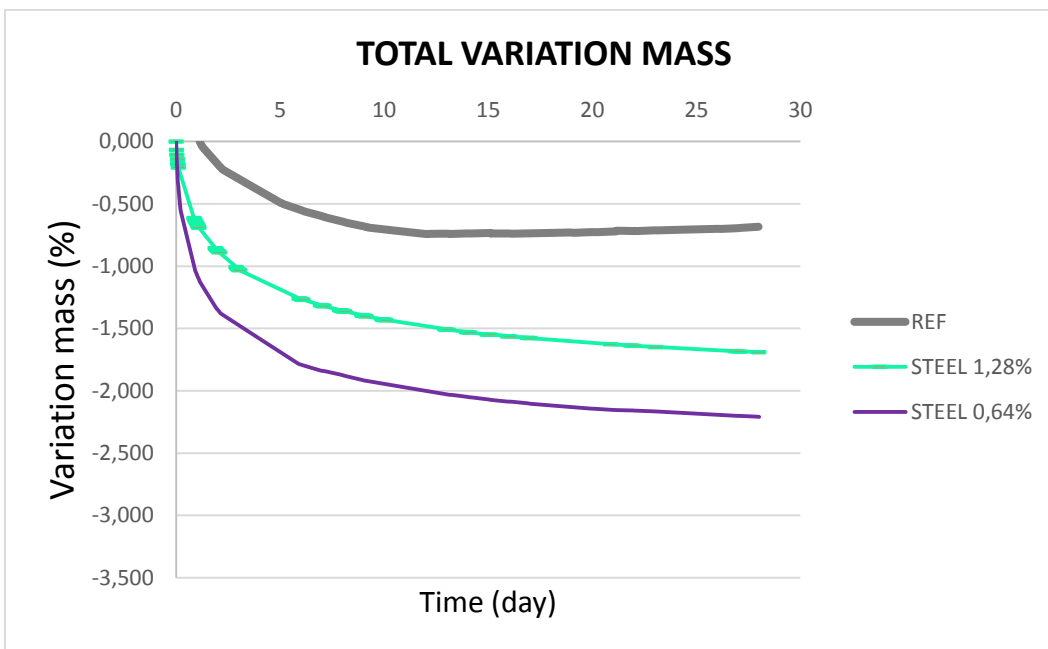


Figura 4.15- Gráfica de la pérdida de masa por la retracción total del hormigón. Reference, acero 0,64%, acero 1,28%.

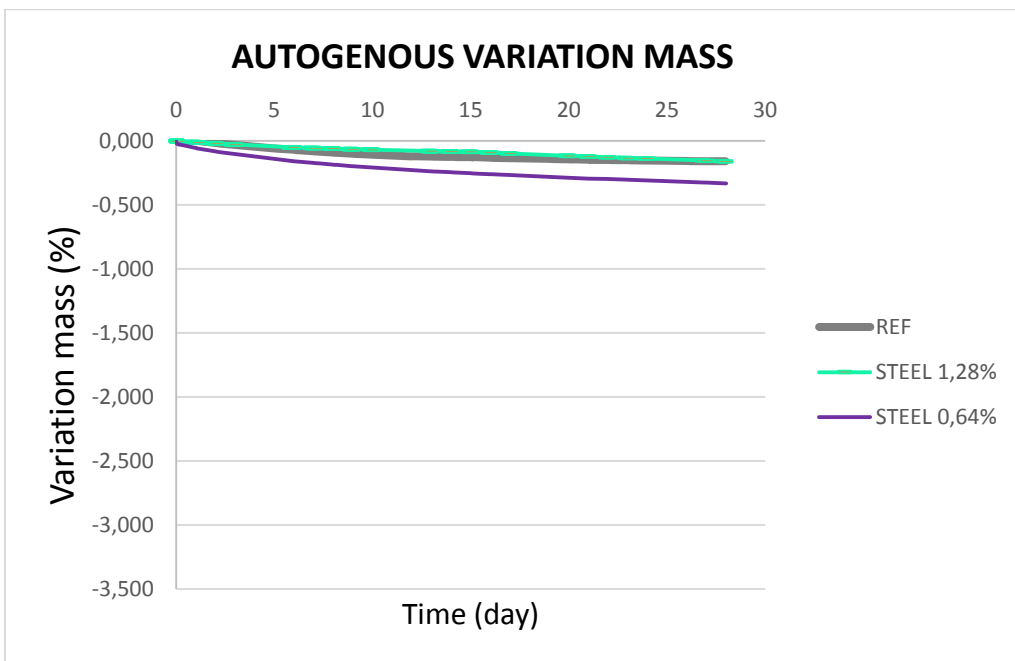


Figura 4.16- Gráfica de la pérdida de masa por la retracción autógena del hormigón. Reference, acero 0,64%, acero 1,28%.

En la figura 4.13 se muestra la deformación por la retracción total del hormigón del acero 1,28% y acero 0,64% comparándolo con la muestra de referencia. Sin embargo, con la retracción autógena, ambas sufren una menor deformación que la muestra de referencia, siendo más pequeña esta en la del acero 0,64%. Respecto a la variación de masa, en el caso del total el acero al 1,28% sufre una pérdida de masa un 1% y el acero 0,64% 1,5% mayor que el de referencia. La variación de masa autógena es casi la misma para las tres muestras.

4.3 SISAL SATURADO

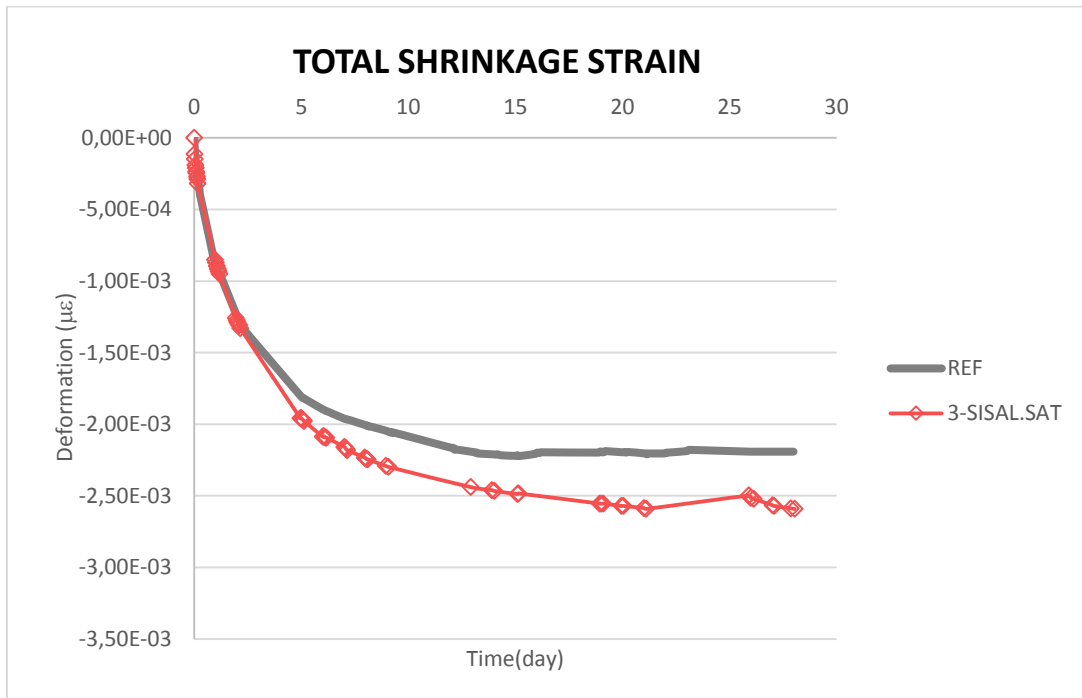


Figura 4.17- Gráfica de la deformación por la retracción total. Reference, sisal saturado.

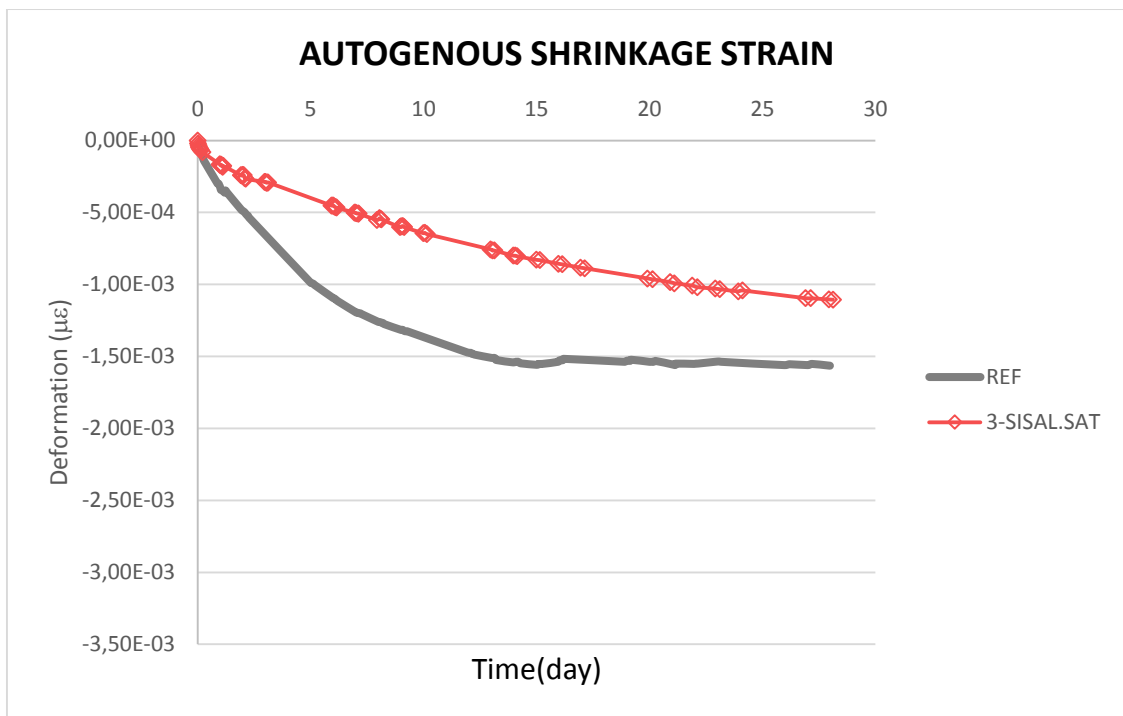


Figura 4.18- Gráfica de la deformación por la retracción autógena del hormigón. Reference, sisal saturado

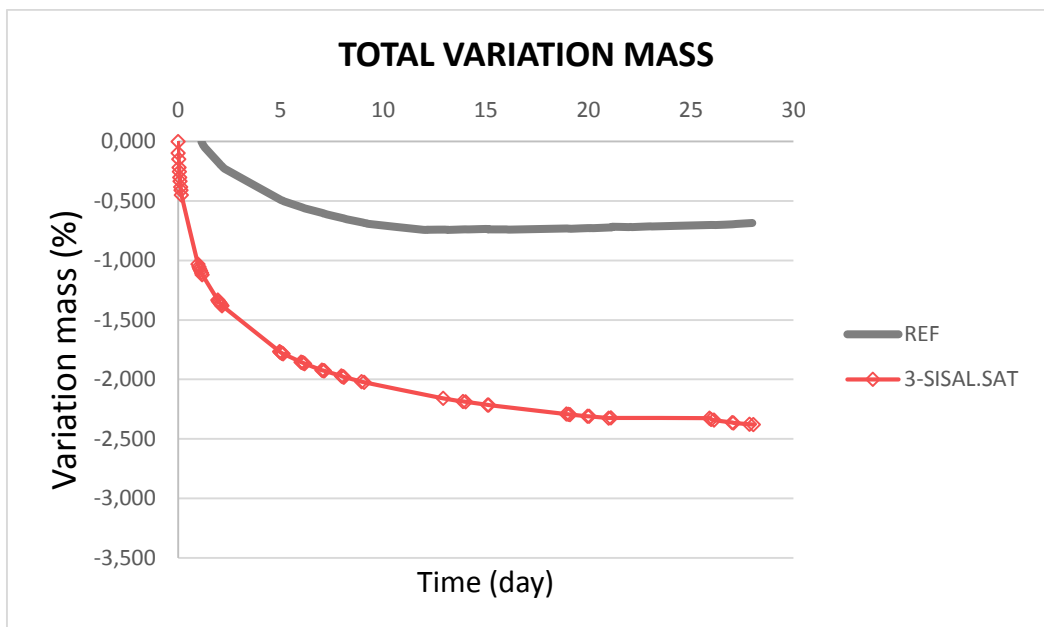


Figura 4.19- Gráfica de la variación de masa por la retracción total del hormigón. Reference, sisal saturado.

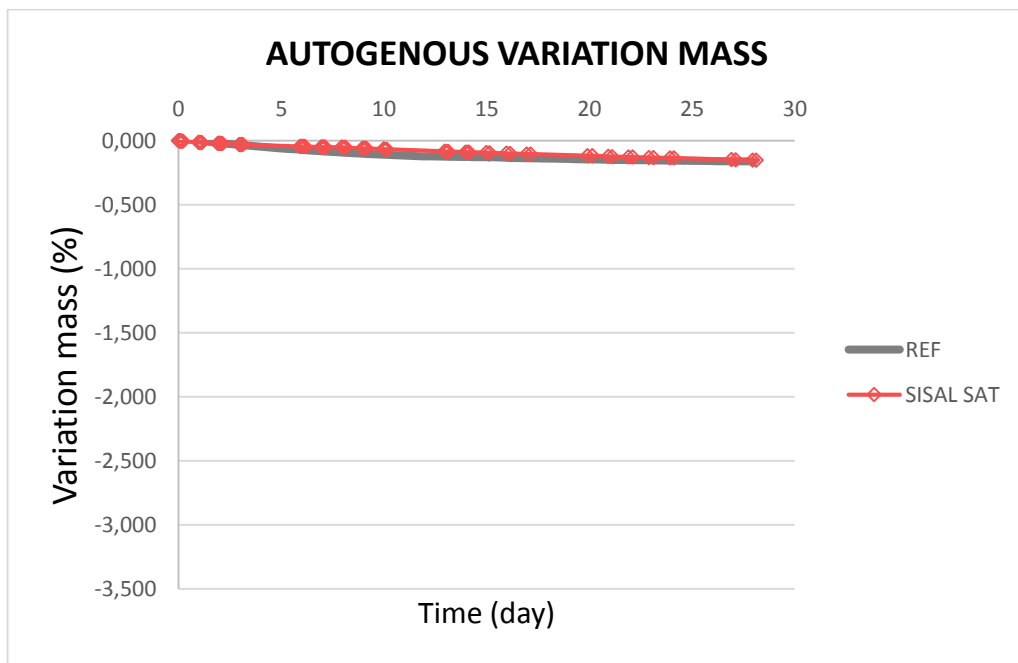


Figura 4.20- Gráfica de la pérdida de masa por la retracción autógena del hormigón. Reference, sisal saturado

En la figura 4.17 se compara la muestra de referencia con la que contiene las fibras de sisal saturado, y se observa que la deformación por retracción total de es un poco mayor en la muestra de sisal saturado. Sin embargo esta es menor que la de referencia cuando se analiza la retracción autógena (figure 4.18). Respecto a la variación de masa, cuando se analiza la retracción total en el caso del sisal saturado se ve reducida un 2% respecto a la muestra de referencia(figure 4.19), sin embargo en la retracción autógena no sufren a penas variación ambas muestras (Figure 4.20).

4.4 Sisal saturado + acero

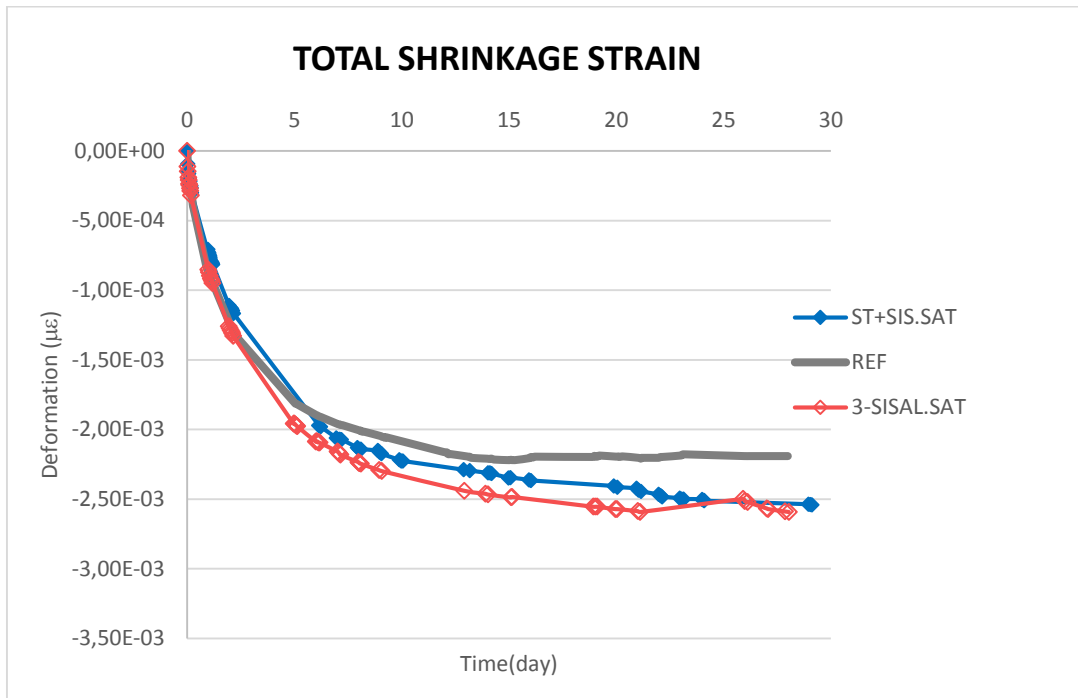


Figura 4.21- Gráfica de la deformación por la retracción total, Reference, sisal saturado, sisal saturado con acero.

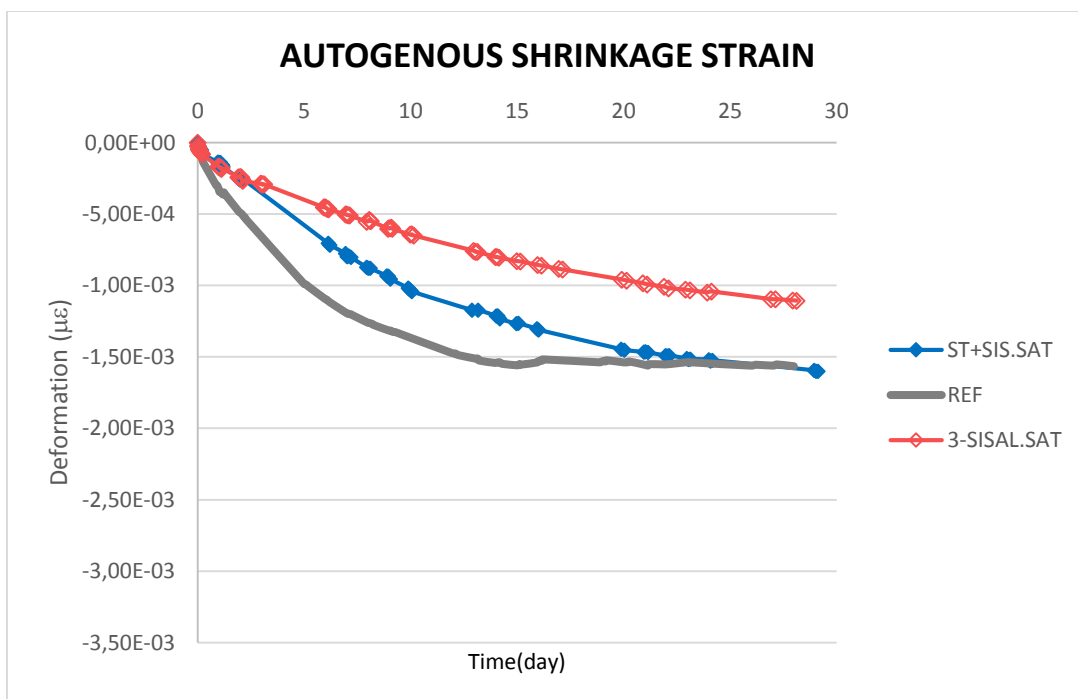


Figura 4.22- Gráfica de la deformación por la retracción autógena del hormigón. Reference, sisal saturado, sisal saturado con acero.

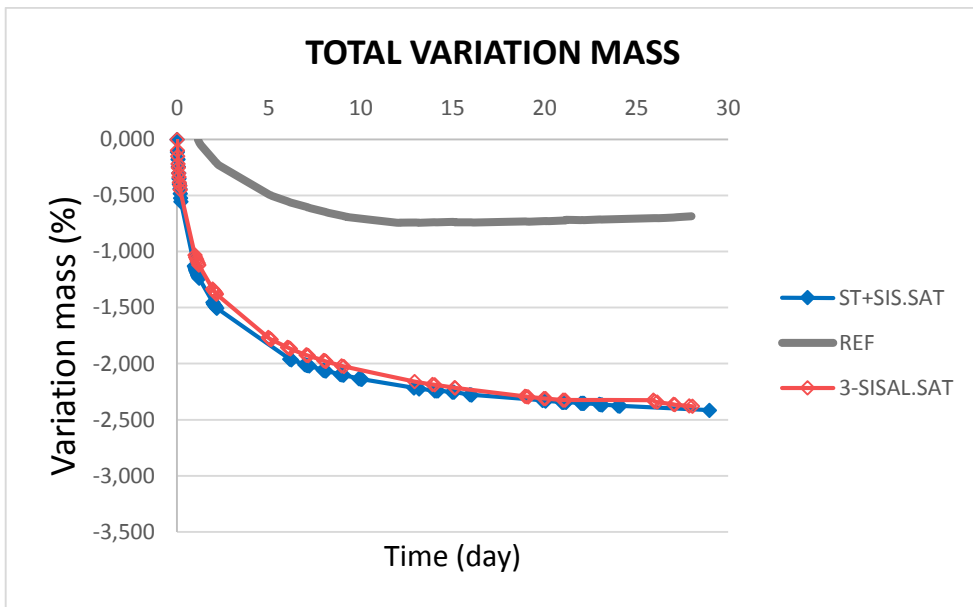


Figura 4.23- Gráfica de la variación de masa por la retracción total del hormigón. Reference, sisal saturado, sisal saturado con acero.

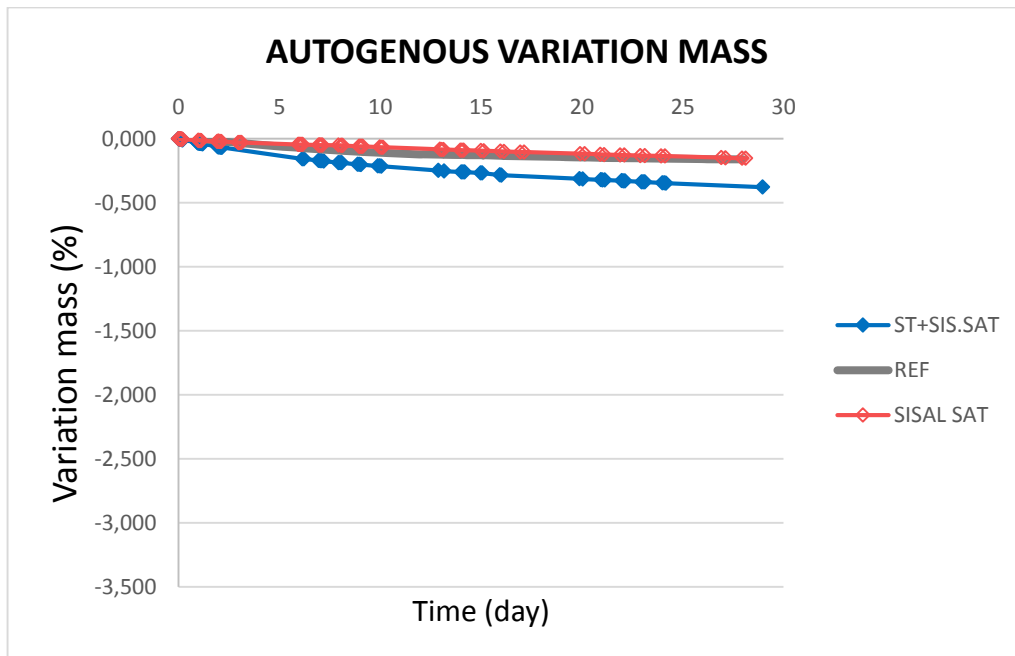


Figura 4.24- Gráfica de la pérdida de masa por la retracción autógena del hormigón. Reference, sisal saturado, sisal saturado con acero.

En la figura 4.21 se muestra la deformación por la retracción total a lo largo de 28 días del sisal saturado, el sisal combinado con el acero y la muestra de referencia, se observa que todos tienen un comportamiento muy similar, siendo la deformación del sisal saturado solo y combinado con el acero un poco mayor que la de referencia. La deformación autógena de la muestra de referencia es muy parecida a la del sisal combinado con el acero, siendo menor cuando el sisal actúa solo (figura 4.22). Respecto a la variación total el sisal saturado y cuando esta combinado con el acero tienen una perdida muy similar, un 2% mayor que la de referencia. La variación autógena de masa es casi la misma para las tres muestras.

4.5 Sisal no saturado

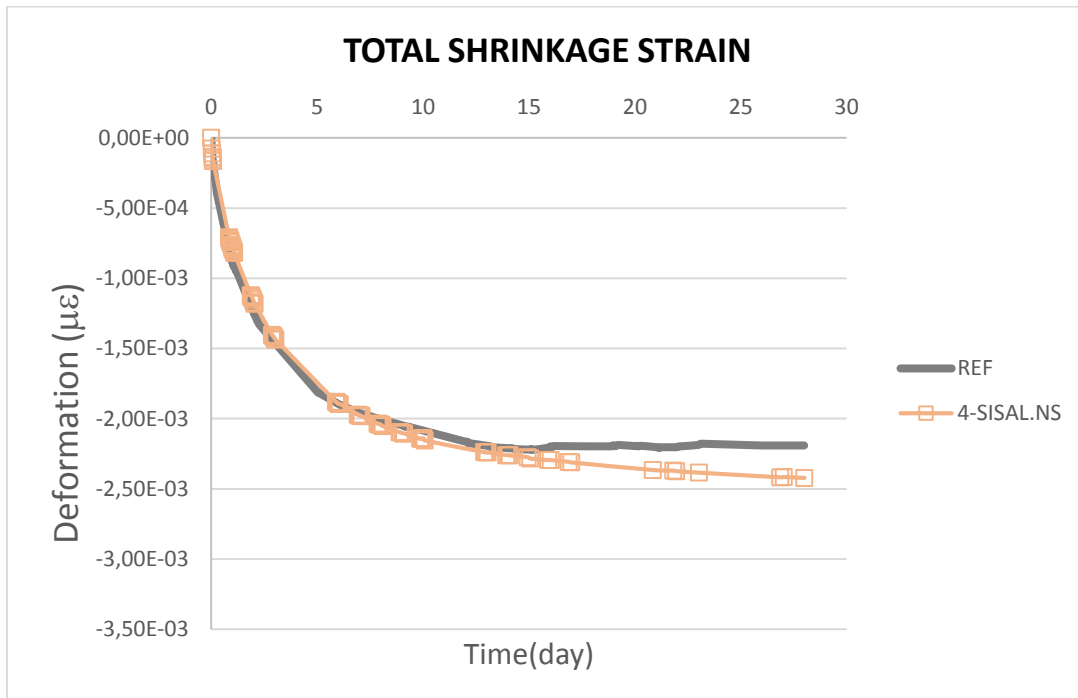


Figure 4.25- Gráfica de la deformación por la retracción total. Reference, sisal no saturado.
Reference, sisal no saturado.

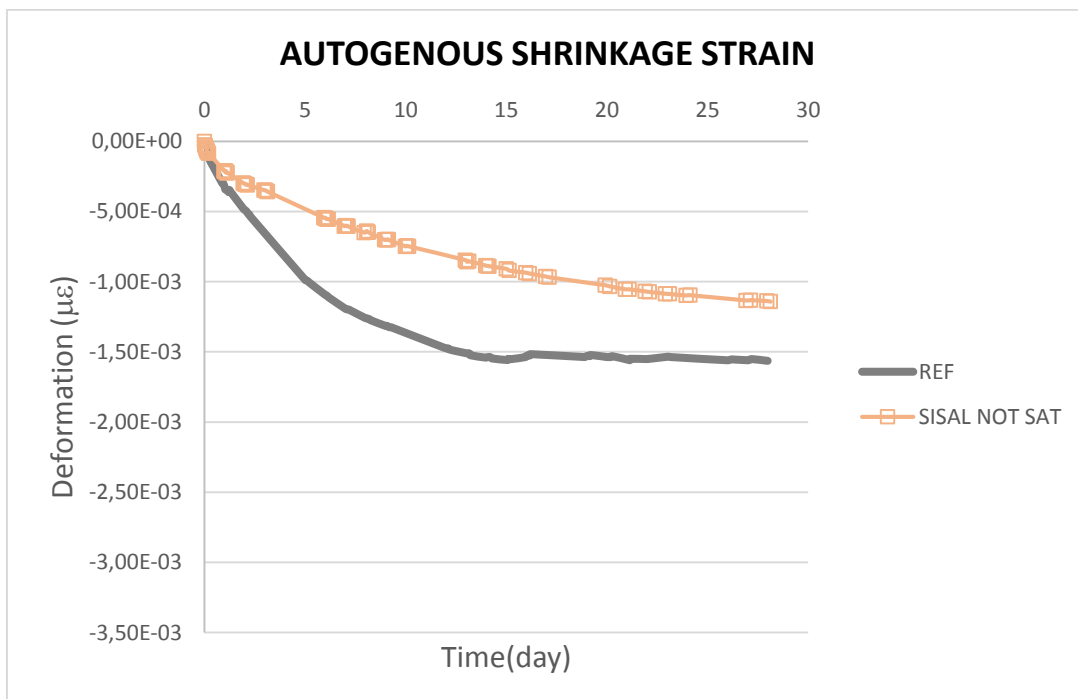


Figure 4.26- Gráfica de la deformación por la retracción autógena del hormigón. Reference, sisal no saturado.

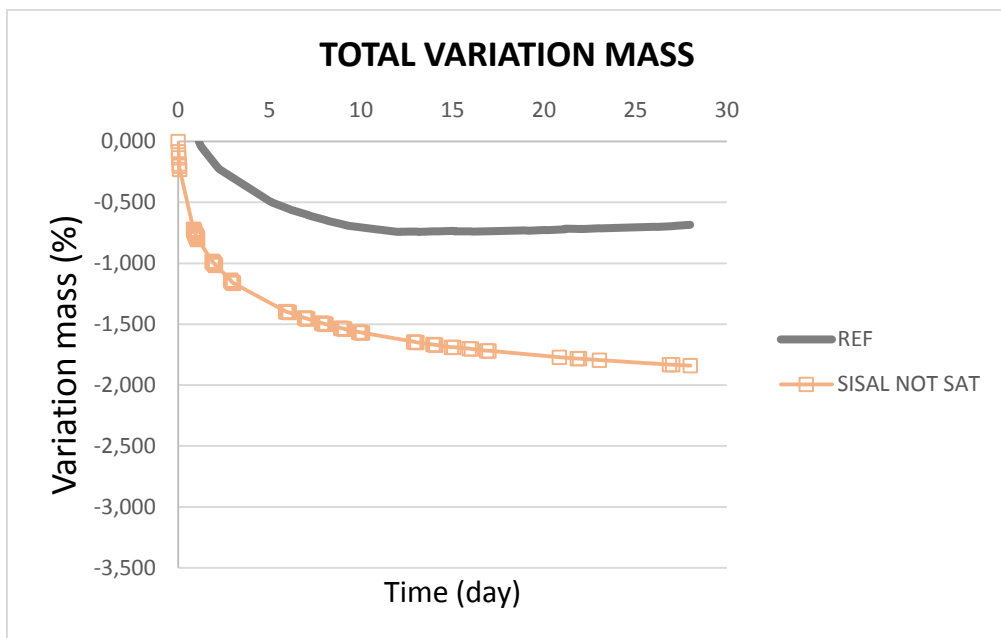


Figure 4.27- Gráfica de la variación de masa por la retracción total del hormigón. Reference, sisal no saturado.

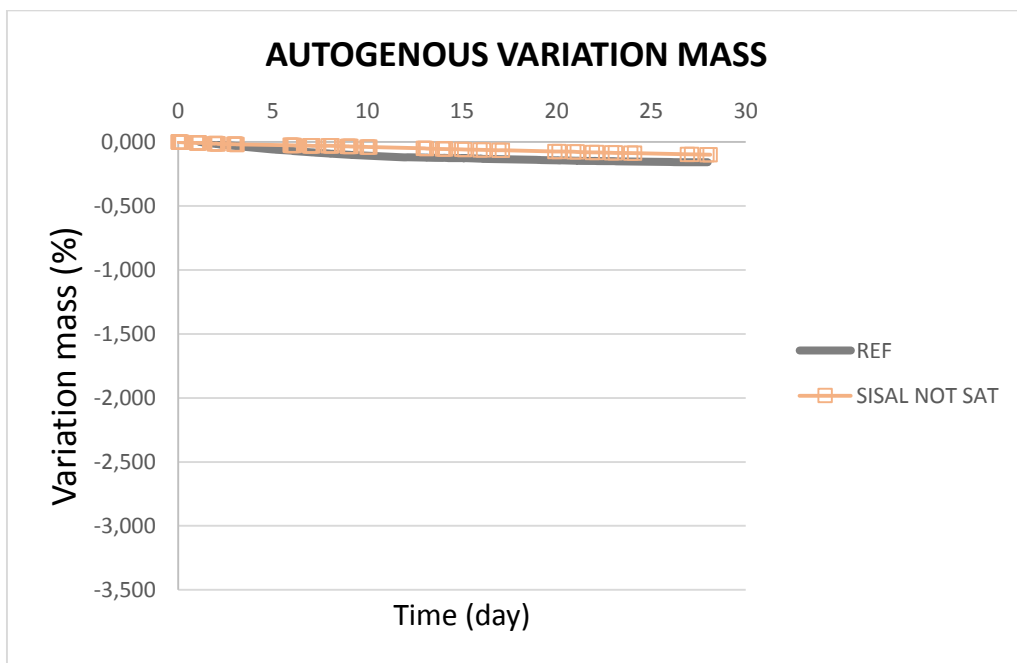


Figure 4.28- Gráfica de la pérdida de masa por la retracción autógena del hormigón. Reference, sisal no saturado.

En la figura 4.25 se compara la muestra de referencia con la que contiene las fibras de sisal no saturado, teniendo ambas una la deformación por retracción total similar. Sin embargo esta es menor en el sisal no saturado que en la de referencia cuando se analiza la retracción autógena (figure 4.26). Respecto a la variación de masa, cuando se analiza la retracción total en el caso del sisal no saturado se ve reducida un 2% respecto a la muestra de referencia (figure 4.27), sin embargo en la retracción autógena no sufren a penas variación ambas muestras (Figure 4.28).

4.5.1 Sisal no saturado + acero

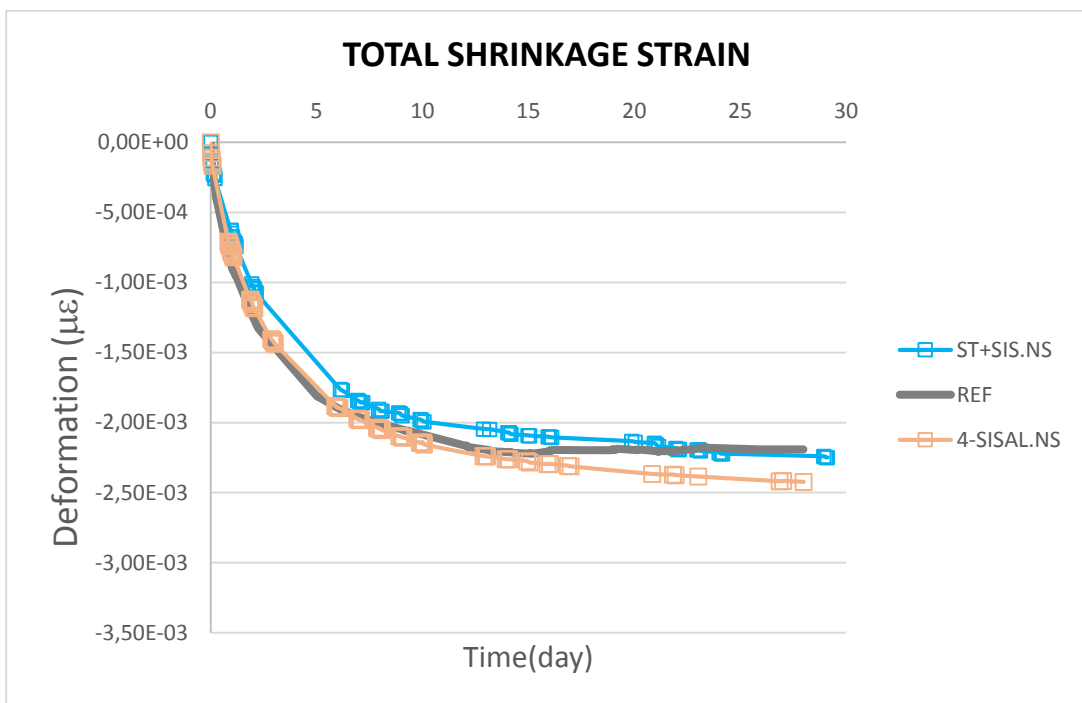


Figura 4.29- Gráfica de la deformación por la retracción total. Reference, sisal no saturado, sisal no saturado con acero

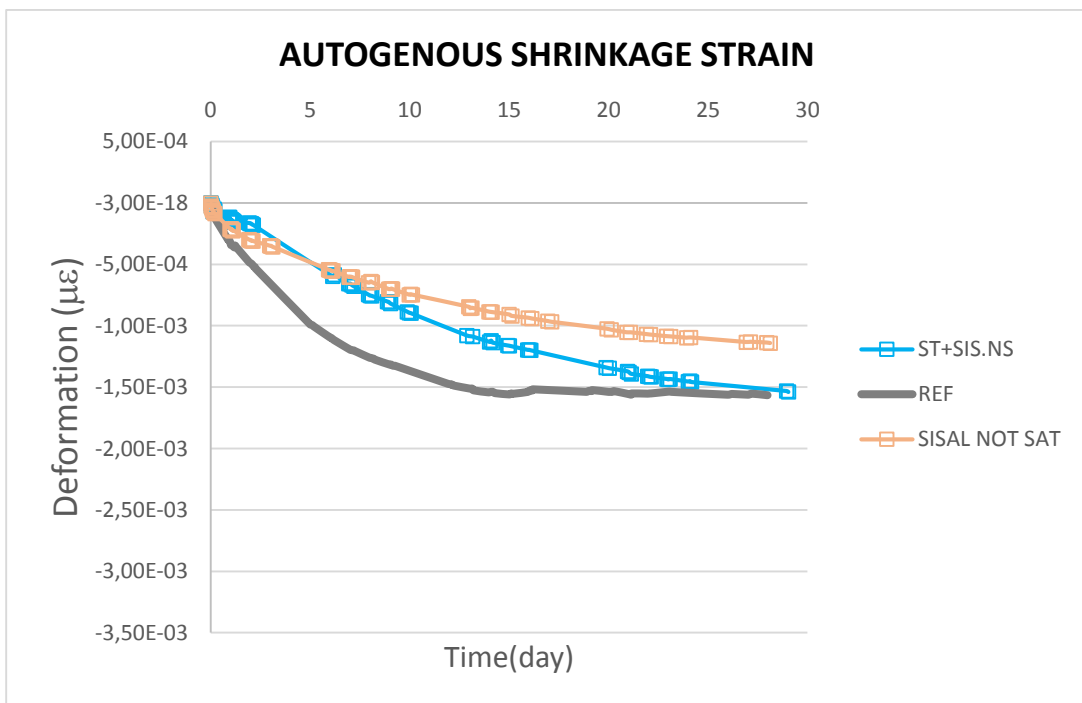


Figure 4.30- Gráfica de la deformación por la retracción autógena del hormigón. Reference, sisal no saturado, sisal no saturado con acero

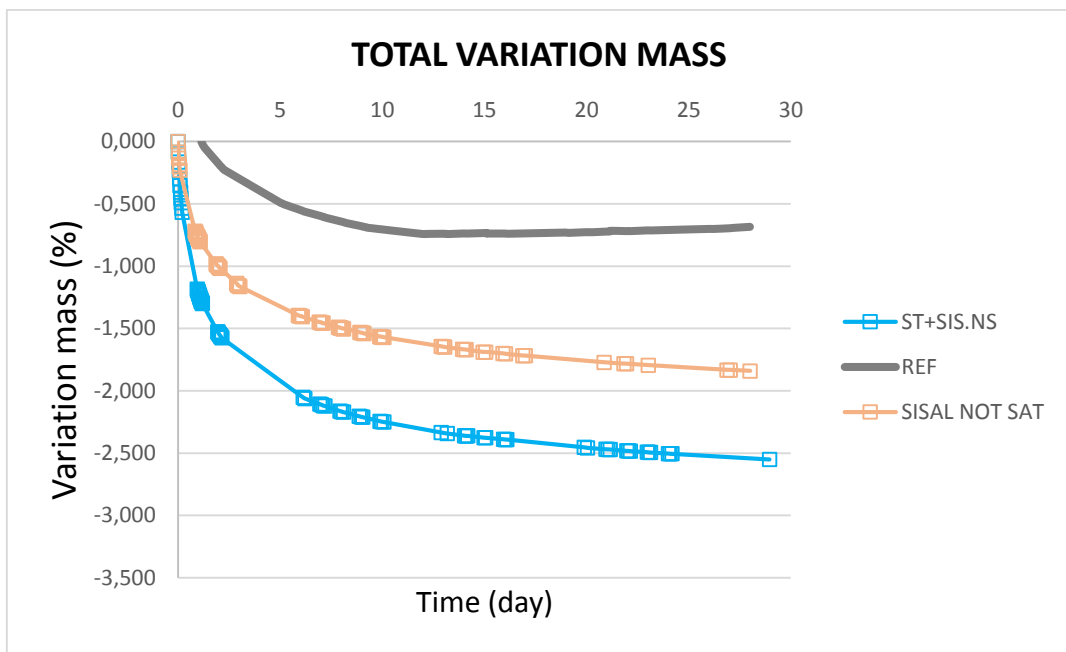


Figure 4.31- Gráfica de la variación de masa por la retracción total del hormigón. Reference, sisal no saturado, sisal no saturado con acero

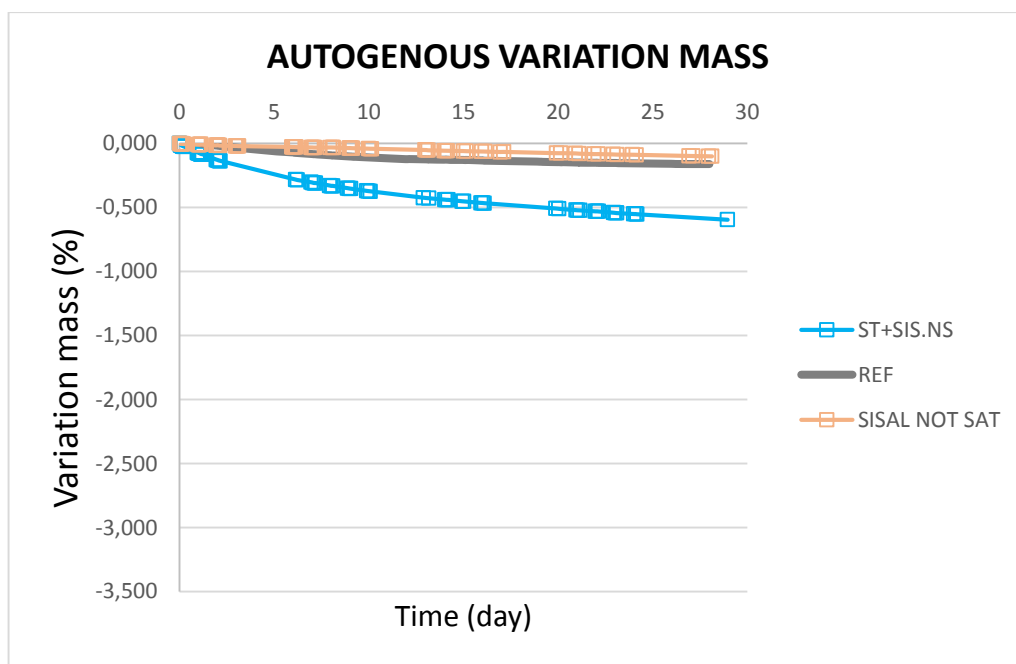


Figure 4.32- Gráfica de la pérdida de masa por la retracción autógena del hormigón. Reference, sisal no saturado, sisal no saturado con acero

En la figura 4.29 se muestra la deformación por la retracción total a lo largo de 28 días del sisal no saturado, el sisal no saturado combinado con el acero y la muestra de referencia, se observa que todos tienen un comportamiento muy similar. La deformación autógena de la muestra de referencia es muy parecida a la del sisal combinado con el acero, siendo menor cuando el sisal actúa solo (figura 4.30). Respecto a la variación total el sisal no saturado es 1,5% mayor que la referencia y el sisal no saturado combinado con las fibras de acero es un poco mayor, un 2% más de variación que la de referencia (figura 3.31). La variación autógena de masa es casi la misma para las tres muestras (figura 4.32).

4.6 Eucalipto

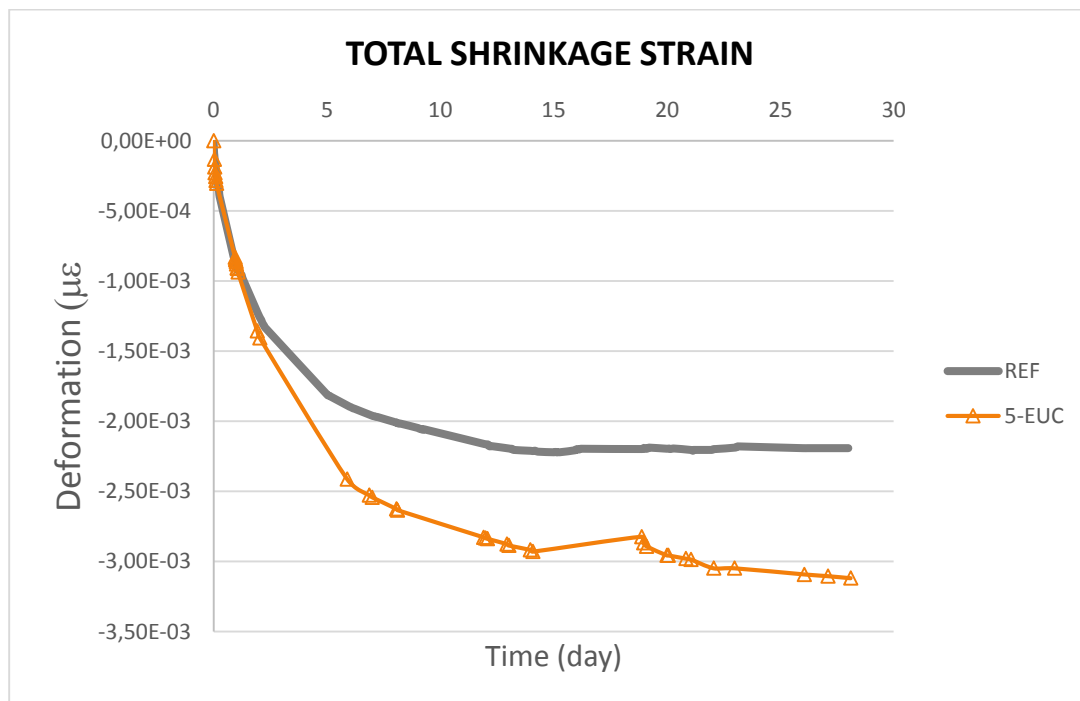


Figura 4.33- Gráfica de la deformación por la retracción total. Reference, eucalipto.

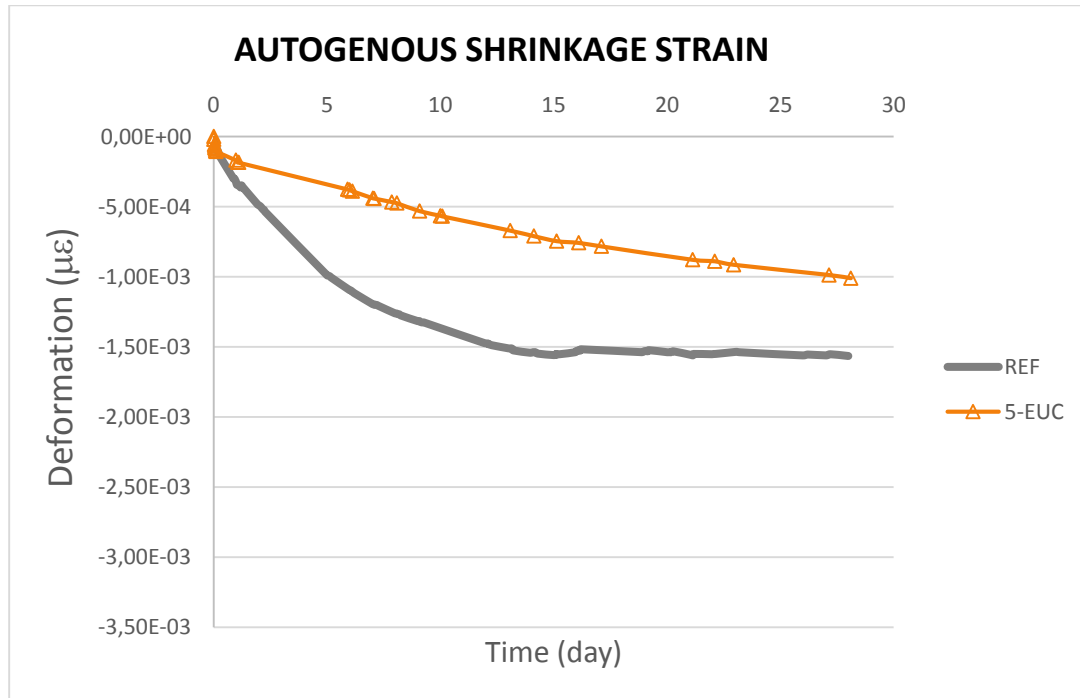


Figura 4.34- Gráfica de la deformación por la retracción autógena del hormigón. Reference, eucalipto.

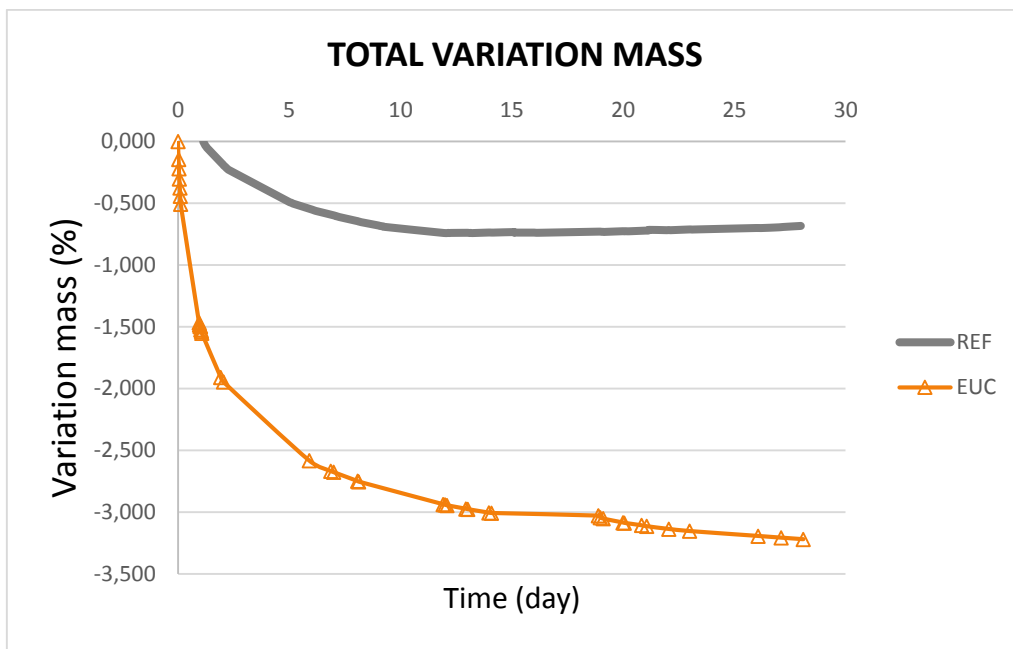


Figure 4.35- Gráfica de la variación de masa por la retracción total del hormigón. Reference, eucalipto.

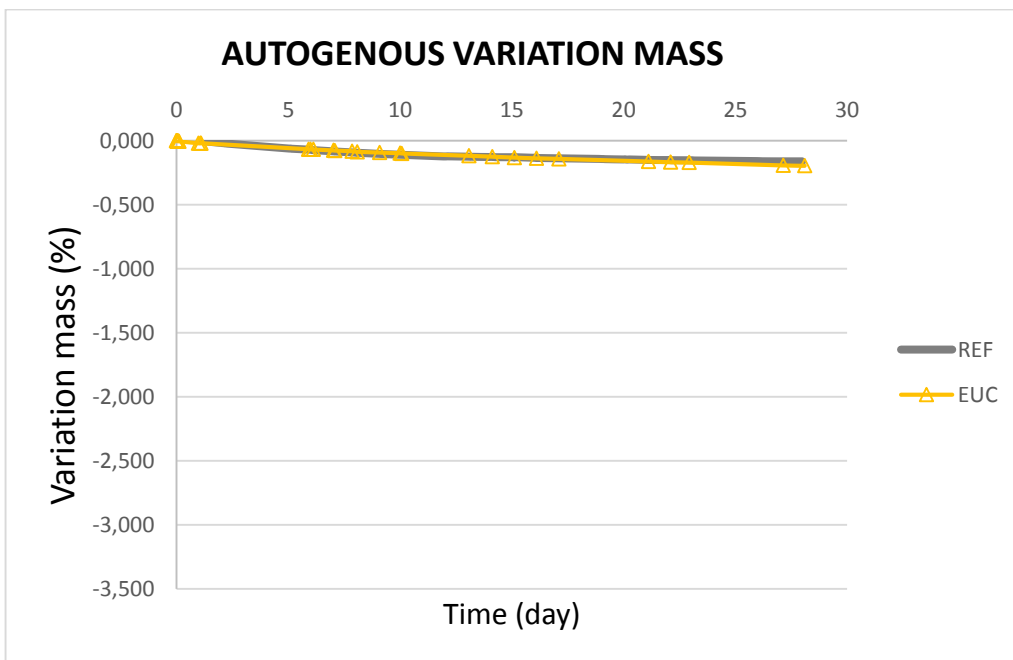


Figura 4.36- Gráfica de la pérdida de masa por la retracción autógena del hormigón. Reference, eucalipto.

En la figura 4.33 se compara la muestra de referencia con la que contiene las fibras de eucalipto, y se observa que la deformación por retracción total de es un mayor en la muestra de eucalipto. Sin embargo esta es menor que la de referencia cuando se analiza la retracción autógena (figura 4.34). Respecto a la variación de masa, cuando se analiza la retracción total en el caso del eucalipto se ve reducida un 2,5% respecto a la muestra de referencia (figura 4.35), sin embargo en la retracción autógena no sufren a penas variación ambas muestras (figura 4.36).

4.6.1 Eucalipto + acero/sisal

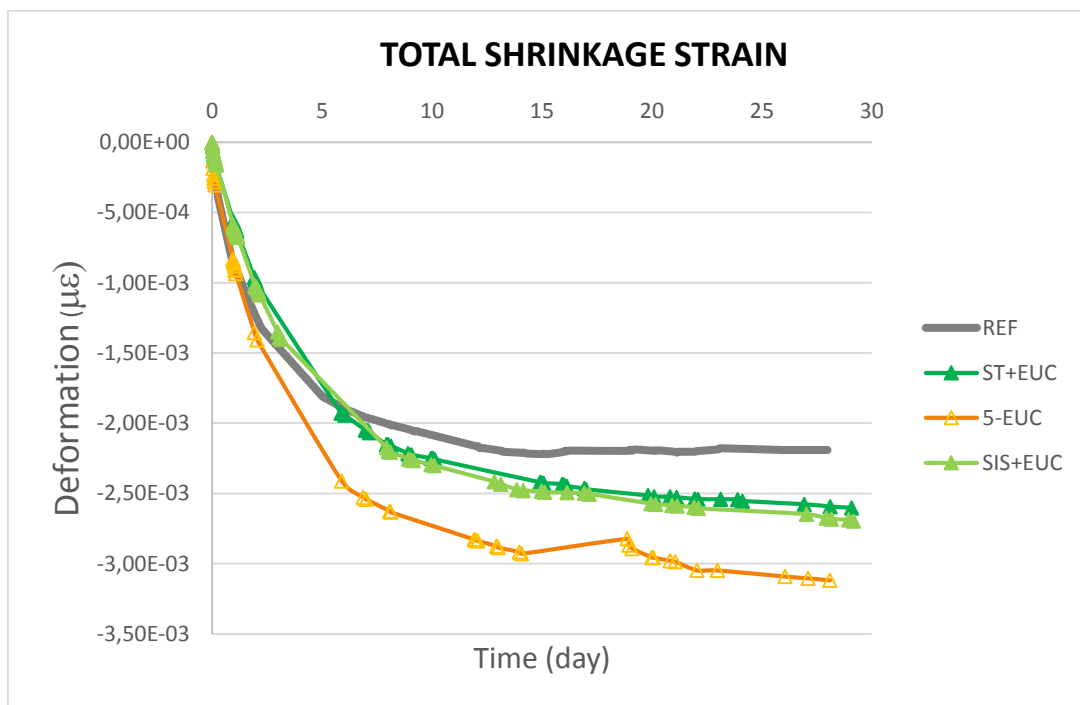


Figura 4.37- Gráfica de la deformación por la retracción total. Reference, eucalipto, eucalipto con acero, eucalipto con sisal.

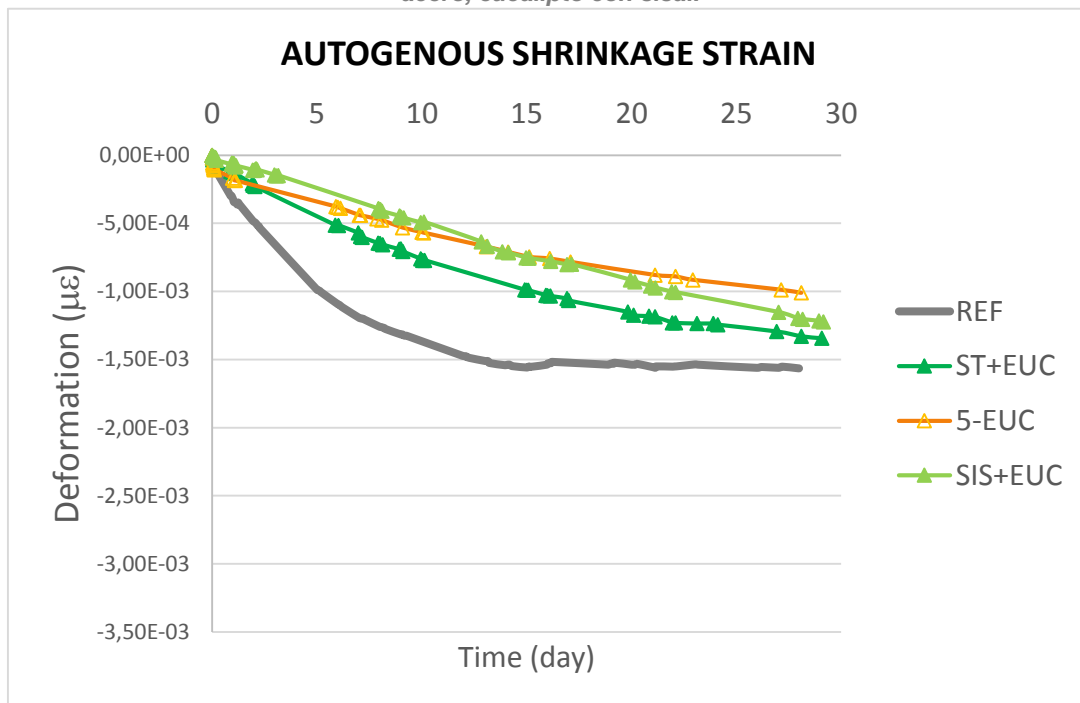


Figura 4.38- Gráfica de la deformación por la retracción autógena del hormigón. Reference, eucalipto, eucalipto con acero, eucalipto con sisal.

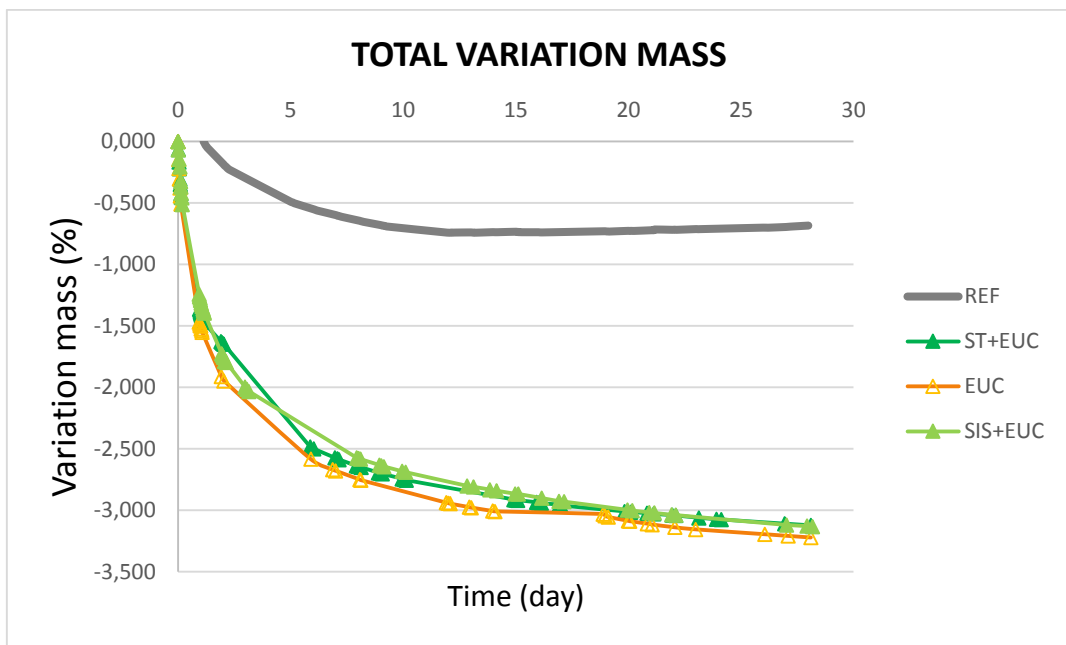


Figura 4.39- Gráfica de la variación de masa por la retracción total del hormigón. Reference, eucalipto, eucalipto con acero, eucalipto con sisal.

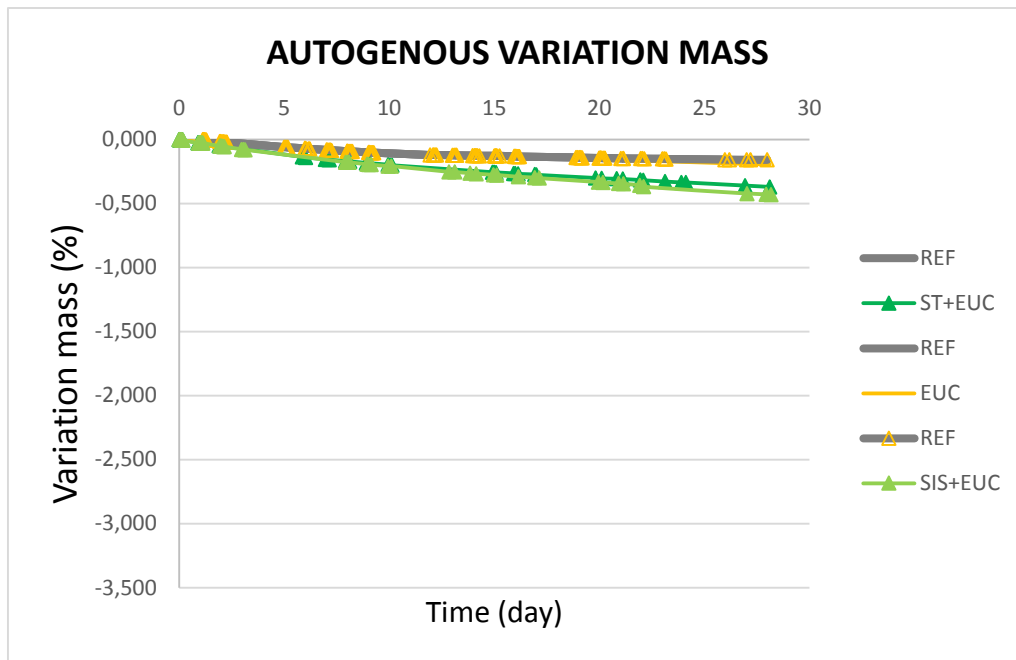


Figura 4.40- Gráfica de la pérdida de masa por la retracción autógena del hormigón. Reference, eucalipto, eucalipto con acero, eucalipto con sisal.

En la figura 4.37 se muestra la deformación por la retracción total del eucalipto, el eucalipto combinado con el acero, el eucalipto con el sisal y la muestra de referencia, se observa que todos tienen una deformación superior a la de referencia, cuando esta combinado con las fibras tiene un comportamiento muy similar y es un poco superior cuando el eucalipto actúa solo. La deformación autógena es muy parecida en las tres muestras con fibras e inferior a la de referencia (figura 4.38). Respecto a la variación total las tres muestras sufren una variación un 2,5% mayor que la de referencia (figura 4.39) La variación autógena de masa es casi la misma para las 4 muestras (figura 4.40).

4.7 Nanopulp

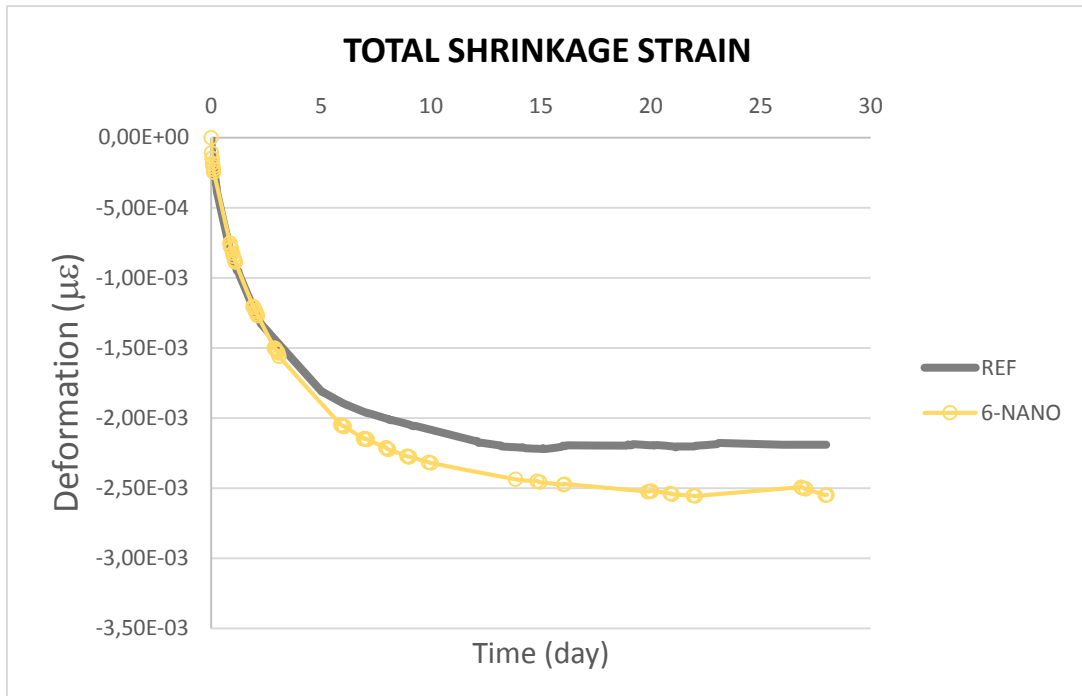


Figura 4.41- Gráfica de la deformación por la retracción total. Reference, nanopulp.

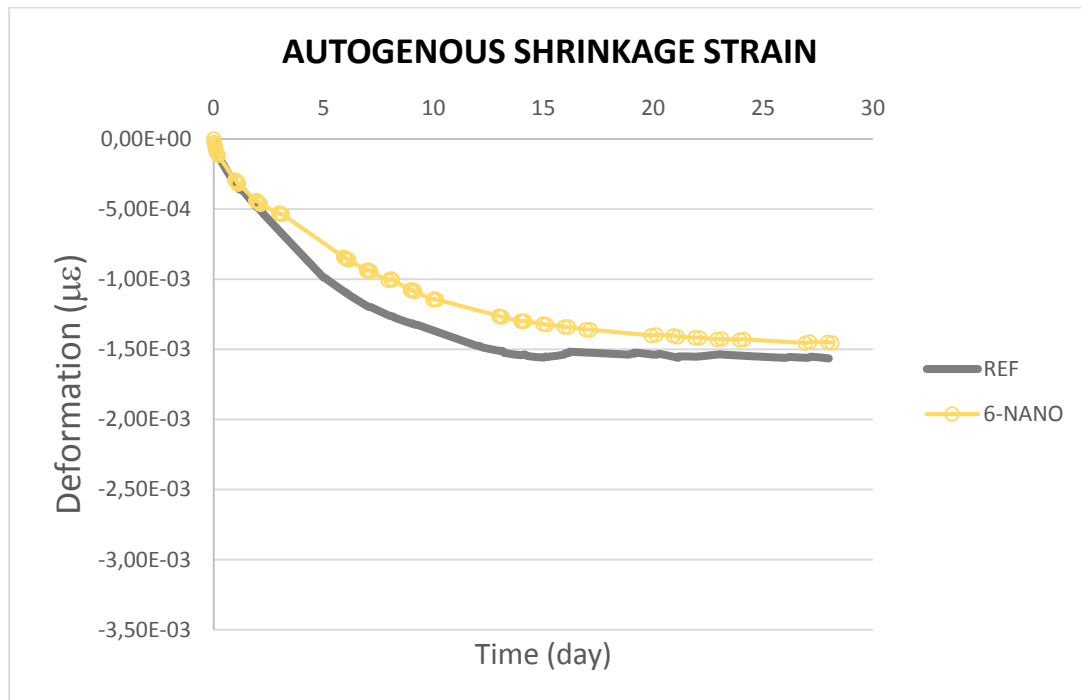


Figura 4.42- Gráfica de la deformación por la retracción autógena del hormigón. Reference, nanopulp.

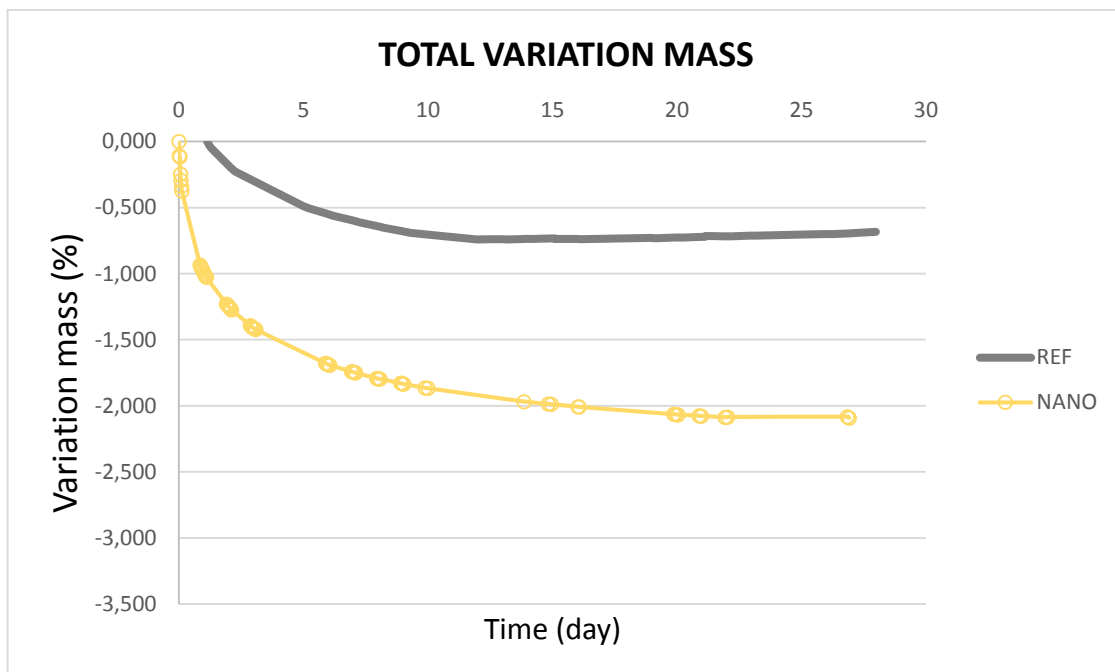


Figura 4.43- Gráfica de la variación de masa por la retracción total del hormigón. Reference, nanopulp.

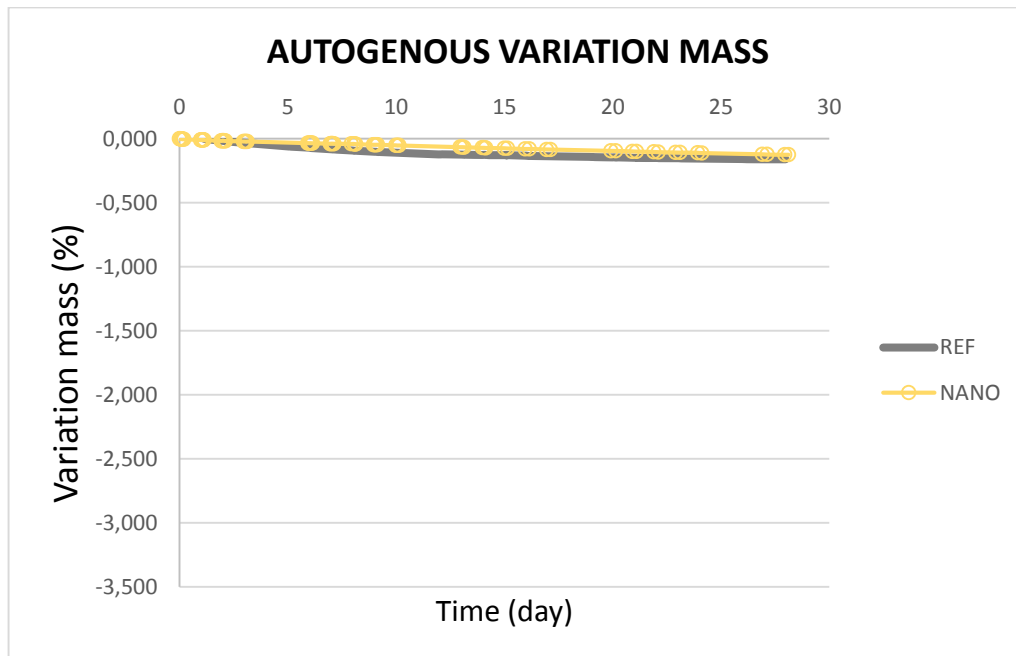


Figura 4.44- Gráfica de la pérdida de masa por la retracción autógena del hormigón. Reference, nanopulp.

En la figura 4.41 se compara la muestra de referencia con la que contiene las fibras de nanopulp, teniendo ambas un comportamiento muy similar en la deformación por retracción total. Sin embargo esta es menor que la de referencia cuando se analiza la retracción autógena (figura 4.42). Respecto a la variación de masa, cuando se analiza la retracción total en el caso del nanopulp se ve reducida un 1,5% respecto a la muestra de referencia (figura 4.43), sin embargo en la retracción autógena no sufren a penas variación ambas muestras (figura 4.44).

4.7.1 Nanopulp+ acero/sisal

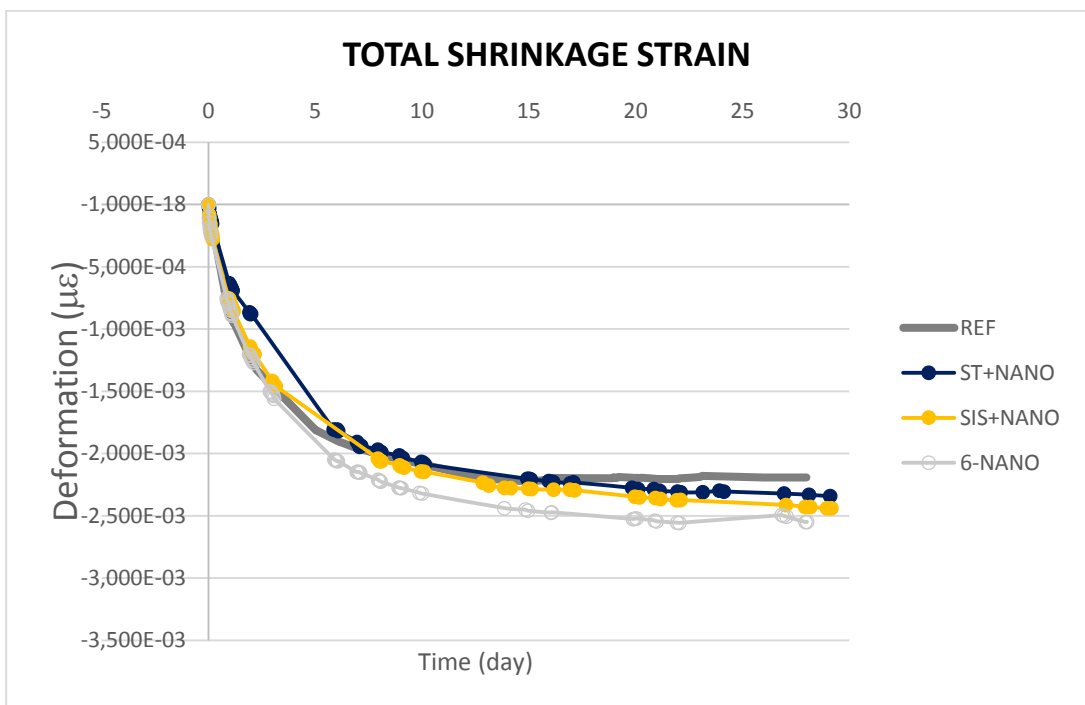


Figura 4.45- Gráfica de la deformación por la retracción autógena del hormigón. Reference, nanopulp, nanopulp con acero, nanopulp con sisal

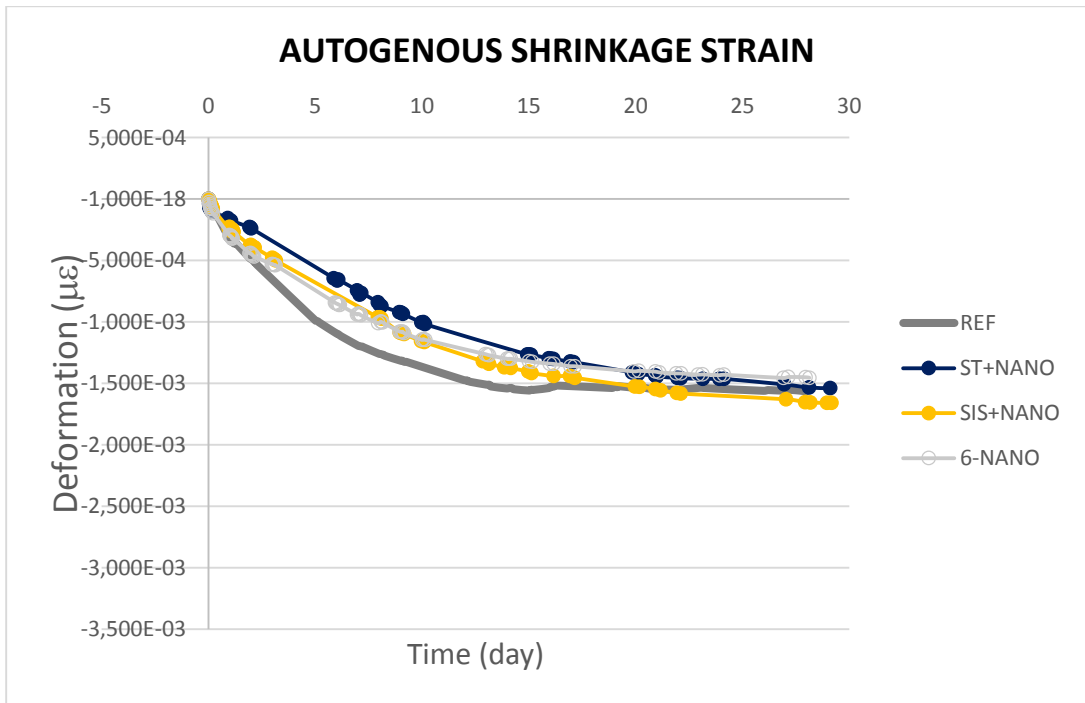


Figure 4.46- Gráfica de la deformación por la retracción autógena del hormigón. Reference, nanopulp, nanopulp con acero, nanopulp con sisal.

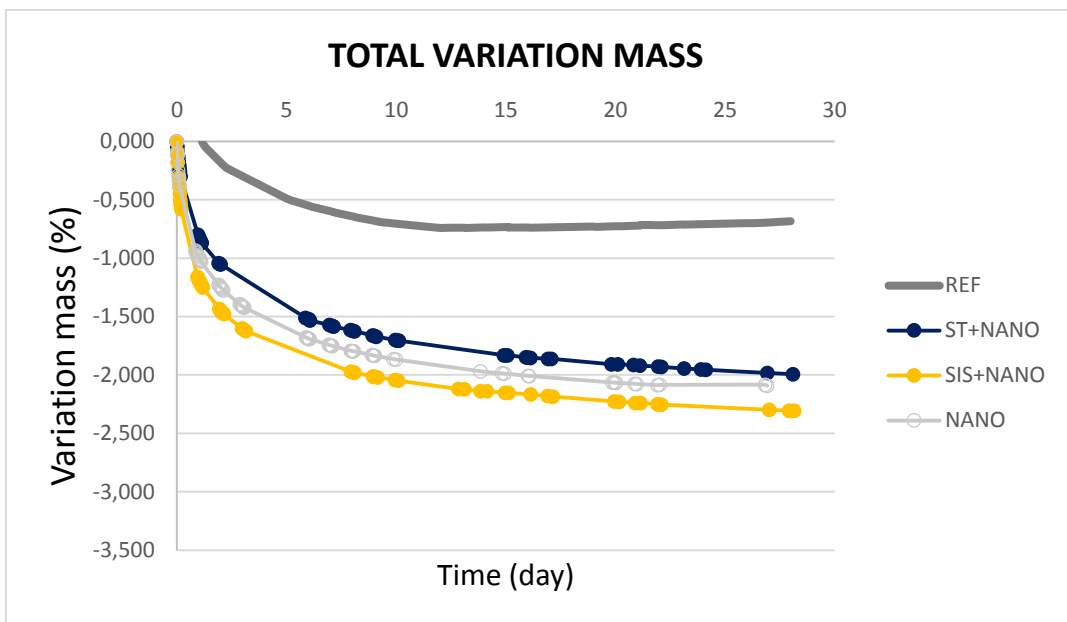


Figura 4.47- Gráfica de la variación de masa por la retracción total del hormigón. Reference, nanopulp, nanopulp con acero, nanopulp con sisal.

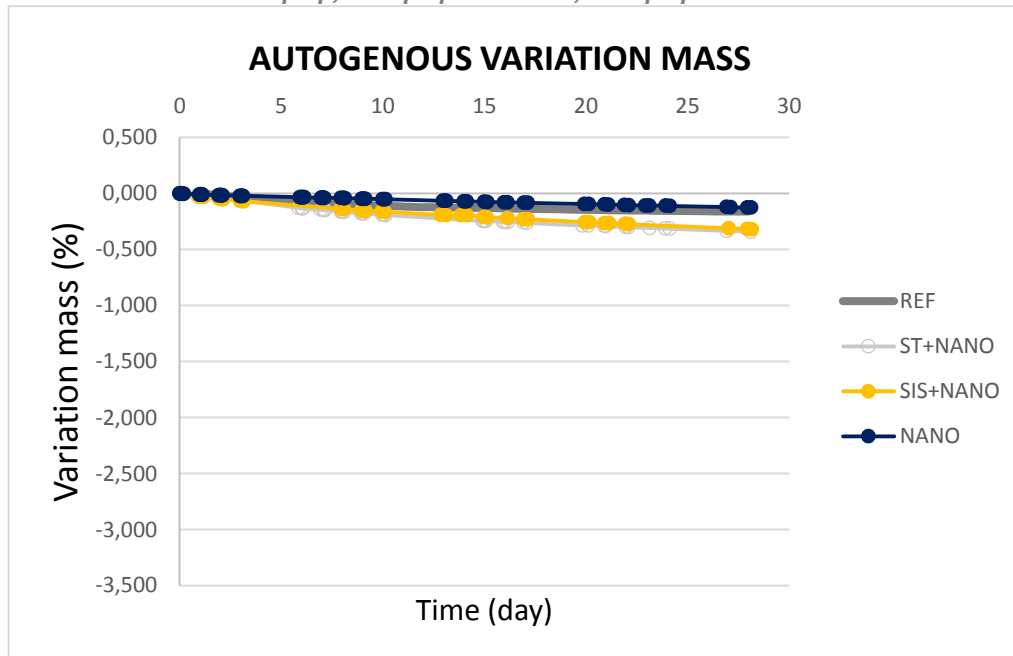


Figura 4.48- Gráfica de la pérdida de masa por la retracción autógena del hormigón. Reference, nanopulp, nanopulp con acero, nanopulp con sisal.

En la figura 4.45 se muestra la deformación por la retracción total a lo largo de 28 días del nanopulp, el nanopulp combinado con el acero, nanopulp con el sisal y la muestra de referencia, se observa que todos tienen un comportamiento muy similar y un poco superior a la muestra de referencia. La deformación autógena de la muestra de referencia es muy parecida a la de las otras tres muestras. (figura 4.46). Respecto a la variación total las tres muestras es tienen una variación aproximadamente del 1,5% mayor que el de referencia, siendo en poco mayor que el nanopulp solo cuando esta combinado con el sisal y un poco menor al nanopulp cuando está presente el acero (figura 4.47) La variación autógena de masa es casi la misma para las cuatro muestras (figura 4.48).

4.8 Nanopowder

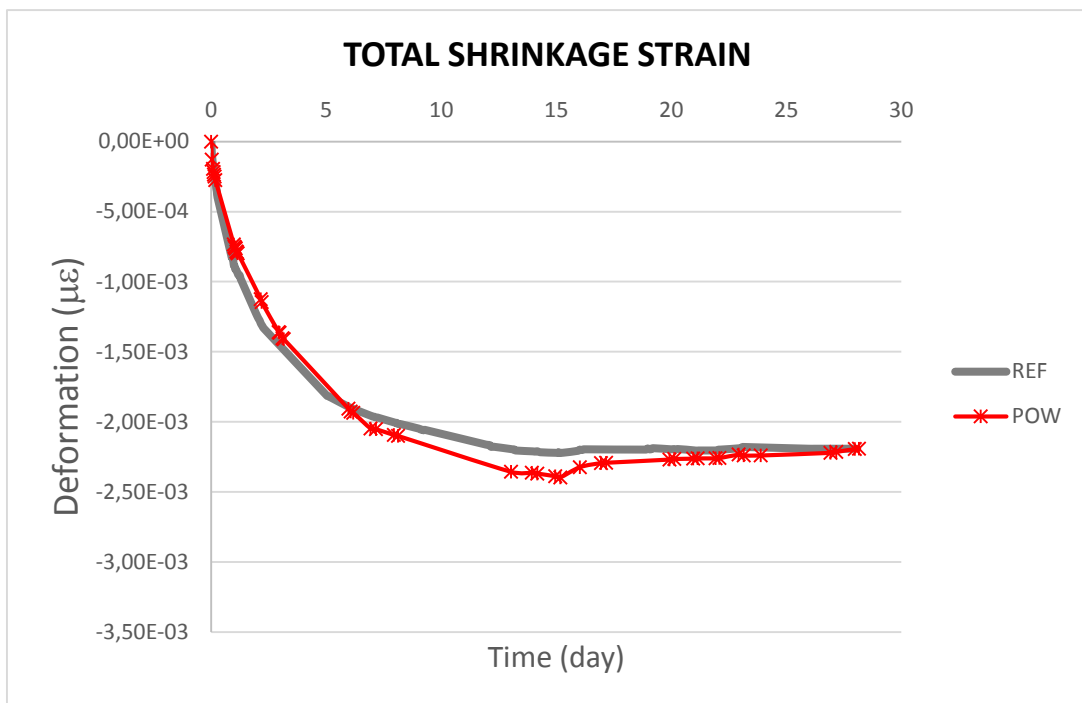


Figura 4.49- Gráfica de la deformación por la retracción total. Reference, nanopowder.

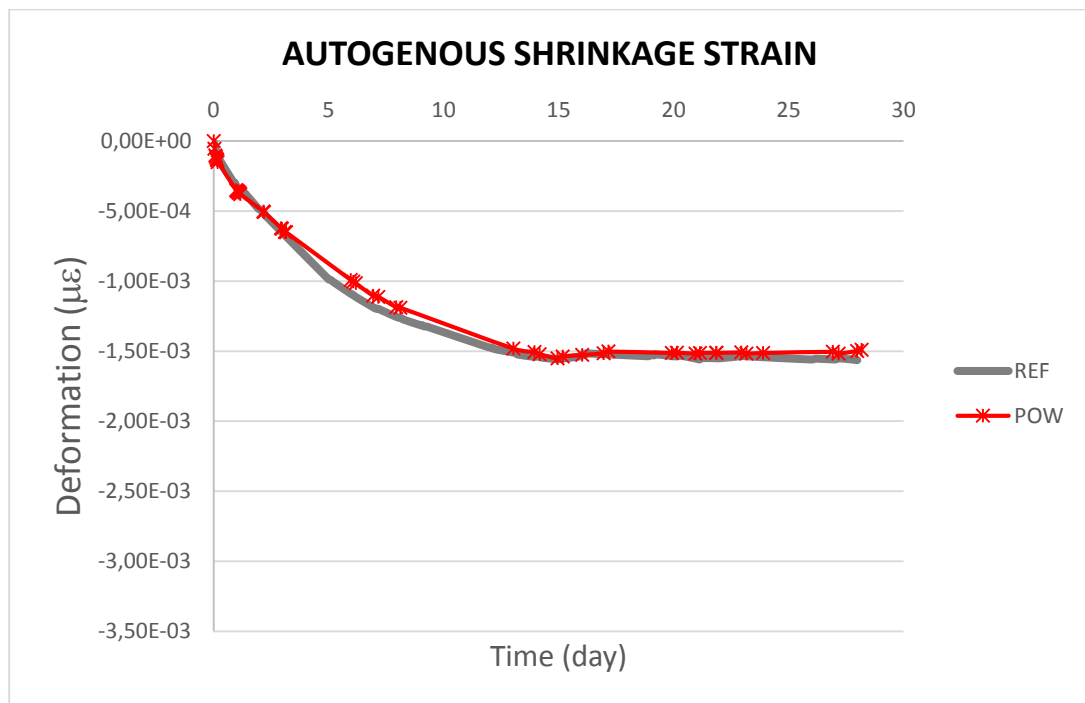


Figure 4.50- Gráfica de la deformación por la retracción autógena del hormigón. Reference, nanopowder.

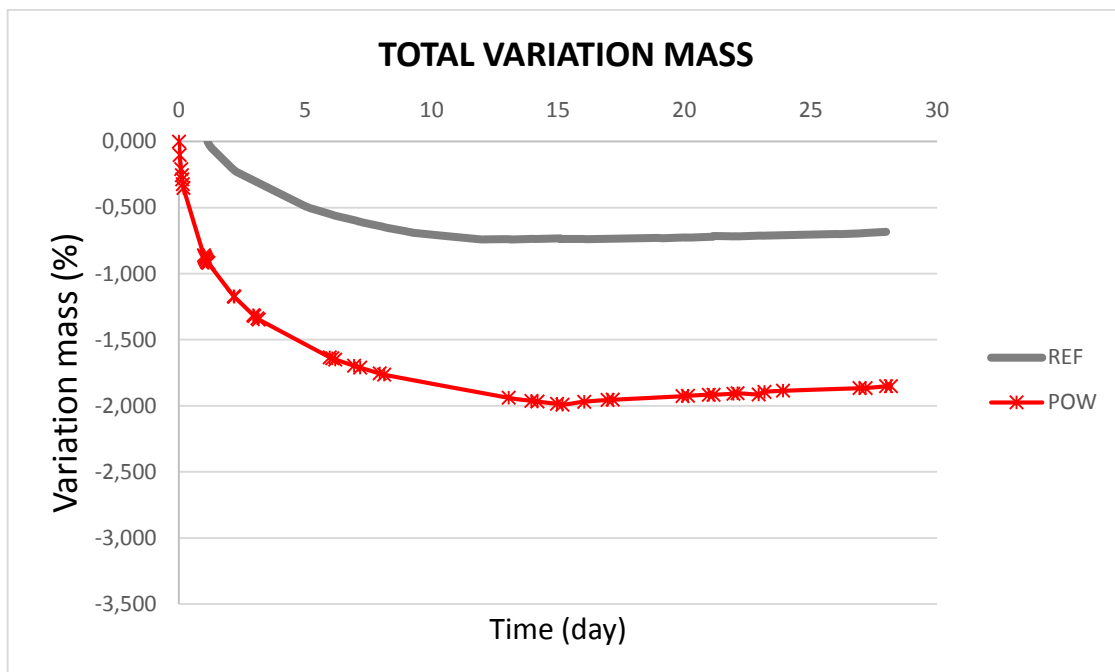


Figura 4.51- Gráfica de la variación de masa por la retracción total del hormigón. Reference, nanopowder.

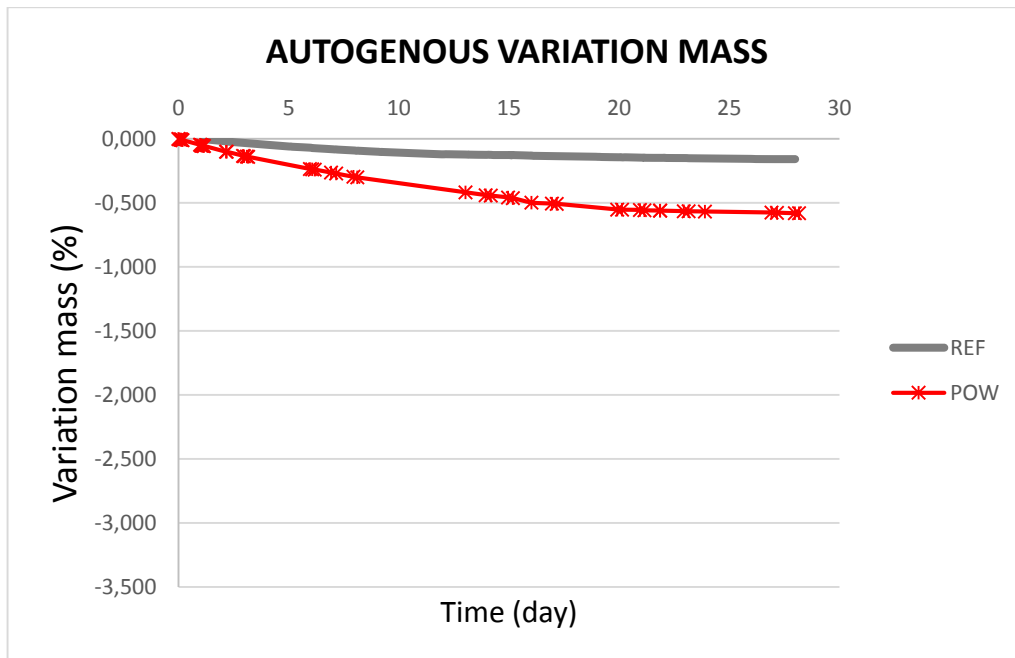


Figure 4.52- Gráfica de la pérdida de masa por la retracción autógena del hormigón. Reference, nanopowder.

En la figura 4.49 se compara la muestra de referencia con la que contiene las fibras de nanopowder, teniendo ambas un comportamiento muy similar tanto en la deformación por retracción total como en la de secado (figura 4.50). Respecto a la variación de masa, cuando se analiza la retracción total en el caso del nanopowder se ve reducida un 1% respecto a la muestra de referencia (figura 4.51), sin embargo en la retracción autógena no sufren a penas variación ambas muestras (Figura 4.52).

4.8.1 Nanopowder + acero/sisal

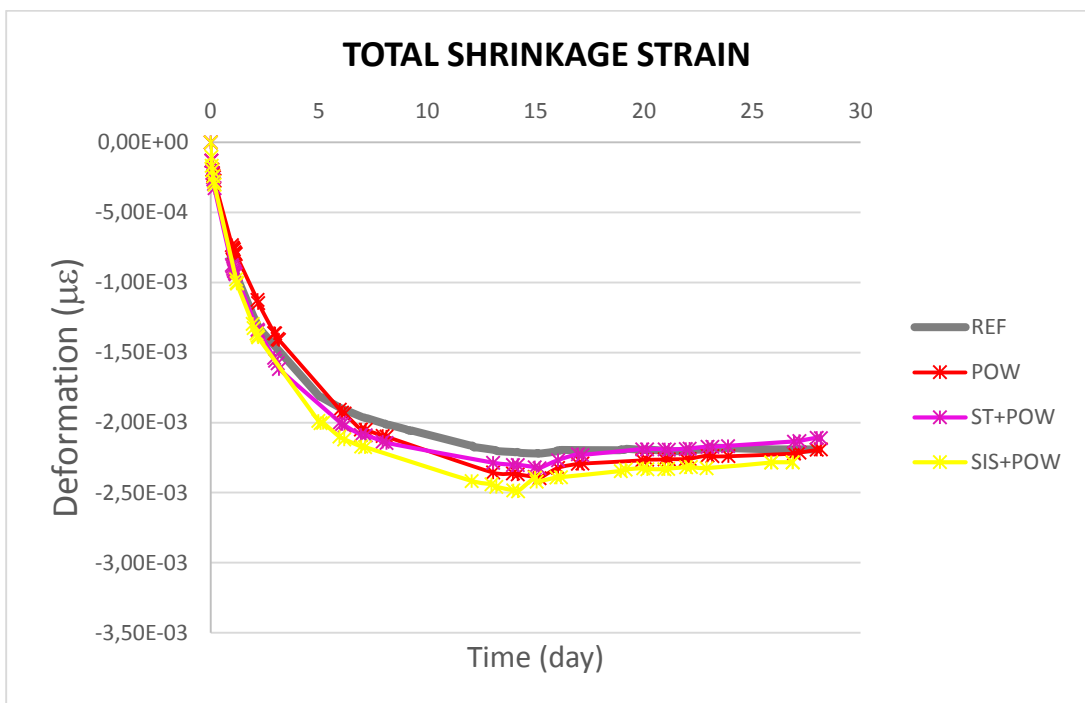


Figura 4.53- Gráfica de la deformación por la retracción total. Reference, nanopowder, nanopowder con acero, nanopowder con sisal.

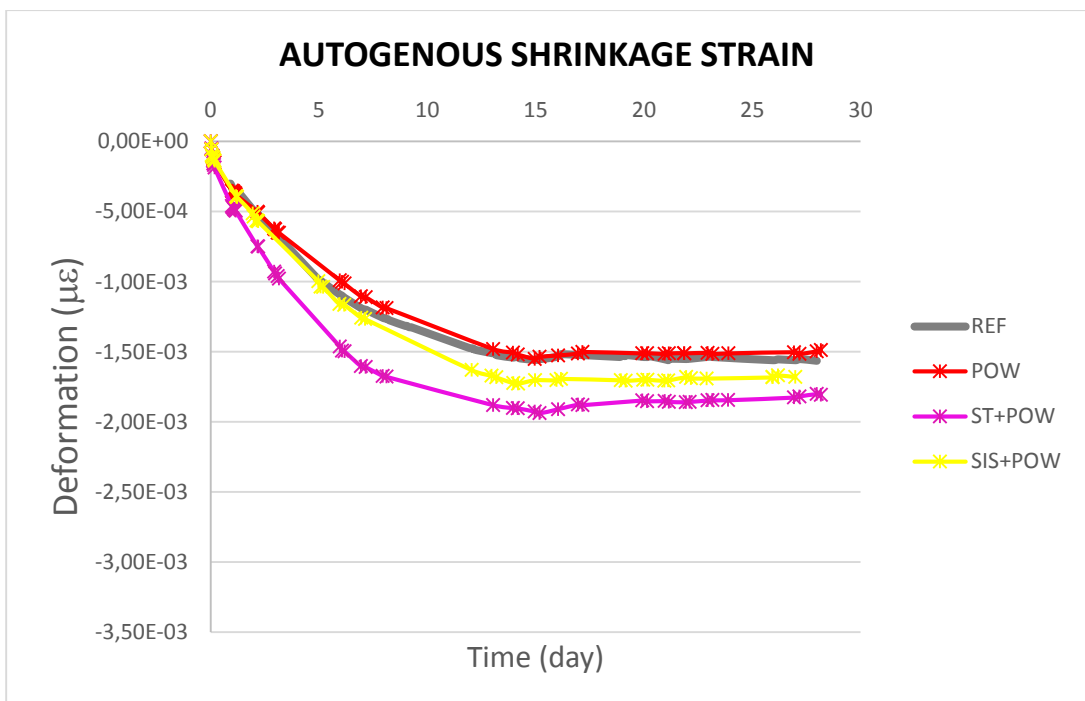


Figura 4.54- Gráfica de la deformación por la retracción autógena del hormigón. Reference, nanopowder, nanopowder con acero, nanopowder con sisal.

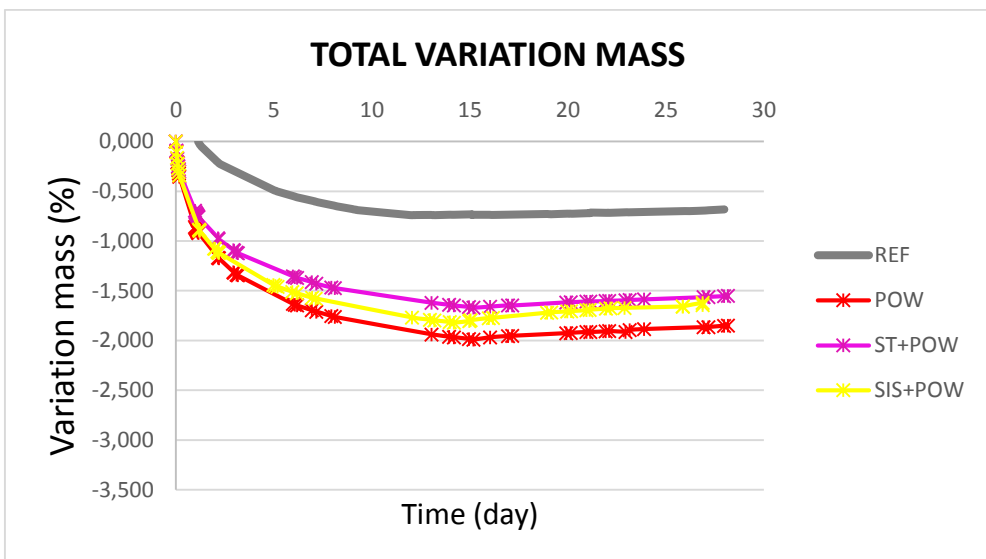


Figura 4.55- Gráfica de la variación de masa por la retracción total del hormigón. Reference, nanopowder, nanopowder con acero, nanopowder con sisal.

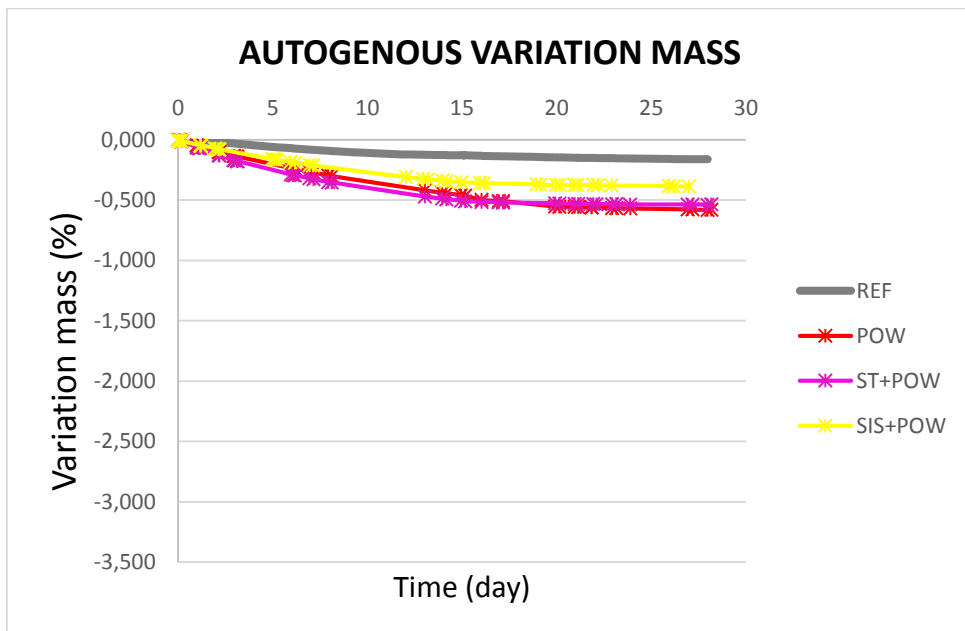


Figura 4.56- Gráfica de la pérdida de masa por la retracción autógena del hormigón. Reference, nanopowder, nanopowder con acero, nanopowder con sisal.

En la figura 4.53 se muestra la deformación por la retracción total a lo largo de 28 días del nanopowder, nanopowder combinado con acero, nanopowder con sisal y la muestra de referencia, se observa que todos tienen un comportamiento muy similar. La deformación autógena de la muestra de referencia es muy parecida a la del powder y esta aumenta cuando se combina con el sisal y aun es mayor cuando esta combinada con el sisal (figura 4.54). Respecto a la variación total las tres muestras es tienen una variación aproximadamente del 1% mayor que el de referencia, siendo en poco menor que el nanopowder solo cuando esta combinado con el sisal o con el acero (figura 4.47). La variación autógena de masa es casi la misma para las tres muestras, casi un 0,5% mayor que la variacion de referencia (figura 4.56).

4.9 PRUEBAS MECÁNICAS

Como se ha explicado en el capítulo anterior, tras la realización de la campaña de retracción, se han sometido estas probetas a las pruebas mecánicas. Primero se han roto a flexión y posteriormente a compresión. A continuación se muestran los valores obtenidos de las pruebas mecánicas:

		BENDING (KG)	COMPRESSION(KG)
REF	DRY	-	-
	AUTO	-	-
STEEL 1,28	DRY	22,73	123,66
	AUTO	22,32	142,35
STEEL 0,64	DRY	14,10	119,90
	AUTO	14,96	148,63
SISAL SAT	DRY	13,2	91,63
	AUTO	12,22	115,28
SISAL NOT SAT	DRY	14,71	99,6
	AUTO	14,06	109,81
EUC	DRY	14,14	88,06
	AUTO	14,39	101,13
NANO	DRY	14,22	91,73
	AUTO	13,65	117,88
POWDER	DRY	10,91	81,75
	AUTO	11,28	90,48
STEEL+ SISAL SAT	DRY	11,83	106,88
	AUTO	14,78	138,37
STEEL + SISAL NON SAT	DRY	14,41	103,12
	AUTO	15,33	129,78
STEEL + NANO	DRY	14,65	108,95
	AUTO	15,39	137,68
STEEL + EUC	DRY	12,26	82,97
	AUTO	15,08	123,73
STEEL + POWDER	DRY	12,45	95,84
	AUTO	13,06	92,93
SISAL + NANO	DRY	13,18	82,44
	AUTO	16,19	108,95
SISAL + EUC	DRY	14,53	84,28
	AUTO	16,00	111,24
SISAL + POWDER	DRY	12,75	80,75
	AUTO	12,14	95,84

Tabla 4.3- Mechanical test results

Como se preveía se tienen valores más elevados en las probetas en las que se medía la retracción autógena, ya que al no tener intercambio de humedad con el exterior han mantenido mayor cantidad de agua en su interior que permitía una mayor hidratación del cemento y por tanto una mejora de las prestaciones.

Mechanical tests

■ BENDING (KG) - - ■ COMPRESSION(KG) --

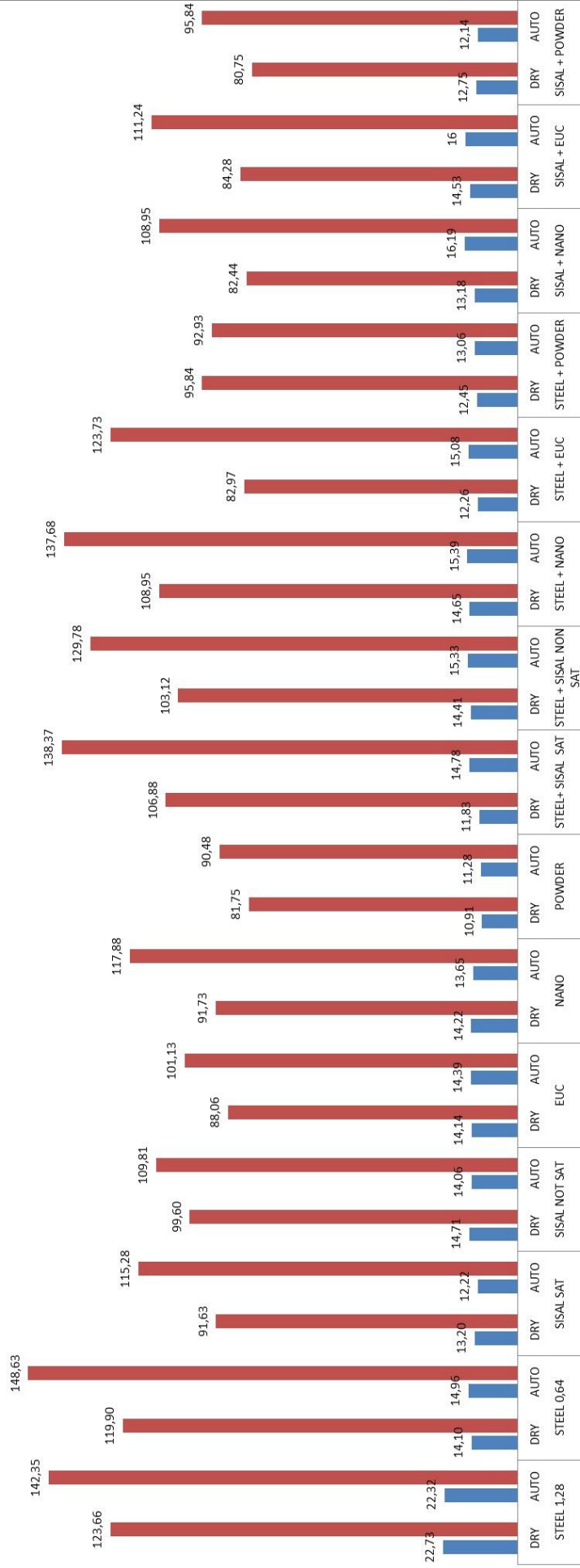


Figure 4.56- Grafico de las pruebas mecánicas

**5. CONCLUSIONES FINALES Y FUTURAS LINEAS DE
INVESTIGACIÓN.**

5. CONCLUSIONES FINALES Y FUTURAS LINEAS DE INVESTIGACIÓN.

Para la retracción se ha evaluado la extensión del acortamiento axial y se ha puesto en relación a la dispersión entre la humedad interna y externa, ya sea en situaciones en las que las probetas se encuentran en contacto con el ambiente o aquellas que están envueltas en papel de aluminio para impedir el intercambio con el exterior. De manera que han sido estudiadas la retracción autógena y la total.

5.1 CONCLUSIONES DE LA CAMPAÑA DE RETRACCIÓN AUTÓGENA.

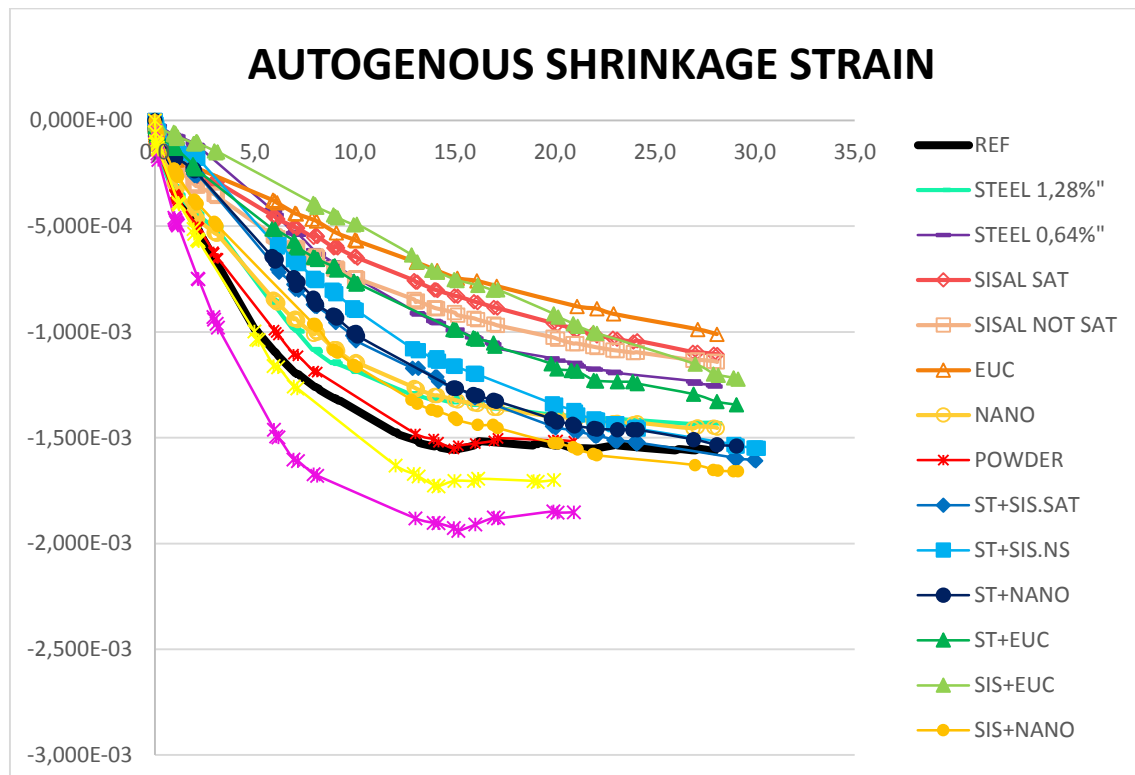


Figura 5.1- Gráfica de la deformación por la retracción autógena del hormigón

Como se puede observar que las fibras naturales actúan de conector entre el interior de la matriz cementicia y el ambiente externo, creando así una red porosa dentro de la matriz.

Excepto las muestras en las que está presente el Nanopowder, podemos decir que la contracción autógena es inferior en las muestras con fibras, ya sean naturales o de acero, que en la muestra de referencia que no tiene ninguna fibra

en su interior. Por lo que se podría decir que las fibras tienen un impacto positivo en la reducción de la retracción autógena del hormigón. El agua absorbida por las fibras se transfiere a la matriz reduciendo así la retracción autógena. No sucede lo mismo en el caso del Nanopowder ya que debido a su composición química provoca una reacción en el hormigón de forma que se absorbe más agua siendo mayor cuando esta combinado con el acero.

5.2 CONCLUSIONES DE LA CAMPAÑA DE RETRACCIÓN TOTAL.

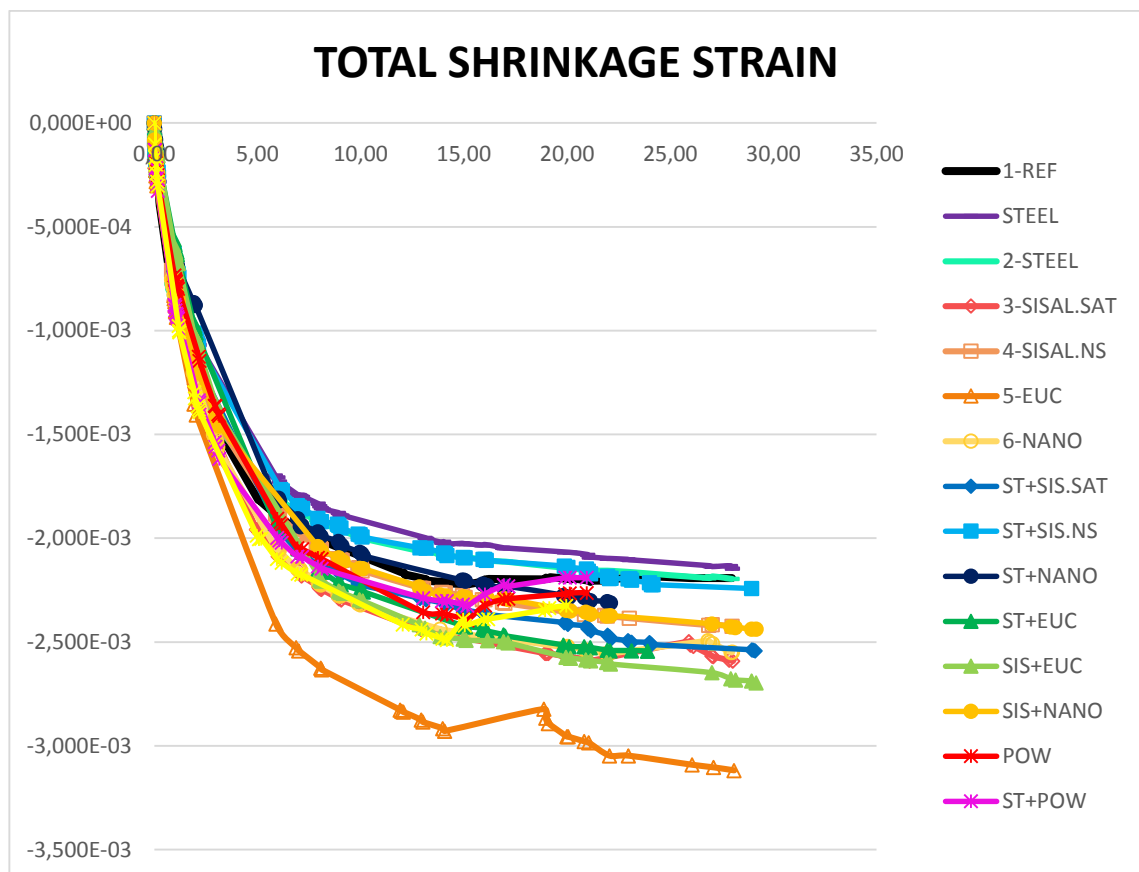


Figura 5.2- Gráfica de la deformación por la retracción total del hormigón

En el caso de la retracción total se observa que las muestras en las que solo se encuentran las fibras de acero tienen una retracción inferior que la muestra de referencia. Mientras que la retracción es mayor respecto a la muestra de referencia en los demás casos, en los que están presente las fibras naturales y las fibras de acero combinadas con fibras naturales. Se puede decir que las fibras tienen un efecto inverso en la retracción total respecto a la retracción autógena. Esto se produce por el agua contenida en las fibras que provoca un flujo hacia el exterior.

5.3 CONCLUSIONES DE LAS PRUEBAS MECÁNICAS.

Los resultados obtenidos de las pruebas mecánicas, tanto de flexión como de compresión muestran altos valores de resistencias. Siendo el mínimo valor a compresión igual a 83MPa con las fibras de eucalipto en la que se estudia la retracción total, siendo teniendo una resistencia a flexión de unos 14MPa. La máxima resistencia a compresión se produce con el acero 0,64 cuando se estudia la retracción autógena teniendo un valor de 148 MPa este material tiene una resistencia a flexión de 22 MPa. En el ensayo de resistencia a compresión se nota una diferencia d valores entre las probetas en las que se ha estudiado la retracción autógena y la retracción total. Esto mismo no ocurre en la resistencia a flexión.

5.4 FUTURAS LÍNEAS DE INVESTIGACIÓN

La investigación experimental que se presenta en esta tesis forma parte de un proyecto más amplio, en el que se están llevando a cabo otros estudios y se han planteado otros para ser implementado en un futuro. El uso de fibras naturales y de acero no sólo se ha estudiado en el uso de la contracción hormigones de alta resistencia, sino que se están realizando una gran cantidad de investigaciones para el estudio de múltiples procesos de auto-sanación. La reducción de las lagunas en el conocimiento de los materiales no solo puede llevar a un mejor uso de los recursos, sino que también a una mejora en la producción de productos. Se espera que se crearán nuevas soluciones "verdes", o al menos más verde que las que se han utilizado en el área de la ingeniería estructural.

5.5 APLICACIÓN EN ELEMENTOS LAMINARES PARA CASAS PREFABRICADAS

Las estructuras laminares son superficies delgadas curvas de pequeño espesor, comparado con las dimensiones globales de la estructura, que resisten, por su forma, las cargas de peso propio y las cargas exteriores mediante esfuerzos normales de compresión y/o tracción y tangenciales, uniformes en el espesor de la propia superficie. Su eficiencia se debe a su curvatura y al alabeo, por lo que puede mejorarse su comportamiento resistente con gran economía de sección, material y peso. Son las más eficientes desde el punto de vista estructural.

Se han realizado algunos estudios sobre el comportamiento de láminas de pequeño espesor construidas con hormigón reforzado con fibras de acero que han sido aplicados en diversas estructuras como puede ser la cubierta del Restaurante Submarino en L'Oceanografic de Valencia.

Estos elementos normalmente son construidos *in situ* pero también pueden estar prefabricados. La prefabricación de elementos de hormigón además de la alta calidad y precisión de los elementos, el sector de la construcción se beneficia de la costo-eficiencia, constancia y estabilidad que brindan los procesos de producción y la independencia meteorológica de las plantas de prefabricados.

Es por ello que en la actualidad muchos elementos son construidos con procesos de prefabricación. Desde hacía casi 30 años se ha ido extendiendo desde Norte América al resto del mundo esta tecnología también en la construcción de casas.

La necesidad de buscar soluciones que mejoren medioambientalmente la compatibilidad y sostenibilidad en la producción del hormigón ha hecho que se realicen diversos estudios en los que se relaciona el uso de materiales naturales o reciclados con materiales tradicionales usados en el hormigón.

La combinación de las diversas técnicas de prefabricación con estudios de retracción de los hormigones fibroreforzados de alta resistencia, en este caso concreto con la acción de las fibras naturales en la retracción del hormigón, nos permitiría obtener elementos mucho más eficientes.

BIBLIOGRAFIA

BIBLIOGRAFÍA

- BENITO SAORIN, FJ. (2014). *Propiedades mecánicas y retracción de hormigones autocompactantes fabricados con escorias siderúrgicas de alto horno.* Tesis doctoral. Valencia: Universidad Politécnica de Valencia.
- ROIG FLORES, M. (2013). *Caracterización del efecto de un aditivo cristalino en la capacidad de autosanación de un hormigón. Aplicación práctica en dos intervenciones en el auditorio de Cartagena (Murcia).* Proyecto final de carrera. . Valencia: Universidad Politécnica de Valencia.
- RODRIGUEZ LOZANO, J Y SEGURA VICENT, E. (2013). Análisis comparativo del efecto de los distintos tipos de fibras en el comportamiento post fisura del hormigón reforzado con fibras. Trabajo fin de grado. Valencia: Universidad Politécnica de Valencia.
- CASTAÑO TABARES JO. (2009). *Fluencia y retracción de hormigón de áridos reciclados. Influencia del contenido de áridos reciclados en las deformaciones diferidas del hormigón estructural.* Proyecto final de Máster. Valencia: Universidad Politécnica de Valencia.
- ARANGO CAMPO, SE. (2010). *Fluencia a flexión del hormigón reforzado con fibras de acero (SFRC) en estado fisurado.* Tesis doctoral. Valencia: Universidad Politécnica de Valencia.
- MARTINEZ PONCE,D. (2007). *Hormigones de altas prestaciones.* Proyecto fin de carrera. Cartagena: Universidad Politécnica de Cartagena.
- DELLA TORRE, M. (2014). *Efficacia delle fibre naturali sulla capacità di autoriparazione di compositi a matrice cementizia.* Tesi di Laurea. Milano: Università Politecnica di Milano.
- SANCHEZ AREVALO,G. (2014). *Self-healing in high performance fiber reinforced cementitious composites.* Master thesis. Milano: Università Politecnica di Milano.
- BARROS J.A.O, ETSEG , FERRARA L., FOLINO P.C , KOENDERS E.A.B., TOLEDO FILHO E. MATINELLI, (2014). “*The EnCoRe project: An international network for sustainable concrete*” en Routes et transports (issn: 0319-3780), vol 43, fascicolo 2, p 57-61.
- GRAM.H. E. (1983) – “*Durability of natural fibers in concrete*”, Swedish Cement and Concrete Research Institute, Research Fo. 1:83, Stockholm ,pp. 255.

ARSENE M-A., SAVASTANO H Jr., ALLAMEH.S. M., GHAVAMI K., SOBOYEJO W. (2000) – “*Cementitious Composites Reinforced with Vegetable Fibers*”, Proceedings of the International conference on sustainable construction into next millennium: environmentally friendly and innovative cement based materials, Joao Pessoa, Brazil

ZHU Y., YANG Y., YAO Y. (2012) -“*Use of slag to improve mechanical properties of engineered cementitious composites (ECCs) with high volume of fly ash*”, Construction and Building Materials, Vol. 36, pp. 1076-1081.

NAAMAN A. E. (2008) – “*High Performance Fiber Reinforced Cement Composites*” High- Performance Construction Materials: Science and Applications, Caijun Shi Y L Mo editors, Engineering Materials for Technological Needs, Vol. 1

GALBIATI A., GRANZINI L., MACCHIA C. (1996)– “*I Calcestruzzi Fibrorinforzati - Produzione e applicazione*”, Maggioli Editore, Rimini .

ARSENE M-A., SAVASTANO H JR., ALLAMEH S. M., GHAVAMI K., SOBOYEJO W. (2000)– “*Cementitious Composites Reinforced with Vegetable Fibers*”, Proceedings of the International conference on sustainable construction into next millennium: environmentally friendly and innovative cement based materials, Joao Pessoa, Brazil

MOHR B. J., EL-ASHKAR N.H., KURTIS K.E. (2005)– “*Fiber-Cement Composites for housing construction: State-of-Art Review*”, Cement and Concrete Research , Vol. 27, Issue no. 4, pp. 435-448

CANOVAS M.F, SELVA N.H, KAWICHE. G.M,(1992) "New economical solutions for improvement of durability of Portland cement mortars reinforced with sisal fibres," Materials and Structures, vol. 25, pp. 417-422.

FERRARA L., OZYURT N., DI PRISMO M. (2011), “*High mechanical performance of fibre reinforced cementitious composites: the role of ‘casting-flow induced’ fibre orientation*”, Materials and Structures, Vol. 44, pp.109-128.

HAISTE M., FERRARA L. (2012) “*Rehological Characterization of high performance fiber reinforced cementitious composites*”, Proceedings of 8th RILEM International Symposium on Fibre Reinforced Concrete: challenges and opportunities, Guimarães, Portugal.

ANEXO 1

ANEXO 1

A continuación muestran los cálculos para la deformación por la retracción total del hormigón.

STEEL 1,28%	DRY
-------------	-----

Data	Time (min)	Measure			Dim. difference (DL)			Deform			Average
		FREE-1	FREE-2	FREE-3	FREE-1	FREE-2	FREE-3	FREE-1	FREE-2	FREE-3	Deform
		(mm)	(mm)	(mm)	(mm)	(mm)	(mm)	(ε)	(ε)	(ε)	(με)
1-4-14 14:10	0,00	-0,552	0,001	-0,145	0	0	0	0,0E+00	0,0E+00	0,0E+00	0,000E+00
1-4-14 14:40	0,02	-0,568	-0,014	-0,16	-0,016	-0,015	-0,015	-1,0E-04	-9,4E-05	-9,4E-05	-9,583E-05
1-4-14 15:10	0,04	-0,577	-0,021	-0,17	-0,025	-0,022	-0,025	-1,6E-04	-1,4E-04	-1,6E-04	-1,500E-04
1-4-14 15:40	0,06	-0,583	-0,025	-0,176	-0,031	-0,026	-0,031	-1,9E-04	-1,6E-04	-1,9E-04	-1,833E-04
1-4-14 16:10	0,08	-0,59	-0,029	-0,183	-0,038	-0,03	-0,038	-2,4E-04	-1,9E-04	-2,4E-04	-2,208E-04
1-4-14 16:25	0,09	-0,592	-0,03	-0,189	-0,04	-0,031	-0,044	-2,5E-04	-1,9E-04	-2,8E-04	-2,396E-04
1-4-14 16:50	0,11	-0,594	-0,033	-0,193	-0,042	-0,034	-0,048	-2,6E-04	-2,1E-04	-3,0E-04	-2,583E-04
2-4-14 10:50	0,86	-0,676	-0,114	-0,277	-0,124	-0,115	-0,132	-7,8E-04	-7,2E-04	-8,3E-04	-7,729E-04
2-4-14 11:20	0,88	-0,678	-0,116	-0,278	-0,126	-0,117	-0,133	-7,9E-04	-7,3E-04	-8,3E-04	-7,833E-04
2-4-14 11:50	0,90	-0,68	-0,118	-0,28	-0,128	-0,119	-0,135	-8,0E-04	-7,4E-04	-8,4E-04	-7,958E-04
2-4-14 12:20	0,92	-0,681	-0,119	-0,281	-0,129	-0,12	-0,136	-8,1E-04	-7,5E-04	-8,5E-04	-8,021E-04
2-4-14 12:50	0,94	-0,682	-0,12	-0,282	-0,13	-0,121	-0,137	-8,1E-04	-7,6E-04	-8,6E-04	-8,083E-04
2-4-14 13:35	0,98	-0,686	-0,123	-0,285	-0,134	-0,124	-0,14	-8,4E-04	-7,8E-04	-8,8E-04	-8,292E-04
2-4-14 14:00	0,99	-0,688	-0,124	-0,287	-0,136	-0,125	-0,142	-8,5E-04	-7,8E-04	-8,9E-04	-8,396E-04
2-4-14 14:30	1,01	-0,688	-0,125	-0,287	-0,136	-0,126	-0,142	-8,5E-04	-7,9E-04	-8,9E-04	-8,417E-04
2-4-14 15:00	1,03	-0,69	-0,126	-0,289	-0,138	-0,127	-0,144	-8,6E-04	-7,9E-04	-9,0E-04	-8,521E-04
2-4-14 15:30	1,06	-0,691	-0,127	-0,29	-0,139	-0,128	-0,145	-8,7E-04	-8,0E-04	-9,1E-04	-8,583E-04
2-4-14 16:10	1,08	-0,694	-0,13	-0,293	-0,142	-0,131	-0,148	-8,9E-04	-8,2E-04	-9,3E-04	-8,771E-04
2-4-14 16:40	1,10	-0,694	-0,131	-0,293	-0,142	-0,132	-0,148	-8,9E-04	-8,3E-04	-9,3E-04	-8,792E-04
3-4-14 11:30	1,89	-0,74	-0,178	-0,34	-0,188	-0,179	-0,195	-1,2E-03	-1,1E-03	-1,2E-03	-1,171E-03
3-4-14 12:00	1,91	-0,74	-0,178	-0,34	-0,188	-0,179	-0,195	-1,2E-03	-1,1E-03	-1,2E-03	-1,171E-03
3-4-14 13:00	1,95	-0,743	-0,182	-0,343	-0,191	-0,183	-0,198	-1,2E-03	-1,1E-03	-1,2E-03	-1,192E-03
3-4-14 14:00	1,99	-0,745	-0,184	-0,345	-0,193	-0,185	-0,2	-1,2E-03	-1,2E-03	-1,3E-03	-1,204E-03
3-4-14 15:00	2,03	-0,747	-0,185	-0,346	-0,195	-0,186	-0,201	-1,2E-03	-1,2E-03	-1,3E-03	-1,213E-03
3-4-14 16:00	2,08	-0,749	-0,187	-0,349	-0,197	-0,188	-0,204	-1,2E-03	-1,2E-03	-1,3E-03	-1,227E-03
4-4-14 11:30	2,89	-0,781	-0,22	-0,381	-0,229	-0,221	-0,236	-1,4E-03	-1,4E-03	-1,5E-03	-1,429E-03
4-4-14 12:30	2,93	-0,782	-0,221	-0,382	-0,23	-0,222	-0,237	-1,4E-03	-1,4E-03	-1,5E-03	-1,435E-03
4-4-14 13:30	2,97	-0,784	-0,222	-0,384	-0,232	-0,223	-0,239	-1,5E-03	-1,4E-03	-1,5E-03	-1,446E-03
4-4-14 14:30	3,01	-0,785	-0,223	-0,385	-0,233	-0,224	-0,24	-1,5E-03	-1,4E-03	-1,5E-03	-1,452E-03
4-4-14 15:30	3,06	-0,786	-0,225	-0,387	-0,234	-0,226	-0,242	-1,5E-03	-1,4E-03	-1,5E-03	-1,463E-03
7-4-14 12:00	5,91	-0,84	-0,281	-0,442	-0,288	-0,282	-0,297	-1,8E-03	-1,8E-03	-1,9E-03	-1,806E-03
7-4-14 13:00	5,95	-0,841	-0,28	-0,442	-0,289	-0,281	-0,297	-1,8E-03	-1,8E-03	-1,9E-03	-1,806E-03
7-4-14 14:00	5,99	-0,841	-0,281	-0,443	-0,289	-0,282	-0,298	-1,8E-03	-1,8E-03	-1,9E-03	-1,810E-03
7-4-14 15:30	6,06	-0,841	-0,282	-0,444	-0,289	-0,283	-0,299	-1,8E-03	-1,8E-03	-1,9E-03	-1,815E-03

7-4-14 16:30	6,10	-0,842	-0,282	-0,444	-0,29	-0,283	-0,299	-1,8E-03	-1,8E-03	-1,9E-03	-1,817E-03
8-4-14 12:45	6,94	-0,85	-0,291	-0,453	-0,298	-0,292	-0,308	-1,9E-03	-1,8E-03	-1,9E-03	-1,871E-03
8-4-14 14:15	7,00	-0,851	-0,291	-0,453	-0,299	-0,292	-0,308	-1,9E-03	-1,8E-03	-1,9E-03	-1,873E-03
8-4-14 15:00	7,03	-0,851	-0,291	-0,453	-0,299	-0,292	-0,308	-1,9E-03	-1,8E-03	-1,9E-03	-1,873E-03
8-4-14 16:00	7,08	-0,852	-0,292	-0,453	-0,3	-0,293	-0,308	-1,9E-03	-1,8E-03	-1,9E-03	-1,877E-03
8-4-14 17:00	7,12	-0,852	-0,292	-0,454	-0,3	-0,293	-0,309	-1,9E-03	-1,8E-03	-1,9E-03	-1,879E-03
9-4-14 11:00	7,87	-0,857	-0,298	-0,459	-0,305	-0,299	-0,314	-1,9E-03	-1,9E-03	-2,0E-03	-1,913E-03
9-4-14 12:15	7,92	-0,858	-0,299	-0,461	-0,306	-0,3	-0,316	-1,9E-03	-1,9E-03	-2,0E-03	-1,921E-03
9-4-14 13:00	7,95	-0,857	-0,299	-0,461	-0,305	-0,3	-0,316	-1,9E-03	-1,9E-03	-2,0E-03	-1,919E-03
9-4-14 14:00	7,99	-0,858	-0,3	-0,461	-0,306	-0,301	-0,316	-1,9E-03	-1,9E-03	-2,0E-03	-1,923E-03
9-4-14 15:00	8,03	-0,859	-0,3	-0,461	-0,307	-0,301	-0,316	-1,9E-03	-1,9E-03	-2,0E-03	-1,925E-03
9-4-14 16:00	8,08	-0,859	-0,3	-0,461	-0,307	-0,301	-0,316	-1,9E-03	-1,9E-03	-2,0E-03	-1,925E-03
9-4-14 17:00	8,12	-0,859	-0,299	-0,462	-0,307	-0,3	-0,317	-1,9E-03	-1,9E-03	-2,0E-03	-1,925E-03
10-4-14 12:20	8,92	-0,864	-0,306	-0,467	-0,312	-0,307	-0,322	-2,0E-03	-1,9E-03	-2,0E-03	-1,960E-03
10-4-14 13:20	8,97	-0,865	-0,306	-0,468	-0,313	-0,307	-0,323	-2,0E-03	-1,9E-03	-2,0E-03	-1,965E-03
10-4-14 15:20	9,05	-0,866	-0,307	-0,467	-0,314	-0,308	-0,322	-2,0E-03	-1,9E-03	-2,0E-03	-1,967E-03
10-4-14 16:20	9,09	-0,866	-0,307	-0,468	-0,314	-0,308	-0,323	-2,0E-03	-1,9E-03	-2,0E-03	-1,969E-03
10-4-14 17:20	9,13	-0,866	-0,306	-0,467	-0,314	-0,307	-0,322	-2,0E-03	-1,9E-03	-2,0E-03	-1,965E-03
11-4-14 11:30	9,89	-0,87	-0,311	-0,472	-0,318	-0,312	-0,327	-2,0E-03	-2,0E-03	-2,0E-03	-1,994E-03
11-4-14 12:30	9,93	-0,87	-0,311	-0,472	-0,318	-0,312	-0,327	-2,0E-03	-2,0E-03	-2,0E-03	-1,994E-03
11-4-14 13:30	9,97	-0,87	-0,31	-0,472	-0,318	-0,311	-0,327	-2,0E-03	-1,9E-03	-2,0E-03	-1,992E-03
11-4-14 14:30	10,01	-0,871	-0,312	-0,472	-0,319	-0,313	-0,327	-2,0E-03	-2,0E-03	-2,0E-03	-1,998E-03
11-4-14 15:30	10,06	-0,87	-0,31	-0,471	-0,318	-0,311	-0,326	-2,0E-03	-1,9E-03	-2,0E-03	-1,990E-03
11-4-14 16:30	10,10	-0,871	-0,312	-0,473	-0,319	-0,313	-0,328	-2,0E-03	-2,0E-03	-2,1E-03	-2,000E-03
14-4-14 12:00	12,91	-0,882	-0,321	-0,483	-0,33	-0,322	-0,338	-2,1E-03	-2,0E-03	-2,1E-03	-2,063E-03
14-4-14 14:00	12,99	-0,881	-0,321	-0,482	-0,329	-0,322	-0,337	-2,1E-03	-2,0E-03	-2,1E-03	-2,058E-03
14-4-14 16:00	13,08	-0,881	-0,321	-0,483	-0,329	-0,322	-0,338	-2,1E-03	-2,0E-03	-2,1E-03	-2,060E-03
15-4-14 13:00	13,95	-0,884	-0,324	-0,485	-0,332	-0,325	-0,34	-2,1E-03	-2,0E-03	-2,1E-03	-2,077E-03
15-4-14 15:00	14,03	-0,884	-0,324	-0,485	-0,332	-0,325	-0,34	-2,1E-03	-2,0E-03	-2,1E-03	-2,077E-03
15-4-14 17:00	14,12	-0,885	-0,324	-0,486	-0,333	-0,325	-0,341	-2,1E-03	-2,0E-03	-2,1E-03	-2,081E-03
16-4-14 13:15	14,96	-0,886	-0,326	-0,488	-0,334	-0,327	-0,343	-2,1E-03	-2,0E-03	-2,1E-03	-2,092E-03
16-4-14 16:15	15,09	-0,886	-0,326	-0,488	-0,334	-0,327	-0,343	-2,1E-03	-2,0E-03	-2,1E-03	-2,092E-03
17-4-14 12:20	15,92	-0,888	-0,328	-0,489	-0,336	-0,329	-0,344	-2,1E-03	-2,1E-03	-2,2E-03	-2,102E-03
17-4-14 15:20	16,05	-0,888	-0,329	-0,49	-0,336	-0,33	-0,345	-2,1E-03	-2,1E-03	-2,2E-03	-2,106E-03
18-4-14 11:45	16,90	-0,889	-0,33	-0,491	-0,337	-0,331	-0,346	-2,1E-03	-2,1E-03	-2,2E-03	-2,113E-03
18-4-14 14:35	17,02	-0,89	-0,33	-0,49	-0,338	-0,331	-0,345	-2,1E-03	-2,1E-03	-2,2E-03	-2,113E-03
22-4-14 11:05	20,87	-0,896	-0,336	-0,497	-0,344	-0,337	-0,352	-2,2E-03	-2,1E-03	-2,2E-03	-2,152E-03
23-4-14 10:30	21,85	-0,896	-0,337	-0,498	-0,344	-0,338	-0,353	-2,2E-03	-2,1E-03	-2,2E-03	-2,156E-03
23-4-14 13:30	21,97	-0,896	-0,337	-0,498	-0,344	-0,338	-0,353	-2,2E-03	-2,1E-03	-2,2E-03	-2,156E-03
24-4-14 15:20	23,05	-0,897	-0,338	-0,499	-0,345	-0,339	-0,354	-2,2E-03	-2,1E-03	-2,2E-03	-2,163E-03
28-4-14 11:30	26,89	-0,901	-0,343	-0,504	-0,349	-0,344	-0,359	-2,2E-03	-2,2E-03	-2,2E-03	-2,192E-03
28-4-14 15:30	27,06	-0,9	-0,341	-0,503	-0,348	-0,342	-0,358	-2,2E-03	-2,1E-03	-2,2E-03	-2,183E-03
29-4-14 14:10	28,00	-0,902	-0,343	-0,505	-0,35	-0,344	-0,36	-2,2E-03	-2,2E-03	-2,3E-03	-2,196E-03

STEEL 0,64%

DRY

Data	Time (min)	Measure			Dim. difference (DL)			Deform			Average
		FREE-1	FREE-2	FREE-3	FREE-1	FREE-2	FREE-3	FREE-1	FREE-2	FREE-3	Deform
		(mm)			(mm)			(ε)			(με)
28-4-15 11:55	0,00	-0,956	-0,823	-0,360	0	0	0	0,0E+00	0,0E+00	0,0E+00	0,000E+00
28-4-15 12:25	0,02	-0,972	-0,841	-0,377	-0,016	-0,018	-0,017	-1,0E-04	-1,1E-04	-1,1E-04	-1,063E-04
28-4-15 12:55	0,04	-0,975	-0,846	-0,379	-0,019	-0,023	-0,019	-1,2E-04	-1,4E-04	-1,2E-04	-1,271E-04
28-4-15 13:25	0,06	-0,986	-0,854	-0,388	-0,03	-0,031	-0,028	-1,9E-04	-1,9E-04	-1,8E-04	-1,854E-04
28-4-15 13:55	0,08	-0,990	-0,858	-0,391	-0,034	-0,035	-0,031	-2,1E-04	-2,2E-04	-1,9E-04	-2,083E-04
28-4-15 14:25	0,10	-0,986	-0,853	-0,387	-0,03	-0,03	-0,027	-1,9E-04	-1,9E-04	-1,7E-04	-1,813E-04
28-4-15 14:55	0,12	-0,991	-0,857	-0,394	-0,035	-0,034	-0,034	-2,2E-04	-2,1E-04	-2,1E-04	-2,146E-04
28-4-15 15:25	0,15	-0,995	-0,862	0,396	-0,039	-0,039	0	-2,4E-04	-2,4E-04	0,0E+00	-1,625E-04
28-4-15 15:55	0,17	-0,992	-0,861	-0,395	-0,036	-0,038	-0,035	-2,3E-04	-2,4E-04	-2,2E-04	-2,271E-04
28-4-15 16:25	0,19	-0,995	-0,864	-0,398	-0,039	-0,041	-0,038	-2,4E-04	-2,6E-04	-2,4E-04	-2,458E-04
28-4-15 16:55	0,21	-0,998	-0,864	-0,399	-0,042	-0,041	-0,039	-2,6E-04	-2,6E-04	-2,4E-04	-2,542E-04
28-4-15 17:25	0,23	-1,002	-0,869	-0,403	-0,046	-0,046	-0,043	-2,9E-04	-2,9E-04	-2,7E-04	-2,813E-04
29-4-15 10:10	0,93	-1,059	-0,930	-0,463	-0,103	-0,107	-0,103	-6,4E-04	-6,7E-04	-6,4E-04	-6,521E-04
29-4-15 10:40	0,95	-1,062	-0,930	-0,465	-0,106	-0,107	-0,105	-6,6E-04	-6,7E-04	-6,6E-04	-6,625E-04
29-4-15 12:30	1,02	-1,070	-0,938	-0,473	-0,114	-0,115	-0,113	-7,1E-04	-7,2E-04	-7,1E-04	-7,125E-04
29-4-15 12:45	1,03	-1,067	-0,936	-0,470	-0,111	-0,113	-0,11	-6,9E-04	-7,1E-04	-6,9E-04	-6,958E-04
29-4-15 13:15	1,06	-1,068	-0,935	-0,471	-0,112	-0,112	-0,111	-7,0E-04	-7,0E-04	-6,9E-04	-6,979E-04
29-4-15 13:45	1,08	-1,073	-0,940	-0,476	-0,117	-0,117	-0,116	-7,3E-04	-7,3E-04	-7,3E-04	-7,292E-04
29-4-15 14:15	1,10	-1,069	-0,939	-0,472	-0,113	-0,116	-0,112	-7,1E-04	-7,3E-04	-7,0E-04	-7,104E-04
29-4-15 14:45	1,12	-1,074	-0,943	-0,477	-0,118	-0,12	-0,117	-7,4E-04	-7,5E-04	-7,3E-04	-7,396E-04
29-4-15 15:15	1,14	-1,072	-0,941	-0,476	-0,116	-0,118	-0,116	-7,3E-04	-7,4E-04	-7,3E-04	-7,292E-04
29-4-15 15:45	1,16	-1,073	-0,942	-0,476	-0,117	-0,119	-0,116	-7,3E-04	-7,4E-04	-7,3E-04	-7,333E-04
30-4-15 10:00	1,92	-1,118	-0,987	-0,518	-0,162	-0,164	-0,158	-1,0E-03	-1,0E-03	-9,9E-04	-1,008E-03
30-4-15 11:00	1,96	-1,119	-0,989	-0,520	-0,163	-0,166	-0,16	-1,0E-03	-1,0E-03	-1,0E-03	-1,019E-03
30-4-15 12:00	2,00	-1,120	-0,989	-0,522	-0,164	-0,166	-0,162	-1,0E-03	-1,0E-03	-1,0E-03	-1,025E-03
30-4-15 13:00	2,05	-1,122	-0,991	-0,525	-0,166	-0,168	-0,165	-1,0E-03	-1,1E-03	-1,0E-03	-1,040E-03
30-4-15 14:00	2,09	-1,122	-0,991	-0,523	-0,166	-0,168	-0,163	-1,0E-03	-1,1E-03	-1,0E-03	-1,035E-03
30-4-15 15:00	2,13	-1,124	-0,993	-0,525	-0,168	-0,17	-0,165	-1,1E-03	-1,1E-03	-1,0E-03	-1,048E-03
30-4-15 16:00	2,17	-1,127	-0,996	-0,529	-0,171	-0,173	-0,169	-1,1E-03	-1,1E-03	-1,1E-03	-1,069E-03
4-5-15 8:45	5,87	-1,229	-1,097	-0,628	-0,273	-0,274	-0,268	-1,7E-03	-1,7E-03	-1,7E-03	-1,698E-03
4-5-15 11:45	5,99	-1,230	-1,098	-0,630	-0,274	-0,275	-0,27	-1,7E-03	-1,7E-03	-1,7E-03	-1,706E-03
4-5-15 13:45	6,08	-1,233	-1,102	-0,633	-0,277	-0,279	-0,273	-1,7E-03	-1,7E-03	-1,7E-03	-1,727E-03
5-5-15 10:30	6,94	-1,243	-1,112	-0,643	-0,287	-0,289	-0,283	-1,8E-03	-1,8E-03	-1,8E-03	-1,790E-03
5-5-15 12:30	7,02	-1,244	-1,112	-0,643	-0,288	-0,289	-0,283	-1,8E-03	-1,8E-03	-1,8E-03	-1,792E-03
5-5-15 14:30	7,11	-1,245	-1,112	-0,644	-0,289	-0,289	-0,284	-1,8E-03	-1,8E-03	-1,8E-03	-1,796E-03
5-5-15 16:30	7,19	-1,246	-1,113	-0,644	-0,29	-0,29	-0,284	-1,8E-03	-1,8E-03	-1,8E-03	-1,800E-03
6-5-15 10:30	7,94	-1,250	-1,119	-0,650	-0,294	-0,296	-0,29	-1,8E-03	-1,9E-03	-1,8E-03	-1,833E-03

6-5-15 12:30	8,02	-1,252	-1,121	-0,652	-0,296	-0,298	-0,292	-1,9E-03	-1,9E-03	-1,8E-03	-1,846E-03
6-5-15 14:30	8,11	-1,253	-1,122	-0,654	-0,297	-0,299	-0,294	-1,9E-03	-1,9E-03	-1,8E-03	-1,854E-03
6-5-15 16:30	8,19	-1,255	-1,124	-0,653	-0,299	-0,301	-0,293	-1,9E-03	-1,9E-03	-1,8E-03	-1,860E-03
7-5-15 10:00	8,92	-1,257	-1,127	-0,656	-0,301	-0,304	-0,296	-1,9E-03	-1,9E-03	-1,9E-03	-1,877E-03
7-5-15 12:00	9,00	-1,258	-1,128	-0,659	-0,302	-0,305	-0,299	-1,9E-03	-1,9E-03	-1,9E-03	-1,888E-03
7-5-15 14:00	9,09	-1,259	-1,128	-0,659	-0,303	-0,305	-0,299	-1,9E-03	-1,9E-03	-1,9E-03	-1,890E-03
11-5-15 15:00	13,13	-1,278	-1,144	-0,676	-0,322	-0,321	-0,316	-2,0E-03	-2,0E-03	-2,0E-03	-1,998E-03
11-5-15 17:00	13,21	-1,279	-1,145	-0,676	-0,323	-0,322	-0,316	-2,0E-03	-2,0E-03	-2,0E-03	-2,002E-03
12-5-15 10:30	13,94	-1,280	-1,151	-0,678	-0,324	-0,328	-0,318	-2,0E-03	-2,1E-03	-2,0E-03	-2,021E-03
12-5-15 12:30	14,02	-1,280	-1,149	-0,678	-0,324	-0,326	-0,318	-2,0E-03	-2,0E-03	-2,0E-03	-2,017E-03
12-5-15 14:30	14,11	-1,282	-1,150	-0,680	-0,326	-0,327	-0,32	-2,0E-03	-2,0E-03	-2,0E-03	-2,027E-03
12-5-15 16:30	14,19	-1,282	-1,150	-0,681	-0,326	-0,327	-0,321	-2,0E-03	-2,0E-03	-2,0E-03	-2,029E-03
13-5-15 10:00	14,92	-1,282	-1,150	-0,679	-0,326	-0,327	-0,319	-2,0E-03	-2,0E-03	-2,0E-03	-2,025E-03
13-5-15 12:30	15,02	-1,281	-1,151	-0,680	-0,325	-0,328	-0,32	-2,0E-03	-2,1E-03	-2,0E-03	-2,027E-03
13-5-15 14:30	15,11	-1,281	-1,151	-0,680	-0,325	-0,328	-0,32	-2,0E-03	-2,1E-03	-2,0E-03	-2,027E-03
14-5-15 9:00	15,88	-1,282	-1,152	-0,681	-0,326	-0,329	-0,321	-2,0E-03	-2,1E-03	-2,0E-03	-2,033E-03
14-5-15 11:00	15,96	-1,282	-1,151	-0,681	-0,326	-0,328	-0,321	-2,0E-03	-2,1E-03	-2,0E-03	-2,031E-03
14-5-15 13:30	16,07	-1,282	-1,151	-0,681	-0,326	-0,328	-0,321	-2,0E-03	-2,1E-03	-2,0E-03	-2,031E-03
15-5-15 9:00	16,88	-1,283	-1,153	-0,685	-0,327	-0,33	-0,325	-2,0E-03	-2,1E-03	-2,0E-03	-2,046E-03
15-5-15 11:00	16,96	-1,283	-1,154	-0,685	-0,327	-0,331	-0,325	-2,0E-03	-2,1E-03	-2,0E-03	-2,048E-03
15-5-15 13:00	17,05	-1,284	-1,154	-0,684	-0,328	-0,331	-0,324	-2,1E-03	-2,1E-03	-2,0E-03	-2,048E-03
18-5-15 8:45	19,87	-1,287	-1,156	-0,688	-0,331	-0,333	-0,328	-2,1E-03	-2,1E-03	-2,1E-03	-2,067E-03
18-5-15 15:45	20,16	-1,288	-1,156	-0,688	-0,332	-0,333	-0,328	-2,1E-03	-2,1E-03	-2,1E-03	-2,069E-03
19-5-15 12:05	21,01	-1,289	-1,159	-0,689	-0,333	-0,336	-0,329	-2,1E-03	-2,1E-03	-2,1E-03	-2,079E-03
19-5-15 14:05	21,09	-1,292	-1,160	-0,691	-0,336	-0,337	-0,331	-2,1E-03	-2,1E-03	-2,1E-03	-2,092E-03
19-5-15 16:05	21,17	-1,292	-1,160	-0,691	-0,336	-0,337	-0,331	-2,1E-03	-2,1E-03	-2,1E-03	-2,092E-03
20-5-15 11:00	21,96	-1,293	-1,161	-0,692	-0,337	-0,338	-0,332	-2,1E-03	-2,1E-03	-2,1E-03	-2,098E-03
20-5-15 13:00	22,05	-1,293	-1,161	-0,692	-0,337	-0,338	-0,332	-2,1E-03	-2,1E-03	-2,1E-03	-2,098E-03
21-5-15 10:30	22,94	-1,294	-1,162	-0,692	-0,338	-0,339	-0,332	-2,1E-03	-2,1E-03	-2,1E-03	-2,102E-03
21-5-15 12:30	23,02	-1,294	-1,163	-0,692	-0,338	-0,34	-0,332	-2,1E-03	-2,1E-03	-2,1E-03	-2,104E-03
25-5-15 10:30	26,94	-1,300	-1,167	-0,696	-0,344	-0,344	-0,336	-2,2E-03	-2,2E-03	-2,1E-03	-2,133E-03
25-5-15 12:30	27,02	-1,301	-1,167	-0,697	-0,345	-0,344	-0,337	-2,2E-03	-2,2E-03	-2,1E-03	-2,138E-03
26-5-15 10:20	27,93	-1,301	-1,166	-0,696	-0,345	-0,343	-0,336	-2,2E-03	-2,1E-03	-2,1E-03	-2,133E-03
26-5-15 12:20	28,02	-1,302	-1,168	-0,699	-0,346	-0,345	-0,339	-2,2E-03	-2,1E-03	-2,1E-03	-2,146E-03

SISAL.SAT

DRY

Data	Time	Measure			Dim. difference (DL)			Deform			Average
		FREE-1	FREE-2	FREE-3	FREE-1	FREE-2	FREE-3	FREE-1	FREE-2	FREE-3	Deform
	(min)	(mm)		(mm)			(ε)			(με)	
9-4-14 13:00	0,00	-0,630	-0,193	-0,585	0,000	0,000	0,000	-3,94E-03	-1,21E-03	-3,66E-03	0,000E+00
9-4-14 13:20	0,01	-0,648	-0,213	-0,601	0,000	0,000	0,000	-4,05E-03	-1,33E-03	-3,76E-03	0,000E+00
9-4-14 13:45	0,03	-0,652	-0,219	-0,608	0,000	0,000	0,000	-4,08E-03	-1,37E-03	-3,80E-03	0,000E+00
9-4-14 14:15	0,05	-0,659	-0,226	-0,614	0,000	0,000	0,000	-4,12E-03	-1,41E-03	-3,84E-03	0,000E+00
9-4-14 14:35	0,07	-0,662	-0,229	-0,617	0,000	0,000	0,000	-4,14E-03	-1,43E-03	-3,86E-03	0,000E+00
9-4-14 15:00	0,08	-0,667	-0,233	-0,621	0,000	0,000	0,000	-4,17E-03	-1,46E-03	-3,88E-03	0,000E+00
9-4-14 15:30	0,10	-0,669	-0,234	-0,623	0,000	0,000	0,000	-4,18E-03	-1,46E-03	-3,89E-03	0,000E+00
9-4-14 16:00	0,13	-0,672	-0,238	-0,627	0,000	0,000	0,000	-4,20E-03	-1,49E-03	-3,92E-03	0,000E+00
9-4-14 16:30	0,15	-0,675	-0,241	-0,630	0,000	0,000	0,000	-4,22E-03	-1,51E-03	-3,94E-03	0,000E+00
9-4-14 17:00	0,17	-0,680	-0,246	-0,635	0,000	0,000	0,000	-4,25E-03	-1,54E-03	-3,97E-03	0,000E+00
10-4-14 12:20	0,97	-0,766	-0,330	-0,721	0,000	0,000	0,000	-4,79E-03	-2,06E-03	-4,51E-03	0,000E+00
10-4-14 13:20	1,01	-0,769	-0,333	-0,724	0,000	0,000	0,000	-4,81E-03	-2,08E-03	-4,53E-03	0,000E+00
10-4-14 14:20	1,06	-0,773	-0,337	-0,728	0,000	0,000	0,000	-4,83E-03	-2,11E-03	-4,55E-03	0,000E+00
10-4-14 15:20	1,10	-0,777	-0,340	-0,731	0,000	0,000	0,000	-4,86E-03	-2,13E-03	-4,57E-03	0,000E+00
10-4-14 16:20	1,14	-0,779	-0,342	-0,734	0,000	0,000	0,000	-4,87E-03	-2,14E-03	-4,59E-03	0,000E+00
10-4-14 17:20	1,18	-0,782	-0,345	-0,737	0,000	0,000	0,000	-4,89E-03	-2,16E-03	-4,61E-03	0,000E+00
11-4-14 11:30	1,94	-0,832	-0,394	-0,786	0,000	0,000	0,000	-5,20E-03	-2,46E-03	-4,91E-03	0,000E+00
11-4-14 12:30	1,98	-0,834	-0,397	-0,788	0,000	0,000	0,000	-5,21E-03	-2,48E-03	-4,93E-03	0,000E+00
11-4-14 13:30	2,02	-0,836	-0,399	-0,791	0,000	0,000	0,000	-5,23E-03	-2,49E-03	-4,94E-03	0,000E+00
11-4-14 14:30	2,06	-0,838	-0,401	-0,792	0,000	0,000	0,000	-5,24E-03	-2,51E-03	-4,95E-03	0,000E+00
11-4-14 15:30	2,10	-0,840	-0,403	-0,794	0,000	0,000	0,000	-5,25E-03	-2,52E-03	-4,96E-03	0,000E+00
11-4-14 16:30	2,15	-0,843	-0,406	-0,797	0,000	0,000	0,000	-5,27E-03	-2,54E-03	-4,98E-03	0,000E+00
14-4-14 12:00	4,96	-0,945	-0,506	-0,897	0,000	0,000	0,000	-5,91E-03	-3,16E-03	-5,61E-03	0,000E+00
14-4-14 13:00	5,00	-0,945	-0,506	-0,897	0,000	0,000	0,000	-5,91E-03	-3,16E-03	-5,61E-03	0,000E+00
14-4-14 14:00	5,04	-0,945	-0,507	-0,899	0,000	0,000	0,000	-5,91E-03	-3,17E-03	-5,62E-03	0,000E+00
14-4-14 15:00	5,08	-0,947	-0,508	-0,899	0,000	0,000	0,000	-5,92E-03	-3,18E-03	-5,62E-03	0,000E+00
14-4-14 16:00	5,13	-0,948	-0,509	-0,900	0,000	0,000	0,000	-5,93E-03	-3,18E-03	-5,63E-03	0,000E+00
15-4-14 13:00	6,00	-0,966	-0,527	-0,917	0,000	0,000	0,000	-6,04E-03	-3,29E-03	-5,73E-03	0,000E+00
15-4-14 14:00	6,04	-0,965	-0,526	-0,917	0,000	0,000	0,000	-6,03E-03	-3,29E-03	-5,73E-03	0,000E+00
15-4-14 15:00	6,08	-0,966	-0,527	-0,918	0,000	0,000	0,000	-6,04E-03	-3,29E-03	-5,74E-03	0,000E+00
15-4-14 16:00	6,13	-0,966	-0,528	-0,919	0,000	0,000	0,000	-6,04E-03	-3,30E-03	-5,74E-03	0,000E+00
15-4-14 17:00	6,17	-0,965	-0,529	-0,919	0,000	0,000	0,000	-6,03E-03	-3,31E-03	-5,74E-03	0,000E+00
16-4-14 13:15	7,01	-0,976	-0,538	-0,930	0,000	0,000	0,000	-6,10E-03	-3,36E-03	-5,81E-03	0,000E+00
16-4-14 14:15	7,05	-0,978	-0,539	-0,930	0,000	0,000	0,000	-6,11E-03	-3,37E-03	-5,81E-03	0,000E+00
16-4-14 15:15	7,09	-0,980	-0,540	-0,931	0,000	0,000	0,000	-6,13E-03	-3,38E-03	-5,82E-03	0,000E+00
16-4-14 16:15	7,14	-0,981	-0,541	-0,933	0,000	0,000	0,000	-6,13E-03	-3,38E-03	-5,83E-03	0,000E+00
17-4-14 12:20	7,97	-0,989	-0,550	-0,941	0,000	0,000	0,000	-6,18E-03	-3,44E-03	-5,88E-03	0,000E+00

17-4-14 13:20	8,01	-0,990	-0,551	-0,942	0,000	0,000	0,000	-6,19E-03	-3,44E-03	-5,89E-03	0,000E+00
17-4-14 14:20	8,06	-0,991	-0,551	-0,943	0,000	0,000	0,000	-6,19E-03	-3,44E-03	-5,89E-03	0,000E+00
17-4-14 15:20	8,10	-0,991	-0,551	-0,944	0,000	0,000	0,000	-6,19E-03	-3,44E-03	-5,90E-03	0,000E+00
18-4-14 11:45	8,95	-0,999	-0,559	-0,950	0,000	0,000	0,000	-6,24E-03	-3,49E-03	-5,94E-03	0,000E+00
18-4-14 14:35	9,07	-0,999	-0,560	-0,952	0,000	0,000	0,000	-6,24E-03	-3,50E-03	-5,95E-03	0,000E+00
22-4-14 11:05	12,92	-1,023	-0,582	-0,974	0,000	0,000	0,000	-6,39E-03	-3,64E-03	-6,09E-03	0,000E+00
23-4-14 10:30	13,90	-1,026	-0,586	-0,977	0,000	0,000	0,000	-6,41E-03	-3,66E-03	-6,11E-03	0,000E+00
23-4-14 13:30	14,02	-1,027	-0,587	-0,978	0,000	0,000	0,000	-6,42E-03	-3,67E-03	-6,11E-03	0,000E+00
24-4-14 15:20	15,10	-1,030	-0,590	-0,982	0,000	0,000	0,000	-6,44E-03	-3,69E-03	-6,14E-03	0,000E+00
24-4-14 16:20	15,14	-1,030	-0,589	-0,981	0,000	0,000	0,000	-6,44E-03	-3,68E-03	-6,13E-03	0,000E+00
28-4-14 11:30	18,94	-1,042	-0,600	-0,992	0,000	0,000	0,000	-6,51E-03	-3,75E-03	-6,20E-03	0,000E+00
28-4-14 13:30	19,02	-1,041	-0,601	-0,992	0,000	0,000	0,000	-6,51E-03	-3,76E-03	-6,20E-03	0,000E+00
28-4-14 15:30	19,10	-1,041	-0,601	-0,992	0,000	0,000	0,000	-6,51E-03	-3,76E-03	-6,20E-03	0,000E+00
29-4-14 12:00	19,96	-1,045	-0,603	-0,994	0,000	0,000	0,000	-6,53E-03	-3,77E-03	-6,21E-03	0,000E+00
29-4-14 14:00	20,04	-1,044	-0,603	-0,995	0,000	0,000	0,000	-6,53E-03	-3,77E-03	-6,22E-03	0,000E+00
30-4-14 13:00	21,00	-1,046	-0,605	-0,998	0,000	0,000	0,000	-6,54E-03	-3,78E-03	-6,24E-03	0,000E+00
30-4-14 15:30	21,10	-1,047	-0,606	-0,999	0,000	0,000	0,000	-6,54E-03	-3,79E-03	-6,24E-03	0,000E+00
5-5-14 10:50	25,91	-1,031	-0,592	-0,984	0,000	0,000	0,000	-6,44E-03	-3,70E-03	-6,15E-03	0,000E+00
5-5-14 12:50	25,99	-1,034	-0,594	-0,987	0,000	0,000	0,000	-6,46E-03	-3,71E-03	-6,17E-03	0,000E+00
5-5-14 16:00	26,13	-1,035	-0,596	-0,987	0,000	0,000	0,000	-6,47E-03	-3,73E-03	-6,17E-03	0,000E+00
6-5-14 13:30	27,02	-1,043	-0,602	-0,995	0,000	0,000	0,000	-6,52E-03	-3,76E-03	-6,22E-03	0,000E+00
6-5-14 15:00	27,08	-1,044	-0,603	-0,995	0,000	0,000	0,000	-6,53E-03	-3,77E-03	-6,22E-03	0,000E+00
7-5-14 9:40	27,86	-1,046	-0,606	-0,998	0,000	0,000	0,000	-6,54E-03	-3,79E-03	-6,24E-03	0,000E+00
7-5-14 14:00	28,04	-1,047	-0,606	-0,999	0,000	0,000	0,000	-6,54E-03	-3,79E-03	-6,24E-03	0,000E+00

Data	Time (min)	Measure			Dim. difference (DL)			Deform			Average
		FREE-1	FREE-2	FREE-3	FREE-1	FREE-2	FREE-3	FREE-1	FREE-2	FREE-3	Deform
		(mm)	(mm)	(mm)	(mm)	(mm)	(mm)	(ε)	(ε)	(ε)	(με)
1-4-14 14:40	0,00	0,32	0,077	-0,972	0,000	0,000	0,000	0,0E+00	0,0E+00	0,0E+00	0,000E+00
1-4-14 15:10	0,02	0,308	0,063	-0,983	-0,012	-0,014	-0,011	-7,5E-05	-8,8E-05	-6,9E-05	-7,708E-05
1-4-14 15:40	0,04	0,303	0,058	-0,989	-0,017	-0,019	-0,017	-1,1E-04	-1,2E-04	-1,1E-04	-1,104E-04
1-4-14 16:10	0,06	0,297	0,053	-0,99	-0,023	-0,024	-0,018	-1,4E-04	-1,5E-04	-1,1E-04	-1,354E-04
1-4-14 16:25	0,07	0,296	0,052	-0,995	-0,024	-0,025	-0,023	-1,5E-04	-1,6E-04	-1,4E-04	-1,500E-04
1-4-14 16:50	0,09	0,294	0,049	-0,998	-0,026	-0,028	-0,026	-1,6E-04	-1,8E-04	-1,6E-04	-1,667E-04
2-4-14 10:50	0,84	0,206	-0,035	-1,086	-0,114	-0,112	-0,114	-7,1E-04	-7,0E-04	-7,1E-04	-7,083E-04
2-4-14 11:20	0,86	0,205	-0,037	-1,087	-0,115	-0,114	-0,115	-7,2E-04	-7,1E-04	-7,2E-04	-7,167E-04
2-4-14 11:50	0,88	0,203	-0,039	-1,089	-0,117	-0,116	-0,117	-7,3E-04	-7,3E-04	-7,3E-04	-7,292E-04
2-4-14 12:20	0,90	0,202	-0,04	-1,09	-0,118	-0,117	-0,118	-7,4E-04	-7,3E-04	-7,4E-04	-7,354E-04
2-4-14 12:50	0,92	0,202	-0,042	-1,092	-0,118	-0,119	-0,120	-7,4E-04	-7,4E-04	-7,5E-04	-7,438E-04
2-4-14 13:35	0,95	0,199	-0,045	-1,095	-0,121	-0,122	-0,123	-7,6E-04	-7,6E-04	-7,7E-04	-7,625E-04
2-4-14 14:00	0,97	0,197	-0,047	-1,096	-0,123	-0,124	-0,124	-7,7E-04	-7,8E-04	-7,8E-04	-7,729E-04
2-4-14 14:30	0,99	0,195	-0,047	-1,097	-0,125	-0,124	-0,125	-7,8E-04	-7,8E-04	-7,8E-04	-7,792E-04
2-4-14 15:00	1,01	0,194	-0,049	-1,099	-0,126	-0,126	-0,127	-7,9E-04	-7,9E-04	-7,9E-04	-7,896E-04
2-4-14 15:30	1,03	0,192	-0,05	-1,1	-0,128	-0,127	-0,128	-8,0E-04	-7,9E-04	-8,0E-04	-7,979E-04
2-4-14 16:10	1,06	0,191	-0,052	-1,102	-0,129	-0,129	-0,130	-8,1E-04	-8,1E-04	-8,1E-04	-8,083E-04
2-4-14 16:40	1,08	0,189	-0,054	-1,104	-0,131	-0,131	-0,132	-8,2E-04	-8,2E-04	-8,3E-04	-8,208E-04
3-4-14 11:30	1,87	0,14	-0,101	-1,152	-0,180	-0,178	-0,180	-1,1E-03	-1,1E-03	-1,1E-03	-1,121E-03
3-4-14 12:00	1,89	0,139	-0,103	-1,153	-0,181	-0,180	-0,181	-1,1E-03	-1,1E-03	-1,1E-03	-1,129E-03
3-4-14 13:00	1,93	0,137	-0,104	-1,155	-0,183	-0,181	-0,183	-1,1E-03	-1,1E-03	-1,1E-03	-1,140E-03
3-4-14 14:00	1,97	0,135	-0,106	-1,158	-0,185	-0,183	-0,186	-1,2E-03	-1,1E-03	-1,2E-03	-1,154E-03
3-4-14 15:00	2,01	0,132	-0,109	-1,16	-0,188	-0,186	-0,188	-1,2E-03	-1,2E-03	-1,2E-03	-1,171E-03
3-4-14 16:00	2,06	0,13	-0,111	-1,162	-0,190	-0,188	-0,190	-1,2E-03	-1,2E-03	-1,2E-03	-1,183E-03
4-4-14 11:30	2,87	0,095	-0,146	-1,198	-0,225	-0,223	-0,226	-1,4E-03	-1,4E-03	-1,4E-03	-1,404E-03
4-4-14 12:30	2,91	0,094	-0,147	-1,199	-0,226	-0,224	-0,227	-1,4E-03	-1,4E-03	-1,4E-03	-1,410E-03
4-4-14 13:30	2,95	0,093	-0,148	-1,201	-0,227	-0,225	-0,229	-1,4E-03	-1,4E-03	-1,4E-03	-1,419E-03
4-4-14 14:30	2,99	0,091	-0,15	-1,202	-0,229	-0,227	-0,230	-1,4E-03	-1,4E-03	-1,4E-03	-1,429E-03
4-4-14 15:30	3,03	0,09	-0,152	-1,203	-0,230	-0,229	-0,231	-1,4E-03	-1,4E-03	-1,4E-03	-1,438E-03
7-4-14 12:00	5,89	0,018	-0,222	-1,274	-0,302	-0,299	-0,302	-1,9E-03	-1,9E-03	-1,9E-03	-1,881E-03
7-4-14 13:00	5,93	0,018	-0,222	-1,275	-0,302	-0,299	-0,303	-1,9E-03	-1,9E-03	-1,9E-03	-1,883E-03
7-4-14 14:00	5,97	0,017	-0,224	-1,276	-0,303	-0,301	-0,304	-1,9E-03	-1,9E-03	-1,9E-03	-1,892E-03
7-4-14 15:30	6,03	0,016	-0,224	-1,277	-0,304	-0,301	-0,305	-1,9E-03	-1,9E-03	-1,9E-03	-1,896E-03
7-4-14 16:30	6,08	0,016	-0,224	-1,277	-0,304	-0,301	-0,305	-1,9E-03	-1,9E-03	-1,9E-03	-1,896E-03
8-4-14 12:45	6,92	0,004	-0,236	-1,289	-0,316	-0,313	-0,317	-2,0E-03	-2,0E-03	-2,0E-03	-1,971E-03
8-4-14 14:15	6,98	0,003	-0,238	-1,29	-0,317	-0,315	-0,318	-2,0E-03	-2,0E-03	-2,0E-03	-1,979E-03
8-4-14 15:00	7,01	0,003	-0,237	-1,29	-0,317	-0,314	-0,318	-2,0E-03	-2,0E-03	-2,0E-03	-1,977E-03
8-4-14 16:00	7,06	0,003	-0,238	-1,29	-0,317	-0,315	-0,318	-2,0E-03	-2,0E-03	-2,0E-03	-1,979E-03
8-4-14 17:00	7,10	0,002	-0,239	-1,29	-0,318	-0,316	-0,318	-2,0E-03	-2,0E-03	-2,0E-03	-1,983E-03

9-4-14 11:00	7,85	-0,006	-0,247	-1,299	-0,326	-0,324	-0,327	-2,0E-03	-2,0E-03	-2,0E-03	-2,035E-03
9-4-14 12:15	7,90	-0,007	-0,247	-1,3	-0,327	-0,324	-0,328	-2,0E-03	-2,0E-03	-2,1E-03	-2,040E-03
9-4-14 13:00	7,93	-0,007	-0,247	-1,299	-0,327	-0,324	-0,327	-2,0E-03	-2,0E-03	-2,0E-03	-2,038E-03
9-4-14 14:00	7,97	-0,007	-0,248	-1,3	-0,327	-0,325	-0,328	-2,0E-03	-2,0E-03	-2,1E-03	-2,042E-03
9-4-14 15:00	8,01	-0,008	-0,248	-1,301	-0,328	-0,325	-0,329	-2,1E-03	-2,0E-03	-2,1E-03	-2,046E-03
9-4-14 16:00	8,06	-0,008	-0,249	-1,301	-0,328	-0,326	-0,329	-2,1E-03	-2,0E-03	-2,1E-03	-2,048E-03
9-4-14 17:00	8,10	-0,009	-0,25	-1,302	-0,329	-0,327	-0,330	-2,1E-03	-2,0E-03	-2,1E-03	-2,054E-03
10-4-14 12:20	8,90	-0,016	-0,257	-1,309	-0,336	-0,334	-0,337	-2,1E-03	-2,1E-03	-2,1E-03	-2,098E-03
10-4-14 13:20	8,94	-0,016	-0,257	-1,309	-0,336	-0,334	-0,337	-2,1E-03	-2,1E-03	-2,1E-03	-2,098E-03
10-4-14 15:20	9,03	-0,017	-0,258	-1,31	-0,337	-0,335	-0,338	-2,1E-03	-2,1E-03	-2,1E-03	-2,104E-03
10-4-14 16:20	9,07	-0,018	-0,258	-1,31	-0,338	-0,335	-0,338	-2,1E-03	-2,1E-03	-2,1E-03	-2,106E-03
10-4-14 17:20	9,11	-0,018	-0,258	-1,31	-0,338	-0,335	-0,338	-2,1E-03	-2,1E-03	-2,1E-03	-2,106E-03
11-4-14 11:30	9,87	-0,024	-0,264	-1,316	-0,344	-0,341	-0,344	-2,2E-03	-2,1E-03	-2,2E-03	-2,144E-03
11-4-14 12:30	9,91	-0,024	-0,264	-1,315	-0,344	-0,341	-0,343	-2,2E-03	-2,1E-03	-2,1E-03	-2,142E-03
11-4-14 13:30	9,95	-0,024	-0,265	-1,316	-0,344	-0,342	-0,344	-2,2E-03	-2,1E-03	-2,2E-03	-2,146E-03
11-4-14 14:30	9,99	-0,023	-0,264	-1,316	-0,343	-0,341	-0,344	-2,1E-03	-2,1E-03	-2,2E-03	-2,142E-03
11-4-14 15:30	10,03	-0,023	-0,264	-1,316	-0,343	-0,341	-0,344	-2,1E-03	-2,1E-03	-2,2E-03	-2,142E-03
11-4-14 16:30	10,08	-0,025	-0,267	-1,318	-0,345	-0,344	-0,346	-2,2E-03	-2,2E-03	-2,2E-03	-2,156E-03
14-4-14 12:00	12,89	-0,039	-0,28	-1,331	-0,359	-0,357	-0,359	-2,2E-03	-2,2E-03	-2,2E-03	-2,240E-03
14-4-14 14:00	12,97	-0,039	-0,28	-1,332	-0,359	-0,357	-0,360	-2,2E-03	-2,2E-03	-2,3E-03	-2,242E-03
14-4-14 16:00	13,06	-0,039	-0,28	-1,332	-0,359	-0,357	-0,360	-2,2E-03	-2,2E-03	-2,3E-03	-2,242E-03
15-4-14 13:00	13,93	-0,042	-0,283	-1,335	-0,362	-0,360	-0,363	-2,3E-03	-2,3E-03	-2,3E-03	-2,260E-03
15-4-14 15:00	14,01	-0,043	-0,283	-1,335	-0,363	-0,360	-0,363	-2,3E-03	-2,3E-03	-2,3E-03	-2,263E-03
15-4-14 17:00	14,10	-0,043	-0,283	-1,335	-0,363	-0,360	-0,363	-2,3E-03	-2,3E-03	-2,3E-03	-2,263E-03
16-4-14 13:15	14,94	-0,045	-0,286	-1,336	-0,365	-0,363	-0,364	-2,3E-03	-2,3E-03	-2,3E-03	-2,275E-03
16-4-14 16:15	15,07	-0,047	-0,287	-1,338	-0,367	-0,364	-0,366	-2,3E-03	-2,3E-03	-2,3E-03	-2,285E-03
17-4-14 12:20	15,90	-0,048	-0,289	-1,34	-0,368	-0,366	-0,368	-2,3E-03	-2,3E-03	-2,3E-03	-2,296E-03
17-4-14 15:20	16,03	-0,049	-0,288	-1,34	-0,369	-0,365	-0,368	-2,3E-03	-2,3E-03	-2,3E-03	-2,296E-03
18-4-14 11:45	16,88	-0,051	-0,29	-1,342	-0,371	-0,367	-0,370	-2,3E-03	-2,3E-03	-2,3E-03	-2,308E-03
18-4-14 14:35	17,00	-0,051	-0,291	-1,343	-0,371	-0,368	-0,371	-2,3E-03	-2,3E-03	-2,3E-03	-2,313E-03
22-4-14 11:05	20,85	-0,06	-0,3	-1,351	-0,380	-0,377	-0,379	-2,4E-03	-2,4E-03	-2,4E-03	-2,367E-03
23-4-14 10:30	21,83	-0,061	-0,3	-1,352	-0,381	-0,377	-0,380	-2,4E-03	-2,4E-03	-2,4E-03	-2,371E-03
23-4-14 13:30	21,95	-0,061	-0,301	-1,353	-0,381	-0,378	-0,381	-2,4E-03	-2,4E-03	-2,4E-03	-2,375E-03
24-4-14 15:20	23,03	-0,062	-0,303	-1,355	-0,382	-0,380	-0,383	-2,4E-03	-2,4E-03	-2,4E-03	-2,385E-03
28-4-14 11:30	26,87	-0,068	-0,308	-1,36	-0,388	-0,385	-0,388	-2,4E-03	-2,4E-03	-2,4E-03	-2,419E-03
28-4-14 15:30	27,03	-0,067	-0,308	-1,36	-0,387	-0,385	-0,388	-2,4E-03	-2,4E-03	-2,4E-03	-2,417E-03
29-4-14 14:45	28,00	-0,068	-0,309	-1,361	-0,388	-0,386	-0,389	-2,4E-03	-2,4E-03	-2,4E-03	-2,423E-03

Data	Time (min)	Measure			Dim. difference (DL)			Deform			Average
		FREE-1	FREE-2	FREE-3	FREE-1	FREE-2	FREE-3	FREE-1	FREE-2	FREE-3	Deform
		(mm)			(mm)			(ϵ)			($\mu\epsilon$)
16-4-14 13:35	0,00	-0,158	-0,15	-0,247	0	0	0	0,0E+00	0,0E+00	0,0E+00	0,000E+00
16-4-14 14:15	0,03	-0,181	-0,17	-0,267	-0,023	-0,02	-0,02	-1,4E-04	-1,3E-04	-1,3E-04	-1,313E-04
16-4-14 14:35	0,04	-0,19	-0,18	-0,274	-0,032	-0,03	-0,027	-2,0E-04	-1,9E-04	-1,7E-04	-1,854E-04
16-4-14 15:05	0,06	-0,196	-0,185	-0,283	-0,038	-0,035	-0,036	-2,4E-04	-2,2E-04	-2,3E-04	-2,271E-04
16-4-14 15:35	0,08	-0,2	-0,19	-0,287	-0,042	-0,04	-0,04	-2,6E-04	-2,5E-04	-2,5E-04	-2,542E-04
16-4-14 16:05	0,10	-0,205	-0,194	-0,291	-0,047	-0,044	-0,044	-2,9E-04	-2,8E-04	-2,8E-04	-2,813E-04
16-4-14 16:35	0,13	-0,209	-0,197	-0,294	-0,051	-0,047	-0,047	-3,2E-04	-2,9E-04	-2,9E-04	-3,021E-04
17-4-14 12:20	0,95	-0,296	-0,282	-0,376	-0,138	-0,132	-0,129	-8,6E-04	-8,3E-04	-8,1E-04	-8,313E-04
17-4-14 12:50	0,97	-0,301	-0,283	-0,377	-0,143	-0,133	-0,13	-8,9E-04	-8,3E-04	-8,1E-04	-8,458E-04
17-4-14 13:20	0,99	-0,304	-0,286	-0,378	-0,146	-0,136	-0,131	-9,1E-04	-8,5E-04	-8,2E-04	-8,604E-04
17-4-14 13:50	1,01	-0,306	-0,288	-0,383	-0,148	-0,138	-0,136	-9,3E-04	-8,6E-04	-8,5E-04	-8,792E-04
17-4-14 14:20	1,03	-0,314	-0,292	-0,384	-0,156	-0,142	-0,137	-9,8E-04	-8,9E-04	-8,6E-04	-9,063E-04
17-4-14 14:50	1,05	-0,314	-0,295	-0,383	-0,156	-0,145	-0,136	-9,8E-04	-9,1E-04	-8,5E-04	-9,104E-04
17-4-14 15:20	1,07	-0,318	-0,298	-0,388	-0,16	-0,148	-0,141	-1,0E-03	-9,3E-04	-8,8E-04	-9,354E-04
18-4-14 11:45	1,92	-0,389	-0,364	-0,452	-0,231	-0,214	-0,205	-1,4E-03	-1,3E-03	-1,3E-03	-1,354E-03
18-4-14 14:35	2,04	-0,396	-0,373	-0,461	-0,238	-0,223	-0,214	-1,5E-03	-1,4E-03	-1,3E-03	-1,406E-03
22-4-14 11:05	5,90	-0,558	-0,531	-0,624	-0,4	-0,381	-0,377	-2,5E-03	-2,4E-03	-2,4E-03	-2,413E-03
23-4-14 10:30	6,87	-0,576	-0,55	-0,642	-0,418	-0,4	-0,395	-2,6E-03	-2,5E-03	-2,5E-03	-2,527E-03
23-4-14 13:30	7,00	-0,578	-0,552	-0,645	-0,42	-0,402	-0,398	-2,6E-03	-2,5E-03	-2,5E-03	-2,542E-03
24-4-14 15:20	8,07	-0,592	-0,566	-0,657	-0,434	-0,416	-0,41	-2,7E-03	-2,6E-03	-2,6E-03	-2,625E-03
24-4-14 16:20	8,11	-0,593	-0,567	-0,659	-0,435	-0,417	-0,412	-2,7E-03	-2,6E-03	-2,6E-03	-2,633E-03
28-4-14 11:30	11,91	-0,624	-0,598	-0,69	-0,466	-0,448	-0,443	-2,9E-03	-2,8E-03	-2,8E-03	-2,827E-03
28-4-14 13:30	12,00	-0,626	-0,599	-0,69	-0,468	-0,449	-0,443	-2,9E-03	-2,8E-03	-2,8E-03	-2,833E-03
28-4-14 15:30	12,08	-0,626	-0,599	-0,692	-0,468	-0,449	-0,445	-2,9E-03	-2,8E-03	-2,8E-03	-2,838E-03
29-4-14 12:00	12,93	-0,634	-0,604	-0,697	-0,476	-0,454	-0,45	-3,0E-03	-2,8E-03	-2,8E-03	-2,875E-03
29-4-14 14:00	13,02	-0,637	-0,605	-0,698	-0,479	-0,455	-0,451	-3,0E-03	-2,8E-03	-2,8E-03	-2,885E-03
30-4-14 13:00	13,98	-0,644	-0,609	-0,702	-0,486	-0,459	-0,455	-3,0E-03	-2,9E-03	-2,8E-03	-2,917E-03
30-4-14 15:30	14,08	-0,646	-0,611	-0,704	-0,488	-0,461	-0,457	-3,1E-03	-2,9E-03	-2,9E-03	-2,929E-03
5-5-14 10:50	18,89	-0,62	-0,598	-0,692	-0,462	-0,448	-0,445	-2,9E-03	-2,8E-03	-2,8E-03	-2,823E-03
5-5-14 12:50	18,97	-0,634	-0,6	-0,697	-0,476	-0,45	-0,45	-3,0E-03	-2,8E-03	-2,8E-03	-2,867E-03
5-5-14 16:00	19,10	-0,64	-0,604	-0,699	-0,482	-0,454	-0,452	-3,0E-03	-2,8E-03	-2,8E-03	-2,892E-03
6-5-14 13:30	20,00	-0,653	-0,615	-0,706	-0,495	-0,465	-0,459	-3,1E-03	-2,9E-03	-2,9E-03	-2,956E-03
6-5-14 15:00	20,06	-0,653	-0,616	-0,705	-0,495	-0,466	-0,458	-3,1E-03	-2,9E-03	-2,9E-03	-2,956E-03
7-5-14 9:40	20,84	-0,656	-0,62	-0,709	-0,498	-0,47	-0,462	-3,1E-03	-2,9E-03	-2,9E-03	-2,979E-03
7-5-14 15:00	21,06	-0,658	-0,62	-0,71	-0,5	-0,47	-0,463	-3,1E-03	-2,9E-03	-2,9E-03	-2,985E-03
8-5-14 15:00	22,06	-0,673	-0,628	-0,717	-0,515	-0,478	-0,47	-3,2E-03	-3,0E-03	-2,9E-03	-3,048E-03
9-5-14 13:10	22,98	-0,672	-0,628	-0,718	-0,514	-0,478	-0,471	-3,2E-03	-3,0E-03	-2,9E-03	-3,048E-03
12-5-14 15:00	26,06	-0,679	-0,635	-0,725	-0,521	-0,485	-0,478	-3,3E-03	-3,0E-03	-3,0E-03	-3,092E-03

13-5-14 16:00	27,10	-0,681	-0,637	-0,727	-0,523	-0,487	-0,48	-3,3E-03	-3,0E-03	-3,0E-03	-3,104E-03
14-5-14 16:00	28,10	-0,684	-0,639	-0,729	-0,526	-0,489	-0,482	-3,3E-03	-3,1E-03	-3,0E-03	-3,119E-03

6-NANO

DRY

Data	Time (min)	Measure			Dim. difference (DL)			Deform			Average
		FREE-1	FREE-2	FREE-3	FREE-1	FREE-2	FREE-3	FREE-1	FREE-2	FREE-3	Deform
		(mm)	(mm)	(mm)	(mm)	(mm)	(mm)	(ε)	(ε)	(ε)	(με)
8-4-14 14:40	0,00	-0,168	-0,543	-0,422	0	0	0	0,0E+00	0,0E+00	0,0E+00	0,000E+00
8-4-14 15:00	0,01	-0,184	-0,56	-0,441	-0,016	-0,017	-0,019	-1,0E-04	-1,1E-04	-1,2E-04	-1,083E-04
8-4-14 15:30	0,03	-0,19	-0,566	-0,447	-0,022	-0,023	-0,025	-1,4E-04	-1,4E-04	-1,6E-04	-1,458E-04
8-4-14 16:00	0,06	-0,196	-0,572	-0,453	-0,028	-0,029	-0,031	-1,8E-04	-1,8E-04	-1,9E-04	-1,833E-04
8-4-14 16:30	0,08	-0,2	-0,575	-0,457	-0,032	-0,032	-0,035	-2,0E-04	-2,0E-04	-2,2E-04	-2,063E-04
8-4-14 17:00	0,10	-0,203	-0,578	-0,461	-0,035	-0,035	-0,039	-2,2E-04	-2,2E-04	-2,4E-04	-2,271E-04
8-4-14 17:30	0,12	-0,207	-0,581	-0,464	-0,039	-0,038	-0,042	-2,4E-04	-2,4E-04	-2,6E-04	-2,479E-04
9-4-14 11:00	0,85	-0,287	-0,663	-0,544	-0,119	-0,12	-0,122	-7,4E-04	-7,5E-04	-7,6E-04	-7,521E-04
9-4-14 11:30	0,87	-0,291	-0,665	-0,547	-0,123	-0,122	-0,125	-7,7E-04	-7,6E-04	-7,8E-04	-7,708E-04
9-4-14 12:15	0,90	-0,294	-0,666	-0,55	-0,126	-0,123	-0,128	-7,9E-04	-7,7E-04	-8,0E-04	-7,854E-04
9-4-14 13:00	0,93	-0,293	-0,669	-0,552	-0,125	-0,126	-0,13	-7,8E-04	-7,9E-04	-8,1E-04	-7,938E-04
9-4-14 14:00	0,97	-0,3	-0,673	-0,556	-0,132	-0,13	-0,134	-8,3E-04	-8,1E-04	-8,4E-04	-8,250E-04
9-4-14 15:00	1,01	-0,304	-0,676	-0,56	-0,136	-0,133	-0,138	-8,5E-04	-8,3E-04	-8,6E-04	-8,479E-04
9-4-14 16:00	1,06	-0,307	-0,68	-0,564	-0,139	-0,137	-0,142	-8,7E-04	-8,6E-04	-8,9E-04	-8,708E-04
9-4-14 16:30	1,08	-0,309	-0,68	-0,565	-0,141	-0,137	-0,143	-8,8E-04	-8,6E-04	-8,9E-04	-8,771E-04
9-4-14 17:00	1,10	-0,31	-0,683	-0,567	-0,142	-0,14	-0,145	-8,9E-04	-8,8E-04	-9,1E-04	-8,896E-04
10-4-14 12:20	1,90	-0,361	-0,733	-0,617	-0,193	-0,19	-0,195	-1,2E-03	-1,2E-03	-1,2E-03	-1,204E-03
10-4-14 13:20	1,94	-0,362	-0,735	-0,618	-0,194	-0,192	-0,196	-1,2E-03	-1,2E-03	-1,2E-03	-1,213E-03
10-4-14 14:20	1,99	-0,365	-0,737	-0,622	-0,197	-0,194	-0,2	-1,2E-03	-1,2E-03	-1,3E-03	-1,231E-03
10-4-14 15:20	2,03	-0,368	-0,739	-0,623	-0,2	-0,196	-0,201	-1,3E-03	-1,2E-03	-1,3E-03	-1,244E-03
10-4-14 16:20	2,07	-0,369	-0,741	-0,626	-0,201	-0,198	-0,204	-1,3E-03	-1,2E-03	-1,3E-03	-1,256E-03
10-4-14 17:20	2,11	-0,372	-0,743	-0,628	-0,204	-0,2	-0,206	-1,3E-03	-1,3E-03	-1,3E-03	-1,271E-03
11-4-14 11:30	2,87	-0,408	-0,78	-0,665	-0,24	-0,237	-0,243	-1,5E-03	-1,5E-03	-1,5E-03	-1,500E-03
11-4-14 12:30	2,91	-0,409	-0,781	-0,665	-0,241	-0,238	-0,243	-1,5E-03	-1,5E-03	-1,5E-03	-1,504E-03
11-4-14 13:30	2,95	-0,411	-0,782	-0,667	-0,243	-0,239	-0,245	-1,5E-03	-1,5E-03	-1,5E-03	-1,515E-03
11-4-14 14:30	2,99	-0,412	-0,784	-0,669	-0,244	-0,241	-0,247	-1,5E-03	-1,5E-03	-1,5E-03	-1,525E-03
11-4-14 15:30	3,03	-0,414	-0,786	-0,67	-0,246	-0,243	-0,248	-1,5E-03	-1,5E-03	-1,6E-03	-1,535E-03
11-4-14 16:30	3,08	-0,418	-0,79	-0,674	-0,25	-0,247	-0,252	-1,6E-03	-1,5E-03	-1,6E-03	-1,560E-03
14-4-14 12:00	5,89	-0,496	-0,867	-0,753	-0,328	-0,324	-0,331	-2,1E-03	-2,0E-03	-2,1E-03	-2,048E-03
14-4-14 13:00	5,93	-0,497	-0,868	-0,753	-0,329	-0,325	-0,331	-2,1E-03	-2,0E-03	-2,1E-03	-2,052E-03
14-4-14 14:00	5,97	-0,498	-0,868	-0,754	-0,33	-0,325	-0,332	-2,1E-03	-2,0E-03	-2,1E-03	-2,056E-03
14-4-14 15:00	6,01	-0,498	-0,869	-0,755	-0,33	-0,326	-0,333	-2,1E-03	-2,0E-03	-2,1E-03	-2,060E-03
14-4-14 16:00	6,06	-0,498	-0,869	-0,755	-0,33	-0,326	-0,333	-2,1E-03	-2,0E-03	-2,1E-03	-2,060E-03
15-4-14 13:00	6,93	-0,512	-0,883	-0,769	-0,344	-0,34	-0,347	-2,2E-03	-2,1E-03	-2,2E-03	-2,148E-03
15-4-14 14:00	6,97	-0,512	-0,883	-0,768	-0,344	-0,34	-0,346	-2,2E-03	-2,1E-03	-2,2E-03	-2,146E-03

15-4-14 15:00	7,01	-0,512	-0,883	-0,769	-0,344	-0,34	-0,347	-2,2E-03	-2,1E-03	-2,2E-03	-2,148E-03
15-4-14 16:00	7,06	-0,51	-0,884	-0,77	-0,342	-0,341	-0,348	-2,1E-03	-2,1E-03	-2,2E-03	-2,148E-03
15-4-14 17:00	7,10	-0,511	-0,885	-0,771	-0,343	-0,342	-0,349	-2,1E-03	-2,1E-03	-2,2E-03	-2,154E-03
16-4-14 13:15	7,94	-0,52	-0,893	-0,781	-0,352	-0,35	-0,359	-2,2E-03	-2,2E-03	-2,2E-03	-2,210E-03
16-4-14 14:15	7,98	-0,522	-0,894	-0,781	-0,354	-0,351	-0,359	-2,2E-03	-2,2E-03	-2,2E-03	-2,217E-03
16-4-14 15:15	8,02	-0,523	-0,895	-0,781	-0,355	-0,352	-0,359	-2,2E-03	-2,2E-03	-2,2E-03	-2,221E-03
16-4-14 16:15	8,07	-0,524	-0,895	-0,782	-0,356	-0,352	-0,36	-2,2E-03	-2,2E-03	-2,3E-03	-2,225E-03
17-4-14 12:20	8,90	-0,531	-0,903	-0,79	-0,363	-0,36	-0,368	-2,3E-03	-2,3E-03	-2,3E-03	-2,273E-03
17-4-14 13:20	8,94	-0,532	-0,903	-0,79	-0,364	-0,36	-0,368	-2,3E-03	-2,3E-03	-2,3E-03	-2,275E-03
17-4-14 14:20	8,99	-0,533	-0,903	-0,79	-0,365	-0,36	-0,368	-2,3E-03	-2,3E-03	-2,3E-03	-2,277E-03
17-4-14 15:20	9,03	-0,533	-0,904	-0,789	-0,365	-0,361	-0,367	-2,3E-03	-2,3E-03	-2,3E-03	-2,277E-03
18-4-14 11:45	9,88	-0,538	-0,91	-0,796	-0,37	-0,367	-0,374	-2,3E-03	-2,3E-03	-2,3E-03	-2,315E-03
18-4-14 14:35	10,00	-0,54	-0,911	-0,796	-0,372	-0,368	-0,374	-2,3E-03	-2,3E-03	-2,3E-03	-2,321E-03
22-4-14 11:05	13,85	-0,558	-0,929	-0,816	-0,39	-0,386	-0,394	-2,4E-03	-2,4E-03	-2,5E-03	-2,438E-03
23-4-14 10:30	14,83	-0,56	-0,931	-0,818	-0,392	-0,388	-0,396	-2,5E-03	-2,4E-03	-2,5E-03	-2,450E-03
23-4-14 13:30	14,95	-0,562	-0,932	-0,819	-0,394	-0,389	-0,397	-2,5E-03	-2,4E-03	-2,5E-03	-2,458E-03
24-4-14 15:20	16,03	-0,565	-0,934	-0,822	-0,397	-0,391	-0,4	-2,5E-03	-2,4E-03	-2,5E-03	-2,475E-03
24-4-14 16:20	16,07	-0,564	-0,934	-0,821	-0,396	-0,391	-0,399	-2,5E-03	-2,4E-03	-2,5E-03	-2,471E-03
28-4-14 11:30	19,87	-0,572	-0,943	-0,83	-0,404	-0,4	-0,408	-2,5E-03	-2,5E-03	-2,6E-03	-2,525E-03
28-4-14 13:30	19,95	-0,572	-0,943	-0,829	-0,404	-0,4	-0,407	-2,5E-03	-2,5E-03	-2,5E-03	-2,523E-03
28-4-14 15:30	20,03	-0,572	-0,942	-0,829	-0,404	-0,399	-0,407	-2,5E-03	-2,5E-03	-2,5E-03	-2,521E-03
29-4-14 12:00	20,89	-0,574	-0,945	-0,832	-0,406	-0,402	-0,41	-2,5E-03	-2,5E-03	-2,6E-03	-2,538E-03
29-4-14 14:00	20,97	-0,575	-0,946	-0,833	-0,407	-0,403	-0,411	-2,5E-03	-2,5E-03	-2,6E-03	-2,544E-03
30-4-14 13:00	21,93	-0,577	-0,948	-0,834	-0,409	-0,405	-0,412	-2,6E-03	-2,5E-03	-2,6E-03	-2,554E-03
30-4-14 15:30	22,03	-0,578	-0,948	-0,834	-0,41	-0,405	-0,412	-2,6E-03	-2,5E-03	-2,6E-03	-2,556E-03
5-5-14 10:50	26,84	-0,568	-0,938	-0,824	-0,4	-0,395	-0,402	-2,5E-03	-2,5E-03	-2,5E-03	-2,494E-03
5-5-14 12:50	26,92	-0,569	-0,939	-0,825	-0,401	-0,396	-0,403	-2,5E-03	-2,5E-03	-2,5E-03	-2,500E-03
5-5-14 16:00	27,06	-0,57	-0,94	-0,826	-0,402	-0,397	-0,404	-2,5E-03	-2,5E-03	-2,5E-03	-2,506E-03
6-5-14 13:30	27,95	-0,577	-0,947	-0,833	-0,409	-0,404	-0,411	-2,6E-03	-2,5E-03	-2,6E-03	-2,550E-03
6-5-14 15:00	28,01	-0,577	-0,946	-0,833	-0,409	-0,403	-0,411	-2,6E-03	-2,5E-03	-2,6E-03	-2,548E-03

POW

DRY

Data	Time	Measure			Dim. difference (DL)			Deform			Average
		FREE-1	FREE-2	FREE-3	FREE-1	FREE-2	FREE-3	FREE-1	FREE-2	FREE-3	Deform
	(min)	(mm)		(mm)			(ε)			(με)	
9-6-15 11:20	0,00	-1,097	-0,38	-0,279	0	0	0	0,0E+00	0,0E+00	0,0E+00	0,000E+00
9-6-15 12:00	0,03	-1,116	-0,405	-0,297	-0,019	-0,025	-0,018	-1,2E-04	-1,6E-04	-1,1E-04	-1,292E-04
9-6-15 13:15	0,08	-1,126	-0,415	-0,308	-0,029	-0,035	-0,029	-1,8E-04	-2,2E-04	-1,8E-04	-1,938E-04
9-6-15 13:50	0,10	-1,131	-0,42	-0,31	-0,034	-0,04	-0,031	-2,1E-04	-2,5E-04	-1,9E-04	-2,188E-04
9-6-15 14:20	0,13	-1,132	-0,424	-0,313	-0,035	-0,044	-0,034	-2,2E-04	-2,8E-04	-2,1E-04	-2,354E-04
9-6-15 15:00	0,15	-1,134	-0,427	-0,315	-0,037	-0,047	-0,036	-2,3E-04	-2,9E-04	-2,3E-04	-2,500E-04
9-6-15 15:35	0,18	-1,138	-0,432	-0,318	-0,041	-0,052	-0,039	-2,6E-04	-3,3E-04	-2,4E-04	-2,750E-04
10-6-15 10:50	0,98	-1,213	-0,503	-0,392	-0,116	-0,123	-0,113	-7,3E-04	-7,7E-04	-7,1E-04	-7,333E-04
10-6-15 11:30	1,01	-1,215	-0,507	-0,394	-0,118	-0,127	-0,115	-7,4E-04	-7,9E-04	-7,2E-04	-7,500E-04
10-6-15 12:10	1,03	-1,216	-0,508	-0,395	-0,119	-0,128	-0,116	-7,4E-04	-8,0E-04	-7,3E-04	-7,563E-04
10-6-15 12:50	1,06	-1,217	-0,51	-0,396	-0,12	-0,13	-0,117	-7,5E-04	-8,1E-04	-7,3E-04	-7,646E-04
10-6-15 13:40	1,10	-1,219	-0,514	-0,399	-0,122	-0,134	-0,12	-7,6E-04	-8,4E-04	-7,5E-04	-7,833E-04
10-6-15 14:20	1,13	-1,22	-0,515	-0,4	-0,123	-0,135	-0,121	-7,7E-04	-8,4E-04	-7,6E-04	-7,896E-04
10-6-15 15:05	1,16	-1,221	-0,517	-0,401	-0,124	-0,137	-0,122	-7,8E-04	-8,6E-04	-7,6E-04	-7,979E-04
11-6-15 15:05	2,16	-1,275	-0,569	-0,452	-0,178	-0,189	-0,173	-1,1E-03	-1,2E-03	-1,1E-03	-1,125E-03
11-6-15 15:55	2,19	-1,278	-0,572	-0,456	-0,181	-0,192	-0,177	-1,1E-03	-1,2E-03	-1,1E-03	-1,146E-03
12-6-15 9:45	2,93	-1,311	-0,608	-0,49	-0,214	-0,228	-0,211	-1,3E-03	-1,4E-03	-1,3E-03	-1,360E-03
12-6-15 10:35	2,97	-1,311	-0,609	-0,491	-0,214	-0,229	-0,212	-1,3E-03	-1,4E-03	-1,3E-03	-1,365E-03
12-6-15 13:45	3,10	-1,317	-0,615	-0,497	-0,22	-0,235	-0,218	-1,4E-03	-1,5E-03	-1,4E-03	-1,402E-03
12-6-15 15:05	3,16	-1,318	-0,617	-0,498	-0,221	-0,237	-0,219	-1,4E-03	-1,5E-03	-1,4E-03	-1,410E-03
15-6-15 10:30	5,97	-1,4	-0,694	-0,577	-0,303	-0,314	-0,298	-1,9E-03	-2,0E-03	-1,9E-03	-1,906E-03
15-6-15 13:00	6,07	-1,402	-0,699	-0,58	-0,305	-0,319	-0,301	-1,9E-03	-2,0E-03	-1,9E-03	-1,927E-03
15-6-15 15:40	6,18	-1,403	-0,7	-0,582	-0,306	-0,32	-0,303	-1,9E-03	-2,0E-03	-1,9E-03	-1,935E-03
16-6-15 9:40	6,93	-1,428	-0,714	-0,597	-0,331	-0,334	-0,318	-2,1E-03	-2,1E-03	-2,0E-03	-2,048E-03
16-6-15 15:15	7,16	-1,428	-0,715	-0,598	-0,331	-0,335	-0,319	-2,1E-03	-2,1E-03	-2,0E-03	-2,052E-03
17-6-15 9:50	7,94	-1,428	-0,725	-0,608	-0,331	-0,345	-0,329	-2,1E-03	-2,2E-03	-2,1E-03	-2,094E-03
17-6-15 14:10	8,12	-1,428	-0,726	-0,61	-0,331	-0,346	-0,331	-2,1E-03	-2,2E-03	-2,1E-03	-2,100E-03
22-6-15 12:15	13,04	-1,47	-0,768	-0,649	-0,373	-0,388	-0,37	-2,3E-03	-2,4E-03	-2,3E-03	-2,356E-03
23-6-15 10:05	13,95	-1,471	-0,769	-0,65	-0,374	-0,389	-0,371	-2,3E-03	-2,4E-03	-2,3E-03	-2,363E-03
23-6-15 15:40	14,18	-1,472	-0,77	-0,651	-0,375	-0,39	-0,372	-2,3E-03	-2,4E-03	-2,3E-03	-2,369E-03
24-6-15 10:20	14,96	-1,475	-0,773	-0,654	-0,378	-0,393	-0,375	-2,4E-03	-2,5E-03	-2,3E-03	-2,388E-03
24-6-15 15:35	15,18	-1,476	-0,774	-0,656	-0,379	-0,394	-0,377	-2,4E-03	-2,5E-03	-2,4E-03	-2,396E-03
25-6-15 12:05	16,03	-1,464	-0,761	-0,646	-0,367	-0,381	-0,367	-2,3E-03	-2,4E-03	-2,3E-03	-2,323E-03
26-6-15 10:15	16,95	-1,46	-0,757	-0,64	-0,363	-0,377	-0,361	-2,3E-03	-2,4E-03	-2,3E-03	-2,294E-03
26-6-15 15:20	17,17	-1,464	-0,755	-0,637	-0,367	-0,375	-0,358	-2,3E-03	-2,3E-03	-2,2E-03	-2,292E-03
29-6-15 9:35	19,93	-1,455	-0,753	-0,637	-0,358	-0,373	-0,358	-2,2E-03	-2,3E-03	-2,2E-03	-2,269E-03
29-6-15 14:45	20,14	-1,453	-0,754	-0,636	-0,356	-0,374	-0,357	-2,2E-03	-2,3E-03	-2,2E-03	-2,265E-03
30-6-15 10:20	20,96	-1,454	-0,753	-0,635	-0,357	-0,373	-0,356	-2,2E-03	-2,3E-03	-2,2E-03	-2,263E-03

30-6-15 14:55	21,15	-1,453	-0,753	-0,635	-0,356	-0,373	-0,356	-2,2E-03	-2,3E-03	-2,2E-03	-2,260E-03
1-7-15 9:50	21,94	-1,453	-0,753	-0,635	-0,356	-0,373	-0,356	-2,2E-03	-2,3E-03	-2,2E-03	-2,260E-03
1-7-15 13:50	22,10	-1,453	-0,753	-0,634	-0,356	-0,373	-0,355	-2,2E-03	-2,3E-03	-2,2E-03	-2,258E-03
2-7-15 9:50	22,94	-1,449	-0,748	-0,631	-0,352	-0,368	-0,352	-2,2E-03	-2,3E-03	-2,2E-03	-2,233E-03
2-7-15 15:10	23,16	-1,449	-0,75	-0,632	-0,352	-0,37	-0,353	-2,2E-03	-2,3E-03	-2,2E-03	-2,240E-03
3-7-15 8:50	23,90	-1,15	-0,75	-0,631	-0,053	-0,37	-0,352	-3,3E-04	-2,3E-03	-2,2E-03	-1,615E-03
6-7-15 9:40	26,93	-1,446	-0,747	-0,629	-0,349	-0,367	-0,35	-2,2E-03	-2,3E-03	-2,2E-03	-2,221E-03
6-7-15 15:30	27,17	-1,446	-0,746	-0,627	-0,349	-0,366	-0,348	-2,2E-03	-2,3E-03	-2,2E-03	-2,215E-03
7-7-15 10:55	27,98	-1,444	-0,741	-0,624	-0,347	-0,361	-0,345	-2,2E-03	-2,3E-03	-2,2E-03	-2,194E-03
7-7-15 15:30	28,17	-1,442	-0,742	-0,624	-0,345	-0,362	-0,345	-2,2E-03	-2,3E-03	-2,2E-03	-2,192E-03

ST+SIS.SAT	DRY
------------	-----

Data	Time (min)	Measure			Dim. difference (DL)			Deform			Average
		FREE-1	FREE-2	FREE-3	FREE-1	FREE-2	FREE-3	FREE-1	FREE-2	FREE-3	Deform
		(mm)	(mm)	(mm)	(mm)	(mm)	(mm)	(ε)	(ε)	(ε)	(με)
5-5-15 11:40	0,00	-1,404	-0,413	0,026	0	0	0	0,0E+00	0,0E+00	0,0E+00	0,000E+00
5-5-15 12:10	0,02	-1,419	-0,428	0,011	-0,015	-0,015	-0,015	-9,4E-05	-9,4E-05	-9,4E-05	-9,375E-05
5-5-15 12:40	0,04	-1,429	-0,437	0,003	-0,025	-0,024	-0,023	-1,6E-04	-1,5E-04	-1,4E-04	-1,500E-04
5-5-15 13:10	0,06	-1,431	-0,438	0	-0,027	-0,025	-0,026	-1,7E-04	-1,6E-04	-1,6E-04	-1,625E-04
5-5-15 13:40	0,08	-1,439	-0,447	-0,004	-0,035	-0,034	-0,03	-2,2E-04	-2,1E-04	-1,9E-04	-2,063E-04
5-5-15 14:10	0,10	-1,437	-0,445	-0,006	-0,033	-0,032	-0,032	-2,1E-04	-2,0E-04	-2,0E-04	-2,021E-04
5-5-15 14:40	0,13	-1,44	-0,447	-0,009	-0,036	-0,034	-0,035	-2,3E-04	-2,1E-04	-2,2E-04	-2,188E-04
5-5-15 15:10	0,15	-1,443	-0,453	-0,013	-0,039	-0,04	-0,039	-2,4E-04	-2,5E-04	-2,4E-04	-2,458E-04
5-5-15 15:40	0,17	-1,445	-0,453	-0,013	-0,041	-0,04	-0,039	-2,6E-04	-2,5E-04	-2,4E-04	-2,500E-04
5-5-15 16:10	0,19	-1,447	-0,456	-0,016	-0,043	-0,043	-0,042	-2,7E-04	-2,7E-04	-2,6E-04	-2,667E-04
5-5-15 16:40	0,21	-1,451	-0,462	-0,022	-0,047	-0,049	-0,048	-2,9E-04	-3,1E-04	-3,0E-04	-3,000E-04
6-5-15 10:20	0,94	-1,52	-0,527	-0,087	-0,116	-0,114	-0,113	-7,3E-04	-7,1E-04	-7,1E-04	-7,146E-04
6-5-15 10:50	0,97	-1,519	-0,526	-0,086	-0,115	-0,113	-0,112	-7,2E-04	-7,1E-04	-7,0E-04	-7,083E-04
6-5-15 11:20	0,99	-1,521	-0,528	-0,09	-0,117	-0,115	-0,116	-7,3E-04	-7,2E-04	-7,3E-04	-7,250E-04
6-5-15 11:50	1,01	-1,522	-0,53	-0,091	-0,118	-0,117	-0,117	-7,4E-04	-7,3E-04	-7,3E-04	-7,333E-04
6-5-15 12:20	1,03	-1,525	-0,531	-0,092	-0,121	-0,118	-0,118	-7,6E-04	-7,4E-04	-7,4E-04	-7,438E-04
6-5-15 12:50	1,05	-1,528	-0,532	-0,094	-0,124	-0,119	-0,12	-7,8E-04	-7,4E-04	-7,5E-04	-7,563E-04
6-5-15 13:20	1,07	-1,53	-0,535	-0,095	-0,126	-0,122	-0,121	-7,9E-04	-7,6E-04	-7,6E-04	-7,688E-04
6-5-15 13:50	1,09	-1,533	-0,538	-0,097	-0,129	-0,125	-0,123	-8,1E-04	-7,8E-04	-7,7E-04	-7,854E-04
6-5-15 14:20	1,11	-1,533	-0,54	-0,099	-0,129	-0,127	-0,125	-8,1E-04	-7,9E-04	-7,8E-04	-7,938E-04
6-5-15 14:50	1,13	-1,534	-0,54	-0,1	-0,13	-0,127	-0,126	-8,1E-04	-7,9E-04	-7,9E-04	-7,979E-04
6-5-15 15:20	1,15	-1,534	-0,541	-0,101	-0,13	-0,128	-0,127	-8,1E-04	-8,0E-04	-7,9E-04	-8,021E-04

6-5-15 15:50	1,17	-1,535	-0,542	-0,103	-0,131	-0,129	-0,129	-8,2E-04	-8,1E-04	-8,1E-04	-8,104E-04
6-5-15 16:20	1,19	-1,536	-0,543	-0,104	-0,132	-0,13	-0,13	-8,3E-04	-8,1E-04	-8,1E-04	-8,167E-04
7-5-15 10:20	1,94	-1,581	-0,59	-0,153	-0,177	-0,177	-0,179	-1,1E-03	-1,1E-03	-1,1E-03	-1,110E-03
7-5-15 11:20	1,99	-1,583	-0,593	-0,154	-0,179	-0,18	-0,18	-1,1E-03	-1,1E-03	-1,1E-03	-1,123E-03
7-5-15 12:20	2,03	-1,584	-0,593	-0,155	-0,18	-0,18	-0,181	-1,1E-03	-1,1E-03	-1,1E-03	-1,127E-03
7-5-15 13:20	2,07	-1,585	-0,595	-0,155	-0,181	-0,182	-0,181	-1,1E-03	-1,1E-03	-1,1E-03	-1,133E-03
7-5-15 14:20	2,11	-1,587	-0,596	-0,158	-0,183	-0,183	-0,184	-1,1E-03	-1,1E-03	-1,2E-03	-1,146E-03
7-5-15 15:20	2,15	-1,589	-0,601	-0,161	-0,185	-0,188	-0,187	-1,2E-03	-1,2E-03	-1,2E-03	-1,167E-03
11-5-15 14:50	6,13	-1,714	-0,731	-0,292	-0,31	-0,318	-0,318	-1,9E-03	-2,0E-03	-2,0E-03	-1,971E-03
11-5-15 16:50	6,22	-1,719	-0,731	-0,292	-0,315	-0,318	-0,318	-2,0E-03	-2,0E-03	-2,0E-03	-1,981E-03
12-5-15 10:20	6,94	-1,728	-0,746	-0,306	-0,324	-0,333	-0,332	-2,0E-03	-2,1E-03	-2,1E-03	-2,060E-03
12-5-15 12:20	7,03	-1,729	-0,747	-0,309	-0,325	-0,334	-0,335	-2,0E-03	-2,1E-03	-2,1E-03	-2,071E-03
12-5-15 14:20	7,11	-1,729	-0,748	-0,308	-0,325	-0,335	-0,334	-2,0E-03	-2,1E-03	-2,1E-03	-2,071E-03
12-5-15 16:20	7,19	-1,73	-0,748	-0,308	-0,326	-0,335	-0,334	-2,0E-03	-2,1E-03	-2,1E-03	-2,073E-03
13-5-15 10:00	7,93	-1,739	-0,758	-0,317	-0,335	-0,345	-0,343	-2,1E-03	-2,2E-03	-2,1E-03	-2,131E-03
13-5-15 12:00	8,01	-1,741	-0,759	-0,319	-0,337	-0,346	-0,345	-2,1E-03	-2,2E-03	-2,2E-03	-2,142E-03
13-5-15 14:00	8,10	-1,741	-0,76	-0,318	-0,337	-0,347	-0,344	-2,1E-03	-2,2E-03	-2,2E-03	-2,142E-03
14-5-15 8:50	8,88	-1,742	-0,763	-0,319	-0,338	-0,35	-0,345	-2,1E-03	-2,2E-03	-2,2E-03	-2,152E-03
14-5-15 10:50	8,97	-1,743	-0,764	-0,322	-0,339	-0,351	-0,348	-2,1E-03	-2,2E-03	-2,2E-03	-2,163E-03
14-5-15 12:50	9,05	-1,745	-0,766	-0,324	-0,341	-0,353	-0,35	-2,1E-03	-2,2E-03	-2,2E-03	-2,175E-03
15-5-15 9:00	9,89	-1,751	-0,772	-0,333	-0,347	-0,359	-0,359	-2,2E-03	-2,2E-03	-2,2E-03	-2,219E-03
15-5-15 11:00	9,97	-1,752	-0,774	-0,334	-0,348	-0,361	-0,36	-2,2E-03	-2,3E-03	-2,3E-03	-2,227E-03
15-5-15 13:00	10,06	-1,754	-0,773	-0,333	-0,35	-0,36	-0,359	-2,2E-03	-2,3E-03	-2,2E-03	-2,227E-03
18-5-15 8:50	12,88	-1,758	-0,785	-0,347	-0,354	-0,372	-0,373	-2,2E-03	-2,3E-03	-2,3E-03	-2,290E-03
18-5-15 15:50	13,17	-1,759	-0,786	-0,348	-0,355	-0,373	-0,374	-2,2E-03	-2,3E-03	-2,3E-03	-2,296E-03
19-5-15 12:10	14,02	-1,76	-0,79	-0,351	-0,356	-0,377	-0,377	-2,2E-03	-2,4E-03	-2,4E-03	-2,313E-03
19-5-15 14:10	14,10	-1,765	-0,787	-0,349	-0,361	-0,374	-0,375	-2,3E-03	-2,3E-03	-2,3E-03	-2,313E-03
19-5-15 16:10	14,19	-1,767	-0,789	-0,347	-0,363	-0,376	-0,373	-2,3E-03	-2,4E-03	-2,3E-03	-2,317E-03
20-5-15 11:10	14,98	-1,773	-0,792	-0,353	-0,369	-0,379	-0,379	-2,3E-03	-2,4E-03	-2,4E-03	-2,348E-03
20-5-15 13:10	15,06	-1,775	-0,792	-0,35	-0,371	-0,379	-0,376	-2,3E-03	-2,4E-03	-2,4E-03	-2,346E-03
21-5-15 10:00	15,93	-1,781	-0,793	-0,351	-0,377	-0,38	-0,377	-2,4E-03	-2,4E-03	-2,4E-03	-2,363E-03
21-5-15 12:00	16,01	-1,782	-0,794	-0,351	-0,378	-0,381	-0,377	-2,4E-03	-2,4E-03	-2,4E-03	-2,367E-03
25-5-15 8:50	19,88	-1,789	-0,8	-0,357	-0,385	-0,387	-0,383	-2,4E-03	-2,4E-03	-2,4E-03	-2,406E-03
25-5-15 12:45	20,05	-1,792	-0,8	-0,358	-0,388	-0,387	-0,384	-2,4E-03	-2,4E-03	-2,4E-03	-2,415E-03
26-5-15 10:25	20,95	-1,792	-0,802	-0,36	-0,388	-0,389	-0,386	-2,4E-03	-2,4E-03	-2,4E-03	-2,423E-03
26-5-15 12:25	21,03	-1,796	-0,805	-0,359	-0,392	-0,392	-0,385	-2,5E-03	-2,5E-03	-2,4E-03	-2,435E-03
26-5-15 15:25	21,16	-1,798	-0,806	-0,361	-0,394	-0,393	-0,387	-2,5E-03	-2,5E-03	-2,4E-03	-2,446E-03
27-5-15 11:05	21,98	-1,803	-0,808	-0,364	-0,399	-0,395	-0,39	-2,5E-03	-2,5E-03	-2,4E-03	-2,467E-03
27-5-15 13:05	22,06	-1,804	-0,81	-0,365	-0,4	-0,397	-0,391	-2,5E-03	-2,5E-03	-2,4E-03	-2,475E-03
27-5-15 15:05	22,14	-1,807	-0,811	-0,365	-0,403	-0,398	-0,391	-2,5E-03	-2,5E-03	-2,4E-03	-2,483E-03
28-5-15 10:50	22,97	-1,81	-0,813	-0,365	-0,406	-0,4	-0,391	-2,5E-03	-2,5E-03	-2,4E-03	-2,494E-03
28-5-15 12:50	23,05	-1,811	-0,814	-0,366	-0,407	-0,401	-0,392	-2,5E-03	-2,5E-03	-2,4E-03	-2,500E-03
28-5-15 14:50	23,13	-1,811	-0,814	-0,366	-0,407	-0,401	-0,392	-2,5E-03	-2,5E-03	-2,5E-03	-2,500E-03

29-5-15 11:40	24,00	-1,812	-0,814	-0,366	-0,408	-0,401	-0,392	-2,6E-03	-2,5E-03	-2,5E-03	-2,502E-03
29-5-15 13:45	24,09	-1,813	-0,816	-0,367	-0,409	-0,403	-0,393	-2,6E-03	-2,5E-03	-2,5E-03	-2,510E-03
29-5-15 13:45	24,09	-1,813	-0,816	-0,368	-0,409	-0,403	-0,394	-2,6E-03	-2,5E-03	-2,5E-03	-2,513E-03
3-6-15 10:40	28,96	-1,819	-0,819	-0,371	-0,415	-0,406	-0,397	-2,6E-03	-2,5E-03	-2,5E-03	-2,538E-03

ST+SIS.NS

DRY

Data	Time (min)	Measure			Dim. difference (DL)			Deform			Average
		FREE-1	FREE-2	FREE-3	FREE-1	FREE-2	FREE-3	FREE-1	FREE-2	FREE-3	Deform
		(mm)	(mm)	(mm)	(mm)	(mm)	(mm)	(ε)	(ε)	(ε)	(με)
5-5-15 11:40	0,00	0,477	-0,302	-0,287	0	0	0	0,0E+00	0,0E+00	0,0E+00	0,000E+00
5-5-15 12:10	0,02	0,463	-0,313	-0,302	-0,014	-0,011	-0,015	-8,7E-05	-6,9E-05	-9,4E-05	-8,333E-05
5-5-15 12:40	0,04	0,456	-0,324	-0,309	-0,021	-0,022	-0,022	-1,3E-04	-1,4E-04	-1,4E-04	-1,354E-04
5-5-15 13:10	0,06	0,452	-0,324	-0,309	-0,025	-0,022	-0,022	-1,6E-04	-1,4E-04	-1,4E-04	-1,438E-04
5-5-15 13:40	0,08	0,448	-0,328	-0,315	-0,029	-0,026	-0,028	-1,8E-04	-1,6E-04	-1,8E-04	-1,729E-04
5-5-15 14:10	0,10	0,448	-0,33	-0,315	-0,029	-0,028	-0,028	-1,8E-04	-1,8E-04	-1,8E-04	-1,771E-04
5-5-15 14:40	0,13	0,44	-0,336	-0,322	-0,037	-0,034	-0,035	-2,3E-04	-2,1E-04	-2,2E-04	-2,208E-04
5-5-15 15:10	0,15	0,441	-0,338	-0,322	-0,036	-0,036	-0,035	-2,3E-04	-2,3E-04	-2,2E-04	-2,229E-04
5-5-15 15:40	0,17	0,439	-0,339	-0,324	-0,038	-0,037	-0,037	-2,4E-04	-2,3E-04	-2,3E-04	-2,333E-04
5-5-15 16:10	0,19	0,438	-0,34	-0,323	-0,039	-0,038	-0,036	-2,4E-04	-2,4E-04	-2,3E-04	-2,354E-04
5-5-15 16:40	0,21	0,435	-0,343	-0,328	-0,042	-0,041	-0,041	-2,6E-04	-2,6E-04	-2,6E-04	-2,583E-04
6-5-15 10:20	0,94	0,376	-0,403	-0,386	-0,101	-0,101	-0,099	-6,3E-04	-6,3E-04	-6,2E-04	-6,271E-04
6-5-15 10:50	0,97	0,377	-0,404	-0,387	-0,1	-0,102	-0,1	-6,3E-04	-6,4E-04	-6,3E-04	-6,292E-04
6-5-15 11:20	0,99	0,372	-0,406	-0,389	-0,105	-0,104	-0,102	-6,6E-04	-6,5E-04	-6,4E-04	-6,479E-04
6-5-15 11:50	1,01	0,37	-0,412	-0,393	-0,107	-0,11	-0,106	-6,7E-04	-6,9E-04	-6,6E-04	-6,729E-04
6-5-15 12:20	1,03	0,368	-0,413	-0,393	-0,109	-0,111	-0,106	-6,8E-04	-6,9E-04	-6,6E-04	-6,792E-04
6-5-15 12:50	1,05	0,366	-0,416	-0,396	-0,111	-0,114	-0,109	-6,9E-04	-7,1E-04	-6,8E-04	-6,958E-04
6-5-15 13:20	1,07	0,364	-0,418	-0,396	-0,113	-0,116	-0,109	-7,1E-04	-7,3E-04	-6,8E-04	-7,042E-04
6-5-15 13:50	1,09	0,364	-0,418	-0,397	-0,113	-0,116	-0,11	-7,1E-04	-7,3E-04	-6,9E-04	-7,063E-04
6-5-15 14:20	1,11	0,363	-0,419	-0,399	-0,114	-0,117	-0,112	-7,1E-04	-7,3E-04	-7,0E-04	-7,146E-04
6-5-15 14:50	1,13	0,362	-0,42	-0,4	-0,115	-0,118	-0,113	-7,2E-04	-7,4E-04	-7,1E-04	-7,208E-04
6-5-15 15:20	1,15	0,362	-0,421	-0,4	-0,115	-0,119	-0,113	-7,2E-04	-7,4E-04	-7,1E-04	-7,229E-04
6-5-15 15:50	1,17	0,361	-0,422	-0,401	-0,116	-0,12	-0,114	-7,3E-04	-7,5E-04	-7,1E-04	-7,292E-04
6-5-15 16:20	1,19	0,36	-0,425	-0,403	-0,117	-0,123	-0,116	-7,3E-04	-7,7E-04	-7,3E-04	-7,417E-04
7-5-15 10:15	1,94	0,318	-0,468	-0,447	-0,159	-0,166	-0,16	-9,9E-04	-1,0E-03	-1,0E-03	-1,010E-03
7-5-15 11:15	1,98	0,315	-0,471	-0,449	-0,162	-0,169	-0,162	-1,0E-03	-1,1E-03	-1,0E-03	-1,027E-03
7-5-15 12:15	2,02	0,313	-0,473	-0,451	-0,164	-0,171	-0,164	-1,0E-03	-1,1E-03	-1,0E-03	-1,040E-03
7-5-15 13:15	2,07	0,311	-0,474	-0,451	-0,166	-0,172	-0,164	-1,0E-03	-1,1E-03	-1,0E-03	-1,046E-03
7-5-15 14:15	2,11	0,307	-0,477	-0,454	-0,17	-0,175	-0,167	-1,1E-03	-1,1E-03	-1,0E-03	-1,067E-03
7-5-15 15:15	2,15	0,306	-0,478	-0,456	-0,171	-0,176	-0,169	-1,1E-03	-1,1E-03	-1,1E-03	-1,075E-03
11-5-15 14:45	6,13	0,191	-0,586	-0,564	-0,286	-0,284	-0,277	-1,8E-03	-1,8E-03	-1,7E-03	-1,765E-03
11-5-15 16:45	6,21	0,192	-0,588	-0,566	-0,285	-0,286	-0,279	-1,8E-03	-1,8E-03	-1,7E-03	-1,771E-03
12-5-15 10:15	6,94	0,179	-0,6	-0,575	-0,298	-0,298	-0,288	-1,9E-03	-1,9E-03	-1,8E-03	-1,842E-03

12-5-15 12:15	7,02	0,178	-0,601	-0,577	-0,299	-0,299	-0,29	-1,9E-03	-1,9E-03	-1,8E-03	-1,850E-03
12-5-15 14:15	7,11	0,177	-0,602	-0,579	-0,3	-0,3	-0,292	-1,9E-03	-1,9E-03	-1,8E-03	-1,858E-03
12-5-15 16:15	7,19	0,177	-0,602	-0,578	-0,3	-0,3	-0,291	-1,9E-03	-1,9E-03	-1,8E-03	-1,856E-03
13-5-15 10:00	7,93	0,168	-0,605	-0,589	-0,309	-0,303	-0,302	-1,9E-03	-1,9E-03	-1,9E-03	-1,904E-03
13-5-15 12:00	8,01	0,166	-0,608	-0,591	-0,311	-0,306	-0,304	-1,9E-03	-1,9E-03	-1,9E-03	-1,919E-03
13-5-15 14:00	8,10	0,165	-0,608	-0,59	-0,312	-0,306	-0,303	-2,0E-03	-1,9E-03	-1,9E-03	-1,919E-03
14-5-15 8:45	8,88	0,164	-0,61	-0,593	-0,313	-0,308	-0,306	-2,0E-03	-1,9E-03	-1,9E-03	-1,931E-03
14-5-15 10:45	8,96	0,163	-0,611	-0,594	-0,314	-0,309	-0,307	-2,0E-03	-1,9E-03	-1,9E-03	-1,938E-03
14-5-15 12:45	9,05	0,161	-0,612	-0,597	-0,316	-0,31	-0,31	-2,0E-03	-1,9E-03	-1,9E-03	-1,950E-03
15-5-15 9:00	9,89	0,155	-0,615	-0,602	-0,322	-0,313	-0,315	-2,0E-03	-2,0E-03	-2,0E-03	-1,979E-03
15-5-15 11:00	9,97	0,155	-0,616	-0,603	-0,322	-0,314	-0,316	-2,0E-03	-2,0E-03	-2,0E-03	-1,983E-03
15-5-15 13:30	10,08	0,154	-0,618	-0,605	-0,323	-0,316	-0,318	-2,0E-03	-2,0E-03	-2,0E-03	-1,994E-03
18-5-15 8:50	12,88	0,142	-0,62	-0,616	-0,335	-0,318	-0,329	-2,1E-03	-2,0E-03	-2,1E-03	-2,046E-03
18-5-15 15:50	13,17	0,14	-0,62	-0,615	-0,337	-0,318	-0,328	-2,1E-03	-2,0E-03	-2,1E-03	-2,048E-03
19-5-15 12:15	14,02	0,139	-0,622	-0,623	-0,338	-0,32	-0,336	-2,1E-03	-2,0E-03	-2,1E-03	-2,071E-03
19-5-15 14:10	14,10	0,139	-0,622	-0,624	-0,338	-0,32	-0,337	-2,1E-03	-2,0E-03	-2,1E-03	-2,073E-03
19-5-15 16:10	14,19	0,138	-0,623	-0,627	-0,339	-0,321	-0,34	-2,1E-03	-2,0E-03	-2,1E-03	-2,083E-03
20-5-15 11:05	14,98	0,135	-0,624	-0,627	-0,342	-0,322	-0,34	-2,1E-03	-2,0E-03	-2,1E-03	-2,092E-03
20-5-15 13:05	15,06	0,134	-0,624	-0,627	-0,343	-0,322	-0,34	-2,1E-03	-2,0E-03	-2,1E-03	-2,094E-03
21-5-15 10:00	15,93	0,133	-0,625	-0,629	-0,344	-0,323	-0,342	-2,2E-03	-2,0E-03	-2,1E-03	-2,102E-03
21-5-15 12:00	16,01	0,133	-0,625	-0,629	-0,344	-0,323	-0,342	-2,2E-03	-2,0E-03	-2,1E-03	-2,102E-03
21-5-15 14:00	16,10	0,132	-0,626	-0,629	-0,345	-0,324	-0,342	-2,2E-03	-2,0E-03	-2,1E-03	-2,106E-03
25-5-15 8:50	19,88	0,131	-0,629	-0,638	-0,346	-0,327	-0,351	-2,2E-03	-2,0E-03	-2,2E-03	-2,133E-03
25-5-15 12:40	20,04	0,128	-0,629	-0,638	-0,349	-0,327	-0,351	-2,2E-03	-2,0E-03	-2,2E-03	-2,140E-03
26-5-15 10:30	20,95	0,126	-0,63	-0,639	-0,351	-0,328	-0,352	-2,2E-03	-2,1E-03	-2,2E-03	-2,148E-03
26-5-15 12:35	21,04	0,124	-0,632	-0,64	-0,353	-0,33	-0,353	-2,2E-03	-2,1E-03	-2,2E-03	-2,158E-03
26-5-15 15:15	21,15	0,122	-0,634	-0,642	-0,355	-0,332	-0,355	-2,2E-03	-2,1E-03	-2,2E-03	-2,171E-03
27-5-15 11:00	21,97	0,12	-0,637	-0,643	-0,357	-0,335	-0,356	-2,2E-03	-2,1E-03	-2,2E-03	-2,183E-03
27-5-15 13:00	22,06	0,12	-0,641	-0,644	-0,357	-0,339	-0,357	-2,2E-03	-2,1E-03	-2,2E-03	-2,194E-03
27-5-15 15:00	22,14	0,12	-0,641	-0,643	-0,357	-0,339	-0,356	-2,2E-03	-2,1E-03	-2,2E-03	-2,192E-03
28-5-15 10:55	22,97	0,118	-0,643	-0,641	-0,359	-0,341	-0,354	-2,2E-03	-2,1E-03	-2,2E-03	-2,196E-03
28-5-15 12:55	23,05	0,119	-0,643	-0,641	-0,358	-0,341	-0,354	-2,2E-03	-2,1E-03	-2,2E-03	-2,194E-03
28-5-15 14:55	23,14	0,117	-0,644	-0,642	-0,36	-0,342	-0,355	-2,3E-03	-2,1E-03	-2,2E-03	-2,202E-03
29-5-15 11:45	24,00	0,116	-0,647	-0,644	-0,361	-0,345	-0,357	-2,3E-03	-2,2E-03	-2,2E-03	-2,215E-03
29-5-15 13:50	24,09	0,116	-0,65	-0,645	-0,361	-0,348	-0,358	-2,3E-03	-2,2E-03	-2,2E-03	-2,223E-03
29-5-15 15:50	24,17	0,115	-0,651	-0,643	-0,362	-0,349	-0,356	-2,3E-03	-2,2E-03	-2,2E-03	-2,223E-03
3-6-15 10:35	28,95	0,113	-0,654	-0,647	-0,364	-0,352	-0,36	-2,3E-03	-2,2E-03	-2,3E-03	-2,242E-03

Data	Time (min)	Measure			Dim. difference (DL)			Deform			Average
		FREE-1	FREE-2	FREE-3	FREE-1	FREE-2	FREE-3	FREE-1	FREE-2	FREE-3	Deform
		(mm)			(mm)			(ε)			(με)
19-5-15 12:25	0,00	-0,291	-0,135	-0,305	0	0	0	0,0E+00	0,0E+00	0,0E+00	0,000E+00
19-5-15 12:55	0,02	-0,295	-0,141	-0,308	-0,004	-0,006	-0,003	-2,5E-05	-3,7E-05	-1,9E-05	-2,708E-05
19-5-15 13:25	0,04	-0,303	-0,147	-0,316	-0,012	-0,012	-0,011	-7,5E-05	-7,5E-05	-6,9E-05	-7,292E-05
19-5-15 13:55	0,06	-0,304	-0,148	-0,317	-0,013	-0,013	-0,012	-8,1E-05	-8,1E-05	-7,5E-05	-7,917E-05
19-5-15 14:30	0,09	-0,309	-0,153	-0,319	-0,018	-0,018	-0,014	-1,1E-04	-1,1E-04	-8,8E-05	-1,042E-04
19-5-15 14:55	0,10	-0,308	-0,155	-0,323	-0,017	-0,02	-0,018	-1,1E-04	-1,3E-04	-1,1E-04	-1,146E-04
19-5-15 15:25	0,13	-0,31	-0,156	-0,325	-0,019	-0,021	-0,02	-1,2E-04	-1,3E-04	-1,3E-04	-1,250E-04
19-5-15 15:55	0,15	-0,311	-0,159	-0,327	-0,02	-0,024	-0,022	-1,3E-04	-1,5E-04	-1,4E-04	-1,375E-04
19-5-15 16:25	0,17	-0,316	-0,16	-0,328	-0,025	-0,025	-0,023	-1,6E-04	-1,6E-04	-1,4E-04	-1,521E-04
20-5-15 11:30	0,96	-0,392	-0,239	-0,403	-0,101	-0,104	-0,098	-6,3E-04	-6,5E-04	-6,1E-04	-6,313E-04
20-5-15 12:00	0,98	-0,394	-0,241	-0,406	-0,103	-0,106	-0,101	-6,4E-04	-6,6E-04	-6,3E-04	-6,458E-04
20-5-15 12:25	1,00	-0,395	-0,241	-0,408	-0,104	-0,106	-0,103	-6,5E-04	-6,6E-04	-6,4E-04	-6,521E-04
20-5-15 12:55	1,02	-0,395	-0,241	-0,407	-0,104	-0,106	-0,102	-6,5E-04	-6,6E-04	-6,4E-04	-6,500E-04
20-5-15 13:25	1,04	-0,396	-0,245	-0,411	-0,105	-0,11	-0,106	-6,6E-04	-6,9E-04	-6,6E-04	-6,688E-04
20-5-15 14:25	1,08	-0,399	-0,245	-0,41	-0,108	-0,11	-0,105	-6,8E-04	-6,9E-04	-6,6E-04	-6,729E-04
20-5-15 14:55	1,10	-0,402	-0,247	-0,412	-0,111	-0,112	-0,107	-6,9E-04	-7,0E-04	-6,7E-04	-6,875E-04
20-5-15 15:25	1,13	-0,4	-0,249	-0,413	-0,109	-0,114	-0,108	-6,8E-04	-7,1E-04	-6,8E-04	-6,896E-04
21-5-15 10:15	1,91	-0,429	-0,275	-0,442	-0,138	-0,14	-0,137	-8,6E-04	-8,8E-04	-8,6E-04	-8,646E-04
21-5-15 11:15	1,95	-0,432	-0,277	-0,444	-0,141	-0,142	-0,139	-8,8E-04	-8,9E-04	-8,7E-04	-8,792E-04
21-5-15 12:15	1,99	-0,431	-0,278	-0,443	-0,14	-0,143	-0,138	-8,8E-04	-8,9E-04	-8,6E-04	-8,771E-04
25-5-15 9:10	5,86	-0,576	-0,427	-0,595	-0,285	-0,292	-0,29	-1,8E-03	-1,8E-03	-1,8E-03	-1,806E-03
25-5-15 13:00	6,02	-0,578	-0,426	-0,594	-0,287	-0,291	-0,289	-1,8E-03	-1,8E-03	-1,8E-03	-1,806E-03
25-5-15 14:00	6,07	-0,579	-0,428	-0,597	-0,288	-0,293	-0,292	-1,8E-03	-1,8E-03	-1,8E-03	-1,819E-03
26-5-15 11:25	6,96	-0,596	-0,442	-0,608	-0,305	-0,307	-0,303	-1,9E-03	-1,9E-03	-1,9E-03	-1,906E-03
26-5-15 14:15	7,08	-0,6	-0,449	-0,615	-0,309	-0,314	-0,31	-1,9E-03	-2,0E-03	-1,9E-03	-1,944E-03
26-5-15 16:05	7,15	-0,599	-0,447	-0,615	-0,308	-0,312	-0,31	-1,9E-03	-2,0E-03	-1,9E-03	-1,938E-03
27-5-15 10:40	7,93	-0,603	-0,453	-0,62	-0,312	-0,318	-0,315	-2,0E-03	-2,0E-03	-2,0E-03	-1,969E-03
27-5-15 12:40	8,01	-0,606	-0,456	-0,621	-0,315	-0,321	-0,316	-2,0E-03	-2,0E-03	-2,0E-03	-1,983E-03
27-5-15 14:40	8,09	-0,607	-0,457	-0,622	-0,316	-0,322	-0,317	-2,0E-03	-2,0E-03	-2,0E-03	-1,990E-03
28-5-15 10:40	8,93	-0,61	-0,461	-0,627	-0,319	-0,326	-0,322	-2,0E-03	-2,0E-03	-2,0E-03	-2,015E-03
28-5-15 12:40	9,01	-0,614	-0,462	-0,629	-0,323	-0,327	-0,324	-2,0E-03	-2,0E-03	-2,0E-03	-2,029E-03
28-5-15 14:40	9,09	-0,615	-0,463	-0,63	-0,324	-0,328	-0,325	-2,0E-03	-2,1E-03	-2,0E-03	-2,035E-03
29-5-15 11:30	9,96	-0,62	-0,468	-0,635	-0,329	-0,333	-0,33	-2,1E-03	-2,1E-03	-2,1E-03	-2,067E-03
29-5-15 13:40	10,05	-0,621	-0,469	-0,636	-0,33	-0,334	-0,331	-2,1E-03	-2,1E-03	-2,1E-03	-2,073E-03
29-5-15 15:40	10,14	-0,623	-0,471	-0,638	-0,332	-0,336	-0,333	-2,1E-03	-2,1E-03	-2,1E-03	-2,085E-03
3-6-15 10:25	14,92	-0,641	-0,49	-0,657	-0,35	-0,355	-0,352	-2,2E-03	-2,2E-03	-2,2E-03	-2,202E-03
3-6-15 12:35	15,01	-0,642	-0,49	-0,656	-0,351	-0,355	-0,351	-2,2E-03	-2,2E-03	-2,2E-03	-2,202E-03
3-6-15 14:25	15,08	-0,642	-0,491	-0,657	-0,351	-0,356	-0,352	-2,2E-03	-2,2E-03	-2,2E-03	-2,206E-03
4-6-15 10:40	15,93	-0,645	-0,493	-0,659	-0,354	-0,358	-0,354	-2,2E-03	-2,2E-03	-2,2E-03	-2,221E-03

4-6-15 12:40	16,01	-0,645	-0,494	-0,66	-0,354	-0,359	-0,355	-2,2E-03	-2,2E-03	-2,2E-03	-2,225E-03
4-6-15 15:40	16,14	-0,646	-0,494	-0,66	-0,355	-0,359	-0,355	-2,2E-03	-2,2E-03	-2,2E-03	-2,227E-03
5-6-15 10:55	16,94	-0,648	-0,495	-0,662	-0,357	-0,36	-0,357	-2,2E-03	-2,3E-03	-2,2E-03	-2,238E-03
5-6-15 14:30	17,09	-0,647	-0,494	-0,661	-0,356	-0,359	-0,356	-2,2E-03	-2,2E-03	-2,2E-03	-2,231E-03
8-6-15 8:20	19,83	-0,653	-0,502	-0,668	-0,362	-0,367	-0,363	-2,3E-03	-2,3E-03	-2,3E-03	-2,275E-03
8-6-15 15:05	20,11	-0,655	-0,503	-0,669	-0,364	-0,368	-0,364	-2,3E-03	-2,3E-03	-2,3E-03	-2,283E-03
9-6-15 8:30	20,84	-0,655	-0,503	-0,67	-0,364	-0,368	-0,365	-2,3E-03	-2,3E-03	-2,3E-03	-2,285E-03
9-6-15 15:30	21,13	-0,657	-0,505	-0,673	-0,366	-0,37	-0,368	-2,3E-03	-2,3E-03	-2,3E-03	-2,300E-03
10-6-15 11:25	21,96	-0,659	-0,505	-0,673	-0,368	-0,37	-0,368	-2,3E-03	-2,3E-03	-2,3E-03	-2,304E-03
10-6-15 14:55	22,10	-0,66	-0,506	-0,674	-0,369	-0,371	-0,369	-2,3E-03	-2,3E-03	-2,3E-03	-2,310E-03
11-6-15 15:40	23,14	-0,66	-0,506	-0,674	-0,369	-0,371	-0,369	-2,3E-03	-2,3E-03	-2,3E-03	-2,310E-03
12-6-15 10:15	23,91	-0,655	-0,506	-0,673	-0,364	-0,371	-0,368	-2,3E-03	-2,3E-03	-2,3E-03	-2,298E-03
12-6-15 15:30	24,13	-0,657	-0,507	-0,673	-0,366	-0,372	-0,368	-2,3E-03	-2,3E-03	-2,3E-03	-2,304E-03
15-6-15 11:00	26,94	-0,661	-0,509	-0,675	-0,37	-0,374	-0,37	-2,3E-03	-2,3E-03	-2,3E-03	-2,321E-03
16-6-15 15:05	28,11	-0,663	-0,51	-0,677	-0,372	-0,375	-0,372	-2,3E-03	-2,3E-03	-2,3E-03	-2,331E-03

Data		Time (min)	Measure			Dim. difference (DL)			Deform			Average
			FREE-1 (mm)	FREE-2 (mm)	FREE-3 (mm)	FREE-1 (mm)	FREE-2 (mm)	FREE-3 (mm)	FREE-1 (ε)	FREE-2 (ε)	FREE-3 (ε)	Deform
19-5-15 12:20		0,00	-0,555	0,199	-0,975	0	0	0	0,0E+00	0,0E+00	0,0E+00	0,000E+00
19-5-15 12:50		0,02	-0,558	0,195	-0,98	-0,003	-0,004	-0,005	-1,9E-05	-2,5E-05	-3,1E-05	-2,500E-05
19-5-15 13:25		0,05	-0,566	0,19	-0,986	-0,011	-0,009	-0,011	-6,9E-05	-5,6E-05	-6,9E-05	-6,458E-05
19-5-15 13:50		0,06	-0,567	0,187	-0,994	-0,012	-0,012	-0,019	-7,5E-05	-7,5E-05	-1,2E-04	-8,958E-05
19-5-15 14:30		0,09	-0,571	0,182	-0,997	-0,016	-0,017	-0,022	-1,0E-04	-1,1E-04	-1,4E-04	-1,146E-04
19-5-15 14:50		0,10	-0,569	0,181	-0,996	-0,014	-0,018	-0,021	-8,7E-05	-1,1E-04	-1,3E-04	-1,104E-04
19-5-15 15:20		0,13	-0,572	0,182	-1	-0,017	-0,017	-0,025	-1,1E-04	-1,1E-04	-1,6E-04	-1,229E-04
19-5-15 15:50		0,15	-0,574	0,177	-1,003	-0,019	-0,022	-0,028	-1,2E-04	-1,4E-04	-1,7E-04	-1,438E-04
19-5-15 16:20		0,17	-0,578	0,176	-1,006	-0,023	-0,023	-0,031	-1,4E-04	-1,4E-04	-1,9E-04	-1,604E-04
20-5-15 11:20		0,96	-0,641	0,11	-1,069	-0,086	-0,089	-0,094	-5,4E-04	-5,6E-04	-5,9E-04	-5,604E-04
20-5-15 11:55		0,98	-0,649	0,104	-1,074	-0,094	-0,095	-0,099	-5,9E-04	-5,9E-04	-6,2E-04	-6,000E-04
20-5-15 12:20		1,00	-0,645	0,107	-1,071	-0,09	-0,092	-0,096	-5,6E-04	-5,8E-04	-6,0E-04	-5,792E-04
20-5-15 12:45		1,02	-0,646	0,105	-1,072	-0,091	-0,094	-0,097	-5,7E-04	-5,9E-04	-6,1E-04	-5,875E-04
20-5-15 13:15		1,04	-0,649	0,104	-1,075	-0,094	-0,095	-0,1	-5,9E-04	-5,9E-04	-6,3E-04	-6,021E-04
20-5-15 14:15		1,08	-0,65	0,102	-1,077	-0,095	-0,097	-0,102	-5,9E-04	-6,1E-04	-6,4E-04	-6,125E-04
20-5-15 14:45		1,10	-0,651	0,1	-1,078	-0,096	-0,099	-0,103	-6,0E-04	-6,2E-04	-6,4E-04	-6,208E-04
20-5-15 15:15		1,12	-0,651	0,097	-1,081	-0,096	-0,102	-0,106	-6,0E-04	-6,4E-04	-6,6E-04	-6,333E-04
21-5-15 10:15		1,91	-0,727	0,044	-1,11	-0,172	-0,155	-0,135	-1,1E-03	-9,7E-04	-8,4E-04	-9,625E-04
21-5-15 11:15		1,95	-0,728	0,04	-1,112	-0,173	-0,159	-0,137	-1,1E-03	-9,9E-04	-8,6E-04	-9,771E-04
21-5-15 12:15		2,00	-0,73	0,038	-1,114	-0,175	-0,161	-0,139	-1,1E-03	-1,0E-03	-8,7E-04	-9,896E-04
21-5-15 13:15		2,04	-0,736	0,035	-1,115	-0,181	-0,164	-0,14	-1,1E-03	-1,0E-03	-8,8E-04	-1,010E-03

25-5-15 9:10	5,87	-0,863	-0,111	-1,283	-0,308	-0,31	-0,308	-1,9E-03	-1,9E-03	-1,9E-03	-1,929E-03
25-5-15 13:05	6,03	-0,864	-0,114	-1,285	-0,309	-0,313	-0,31	-1,9E-03	-2,0E-03	-1,9E-03	-1,942E-03
26-5-15 11:35	6,97	-0,881	-0,133	-1,301	-0,326	-0,332	-0,326	-2,0E-03	-2,1E-03	-2,0E-03	-2,050E-03
26-5-15 14:20	7,08	-0,88	-0,132	-1,304	-0,325	-0,331	-0,329	-2,0E-03	-2,1E-03	-2,1E-03	-2,052E-03
26-5-15 16:05	7,16	-0,882	-0,135	-1,306	-0,327	-0,334	-0,331	-2,0E-03	-2,1E-03	-2,1E-03	-2,067E-03
27-5-15 10:30	7,92	-0,895	-0,148	-1,321	-0,34	-0,347	-0,346	-2,1E-03	-2,2E-03	-2,2E-03	-2,152E-03
27-5-15 12:30	8,01	-0,895	-0,148	-1,321	-0,34	-0,347	-0,346	-2,1E-03	-2,2E-03	-2,2E-03	-2,152E-03
27-5-15 15:30	8,13	-0,897	-0,15	-1,322	-0,342	-0,349	-0,347	-2,1E-03	-2,2E-03	-2,2E-03	-2,163E-03
28-5-15 10:00	8,90	-0,906	-0,158	-1,33	-0,351	-0,357	-0,355	-2,2E-03	-2,2E-03	-2,2E-03	-2,215E-03
28-5-15 12:00	8,99	-0,908	-0,161	-1,331	-0,353	-0,36	-0,356	-2,2E-03	-2,3E-03	-2,2E-03	-2,227E-03
28-5-15 14:00	9,07	-0,907	-0,16	-1,332	-0,352	-0,359	-0,357	-2,2E-03	-2,2E-03	-2,2E-03	-2,225E-03
29-5-15 11:20	9,96	-0,911	-0,164	-1,336	-0,356	-0,363	-0,361	-2,2E-03	-2,3E-03	-2,3E-03	-2,250E-03
29-5-15 13:30	10,05	-0,912	-0,163	-1,336	-0,357	-0,362	-0,361	-2,2E-03	-2,3E-03	-2,3E-03	-2,250E-03
29-5-15 15:30	10,13	-0,913	-0,165	-1,337	-0,358	-0,364	-0,362	-2,2E-03	-2,3E-03	-2,3E-03	-2,258E-03
3-6-15 10:15	14,91	-0,94	-0,19	-1,363	-0,385	-0,389	-0,388	-2,4E-03	-2,4E-03	-2,4E-03	-2,421E-03
3-6-15 12:25	15,00	-0,94	-0,191	-1,364	-0,385	-0,39	-0,389	-2,4E-03	-2,4E-03	-2,4E-03	-2,425E-03
3-6-15 14:20	15,08	-0,941	-0,191	-1,364	-0,386	-0,39	-0,389	-2,4E-03	-2,4E-03	-2,4E-03	-2,427E-03
4-6-15 10:30	15,92	-0,942	-0,192	-1,365	-0,387	-0,391	-0,39	-2,4E-03	-2,4E-03	-2,4E-03	-2,433E-03
4-6-15 12:30	16,01	-0,943	-0,193	-1,366	-0,388	-0,392	-0,391	-2,4E-03	-2,5E-03	-2,4E-03	-2,440E-03
4-6-15 15:30	16,13	-0,944	-0,195	-1,367	-0,389	-0,394	-0,392	-2,4E-03	-2,5E-03	-2,5E-03	-2,448E-03
5-6-15 10:45	16,93	-0,946	-0,198	-1,37	-0,391	-0,397	-0,395	-2,4E-03	-2,5E-03	-2,5E-03	-2,465E-03
5-6-15 12:25	17,00	-0,947	-0,199	-1,371	-0,392	-0,398	-0,396	-2,5E-03	-2,5E-03	-2,5E-03	-2,471E-03
8-6-15 8:10	19,83	-0,955	-0,205	-1,378	-0,4	-0,404	-0,403	-2,5E-03	-2,5E-03	-2,5E-03	-2,515E-03
8-6-15 14:55	20,11	-0,956	-0,206	-1,38	-0,401	-0,405	-0,405	-2,5E-03	-2,5E-03	-2,5E-03	-2,523E-03
9-6-15 8:20	20,83	-0,956	-0,207	-1,379	-0,401	-0,406	-0,404	-2,5E-03	-2,5E-03	-2,5E-03	-2,523E-03
9-6-15 15:20	21,13	-0,956	-0,208	-1,38	-0,401	-0,407	-0,405	-2,5E-03	-2,5E-03	-2,5E-03	-2,527E-03
10-6-15 11:15	21,95	-0,958	-0,209	-1,383	-0,403	-0,408	-0,408	-2,5E-03	-2,6E-03	-2,6E-03	-2,540E-03
10-6-15 14:45	22,10	-0,958	-0,21	-1,383	-0,403	-0,409	-0,408	-2,5E-03	-2,6E-03	-2,6E-03	-2,542E-03
11-6-15 15:30	23,13	-0,958	-0,21	-1,383	-0,403	-0,409	-0,408	-2,5E-03	-2,6E-03	-2,6E-03	-2,542E-03
12-6-15 10:05	23,91	-0,958	-0,21	-1,384	-0,403	-0,409	-0,409	-2,5E-03	-2,6E-03	-2,6E-03	-2,544E-03
12-6-15 15:20	24,13	-0,961	-0,212	-1,384	-0,406	-0,411	-0,409	-2,5E-03	-2,6E-03	-2,6E-03	-2,554E-03
15-6-15 10:50	26,94	-0,964	-0,216	-1,388	-0,409	-0,415	-0,413	-2,6E-03	-2,6E-03	-2,6E-03	-2,577E-03
16-6-15 15:00	28,11	-0,967	-0,217	-1,392	-0,412	-0,416	-0,417	-2,6E-03	-2,6E-03	-2,6E-03	-2,594E-03

ST+POW

DRY

Data	Time (min)	Measure			Dim. difference (DL)			Deform			Average
		FREE-1	FREE-2	FREE-3	FREE-1	FREE-2	FREE-3	FREE-1	FREE-2	FREE-3	Deform
		(mm)			(mm)			(ε)			(με)
9-6-15 11:25	0,00	-0,654	-0,924	-0,553	0	0	0	0,0E+00	0,0E+00	0,0E+00	0,000E+00
9-6-15 12:05	0,03	-0,676	-0,944	-0,573	-0,022	-0,02	-0,02	-1,4E-04	-1,2E-04	-1,2E-04	-1,292E-04
9-6-15 13:20	0,08	-0,692	-0,956	-0,587	-0,038	-0,032	-0,034	-2,4E-04	-2,0E-04	-2,1E-04	-2,167E-04
9-6-15 13:55	0,10	-0,698	-0,961	-0,591	-0,044	-0,037	-0,038	-2,8E-04	-2,3E-04	-2,4E-04	-2,479E-04
9-6-15 14:25	0,13	-0,7	-0,964	-0,594	-0,046	-0,04	-0,041	-2,9E-04	-2,5E-04	-2,6E-04	-2,646E-04
9-6-15 15:05	0,15	-0,706	-0,97	-0,598	-0,052	-0,046	-0,045	-3,3E-04	-2,9E-04	-2,8E-04	-2,979E-04
9-6-15 15:40	0,18	-0,711	-0,975	-0,602	-0,057	-0,051	-0,049	-3,6E-04	-3,2E-04	-3,1E-04	-3,271E-04
10-6-15 10:55	0,98	-0,798	-1,062	-0,691	-0,144	-0,138	-0,138	-9,0E-04	-8,6E-04	-8,6E-04	-8,750E-04
10-6-15 11:35	1,01	-0,8	-1,064	-0,692	-0,146	-0,14	-0,139	-9,1E-04	-8,8E-04	-8,7E-04	-8,854E-04
10-6-15 12:15	1,03	-0,804	-1,067	-0,693	-0,15	-0,143	-0,14	-9,4E-04	-8,9E-04	-8,7E-04	-9,021E-04
10-6-15 12:55	1,06	-0,807	-1,068	-0,696	-0,153	-0,144	-0,143	-9,6E-04	-9,0E-04	-8,9E-04	-9,167E-04
10-6-15 13:45	1,10	-0,809	-1,069	-0,696	-0,155	-0,145	-0,143	-9,7E-04	-9,1E-04	-8,9E-04	-9,229E-04
10-6-15 14:25	1,13	-0,81	-1,071	-0,698	-0,156	-0,147	-0,145	-9,8E-04	-9,2E-04	-9,1E-04	-9,333E-04
10-6-15 15:10	1,16	-0,811	-1,072	-0,7	-0,157	-0,148	-0,147	-9,8E-04	-9,3E-04	-9,2E-04	-9,417E-04
11-6-15 15:10	2,16	-0,874	-1,134	-0,764	-0,22	-0,21	-0,211	-1,4E-03	-1,3E-03	-1,3E-03	-1,335E-03
11-6-15 15:55	2,19	-0,875	-1,136	-0,766	-0,221	-0,212	-0,213	-1,4E-03	-1,3E-03	-1,3E-03	-1,346E-03
12-6-15 9:50	2,93	-0,905	-1,167	-0,797	-0,251	-0,243	-0,244	-1,6E-03	-1,5E-03	-1,5E-03	-1,538E-03
12-6-15 10:40	2,97	-0,91	-1,168	-0,801	-0,256	-0,244	-0,248	-1,6E-03	-1,5E-03	-1,6E-03	-1,558E-03
12-6-15 13:50	3,10	-0,912	-1,172	-0,804	-0,258	-0,248	-0,251	-1,6E-03	-1,6E-03	-1,6E-03	-1,577E-03
12-6-15 15:10	3,16	-0,917	-1,179	-0,811	-0,263	-0,255	-0,258	-1,6E-03	-1,6E-03	-1,6E-03	-1,617E-03
15-6-15 10:35	5,97	-0,98	-1,239	-0,871	-0,326	-0,315	-0,318	-2,0E-03	-2,0E-03	-2,0E-03	-1,998E-03
15-6-15 13:05	6,07	-0,982	-1,241	-0,873	-0,328	-0,317	-0,32	-2,1E-03	-2,0E-03	-2,0E-03	-2,010E-03
15-6-15 15:45	6,18	-0,983	-1,243	-0,875	-0,329	-0,319	-0,322	-2,1E-03	-2,0E-03	-2,0E-03	-2,021E-03
16-6-15 9:45	6,93	-0,996	-1,253	-0,884	-0,342	-0,329	-0,331	-2,1E-03	-2,1E-03	-2,1E-03	-2,088E-03
16-6-15 15:20	7,16	-0,995	-1,254	-0,885	-0,341	-0,33	-0,332	-2,1E-03	-2,1E-03	-2,1E-03	-2,090E-03
17-6-15 9:55	7,94	-1,005	-1,26	-0,891	-0,351	-0,336	-0,338	-2,2E-03	-2,1E-03	-2,1E-03	-2,135E-03
17-6-15 14:15	8,12	-1,007	-1,26	-0,894	-0,353	-0,336	-0,341	-2,2E-03	-2,1E-03	-2,1E-03	-2,146E-03
22-6-15 12:20	13,04	-1,028	-1,282	-0,919	-0,374	-0,358	-0,366	-2,3E-03	-2,2E-03	-2,3E-03	-2,288E-03
23-6-15 10:10	13,95	-1,03	-1,286	-0,92	-0,376	-0,362	-0,367	-2,4E-03	-2,3E-03	-2,3E-03	-2,302E-03
23-6-15 15:45	14,18	-1,03	-1,286	-0,92	-0,376	-0,362	-0,367	-2,4E-03	-2,3E-03	-2,3E-03	-2,302E-03
24-6-15 10:25	14,96	-1,034	-1,288	-0,922	-0,38	-0,364	-0,369	-2,4E-03	-2,3E-03	-2,3E-03	-2,319E-03
24-6-15 15:40	15,18	-1,036	-1,288	-0,923	-0,382	-0,364	-0,37	-2,4E-03	-2,3E-03	-2,3E-03	-2,325E-03
25-6-15 12:10	16,03	-1,026	-1,28	-0,914	-0,372	-0,356	-0,361	-2,3E-03	-2,2E-03	-2,3E-03	-2,269E-03
26-6-15 10:15	16,95	-1,021	-1,272	-0,906	-0,367	-0,348	-0,353	-2,3E-03	-2,2E-03	-2,2E-03	-2,225E-03
26-6-15 15:25	17,17	-1,022	-1,274	-0,906	-0,368	-0,35	-0,353	-2,3E-03	-2,2E-03	-2,2E-03	-2,231E-03
29-6-15 9:40	19,93	-1,016	-1,267	-0,899	-0,362	-0,343	-0,346	-2,3E-03	-2,1E-03	-2,2E-03	-2,190E-03
29-6-15 14:50	20,14	-1,017	-1,266	-0,899	-0,363	-0,342	-0,346	-2,3E-03	-2,1E-03	-2,2E-03	-2,190E-03

30-6-15 10:25	20,96	-1,017	-1,266	-0,899	-0,363	-0,342	-0,346	-2,3E-03	-2,1E-03	-2,2E-03	-2,190E-03
30-6-15 15:00	21,15	-1,017	-1,267	-0,9	-0,363	-0,343	-0,347	-2,3E-03	-2,1E-03	-2,2E-03	-2,194E-03
1-7-15 9:55	21,94	-1,015	-1,266	-0,9	-0,361	-0,342	-0,347	-2,3E-03	-2,1E-03	-2,2E-03	-2,188E-03
1-7-15 13:55	22,10	-1,014	-1,266	-0,9	-0,36	-0,342	-0,347	-2,3E-03	-2,1E-03	-2,2E-03	-2,185E-03
2-7-15 9:55	22,94	-1,014	-1,263	-0,897	-0,36	-0,339	-0,344	-2,3E-03	-2,1E-03	-2,2E-03	-2,173E-03
2-7-15 15:15	23,16	-1,014	-1,263	-0,897	-0,36	-0,339	-0,344	-2,3E-03	-2,1E-03	-2,2E-03	-2,173E-03
3-7-15 8:40	23,89	-1,013	-1,262	-0,896	-0,359	-0,338	-0,343	-2,2E-03	-2,1E-03	-2,1E-03	-2,167E-03
6-7-15 9:45	26,93	-1,008	-1,258	-0,89	-0,354	-0,334	-0,337	-2,2E-03	-2,1E-03	-2,1E-03	-2,135E-03
6-7-15 15:35	27,17	-1,007	-1,257	-0,89	-0,353	-0,333	-0,337	-2,2E-03	-2,1E-03	-2,1E-03	-2,131E-03
7-7-15 11:00	27,98	-1,004	-1,253	-0,886	-0,35	-0,329	-0,333	-2,2E-03	-2,1E-03	-2,1E-03	-2,108E-03
7-7-15 15:30	28,17	-1,004	-1,254	-0,886	-0,35	-0,33	-0,333	-2,2E-03	-2,1E-03	-2,1E-03	-2,110E-03

SIS+EUC	DRY
---------	-----

Data	Time (min)	Measure			Dim. difference (DL)			Deform			Average
		FREE-1	FREE-2	FREE-3	FREE-1	FREE-2	FREE-3	FREE-1	FREE-2	FREE-3	Deform
		(mm)	(mm)	(mm)	(mm)	(mm)	(mm)	(ε)	(ε)	(ε)	(με)
26-5-15 11:45	0,00	-0,23	-0,896	-0,226	0	0	0	0,0E+00	0,0E+00	0,0E+00	0,000E+00
26-5-15 12:15	0,02	-0,236	-0,901	-0,231	-0,006	-0,005	-0,005	-3,7E-05	-3,1E-05	-3,1E-05	-3,333E-05
26-5-15 12:45	0,04	-0,242	-0,905	-0,234	-0,012	-0,009	-0,008	-7,5E-05	-5,6E-05	-5,0E-05	-6,042E-05
26-5-15 13:55	0,09	-0,245	-0,911	-0,237	-0,015	-0,015	-0,011	-9,4E-05	-9,4E-05	-6,9E-05	-8,542E-05
26-5-15 14:25	0,11	-0,248	-0,913	-0,241	-0,018	-0,017	-0,015	-1,1E-04	-1,1E-04	-9,4E-05	-1,042E-04
26-5-15 14:55	0,13	-0,249	-0,915	-0,242	-0,019	-0,019	-0,016	-1,2E-04	-1,2E-04	-1,0E-04	-1,125E-04
26-5-15 15:25	0,15	-0,254	-0,918	-0,245	-0,024	-0,022	-0,019	-1,5E-04	-1,4E-04	-1,2E-04	-1,354E-04
26-5-15 15:55	0,17	-0,255	-0,919	-0,246	-0,025	-0,023	-0,02	-1,6E-04	-1,4E-04	-1,3E-04	-1,417E-04
26-5-15 16:25	0,19	-0,257	-0,922	-0,248	-0,027	-0,026	-0,022	-1,7E-04	-1,6E-04	-1,4E-04	-1,563E-04
27-5-15 10:20	0,94	-0,331	-0,988	-0,314	-0,101	-0,092	-0,088	-6,3E-04	-5,8E-04	-5,5E-04	-5,854E-04
27-5-15 10:50	0,96	-0,334	-0,99	-0,316	-0,104	-0,094	-0,09	-6,5E-04	-5,9E-04	-5,6E-04	-6,000E-04
27-5-15 11:20	0,98	-0,333	-0,99	-0,319	-0,103	-0,094	-0,093	-6,4E-04	-5,9E-04	-5,8E-04	-6,042E-04
27-5-15 11:50	1,00	-0,336	-0,992	-0,318	-0,106	-0,096	-0,092	-6,6E-04	-6,0E-04	-5,8E-04	-6,125E-04
27-5-15 12:20	1,02	-0,337	-0,993	-0,319	-0,107	-0,097	-0,093	-6,7E-04	-6,1E-04	-5,8E-04	-6,188E-04
27-5-15 12:50	1,05	-0,339	-0,994	-0,321	-0,109	-0,098	-0,095	-6,8E-04	-6,1E-04	-5,9E-04	-6,292E-04
27-5-15 13:20	1,07	-0,34	-0,996	-0,324	-0,11	-0,1	-0,098	-6,9E-04	-6,3E-04	-6,1E-04	-6,417E-04
27-5-15 14:20	1,11	-0,342	-0,999	-0,327	-0,112	-0,103	-0,101	-7,0E-04	-6,4E-04	-6,3E-04	-6,583E-04
27-5-15 14:50	1,13	-0,343	-1	-0,329	-0,113	-0,104	-0,103	-7,1E-04	-6,5E-04	-6,4E-04	-6,667E-04
27-5-15 15:20	1,15	-0,344	-1,001	-0,328	-0,114	-0,105	-0,102	-7,1E-04	-6,6E-04	-6,4E-04	-6,688E-04
27-5-15 15:50	1,17	-0,346	-1,001	-0,33	-0,116	-0,105	-0,104	-7,3E-04	-6,6E-04	-6,5E-04	-6,771E-04
28-5-15 10:20	1,94	-0,403	-1,055	-0,383	-0,173	-0,159	-0,157	-1,1E-03	-9,9E-04	-9,8E-04	-1,019E-03
28-5-15 11:20	1,98	-0,405	-1,057	-0,385	-0,175	-0,161	-0,159	-1,1E-03	-1,0E-03	-9,9E-04	-1,031E-03
28-5-15 12:20	2,02	-0,406	-1,058	-0,386	-0,176	-0,162	-0,16	-1,1E-03	-1,0E-03	-1,0E-03	-1,038E-03
28-5-15 13:20	2,07	-0,408	-1,06	-0,387	-0,178	-0,164	-0,161	-1,1E-03	-1,0E-03	-1,0E-03	-1,048E-03
28-5-15 14:20	2,11	-0,41	-1,062	-0,391	-0,18	-0,166	-0,165	-1,1E-03	-1,0E-03	-1,0E-03	-1,065E-03
28-5-15 15:20	2,15	-0,412	-1,066	-0,395	-0,182	-0,17	-0,169	-1,1E-03	-1,1E-03	-1,1E-03	-1,085E-03

29-5-15 11:10	2,98	-0,454	-1,107	-0,439	-0,224	-0,211	-0,213	-1,4E-03	-1,3E-03	-1,3E-03	-1,350E-03
29-5-15 13:20	3,07	-0,459	-1,114	-0,445	-0,229	-0,218	-0,219	-1,4E-03	-1,4E-03	-1,4E-03	-1,388E-03
29-5-15 15:20	3,15	-0,462	-1,116	-0,447	-0,232	-0,22	-0,221	-1,5E-03	-1,4E-03	-1,4E-03	-1,402E-03
3-6-15 10:05	7,93	-0,586	-1,241	-0,569	-0,356	-0,345	-0,343	-2,2E-03	-2,2E-03	-2,1E-03	-2,175E-03
3-6-15 12:15	8,02	-0,589	-1,245	-0,574	-0,359	-0,349	-0,348	-2,2E-03	-2,2E-03	-2,2E-03	-2,200E-03
3-6-15 14:10	8,10	-0,59	-1,246	-0,575	-0,36	-0,35	-0,349	-2,3E-03	-2,2E-03	-2,2E-03	-2,206E-03
4-6-15 10:20	8,94	-0,598	-1,253	-0,583	-0,368	-0,357	-0,357	-2,3E-03	-2,2E-03	-2,2E-03	-2,254E-03
4-6-15 12:20	9,02	-0,6	-1,254	-0,583	-0,37	-0,358	-0,357	-2,3E-03	-2,2E-03	-2,2E-03	-2,260E-03
4-6-15 15:20	9,15	-0,601	-1,254	-0,584	-0,371	-0,358	-0,358	-2,3E-03	-2,2E-03	-2,2E-03	-2,265E-03
5-6-15 10:35	9,95	-0,606	-1,26	-0,588	-0,376	-0,364	-0,362	-2,4E-03	-2,3E-03	-2,3E-03	-2,296E-03
5-6-15 14:15	10,10	-0,607	-1,261	-0,589	-0,377	-0,365	-0,363	-2,4E-03	-2,3E-03	-2,3E-03	-2,302E-03
8-6-15 8:00	12,84	-0,625	-1,279	-0,608	-0,395	-0,383	-0,382	-2,5E-03	-2,4E-03	-2,4E-03	-2,417E-03
8-6-15 14:45	13,13	-0,628	-1,281	-0,611	-0,398	-0,385	-0,385	-2,5E-03	-2,4E-03	-2,4E-03	-2,433E-03
9-6-15 8:10	13,85	-0,634	-1,288	-0,617	-0,404	-0,392	-0,391	-2,5E-03	-2,5E-03	-2,4E-03	-2,473E-03
9-6-15 15:10	14,14	-0,636	-1,289	-0,617	-0,406	-0,393	-0,391	-2,5E-03	-2,5E-03	-2,4E-03	-2,479E-03
10-6-15 11:05	14,97	-0,636	-1,29	-0,619	-0,406	-0,394	-0,393	-2,5E-03	-2,5E-03	-2,5E-03	-2,485E-03
10-6-15 14:35	15,12	-0,637	-1,291	-0,62	-0,407	-0,395	-0,394	-2,5E-03	-2,5E-03	-2,5E-03	-2,492E-03
11-6-15 15:20	16,15	-0,638	-1,291	-0,62	-0,408	-0,395	-0,394	-2,6E-03	-2,5E-03	-2,5E-03	-2,494E-03
12-6-15 9:55	16,92	-0,638	-1,292	-0,621	-0,408	-0,396	-0,395	-2,6E-03	-2,5E-03	-2,5E-03	-2,498E-03
12-6-15 15:15	17,15	-0,639	-1,293	-0,622	-0,409	-0,397	-0,396	-2,6E-03	-2,5E-03	-2,5E-03	-2,504E-03
15-6-15 10:40	19,95	-0,65	-1,303	-0,634	-0,42	-0,407	-0,408	-2,6E-03	-2,5E-03	-2,6E-03	-2,573E-03
15-6-15 15:50	20,17	-0,651	-1,304	-0,634	-0,421	-0,408	-0,408	-2,6E-03	-2,6E-03	-2,6E-03	-2,577E-03
16-6-15 9:50	20,92	-0,652	-1,305	-0,636	-0,422	-0,409	-0,41	-2,6E-03	-2,6E-03	-2,6E-03	-2,585E-03
16-6-15 15:25	21,15	-0,653	-1,306	-0,636	-0,423	-0,41	-0,41	-2,6E-03	-2,6E-03	-2,6E-03	-2,590E-03
17-6-15 10:00	21,93	-0,654	-1,307	-0,638	-0,424	-0,411	-0,412	-2,7E-03	-2,6E-03	-2,6E-03	-2,598E-03
17-6-15 14:20	22,11	-0,656	-1,309	-0,638	-0,426	-0,413	-0,412	-2,7E-03	-2,6E-03	-2,6E-03	-2,606E-03
22-6-15 12:25	27,03	-0,663	-1,315	-0,645	-0,433	-0,419	-0,419	-2,7E-03	-2,6E-03	-2,6E-03	-2,648E-03
23-6-15 10:15	27,94	-0,666	-1,321	-0,65	-0,436	-0,425	-0,424	-2,7E-03	-2,7E-03	-2,7E-03	-2,677E-03
23-6-15 15:50	28,17	-0,667	-1,322	-0,651	-0,437	-0,426	-0,425	-2,7E-03	-2,7E-03	-2,7E-03	-2,683E-03

SIS+NANO		DRY									
Data	Time (min)	Measure			Dim. difference (DL)			Deform			Average
		FREE-1	FREE-2	FREE-3	FREE-1	FREE-2	FREE-3	FREE-1	FREE-2	FREE-3	Deform
		(mm)			(mm)			(ϵ)			($\mu\epsilon$)
26-5-15 11:50	0,00	0,408	-0,507	-0,782	0	0	0	0,0E+00	0,0E+00	0,0E+00	0,000E+00
26-5-15 12:20	0,02	0,395	-0,522	-0,793	-0,013	-0,015	-0,011	-8,1E-05	-9,4E-05	-6,9E-05	-8,125E-05
26-5-15 12:50	0,04	0,392	-0,527	-0,798	-0,016	-0,02	-0,016	-1,0E-04	-1,3E-04	-1,0E-04	-1,083E-04
26-5-15 14:00	0,09	0,388	-0,541	-0,803	-0,02	-0,034	-0,021	-1,3E-04	-2,1E-04	-1,3E-04	-1,563E-04
26-5-15 14:30	0,11	0,38	-0,545	-0,812	-0,028	-0,038	-0,03	-1,8E-04	-2,4E-04	-1,9E-04	-2,000E-04
26-5-15 15:00	0,13	0,373	-0,548	-0,816	-0,035	-0,041	-0,034	-2,2E-04	-2,6E-04	-2,1E-04	-2,292E-04
26-5-15 15:30	0,15	0,373	-0,55	-0,817	-0,035	-0,043	-0,035	-2,2E-04	-2,7E-04	-2,2E-04	-2,354E-04
26-5-15 16:00	0,17	0,37	-0,547	-0,82	-0,038	-0,04	-0,038	-2,4E-04	-2,5E-04	-2,4E-04	-2,417E-04
26-5-15 16:30	0,19	0,366	-0,553	-0,827	-0,042	-0,046	-0,045	-2,6E-04	-2,9E-04	-2,8E-04	-2,771E-04
27-5-15 10:25	0,94	0,288	-0,628	-0,903	-0,12	-0,121	-0,121	-7,5E-04	-7,6E-04	-7,6E-04	-7,542E-04
27-5-15 10:55	0,96	0,289	-0,628	-0,904	-0,119	-0,121	-0,122	-7,4E-04	-7,6E-04	-7,6E-04	-7,542E-04
27-5-15 11:25	0,98	0,287	-0,63	-0,906	-0,121	-0,123	-0,124	-7,6E-04	-7,7E-04	-7,8E-04	-7,667E-04
27-5-15 11:55	1,00	0,286	-0,634	-0,909	-0,122	-0,127	-0,127	-7,6E-04	-7,9E-04	-7,9E-04	-7,833E-04
27-5-15 12:25	1,02	0,283	-0,636	-0,911	-0,125	-0,129	-0,129	-7,8E-04	-8,1E-04	-8,1E-04	-7,979E-04
27-5-15 12:55	1,05	0,28	-0,637	-0,912	-0,128	-0,13	-0,13	-8,0E-04	-8,1E-04	-8,1E-04	-8,083E-04
27-5-15 13:25	1,07	0,279	-0,638	-0,912	-0,129	-0,131	-0,13	-8,1E-04	-8,2E-04	-8,1E-04	-8,125E-04
27-5-15 14:25	1,11	0,276	-0,641	-0,915	-0,132	-0,134	-0,133	-8,3E-04	-8,4E-04	-8,3E-04	-8,313E-04
27-5-15 14:55	1,13	0,275	-0,642	-0,917	-0,133	-0,135	-0,135	-8,3E-04	-8,4E-04	-8,4E-04	-8,396E-04
27-5-15 15:25	1,15	0,274	-0,643	-0,918	-0,134	-0,136	-0,136	-8,4E-04	-8,5E-04	-8,5E-04	-8,458E-04
27-5-15 15:55	1,17	0,273	-0,646	-0,92	-0,135	-0,139	-0,138	-8,4E-04	-8,7E-04	-8,6E-04	-8,583E-04
28-5-15 10:25	1,94	0,229	-0,691	-0,966	-0,179	-0,184	-0,184	-1,1E-03	-1,2E-03	-1,2E-03	-1,140E-03
28-5-15 11:25	1,98	0,222	-0,695	-0,969	-0,186	-0,188	-0,187	-1,2E-03	-1,2E-03	-1,2E-03	-1,169E-03
28-5-15 12:25	2,02	0,221	-0,697	-0,97	-0,187	-0,19	-0,188	-1,2E-03	-1,2E-03	-1,2E-03	-1,177E-03
28-5-15 13:25	2,07	0,219	-0,699	-0,972	-0,189	-0,192	-0,19	-1,2E-03	-1,2E-03	-1,2E-03	-1,190E-03
28-5-15 14:25	2,11	0,218	-0,7	-0,973	-0,19	-0,193	-0,191	-1,2E-03	-1,2E-03	-1,2E-03	-1,196E-03
28-5-15 15:25	2,15	0,217	-0,701	-0,974	-0,191	-0,194	-0,192	-1,2E-03	-1,2E-03	-1,2E-03	-1,202E-03
29-5-15 11:15	2,98	0,18	-0,735	-1,005	-0,228	-0,228	-0,223	-1,4E-03	-1,4E-03	-1,4E-03	-1,415E-03
29-5-15 13:25	3,07	0,177	-0,739	-1,012	-0,231	-0,232	-0,23	-1,4E-03	-1,5E-03	-1,4E-03	-1,444E-03
29-5-15 15:25	3,15	0,175	-0,741	-1,015	-0,233	-0,234	-0,233	-1,5E-03	-1,5E-03	-1,5E-03	-1,458E-03
3-6-15 10:10	7,93	0,081	-0,835	-1,106	-0,327	-0,328	-0,324	-2,0E-03	-2,1E-03	-2,0E-03	-2,040E-03
3-6-15 12:20	8,02	0,078	-0,838	-1,11	-0,33	-0,331	-0,328	-2,1E-03	-2,1E-03	-2,1E-03	-2,060E-03
3-6-15 14:10	8,10	0,077	-0,838	-1,109	-0,331	-0,331	-0,327	-2,1E-03	-2,1E-03	-2,0E-03	-2,060E-03
4-6-15 10:25	8,94	0,071	-0,844	-1,113	-0,337	-0,337	-0,331	-2,1E-03	-2,1E-03	-2,1E-03	-2,094E-03
4-6-15 12:25	9,02	0,07	-0,846	-1,115	-0,338	-0,339	-0,333	-2,1E-03	-2,1E-03	-2,1E-03	-2,104E-03
4-6-15 15:25	9,15	0,069	-0,847	-1,117	-0,339	-0,34	-0,335	-2,1E-03	-2,1E-03	-2,1E-03	-2,113E-03
5-6-15 10:40	9,95	0,065	-0,851	-1,124	-0,343	-0,344	-0,342	-2,1E-03	-2,2E-03	-2,1E-03	-2,144E-03
5-6-15 14:20	10,10	0,063	-0,852	-1,122	-0,345	-0,345	-0,34	-2,2E-03	-2,2E-03	-2,1E-03	-2,146E-03
8-6-15 8:05	12,84	0,05	-0,867	-1,136	-0,358	-0,36	-0,354	-2,2E-03	-2,3E-03	-2,2E-03	-2,233E-03
8-6-15 14:50	13,13	0,046	-0,87	-1,14	-0,362	-0,363	-0,358	-2,3E-03	-2,3E-03	-2,2E-03	-2,256E-03

9-6-15 8:15	13,85	0,044	-0,872	-1,144	-0,364	-0,365	-0,362	-2,3E-03	-2,3E-03	-2,3E-03	-2,273E-03
9-6-15 15:15	14,14	0,043	-0,873	-1,144	-0,365	-0,366	-0,362	-2,3E-03	-2,3E-03	-2,3E-03	-2,277E-03
10-6-15 11:10	14,97	0,042	-0,874	-1,144	-0,366	-0,367	-0,362	-2,3E-03	-2,3E-03	-2,3E-03	-2,281E-03
10-6-15 14:40	15,12	0,042	-0,875	-1,145	-0,366	-0,368	-0,363	-2,3E-03	-2,3E-03	-2,3E-03	-2,285E-03
11-6-15 15:25	16,15	0,04	-0,875	-1,145	-0,368	-0,368	-0,363	-2,3E-03	-2,3E-03	-2,3E-03	-2,290E-03
12-6-15 10:00	16,92	0,04	-0,875	-1,145	-0,368	-0,368	-0,363	-2,3E-03	-2,3E-03	-2,3E-03	-2,290E-03
12-6-15 15:20	17,15	0,04	-0,876	-1,146	-0,368	-0,369	-0,364	-2,3E-03	-2,3E-03	-2,3E-03	-2,294E-03
15-6-15 10:45	19,95	0,032	-0,885	-1,154	-0,376	-0,378	-0,372	-2,4E-03	-2,4E-03	-2,3E-03	-2,346E-03
15-6-15 15:55	20,17	0,032	-0,886	-1,155	-0,376	-0,379	-0,373	-2,4E-03	-2,4E-03	-2,3E-03	-2,350E-03
16-6-15 9:55	20,92	0,031	-0,887	-1,156	-0,377	-0,38	-0,374	-2,4E-03	-2,4E-03	-2,3E-03	-2,356E-03
16-6-15 15:30	21,15	0,029	-0,887	-1,158	-0,379	-0,38	-0,376	-2,4E-03	-2,4E-03	-2,4E-03	-2,365E-03
17-6-15 10:05	21,93	0,027	-0,889	-1,159	-0,381	-0,382	-0,377	-2,4E-03	-2,4E-03	-2,4E-03	-2,375E-03
17-6-15 14:25	22,11	0,028	-0,889	-1,159	-0,38	-0,382	-0,377	-2,4E-03	-2,4E-03	-2,4E-03	-2,373E-03
22-6-15 12:30	27,03	0,021	-0,894	-1,166	-0,387	-0,387	-0,384	-2,4E-03	-2,4E-03	-2,4E-03	-2,413E-03
23-6-15 10:20	27,94	0,018	-0,897	-1,167	-0,39	-0,39	-0,385	-2,4E-03	-2,4E-03	-2,4E-03	-2,427E-03
23-6-15 15:50	28,17	0,018	-0,897	-1,168	-0,39	-0,39	-0,386	-2,4E-03	-2,4E-03	-2,4E-03	-2,429E-03

SIS+POW	DRY
---------	-----

Data	Time (min)	Measure			Dim. difference (DL)			Deform			Average
		FREE-1	FREE-2	FREE-3	FREE-1	FREE-2	FREE-3	FREE-1	FREE-2	FREE-3	Deform
		(mm)	(mm)	(mm)	(mm)	(mm)	(mm)	(ε)	(ε)	(ε)	(με)
10-6-15 11:00	0,00	-0,7	0,533	-0,432	0	0	0	0,0E+00	0,0E+00	0,0E+00	0,000E+00
10-6-15 11:40	0,03	-0,716	0,516	-0,448	-0,016	-0,017	-0,016	-1,0E-04	-1,1E-04	-1,0E-04	-1,021E-04
10-6-15 12:20	0,06	-0,726	0,506	-0,459	-0,026	-0,027	-0,027	-1,6E-04	-1,7E-04	-1,7E-04	-1,667E-04
10-6-15 13:00	0,08	-0,731	0,502	-0,466	-0,031	-0,031	-0,034	-1,9E-04	-1,9E-04	-2,1E-04	-2,000E-04
10-6-15 13:50	0,12	-0,738	0,497	-0,474	-0,038	-0,036	-0,042	-2,4E-04	-2,3E-04	-2,6E-04	-2,417E-04
10-6-15 14:30	0,15	-0,743	0,49	-0,481	-0,043	-0,043	-0,049	-2,7E-04	-2,7E-04	-3,1E-04	-2,813E-04
10-6-15 15:15	0,18	-0,745	0,487	-0,486	-0,045	-0,046	-0,054	-2,8E-04	-2,9E-04	-3,4E-04	-3,021E-04
11-6-15 15:15	1,18	-0,855	0,38	-0,593	-0,155	-0,153	-0,161	-9,7E-04	-9,6E-04	-1,0E-03	-9,771E-04
11-6-15 15:45	1,20	-0,858	0,375	-0,596	-0,158	-0,158	-0,164	-9,9E-04	-9,9E-04	-1,0E-03	-1,000E-03
11-6-15 16:10	1,22	-0,859	0,374	-0,598	-0,159	-0,159	-0,166	-9,9E-04	-9,9E-04	-1,0E-03	-1,008E-03
12-6-15 9:40	1,94	-0,903	0,33	-0,648	-0,203	-0,203	-0,216	-1,3E-03	-1,3E-03	-1,4E-03	-1,296E-03
12-6-15 10:30	1,98	-0,907	0,325	-0,653	-0,207	-0,208	-0,221	-1,3E-03	-1,3E-03	-1,4E-03	-1,325E-03
12-6-15 13:40	2,11	-0,914	0,318	-0,658	-0,214	-0,215	-0,226	-1,3E-03	-1,3E-03	-1,4E-03	-1,365E-03
12-6-15 15:00	2,17	-0,915	0,316	-0,662	-0,215	-0,217	-0,23	-1,3E-03	-1,4E-03	-1,4E-03	-1,379E-03
12-6-15 15:35	2,19	-0,917	0,314	-0,664	-0,217	-0,219	-0,232	-1,4E-03	-1,4E-03	-1,5E-03	-1,392E-03
15-6-15 10:25	4,98	-1,013	0,217	-0,757	-0,313	-0,316	-0,325	-2,0E-03	-2,0E-03	-2,0E-03	-1,988E-03
15-6-15 12:55	5,08	-1,014	0,214	-0,761	-0,314	-0,319	-0,329	-2,0E-03	-2,0E-03	-2,1E-03	-2,004E-03
15-6-15 15:35	5,19	-1,015	0,214	-0,759	-0,315	-0,319	-0,327	-2,0E-03	-2,0E-03	-2,0E-03	-2,002E-03

16-6-15 9:35	5,94	-1,031	0,198	-0,774	-0,331	-0,335	-0,342	-2,1E-03	-2,1E-03	-2,1E-03	-2,100E-03
16-6-15 15:10	6,17	-1,033	0,196	-0,779	-0,333	-0,337	-0,347	-2,1E-03	-2,1E-03	-2,2E-03	-2,119E-03
17-6-15 9:45	6,95	-1,04	0,185	-0,786	-0,34	-0,348	-0,354	-2,1E-03	-2,2E-03	-2,2E-03	-2,171E-03
17-6-15 14:05	7,13	-1,041	0,185	-0,787	-0,341	-0,348	-0,355	-2,1E-03	-2,2E-03	-2,2E-03	-2,175E-03
22-6-15 12:10	12,05	-1,08	0,147	-0,826	-0,38	-0,386	-0,394	-2,4E-03	-2,4E-03	-2,5E-03	-2,417E-03
23-6-15 10:00	12,96	-1,083	0,143	-0,83	-0,383	-0,39	-0,398	-2,4E-03	-2,4E-03	-2,5E-03	-2,440E-03
23-6-15 15:35	13,19	-1,085	0,139	-0,833	-0,385	-0,394	-0,401	-2,4E-03	-2,5E-03	-2,5E-03	-2,458E-03
24-6-15 10:15	13,97	-1,09	0,136	-0,837	-0,39	-0,397	-0,405	-2,4E-03	-2,5E-03	-2,5E-03	-2,483E-03
24-6-15 15:30	14,19	-1,091	0,135	-0,838	-0,391	-0,398	-0,406	-2,4E-03	-2,5E-03	-2,5E-03	-2,490E-03
25-6-15 10:30	14,98	-1,07	0,148	-0,825	-0,37	-0,385	-0,393	-2,3E-03	-2,4E-03	-2,5E-03	-2,392E-03
25-6-15 12:05	15,05	-1,079	0,145	-0,827	-0,379	-0,388	-0,395	-2,4E-03	-2,4E-03	-2,5E-03	-2,421E-03
26-6-15 10:15	15,97	-1,073	0,147	-0,821	-0,373	-0,386	-0,389	-2,3E-03	-2,4E-03	-2,4E-03	-2,392E-03
26-6-15 15:15	16,18	-1,073	0,148	-0,821	-0,373	-0,385	-0,389	-2,3E-03	-2,4E-03	-2,4E-03	-2,390E-03
29-6-15 9:30	18,94	-1,066	0,153	-0,812	-0,366	-0,38	-0,38	-2,3E-03	-2,4E-03	-2,4E-03	-2,346E-03
29-6-15 14:40	19,15	-1,064	0,153	-0,809	-0,364	-0,38	-0,377	-2,3E-03	-2,4E-03	-2,4E-03	-2,335E-03
30-6-15 10:15	19,97	-1,062	0,155	-0,808	-0,362	-0,378	-0,376	-2,3E-03	-2,4E-03	-2,4E-03	-2,325E-03
30-6-15 14:50	20,16	-1,062	0,153	-0,809	-0,362	-0,38	-0,377	-2,3E-03	-2,4E-03	-2,4E-03	-2,331E-03
1-7-15 9:45	20,95	-1,063	0,153	-0,809	-0,363	-0,38	-0,377	-2,3E-03	-2,4E-03	-2,4E-03	-2,333E-03
1-7-15 13:45	21,11	-1,062	0,154	-0,809	-0,362	-0,379	-0,377	-2,3E-03	-2,4E-03	-2,4E-03	-2,329E-03
2-7-15 9:45	21,95	-1,061	0,157	-0,808	-0,361	-0,376	-0,376	-2,3E-03	-2,4E-03	-2,4E-03	-2,319E-03
2-7-15 15:05	22,17	-1,06	0,158	-0,809	-0,36	-0,375	-0,377	-2,3E-03	-2,3E-03	-2,4E-03	-2,317E-03
3-7-15 8:35	22,90	-1,06	0,155	-0,81	-0,36	-0,378	-0,378	-2,3E-03	-2,4E-03	-2,4E-03	-2,325E-03
6-7-15 8:00	25,88	-1,056	0,166	-0,806	-0,356	-0,367	-0,374	-2,2E-03	-2,3E-03	-2,3E-03	-2,285E-03
6-7-15 8:00	25,88	-1,055	0,164	-0,804	-0,355	-0,368	-0,373	-2,2E-03	-2,3E-03	-2,3E-03	-2,283E-03
7-7-15 8:00	26,88	-1,055	0,165	-0,805	-0,355	-0,369	-0,372	-2,2E-03	-2,3E-03	-2,3E-03	-2,281E-03
7-7-15 8:00	26,88	-1,054	0,164	-0,804	-0,354	-0,369	-0,372	-2,2E-03	-2,3E-03	-2,3E-03	-2,281E-03

ANEXO 2

ANEXO 2

A continuación se muestran los cálculos realizados para la obtención de la deformación por la retracción autógena.

STEEL 1,28%	AUTO
-------------	------

Data	Time (min)	Measure			Dim. difference (DL)			Deform			Average
		FREE-1	FREE-2	FREE-3	FREE-1	FREE-2	FREE-3	FREE-1	FREE-2	FREE-3	Deform
		(mm)	(mm)	(mm)	(mm)	(mm)	(mm)	(ε)	(ε)	(ε)	(με)
28-1-14 15:05	0,00	-1,005	-0,335	-0,440	0	0	0	0,0E+00	0,0E+00	0,0E+00	0,000E+00
28-1-14 15:20	0,01	-1,012	-0,338	-0,447	-0,007	-0,003	-0,007	-4,4E-05	-1,9E-05	-4,4E-05	-3,542E-05
28-1-14 15:40	0,02	-1,016	-0,342	-0,453	-0,011	-0,007	-0,013	-6,9E-05	-4,4E-05	-8,1E-05	-6,458E-05
28-1-14 15:45	0,03	-1,017	-0,344	-0,456	-0,012	-0,009	-0,016	-7,5E-05	-5,6E-05	-1,0E-04	-7,708E-05
28-1-14 16:00	0,04	-1,021	-0,347	-0,458	-0,016	-0,012	-0,018	-1,0E-04	-7,5E-05	-1,1E-04	-9,583E-05
28-1-14 16:11	0,05	-1,023	-0,348	-0,461	-0,018	-0,013	-0,021	-1,1E-04	-8,1E-05	-1,3E-04	-1,083E-04
28-1-14 16:21	0,05	-1,025	-0,349	-0,463	-0,02	-0,014	-0,023	-1,3E-04	-8,7E-05	-1,4E-04	-1,188E-04
28-1-14 16:31	0,06	-1,026	-0,350	-0,465	-0,021	-0,015	-0,025	-1,3E-04	-9,4E-05	-1,6E-04	-1,271E-04
28-1-14 16:41	0,07	-1,028	-0,352	-0,465	-0,023	-0,017	-0,025	-1,4E-04	-1,1E-04	-1,6E-04	-1,354E-04
29-1-14 10:35	0,81	-1,055	-0,379	-0,496	-0,05	-0,044	-0,056	-3,1E-04	-2,8E-04	-3,5E-04	-3,125E-04
29-1-14 10:50	0,82	-1,054	-0,379	-0,496	-0,049	-0,044	-0,056	-3,1E-04	-2,8E-04	-3,5E-04	-3,104E-04
29-1-14 11:20	0,84	-1,053	-0,378	-0,498	-0,048	-0,043	-0,058	-3,0E-04	-2,7E-04	-3,6E-04	-3,104E-04
29-1-14 11:50	0,86	-1,054	-0,379	-0,498	-0,049	-0,044	-0,058	-3,1E-04	-2,8E-04	-3,6E-04	-3,146E-04
29-1-14 12:20	0,89	-1,054	-0,379	-0,497	-0,049	-0,044	-0,057	-3,1E-04	-2,8E-04	-3,6E-04	-3,125E-04
29-1-14 12:50	0,91	-1,055	-0,379	-0,498	-0,05	-0,044	-0,058	-3,1E-04	-2,8E-04	-3,6E-04	-3,167E-04
29-1-14 13:20	0,93	-1,054	-0,379	-0,499	-0,049	-0,044	-0,059	-3,1E-04	-2,8E-04	-3,7E-04	-3,167E-04
29-1-14 13:50	0,95	-1,055	-0,379	-0,499	-0,05	-0,044	-0,059	-3,1E-04	-2,8E-04	-3,7E-04	-3,188E-04
29-1-14 14:20	0,97	-1,055	-0,379	-0,500	-0,05	-0,044	-0,06	-3,1E-04	-2,8E-04	-3,8E-04	-3,208E-04
29-1-14 14:50	0,99	-1,055	-0,379	-0,500	-0,05	-0,044	-0,06	-3,1E-04	-2,8E-04	-3,8E-04	-3,208E-04
29-1-14 15:20	1,01	-1,055	-0,378	-0,500	-0,05	-0,043	-0,06	-3,1E-04	-2,7E-04	-3,8E-04	-3,188E-04
29-1-14 15:50	1,03	-1,055	-0,378	-0,498	-0,05	-0,043	-0,058	-3,1E-04	-2,7E-04	-3,6E-04	-3,146E-04
29-1-14 16:20	1,05	-1,056	-0,380	-0,499	-0,051	-0,045	-0,059	-3,2E-04	-2,8E-04	-3,7E-04	-3,229E-04
29-1-14 17:50	1,11	-1,060	-0,384	-0,503	-0,055	-0,049	-0,063	-3,4E-04	-3,1E-04	-3,9E-04	-3,479E-04
29-1-14 18:20	1,14	-1,060	-0,385	-0,504	-0,055	-0,05	-0,064	-3,4E-04	-3,1E-04	-4,0E-04	-3,521E-04
29-1-14 18:50	1,16	-1,060	-0,385	-0,504	-0,055	-0,05	-0,064	-3,4E-04	-3,1E-04	-4,0E-04	-3,521E-04
30-1-14 11:30	1,85	-1,071	-0,396	-0,516	-0,066	-0,061	-0,076	-4,1E-04	-3,8E-04	-4,8E-04	-4,229E-04
30-1-14 12:35	1,90	-1,071	-0,396	-0,516	-0,066	-0,061	-0,076	-4,1E-04	-3,8E-04	-4,8E-04	-4,229E-04
30-1-14 13:30	1,93	-1,071	-0,396	-0,516	-0,066	-0,061	-0,076	-4,1E-04	-3,8E-04	-4,8E-04	-4,229E-04
30-1-14 14:30	1,98	-1,073	-0,397	-0,517	-0,068	-0,062	-0,077	-4,3E-04	-3,9E-04	-4,8E-04	-4,313E-04
30-1-14 15:30	2,02	-1,072	-0,397	-0,520	-0,067	-0,062	-0,08	-4,2E-04	-3,9E-04	-5,0E-04	-4,354E-04
30-1-14 17:30	2,10	-1,073	-0,398	-0,521	-0,068	-0,063	-0,081	-4,3E-04	-3,9E-04	-5,1E-04	-4,417E-04
31-1-14 10:10	2,80	-1,080	-0,407	-0,530	-0,075	-0,072	-0,09	-4,7E-04	-4,5E-04	-5,6E-04	-4,938E-04
31-1-14 11:10	2,84	-1,080	-0,406	-0,529	-0,075	-0,071	-0,089	-4,7E-04	-4,4E-04	-5,6E-04	-4,896E-04
31-1-14 12:00	2,87	-1,080	-0,406	-0,529	-0,075	-0,071	-0,089	-4,7E-04	-4,4E-04	-5,6E-04	-4,896E-04

31-1-14 13:40	2,94	-1,081	-0,408	-0,530	-0,076	-0,073	-0,09	-4,8E-04	-4,6E-04	-5,6E-04	-4,979E-04
31-1-14 15:00	3,00	-1,082	-0,409	-0,531	-0,077	-0,074	-0,091	-4,8E-04	-4,6E-04	-5,7E-04	-5,042E-04
31-1-14 16:00	3,04	-1,082	-0,409	-0,531	-0,077	-0,074	-0,091	-4,8E-04	-4,6E-04	-5,7E-04	-5,042E-04
3-2-14 8:40	5,73	-1,134	-0,466	-0,587	-0,129	-0,131	-0,147	-8,1E-04	-8,2E-04	-9,2E-04	-8,479E-04
3-2-14 10:40	5,82	-1,135	-0,466	-0,588	-0,13	-0,131	-0,148	-8,1E-04	-8,2E-04	-9,3E-04	-8,521E-04
3-2-14 12:15	5,88	-1,136	-0,467	-0,588	-0,131	-0,132	-0,148	-8,2E-04	-8,3E-04	-9,3E-04	-8,563E-04
3-2-14 13:40	5,94	-1,137	-0,469	-0,591	-0,132	-0,134	-0,151	-8,3E-04	-8,4E-04	-9,4E-04	-8,688E-04
3-2-14 14:40	5,98	-1,138	-0,470	-0,592	-0,133	-0,135	-0,152	-8,3E-04	-8,4E-04	-9,5E-04	-8,750E-04
3-2-14 15:45	6,03	-1,138	-0,470	-0,594	-0,133	-0,135	-0,154	-8,3E-04	-8,4E-04	-9,6E-04	-8,792E-04
4-2-14 11:10	6,84	-1,153	-0,486	-0,611	-0,148	-0,151	-0,171	-9,3E-04	-9,4E-04	-1,1E-03	-9,792E-04
4-2-14 12:40	6,90	-1,154	-0,486	-0,612	-0,149	-0,151	-0,172	-9,3E-04	-9,4E-04	-1,1E-03	-9,833E-04
4-2-14 13:55	6,95	-1,154	-0,487	-0,613	-0,149	-0,152	-0,173	-9,3E-04	-9,5E-04	-1,1E-03	-9,875E-04
4-2-14 15:40	7,02	-1,155	-0,488	-0,614	-0,15	-0,153	-0,174	-9,4E-04	-9,6E-04	-1,1E-03	-9,938E-04
4-2-14 17:40	7,11	-1,156	-0,489	-0,614	-0,151	-0,154	-0,174	-9,4E-04	-9,6E-04	-1,1E-03	-9,979E-04
5-2-14 12:00	7,87	-1,169	-0,503	-0,628	-0,164	-0,168	-0,188	-1,0E-03	-1,1E-03	-1,2E-03	-1,083E-03
5-2-14 13:00	7,91	-1,169	-0,503	-0,627	-0,164	-0,168	-0,187	-1,0E-03	-1,1E-03	-1,2E-03	-1,081E-03
5-2-14 14:00	7,95	-1,169	-0,503	-0,628	-0,164	-0,168	-0,188	-1,0E-03	-1,1E-03	-1,2E-03	-1,083E-03
5-2-14 14:30	7,98	-1,168	-0,503	-0,630	-0,163	-0,168	-0,19	-1,0E-03	-1,1E-03	-1,2E-03	-1,085E-03
5-2-14 15:30	8,02	-1,170	-0,504	-0,630	-0,165	-0,169	-0,19	-1,0E-03	-1,1E-03	-1,2E-03	-1,092E-03
6-2-14 10:30	8,81	-1,178	-0,514	-0,638	-0,173	-0,179	-0,198	-1,1E-03	-1,1E-03	-1,2E-03	-1,146E-03
6-2-14 11:30	8,85	-1,179	-0,514	-0,637	-0,174	-0,179	-0,197	-1,1E-03	-1,1E-03	-1,2E-03	-1,146E-03
6-2-14 12:30	8,89	-1,178	-0,514	-0,638	-0,173	-0,179	-0,198	-1,1E-03	-1,1E-03	-1,2E-03	-1,146E-03
6-2-14 13:30	8,93	-1,177	-0,512	-0,638	-0,172	-0,177	-0,198	-1,1E-03	-1,1E-03	-1,2E-03	-1,140E-03
6-2-14 14:30	8,98	-1,178	-0,514	-0,640	-0,173	-0,179	-0,2	-1,1E-03	-1,1E-03	-1,3E-03	-1,150E-03
6-2-14 15:30	9,02	-1,179	-0,513	-0,639	-0,174	-0,178	-0,199	-1,1E-03	-1,1E-03	-1,2E-03	-1,148E-03
7-2-14 11:30	9,85	-1,184	-0,519	-0,643	-0,179	-0,184	-0,203	-1,1E-03	-1,2E-03	-1,3E-03	-1,179E-03
7-2-14 12:30	9,89	-1,184	-0,519	-0,647	-0,179	-0,184	-0,207	-1,1E-03	-1,2E-03	-1,3E-03	-1,188E-03
7-2-14 13:30	9,93	-1,184	-0,518	-0,645	-0,179	-0,183	-0,205	-1,1E-03	-1,1E-03	-1,3E-03	-1,181E-03
7-2-14 14:30	9,98	-1,183	-0,518	-0,645	-0,178	-0,183	-0,205	-1,1E-03	-1,1E-03	-1,3E-03	-1,179E-03
7-2-14 15:30	10,02	-1,183	-0,519	-0,646	-0,178	-0,184	-0,206	-1,1E-03	-1,2E-03	-1,3E-03	-1,183E-03
10-2-14 10:40	12,82	-1,201	-0,537	-0,664	-0,196	-0,202	-0,224	-1,2E-03	-1,3E-03	-1,4E-03	-1,296E-03
10-2-14 11:40	12,86	-1,200	-0,536	-0,663	-0,195	-0,201	-0,223	-1,2E-03	-1,3E-03	-1,4E-03	-1,290E-03
10-2-14 12:40	12,90	-1,200	-0,536	-0,664	-0,195	-0,201	-0,224	-1,2E-03	-1,3E-03	-1,4E-03	-1,292E-03
10-2-14 13:40	12,94	-1,201	-0,536	-0,664	-0,196	-0,201	-0,224	-1,2E-03	-1,3E-03	-1,4E-03	-1,294E-03
10-2-14 15:00	13,00	-1,202	-0,538	-0,665	-0,197	-0,203	-0,225	-1,2E-03	-1,3E-03	-1,4E-03	-1,302E-03
10-2-14 16:00	13,04	-1,201	-0,537	-0,665	-0,196	-0,202	-0,225	-1,2E-03	-1,3E-03	-1,4E-03	-1,298E-03
11-2-14 11:20	13,84	-1,205	-0,541	-0,668	-0,2	-0,206	-0,228	-1,3E-03	-1,3E-03	-1,4E-03	-1,321E-03
11-2-14 12:20	13,89	-1,205	-0,539	-0,668	-0,2	-0,204	-0,228	-1,3E-03	-1,3E-03	-1,4E-03	-1,317E-03
11-2-14 13:20	13,93	-1,205	-0,539	-0,668	-0,2	-0,204	-0,228	-1,3E-03	-1,3E-03	-1,4E-03	-1,317E-03
11-2-14 14:45	13,99	-1,204	-0,539	-0,668	-0,199	-0,204	-0,228	-1,2E-03	-1,3E-03	-1,4E-03	-1,315E-03
11-2-14 15:45	14,03	-1,204	-0,540	-0,667	-0,199	-0,205	-0,227	-1,2E-03	-1,3E-03	-1,4E-03	-1,315E-03
12-2-14 11:00	14,83	-1,207	-0,542	-0,670	-0,202	-0,207	-0,23	-1,3E-03	-1,3E-03	-1,4E-03	-1,331E-03
12-2-14 13:50	14,95	-1,204	-0,539	-0,667	-0,199	-0,204	-0,227	-1,2E-03	-1,3E-03	-1,4E-03	-1,313E-03

12-2-14 14:45	14,99	-1,205	-0,540	-0,668	-0,2	-0,205	-0,228	-1,3E-03	-1,3E-03	-1,4E-03	-1,319E-03
12-2-14 15:45	15,03	-1,205	-0,540	-0,668	-0,2	-0,205	-0,228	-1,3E-03	-1,3E-03	-1,4E-03	-1,319E-03
13-2-14 11:20	15,84	-1,208	-0,545	-0,672	-0,203	-0,21	-0,232	-1,3E-03	-1,3E-03	-1,5E-03	-1,344E-03
13-2-14 12:20	15,89	-1,209	-0,544	-0,672	-0,204	-0,209	-0,232	-1,3E-03	-1,3E-03	-1,5E-03	-1,344E-03
13-2-14 13:40	15,94	-1,208	-0,545	-0,671	-0,203	-0,21	-0,231	-1,3E-03	-1,3E-03	-1,4E-03	-1,342E-03
13-2-14 14:40	15,98	-1,208	-0,545	-0,671	-0,203	-0,21	-0,231	-1,3E-03	-1,3E-03	-1,4E-03	-1,342E-03
13-2-14 16:00	16,04	-1,208	-0,544	-0,671	-0,203	-0,209	-0,231	-1,3E-03	-1,3E-03	-1,4E-03	-1,340E-03
14-2-14 12:10	16,88	-1,211	-0,548	-0,674	-0,206	-0,213	-0,234	-1,3E-03	-1,3E-03	-1,5E-03	-1,360E-03
14-2-14 13:55	16,95	-1,211	-0,547	-0,674	-0,206	-0,212	-0,234	-1,3E-03	-1,3E-03	-1,5E-03	-1,358E-03
14-2-14 15:55	17,03	-1,211	-0,547	-0,674	-0,206	-0,212	-0,234	-1,3E-03	-1,3E-03	-1,5E-03	-1,358E-03
17-2-14 11:40	19,86	-1,215	-0,553	-0,680	-0,21	-0,218	-0,24	-1,3E-03	-1,4E-03	-1,5E-03	-1,392E-03
17-2-14 13:40	19,94	-1,216	-0,554	-0,680	-0,211	-0,219	-0,24	-1,3E-03	-1,4E-03	-1,5E-03	-1,396E-03
17-2-14 15:40	20,02	-1,215	-0,553	-0,679	-0,21	-0,218	-0,239	-1,3E-03	-1,4E-03	-1,5E-03	-1,390E-03
18-2-14 12:00	20,87	-1,217	-0,554	-0,681	-0,212	-0,219	-0,241	-1,3E-03	-1,4E-03	-1,5E-03	-1,400E-03
18-2-14 14:00	20,95	-1,217	-0,555	-0,681	-0,212	-0,22	-0,241	-1,3E-03	-1,4E-03	-1,5E-03	-1,402E-03
18-2-14 16:00	21,04	-1,217	-0,555	-0,681	-0,212	-0,22	-0,241	-1,3E-03	-1,4E-03	-1,5E-03	-1,402E-03
19-2-14 12:20	21,89	-1,218	-0,557	-0,682	-0,213	-0,222	-0,242	-1,3E-03	-1,4E-03	-1,5E-03	-1,410E-03
19-2-14 16:00	22,04	-1,217	-0,556	-0,682	-0,212	-0,221	-0,242	-1,3E-03	-1,4E-03	-1,5E-03	-1,406E-03
20-2-14 11:40	22,86	-1,218	-0,557	-0,682	-0,213	-0,222	-0,242	-1,3E-03	-1,4E-03	-1,5E-03	-1,410E-03
20-2-14 16:00	23,04	-1,218	-0,557	-0,682	-0,213	-0,222	-0,242	-1,3E-03	-1,4E-03	-1,5E-03	-1,410E-03
21-2-14 11:20	23,84	-1,219	-0,558	-0,683	-0,214	-0,223	-0,243	-1,3E-03	-1,4E-03	-1,5E-03	-1,417E-03
21-2-14 15:45	24,03	-1,219	-0,558	-0,683	-0,214	-0,223	-0,243	-1,3E-03	-1,4E-03	-1,5E-03	-1,417E-03
24-2-14 10:30	26,81	-1,222	-0,561	-0,686	-0,217	-0,226	-0,246	-1,4E-03	-1,4E-03	-1,5E-03	-1,435E-03
24-2-14 15:50	27,03	-1,222	-0,559	-0,686	-0,217	-0,224	-0,246	-1,4E-03	-1,4E-03	-1,5E-03	-1,431E-03
25-2-14 10:15	27,80	-1,221	-0,560	-0,685	-0,216	-0,225	-0,245	-1,4E-03	-1,4E-03	-1,5E-03	-1,429E-03
25-2-14 15:00	28,00	-1,221	-0,560	-0,686	-0,216	-0,225	-0,246	-1,4E-03	-1,4E-03	-1,5E-03	-1,431E-03

STEEL 0,64%

AUTO

Data	Time (min)	Measure			Dim. difference (DL)			Deform			Average
		FREE-1	FREE-2	FREE-3	FREE-1	FREE-2	FREE-3	FREE-1	FREE-2	FREE-3	Deform
			(mm)			(mm)			(ε)		(με)
28-4-15 11:55	0,00	-1,072	-0,962	-0,446	0	0	0	0,0E+00	0,0E+00	0,0E+00	0,000E+00
28-4-15 12:25	0,02	-1,077	-0,961	-0,448	-0,005	0	-0,002	-3,1E-05	0,0E+00	-1,3E-05	-1,458E-05
28-4-15 12:55	0,04	-1,076	-0,963	-0,449	-0,004	-0,001	-0,003	-2,5E-05	-6,3E-06	-1,9E-05	-1,667E-05
28-4-15 13:25	0,06	-1,083	-0,969	-0,453	-0,011	-0,007	-0,007	-6,9E-05	-4,4E-05	-4,4E-05	-5,208E-05
28-4-15 13:55	0,08	-1,081	-0,967	-0,391	-0,009	-0,005	0	-5,6E-05	-3,1E-05	0,0E+00	-2,917E-05
28-4-15 14:25	0,10	-1,078	-0,966	-0,387	-0,006	-0,004	0	-3,8E-05	-2,5E-05	0,0E+00	-2,083E-05
28-4-15 14:55	0,12	-1,081	-0,969	-0,394	-0,009	-0,007	0	-5,6E-05	-4,4E-05	0,0E+00	-3,333E-05
28-4-15 15:25	0,15	-1,081	-0,971	-0,396	-0,009	-0,009	0	-5,6E-05	-5,6E-05	0,0E+00	-3,750E-05
28-4-15 15:55	0,17	-1,077	-0,967	-0,450	-0,005	-0,005	-0,004	-3,1E-05	-3,1E-05	-2,5E-05	-2,917E-05
28-4-15 16:25	0,19	-1,078	-0,967	-0,452	-0,006	-0,005	-0,006	-3,8E-05	-3,1E-05	-3,8E-05	-3,542E-05
28-4-15 16:55	0,21	-1,075	-0,967	-0,450	-0,003	-0,005	-0,004	-1,9E-05	-3,1E-05	-2,5E-05	-2,500E-05
28-4-15 17:25	0,23	-0,078	-0,969	-0,452	0	-0,007	-0,006	0,0E+00	-4,4E-05	-3,8E-05	-2,708E-05
29-4-15 10:10	0,93	-1,085	-0,972	-0,456	-0,013	-0,01	-0,01	-8,1E-05	-6,3E-05	-6,3E-05	-6,875E-05
29-4-15 10:40	0,95	-1,086	-0,974	-0,455	-0,014	-0,012	-0,009	-8,8E-05	-7,5E-05	-5,6E-05	-7,292E-05
29-4-15 12:30	1,02	-1,089	-0,976	-0,457	-0,017	-0,014	-0,011	-1,1E-04	-8,8E-05	-6,9E-05	-8,750E-05
29-4-15 12:45	1,03	-1,089	-0,977	-0,458	-0,017	-0,015	-0,012	-1,1E-04	-9,4E-05	-7,5E-05	-9,167E-05
29-4-15 13:15	1,06	-1,084	-0,974	-0,457	-0,012	-0,012	-0,011	-7,5E-05	-7,5E-05	-6,9E-05	-7,292E-05
29-4-15 13:45	1,08	-1,089	-0,979	-0,459	-0,017	-0,017	-0,013	-1,1E-04	-1,1E-04	-8,1E-05	-9,792E-05
29-4-15 14:15	1,10	-1,087	-0,975	-0,455	-0,015	-0,013	-0,009	-9,4E-05	-8,1E-05	-5,6E-05	-7,708E-05
29-4-15 14:45	1,12	-1,087	-0,976	-0,459	-0,015	-0,014	-0,013	-9,4E-05	-8,8E-05	-8,1E-05	-8,750E-05
29-4-15 15:15	1,14	-1,088	-0,976	-0,457	-0,016	-0,014	-0,011	-1,0E-04	-8,8E-05	-6,9E-05	-8,542E-05
29-4-15 15:45	1,16	-1,086	-0,974	-0,456	-0,014	-0,012	-0,01	-8,8E-05	-7,5E-05	-6,3E-05	-7,500E-05
30-4-15 10:00	1,92	-1,092	-0,979	-0,460	-0,02	-0,017	-0,014	-1,3E-04	-1,1E-04	-8,8E-05	-1,063E-04
30-4-15 11:00	1,96	-1,095	-0,981	-0,462	-0,023	-0,019	-0,016	-1,4E-04	-1,2E-04	-1,0E-04	-1,208E-04
30-4-15 12:00	2,00	-1,096	-0,982	-0,464	-0,024	-0,02	-0,018	-1,5E-04	-1,3E-04	-1,1E-04	-1,292E-04
30-4-15 13:00	2,05	-1,096	-0,981	-0,464	-0,024	-0,019	-0,018	-1,5E-04	-1,2E-04	-1,1E-04	-1,271E-04
30-4-15 14:00	2,09	-1,094	-0,980	-0,461	-0,022	-0,018	-0,015	-1,4E-04	-1,1E-04	-9,4E-05	-1,146E-04
30-4-15 15:00	2,13	-1,095	-0,980	-0,462	-0,023	-0,018	-0,016	-1,4E-04	-1,1E-04	-1,0E-04	-1,188E-04
30-4-15 16:00	2,17	-1,096	-0,981	-0,462	-0,024	-0,019	-0,016	-1,5E-04	-1,2E-04	-1,0E-04	-1,229E-04
4-5-15 8:45	5,87	-1,149	-1,025	-0,509	-0,077	-0,063	-0,063	-4,8E-04	-3,9E-04	-3,9E-04	-4,229E-04
4-5-15 11:45	5,99	-1,151	-1,025	-0,509	-0,079	-0,063	-0,063	-4,9E-04	-3,9E-04	-3,9E-04	-4,271E-04
4-5-15 13:45	6,08	-1,156	-1,027	-0,511	-0,084	-0,065	-0,065	-5,2E-04	-4,1E-04	-4,1E-04	-4,458E-04
5-5-15 10:30	6,94	-1,170	-1,040	-0,526	-0,098	-0,078	-0,08	-6,1E-04	-4,9E-04	-5,0E-04	-5,333E-04
5-5-15 12:30	7,02	-1,170	-1,039	-0,524	-0,098	-0,077	-0,078	-6,1E-04	-4,8E-04	-4,9E-04	-5,271E-04
5-5-15 14:30	7,11	-1,171	-1,040	-0,526	-0,099	-0,078	-0,08	-6,2E-04	-4,9E-04	-5,0E-04	-5,354E-04
5-5-15 16:30	7,19	-1,172	-1,041	-0,526	-0,1	-0,079	-0,08	-6,2E-04	-4,9E-04	-5,0E-04	-5,396E-04
6-5-15 10:30	7,94	-1,185	-1,051	-0,538	-0,113	-0,089	-0,092	-7,1E-04	-5,6E-04	-5,8E-04	-6,125E-04

6-5-15 12:30	8,02	-1,189	-1,052	-0,540	-0,117	-0,09	-0,094	-7,3E-04	-5,6E-04	-5,9E-04	-6,271E-04
6-5-15 14:30	8,11	-1,190	-1,052	-0,540	-0,118	-0,09	-0,094	-7,4E-04	-5,6E-04	-5,9E-04	-6,292E-04
6-5-15 16:30	8,19	-1,189	-1,053	-0,541	-0,117	-0,091	-0,095	-7,3E-04	-5,7E-04	-5,9E-04	-6,313E-04
7-5-15 10:00	8,92	-1,204	-1,055	-0,543	-0,132	-0,093	-0,097	-8,2E-04	-5,8E-04	-6,1E-04	-6,708E-04
7-5-15 12:00	9,00	-1,202	-1,057	-0,549	-0,13	-0,095	-0,103	-8,1E-04	-5,9E-04	-6,4E-04	-6,833E-04
7-5-15 14:00	9,09	-1,204	-1,057	-0,551	-0,132	-0,095	-0,105	-8,2E-04	-5,9E-04	-6,6E-04	-6,917E-04
11-5-15 15:00	13,13	-1,242	-1,089	-0,586	-0,17	-0,127	-0,14	-1,1E-03	-7,9E-04	-8,8E-04	-9,104E-04
11-5-15 17:00	13,21	-1,244	-1,089	-0,587	-0,172	-0,127	-0,141	-1,1E-03	-7,9E-04	-8,8E-04	-9,167E-04
12-5-15 10:30	13,94	-1,250	-1,096	-0,589	-0,178	-0,134	-0,143	-1,1E-03	-8,4E-04	-8,9E-04	-9,479E-04
12-5-15 12:30	14,02	-1,250	-1,096	-0,590	-0,178	-0,134	-0,144	-1,1E-03	-8,4E-04	-9,0E-04	-9,500E-04
12-5-15 14:30	14,11	-1,251	-1,097	-0,591	-0,179	-0,135	-0,145	-1,1E-03	-8,4E-04	-9,1E-04	-9,563E-04
12-5-15 16:30	14,19	-1,252	-1,097	-0,591	-0,18	-0,135	-0,145	-1,1E-03	-8,4E-04	-9,1E-04	-9,583E-04
13-5-15 10:00	14,92	-1,254	-1,102	-0,600	-0,182	-0,14	-0,154	-1,1E-03	-8,8E-04	-9,6E-04	-9,917E-04
13-5-15 12:00	15,00	-1,255	-1,103	-0,598	-0,183	-0,141	-0,152	-1,1E-03	-8,8E-04	-9,5E-04	-9,917E-04
13-5-15 14:30	15,11	-1,254	-1,102	-0,598	-0,182	-0,14	-0,152	-1,1E-03	-8,8E-04	-9,5E-04	-9,875E-04
14-5-15 9:00	15,88	-1,262	-1,107	-0,603	-0,19	-0,145	-0,157	-1,2E-03	-9,1E-04	-9,8E-04	-1,025E-03
14-5-15 11:00	15,96	-1,262	-1,108	-0,602	-0,19	-0,146	-0,156	-1,2E-03	-9,1E-04	-9,8E-04	-1,025E-03
14-5-15 13:30	16,07	-1,262	-1,108	-0,605	-0,19	-0,146	-0,159	-1,2E-03	-9,1E-04	-9,9E-04	-1,031E-03
15-5-15 9:00	16,88	-1,265	-1,113	-0,606	-0,193	-0,151	-0,16	-1,2E-03	-9,4E-04	-1,0E-03	-1,050E-03
15-5-15 11:00	16,96	-1,266	-1,114	-0,608	-0,194	-0,152	-0,162	-1,2E-03	-9,5E-04	-1,0E-03	-1,058E-03
15-5-15 13:00	17,05	-1,269	-1,118	-0,610	-0,197	-0,156	-0,164	-1,2E-03	-9,8E-04	-1,0E-03	-1,077E-03
18-5-15 8:45	19,87	-1,278	-1,126	-0,616	-0,206	-0,164	-0,17	-1,3E-03	-1,0E-03	-1,1E-03	-1,125E-03
18-5-15 15:45	20,16	-1,278	-1,127	-0,620	-0,206	-0,165	-0,174	-1,3E-03	-1,0E-03	-1,1E-03	-1,135E-03
19-5-15 12:05	21,01	-1,279	-1,128	-0,623	-0,207	-0,166	-0,177	-1,3E-03	-1,0E-03	-1,1E-03	-1,146E-03
19-5-15 14:05	21,09	-1,280	-1,130	-0,624	-0,208	-0,168	-0,178	-1,3E-03	-1,1E-03	-1,1E-03	-1,154E-03
19-5-15 16:05	21,17	-1,281	-1,132	-0,625	-0,209	-0,17	-0,179	-1,3E-03	-1,1E-03	-1,1E-03	-1,163E-03
20-5-15 10:30	21,94	-1,282	-1,135	-0,626	-0,21	-0,173	-0,18	-1,3E-03	-1,1E-03	-1,1E-03	-1,173E-03
20-5-15 12:30	22,02	-1,281	-1,136	-0,628	-0,209	-0,174	-0,182	-1,3E-03	-1,1E-03	-1,1E-03	-1,177E-03
21-5-15 10:30	22,94	-1,283	-1,138	-0,629	-0,211	-0,176	-0,183	-1,3E-03	-1,1E-03	-1,1E-03	-1,188E-03
21-5-15 12:30	23,02	-1,284	-1,139	-0,630	-0,212	-0,177	-0,184	-1,3E-03	-1,1E-03	-1,2E-03	-1,194E-03
25-5-15 10:30	26,94	-1,289	-1,147	-0,636	-0,217	-0,185	-0,19	-1,4E-03	-1,2E-03	-1,2E-03	-1,233E-03
25-5-15 12:30	27,02	-1,291	-1,149	-0,637	-0,219	-0,187	-0,191	-1,4E-03	-1,2E-03	-1,2E-03	-1,244E-03
26-5-15 10:20	27,93	-1,292	-1,151	-0,638	-0,22	-0,189	-0,192	-1,4E-03	-1,2E-03	-1,2E-03	-1,252E-03
26-5-15 12:20	28,02	-1,293	-1,152	-0,639	-0,221	-0,19	-0,193	-1,4E-03	-1,2E-03	-1,2E-03	-1,258E-03

3-SISAL.SAT

AUTO

Data	Time (min)	Measure			Dim. difference (DL)			Deform			Average
		FREE-1	FREE-2	FREE-3	FREE-1	FREE-2	FREE-3	FREE-1	FREE-2	FREE-3	Deform
											(μe)
4-2-14 12:30	0,00	-0,675	-0,771	0,164	0	0	0	0,0E+00	0,0E+00	0,0E+00	0,000E+00
4-2-14 13:00	0,02	-0,678	-0,773	0,159	-0,003	-0,002	-0,005	-1,9E-05	-1,3E-05	-3,1E-05	-2,083E-05
4-2-14 13:30	0,04	-0,68	-0,774	0,156	-0,005	-0,003	-0,008	-3,1E-05	-1,9E-05	-5,0E-05	-3,333E-05
4-2-14 14:00	0,06	-0,681	-0,775	0,152	-0,006	-0,004	-0,012	-3,8E-05	-2,5E-05	-7,5E-05	-4,583E-05
4-2-14 14:30	0,08	-0,682	-0,776	0,151	-0,007	-0,005	-0,013	-4,4E-05	-3,1E-05	-8,1E-05	-5,208E-05
4-2-14 15:00	0,10	-0,682	-0,777	0,15	-0,007	-0,006	-0,014	-4,4E-05	-3,8E-05	-8,8E-05	-5,625E-05
4-2-14 15:30	0,13	-0,682	-0,779	0,149	-0,007	-0,008	-0,015	-4,4E-05	-5,0E-05	-9,4E-05	-6,250E-05
4-2-14 16:00	0,15	-0,683	-0,779	0,147	-0,008	-0,008	-0,017	-5,0E-05	-5,0E-05	-1,1E-04	-6,875E-05
4-2-14 17:30	0,21	-0,684	-0,782	0,145	-0,009	-0,011	-0,019	-5,6E-05	-6,9E-05	-1,2E-04	-8,125E-05
5-2-14 11:50	0,97	-0,698	-0,794	0,131	-0,023	-0,023	-0,033	-1,4E-04	-1,4E-04	-2,1E-04	-1,646E-04
5-2-14 12:30	1,00	-0,698	-0,794	0,128	-0,023	-0,023	-0,036	-1,4E-04	-1,4E-04	-2,3E-04	-1,708E-04
5-2-14 13:00	1,02	-0,698	-0,794	0,127	-0,023	-0,023	-0,037	-1,4E-04	-1,4E-04	-2,3E-04	-1,729E-04
5-2-14 13:30	1,04	-0,697	-0,794	0,128	-0,022	-0,023	-0,036	-1,4E-04	-1,4E-04	-2,3E-04	-1,688E-04
5-2-14 14:00	1,06	-0,698	-0,794	0,127	-0,023	-0,023	-0,037	-1,4E-04	-1,4E-04	-2,3E-04	-1,729E-04
5-2-14 14:30	1,08	-0,698	-0,794	0,125	-0,023	-0,023	-0,039	-1,4E-04	-1,4E-04	-2,4E-04	-1,771E-04
5-2-14 15:05	1,11	-0,699	-0,795	0,124	-0,024	-0,024	-0,04	-1,5E-04	-1,5E-04	-2,5E-04	-1,833E-04
5-2-14 15:35	1,13	-0,698	-0,794	0,125	-0,023	-0,023	-0,039	-1,4E-04	-1,4E-04	-2,4E-04	-1,771E-04
6-2-14 10:30	1,92	-0,708	-0,803	0,113	-0,033	-0,032	-0,051	-2,1E-04	-2,0E-04	-3,2E-04	-2,417E-04
6-2-14 11:30	1,96	-0,708	-0,804	0,113	-0,033	-0,033	-0,051	-2,1E-04	-2,1E-04	-3,2E-04	-2,438E-04
6-2-14 12:30	2,00	-0,708	-0,803	0,114	-0,033	-0,032	-0,05	-2,1E-04	-2,0E-04	-3,1E-04	-2,396E-04
6-2-14 13:30	2,04	-0,708	-0,803	0,113	-0,033	-0,032	-0,051	-2,1E-04	-2,0E-04	-3,2E-04	-2,417E-04
6-2-14 14:30	2,08	-0,71	-0,804	0,107	-0,035	-0,033	-0,057	-2,2E-04	-2,1E-04	-3,6E-04	-2,604E-04
6-2-14 15:30	2,13	-0,709	-0,804	0,103	-0,034	-0,033	-0,061	-2,1E-04	-2,1E-04	-3,8E-04	-2,667E-04
7-2-14 11:30	2,96	-0,712	-0,808	0,1	-0,037	-0,037	-0,064	-2,3E-04	-2,3E-04	-4,0E-04	-2,875E-04
7-2-14 12:30	3,00	-0,712	-0,807	0,099	-0,037	-0,036	-0,065	-2,3E-04	-2,3E-04	-4,1E-04	-2,875E-04
7-2-14 13:30	3,04	-0,713	-0,808	0,098	-0,038	-0,037	-0,066	-2,4E-04	-2,3E-04	-4,1E-04	-2,938E-04
7-2-14 14:30	3,08	-0,713	-0,808	0,099	-0,038	-0,037	-0,065	-2,4E-04	-2,3E-04	-4,1E-04	-2,917E-04
7-2-14 15:30	3,13	-0,713	-0,808	0,099	-0,038	-0,037	-0,065	-2,4E-04	-2,3E-04	-4,1E-04	-2,917E-04
10-2-14 10:40	5,92	-0,739	-0,833	0,073	-0,064	-0,062	-0,091	-4,0E-04	-3,9E-04	-5,7E-04	-4,521E-04
10-2-14 11:40	5,97	-0,739	-0,832	0,072	-0,064	-0,061	-0,092	-4,0E-04	-3,8E-04	-5,8E-04	-4,521E-04
10-2-14 12:40	6,01	-0,74	-0,832	0,073	-0,065	-0,061	-0,091	-4,1E-04	-3,8E-04	-5,7E-04	-4,521E-04
10-2-14 13:40	6,05	-0,74	-0,834	0,072	-0,065	-0,063	-0,092	-4,1E-04	-3,9E-04	-5,8E-04	-4,583E-04
10-2-14 15:00	6,10	-0,741	-0,835	0,071	-0,066	-0,064	-0,093	-4,1E-04	-4,0E-04	-5,8E-04	-4,646E-04
10-2-14 16:00	6,15	-0,742	-0,834	0,07	-0,067	-0,063	-0,094	-4,2E-04	-3,9E-04	-5,9E-04	-4,667E-04
11-2-14 11:20	6,95	-0,748	-0,84	0,065	-0,073	-0,069	-0,099	-4,6E-04	-4,3E-04	-6,2E-04	-5,021E-04
11-2-14 12:20	6,99	-0,748	-0,84	0,065	-0,073	-0,069	-0,099	-4,6E-04	-4,3E-04	-6,2E-04	-5,021E-04

11-2-14 13:20	7,03	-0,748	-0,841	0,064	-0,073	-0,07	-0,1	-4,6E-04	-4,4E-04	-6,3E-04	-5,063E-04
11-2-14 14:45	7,09	-0,749	-0,841	0,064	-0,074	-0,07	-0,1	-4,6E-04	-4,4E-04	-6,3E-04	-5,083E-04
11-2-14 15:45	7,14	-0,749	-0,841	0,064	-0,074	-0,07	-0,1	-4,6E-04	-4,4E-04	-6,3E-04	-5,083E-04
12-2-14 11:00	7,94	-0,756	-0,848	0,057	-0,081	-0,077	-0,107	-5,1E-04	-4,8E-04	-6,7E-04	-5,521E-04
12-2-14 13:50	8,06	-0,754	-0,846	0,059	-0,079	-0,075	-0,105	-4,9E-04	-4,7E-04	-6,6E-04	-5,396E-04
12-2-14 14:45	8,09	-0,755	-0,847	0,058	-0,08	-0,076	-0,106	-5,0E-04	-4,8E-04	-6,6E-04	-5,458E-04
12-2-14 15:45	8,14	-0,755	-0,847	0,057	-0,08	-0,076	-0,107	-5,0E-04	-4,8E-04	-6,7E-04	-5,479E-04
13-2-14 11:20	8,95	-0,764	-0,856	0,049	-0,089	-0,085	-0,115	-5,6E-04	-5,3E-04	-7,2E-04	-6,021E-04
13-2-14 12:20	8,99	-0,763	-0,855	0,049	-0,088	-0,084	-0,115	-5,5E-04	-5,3E-04	-7,2E-04	-5,979E-04
13-2-14 13:40	9,05	-0,763	-0,855	0,049	-0,088	-0,084	-0,115	-5,5E-04	-5,3E-04	-7,2E-04	-5,979E-04
13-2-14 14:40	9,09	-0,763	-0,854	0,05	-0,088	-0,083	-0,114	-5,5E-04	-5,2E-04	-7,1E-04	-5,938E-04
13-2-14 16:00	9,15	-0,763	-0,856	0,048	-0,088	-0,085	-0,116	-5,5E-04	-5,3E-04	-7,3E-04	-6,021E-04
14-2-14 12:10	9,99	-0,769	-0,863	0,041	-0,094	-0,092	-0,123	-5,9E-04	-5,8E-04	-7,7E-04	-6,438E-04
14-2-14 13:55	10,06	-0,769	-0,862	0,041	-0,094	-0,091	-0,123	-5,9E-04	-5,7E-04	-7,7E-04	-6,417E-04
14-2-14 15:55	10,14	-0,772	-0,863	0,041	-0,097	-0,092	-0,123	-6,1E-04	-5,8E-04	-7,7E-04	-6,500E-04
17-2-14 11:40	12,97	-0,789	-0,88	0,024	-0,114	-0,109	-0,14	-7,1E-04	-6,8E-04	-8,8E-04	-7,563E-04
17-2-14 13:40	13,05	-0,79	-0,882	0,023	-0,115	-0,111	-0,141	-7,2E-04	-6,9E-04	-8,8E-04	-7,646E-04
17-2-14 15:40	13,13	-0,79	-0,881	0,022	-0,115	-0,11	-0,142	-7,2E-04	-6,9E-04	-8,9E-04	-7,646E-04
18-2-14 12:00	13,98	-0,795	-0,887	0,016	-0,12	-0,116	-0,148	-7,5E-04	-7,3E-04	-9,3E-04	-8,000E-04
18-2-14 14:00	14,06	-0,795	-0,887	0,016	-0,12	-0,116	-0,148	-7,5E-04	-7,3E-04	-9,3E-04	-8,000E-04
18-2-14 16:00	14,15	-0,796	-0,887	0,015	-0,121	-0,116	-0,149	-7,6E-04	-7,3E-04	-9,3E-04	-8,042E-04
19-2-14 12:20	14,99	-0,8	-0,891	0,011	-0,125	-0,12	-0,153	-7,8E-04	-7,5E-04	-9,6E-04	-8,292E-04
19-2-14 16:00	15,15	-0,8	-0,892	0,011	-0,125	-0,121	-0,153	-7,8E-04	-7,6E-04	-9,6E-04	-8,313E-04
20-2-14 11:40	15,97	-0,805	-0,896	0,008	-0,13	-0,125	-0,156	-8,1E-04	-7,8E-04	-9,8E-04	-8,563E-04
20-2-14 16:00	16,15	-0,805	-0,896	0,006	-0,13	-0,125	-0,158	-8,1E-04	-7,8E-04	-9,9E-04	-8,604E-04
21-2-14 11:20	16,95	-0,809	-0,9	0,003	-0,134	-0,129	-0,161	-8,4E-04	-8,1E-04	-1,0E-03	-8,833E-04
21-2-14 15:45	17,14	-0,81	-0,901	0,003	-0,135	-0,13	-0,161	-8,4E-04	-8,1E-04	-1,0E-03	-8,875E-04
24-2-14 10:30	19,92	-0,822	-0,912	-0,008	-0,147	-0,141	-0,172	-9,2E-04	-8,8E-04	-1,1E-03	-9,583E-04
24-2-14 15:50	20,14	-0,822	-0,913	-0,01	-0,147	-0,142	-0,174	-9,2E-04	-8,9E-04	-1,1E-03	-9,646E-04
25-2-14 10:30	20,92	-0,824	-0,916	-0,014	-0,149	-0,145	-0,178	-9,3E-04	-9,1E-04	-1,1E-03	-9,833E-04
25-2-14 15:00	21,10	-0,826	-0,916	-0,016	-0,151	-0,145	-0,18	-9,4E-04	-9,1E-04	-1,1E-03	-9,917E-04
26-2-14 10:05	21,90	-0,829	-0,919	-0,018	-0,154	-0,148	-0,182	-9,6E-04	-9,3E-04	-1,1E-03	-1,008E-03
26-2-14 15:15	22,11	-0,83	-0,92	-0,021	-0,155	-0,149	-0,185	-9,7E-04	-9,3E-04	-1,2E-03	-1,019E-03
27-2-14 10:20	22,91	-0,832	-0,923	-0,021	-0,157	-0,152	-0,185	-9,8E-04	-9,5E-04	-1,2E-03	-1,029E-03
27-2-14 15:20	23,12	-0,832	-0,923	-0,023	-0,157	-0,152	-0,187	-9,8E-04	-9,5E-04	-1,2E-03	-1,033E-03
28-2-14 10:50	23,93	-0,835	-0,925	-0,025	-0,16	-0,154	-0,189	-1,0E-03	-9,6E-04	-1,2E-03	-1,048E-03
28-2-14 15:30	24,13	-0,834	-0,925	-0,023	-0,159	-0,154	-0,187	-9,9E-04	-9,6E-04	-1,2E-03	-1,042E-03
3-3-14 10:30	26,92	-0,842	-0,934	-0,032	-0,167	-0,163	-0,196	-1,0E-03	-1,0E-03	-1,2E-03	-1,096E-03
3-3-14 15:40	27,13	-0,842	-0,934	-0,032	-0,167	-0,163	-0,196	-1,0E-03	-1,0E-03	-1,2E-03	-1,096E-03
4-3-14 11:15	27,95	-0,844	-0,935	-0,033	-0,169	-0,164	-0,197	-1,1E-03	-1,0E-03	-1,2E-03	-1,104E-03
4-3-14 15:30	28,13	-0,844	-0,935	-0,034	-0,169	-0,164	-0,198	-1,1E-03	-1,0E-03	-1,2E-03	-1,106E-03

Data	Time (min)	Measure			Dim. difference (DL)			Deform			Average
		FREE-1	FREE-2	FREE-3	FREE-1	FREE-2	FREE-3	FREE-1	FREE-2	FREE-3	Deform
		(mm)			(mm)			(ϵ)			($\mu\epsilon$)
4-2-14 12:30	0,00	-0,295	0,01	0,13	0,000	0,000	0,000	0,0E+00	0,0E+00	0,0E+00	0,000E+00
4-2-14 13:00	0,02	-0,299	0,007	0,125	-0,004	-0,003	-0,005	-2,5E-05	-1,9E-05	-3,1E-05	-2,500E-05
4-2-14 13:30	0,04	-0,3	0,006	0,124	-0,005	-0,004	-0,006	-3,1E-05	-2,5E-05	-3,8E-05	-3,125E-05
4-2-14 14:00	0,06	-0,302	0,005	0,122	-0,007	-0,005	-0,008	-4,4E-05	-3,1E-05	-5,0E-05	-4,167E-05
4-2-14 14:30	0,08	-0,304	0,003	0,12	-0,009	-0,007	-0,010	-5,6E-05	-4,4E-05	-6,3E-05	-5,417E-05
4-2-14 15:00	0,10	-0,305	0,002	0,119	-0,010	-0,008	-0,011	-6,3E-05	-5,0E-05	-6,9E-05	-6,042E-05
4-2-14 15:30	0,13	-0,305	0,001	0,118	-0,010	-0,009	-0,012	-6,3E-05	-5,6E-05	-7,5E-05	-6,458E-05
4-2-14 16:00	0,15	-0,308	0	0,117	-0,013	-0,010	-0,013	-8,1E-05	-6,3E-05	-8,1E-05	-7,500E-05
4-2-14 17:30	0,21	-0,31	-0,001	0,115	-0,015	-0,011	-0,015	-9,4E-05	-6,9E-05	-9,4E-05	-8,542E-05
5-2-14 11:50	0,97	-0,329	-0,022	0,095	-0,034	-0,032	-0,035	-2,1E-04	-2,0E-04	-2,2E-04	-2,104E-04
5-2-14 12:30	1,00	-0,329	-0,022	0,095	-0,034	-0,032	-0,035	-2,1E-04	-2,0E-04	-2,2E-04	-2,104E-04
5-2-14 13:00	1,02	-0,33	-0,023	0,094	-0,035	-0,033	-0,036	-2,2E-04	-2,1E-04	-2,3E-04	-2,167E-04
5-2-14 13:30	1,04	-0,329	-0,022	0,094	-0,034	-0,032	-0,036	-2,1E-04	-2,0E-04	-2,3E-04	-2,125E-04
5-2-14 14:00	1,06	-0,33	-0,022	0,095	-0,035	-0,032	-0,035	-2,2E-04	-2,0E-04	-2,2E-04	-2,125E-04
5-2-14 14:30	1,08	-0,33	-0,025	0,093	-0,035	-0,035	-0,037	-2,2E-04	-2,2E-04	-2,3E-04	-2,229E-04
5-2-14 15:05	1,11	-0,332	-0,025	0,093	-0,037	-0,035	-0,037	-2,3E-04	-2,2E-04	-2,3E-04	-2,271E-04
5-2-14 15:35	1,13	-0,331	-0,024	0,093	-0,036	-0,034	-0,037	-2,3E-04	-2,1E-04	-2,3E-04	-2,229E-04
6-2-14 10:30	1,92	-0,342	-0,036	0,08	-0,047	-0,046	-0,050	-2,9E-04	-2,9E-04	-3,1E-04	-2,979E-04
6-2-14 11:30	1,96	-0,343	-0,036	0,08	-0,048	-0,046	-0,050	-3,0E-04	-2,9E-04	-3,1E-04	-3,000E-04
6-2-14 12:30	2,00	-0,343	-0,037	0,079	-0,048	-0,047	-0,051	-3,0E-04	-2,9E-04	-3,2E-04	-3,042E-04
6-2-14 13:30	2,04	-0,344	-0,038	0,079	-0,049	-0,048	-0,051	-3,1E-04	-3,0E-04	-3,2E-04	-3,083E-04
6-2-14 14:30	2,08	-0,34	-0,04	0,078	-0,045	-0,050	-0,052	-2,8E-04	-3,1E-04	-3,3E-04	-3,063E-04
6-2-14 15:30	2,13	-0,34	-0,041	0,077	-0,045	-0,051	-0,053	-2,8E-04	-3,2E-04	-3,3E-04	-3,104E-04
7-2-14 11:30	2,96	-0,348	-0,046	0,072	-0,053	-0,056	-0,058	-3,3E-04	-3,5E-04	-3,6E-04	-3,479E-04
7-2-14 12:30	3,00	-0,35	-0,045	0,072	-0,055	-0,055	-0,058	-3,4E-04	-3,4E-04	-3,6E-04	-3,500E-04
7-2-14 13:30	3,04	-0,35	-0,045	0,072	-0,055	-0,055	-0,058	-3,4E-04	-3,4E-04	-3,6E-04	-3,500E-04
7-2-14 14:30	3,08	-0,351	-0,045	0,071	-0,056	-0,055	-0,059	-3,5E-04	-3,4E-04	-3,7E-04	-3,542E-04
7-2-14 15:30	3,13	-0,352	-0,046	0,071	-0,057	-0,056	-0,059	-3,6E-04	-3,5E-04	-3,7E-04	-3,583E-04
10-2-14 10:40	5,92	-0,381	-0,076	0,041	-0,086	-0,086	-0,089	-5,4E-04	-5,4E-04	-5,6E-04	-5,438E-04
10-2-14 11:40	5,97	-0,381	-0,076	0,04	-0,086	-0,086	-0,090	-5,4E-04	-5,4E-04	-5,6E-04	-5,458E-04
10-2-14 12:40	6,01	-0,381	-0,076	0,04	-0,086	-0,086	-0,090	-5,4E-04	-5,4E-04	-5,6E-04	-5,458E-04
10-2-14 13:40	6,05	-0,382	-0,077	0,039	-0,087	-0,087	-0,091	-5,4E-04	-5,4E-04	-5,7E-04	-5,521E-04
10-2-14 15:00	6,10	-0,383	-0,077	0,039	-0,088	-0,087	-0,091	-5,5E-04	-5,4E-04	-5,7E-04	-5,542E-04
10-2-14 16:00	6,15	-0,383	-0,077	0,039	-0,088	-0,087	-0,091	-5,5E-04	-5,4E-04	-5,7E-04	-5,542E-04
11-2-14 11:20	6,95	-0,391	-0,085	0,031	-0,096	-0,095	-0,099	-6,0E-04	-5,9E-04	-6,2E-04	-6,042E-04
11-2-14 12:20	6,99	-0,39	-0,085	0,032	-0,095	-0,095	-0,098	-5,9E-04	-5,9E-04	-6,1E-04	-6,000E-04
11-2-14 13:20	7,03	-0,39	-0,086	0,031	-0,095	-0,096	-0,099	-5,9E-04	-6,0E-04	-6,2E-04	-6,042E-04
11-2-14 14:45	7,09	-0,39	-0,085	0,031	-0,095	-0,095	-0,099	-5,9E-04	-5,9E-04	-6,2E-04	-6,021E-04
11-2-14 15:45	7,14	-0,391	-0,085	0,03	-0,096	-0,095	-0,100	-6,0E-04	-5,9E-04	-6,3E-04	-6,063E-04

12-2-14 11:00	7,94	-0,398	-0,093	0,024	-0,103	-0,103	-0,106	-6,4E-04	-6,4E-04	-6,6E-04	-6,500E-04
12-2-14 13:50	8,06	-0,396	-0,091	0,025	-0,101	-0,101	-0,105	-6,3E-04	-6,3E-04	-6,6E-04	-6,396E-04
12-2-14 14:45	8,09	-0,397	-0,091	0,024	-0,102	-0,101	-0,106	-6,4E-04	-6,3E-04	-6,6E-04	-6,438E-04
12-2-14 15:45	8,14	-0,398	-0,092	0,024	-0,103	-0,102	-0,106	-6,4E-04	-6,4E-04	-6,6E-04	-6,479E-04
13-2-14 11:20	8,95	-0,406	-0,101	0,015	-0,111	-0,111	-0,115	-6,9E-04	-6,9E-04	-7,2E-04	-7,021E-04
13-2-14 12:20	8,99	-0,406	-0,101	0,015	-0,111	-0,111	-0,115	-6,9E-04	-6,9E-04	-7,2E-04	-7,021E-04
13-2-14 13:40	9,05	-0,406	-0,101	0,015	-0,111	-0,111	-0,115	-6,9E-04	-6,9E-04	-7,2E-04	-7,021E-04
13-2-14 14:40	9,09	-0,406	-0,1	0,016	-0,111	-0,110	-0,114	-6,9E-04	-6,9E-04	-7,1E-04	-6,979E-04
13-2-14 16:00	9,15	-0,406	-0,101	0,015	-0,111	-0,111	-0,115	-6,9E-04	-6,9E-04	-7,2E-04	-7,021E-04
14-2-14 12:10	9,99	-0,413	-0,108	0,007	-0,118	-0,118	-0,123	-7,4E-04	-7,4E-04	-7,7E-04	-7,479E-04
14-2-14 13:55	10,06	-0,413	-0,107	0,008	-0,118	-0,117	-0,122	-7,4E-04	-7,3E-04	-7,6E-04	-7,438E-04
14-2-14 15:55	10,14	-0,413	-0,108	0,007	-0,118	-0,118	-0,123	-7,4E-04	-7,4E-04	-7,7E-04	-7,479E-04
17-2-14 11:40	12,97	-0,428	-0,124	-0,009	-0,133	-0,134	-0,139	-8,3E-04	-8,4E-04	-8,7E-04	-8,458E-04
17-2-14 13:40	13,05	-0,431	-0,126	-0,01	-0,136	-0,136	-0,140	-8,5E-04	-8,5E-04	-8,8E-04	-8,583E-04
17-2-14 15:40	13,13	-0,43	-0,125	-0,01	-0,135	-0,135	-0,140	-8,4E-04	-8,4E-04	-8,8E-04	-8,542E-04
18-2-14 12:00	13,98	-0,435	-0,13	-0,015	-0,140	-0,140	-0,145	-8,8E-04	-8,8E-04	-9,1E-04	-8,854E-04
18-2-14 14:00	14,06	-0,435	-0,13	-0,016	-0,140	-0,140	-0,146	-8,8E-04	-8,8E-04	-9,1E-04	-8,875E-04
18-2-14 16:00	14,15	-0,435	-0,131	-0,016	-0,140	-0,141	-0,146	-8,8E-04	-8,8E-04	-9,1E-04	-8,896E-04
19-2-14 12:20	14,99	-0,438	-0,134	-0,019	-0,143	-0,144	-0,149	-8,9E-04	-9,0E-04	-9,3E-04	-9,083E-04
19-2-14 16:00	15,15	-0,44	-0,136	-0,021	-0,145	-0,146	-0,151	-9,1E-04	-9,1E-04	-9,4E-04	-9,208E-04
20-2-14 11:40	15,97	-0,442	-0,138	-0,024	-0,147	-0,148	-0,154	-9,2E-04	-9,3E-04	-9,6E-04	-9,354E-04
20-2-14 16:00	16,15	-0,443	-0,14	-0,024	-0,148	-0,150	-0,154	-9,3E-04	-9,4E-04	-9,6E-04	-9,417E-04
21-2-14 11:20	16,95	-0,446	-0,143	-0,028	-0,151	-0,153	-0,158	-9,4E-04	-9,6E-04	-9,9E-04	-9,625E-04
21-2-14 15:45	17,14	-0,447	-0,144	-0,029	-0,152	-0,154	-0,159	-9,5E-04	-9,6E-04	-9,9E-04	-9,688E-04
24-2-14 10:30	19,92	-0,456	-0,153	-0,038	-0,161	-0,163	-0,168	-1,0E-03	-1,0E-03	-1,1E-03	-1,025E-03
24-2-14 15:50	20,14	-0,458	-0,154	-0,039	-0,163	-0,164	-0,169	-1,0E-03	-1,0E-03	-1,1E-03	-1,033E-03
25-2-14 10:30	20,92	-0,46	-0,157	-0,044	-0,165	-0,167	-0,174	-1,0E-03	-1,0E-03	-1,1E-03	-1,054E-03
25-2-14 15:00	21,10	-0,46	-0,157	-0,044	-0,165	-0,167	-0,174	-1,0E-03	-1,0E-03	-1,1E-03	-1,054E-03
26-2-14 10:05	21,90	-0,462	-0,16	-0,046	-0,167	-0,170	-0,176	-1,0E-03	-1,1E-03	-1,1E-03	-1,069E-03
26-2-14 15:15	22,11	-0,463	-0,16	-0,047	-0,168	-0,170	-0,177	-1,1E-03	-1,1E-03	-1,1E-03	-1,073E-03
27-2-14 10:20	22,91	-0,465	-0,162	-0,049	-0,170	-0,172	-0,179	-1,1E-03	-1,1E-03	-1,1E-03	-1,085E-03
27-2-14 15:20	23,12	-0,465	-0,162	-0,05	-0,170	-0,172	-0,180	-1,1E-03	-1,1E-03	-1,1E-03	-1,088E-03
28-2-14 10:50	23,93	-0,467	-0,164	-0,051	-0,172	-0,174	-0,181	-1,1E-03	-1,1E-03	-1,1E-03	-1,098E-03
28-2-14 15:30	24,13	-0,466	-0,164	-0,051	-0,171	-0,174	-0,181	-1,1E-03	-1,1E-03	-1,1E-03	-1,096E-03
3-3-14 10:30	26,92	-0,472	-0,17	-0,057	-0,177	-0,180	-0,187	-1,1E-03	-1,1E-03	-1,2E-03	-1,133E-03
3-3-14 15:40	27,13	-0,472	-0,169	-0,057	-0,177	-0,179	-0,187	-1,1E-03	-1,1E-03	-1,2E-03	-1,131E-03
4-3-14 11:15	27,95	-0,473	-0,17	-0,058	-0,178	-0,180	-0,188	-1,1E-03	-1,1E-03	-1,2E-03	-1,138E-03
4-3-14 15:30	28,13	-0,474	-0,171	-0,058	-0,179	-0,181	-0,188	-1,1E-03	-1,1E-03	-1,2E-03	-1,142E-03

5-EUC

AUTO

Data	Time (min)	Measure			Dim. difference (DL)			Deform			Average
		FREE-1	FREE-2	FREE-3	FREE-1	FREE-2	FREE-3	FREE-1	FREE-2	FREE-3	Deform
		(mm)			(mm)			(ε)			(με)
29-4-14 13:00	0,00	-0,052	-0,407	-0,213	0	0	0	0,0E+00	0,0E+00	0,0E+00	0,000E+00
29-4-14 13:15	0,01	-0,055	-0,411	-0,216	-0,003	-0,004	-0,003	-1,9E-05	-2,5E-05	-1,9E-05	-2,083E-05
29-4-14 13:45	0,03	-0,061	-0,417	-0,221	-0,009	-0,01	-0,008	-5,6E-05	-6,3E-05	-5,0E-05	-5,625E-05
29-4-14 14:00	0,04	-0,063	-0,419	-0,223	-0,011	-0,012	-0,01	-6,9E-05	-7,5E-05	-6,3E-05	-6,875E-05
29-4-14 14:15	0,05	-0,065	-0,421	-0,224	-0,013	-0,014	-0,011	-8,1E-05	-8,8E-05	-6,9E-05	-7,917E-05
29-4-14 14:45	0,07	-0,067	-0,424	-0,225	-0,015	-0,017	-0,012	-9,4E-05	-1,1E-04	-7,5E-05	-9,167E-05
29-4-14 15:15	0,09	-0,068	-0,427	-0,226	-0,016	-0,02	-0,013	-1,0E-04	-1,3E-04	-8,1E-05	-1,021E-04
29-4-14 15:30	0,10	-0,067	-0,43	-0,226	-0,015	-0,023	-0,013	-9,4E-05	-1,4E-04	-8,1E-05	-1,063E-04
30-4-14 12:30	0,98	-0,078	-0,439	-0,236	-0,026	-0,032	-0,023	-1,6E-04	-2,0E-04	-1,4E-04	-1,688E-04
30-4-14 14:30	1,06	-0,079	-0,443	-0,239	-0,027	-0,036	-0,026	-1,7E-04	-2,3E-04	-1,6E-04	-1,854E-04
30-4-14 15:30	1,10	-0,08	-0,443	-0,238	-0,028	-0,036	-0,025	-1,8E-04	-2,3E-04	-1,6E-04	-1,854E-04
5-5-14 10:50	5,91	-0,108	-0,477	-0,268	-0,056	-0,07	-0,055	-3,5E-04	-4,4E-04	-3,4E-04	-3,771E-04
5-5-14 12:50	5,99	-0,108	-0,478	-0,269	-0,056	-0,071	-0,056	-3,5E-04	-4,4E-04	-3,5E-04	-3,813E-04
5-5-14 16:00	6,13	-0,11	-0,479	-0,27	-0,058	-0,072	-0,057	-3,6E-04	-4,5E-04	-3,6E-04	-3,896E-04
6-5-14 13:30	7,02	-0,118	-0,488	-0,277	-0,066	-0,081	-0,064	-4,1E-04	-5,1E-04	-4,0E-04	-4,396E-04
6-5-14 15:00	7,08	-0,117	-0,49	-0,277	-0,065	-0,083	-0,064	-4,1E-04	-5,2E-04	-4,0E-04	-4,417E-04
7-5-14 9:40	7,86	-0,119	-0,495	-0,282	-0,067	-0,088	-0,069	-4,2E-04	-5,5E-04	-4,3E-04	-4,667E-04
7-5-14 15:00	8,08	-0,122	-0,495	-0,283	-0,07	-0,088	-0,07	-4,4E-04	-5,5E-04	-4,4E-04	-4,750E-04
8-5-14 15:00	9,08	-0,133	-0,504	-0,29	-0,081	-0,097	-0,077	-5,1E-04	-6,1E-04	-4,8E-04	-5,313E-04
9-5-14 13:10	10,01	-0,139	-0,51	-0,294	-0,087	-0,103	-0,081	-5,4E-04	-6,4E-04	-5,1E-04	-5,646E-04
9-5-14 15:00	10,08	-0,14	-0,512	-0,293	-0,088	-0,105	-0,08	-5,5E-04	-6,6E-04	-5,0E-04	-5,688E-04
12-5-14 15:00	13,08	-0,154	-0,529	-0,311	-0,102	-0,122	-0,098	-6,4E-04	-7,6E-04	-6,1E-04	-6,708E-04
13-5-14 16:00	14,13	-0,164	-0,535	-0,314	-0,112	-0,128	-0,101	-7,0E-04	-8,0E-04	-6,3E-04	-7,104E-04
14-5-14 16:00	15,13	-0,17	-0,54	-0,32	-0,118	-0,133	-0,107	-7,4E-04	-8,3E-04	-6,7E-04	-7,458E-04
15-5-14 15:30	16,10	-0,17	-0,544	-0,322	-0,118	-0,137	-0,109	-7,4E-04	-8,6E-04	-6,8E-04	-7,583E-04
16-5-14 15:30	17,10	-0,174	-0,548	-0,326	-0,122	-0,141	-0,113	-7,6E-04	-8,8E-04	-7,1E-04	-7,833E-04
20-5-14 16:00	21,13	-0,192	-0,563	-0,339	-0,14	-0,156	-0,126	-8,8E-04	-9,8E-04	-7,9E-04	-8,792E-04
21-5-14 15:30	22,10	-0,193	-0,564	-0,342	-0,141	-0,157	-0,129	-8,8E-04	-9,8E-04	-8,1E-04	-8,896E-04
22-5-14 11:30	22,94	-0,198	-0,568	-0,345	-0,146	-0,161	-0,132	-9,1E-04	-1,0E-03	-8,3E-04	-9,146E-04
26-5-14 16:30	27,15	-0,212	-0,579	-0,355	-0,16	-0,172	-0,142	-1,0E-03	-1,1E-03	-8,9E-04	-9,875E-04
27-5-14 15:30	28,10	-0,216	-0,583	-0,358	-0,164	-0,176	-0,145	-1,0E-03	-1,1E-03	-9,1E-04	-1,010E-03

6-NANO

AUTO

Data	Time (min)	Measure			Dim. difference (DL)			Deform			Average
		FREE-1	FREE-2	FREE-3	FREE-1	FREE-2	FREE-3	FREE-1	FREE-2	FREE-3	Deform
		(mm)	(mm)	(mm)	(mm)	(mm)	(mm)	(ε)	(ε)	(ε)	(με)
4-2-14 12:30	0,00	-0,546	-0,325	-0,27	0	0	0	0,0E+00	0,0E+00	0,0E+00	0,000E+00
4-2-14 13:00	0,02	-0,549	-0,33	-0,274	-0,003	-0,005	-0,004	-1,9E-05	-3,1E-05	-2,5E-05	-2,500E-05
4-2-14 13:30	0,04	-0,552	-0,331	-0,278	-0,006	-0,006	-0,008	-3,8E-05	-3,8E-05	-5,0E-05	-4,167E-05
4-2-14 14:00	0,06	-0,554	-0,334	-0,28	-0,008	-0,009	-0,01	-5,0E-05	-5,6E-05	-6,3E-05	-5,625E-05
4-2-14 14:30	0,08	-0,556	-0,337	-0,282	-0,01	-0,012	-0,012	-6,3E-05	-7,5E-05	-7,5E-05	-7,083E-05
4-2-14 15:00	0,10	-0,557	-0,339	-0,283	-0,011	-0,014	-0,013	-6,9E-05	-8,8E-05	-8,1E-05	-7,917E-05
4-2-14 15:30	0,13	-0,56	-0,34	-0,285	-0,014	-0,015	-0,015	-8,8E-05	-9,4E-05	-9,4E-05	-9,167E-05
4-2-14 16:00	0,15	-0,562	-0,342	-0,286	-0,016	-0,017	-0,016	-1,0E-04	-1,1E-04	-1,0E-04	-1,021E-04
4-2-14 17:30	0,21	-0,565	-0,344	-0,288	-0,019	-0,019	-0,018	-1,2E-04	-1,2E-04	-1,1E-04	-1,167E-04
5-2-14 11:50	0,97	-0,593	-0,372	-0,317	-0,047	-0,047	-0,047	-2,9E-04	-2,9E-04	-2,9E-04	-2,938E-04
5-2-14 12:30	1,00	-0,594	-0,372	-0,318	-0,048	-0,047	-0,048	-3,0E-04	-2,9E-04	-3,0E-04	-2,979E-04
5-2-14 13:00	1,02	-0,594	-0,373	-0,319	-0,048	-0,048	-0,049	-3,0E-04	-3,0E-04	-3,1E-04	-3,021E-04
5-2-14 13:30	1,04	-0,594	-0,374	-0,318	-0,048	-0,049	-0,048	-3,0E-04	-3,1E-04	-3,0E-04	-3,021E-04
5-2-14 14:00	1,06	-0,595	-0,374	-0,319	-0,049	-0,049	-0,049	-3,1E-04	-3,1E-04	-3,1E-04	-3,063E-04
5-2-14 14:30	1,08	-0,595	-0,376	-0,321	-0,049	-0,051	-0,051	-3,1E-04	-3,2E-04	-3,2E-04	-3,146E-04
5-2-14 15:05	1,11	-0,597	-0,377	-0,322	-0,051	-0,052	-0,052	-3,2E-04	-3,3E-04	-3,3E-04	-3,229E-04
5-2-14 15:35	1,13	-0,597	-0,375	-0,321	-0,051	-0,05	-0,051	-3,2E-04	-3,1E-04	-3,2E-04	-3,167E-04
6-2-14 10:30	1,92	-0,62	-0,394	-0,339	-0,074	-0,069	-0,069	-4,6E-04	-4,3E-04	-4,3E-04	-4,417E-04
6-2-14 11:30	1,96	-0,619	-0,394	-0,339	-0,073	-0,069	-0,069	-4,6E-04	-4,3E-04	-4,3E-04	-4,396E-04
6-2-14 12:30	2,00	-0,619	-0,396	-0,34	-0,073	-0,071	-0,07	-4,6E-04	-4,4E-04	-4,4E-04	-4,458E-04
6-2-14 13:30	2,04	-0,62	-0,397	-0,341	-0,074	-0,072	-0,071	-4,6E-04	-4,5E-04	-4,4E-04	-4,521E-04
6-2-14 14:30	2,08	-0,622	-0,398	-0,342	-0,076	-0,073	-0,072	-4,8E-04	-4,6E-04	-4,5E-04	-4,604E-04
6-2-14 15:30	2,13	-0,623	-0,399	-0,343	-0,077	-0,074	-0,073	-4,8E-04	-4,6E-04	-4,6E-04	-4,667E-04
7-2-14 11:30	2,96	-0,633	-0,409	-0,353	-0,087	-0,084	-0,083	-5,4E-04	-5,3E-04	-5,2E-04	-5,292E-04
7-2-14 12:30	3,00	-0,633	-0,409	-0,353	-0,087	-0,084	-0,083	-5,4E-04	-5,3E-04	-5,2E-04	-5,292E-04
7-2-14 13:30	3,04	-0,634	-0,41	-0,354	-0,088	-0,085	-0,084	-5,5E-04	-5,3E-04	-5,3E-04	-5,354E-04
7-2-14 14:30	3,08	-0,634	-0,41	-0,354	-0,088	-0,085	-0,084	-5,5E-04	-5,3E-04	-5,3E-04	-5,354E-04
7-2-14 15:30	3,13	-0,634	-0,411	-0,354	-0,088	-0,086	-0,084	-5,5E-04	-5,4E-04	-5,3E-04	-5,375E-04
10-2-14 10:40	5,92	-0,683	-0,457	-0,406	-0,137	-0,132	-0,136	-8,6E-04	-8,3E-04	-8,5E-04	-8,438E-04
10-2-14 11:40	5,97	-0,684	-0,458	-0,406	-0,138	-0,133	-0,136	-8,6E-04	-8,3E-04	-8,5E-04	-8,479E-04
10-2-14 12:40	6,01	-0,685	-0,458	-0,407	-0,139	-0,133	-0,137	-8,7E-04	-8,3E-04	-8,6E-04	-8,521E-04
10-2-14 13:40	6,05	-0,686	-0,458	-0,407	-0,14	-0,133	-0,137	-8,8E-04	-8,3E-04	-8,6E-04	-8,542E-04
10-2-14 15:00	6,10	-0,687	-0,459	-0,408	-0,141	-0,134	-0,138	-8,8E-04	-8,4E-04	-8,6E-04	-8,604E-04
10-2-14 16:00	6,15	-0,687	-0,46	-0,408	-0,141	-0,135	-0,138	-8,8E-04	-8,4E-04	-8,6E-04	-8,625E-04
11-2-14 11:20	6,95	-0,699	-0,472	-0,421	-0,153	-0,147	-0,151	-9,6E-04	-9,2E-04	-9,4E-04	-9,396E-04
11-2-14 12:20	6,99	-0,698	-0,472	-0,42	-0,152	-0,147	-0,15	-9,5E-04	-9,2E-04	-9,4E-04	-9,354E-04

11-2-14 13:20	7,03	-0,698	-0,472	-0,42	-0,152	-0,147	-0,15	-9,5E-04	-9,2E-04	-9,4E-04	-9,354E-04
11-2-14 14:45	7,09	-0,699	-0,472	-0,421	-0,153	-0,147	-0,151	-9,6E-04	-9,2E-04	-9,4E-04	-9,396E-04
11-2-14 15:45	7,14	-0,7	-0,473	-0,422	-0,154	-0,148	-0,152	-9,6E-04	-9,3E-04	-9,5E-04	-9,458E-04
12-2-14 11:00	7,94	-0,71	-0,484	-0,432	-0,164	-0,159	-0,162	-1,0E-03	-9,9E-04	-1,0E-03	-1,010E-03
12-2-14 13:50	8,06	-0,708	-0,481	-0,431	-0,162	-0,156	-0,161	-1,0E-03	-9,8E-04	-1,0E-03	-9,979E-04
12-2-14 14:45	8,09	-0,708	-0,482	-0,431	-0,162	-0,157	-0,161	-1,0E-03	-9,8E-04	-1,0E-03	-1,000E-03
12-2-14 15:45	8,14	-0,709	-0,482	-0,432	-0,163	-0,157	-0,162	-1,0E-03	-9,8E-04	-1,0E-03	-1,004E-03
13-2-14 11:20	8,95	-0,721	-0,494	-0,444	-0,175	-0,169	-0,174	-1,1E-03	-1,1E-03	-1,1E-03	-1,079E-03
13-2-14 12:20	8,99	-0,721	-0,494	-0,444	-0,175	-0,169	-0,174	-1,1E-03	-1,1E-03	-1,1E-03	-1,079E-03
13-2-14 13:40	9,05	-0,722	-0,494	-0,444	-0,176	-0,169	-0,174	-1,1E-03	-1,1E-03	-1,1E-03	-1,081E-03
13-2-14 14:40	9,09	-0,721	-0,494	-0,444	-0,175	-0,169	-0,174	-1,1E-03	-1,1E-03	-1,1E-03	-1,079E-03
13-2-14 16:00	9,15	-0,723	-0,495	-0,446	-0,177	-0,17	-0,176	-1,1E-03	-1,1E-03	-1,1E-03	-1,090E-03
14-2-14 12:10	9,99	-0,732	-0,504	-0,455	-0,186	-0,179	-0,185	-1,2E-03	-1,1E-03	-1,2E-03	-1,146E-03
14-2-14 13:55	10,06	-0,731	-0,503	-0,454	-0,185	-0,178	-0,184	-1,2E-03	-1,1E-03	-1,2E-03	-1,140E-03
14-2-14 15:55	10,14	-0,732	-0,504	-0,455	-0,186	-0,179	-0,185	-1,2E-03	-1,1E-03	-1,2E-03	-1,146E-03
17-2-14 11:40	12,97	-0,751	-0,522	-0,474	-0,205	-0,197	-0,204	-1,3E-03	-1,2E-03	-1,3E-03	-1,263E-03
17-2-14 13:40	13,05	-0,751	-0,523	-0,475	-0,205	-0,198	-0,205	-1,3E-03	-1,2E-03	-1,3E-03	-1,267E-03
17-2-14 15:40	13,13	-0,752	-0,523	-0,476	-0,206	-0,198	-0,206	-1,3E-03	-1,2E-03	-1,3E-03	-1,271E-03
18-2-14 12:00	13,98	-0,757	-0,528	-0,48	-0,211	-0,203	-0,21	-1,3E-03	-1,3E-03	-1,3E-03	-1,300E-03
18-2-14 14:00	14,06	-0,757	-0,528	-0,48	-0,211	-0,203	-0,21	-1,3E-03	-1,3E-03	-1,3E-03	-1,300E-03
18-2-14 16:00	14,15	-0,757	-0,528	-0,48	-0,211	-0,203	-0,21	-1,3E-03	-1,3E-03	-1,3E-03	-1,300E-03
19-2-14 12:20	14,99	-0,76	-0,531	-0,484	-0,214	-0,206	-0,214	-1,3E-03	-1,3E-03	-1,3E-03	-1,321E-03
19-2-14 16:00	15,15	-0,76	-0,532	-0,485	-0,214	-0,207	-0,215	-1,3E-03	-1,3E-03	-1,3E-03	-1,325E-03
20-2-14 11:40	15,97	-0,763	-0,534	-0,487	-0,217	-0,209	-0,217	-1,4E-03	-1,3E-03	-1,4E-03	-1,340E-03
20-2-14 16:00	16,15	-0,763	-0,535	-0,487	-0,217	-0,21	-0,217	-1,4E-03	-1,3E-03	-1,4E-03	-1,342E-03
21-2-14 11:20	16,95	-0,766	-0,538	-0,49	-0,22	-0,213	-0,22	-1,4E-03	-1,3E-03	-1,4E-03	-1,360E-03
21-2-14 15:45	17,14	-0,766	-0,538	-0,49	-0,22	-0,213	-0,22	-1,4E-03	-1,3E-03	-1,4E-03	-1,360E-03
24-2-14 10:30	19,92	-0,772	-0,544	-0,498	-0,226	-0,219	-0,228	-1,4E-03	-1,4E-03	-1,4E-03	-1,402E-03
24-2-14 15:50	20,14	-0,772	-0,544	-0,496	-0,226	-0,219	-0,226	-1,4E-03	-1,4E-03	-1,4E-03	-1,398E-03
25-2-14 10:30	20,92	-0,773	-0,544	-0,498	-0,227	-0,219	-0,228	-1,4E-03	-1,4E-03	-1,4E-03	-1,404E-03
25-2-14 15:00	21,10	-0,774	-0,546	-0,498	-0,228	-0,221	-0,228	-1,4E-03	-1,4E-03	-1,4E-03	-1,410E-03
26-2-14 10:05	21,90	-0,775	-0,547	-0,5	-0,229	-0,222	-0,23	-1,4E-03	-1,4E-03	-1,4E-03	-1,419E-03
26-2-14 15:15	22,11	-0,775	-0,547	-0,5	-0,229	-0,222	-0,23	-1,4E-03	-1,4E-03	-1,4E-03	-1,419E-03
27-2-14 10:20	22,91	-0,777	-0,549	-0,501	-0,231	-0,224	-0,231	-1,4E-03	-1,4E-03	-1,4E-03	-1,429E-03
27-2-14 15:20	23,12	-0,776	-0,549	-0,501	-0,23	-0,224	-0,231	-1,4E-03	-1,4E-03	-1,4E-03	-1,427E-03
28-2-14 10:50	23,93	-0,778	-0,549	-0,502	-0,232	-0,224	-0,232	-1,5E-03	-1,4E-03	-1,5E-03	-1,433E-03
28-2-14 15:30	24,13	-0,777	-0,548	-0,502	-0,231	-0,223	-0,232	-1,4E-03	-1,4E-03	-1,5E-03	-1,429E-03
3-3-14 10:30	26,92	-0,782	-0,552	-0,506	-0,236	-0,227	-0,236	-1,5E-03	-1,4E-03	-1,5E-03	-1,456E-03
3-3-14 15:40	27,13	-0,781	-0,551	-0,504	-0,235	-0,226	-0,234	-1,5E-03	-1,4E-03	-1,5E-03	-1,448E-03
4-3-14 11:15	27,95	-0,781	-0,551	-0,505	-0,235	-0,226	-0,235	-1,5E-03	-1,4E-03	-1,5E-03	-1,450E-03
4-3-14 15:30	28,13	-0,782	-0,551	-0,506	-0,236	-0,226	-0,236	-1,5E-03	-1,4E-03	-1,5E-03	-1,454E-03

POW

DRY

Data	Time (min)	Measure			Dim. difference (DL)			Deform			Average
		FREE-1	FREE-2	FREE-3	FREE-1	FREE-2	FREE-3	FREE-1	FREE-2	FREE-3	Deform
		(mm)	(mm)	(mm)	(mm)	(mm)	(mm)	(ε)	(ε)	(ε)	(με)
9-6-15 11:20	0,00	-0,802	-0,958	0,005	0	0	0	0,0E+00	0,0E+00	0,0E+00	0,000E+00
9-6-15 12:00	0,03	-0,81	-0,969	-0,003	-0,008	-0,011	-0,008	-5,0E-05	-6,9E-05	-5,0E-05	-5,625E-05
9-6-15 13:15	0,08	-0,818	-0,978	-0,008	-0,016	-0,02	-0,013	-1,0E-04	-1,3E-04	-8,1E-05	-1,021E-04
9-6-15 13:50	0,10	-0,821	-0,98	-0,009	-0,019	-0,022	-0,014	-1,2E-04	-1,4E-04	-8,8E-05	-1,146E-04
9-6-15 14:20	0,13	-0,823	-0,981	-0,012	-0,021	-0,023	-0,017	-1,3E-04	-1,4E-04	-1,1E-04	-1,271E-04
9-6-15 15:00	0,15	-0,825	-0,982	-0,014	-0,023	-0,024	-0,019	-1,4E-04	-1,5E-04	-1,2E-04	-1,375E-04
9-6-15 15:35	0,18	-0,827	-0,985	-0,015	-0,025	-0,027	-0,02	-1,6E-04	-1,7E-04	-1,3E-04	-1,500E-04
10-6-15 10:50	0,98	-0,857	-1,016	-0,05	-0,055	-0,058	-0,055	-3,4E-04	-3,6E-04	-3,4E-04	-3,500E-04
10-6-15 11:30	1,01	-0,858	-1,017	-0,051	-0,056	-0,059	-0,056	-3,5E-04	-3,7E-04	-3,5E-04	-3,563E-04
10-6-15 12:10	1,03	-0,858	-1,017	-0,051	-0,056	-0,059	-0,056	-3,5E-04	-3,7E-04	-3,5E-04	-3,563E-04
10-6-15 12:50	1,06	-0,859	-1,018	-0,052	-0,057	-0,06	-0,057	-3,6E-04	-3,8E-04	-3,6E-04	-3,625E-04
10-6-15 13:40	1,10	-0,86	-1,019	-0,054	-0,058	-0,061	-0,059	-3,6E-04	-3,8E-04	-3,7E-04	-3,708E-04
10-6-15 14:20	1,13	-0,859	-1,02	-0,053	-0,057	-0,062	-0,058	-3,6E-04	-3,9E-04	-3,6E-04	-3,688E-04
10-6-15 15:05	1,16	-0,861	-1,021	-0,055	-0,059	-0,063	-0,06	-3,7E-04	-3,9E-04	-3,8E-04	-3,792E-04
11-6-15 15:05	2,16	-0,88	-1,038	-0,078	-0,078	-0,08	-0,083	-4,9E-04	-5,0E-04	-5,2E-04	-5,021E-04
11-6-15 15:55	2,19	-0,881	-1,038	-0,08	-0,079	-0,08	-0,085	-4,9E-04	-5,0E-04	-5,3E-04	-5,083E-04
12-6-15 9:45	2,93	-0,895	-1,055	-0,103	-0,093	-0,097	-0,108	-5,8E-04	-6,1E-04	-6,8E-04	-6,208E-04
12-6-15 10:35	2,97	-0,897	-1,056	-0,103	-0,095	-0,098	-0,108	-5,9E-04	-6,1E-04	-6,8E-04	-6,271E-04
12-6-15 13:45	3,10	-0,9	-1,06	-0,107	-0,098	-0,102	-0,112	-6,1E-04	-6,4E-04	-7,0E-04	-6,500E-04
12-6-15 15:05	3,16	-0,901	-1,06	-0,107	-0,099	-0,102	-0,112	-6,2E-04	-6,4E-04	-7,0E-04	-6,521E-04
15-6-15 10:30	5,97	-0,948	-1,111	-0,172	-0,146	-0,153	-0,177	-9,1E-04	-9,6E-04	-1,1E-03	-9,917E-04
15-6-15 13:00	6,07	-0,949	-1,112	-0,175	-0,147	-0,154	-0,18	-9,2E-04	-9,6E-04	-1,1E-03	-1,002E-03
15-6-15 15:40	6,18	-0,952	-1,115	-0,175	-0,15	-0,157	-0,18	-9,4E-04	-9,8E-04	-1,1E-03	-1,015E-03
16-6-15 9:40	6,93	-0,966	-1,127	-0,192	-0,164	-0,169	-0,197	-1,0E-03	-1,1E-03	-1,2E-03	-1,104E-03
16-6-15 15:15	7,16	-0,968	-1,128	-0,193	-0,166	-0,17	-0,198	-1,0E-03	-1,1E-03	-1,2E-03	-1,113E-03
17-6-15 9:50	7,94	-0,979	-1,141	-0,204	-0,177	-0,183	-0,209	-1,1E-03	-1,1E-03	-1,3E-03	-1,185E-03
17-6-15 14:10	8,12	-0,98	-1,141	-0,205	-0,178	-0,183	-0,21	-1,1E-03	-1,1E-03	-1,3E-03	-1,190E-03
22-6-15 12:15	13,04	-1,025	-1,186	-0,255	-0,223	-0,228	-0,26	-1,4E-03	-1,4E-03	-1,6E-03	-1,481E-03
23-6-15 10:05	13,95	-1,03	-1,191	-0,257	-0,228	-0,233	-0,262	-1,4E-03	-1,5E-03	-1,6E-03	-1,506E-03
23-6-15 15:40	14,18	-1,031	-1,191	-0,263	-0,229	-0,233	-0,268	-1,4E-03	-1,5E-03	-1,7E-03	-1,521E-03
24-6-15 10:20	14,96	-1,039	-1,197	-0,264	-0,237	-0,239	-0,269	-1,5E-03	-1,5E-03	-1,7E-03	-1,552E-03
24-6-15 15:35	15,18	-1,039	-1,197	-0,257	-0,237	-0,239	-0,262	-1,5E-03	-1,5E-03	-1,6E-03	-1,538E-03
25-6-15 12:05	16,03	-1,036	-1,195	-0,257	-0,234	-0,237	-0,262	-1,5E-03	-1,5E-03	-1,6E-03	-1,527E-03
26-6-15 10:15	16,95	-1,034	-1,191	-0,257	-0,232	-0,233	-0,262	-1,5E-03	-1,5E-03	-1,6E-03	-1,515E-03
26-6-15 15:20	17,17	-1,032	-1,19	-0,254	-0,23	-0,232	-0,259	-1,4E-03	-1,5E-03	-1,6E-03	-1,502E-03
29-6-15 9:35	19,93	-1,033	-1,192	-0,256	-0,231	-0,234	-0,261	-1,4E-03	-1,5E-03	-1,6E-03	-1,513E-03
29-6-15 14:45	20,14	-1,033	-1,192	-0,255	-0,231	-0,234	-0,26	-1,4E-03	-1,5E-03	-1,6E-03	-1,510E-03

30-6-15 10:20	20,96	-1,035	-1,193	-0,255	-0,233	-0,235	-0,26	-1,5E-03	-1,5E-03	-1,6E-03	-1,517E-03
30-6-15 14:55	21,15	-1,034	-1,192	-0,255	-0,232	-0,234	-0,26	-1,5E-03	-1,5E-03	-1,6E-03	-1,513E-03
1-7-15 9:50	21,94	-1,034	-1,192	-0,254	-0,232	-0,234	-0,259	-1,5E-03	-1,5E-03	-1,6E-03	-1,510E-03
1-7-15 13:50	22,10	-1,035	-1,192	-0,254	-0,233	-0,234	-0,259	-1,5E-03	-1,5E-03	-1,6E-03	-1,513E-03
2-7-15 9:50	22,94	-1,034	-1,192	-0,253	-0,232	-0,234	-0,258	-1,5E-03	-1,5E-03	-1,6E-03	-1,508E-03
2-7-15 15:10	23,16	-1,035	-1,194	-0,254	-0,233	-0,236	-0,259	-1,5E-03	-1,5E-03	-1,6E-03	-1,517E-03
3-7-15 8:50	23,90	-1,035	-1,192	-0,254	-0,233	-0,234	-0,259	-1,5E-03	-1,5E-03	-1,6E-03	-1,513E-03
6-7-15 9:40	26,93	-1,033	-1,192	-0,252	-0,231	-0,234	-0,257	-1,4E-03	-1,5E-03	-1,6E-03	-1,504E-03
6-7-15 15:30	27,17	-1,035	-1,195	-0,253	-0,233	-0,237	-0,258	-1,5E-03	-1,5E-03	-1,6E-03	-1,517E-03
7-7-15 10:55	27,98	-1,033	-1,191	-0,25	-0,231	-0,233	-0,255	-1,4E-03	-1,5E-03	-1,6E-03	-1,498E-03
7-7-15 15:30	28,17	-1,032	-1,189	-0,249	-0,23	-0,231	-0,254	-1,4E-03	-1,4E-03	-1,6E-03	-1,490E-03

ST+SIS.SAT

AUTO

Data	Time (min)	Measure			Dim. difference (DL)			Deform			Average
		FREE-1	FREE-2	FREE-3	FREE-1	FREE-2	FREE-3	FREE-1	FREE-2	FREE-3	Deform
		(mm)	(mm)	(mm)	(mm)	(mm)	(mm)	(ε)	(ε)	(ε)	(με)
5-5-15 11:40	0,00	-1,185	-1,355	-1,576	0	0	0	0,0E+00	0,0E+00	0,0E+00	0,000E+00
5-5-15 12:10	0,02	-1,186	-1,357	-1,579	-1E-03	-0,002	-0,003	-6,2E-06	-1,3E-05	-1,9E-05	-1,250E-05
5-5-15 12:40	0,04	-1,193	-1,362	-1,584	-0,008	-0,007	-0,008	-5,0E-05	-4,4E-05	-5,0E-05	-4,792E-05
5-5-15 13:10	0,06	-1,191	-1,359	-1,579	-0,006	-0,004	-0,003	-3,8E-05	-2,5E-05	-1,9E-05	-2,708E-05
5-5-15 13:40	0,08	-1,193	-1,364	-1,585	-0,008	-0,009	-0,009	-5,0E-05	-5,6E-05	-5,6E-05	-5,417E-05
5-5-15 14:10	0,10	-1,19	-1,362	-1,583	-0,005	-0,007	-0,007	-3,1E-05	-4,4E-05	-4,4E-05	-3,958E-05
5-5-15 14:40	0,13	-1,191	-1,365	-1,584	-0,006	-0,01	-0,008	-3,8E-05	-6,3E-05	-5,0E-05	-5,000E-05
5-5-15 15:10	0,15	-1,193	-1,368	-1,588	-0,008	-0,013	-0,012	-5,0E-05	-8,1E-05	-7,5E-05	-6,875E-05
5-5-15 15:40	0,17	-1,191	-1,368	-1,587	-0,006	-0,013	-0,011	-3,8E-05	-8,1E-05	-6,9E-05	-6,250E-05
5-5-15 16:10	0,19	-1,191	-1,366	-1,584	-0,006	-0,011	-0,008	-3,8E-05	-6,9E-05	-5,0E-05	-5,208E-05
5-5-15 16:40	0,21	-1,194	-1,37	-1,588	-0,009	-0,015	-0,012	-5,6E-05	-9,4E-05	-7,5E-05	-7,500E-05
6-5-15 10:20	0,94	-1,207	-1,379	-1,595	-0,022	-0,024	-0,019	-1,4E-04	-1,5E-04	-1,2E-04	-1,354E-04
6-5-15 10:50	0,97	-1,206	-1,378	-1,597	-0,021	-0,023	-0,021	-1,3E-04	-1,4E-04	-1,3E-04	-1,354E-04
6-5-15 11:20	0,99	-1,209	-1,38	-1,599	-0,024	-0,025	-0,023	-1,5E-04	-1,6E-04	-1,4E-04	-1,500E-04
6-5-15 11:50	1,01	-1,207	-1,381	-1,598	-0,022	-0,026	-0,022	-1,4E-04	-1,6E-04	-1,4E-04	-1,458E-04
6-5-15 12:20	1,03	-1,207	-1,38	-1,598	-0,022	-0,025	-0,022	-1,4E-04	-1,6E-04	-1,4E-04	-1,438E-04
6-5-15 12:50	1,05	-1,206	-1,38	-1,597	-0,021	-0,025	-0,021	-1,3E-04	-1,6E-04	-1,3E-04	-1,396E-04
6-5-15 13:20	1,07	-1,208	-1,379	-1,595	-0,023	-0,024	-0,019	-1,4E-04	-1,5E-04	-1,2E-04	-1,375E-04
6-5-15 13:50	1,09	-1,209	-1,382	-1,599	-0,024	-0,027	-0,023	-1,5E-04	-1,7E-04	-1,4E-04	-1,542E-04
6-5-15 14:20	1,11	-1,21	-1,383	-1,6	-0,025	-0,028	-0,024	-1,6E-04	-1,8E-04	-1,5E-04	-1,604E-04
6-5-15 14:50	1,13	-1,21	-1,384	-1,601	-0,025	-0,029	-0,025	-1,6E-04	-1,8E-04	-1,6E-04	-1,646E-04
6-5-15 15:20	1,15	-1,209	-1,383	-1,598	-0,024	-0,028	-0,022	-1,5E-04	-1,8E-04	-1,4E-04	-1,542E-04
6-5-15 15:50	1,17	-1,21	-1,383	-1,6	-0,025	-0,028	-0,024	-1,6E-04	-1,8E-04	-1,5E-04	-1,604E-04
6-5-15 16:20	1,19	-1,21	-1,384	-1,602	-0,025	-0,029	-0,026	-1,6E-04	-1,8E-04	-1,6E-04	-1,667E-04
7-5-15 10:20	1,94	-1,228	-1,395	-1,614	-0,043	-0,04	-0,038	-2,7E-04	-2,5E-04	-2,4E-04	-2,521E-04
7-5-15 11:20	1,99	-1,228	-1,398	-1,615	-0,043	-0,043	-0,039	-2,7E-04	-2,7E-04	-2,4E-04	-2,604E-04

7-5-15 12:20	2,03	-1,226	-1,396	-1,613	-0,041	-0,041	-0,037	-2,6E-04	-2,6E-04	-2,3E-04	-2,479E-04
7-5-15 13:20	2,07	-1,227	-1,395	-1,613	-0,042	-0,04	-0,037	-2,6E-04	-2,5E-04	-2,3E-04	-2,479E-04
7-5-15 14:20	2,11	-1,228	-1,398	-1,616	-0,043	-0,043	-0,04	-2,7E-04	-2,7E-04	-2,5E-04	-2,625E-04
7-5-15 15:20	2,15	-1,228	-1,396	-1,615	-0,043	-0,041	-0,039	-2,7E-04	-2,6E-04	-2,4E-04	-2,563E-04
11-5-15 14:50	6,13	-1,314	-1,459	-1,681	-0,129	-0,104	-0,105	-8,1E-04	-6,5E-04	-6,6E-04	-7,042E-04
11-5-15 16:50	6,22	-1,316	-1,461	-1,683	-0,131	-0,106	-0,107	-8,2E-04	-6,6E-04	-6,7E-04	-7,167E-04
12-5-15 10:20	6,94	-1,327	-1,467	-1,694	-0,142	-0,112	-0,118	-8,9E-04	-7,0E-04	-7,4E-04	-7,750E-04
12-5-15 12:20	7,03	-1,333	-1,47	-1,696	-0,148	-0,115	-0,12	-9,2E-04	-7,2E-04	-7,5E-04	-7,979E-04
12-5-15 14:20	7,11	-1,332	-1,469	-1,696	-0,147	-0,114	-0,12	-9,2E-04	-7,1E-04	-7,5E-04	-7,938E-04
12-5-15 16:20	7,19	-1,333	-1,47	-1,698	-0,148	-0,115	-0,122	-9,2E-04	-7,2E-04	-7,6E-04	-8,021E-04
13-5-15 10:00	7,93	-1,348	-1,481	-1,705	-0,163	-0,126	-0,129	-1,0E-03	-7,9E-04	-8,1E-04	-8,708E-04
13-5-15 12:00	8,01	-1,349	-1,481	-1,707	-0,164	-0,126	-0,131	-1,0E-03	-7,9E-04	-8,2E-04	-8,771E-04
13-5-15 14:00	8,10	-1,348	-1,482	-1,708	-0,163	-0,127	-0,132	-1,0E-03	-7,9E-04	-8,2E-04	-8,792E-04
14-5-15 8:50	8,88	-1,36	-1,488	-1,715	-0,175	-0,133	-0,139	-1,1E-03	-8,3E-04	-8,7E-04	-9,313E-04
14-5-15 10:50	8,97	-1,36	-1,488	-1,716	-0,175	-0,133	-0,14	-1,1E-03	-8,3E-04	-8,7E-04	-9,333E-04
14-5-15 12:50	9,05	-1,364	-1,49	-1,72	-0,179	-0,135	-0,144	-1,1E-03	-8,4E-04	-9,0E-04	-9,542E-04
15-5-15 9:00	9,89	-1,376	-1,493	-1,735	-0,191	-0,138	-0,159	-1,2E-03	-8,6E-04	-9,9E-04	-1,017E-03
15-5-15 11:00	9,97	-1,377	-1,494	-1,739	-0,192	-0,139	-0,163	-1,2E-03	-8,7E-04	-1,0E-03	-1,029E-03
15-5-15 13:00	10,06	-1,377	-1,496	-1,743	-0,192	-0,141	-0,167	-1,2E-03	-8,8E-04	-1,0E-03	-1,042E-03
18-5-15 8:50	12,88	-1,408	-1,518	-1,752	-0,223	-0,163	-0,176	-1,4E-03	-1,0E-03	-1,1E-03	-1,171E-03
18-5-15 15:50	13,17	-1,407	-1,517	-1,754	-0,222	-0,162	-0,178	-1,4E-03	-1,0E-03	-1,1E-03	-1,171E-03
19-5-15 12:10	14,02	-1,414	-1,524	-1,76	-0,229	-0,169	-0,184	-1,4E-03	-1,1E-03	-1,2E-03	-1,213E-03
19-5-15 14:10	14,10	-1,416	-1,52	-1,762	-0,231	-0,165	-0,186	-1,4E-03	-1,0E-03	-1,2E-03	-1,213E-03
19-5-15 16:10	14,19	-1,418	-1,525	-1,765	-0,233	-0,17	-0,189	-1,5E-03	-1,1E-03	-1,2E-03	-1,233E-03
20-5-15 11:10	14,98	-1,424	-1,528	-1,772	-0,239	-0,173	-0,196	-1,5E-03	-1,1E-03	-1,2E-03	-1,267E-03
20-5-15 13:10	15,06	-1,423	-1,529	-1,771	-0,238	-0,174	-0,195	-1,5E-03	-1,1E-03	-1,2E-03	-1,265E-03
21-5-15 10:00	15,93	-1,428	-1,535	-1,778	-0,243	-0,18	-0,202	-1,5E-03	-1,1E-03	-1,3E-03	-1,302E-03
21-5-15 12:00	16,01	-1,429	-1,537	-1,779	-0,244	-0,182	-0,203	-1,5E-03	-1,1E-03	-1,3E-03	-1,310E-03
25-5-15 8:50	19,88	-1,449	-1,56	-1,801	-0,264	-0,205	-0,225	-1,7E-03	-1,3E-03	-1,4E-03	-1,446E-03
25-5-15 12:45	20,05	-1,45	-1,561	-1,802	-0,265	-0,206	-0,226	-1,7E-03	-1,3E-03	-1,4E-03	-1,452E-03
26-5-15 10:25	20,95	-1,454	-1,562	-1,803	-0,269	-0,207	-0,227	-1,7E-03	-1,3E-03	-1,4E-03	-1,465E-03
26-5-15 12:25	21,03	-1,453	-1,562	-1,803	-0,268	-0,207	-0,227	-1,7E-03	-1,3E-03	-1,4E-03	-1,463E-03
26-5-15 15:25	21,16	-1,454	-1,564	-1,803	-0,269	-0,209	-0,227	-1,7E-03	-1,3E-03	-1,4E-03	-1,469E-03
27-5-15 11:05	21,98	-1,457	-1,568	-1,806	-0,272	-0,213	-0,23	-1,7E-03	-1,3E-03	-1,4E-03	-1,490E-03
27-5-15 13:05	22,06	-1,458	-1,568	-1,806	-0,273	-0,213	-0,23	-1,7E-03	-1,3E-03	-1,4E-03	-1,492E-03
27-5-15 15:05	22,14	-1,457	-1,569	-1,805	-0,272	-0,214	-0,229	-1,7E-03	-1,3E-03	-1,4E-03	-1,490E-03
28-5-15 10:50	22,97	-1,46	-1,571	-1,81	-0,275	-0,216	-0,234	-1,7E-03	-1,4E-03	-1,5E-03	-1,510E-03
28-5-15 12:50	23,05	-1,461	-1,573	-1,81	-0,276	-0,218	-0,234	-1,7E-03	-1,4E-03	-1,5E-03	-1,517E-03
28-5-15 14:50	23,13	-1,46	-1,573	-1,81	-0,275	-0,218	-0,234	-1,7E-03	-1,4E-03	-1,5E-03	-1,515E-03
29-5-15 11:40	24,00	-1,46	-1,574	-1,811	-0,275	-0,219	-0,235	-1,7E-03	-1,4E-03	-1,5E-03	-1,519E-03
29-5-15 13:45	24,09	-1,461	-1,577	-1,812	-0,276	-0,222	-0,236	-1,7E-03	-1,4E-03	-1,5E-03	-1,529E-03
29-5-15 13:45	24,09	-1,46	-1,576	-1,811	-0,275	-0,221	-0,235	-1,7E-03	-1,4E-03	-1,5E-03	-1,523E-03
3-6-15 10:40	28,96	-1,472	-1,587	-1,822	-0,287	-0,232	-0,246	-1,8E-03	-1,5E-03	-1,5E-03	-1,594E-03

ST+SIS.NS

AUTO

Data	Time (min)	Measure			Dim. difference (DL)			Deform			Average
		FREE-1	FREE-2	FREE-3	FREE-1	FREE-2	FREE-3	FREE-1	FREE-2	FREE-3	Deform
		(mm)	(mm)	(mm)	(mm)	(mm)	(mm)	(ε)	(ε)	(ε)	(με)
5-5-15 11:40	0,00	-0,251	-0,314	-0,225	0	0	0	0,0E+00	0,0E+00	0,0E+00	0,000E+00
5-5-15 12:10	0,02	-0,251	-0,314	-0,225	0	0	0	0,0E+00	0,0E+00	0,0E+00	0,000E+00
5-5-15 12:40	0,04	-0,254	-0,319	-0,23	-0,003	-0,005	-0,005	-1,9E-05	-3,1E-05	-3,1E-05	-2,708E-05
5-5-15 13:10	0,06	-0,253	-0,318	-0,228	-0,002	-0,004	-0,003	-1,3E-05	-2,5E-05	-1,9E-05	-1,875E-05
5-5-15 13:40	0,08	-0,256	-0,321	-0,233	-0,005	-0,007	-0,008	-3,1E-05	-4,4E-05	-5,0E-05	-4,167E-05
5-5-15 14:10	0,10	-0,254	-0,321	-0,232	-0,003	-0,007	-0,007	-1,9E-05	-4,4E-05	-4,4E-05	-3,542E-05
5-5-15 14:40	0,13	-0,26	-0,327	-0,237	-0,009	-0,013	-0,012	-5,6E-05	-8,1E-05	-7,5E-05	-7,083E-05
5-5-15 15:10	0,15	-0,258	-0,327	-0,235	-0,007	-0,013	-0,01	-4,4E-05	-8,1E-05	-6,2E-05	-6,250E-05
5-5-15 15:40	0,17	-0,259	-0,327	-0,233	-0,008	-0,013	-0,008	-5,0E-05	-8,1E-05	-5,0E-05	-6,042E-05
5-5-15 16:10	0,19	-0,256	-0,328	-0,23	-0,005	-0,014	-0,005	-3,1E-05	-8,8E-05	-3,1E-05	-5,000E-05
5-5-15 16:40	0,21	-0,258	-0,328	-0,234	-0,007	-0,014	-0,009	-4,4E-05	-8,8E-05	-5,6E-05	-6,250E-05
6-5-15 10:20	0,94	-0,267	-0,338	-0,24	-0,016	-0,024	-0,015	-1,0E-04	-1,5E-04	-9,4E-05	-1,146E-04
6-5-15 10:50	0,97	-0,268	-0,339	-0,241	-0,017	-0,025	-0,016	-1,1E-04	-1,6E-04	-1,0E-04	-1,208E-04
6-5-15 11:20	0,99	-0,269	-0,342	-0,245	-0,018	-0,028	-0,02	-1,1E-04	-1,8E-04	-1,3E-04	-1,375E-04
6-5-15 11:50	1,01	-0,27	-0,344	-0,246	-0,019	-0,03	-0,021	-1,2E-04	-1,9E-04	-1,3E-04	-1,458E-04
6-5-15 12:20	1,03	-0,269	-0,342	-0,244	-0,018	-0,028	-0,019	-1,1E-04	-1,8E-04	-1,2E-04	-1,354E-04
6-5-15 12:50	1,05	-0,268	-0,345	-0,243	-0,017	-0,031	-0,018	-1,1E-04	-1,9E-04	-1,1E-04	-1,375E-04
6-5-15 13:20	1,07	-0,271	-0,345	-0,245	-0,02	-0,031	-0,02	-1,3E-04	-1,9E-04	-1,3E-04	-1,479E-04
6-5-15 13:50	1,09	-0,268	-0,345	-0,245	-0,017	-0,031	-0,02	-1,1E-04	-1,9E-04	-1,3E-04	-1,417E-04
6-5-15 14:20	1,11	-0,27	-0,346	-0,245	-0,019	-0,032	-0,02	-1,2E-04	-2,0E-04	-1,3E-04	-1,479E-04
6-5-15 14:50	1,13	-0,27	-0,345	-0,245	-0,019	-0,031	-0,02	-1,2E-04	-1,9E-04	-1,3E-04	-1,458E-04
6-5-15 15:20	1,15	-0,271	-0,346	-0,246	-0,02	-0,032	-0,021	-1,3E-04	-2,0E-04	-1,3E-04	-1,521E-04
6-5-15 15:50	1,17	-0,271	-0,347	-0,247	-0,02	-0,033	-0,022	-1,3E-04	-2,1E-04	-1,4E-04	-1,563E-04
6-5-15 16:20	1,19	-0,272	-0,346	-0,247	-0,021	-0,032	-0,022	-1,3E-04	-2,0E-04	-1,4E-04	-1,563E-04
7-5-15 10:15	1,94	-0,283	-0,36	-0,255	-0,032	-0,046	0	-2,0E-04	-2,9E-04	0,0E+00	-1,625E-04
7-5-15 11:15	1,98	-0,284	-0,361	-0,255	-0,033	-0,047	0	-2,1E-04	-2,9E-04	0,0E+00	-1,667E-04
7-5-15 12:15	2,02	-0,284	-0,361	-0,256	-0,033	-0,047	0	-2,1E-04	-2,9E-04	0,0E+00	-1,667E-04
7-5-15 13:15	2,07	-0,285	-0,362	-0,256	-0,034	-0,048	0	-2,1E-04	-3,0E-04	0,0E+00	-1,708E-04
7-5-15 14:15	2,11	-0,286	-0,364	-0,257	-0,035	-0,05	0	-2,2E-04	-3,1E-04	0,0E+00	-1,771E-04
7-5-15 15:15	2,15	-0,287	-0,364	-0,261	-0,036	-0,05	0	-2,3E-04	-3,1E-04	0,0E+00	-1,792E-04
11-5-15 14:45	6,13	-0,341	-0,436	-0,3	-0,09	-0,122	-0,075	-5,6E-04	-7,6E-04	-4,7E-04	-5,979E-04
11-5-15 16:45	6,21	-0,339	-0,434	-0,298	-0,088	-0,12	-0,073	-5,5E-04	-7,5E-04	-4,6E-04	-5,854E-04
12-5-15 10:15	6,94	-0,351	-0,448	-0,307	-0,1	-0,134	-0,082	-6,3E-04	-8,4E-04	-5,1E-04	-6,583E-04
12-5-15 12:15	7,02	-0,351	-0,448	-0,306	-0,1	-0,134	-0,081	-6,3E-04	-8,4E-04	-5,1E-04	-6,563E-04
12-5-15 14:15	7,11	-0,353	-0,45	-0,308	-0,102	-0,136	-0,083	-6,4E-04	-8,5E-04	-5,2E-04	-6,688E-04
12-5-15 16:15	7,19	-0,355	-0,451	-0,309	-0,104	-0,137	-0,084	-6,5E-04	-8,6E-04	-5,3E-04	-6,771E-04

13-5-15 10:00	7,93	-0,366	-0,464	-0,318	-0,115	-0,15	-0,093	-7,2E-04	-9,4E-04	-5,8E-04	-7,458E-04
13-5-15 12:00	8,01	-0,367	-0,466	-0,319	-0,116	-0,152	-0,094	-7,3E-04	-9,5E-04	-5,9E-04	-7,542E-04
13-5-15 14:00	8,10	-0,367	-0,466	-0,32	-0,116	-0,152	-0,095	-7,3E-04	-9,5E-04	-5,9E-04	-7,563E-04
14-5-15 8:45	8,88	-0,376	-0,475	-0,324	-0,125	-0,161	-0,099	-7,8E-04	-1,0E-03	-6,2E-04	-8,021E-04
14-5-15 10:45	8,96	-0,377	-0,475	-0,325	-0,126	-0,161	-0,1	-7,9E-04	-1,0E-03	-6,3E-04	-8,063E-04
14-5-15 12:45	9,05	-0,378	-0,478	-0,327	-0,127	-0,164	-0,102	-7,9E-04	-1,0E-03	-6,4E-04	-8,188E-04
15-5-15 9:00	9,89	-0,388	-0,488	-0,339	-0,137	-0,174	-0,114	-8,6E-04	-1,1E-03	-7,1E-04	-8,854E-04
15-5-15 11:00	9,97	-0,39	-0,49	-0,339	-0,139	-0,176	-0,114	-8,7E-04	-1,1E-03	-7,1E-04	-8,938E-04
15-5-15 13:30	10,08	-0,391	-0,491	-0,339	-0,14	-0,177	-0,114	-8,8E-04	-1,1E-03	-7,1E-04	-8,979E-04
18-5-15 8:50	12,88	-0,419	-0,521	-0,368	-0,168	-0,207	-0,143	-1,1E-03	-1,3E-03	-8,9E-04	-1,079E-03
18-5-15 15:50	13,17	-0,421	-0,522	-0,369	-0,17	-0,208	-0,144	-1,1E-03	-1,3E-03	-9,0E-04	-1,088E-03
19-5-15 12:15	14,02	-0,426	-0,536	-0,371	-0,175	-0,222	-0,146	-1,1E-03	-1,4E-03	-9,1E-04	-1,131E-03
19-5-15 14:10	14,10	-0,428	-0,527	-0,373	-0,177	-0,213	-0,148	-1,1E-03	-1,3E-03	-9,3E-04	-1,121E-03
19-5-15 16:10	14,19	-0,431	-0,529	-0,376	-0,18	-0,215	-0,151	-1,1E-03	-1,3E-03	-9,4E-04	-1,138E-03
20-5-15 11:05	14,98	-0,434	-0,533	-0,38	-0,183	-0,219	-0,155	-1,1E-03	-1,4E-03	-9,7E-04	-1,160E-03
20-5-15 13:05	15,06	-0,435	-0,533	-0,38	-0,184	-0,219	-0,155	-1,2E-03	-1,4E-03	-9,7E-04	-1,163E-03
21-5-15 10:00	15,93	-0,441	-0,534	-0,389	-0,19	-0,22	-0,164	-1,2E-03	-1,4E-03	-1,0E-03	-1,196E-03
21-5-15 12:00	16,01	-0,442	-0,533	-0,389	-0,191	-0,219	-0,164	-1,2E-03	-1,4E-03	-1,0E-03	-1,196E-03
21-5-15 14:00	16,10	-0,442	-0,534	-0,39	-0,191	-0,22	-0,165	-1,2E-03	-1,4E-03	-1,0E-03	-1,200E-03
25-5-15 8:50	19,88	-0,462	-0,559	-0,412	-0,211	-0,245	-0,187	-1,3E-03	-1,5E-03	-1,2E-03	-1,340E-03
25-5-15 12:40	20,04	-0,463	-0,559	-0,414	-0,212	-0,245	-0,189	-1,3E-03	-1,5E-03	-1,2E-03	-1,346E-03
26-5-15 10:30	20,95	-0,467	-0,562	-0,419	-0,216	-0,248	-0,194	-1,4E-03	-1,6E-03	-1,2E-03	-1,371E-03
26-5-15 12:35	21,04	-0,468	-0,563	-0,421	-0,217	-0,249	-0,196	-1,4E-03	-1,6E-03	-1,2E-03	-1,379E-03
26-5-15 15:15	21,15	-0,47	-0,565	-0,423	-0,219	-0,251	-0,198	-1,4E-03	-1,6E-03	-1,2E-03	-1,392E-03
27-5-15 11:00	21,97	-0,473	-0,569	-0,425	-0,222	-0,255	-0,2	-1,4E-03	-1,6E-03	-1,3E-03	-1,410E-03
27-5-15 13:00	22,06	-0,473	-0,57	-0,426	-0,222	-0,256	-0,201	-1,4E-03	-1,6E-03	-1,3E-03	-1,415E-03
27-5-15 15:00	22,14	-0,474	-0,57	-0,426	-0,223	-0,256	-0,201	-1,4E-03	-1,6E-03	-1,3E-03	-1,417E-03
28-5-15 10:55	22,97	-0,476	-0,572	-0,43	-0,225	-0,258	-0,205	-1,4E-03	-1,6E-03	-1,3E-03	-1,433E-03
28-5-15 12:55	23,05	-0,477	-0,572	-0,431	-0,226	-0,258	-0,206	-1,4E-03	-1,6E-03	-1,3E-03	-1,438E-03
28-5-15 14:55	23,14	-0,476	-0,571	-0,431	-0,225	-0,257	-0,206	-1,4E-03	-1,6E-03	-1,3E-03	-1,433E-03
29-5-15 11:45	24,00	-0,479	-0,573	-0,436	-0,228	-0,259	-0,211	-1,4E-03	-1,6E-03	-1,3E-03	-1,454E-03
29-5-15 13:50	24,09	-0,479	-0,572	-0,435	-0,228	-0,258	-0,21	-1,4E-03	-1,6E-03	-1,3E-03	-1,450E-03
29-5-15 15:50	24,17	-0,48	-0,573	-0,437	-0,229	-0,259	-0,212	-1,4E-03	-1,6E-03	-1,3E-03	-1,458E-03
3-6-15 10:35	28,95	-0,493	-0,583	-0,449	-0,242	-0,269	-0,224	-1,5E-03	-1,7E-03	-1,4E-03	-1,531E-03

ST+EUC		AUTO									
Data	Time	Measure			Dim. difference (DL)			Deform			Average
		FREE-1	FREE-2	FREE-3	FREE-1	FREE-2	FREE-3	FREE-1	FREE-2	FREE-3	Deform
	(min)	(mm)			(mm)			(ε)			(με)
19-5-15 12:20	0,00	-0,742	-0,414	-0,801	0	0	0	0,0E+00	0,0E+00	0,0E+00	0,000E+00
19-5-15 12:50	0,02	-0,748	-0,421	-0,802	-0,006	-0,007	-0,001	-3,8E-05	-4,4E-05	-6,3E-06	-2,917E-05
19-5-15 13:25	0,05	-0,746	-0,424	-0,804	-0,004	-0,01	-0,003	-2,5E-05	-6,3E-05	-1,9E-05	-3,542E-05
19-5-15 13:50	0,06	-0,749	-0,428	-0,806	-0,007	-0,014	-0,005	-4,4E-05	-8,8E-05	-3,1E-05	-5,417E-05
19-5-15 14:30	0,09	-0,752	-0,432	-0,807	-0,01	-0,018	-0,006	-6,3E-05	-1,1E-04	-3,8E-05	-7,083E-05
19-5-15 14:50	0,10	-0,752	-0,434	-0,808	-0,01	-0,02	-0,007	-6,3E-05	-1,3E-04	-4,4E-05	-7,708E-05
19-5-15 15:20	0,13	-0,75	-0,433	-0,808	-0,008	-0,019	-0,007	-5,0E-05	-1,2E-04	-4,4E-05	-7,083E-05
19-5-15 15:50	0,15	-0,749	-0,432	-0,807	-0,007	-0,018	-0,006	-4,4E-05	-1,1E-04	-3,8E-05	-6,458E-05
19-5-15 16:20	0,17	-0,751	-0,433	-0,81	-0,009	-0,019	-0,009	-5,6E-05	-1,2E-04	-5,6E-05	-7,708E-05
20-5-15 11:20	0,96	-0,757	-0,442	-0,815	-0,015	-0,028	-0,014	-9,4E-05	-1,8E-04	-8,7E-05	-1,188E-04
20-5-15 11:55	0,98	-0,755	-0,443	-0,815	-0,013	-0,029	-0,014	-8,1E-05	-1,8E-04	-8,7E-05	-1,167E-04
20-5-15 12:20	1,00	-0,756	-0,443	-0,815	-0,014	-0,029	-0,014	-8,8E-05	-1,8E-04	-8,7E-05	-1,188E-04
20-5-15 12:45	1,02	-0,757	-0,444	-0,814	-0,015	-0,03	-0,013	-9,4E-05	-1,9E-04	-8,1E-05	-1,208E-04
20-5-15 13:15	1,04	-0,756	-0,444	-0,814	-0,014	-0,03	-0,013	-8,8E-05	-1,9E-04	-8,1E-05	-1,188E-04
20-5-15 14:15	1,08	-0,758	-0,445	-0,815	-0,016	-0,031	-0,014	-1,0E-04	-1,9E-04	-8,7E-05	-1,271E-04
20-5-15 14:45	1,10	-0,758	-0,445	-0,815	-0,016	-0,031	-0,014	-1,0E-04	-1,9E-04	-8,7E-05	-1,271E-04
20-5-15 15:15	1,12	-0,758	-0,445	-0,817	-0,016	-0,031	-0,016	-1,0E-04	-1,9E-04	-1,0E-04	-1,313E-04
21-5-15 10:15	1,91	-0,767	-0,461	-0,829	-0,025	-0,047	-0,028	-1,6E-04	-2,9E-04	-1,7E-04	-2,083E-04
21-5-15 11:15	1,95	-0,769	-0,462	-0,831	-0,027	-0,048	-0,03	-1,7E-04	-3,0E-04	-1,9E-04	-2,188E-04
21-5-15 12:15	2,00	-0,77	-0,464	-0,83	-0,028	-0,05	-0,029	-1,8E-04	-3,1E-04	-1,8E-04	-2,229E-04
21-5-15 13:15	2,04	-0,771	-0,465	-0,831	-0,029	-0,051	-0,03	-1,8E-04	-3,2E-04	-1,9E-04	-2,292E-04
25-5-15 9:10	5,87	-0,815	-0,511	-0,877	-0,073	-0,097	-0,076	-4,6E-04	-6,1E-04	-4,8E-04	-5,125E-04
25-5-15 13:05	6,03	-0,817	-0,511	-0,876	-0,075	-0,097	-0,075	-4,7E-04	-6,1E-04	-4,7E-04	-5,146E-04
26-5-15 11:35	6,97	-0,825	-0,52	-0,886	-0,083	-0,106	-0,085	-5,2E-04	-6,6E-04	-5,3E-04	-5,708E-04
26-5-15 14:20	7,08	-0,828	-0,524	-0,891	-0,086	-0,11	-0,09	-5,4E-04	-6,9E-04	-5,6E-04	-5,958E-04
26-5-15 16:05	7,16	-0,828	-0,525	-0,893	-0,086	-0,111	-0,092	-5,4E-04	-6,9E-04	-5,8E-04	-6,021E-04
27-5-15 10:30	7,92	-0,835	-0,533	-0,899	-0,093	-0,119	-0,098	-5,8E-04	-7,4E-04	-6,1E-04	-6,458E-04
27-5-15 12:30	8,01	-0,836	-0,534	-0,898	-0,094	-0,12	-0,097	-5,9E-04	-7,5E-04	-6,1E-04	-6,479E-04
27-5-15 15:30	8,13	-0,837	-0,535	-0,9	-0,095	-0,121	-0,099	-5,9E-04	-7,6E-04	-6,2E-04	-6,563E-04
28-5-15 10:00	8,90	-0,843	-0,54	-0,905	-0,101	-0,126	-0,104	-6,3E-04	-7,9E-04	-6,5E-04	-6,896E-04
28-5-15 12:00	8,99	-0,844	-0,539	-0,904	-0,102	-0,125	-0,103	-6,4E-04	-7,8E-04	-6,4E-04	-6,875E-04
28-5-15 14:00	9,07	-0,846	-0,542	-0,908	-0,104	-0,128	-0,107	-6,5E-04	-8,0E-04	-6,7E-04	-7,063E-04
29-5-15 11:20	9,96	-0,854	-0,55	-0,918	-0,112	-0,136	-0,117	-7,0E-04	-8,5E-04	-7,3E-04	-7,604E-04
29-5-15 13:30	10,05	-0,856	-0,552	-0,92	-0,114	-0,138	-0,119	-7,1E-04	-8,6E-04	-7,4E-04	-7,729E-04
29-5-15 15:30	10,13	-0,856	-0,551	-0,92	-0,114	-0,137	-0,119	-7,1E-04	-8,6E-04	-7,4E-04	-7,708E-04
3-6-15 10:15	14,91	-0,888	-0,588	-0,955	-0,146	-0,174	-0,154	-9,1E-04	-1,1E-03	-9,6E-04	-9,875E-04
3-6-15 12:25	15,00	-0,888	-0,588	-0,956	-0,146	-0,174	-0,155	-9,1E-04	-1,1E-03	-9,7E-04	-9,896E-04

3-6-15 14:20	15,08	-0,888	-0,589	-0,956	-0,146	-0,175	-0,155	-9,1E-04	-1,1E-03	-9,7E-04	-9,917E-04
4-6-15 10:30	15,92	-0,895	-0,593	-0,962	-0,153	-0,179	-0,161	-9,6E-04	-1,1E-03	-1,0E-03	-1,027E-03
4-6-15 12:30	16,01	-0,896	-0,594	-0,962	-0,154	-0,18	-0,161	-9,6E-04	-1,1E-03	-1,0E-03	-1,031E-03
4-6-15 15:30	16,13	-0,896	-0,594	-0,963	-0,154	-0,18	-0,162	-9,6E-04	-1,1E-03	-1,0E-03	-1,033E-03
5-6-15 10:45	16,93	-0,898	-0,597	-0,967	-0,156	-0,183	-0,166	-9,8E-04	-1,1E-03	-1,0E-03	-1,052E-03
5-6-15 12:25	17,00	-0,9	-0,6	-0,969	-0,158	-0,186	-0,168	-9,9E-04	-1,2E-03	-1,1E-03	-1,067E-03
8-6-15 8:10	19,83	-0,914	-0,613	-0,982	-0,172	-0,199	-0,181	-1,1E-03	-1,2E-03	-1,1E-03	-1,150E-03
8-6-15 14:55	20,11	-0,917	-0,617	-0,987	-0,175	-0,203	-0,186	-1,1E-03	-1,3E-03	-1,2E-03	-1,175E-03
9-6-15 8:20	20,83	-0,918	-0,619	-0,987	-0,176	-0,205	-0,186	-1,1E-03	-1,3E-03	-1,2E-03	-1,181E-03
9-6-15 15:20	21,13	-0,92	-0,619	-0,987	-0,178	-0,205	-0,186	-1,1E-03	-1,3E-03	-1,2E-03	-1,185E-03
10-6-15 11:15	21,95	-0,926	-0,626	-0,995	-0,184	-0,212	-0,194	-1,2E-03	-1,3E-03	-1,2E-03	-1,229E-03
10-6-15 14:45	22,10	-0,926	-0,626	-0,996	-0,184	-0,212	-0,195	-1,2E-03	-1,3E-03	-1,2E-03	-1,231E-03
11-6-15 15:30	23,13	-0,927	-0,627	-0,996	-0,185	-0,213	-0,195	-1,2E-03	-1,3E-03	-1,2E-03	-1,235E-03
12-6-15 10:05	23,91	-0,927	-0,627	-0,996	-0,185	-0,213	-0,195	-1,2E-03	-1,3E-03	-1,2E-03	-1,235E-03
12-6-15 15:20	24,13	-0,928	-0,629	-0,997	-0,186	-0,215	-0,196	-1,2E-03	-1,3E-03	-1,2E-03	-1,244E-03
15-6-15 10:50	26,94	-0,935	-0,637	-1,006	-0,193	-0,223	-0,205	-1,2E-03	-1,4E-03	-1,3E-03	-1,294E-03
16-6-15 15:00	28,11	-0,941	-0,642	-1,012	-0,199	-0,228	-0,211	-1,2E-03	-1,4E-03	-1,3E-03	-1,329E-03

ST+NANO	AUTO
---------	------

Data	Time (min)	Measure			Dim. difference (DL)			Deform			Average
		FREE-1	FREE-2	FREE-3	FREE-1	FREE-2	FREE-3	FREE-1	FREE-2	FREE-3	Deform
		(mm)			(mm)			(ε)			(με)
19-5-15 12:25	0,00	-0,293	-0,306	-0,734	0	0	0	0,0E+00	0,0E+00	0,0E+00	0,000E+00
19-5-15 12:55	0,02	-0,299	-0,313	-0,739	-0,006	-0,007	-0,005	-3,8E-05	-4,4E-05	-3,1E-05	-3,750E-05
19-5-15 13:25	0,04	-0,303	-0,316	-0,749	-0,01	-0,01	-0,015	-6,3E-05	-6,3E-05	-9,4E-05	-7,292E-05
19-5-15 13:55	0,06	-0,299	-0,314	-0,747	-0,006	-0,008	-0,013	-3,8E-05	-5,0E-05	-8,1E-05	-5,625E-05
19-5-15 14:30	0,09	-0,304	-0,318	-0,751	-0,011	-0,012	-0,017	-6,9E-05	-7,5E-05	-1,1E-04	-8,333E-05
19-5-15 14:55	0,10	-0,306	-0,317	-0,751	-0,013	-0,011	-0,017	-8,1E-05	-6,9E-05	-1,1E-04	-8,542E-05
19-5-15 15:25	0,13	-0,306	-0,318	-0,752	-0,013	-0,012	-0,018	-8,1E-05	-7,5E-05	-1,1E-04	-8,958E-05
19-5-15 15:55	0,15	-0,306	-0,319	-0,752	-0,013	-0,013	-0,018	-8,1E-05	-8,1E-05	-1,1E-04	-9,167E-05
19-5-15 16:25	0,17	-0,308	-0,321	-0,754	-0,015	-0,015	-0,02	-9,4E-05	-9,4E-05	-1,3E-04	-1,042E-04
20-5-15 11:30	0,96	-0,317	-0,33	-0,76	-0,024	-0,024	-0,026	-1,5E-04	-1,5E-04	-1,6E-04	-1,542E-04
20-5-15 12:00	0,98	-0,32	-0,331	-0,765	-0,027	-0,025	-0,031	-1,7E-04	-1,6E-04	-1,9E-04	-1,729E-04
20-5-15 12:25	1,00	-0,319	-0,333	-0,765	-0,026	-0,027	-0,031	-1,6E-04	-1,7E-04	-1,9E-04	-1,750E-04
20-5-15 12:55	1,02	-0,319	-0,335	-0,766	-0,026	-0,029	-0,032	-1,6E-04	-1,8E-04	-2,0E-04	-1,813E-04
20-5-15 13:25	1,04	-0,319	-0,336	-0,766	-0,026	-0,03	-0,032	-1,6E-04	-1,9E-04	-2,0E-04	-1,833E-04
20-5-15 14:25	1,08	-0,32	-0,337	-0,765	-0,027	-0,031	-0,031	-1,7E-04	-1,9E-04	-1,9E-04	-1,854E-04
20-5-15 14:55	1,10	-0,319	-0,336	-0,764	-0,026	-0,03	-0,03	-1,6E-04	-1,9E-04	-1,9E-04	-1,792E-04
20-5-15 15:25	1,13	-0,32	-0,334	-0,763	-0,027	-0,028	-0,029	-1,7E-04	-1,8E-04	-1,8E-04	-1,750E-04
21-5-15 10:15	1,91	-0,329	-0,342	-0,772	-0,036	-0,036	-0,038	-2,3E-04	-2,3E-04	-2,4E-04	-2,292E-04

21-5-15 11:15	1,95	-0,331	-0,342	-0,771	-0,038	-0,036	-0,037	-2,4E-04	-2,3E-04	-2,3E-04	-2,313E-04
21-5-15 12:15	1,99	-0,33	-0,344	-0,773	-0,037	-0,038	-0,039	-2,3E-04	-2,4E-04	-2,4E-04	-2,375E-04
25-5-15 9:10	5,86	-0,393	-0,422	-0,827	-0,1	-0,116	-0,093	-6,3E-04	-7,3E-04	-5,8E-04	-6,438E-04
25-5-15 13:00	6,02	-0,396	-0,426	-0,83	-0,103	-0,12	-0,096	-6,4E-04	-7,5E-04	-6,0E-04	-6,646E-04
25-5-15 14:00	6,07	-0,394	-0,425	-0,829	-0,101	-0,119	-0,095	-6,3E-04	-7,4E-04	-5,9E-04	-6,563E-04
26-5-15 11:25	6,96	-0,412	-0,438	-0,84	-0,119	-0,132	-0,106	-7,4E-04	-8,3E-04	-6,6E-04	-7,438E-04
26-5-15 14:15	7,08	-0,416	-0,445	-0,846	-0,123	-0,139	-0,112	-7,7E-04	-8,7E-04	-7,0E-04	-7,792E-04
26-5-15 16:05	7,15	-0,412	-0,444	-0,844	-0,119	-0,138	-0,11	-7,4E-04	-8,6E-04	-6,9E-04	-7,646E-04
27-5-15 10:40	7,93	-0,424	-0,456	-0,856	-0,131	-0,15	-0,122	-8,2E-04	-9,4E-04	-7,6E-04	-8,396E-04
27-5-15 12:40	8,01	-0,425	-0,462	-0,859	-0,132	-0,156	-0,125	-8,3E-04	-9,8E-04	-7,8E-04	-8,604E-04
27-5-15 14:40	8,09	-0,426	-0,465	-0,86	-0,133	-0,159	-0,126	-8,3E-04	-9,9E-04	-7,9E-04	-8,708E-04
28-5-15 10:40	8,93	-0,432	-0,475	-0,868	-0,139	-0,169	-0,134	-8,7E-04	-1,1E-03	-8,4E-04	-9,208E-04
28-5-15 12:40	9,01	-0,432	-0,476	-0,868	-0,139	-0,17	-0,134	-8,7E-04	-1,1E-03	-8,4E-04	-9,229E-04
28-5-15 14:40	9,09	-0,434	-0,478	-0,869	-0,141	-0,172	-0,135	-8,8E-04	-1,1E-03	-8,4E-04	-9,333E-04
29-5-15 11:30	9,96	-0,442	-0,492	-0,881	-0,149	-0,186	-0,147	-9,3E-04	-1,2E-03	-9,2E-04	-1,004E-03
29-5-15 13:40	10,05	-0,443	-0,491	-0,88	-0,15	-0,185	-0,146	-9,4E-04	-1,2E-03	-9,1E-04	-1,002E-03
29-5-15 15:40	10,14	-0,445	-0,495	-0,882	-0,152	-0,189	-0,148	-9,5E-04	-1,2E-03	-9,3E-04	-1,019E-03
3-6-15 10:25	14,92	-0,485	-0,54	-0,915	-0,192	-0,234	-0,181	-1,2E-03	-1,5E-03	-1,1E-03	-1,265E-03
3-6-15 12:35	15,01	-0,485	-0,539	-0,916	-0,192	-0,233	-0,182	-1,2E-03	-1,5E-03	-1,1E-03	-1,265E-03
3-6-15 14:25	15,08	-0,486	-0,539	-0,916	-0,193	-0,233	-0,182	-1,2E-03	-1,5E-03	-1,1E-03	-1,267E-03
4-6-15 10:40	15,93	-0,49	-0,545	-0,92	-0,197	-0,239	-0,186	-1,2E-03	-1,5E-03	-1,2E-03	-1,296E-03
4-6-15 12:40	16,01	-0,49	-0,546	-0,921	-0,197	-0,24	-0,187	-1,2E-03	-1,5E-03	-1,2E-03	-1,300E-03
4-6-15 15:40	16,14	-0,491	-0,546	-0,921	-0,198	-0,24	-0,187	-1,2E-03	-1,5E-03	-1,2E-03	-1,302E-03
5-6-15 10:55	16,94	-0,496	-0,549	-0,923	-0,203	-0,243	-0,189	-1,3E-03	-1,5E-03	-1,2E-03	-1,323E-03
5-6-15 14:30	17,09	-0,496	-0,549	-0,925	-0,203	-0,243	-0,191	-1,3E-03	-1,5E-03	-1,2E-03	-1,327E-03
8-6-15 8:20	19,83	-0,51	-0,562	-0,938	-0,217	-0,256	-0,204	-1,4E-03	-1,6E-03	-1,3E-03	-1,410E-03
8-6-15 15:05	20,11	-0,513	-0,564	-0,94	-0,22	-0,258	-0,206	-1,4E-03	-1,6E-03	-1,3E-03	-1,425E-03
9-6-15 8:30	20,84	-0,514	-0,566	-0,942	-0,221	-0,26	-0,208	-1,4E-03	-1,6E-03	-1,3E-03	-1,435E-03
9-6-15 15:30	21,13	-0,515	-0,568	-0,943	-0,222	-0,262	-0,209	-1,4E-03	-1,6E-03	-1,3E-03	-1,444E-03
10-6-15 11:25	21,96	-0,516	-0,571	-0,945	-0,223	-0,265	-0,211	-1,4E-03	-1,7E-03	-1,3E-03	-1,456E-03
10-6-15 14:55	22,10	-0,517	-0,571	-0,945	-0,224	-0,265	-0,211	-1,4E-03	-1,7E-03	-1,3E-03	-1,458E-03
11-6-15 15:40	23,14	-0,517	-0,572	-0,946	-0,224	-0,266	-0,212	-1,4E-03	-1,7E-03	-1,3E-03	-1,463E-03
12-6-15 10:15	23,91	-0,519	-0,571	-0,945	-0,226	-0,265	-0,211	-1,4E-03	-1,7E-03	-1,3E-03	-1,463E-03
12-6-15 15:30	24,13	-0,519	-0,57	-0,946	-0,226	-0,264	-0,212	-1,4E-03	-1,7E-03	-1,3E-03	-1,463E-03
15-6-15 11:00	26,94	-0,527	-0,578	-0,952	-0,234	-0,272	-0,218	-1,5E-03	-1,7E-03	-1,4E-03	-1,508E-03
16-6-15 15:05	28,11	-0,529	-0,581	-0,959	-0,236	-0,275	-0,225	-1,5E-03	-1,7E-03	-1,4E-03	-1,533E-03

ST+POW

AUTO

Data	Time (min)	Measure			Dim. difference (DL)			Deform			Average
		FREE-1	FREE-2	FREE-3	FREE-1	FREE-2	FREE-3	FREE-1	FREE-2	FREE-3	Deform
		(mm)			(mm)			(ϵ)			(μe)
9-6-15 11:25	0,00	0,014	-0,196	-1,746	0	0	0	0,0E+00	0,0E+00	0,0E+00	0,000E+00
9-6-15 12:05	0,03	0,008	-0,205	-1,755	-0,006	-0,009	-0,009	-3,8E-05	-5,6E-05	-5,6E-05	-5,000E-05
9-6-15 13:20	0,08	0,003	-0,215	-1,766	-0,011	-0,019	-0,02	-6,9E-05	-1,2E-04	-1,3E-04	-1,042E-04
9-6-15 13:55	0,10	-0,007	-0,219	-1,768	-0,021	-0,023	-0,022	-1,3E-04	-1,4E-04	-1,4E-04	-1,375E-04
9-6-15 14:25	0,13	-0,014	-0,221	-1,768	-0,028	-0,025	-0,022	-1,8E-04	-1,6E-04	-1,4E-04	-1,563E-04
9-6-15 15:05	0,15	-0,016	-0,222	-1,771	-0,03	-0,026	-0,025	-1,9E-04	-1,6E-04	-1,6E-04	-1,688E-04
9-6-15 15:40	0,18	-0,018	-0,225	-1,774	-0,032	-0,029	-0,028	-2,0E-04	-1,8E-04	-1,8E-04	-1,854E-04
10-6-15 10:55	0,98	-0,065	-0,272	-1,812	-0,079	-0,076	-0,066	-4,9E-04	-4,8E-04	-4,1E-04	-4,604E-04
10-6-15 11:35	1,01	-0,065	-0,275	-1,813	-0,079	-0,079	-0,067	-4,9E-04	-4,9E-04	-4,2E-04	-4,688E-04
10-6-15 12:15	1,03	-0,066	-0,276	-1,813	-0,08	-0,08	-0,067	-5,0E-04	-5,0E-04	-4,2E-04	-4,729E-04
10-6-15 12:55	1,06	-0,068	-0,277	-1,814	-0,082	-0,081	-0,068	-5,1E-04	-5,1E-04	-4,3E-04	-4,813E-04
10-6-15 13:45	1,10	-0,07	-0,277	-1,814	-0,084	-0,081	-0,068	-5,3E-04	-5,1E-04	-4,3E-04	-4,854E-04
10-6-15 14:25	1,13	-0,071	-0,278	-1,814	-0,085	-0,082	-0,068	-5,3E-04	-5,1E-04	-4,3E-04	-4,896E-04
10-6-15 15:10	1,16	-0,072	-0,279	-1,815	-0,086	-0,083	-0,069	-5,4E-04	-5,2E-04	-4,3E-04	-4,958E-04
11-6-15 15:10	2,16	-0,118	-0,324	-1,845	-0,132	-0,128	-0,099	-8,3E-04	-8,0E-04	-6,2E-04	-7,479E-04
11-6-15 15:55	2,19	-0,119	-0,324	-1,845	-0,133	-0,128	-0,099	-8,3E-04	-8,0E-04	-6,2E-04	-7,500E-04
12-6-15 9:50	2,93	-0,149	-0,357	-1,868	-0,163	-0,161	-0,122	-1,0E-03	-1,0E-03	-7,6E-04	-9,292E-04
12-6-15 10:40	2,97	-0,152	-0,359	-1,869	-0,166	-0,163	-0,123	-1,0E-03	-1,0E-03	-7,7E-04	-9,417E-04
12-6-15 13:50	3,10	-0,155	-0,363	-1,871	-0,169	-0,167	-0,125	-1,1E-03	-1,0E-03	-7,8E-04	-9,604E-04
12-6-15 15:10	3,16	-0,158	-0,365	-1,875	-0,172	-0,169	-0,129	-1,1E-03	-1,1E-03	-8,1E-04	-9,792E-04
15-6-15 10:35	5,97	-0,241	-0,448	-1,941	-0,255	-0,252	-0,195	-1,6E-03	-1,6E-03	-1,2E-03	-1,463E-03
15-6-15 13:05	6,07	-0,246	-0,453	-1,946	-0,26	-0,257	-0,2	-1,6E-03	-1,6E-03	-1,3E-03	-1,494E-03
15-6-15 15:45	6,18	-0,247	-0,454	-1,946	-0,261	-0,258	-0,2	-1,6E-03	-1,6E-03	-1,3E-03	-1,498E-03
16-6-15 9:45	6,93	-0,262	-0,473	-1,962	-0,276	-0,277	-0,216	-1,7E-03	-1,7E-03	-1,4E-03	-1,602E-03
16-6-15 15:20	7,16	-0,264	-0,472	-1,965	-0,278	-0,276	-0,219	-1,7E-03	-1,7E-03	-1,4E-03	-1,610E-03
17-6-15 9:55	7,94	-0,275	-0,482	-1,974	-0,289	-0,286	-0,228	-1,8E-03	-1,8E-03	-1,4E-03	-1,673E-03
17-6-15 14:15	8,12	-0,275	-0,483	-1,976	-0,289	-0,287	-0,23	-1,8E-03	-1,8E-03	-1,4E-03	-1,679E-03
22-6-15 12:20	13,04	-0,308	-0,514	-2,009	-0,322	-0,318	-0,263	-2,0E-03	-2,0E-03	-1,6E-03	-1,881E-03
23-6-15 10:10	13,95	-0,311	-0,518	-2,012	-0,325	-0,322	-0,266	-2,0E-03	-2,0E-03	-1,7E-03	-1,902E-03
23-6-15 15:45	14,18	-0,312	-0,517	-2,013	-0,326	-0,321	-0,267	-2,0E-03	-2,0E-03	-1,7E-03	-1,904E-03
24-6-15 10:25	14,96	-0,315	-0,521	-2,017	-0,329	-0,325	-0,271	-2,1E-03	-2,0E-03	-1,7E-03	-1,927E-03
24-6-15 15:40	15,18	-0,317	-0,523	-2,019	-0,331	-0,327	-0,273	-2,1E-03	-2,0E-03	-1,7E-03	-1,940E-03
25-6-15 12:10	16,03	-0,314	-0,518	-2,013	-0,328	-0,322	-0,267	-2,1E-03	-2,0E-03	-1,7E-03	-1,910E-03
26-6-15 10:15	16,95	-0,307	-0,512	-2,01	-0,321	-0,316	-0,264	-2,0E-03	-2,0E-03	-1,7E-03	-1,877E-03
26-6-15 15:25	17,17	-0,307	-0,514	-2,01	-0,321	-0,318	-0,264	-2,0E-03	-2,0E-03	-1,7E-03	-1,881E-03
29-6-15 9:40	19,93	-0,302	-0,507	-2,006	-0,316	-0,311	-0,26	-2,0E-03	-1,9E-03	-1,6E-03	-1,848E-03
29-6-15 14:50	20,14	-0,302	-0,508	-2,008	-0,316	-0,312	-0,262	-2,0E-03	-2,0E-03	-1,6E-03	-1,854E-03

30-6-15 10:25	20,96	-0,302	-0,506	-2,009	-0,316	-0,31	-0,263	-2,0E-03	-1,9E-03	-1,6E-03	-1,852E-03
30-6-15 15:00	21,15	-0,303	-0,508	-2,009	-0,317	-0,312	-0,263	-2,0E-03	-2,0E-03	-1,6E-03	-1,858E-03
1-7-15 9:55	21,94	-0,303	-0,509	-2,009	-0,317	-0,313	-0,263	-2,0E-03	-2,0E-03	-1,6E-03	-1,860E-03
1-7-15 13:55	22,10	-0,303	-0,508	-2,009	-0,317	-0,312	-0,263	-2,0E-03	-2,0E-03	-1,6E-03	-1,858E-03
2-7-15 9:55	22,94	-0,301	-0,507	-2,007	-0,315	-0,311	-0,261	-2,0E-03	-1,9E-03	-1,6E-03	-1,848E-03
2-7-15 15:15	23,16	-0,301	-0,507	-2,006	-0,315	-0,311	-0,26	-2,0E-03	-1,9E-03	-1,6E-03	-1,846E-03
3-7-15 8:40	23,89	-0,3	-0,506	-2,008	-0,314	-0,31	-0,262	-2,0E-03	-1,9E-03	-1,6E-03	-1,846E-03
6-7-15 9:45	26,93	-0,297	-0,502	-2,006	-0,311	-0,306	-0,26	-1,9E-03	-1,9E-03	-1,6E-03	-1,827E-03
6-7-15 15:35	27,17	-0,296	-0,501	-2,004	-0,31	-0,305	-0,258	-1,9E-03	-1,9E-03	-1,6E-03	-1,819E-03
7-7-15 11:00	27,98	-0,294	-0,497	-2,002	-0,308	-0,301	-0,256	-1,9E-03	-1,9E-03	-1,6E-03	-1,802E-03
7-7-15 15:30	28,17	-0,295	-0,499	-2,002	-0,309	-0,303	-0,256	-1,9E-03	-1,9E-03	-1,6E-03	-1,808E-03

SIS+EUC	AUTO
---------	------

Data	Time (min)	Measure			Dim. difference (DL)			Deform			Average
		FREE-1	FREE-2	FREE-3	FREE-1	FREE-2	FREE-3	FREE-1	FREE-2	FREE-3	Deform
		(mm)	(mm)	(mm)	(mm)	(mm)	(mm)	(ε)	(ε)	(ε)	(με)
26-5-15 11:45	0,00	0,28	-0,793	-0,677	0	0	0	0,0E+00	0,0E+00	0,0E+00	0,000E+00
26-5-15 12:15	0,02	0,278	-0,79	-0,679	-0,002	0	-0,002	-1,3E-05	0,0E+00	-1,3E-05	-8,333E-06
26-5-15 12:45	0,04	0,277	-0,789	-0,681	-0,003	0	-0,004	-1,9E-05	0,0E+00	-2,5E-05	-1,458E-05
26-5-15 13:55	0,09	0,277	-0,793	-0,68	-0,003	0	-0,003	-1,9E-05	0,0E+00	-1,9E-05	-1,250E-05
26-5-15 14:25	0,11	0,276	-0,792	-0,681	-0,004	0	-0,004	-2,5E-05	0,0E+00	-2,5E-05	-1,667E-05
26-5-15 14:55	0,13	0,278	-0,791	-0,682	-0,002	0	-0,005	-1,3E-05	0,0E+00	-3,1E-05	-1,458E-05
26-5-15 15:25	0,15	0,277	-0,795	-0,682	-0,003	-0,002	-0,005	-1,9E-05	-1,3E-05	-3,1E-05	-2,083E-05
26-5-15 15:55	0,17	0,276	-0,793	-0,682	-0,004	0	-0,005	-2,5E-05	0,0E+00	-3,1E-05	-1,875E-05
26-5-15 16:25	0,19	0,273	-0,796	-0,684	-0,007	-0,003	-0,007	-4,4E-05	-1,9E-05	-4,4E-05	-3,542E-05
27-5-15 10:00	0,93	0,267	-0,799	-0,69	-0,013	-0,006	-0,013	-8,1E-05	-3,8E-05	-8,1E-05	-6,667E-05
27-5-15 10:30	0,95	0,269	-0,797	-0,689	-0,011	-0,004	-0,012	-6,9E-05	-2,5E-05	-7,5E-05	-5,625E-05
27-5-15 11:00	0,97	0,269	-0,798	-0,691	-0,011	-0,005	-0,014	-6,9E-05	-3,1E-05	-8,7E-05	-6,250E-05
27-5-15 11:30	0,99	0,268	-0,799	-0,692	-0,012	-0,006	-0,015	-7,5E-05	-3,8E-05	-9,4E-05	-6,875E-05
27-5-15 12:00	1,01	0,27	-0,798	-0,691	-0,01	-0,005	-0,014	-6,3E-05	-3,1E-05	-8,7E-05	-6,042E-05
27-5-15 12:30	1,03	0,268	-0,797	-0,69	-0,012	-0,004	-0,013	-7,5E-05	-2,5E-05	-8,1E-05	-6,042E-05
27-5-15 13:00	1,05	0,267	-0,798	-0,691	-0,013	-0,005	-0,014	-8,1E-05	-3,1E-05	-8,7E-05	-6,667E-05
27-5-15 13:30	1,07	0,263	-0,799	-0,691	-0,017	-0,006	-0,014	-1,1E-04	-3,8E-05	-8,7E-05	-7,708E-05
27-5-15 14:00	1,09	0,261	-0,8	-0,692	-0,019	-0,007	-0,015	-1,2E-04	-4,4E-05	-9,4E-05	-8,542E-05
27-5-15 14:30	1,11	0,262	-0,799	-0,692	-0,018	-0,006	-0,015	-1,1E-04	-3,8E-05	-9,4E-05	-8,125E-05
27-5-15 15:00	1,14	0,262	-0,799	-0,69	-0,018	-0,006	-0,013	-1,1E-04	-3,8E-05	-8,1E-05	-7,708E-05
28-5-15 10:20	1,94	0,258	-0,805	-0,695	-0,022	-0,012	-0,018	-1,4E-04	-7,5E-05	-1,1E-04	-1,083E-04
28-5-15 11:20	1,98	0,257	-0,804	-0,696	-0,023	-0,011	-0,019	-1,4E-04	-6,9E-05	-1,2E-04	-1,104E-04
28-5-15 12:20	2,02	0,258	-0,804	-0,696	-0,022	-0,011	-0,019	-1,4E-04	-6,9E-05	-1,2E-04	-1,083E-04
28-5-15 13:20	2,07	0,26	-0,804	-0,695	-0,02	-0,011	-0,018	-1,3E-04	-6,9E-05	-1,1E-04	-1,021E-04

28-5-15 14:20	2,11	0,26	-0,803	-0,695	-0,02	-0,01	-0,018	-1,3E-04	-6,3E-05	-1,1E-04	-1,000E-04
28-5-15 15:20	2,15	0,26	-0,805	-0,696	-0,02	-0,012	-0,019	-1,3E-04	-7,5E-05	-1,2E-04	-1,063E-04
29-5-15 11:10	2,98	0,252	-0,808	-0,703	-0,028	-0,015	-0,026	-1,8E-04	-9,4E-05	-1,6E-04	-1,438E-04
29-5-15 13:20	3,07	0,25	-0,809	-0,704	-0,03	-0,016	-0,027	-1,9E-04	-1,0E-04	-1,7E-04	-1,521E-04
29-5-15 15:20	3,15	0,251	-0,809	-0,703	-0,029	-0,016	-0,026	-1,8E-04	-1,0E-04	-1,6E-04	-1,479E-04
3-6-15 10:05	7,93	0,204	-0,842	-0,74	-0,076	-0,049	-0,063	-4,8E-04	-3,1E-04	-3,9E-04	-3,917E-04
3-6-15 12:15	8,02	0,203	-0,843	-0,741	-0,077	-0,05	-0,064	-4,8E-04	-3,1E-04	-4,0E-04	-3,979E-04
3-6-15 14:10	8,10	0,199	-0,845	-0,741	-0,081	-0,052	-0,064	-5,1E-04	-3,3E-04	-4,0E-04	-4,104E-04
4-6-15 10:20	8,94	0,193	-0,85	-0,747	-0,087	-0,057	-0,07	-5,4E-04	-3,6E-04	-4,4E-04	-4,458E-04
4-6-15 12:20	9,02	0,191	-0,851	-0,748	-0,089	-0,058	-0,071	-5,6E-04	-3,6E-04	-4,4E-04	-4,542E-04
4-6-15 15:20	9,15	0,19	-0,851	-0,75	-0,09	-0,058	-0,073	-5,6E-04	-3,6E-04	-4,6E-04	-4,604E-04
5-6-15 10:35	9,95	0,182	-0,855	-0,754	-0,098	-0,062	-0,077	-6,1E-04	-3,9E-04	-4,8E-04	-4,938E-04
5-6-15 14:15	10,10	0,185	-0,856	-0,754	-0,095	-0,063	-0,077	-5,9E-04	-3,9E-04	-4,8E-04	-4,896E-04
8-6-15 8:00	12,84	0,155	-0,875	-0,775	-0,125	-0,082	-0,098	-7,8E-04	-5,1E-04	-6,1E-04	-6,354E-04
8-6-15 14:45	13,13	0,148	-0,88	-0,779	-0,132	-0,087	-0,102	-8,3E-04	-5,4E-04	-6,4E-04	-6,688E-04
9-6-15 8:10	13,85	0,143	-0,884	-0,789	-0,137	-0,091	-0,112	-8,6E-04	-5,7E-04	-7,0E-04	-7,083E-04
9-6-15 15:10	14,14	0,14	-0,885	-0,789	-0,14	-0,092	-0,112	-8,8E-04	-5,8E-04	-7,0E-04	-7,167E-04
10-6-15 11:05	14,97	0,134	-0,891	-0,794	-0,146	-0,098	-0,117	-9,1E-04	-6,1E-04	-7,3E-04	-7,521E-04
10-6-15 14:35	15,12	0,133	-0,892	-0,794	-0,147	-0,099	-0,117	-9,2E-04	-6,2E-04	-7,3E-04	-7,563E-04
11-6-15 15:20	16,15	0,129	-0,896	-0,797	-0,151	-0,103	-0,12	-9,4E-04	-6,4E-04	-7,5E-04	-7,792E-04
12-6-15 9:55	16,92	0,122	-0,898	-0,799	-0,158	-0,105	-0,122	-9,9E-04	-6,6E-04	-7,6E-04	-8,021E-04
12-6-15 15:15	17,15	0,125	-0,899	-0,8	-0,155	-0,106	-0,123	-9,7E-04	-6,6E-04	-7,7E-04	-8,000E-04
15-6-15 10:40	19,95	0,1	-0,917	-0,812	-0,18	-0,124	-0,135	-1,1E-03	-7,8E-04	-8,4E-04	-9,146E-04
15-6-15 15:50	20,17	0,098	-0,917	-0,817	-0,182	-0,124	-0,14	-1,1E-03	-7,8E-04	-8,7E-04	-9,292E-04
16-6-15 9:50	20,92	0,094	-0,923	-0,822	-0,186	-0,13	-0,145	-1,2E-03	-8,1E-04	-9,1E-04	-9,604E-04
16-6-15 15:25	21,15	0,092	-0,925	-0,824	-0,188	-0,132	-0,147	-1,2E-03	-8,3E-04	-9,2E-04	-9,729E-04
17-6-15 10:00	21,93	0,086	-0,927	-0,83	-0,194	-0,134	-0,153	-1,2E-03	-8,4E-04	-9,6E-04	-1,002E-03
17-6-15 14:20	22,11	0,086	-0,928	-0,831	-0,194	-0,135	-0,154	-1,2E-03	-8,4E-04	-9,6E-04	-1,006E-03
22-6-15 12:25	27,03	0,067	-0,951	-0,859	-0,213	-0,158	-0,182	-1,3E-03	-9,9E-04	-1,1E-03	-1,152E-03
23-6-15 10:15	27,94	0,061	-0,958	-0,868	-0,219	-0,165	-0,191	-1,4E-03	-1,0E-03	-1,2E-03	-1,198E-03
23-6-15 15:50	28,17	0,058	-0,958	-0,868	-0,222	-0,165	-0,191	-1,4E-03	-1,0E-03	-1,2E-03	-1,204E-03

SIS+NANO	AUTO
----------	------

Data	Time (min)	Measure			Dim. difference (DL)			Deform			Average
		FREE-1	FREE-2	FREE-3	FREE-1	FREE-2	FREE-3	FREE-1	FREE-2	FREE-3	Deform
		(mm)	(mm)	(mm)	(mm)	(mm)	(mm)	(ε)	(ε)	(ε)	(με)
26-5-15 11:50	0,00	0,399	-0,462	-0,012	0	0	0	0,0E+00	0,0E+00	0,0E+00	0,000E+00
26-5-15 12:20	0,02	0,396	-0,456	-0,012	-0,003	0	0	-1,9E-05	0,0E+00	0,0E+00	-6,250E-06
26-5-15 12:50	0,04	0,396	-0,454	-0,014	-0,003	0	-0,002	-1,9E-05	0,0E+00	-1,3E-05	-1,042E-05
26-5-15 14:00	0,09	0,392	-0,46	-0,021	-0,007	0	-0,009	-4,4E-05	0,0E+00	-5,6E-05	-3,333E-05
26-5-15 14:30	0,11	0,391	-0,468	-0,022	-0,008	-0,006	-0,01	-5,0E-05	-3,8E-05	-6,3E-05	-5,000E-05
26-5-15 15:00	0,13	0,388	-0,466	-0,026	-0,011	-0,004	-0,014	-6,9E-05	-2,5E-05	-8,8E-05	-6,042E-05
26-5-15 15:30	0,15	0,388	-0,465	-0,025	-0,011	-0,003	-0,013	-6,9E-05	-1,9E-05	-8,1E-05	-5,625E-05
26-5-15 16:00	0,17	0,387	-0,468	-0,029	-0,012	-0,006	-0,017	-7,5E-05	-3,8E-05	-1,1E-04	-7,292E-05
26-5-15 16:30	0,19	0,386	-0,47	-0,029	-0,013	-0,008	-0,017	-8,1E-05	-5,0E-05	-1,1E-04	-7,917E-05
27-5-15 10:25	0,94	0,36	-0,495	-0,054	-0,039	-0,033	-0,042	-2,4E-04	-2,1E-04	-2,6E-04	-2,375E-04
27-5-15 10:55	0,96	0,359	-0,492	-0,052	-0,04	-0,03	-0,04	-2,5E-04	-1,9E-04	-2,5E-04	-2,292E-04
27-5-15 11:25	0,98	0,359	-0,49	-0,054	-0,04	-0,028	-0,042	-2,5E-04	-1,8E-04	-2,6E-04	-2,292E-04
27-5-15 11:55	1,00	0,358	-0,492	-0,054	-0,041	-0,03	-0,042	-2,6E-04	-1,9E-04	-2,6E-04	-2,354E-04
27-5-15 12:25	1,02	0,354	-0,494	-0,058	-0,045	-0,032	-0,046	-2,8E-04	-2,0E-04	-2,9E-04	-2,563E-04
27-5-15 12:55	1,05	0,354	-0,493	-0,055	-0,045	-0,031	-0,043	-2,8E-04	-1,9E-04	-2,7E-04	-2,479E-04
27-5-15 13:25	1,07	0,355	-0,493	-0,055	-0,044	-0,031	-0,043	-2,8E-04	-1,9E-04	-2,7E-04	-2,458E-04
27-5-15 14:25	1,11	0,355	-0,494	-0,056	-0,044	-0,032	-0,044	-2,8E-04	-2,0E-04	-2,8E-04	-2,500E-04
27-5-15 14:55	1,13	0,356	-0,494	-0,057	-0,043	-0,032	-0,045	-2,7E-04	-2,0E-04	-2,8E-04	-2,500E-04
27-5-15 15:25	1,15	0,354	-0,497	-0,06	-0,045	-0,035	-0,048	-2,8E-04	-2,2E-04	-3,0E-04	-2,667E-04
27-5-15 15:55	1,17	0,353	-0,495	-0,061	-0,046	-0,033	-0,049	-2,9E-04	-2,1E-04	-3,1E-04	-2,667E-04
28-5-15 10:25	1,94	0,337	-0,515	-0,078	-0,062	-0,053	-0,066	-3,9E-04	-3,3E-04	-4,1E-04	-3,771E-04
28-5-15 11:25	1,98	0,336	-0,513	-0,078	-0,063	-0,051	-0,066	-3,9E-04	-3,2E-04	-4,1E-04	-3,750E-04
28-5-15 12:25	2,02	0,336	-0,515	-0,079	-0,063	-0,053	-0,067	-3,9E-04	-3,3E-04	-4,2E-04	-3,813E-04
28-5-15 13:25	2,07	0,334	-0,516	-0,079	-0,065	-0,054	-0,067	-4,1E-04	-3,4E-04	-4,2E-04	-3,875E-04
28-5-15 14:25	2,11	0,332	-0,517	-0,08	-0,067	-0,055	-0,068	-4,2E-04	-3,4E-04	-4,3E-04	-3,958E-04
28-5-15 15:25	2,15	0,333	-0,517	-0,08	-0,066	-0,055	-0,068	-4,1E-04	-3,4E-04	-4,3E-04	-3,938E-04
29-5-15 11:15	2,98	0,319	-0,53	-0,094	-0,08	-0,068	-0,082	-5,0E-04	-4,3E-04	-5,1E-04	-4,792E-04
29-5-15 13:25	3,07	0,318	-0,531	-0,096	-0,081	-0,069	-0,084	-5,1E-04	-4,3E-04	-5,3E-04	-4,875E-04
29-5-15 15:25	3,15	0,316	-0,534	-0,097	-0,083	-0,072	-0,085	-5,2E-04	-4,5E-04	-5,3E-04	-5,000E-04
3-6-15 10:10	7,93	0,239	-0,605	-0,171	-0,16	-0,143	-0,159	-1,0E-03	-8,9E-04	-9,9E-04	-9,625E-04
3-6-15 12:20	8,02	0,239	-0,605	-0,171	-0,16	-0,143	-0,159	-1,0E-03	-8,9E-04	-9,9E-04	-9,625E-04
3-6-15 14:10	8,10	0,238	-0,608	-0,172	-0,161	-0,146	-0,16	-1,0E-03	-9,1E-04	-1,0E-03	-9,729E-04
4-6-15 10:25	8,94	0,206	-0,618	-0,184	-0,193	-0,156	-0,172	-1,2E-03	-9,8E-04	-1,1E-03	-1,085E-03
4-6-15 12:25	9,02	0,205	-0,618	-0,185	-0,194	-0,156	-0,173	-1,2E-03	-9,8E-04	-1,1E-03	-1,090E-03
4-6-15 15:25	9,15	0,202	-0,619	-0,185	-0,197	-0,157	-0,173	-1,2E-03	-9,8E-04	-1,1E-03	-1,098E-03
5-6-15 10:40	9,95	0,192	-0,628	-0,194	-0,207	-0,166	-0,182	-1,3E-03	-1,0E-03	-1,1E-03	-1,156E-03
5-6-15 14:20	10,10	0,19	-0,629	-0,195	-0,209	-0,167	-0,183	-1,3E-03	-1,0E-03	-1,1E-03	-1,165E-03

8-6-15 8:05	12,84	0,162	-0,653	-0,218	-0,237	-0,191	-0,206	-1,5E-03	-1,2E-03	-1,3E-03	-1,321E-03
8-6-15 14:50	13,13	0,159	-0,655	-0,222	-0,24	-0,193	-0,21	-1,5E-03	-1,2E-03	-1,3E-03	-1,340E-03
9-6-15 8:15	13,85	0,154	-0,659	-0,227	-0,245	-0,197	-0,215	-1,5E-03	-1,2E-03	-1,3E-03	-1,369E-03
9-6-15 15:15	14,14	0,152	-0,66	-0,227	-0,247	-0,198	-0,215	-1,5E-03	-1,2E-03	-1,3E-03	-1,375E-03
10-6-15 11:10	14,97	0,149	-0,665	-0,233	-0,25	-0,203	-0,221	-1,6E-03	-1,3E-03	-1,4E-03	-1,404E-03
10-6-15 14:40	15,12	0,147	-0,666	-0,236	-0,252	-0,204	-0,224	-1,6E-03	-1,3E-03	-1,4E-03	-1,417E-03
11-6-15 15:25	16,15	0,143	-0,67	-0,239	-0,256	-0,208	-0,227	-1,6E-03	-1,3E-03	-1,4E-03	-1,440E-03
12-6-15 10:00	16,92	0,143	-0,67	-0,239	-0,256	-0,208	-0,227	-1,6E-03	-1,3E-03	-1,4E-03	-1,440E-03
12-6-15 15:20	17,15	0,14	-0,672	-0,241	-0,259	-0,21	-0,229	-1,6E-03	-1,3E-03	-1,4E-03	-1,454E-03
15-6-15 10:45	19,95	0,125	-0,678	-0,254	-0,274	-0,216	-0,242	-1,7E-03	-1,4E-03	-1,5E-03	-1,525E-03
15-6-15 15:55	20,17	0,125	-0,679	-0,254	-0,274	-0,217	-0,242	-1,7E-03	-1,4E-03	-1,5E-03	-1,527E-03
16-6-15 9:55	20,92	0,123	-0,685	-0,255	-0,276	-0,223	-0,243	-1,7E-03	-1,4E-03	-1,5E-03	-1,546E-03
16-6-15 15:30	21,15	0,123	-0,688	-0,257	-0,276	-0,226	-0,245	-1,7E-03	-1,4E-03	-1,5E-03	-1,556E-03
17-6-15 10:05	21,93	0,122	-0,693	-0,261	-0,277	-0,231	-0,249	-1,7E-03	-1,4E-03	-1,6E-03	-1,577E-03
17-6-15 14:25	22,11	0,121	-0,694	-0,262	-0,278	-0,232	-0,25	-1,7E-03	-1,5E-03	-1,6E-03	-1,583E-03
22-6-15 12:30	27,03	0,114	-0,701	-0,27	-0,285	-0,239	-0,258	-1,8E-03	-1,5E-03	-1,6E-03	-1,629E-03
23-6-15 10:20	27,94	0,11	-0,705	-0,273	-0,289	-0,243	-0,261	-1,8E-03	-1,5E-03	-1,6E-03	-1,652E-03
23-6-15 15:50	28,17	0,11	-0,706	-0,274	-0,289	-0,244	-0,262	-1,8E-03	-1,5E-03	-1,6E-03	-1,656E-03

SIS+POW

AUTO

Data	Time (min)	Measure			Dim. difference (DL)			Deform			Average
		FREE-1	FREE-2	FREE-3	FREE-1	FREE-2	FREE-3	FREE-1	FREE-2	FREE-3	Deform
		(mm)			(mm)			(ε)			(με)
10-6-15 11:00	0,00	-0,108	-0,571	-0,783	0	0	0	0,0E+00	0,0E+00	0,0E+00	0,000E+00
10-6-15 11:40	0,03	-0,123	-0,578	-0,788	-0,015	-0,007	-0,005	-9,4E-05	-4,4E-05	-3,1E-05	-5,625E-05
10-6-15 12:20	0,06	-0,13	-0,584	-0,795	-0,022	-0,013	-0,012	-1,4E-04	-8,1E-05	-7,5E-05	-9,792E-05
10-6-15 13:00	0,08	-0,132	-0,586	-0,796	-0,024	-0,015	-0,013	-1,5E-04	-9,4E-05	-8,1E-05	-1,083E-04
10-6-15 13:50	0,12	-0,133	-0,587	-0,797	-0,025	-0,016	-0,014	-1,6E-04	-1,0E-04	-8,8E-05	-1,146E-04
10-6-15 14:30	0,15	-0,135	-0,589	-0,8	-0,027	-0,018	-0,017	-1,7E-04	-1,1E-04	-1,1E-04	-1,292E-04
10-6-15 15:15	0,18	-0,138	-0,589	-0,801	-0,03	-0,018	-0,018	-1,9E-04	-1,1E-04	-1,1E-04	-1,375E-04
11-6-15 15:15	1,18	-0,177	-0,633	-0,839	-0,069	-0,062	-0,056	-4,3E-04	-3,9E-04	-3,5E-04	-3,896E-04
11-6-15 15:45	1,20	-0,178	-0,634	-0,84	-0,07	-0,063	-0,057	-4,4E-04	-3,9E-04	-3,6E-04	-3,958E-04
11-6-15 16:10	1,22	-0,178	-0,634	-0,84	-0,07	-0,063	-0,057	-4,4E-04	-3,9E-04	-3,6E-04	-3,958E-04
12-6-15 9:40	1,94	-0,194	-0,656	-0,858	-0,086	-0,085	-0,075	-5,4E-04	-5,3E-04	-4,7E-04	-5,125E-04
12-6-15 10:30	1,98	-0,2	-0,659	-0,86	-0,092	-0,088	-0,077	-5,8E-04	-5,5E-04	-4,8E-04	-5,354E-04
12-6-15 13:40	2,11	-0,203	-0,664	-0,865	-0,095	-0,093	-0,082	-5,9E-04	-5,8E-04	-5,1E-04	-5,625E-04
12-6-15 15:00	2,17	-0,203	-0,664	-0,866	-0,095	-0,093	-0,083	-5,9E-04	-5,8E-04	-5,2E-04	-5,646E-04
12-6-15 15:35	2,19	-0,204	-0,665	-0,867	-0,096	-0,094	-0,084	-6,0E-04	-5,9E-04	-5,3E-04	-5,708E-04
15-6-15 10:25	4,98	-0,269	-0,743	-0,929	-0,161	-0,172	-0,146	-1,0E-03	-1,1E-03	-9,1E-04	-9,979E-04
15-6-15 12:55	5,08	-0,276	-0,749	-0,934	-0,168	-0,178	-0,151	-1,1E-03	-1,1E-03	-9,4E-04	-1,035E-03

15-6-15 15:35	5,19	-0,276	-0,749	-0,935	-0,168	-0,178	-0,152	-1,1E-03	-1,1E-03	-9,5E-04	-1,038E-03
16-6-15 9:35	5,94	-0,294	-0,77	-0,955	-0,186	-0,199	-0,172	-1,2E-03	-1,2E-03	-1,1E-03	-1,160E-03
16-6-15 15:10	6,17	-0,295	-0,772	-0,955	-0,187	-0,201	-0,172	-1,2E-03	-1,3E-03	-1,1E-03	-1,167E-03
17-6-15 9:45	6,95	-0,31	-0,786	-0,97	-0,202	-0,215	-0,187	-1,3E-03	-1,3E-03	-1,2E-03	-1,258E-03
17-6-15 14:05	7,13	-0,312	-0,788	-0,97	-0,204	-0,217	-0,187	-1,3E-03	-1,4E-03	-1,2E-03	-1,267E-03
22-6-15 12:10	12,05	-0,373	-0,845	-1,027	-0,265	-0,274	-0,244	-1,7E-03	-1,7E-03	-1,5E-03	-1,631E-03
23-6-15 10:00	12,96	-0,379	-0,851	-1,034	-0,271	-0,28	-0,251	-1,7E-03	-1,8E-03	-1,6E-03	-1,671E-03
23-6-15 15:35	13,19	-0,382	-0,852	-1,036	-0,274	-0,281	-0,253	-1,7E-03	-1,8E-03	-1,6E-03	-1,683E-03
24-6-15 10:15	13,97	-0,388	-0,859	-1,043	-0,28	-0,288	-0,26	-1,8E-03	-1,8E-03	-1,6E-03	-1,725E-03
24-6-15 15:30	14,19	-0,389	-0,86	-1,043	-0,281	-0,289	-0,26	-1,8E-03	-1,8E-03	-1,6E-03	-1,729E-03
25-6-15 10:30	14,98	-0,386	-0,853	-1,041	-0,278	-0,282	-0,258	-1,7E-03	-1,8E-03	-1,6E-03	-1,704E-03
26-6-15 10:15	15,97	-0,386	-0,853	-1,041	-0,278	-0,282	-0,258	-1,7E-03	-1,8E-03	-1,6E-03	-1,704E-03
26-6-15 15:15	16,18	-0,384	-0,851	-1,04	-0,276	-0,28	-0,257	-1,7E-03	-1,8E-03	-1,6E-03	-1,694E-03
29-6-15 9:30	18,94	-0,387	-0,853	-1,04	-0,279	-0,282	-0,257	-1,7E-03	-1,8E-03	-1,6E-03	-1,704E-03
29-6-15 14:40	19,15	-0,387	-0,854	-1,041	-0,279	-0,283	-0,258	-1,7E-03	-1,8E-03	-1,6E-03	-1,708E-03
30-6-15 10:15	19,97	-0,385	-0,853	-1,04	-0,277	-0,282	-0,257	-1,7E-03	-1,8E-03	-1,6E-03	-1,700E-03
30-6-15 14:50	20,16	-0,385	-0,853	-1,04	-0,277	-0,282	-0,257	-1,7E-03	-1,8E-03	-1,6E-03	-1,700E-03
1-7-15 9:45	20,95	-0,387	-0,853	-1,042	-0,279	-0,282	-0,259	-1,7E-03	-1,8E-03	-1,6E-03	-1,708E-03
1-7-15 13:45	21,11	-0,387	-0,853	-1,041	-0,279	-0,282	-0,258	-1,7E-03	-1,8E-03	-1,6E-03	-1,706E-03
2-7-15 9:45	21,95	-0,386	-0,848	-1,035	-0,278	-0,277	-0,252	-1,7E-03	-1,7E-03	-1,6E-03	-1,681E-03
2-7-15 15:05	22,17	-0,386	-0,849	-1,038	-0,278	-0,278	-0,255	-1,7E-03	-1,7E-03	-1,6E-03	-1,690E-03
3-7-15 8:35	22,90	-0,386	-0,85	-1,038	-0,278	-0,279	-0,255	-1,7E-03	-1,7E-03	-1,6E-03	-1,692E-03
6-7-15 9:35	25,94	-0,385	-0,848	-1,037	-0,277	-0,277	-0,254	-1,7E-03	-1,7E-03	-1,6E-03	-1,683E-03
6-7-15 15:25	25,94	-0,385	-0,847	-1,037	-0,277	-0,276	-0,254	-1,7E-03	-1,7E-03	-1,6E-03	-1,681E-03
7-7-15 10:50	26,18	-0,381	-0,846	-1,036	-0,273	-0,275	-0,253	-1,7E-03	-1,7E-03	-1,6E-03	-1,669E-03
7-7-15 15:25	26,99	-0,385	-0,847	-1,037	-0,277	-0,276	-0,254	-1,7E-03	-1,7E-03	-1,6E-03	-1,681E-03
7-7-15 8:00	26,88	-1,054	0,164	-0,804							

ANEXO 3

ANEXO 3

A continuación se muestran los cálculos realizados para la obtención de la variación de la masa por la retracción total.

		STEEL 0,64%			DRY								
Data	Time (min)	Measure			Mass difference (Dg)			% weight lost			Average		
		FREE-1	FREE-2	FREE-3	FREE-1	FREE-2	FREE-3	FREE-1	FREE-2	FREE-3			
28-4-15 11:55	0,00	629,00	625,03	630,41	0,000	0,000	0,000	0,000	0,000	0,000	0,0000		
28-4-15 12:25	0,02	628,41	624,45	629,69	-0,590	-0,580	-0,720	-0,094	-0,093	-0,114	-0,1003		
28-4-15 12:54	0,04	627,85	623,92	629,20	-1,150	-1,110	-1,210	-0,183	-0,178	-0,192	-0,1841		
28-4-15 13:24	0,06	627,46	623,55	628,83	-1,540	-1,480	-1,580	-0,245	-0,237	-0,251	-0,2441		
28-4-15 13:54	0,08	626,99	623,07	628,33	-2,010	-1,960	-2,080	-0,320	-0,314	-0,330	-0,3210		
28-4-15 14:24	0,10	626,82	622,89	628,18	-2,180	-2,140	-2,230	-0,347	-0,342	-0,354	-0,3476		
28-4-15 14:54	0,12	626,55	622,63	627,90	-2,450	-2,400	-2,510	-0,390	-0,384	-0,398	-0,3905		
28-4-15 15:24	0,15	626,30	622,39	627,65	-2,700	-2,640	-2,760	-0,429	-0,422	-0,438	-0,4298		
28-4-15 15:54	0,17	626,07	622,15	627,42	-2,930	-2,880	-2,990	-0,466	-0,461	-0,474	-0,4670		
28-4-15 16:24	0,19	625,83	621,93	627,19	-3,170	-3,100	-3,220	-0,504	-0,496	-0,511	-0,5036		
28-4-15 16:54	0,21	625,64	621,73	627,01	-3,360	-3,300	-3,400	-0,534	-0,528	-0,539	-0,5338		
28-4-15 17:24	0,23	625,48	621,55	626,83	-3,520	-3,480	-3,580	-0,560	-0,557	-0,568	-0,5614		
29-4-15 10:10	0,93	622,51	618,58	623,76	-6,490	-6,450	-6,650	-1,032	-1,032	-1,055	-1,0395		
29-4-15 10:40	0,95	622,45	618,52	623,75	-6,550	-6,510	-6,660	-1,041	-1,042	-1,056	-1,0464		
29-4-15 12:30	1,02	622,25	618,32	623,55	-6,750	-6,710	-6,860	-1,073	-1,074	-1,088	-1,0783		
29-4-15 12:45	1,03	622,23	618,29	623,52	-6,770	-6,740	-6,890	-1,076	-1,078	-1,093	-1,0825		
29-4-15 13:15	1,06	622,18	618,23	623,47	-6,820	-6,800	-6,940	-1,084	-1,088	-1,101	-1,0910		
29-4-15 13:45	1,08	622,13	618,19	623,43	-6,870	-6,840	-6,980	-1,092	-1,094	-1,107	-1,0979		
29-4-15 14:15	1,10	622,09	618,15	623,39	-6,910	-6,880	-7,020	-1,099	-1,101	-1,114	-1,1043		
29-4-15 14:45	1,12	622,01	618,09	623,33	-6,990	-6,940	-7,080	-1,111	-1,110	-1,123	-1,1149		
29-4-15 15:15	1,14	621,97	618,04	623,28	-7,030	-6,990	-7,130	-1,118	-1,118	-1,131	-1,1223		
29-4-15 15:45	1,16	621,92	617,99	623,24	-7,080	-7,040	-7,170	-1,126	-1,126	-1,137	-1,1298		
30-4-15 10:00	1,92	620,62	616,71	621,97	-8,380	-8,320	-8,440	-1,332	-1,331	-1,339	-1,3341		
30-4-15 11:00	1,96	620,56	616,65	621,92	-8,440	-8,380	-8,490	-1,342	-1,341	-1,347	-1,3431		
30-4-15 12:00	2,00	620,52	616,61	621,88	-8,480	-8,420	-8,530	-1,348	-1,347	-1,353	-1,3495		
30-4-15 13:00	2,05	620,46	616,55	621,81	-8,540	-8,480	-8,600	-1,358	-1,357	-1,364	-1,3595		
30-4-15 14:00	2,09	620,41	616,50	621,77	-8,590	-8,530	-8,640	-1,366	-1,365	-1,371	-1,3670		
30-4-15 15:00	2,13	620,35	616,44	621,71	-8,650	-8,590	-8,700	-1,375	-1,374	-1,380	-1,3765		
30-4-15 16:00	2,17	620,31	616,41	621,67	-8,690	-8,620	-8,740	-1,382	-1,379	-1,386	-1,3824		
4-5-15 8:45	5,87	617,79	613,89	619,18	-11,210	-11,140	-11,230	-1,782	-1,782	-1,781	-1,7820		
4-5-15 11:45	5,99	617,75	613,84	619,13	-11,250	-11,190	-11,280	-1,789	-1,790	-1,789	-1,7894		
4-5-15 13:45	6,08	617,72	613,81	619,10	-11,280	-11,220	-11,310	-1,793	-1,795	-1,794	-1,7942		

5-5-15 10:30	6,94	617,44	613,54	618,84	-11,560	-11,490	-11,570	-1,838	-1,838	-1,835	-1,8372
5-5-15 12:30	7,02	617,43	613,52	618,82	-11,570	-11,510	-11,590	-1,839	-1,842	-1,838	-1,8398
5-5-15 14:30	7,11	617,43	613,51	618,80	-11,570	-11,520	-11,610	-1,839	-1,843	-1,842	-1,8414
5-5-15 16:30	7,19	617,40	613,51	618,78	-11,600	-11,520	-11,630	-1,844	-1,843	-1,845	-1,8440
6-5-15 10:30	7,94	617,26	613,32	618,59	-11,740	-11,710	-11,820	-1,866	-1,874	-1,875	-1,8716
6-5-15 12:30	8,02	617,22	613,30	618,57	-11,780	-11,730	-11,840	-1,873	-1,877	-1,878	-1,8759
6-5-15 14:30	8,11	617,20	613,27	618,55	-11,800	-11,760	-11,860	-1,876	-1,882	-1,881	-1,8796
6-5-15 16:30	8,19	617,17	613,25	618,53	-11,830	-11,780	-11,880	-1,881	-1,885	-1,884	-1,8833
7-5-15 10:00	8,92	616,98	613,07	618,36	-12,020	-11,960	-12,050	-1,911	-1,914	-1,911	-1,9120
7-5-15 12:00	9,00	616,96	613,05	618,33	-12,040	-11,980	-12,080	-1,914	-1,917	-1,916	-1,9157
7-5-15 14:00	9,09	616,94	613,03	618,32	-12,060	-12,000	-12,090	-1,917	-1,920	-1,918	-1,9183
11-5-15 15:00	13,13	616,21	612,32	617,62	-12,790	-12,710	-12,790	-2,033	-2,034	-2,029	-2,0319
11-5-15 17:00	13,21	616,21	612,32	617,62	-12,790	-12,710	-12,790	-2,033	-2,034	-2,029	-2,0319
12-5-15 10:30	13,94	616,12	612,22	617,52	-12,880	-12,810	-12,890	-2,048	-2,050	-2,045	-2,0473
12-5-15 12:30	14,02	616,10	612,21	617,51	-12,900	-12,820	-12,900	-2,051	-2,051	-2,046	-2,0494
12-5-15 14:30	14,11	616,08	612,19	617,50	-12,920	-12,840	-12,910	-2,054	-2,054	-2,048	-2,0521
12-5-15 16:30	14,19	616,08	612,19	617,49	-12,920	-12,840	-12,920	-2,054	-2,054	-2,049	-2,0526
13-5-15 10:00	14,92	615,99	612,10	617,39	-13,010	-12,930	-13,020	-2,068	-2,069	-2,065	-2,0675
13-5-15 12:30	15,02	615,98	612,09	617,38	-13,020	-12,940	-13,030	-2,070	-2,070	-2,067	-2,0691
13-5-15 14:30	15,11	615,96	612,06	617,37	-13,040	-12,970	-13,040	-2,073	-2,075	-2,068	-2,0722
14-5-15 9:00	15,88	615,87	611,98	617,29	-13,130	-13,050	-13,120	-2,087	-2,088	-2,081	-2,0855
14-5-15 11:00	15,96	615,86	611,97	617,28	-13,140	-13,060	-13,130	-2,089	-2,089	-2,083	-2,0871
14-5-15 13:30	16,07	615,86	611,98	617,28	-13,140	-13,050	-13,130	-2,089	-2,088	-2,083	-2,0866
15-5-15 9:00	16,88	615,78	611,89	617,20	-13,220	-13,140	-13,210	-2,102	-2,102	-2,095	-2,0998
15-5-15 11:00	16,96	615,76	611,88	617,19	-13,240	-13,150	-13,220	-2,105	-2,104	-2,097	-2,1020
15-5-15 13:00	17,05	615,75	611,87	617,17	-13,250	-13,160	-13,240	-2,107	-2,105	-2,100	-2,1041
18-5-15 8:45	19,87	615,51	611,63	616,94	-13,490	-13,400	-13,470	-2,145	-2,144	-2,137	-2,1418
18-5-15 15:45	20,16	615,50	611,61	616,92	-13,500	-13,420	-13,490	-2,146	-2,147	-2,140	-2,1444
19-5-15 12:05	21,01	615,45	611,55	616,86	-13,550	-13,480	-13,550	-2,154	-2,157	-2,149	-2,1534
19-5-15 14:05	21,09	615,44	611,55	616,86	-13,560	-13,480	-13,550	-2,156	-2,157	-2,149	-2,1540
19-5-15 16:05	21,17	615,44	611,54	616,86	-13,560	-13,490	-13,550	-2,156	-2,158	-2,149	-2,1545
20-5-15 11:00	21,96	615,41	611,53	616,84	-13,590	-13,500	-13,570	-2,161	-2,160	-2,153	-2,1577
20-5-15 13:00	22,05	615,41	611,52	616,83	-13,590	-13,510	-13,580	-2,161	-2,161	-2,154	-2,1587
21-5-15 10:30	22,94	615,37	611,48	616,80	-13,630	-13,550	-13,610	-2,167	-2,168	-2,159	-2,1646
21-5-15 12:30	23,02	615,36	611,48	616,80	-13,640	-13,550	-13,610	-2,169	-2,168	-2,159	-2,1651
25-5-15 10:30	26,94	615,15	611,26	616,56	-13,850	-13,770	-13,850	-2,202	-2,203	-2,197	-2,2007
25-5-15 12:30	27,02	615,15	611,26	616,56	-13,850	-13,770	-13,850	-2,202	-2,203	-2,197	-2,2007
26-5-15 10:20	27,93	615,11	611,22	616,51	-13,890	-13,810	-13,900	-2,208	-2,209	-2,205	-2,2076
26-5-15 12:20	28,02	615,10	611,21	616,50	-13,900	-13,820	-13,910	-2,210	-2,211	-2,207	-2,2092

STEEL 1,28%

DRY

Data	Time (min)	Measure			Mass difference (Dg)			% weight lost			Average %
		FREE-1	FREE-2	FREE-3	FREE-1	FREE-2	FREE-3	FREE-1	FREE-2	FREE-3	
		(g)			(g)			%			
1-4-14 14:10	0,00	632,87	636,18	637,70	0,000	0,000	0,000	0,000	0,000	0,000	0,0000
1-4-14 14:40	0,02	632,42	635,77	637,31	-0,450	-0,410	-0,390	-0,071	-0,064	-0,061	-0,0656
1-4-14 15:10	0,04	632,16	635,54	637,03	-0,710	-0,640	-0,670	-0,112	-0,101	-0,105	-0,1060
1-4-14 15:40	0,06	631,93	635,33	636,81	-0,940	-0,850	-0,890	-0,149	-0,134	-0,140	-0,1406
1-4-14 16:10	0,08	631,72	635,12	636,59	-1,150	-1,060	-1,110	-0,182	-0,167	-0,174	-0,1741
1-4-14 16:25	0,09	631,64	635,03	636,49	-1,230	-1,150	-1,210	-0,194	-0,181	-0,190	-0,1883
1-4-14 16:50	0,11	631,51	634,89	636,37	-1,360	-1,290	-1,330	-0,215	-0,203	-0,209	-0,2087
2-4-14 10:50	0,86	628,95	632,29	633,80	-3,920	-3,890	-3,900	-0,619	-0,611	-0,612	-0,6141
2-4-14 11:20	0,88	628,92	632,25	633,76	-3,950	-3,930	-3,940	-0,624	-0,618	-0,618	-0,6199
2-4-14 11:50	0,90	628,85	632,20	633,70	-4,020	-3,980	-4,000	-0,635	-0,626	-0,627	-0,6294
2-4-14 12:20	0,92	628,82	632,16	633,67	-4,050	-4,020	-4,030	-0,640	-0,632	-0,632	-0,6346
2-4-14 12:50	0,94	628,76	632,12	633,62	-4,110	-4,060	-4,080	-0,649	-0,638	-0,640	-0,6425
2-4-14 13:35	0,98	628,71	632,06	633,57	-4,160	-4,120	-4,130	-0,657	-0,648	-0,648	-0,6509
2-4-14 14:00	0,99	628,66	632,02	633,53	-4,210	-4,160	-4,170	-0,665	-0,654	-0,654	-0,6577
2-4-14 14:30	1,01	628,63	631,98	633,50	-4,240	-4,200	-4,200	-0,670	-0,660	-0,659	-0,6629
2-4-14 15:00	1,03	628,58	631,94	633,45	-4,290	-4,240	-4,250	-0,678	-0,666	-0,666	-0,6703
2-4-14 15:30	1,06	628,54	631,89	633,40	-4,330	-4,290	-4,300	-0,684	-0,674	-0,674	-0,6776
2-4-14 16:10	1,08	628,50	631,85	633,36	-4,370	-4,330	-4,340	-0,691	-0,681	-0,681	-0,6839
2-4-14 16:40	1,10	628,45	631,81	633,32	-4,420	-4,370	-4,380	-0,698	-0,687	-0,687	-0,6907
3-4-14 11:30	1,89	627,40	630,77	632,28	-5,470	-5,410	-5,420	-0,864	-0,850	-0,850	-0,8549
3-4-14 12:00	1,91	627,37	630,73	632,25	-5,500	-5,450	-5,450	-0,869	-0,857	-0,855	-0,8601
3-4-14 13:00	1,95	627,33	630,69	632,21	-5,540	-5,490	-5,490	-0,875	-0,863	-0,861	-0,8664
3-4-14 14:00	1,99	627,28	630,64	632,16	-5,590	-5,540	-5,540	-0,883	-0,871	-0,869	-0,8743
3-4-14 15:00	2,03	627,23	630,59	632,11	-5,640	-5,590	-5,590	-0,891	-0,879	-0,877	-0,8821
3-4-14 16:00	2,08	627,19	630,54	632,07	-5,680	-5,640	-5,630	-0,897	-0,887	-0,883	-0,8890
4-4-14 11:30	2,89	626,44	629,79	631,33	-6,430	-6,390	-6,370	-1,016	-1,004	-0,999	-1,0064
4-4-14 12:30	2,93	626,36	629,72	631,25	-6,510	-6,460	-6,450	-1,029	-1,015	-1,011	-1,0185
4-4-14 13:30	2,97	626,33	629,68	631,22	-6,540	-6,500	-6,480	-1,033	-1,022	-1,016	-1,0238
4-4-14 14:30	3,01	626,30	629,66	631,19	-6,570	-6,520	-6,510	-1,038	-1,025	-1,021	-1,0280
4-4-14 15:30	3,06	626,27	629,63	631,16	-6,600	-6,550	-6,540	-1,043	-1,030	-1,026	-1,0327
7-4-14 12:00	5,91	624,85	628,18	629,73	-8,020	-8,000	-7,970	-1,267	-1,258	-1,250	-1,2582
7-4-14 13:00	5,95	624,83	628,18	629,71	-8,040	-8,000	-7,990	-1,270	-1,258	-1,253	-1,2603
7-4-14 14:00	5,99	624,82	628,16	629,69	-8,050	-8,020	-8,010	-1,272	-1,261	-1,256	-1,2629
7-4-14 15:30	6,06	624,80	628,14	629,68	-8,070	-8,040	-8,020	-1,275	-1,264	-1,258	-1,2655
7-4-14 16:30	6,10	624,78	628,13	629,66	-8,090	-8,050	-8,040	-1,278	-1,265	-1,261	-1,2681
8-4-14 12:45	6,94	624,51	627,84	629,39	-8,360	-8,340	-8,310	-1,321	-1,311	-1,303	-1,3117
8-4-14 14:15	7,00	624,50	627,83	629,37	-8,370	-8,350	-8,330	-1,323	-1,313	-1,306	-1,3138
8-4-14 15:00	7,03	624,49	627,82	629,37	-8,380	-8,360	-8,330	-1,324	-1,314	-1,306	-1,3148
8-4-14 16:00	7,08	624,46	627,80	629,33	-8,410	-8,380	-8,370	-1,329	-1,317	-1,313	-1,3195

8-4-14 17:00	7,12	624,46	627,79	629,33	-8,410	-8,390	-8,370	-1,329	-1,319	-1,313	-1,3201
9-4-14 11:00	7,87	624,25	627,58	629,12	-8,620	-8,600	-8,580	-1,362	-1,352	-1,345	-1,3531
9-4-14 12:15	7,92	624,24	627,56	629,11	-8,630	-8,620	-8,590	-1,364	-1,355	-1,347	-1,3552
9-4-14 13:00	7,95	624,23	627,56	629,10	-8,640	-8,620	-8,600	-1,365	-1,355	-1,349	-1,3563
9-4-14 14:00	7,99	624,22	627,54	629,08	-8,650	-8,640	-8,620	-1,367	-1,358	-1,352	-1,3589
9-4-14 15:00	8,03	624,21	627,54	629,08	-8,660	-8,640	-8,620	-1,368	-1,358	-1,352	-1,3594
9-4-14 16:00	8,08	624,19	627,52	629,06	-8,680	-8,660	-8,640	-1,372	-1,361	-1,355	-1,3625
9-4-14 17:00	8,12	624,19	627,52	629,06	-8,680	-8,660	-8,640	-1,372	-1,361	-1,355	-1,3625
10-4-14 12:20	8,92	624,00	627,33	628,87	-8,870	-8,850	-8,830	-1,402	-1,391	-1,385	-1,3924
10-4-14 13:20	8,97	623,98	627,30	628,85	-8,890	-8,880	-8,850	-1,405	-1,396	-1,388	-1,3961
10-4-14 15:20	9,05	623,97	627,29	628,84	-8,900	-8,890	-8,860	-1,406	-1,397	-1,389	-1,3977
10-4-14 16:20	9,09	623,95	627,28	628,82	-8,920	-8,900	-8,880	-1,409	-1,399	-1,393	-1,4003
10-4-14 17:20	9,13	623,94	627,26	628,81	-8,930	-8,920	-8,890	-1,411	-1,402	-1,394	-1,4024
11-4-14 11:30	9,89	623,80	627,11	628,66	-9,070	-9,070	-9,040	-1,433	-1,426	-1,418	-1,4255
11-4-14 12:30	9,93	623,79	627,10	628,65	-9,080	-9,080	-9,050	-1,435	-1,427	-1,419	-1,4271
11-4-14 13:30	9,97	623,77	627,10	628,64	-9,100	-9,080	-9,060	-1,438	-1,427	-1,421	-1,4286
11-4-14 14:30	10,01	623,77	627,09	628,64	-9,100	-9,090	-9,060	-1,438	-1,429	-1,421	-1,4292
11-4-14 15:30	10,06	623,77	627,08	628,63	-9,100	-9,100	-9,070	-1,438	-1,430	-1,422	-1,4302
11-4-14 16:30	10,10	623,76	627,07	628,63	-9,110	-9,110	-9,070	-1,439	-1,432	-1,422	-1,4313
14-4-14 12:00	12,91	623,30	626,61	628,16	-9,570	-9,570	-9,540	-1,512	-1,504	-1,496	-1,5042
14-4-14 14:00	12,99	623,27	626,58	628,14	-9,600	-9,600	-9,560	-1,517	-1,509	-1,499	-1,5083
14-4-14 16:00	13,08	623,26	626,57	628,13	-9,610	-9,610	-9,570	-1,518	-1,511	-1,501	-1,5099
15-4-14 13:00	13,95	623,15	626,46	628,01	-9,720	-9,720	-9,690	-1,536	-1,528	-1,520	-1,5278
15-4-14 15:00	14,03	623,14	626,45	628,01	-9,730	-9,730	-9,690	-1,537	-1,529	-1,520	-1,5288
15-4-14 17:00	14,12	623,13	626,43	627,99	-9,740	-9,750	-9,710	-1,539	-1,533	-1,523	-1,5314
16-4-14 13:15	14,96	623,02	626,33	627,88	-9,850	-9,850	-9,820	-1,556	-1,548	-1,540	-1,5482
16-4-14 16:15	15,09	623,03	626,33	627,89	-9,840	-9,850	-9,810	-1,555	-1,548	-1,538	-1,5472
17-4-14 12:20	15,92	622,95	626,25	627,81	-9,920	-9,930	-9,890	-1,567	-1,561	-1,551	-1,5597
17-4-14 15:20	16,05	622,93	626,23	627,79	-9,940	-9,950	-9,910	-1,571	-1,564	-1,554	-1,5629
18-4-14 11:45	16,90	622,88	626,15	627,70	-9,990	-10,030	-10,000	-1,579	-1,577	-1,568	-1,5744
18-4-14 14:35	17,02	622,84	626,14	627,70	-10,030	-10,040	-10,000	-1,585	-1,578	-1,568	-1,5770
22-4-14 11:05	20,87	622,53	625,83	627,39	-10,340	-10,350	-10,310	-1,634	-1,627	-1,617	-1,6258
23-4-14 10:30	21,85	622,49	625,76	627,31	-10,380	-10,420	-10,390	-1,640	-1,638	-1,629	-1,6358
23-4-14 13:30	21,97	622,46	625,75	627,30	-10,410	-10,430	-10,400	-1,645	-1,639	-1,631	-1,6384
24-4-14 15:20	23,05	622,40	625,69	627,24	-10,470	-10,490	-10,460	-1,654	-1,649	-1,640	-1,6478
28-4-14 11:30	26,89	622,18	625,47	627,02	-10,690	-10,710	-10,680	-1,689	-1,683	-1,675	-1,6825
28-4-14 15:30	27,06	622,17	625,46	627,01	-10,700	-10,720	-10,690	-1,691	-1,685	-1,676	-1,6840
29-4-14 14:10	28,00	622,14	625,43	626,98	-10,730	-10,750	-10,720	-1,695	-1,690	-1,681	-1,6888

SISAL.SAT

DRY

Data	Time (min)	Measure			Mass difference (Dg)			% weight lost			Average
		FREE-1	FREE-2	FREE-3	FREE-1	FREE-2	FREE-3	FREE-1	FREE-2	FREE-3	
		(g)			(g)			%			
9-4-14 13:00	0,00	586,98	588,22	598,21	0,000	0,000	0,000	0,000	0,000	0,000	0,0000
9-4-14 13:20	0,01	586,38	587,64	597,67	-0,102	-0,099	-0,090	-0,102	-0,099	-0,090	-0,0970
9-4-14 13:45	0,03	586,07	587,34	597,37	-0,155	-0,150	-0,140	-0,155	-0,150	-0,140	-0,1484
9-4-14 14:15	0,05	585,64	586,94	596,98	-0,228	-0,218	-0,206	-0,228	-0,218	-0,206	-0,2172
9-4-14 14:35	0,07	585,43	586,74	596,77	-0,264	-0,252	-0,241	-0,264	-0,252	-0,241	-0,2521
9-4-14 15:00	0,08	585,14	586,46	596,49	-0,313	-0,299	-0,288	-0,313	-0,299	-0,288	-0,3001
9-4-14 15:30	0,10	584,93	586,28	596,30	-0,349	-0,330	-0,319	-0,349	-0,330	-0,319	-0,3328
9-4-14 16:00	0,13	584,67	585,98	596,00	-0,394	-0,381	-0,369	-0,394	-0,381	-0,369	-0,3813
9-4-14 16:30	0,15	584,50	585,82	595,83	-0,423	-0,408	-0,398	-0,423	-0,408	-0,398	-0,4095
9-4-14 17:00	0,17	584,26	585,59	595,60	-0,463	-0,447	-0,436	-0,463	-0,447	-0,436	-0,4489
10-4-14 12:20	0,97	580,81	582,21	592,10	-1,051	-1,022	-1,021	-1,051	-1,022	-1,021	-1,0314
10-4-14 13:20	1,01	580,71	582,09	591,98	-1,068	-1,042	-1,041	-1,068	-1,042	-1,041	-1,0506
10-4-14 14:20	1,06	580,60	581,99	591,88	-1,087	-1,059	-1,058	-1,087	-1,059	-1,058	-1,0681
10-4-14 15:20	1,10	580,50	581,89	591,78	-1,104	-1,076	-1,075	-1,104	-1,076	-1,075	-1,0850
10-4-14 16:20	1,14	580,40	581,79	591,67	-1,121	-1,093	-1,093	-1,121	-1,093	-1,093	-1,1025
10-4-14 17:20	1,18	580,31	581,69	591,58	-1,136	-1,110	-1,108	-1,136	-1,110	-1,108	-1,1183
11-4-14 11:30	1,94	579,05	580,44	590,30	-1,351	-1,323	-1,322	-1,351	-1,323	-1,322	-1,3320
11-4-14 12:30	1,98	578,99	580,36	590,23	-1,361	-1,336	-1,334	-1,361	-1,336	-1,334	-1,3438
11-4-14 13:30	2,02	578,94	580,32	590,18	-1,370	-1,343	-1,342	-1,370	-1,343	-1,342	-1,3517
11-4-14 14:30	2,06	578,88	580,26	590,12	-1,380	-1,353	-1,352	-1,380	-1,353	-1,352	-1,3618
11-4-14 15:30	2,10	578,83	580,21	590,08	-1,388	-1,362	-1,359	-1,388	-1,362	-1,359	-1,3698
11-4-14 16:30	2,15	578,78	580,15	590,02	-1,397	-1,372	-1,369	-1,397	-1,372	-1,369	-1,3793
14-4-14 12:00	4,96	576,51	577,87	587,72	-1,784	-1,760	-1,754	-1,784	-1,760	-1,754	-1,7656
14-4-14 13:00	5,00	576,47	577,84	587,68	-1,791	-1,765	-1,760	-1,791	-1,765	-1,760	-1,7718
14-4-14 14:00	5,04	576,44	577,81	587,66	-1,796	-1,770	-1,764	-1,796	-1,770	-1,764	-1,7763
14-4-14 15:00	5,08	576,42	577,78	587,63	-1,799	-1,775	-1,769	-1,799	-1,775	-1,769	-1,7808
14-4-14 16:00	5,13	576,41	577,76	587,61	-1,801	-1,778	-1,772	-1,801	-1,778	-1,772	-1,7836
15-4-14 13:00	6,00	575,99	577,35	587,20	-1,872	-1,848	-1,840	-1,872	-1,848	-1,840	-1,8536
15-4-14 14:00	6,04	575,97	577,34	587,18	-1,876	-1,850	-1,844	-1,876	-1,850	-1,844	-1,8564
15-4-14 15:00	6,08	575,96	577,32	587,16	-1,877	-1,853	-1,847	-1,877	-1,853	-1,847	-1,8592
15-4-14 16:00	6,13	575,94	577,30	587,14	-1,881	-1,856	-1,851	-1,881	-1,856	-1,851	-1,8626
15-4-14 17:00	6,17	575,92	577,28	587,12	-1,884	-1,860	-1,854	-1,884	-1,860	-1,854	-1,8660
16-4-14 13:15	7,01	575,58	576,95	586,79	-1,942	-1,916	-1,909	-1,942	-1,916	-1,909	-1,9224
16-4-14 14:15	7,05	575,59	576,94	586,78	-1,940	-1,918	-1,911	-1,940	-1,918	-1,911	-1,9229
16-4-14 15:15	7,09	575,57	576,93	586,76	-1,944	-1,919	-1,914	-1,944	-1,919	-1,914	-1,9257
16-4-14 16:15	7,14	575,56	576,92	586,75	-1,946	-1,921	-1,916	-1,946	-1,921	-1,916	-1,9274
17-4-14 12:20	7,97	575,30	576,66	586,50	-1,990	-1,965	-1,958	-1,990	-1,965	-1,958	-1,9709
17-4-14 13:20	8,01	575,28	576,64	586,48	-1,993	-1,969	-1,961	-1,993	-1,969	-1,961	-1,9743
17-4-14 14:20	8,06	575,27	576,62	586,46	-1,995	-1,972	-1,964	-1,995	-1,972	-1,964	-1,9771

17-4-14 15:20	8,10	575,25	576,61	586,45	-1,998	-1,974	-1,966	-1,998	-1,974	-1,966	-1,9793
18-4-14 11:45	8,95	575,02	576,38	586,22	-2,038	-2,013	-2,004	-2,038	-2,013	-2,004	-2,0182
18-4-14 14:35	9,07	574,99	576,36	586,18	-2,043	-2,016	-2,011	-2,043	-2,016	-2,011	-2,0233
22-4-14 11:05	12,92	574,19	575,55	585,39	-2,179	-2,154	-2,143	-2,179	-2,154	-2,143	-2,1587
23-4-14 10:30	13,90	574,04	575,40	585,24	-2,205	-2,179	-2,168	-2,205	-2,179	-2,168	-2,1840
23-4-14 13:30	14,02	574,02	575,38	585,22	-2,208	-2,183	-2,171	-2,208	-2,183	-2,171	-2,1874
24-4-14 15:20	15,10	573,87	575,23	585,06	-2,233	-2,208	-2,198	-2,233	-2,208	-2,198	-2,2133
24-4-14 16:20	15,14	573,86	575,22	585,05	-2,235	-2,210	-2,200	-2,235	-2,210	-2,200	-2,2150
28-4-14 11:30	18,94	573,41	574,77	584,60	-2,312	-2,287	-2,275	-2,312	-2,287	-2,275	-2,2912
28-4-14 13:30	19,02	573,40	574,77	584,59	-2,314	-2,287	-2,277	-2,314	-2,287	-2,277	-2,2923
28-4-14 15:30	19,10	573,40	574,75	584,57	-2,314	-2,290	-2,280	-2,314	-2,290	-2,280	-2,2945
29-4-14 12:00	19,96	573,30	574,67	584,49	-2,331	-2,304	-2,294	-2,331	-2,304	-2,294	-2,3092
29-4-14 14:00	20,04	573,30	574,66	584,49	-2,331	-2,305	-2,294	-2,331	-2,305	-2,294	-2,3098
30-4-14 13:00	21,00	573,22	574,58	584,40	-2,344	-2,319	-2,309	-2,344	-2,319	-2,309	-2,3239
30-4-14 15:30	21,10	573,22	574,58	584,41	-2,344	-2,319	-2,307	-2,344	-2,319	-2,307	-2,3233
5-5-14 10:50	25,91	573,20	574,57	584,41	-2,348	-2,321	-2,307	-2,348	-2,321	-2,307	-2,3250
5-5-14 12:50	25,99	573,14	574,51	584,35	-2,358	-2,331	-2,317	-2,358	-2,331	-2,317	-2,3352
5-5-14 16:00	26,13	573,10	574,47	584,31	-2,365	-2,338	-2,324	-2,365	-2,338	-2,324	-2,3419
6-5-14 13:30	27,02	572,99	574,35	584,19	-2,383	-2,358	-2,344	-2,383	-2,358	-2,344	-2,3617
6-5-14 15:00	27,08	572,97	574,34	584,16	-2,387	-2,360	-2,349	-2,387	-2,360	-2,349	-2,3650
7-5-14 9:40	27,86	572,91	574,27	584,09	-2,397	-2,372	-2,360	-2,397	-2,372	-2,360	-2,3763
7-5-14 14:00	28,04	572,89	574,26	584,07	-2,400	-2,373	-2,364	-2,400	-2,373	-2,364	-2,3791

SISAL.NS

DRY

Data	Time (min)	Measure			Mass difference (Dg)			% weight lost			Average
		FREE-1	FREE-2	FREE-3	FREE-1	FREE-2	FREE-3	FREE-1	FREE-2	FREE-3	
		(g)			(g)			%			
1-4-14 14:40	0,00	607,24	608,93	609,79	0,000	0,000	0,000	0,000	0,000	0,000	0,0000
1-4-14 15:10	0,02	606,71	608,40	609,30	-0,530	-0,530	-0,490	-0,087	-0,087	-0,080	-0,0849
1-4-14 15:40	0,04	606,44	608,11	608,98	-0,800	-0,820	-0,810	-0,132	-0,135	-0,133	-0,1331
1-4-14 16:10	0,06	606,13	607,81	608,66	-1,110	-1,120	-1,130	-0,183	-0,184	-0,185	-0,1840
1-4-14 16:25	0,07	606,01	607,70	608,56	-1,230	-1,230	-1,230	-0,203	-0,202	-0,202	-0,2021
1-4-14 16:50	0,09	605,86	607,55	608,39	-1,380	-1,380	-1,400	-0,227	-0,227	-0,230	-0,2278
2-4-14 10:50	0,84	602,84	604,57	605,43	-4,400	-4,360	-4,360	-0,725	-0,716	-0,715	-0,7185
2-4-14 11:20	0,86	602,81	604,53	605,37	-4,430	-4,400	-4,420	-0,730	-0,723	-0,725	-0,7256
2-4-14 11:50	0,88	602,75	604,47	605,31	-4,490	-4,460	-4,480	-0,739	-0,732	-0,735	-0,7355
2-4-14 12:20	0,90	602,70	604,43	605,27	-4,540	-4,500	-4,520	-0,748	-0,739	-0,741	-0,7426
2-4-14 12:50	0,92	602,66	604,37	605,22	-4,580	-4,560	-4,570	-0,754	-0,749	-0,749	-0,7508
2-4-14 13:35	0,95	602,59	604,31	605,16	-4,650	-4,620	-4,630	-0,766	-0,759	-0,759	-0,7612
2-4-14 14:00	0,97	602,55	604,27	605,12	-4,690	-4,660	-4,670	-0,772	-0,765	-0,766	-0,7678
2-4-14 14:30	0,99	602,52	604,23	605,08	-4,720	-4,700	-4,710	-0,777	-0,772	-0,772	-0,7738
2-4-14 15:00	1,01	602,47	604,18	605,03	-4,770	-4,750	-4,760	-0,786	-0,780	-0,781	-0,7821
2-4-14 15:30	1,03	602,42	604,14	604,99	-4,820	-4,790	-4,800	-0,794	-0,787	-0,787	-0,7892
2-4-14 16:10	1,06	602,37	604,09	604,94	-4,870	-4,840	-4,850	-0,802	-0,795	-0,795	-0,7974
2-4-14 16:40	1,08	602,34	604,04	604,89	-4,900	-4,890	-4,900	-0,807	-0,803	-0,804	-0,8045
3-4-14 11:30	1,87	601,25	602,96	603,83	-5,990	-5,970	-5,960	-0,986	-0,980	-0,977	-0,9814
3-4-14 12:00	1,89	601,22	602,93	603,79	-6,020	-6,000	-6,000	-0,991	-0,985	-0,984	-0,9869
3-4-14 13:00	1,93	601,18	602,89	603,75	-6,060	-6,040	-6,040	-0,998	-0,992	-0,991	-0,9935
3-4-14 14:00	1,97	601,13	602,84	603,71	-6,110	-6,090	-6,080	-1,006	-1,000	-0,997	-1,0011
3-4-14 15:00	2,01	601,09	602,80	603,66	-6,150	-6,130	-6,130	-1,013	-1,007	-1,005	-1,0082
3-4-14 16:00	2,06	601,04	602,75	603,61	-6,200	-6,180	-6,180	-1,021	-1,015	-1,013	-1,0165
4-4-14 11:30	2,87	600,30	602,02	602,88	-6,940	-6,910	-6,910	-1,143	-1,135	-1,133	-1,1369
4-4-14 12:30	2,91	600,23	601,94	602,81	-7,010	-6,990	-6,980	-1,154	-1,148	-1,145	-1,1490
4-4-14 13:30	2,95	600,20	601,91	602,77	-7,040	-7,020	-7,020	-1,159	-1,153	-1,151	-1,1545
4-4-14 14:30	2,99	600,17	601,88	602,75	-7,070	-7,050	-7,040	-1,164	-1,158	-1,154	-1,1588
4-4-14 15:30	3,03	600,14	601,85	602,72	-7,100	-7,080	-7,070	-1,169	-1,163	-1,159	-1,1638
7-4-14 12:00	5,89	598,74	600,44	601,31	-8,500	-8,490	-8,480	-1,400	-1,394	-1,391	-1,3949
7-4-14 13:00	5,93	598,72	600,43	601,30	-8,520	-8,500	-8,490	-1,403	-1,396	-1,392	-1,3971
7-4-14 14:00	5,97	598,71	600,41	601,28	-8,530	-8,520	-8,510	-1,405	-1,399	-1,396	-1,3998
7-4-14 15:30	6,03	598,70	600,40	601,27	-8,540	-8,530	-8,520	-1,406	-1,401	-1,397	-1,4015
7-4-14 16:30	6,08	598,68	600,39	601,25	-8,560	-8,540	-8,540	-1,410	-1,402	-1,400	-1,4042
8-4-14 12:45	6,92	598,40	600,12	600,99	-8,840	-8,810	-8,800	-1,456	-1,447	-1,443	-1,4486
8-4-14 14:15	6,98	598,40	600,11	600,98	-8,840	-8,820	-8,810	-1,456	-1,448	-1,445	-1,4497
8-4-14 15:00	7,01	598,38	600,10	600,97	-8,860	-8,830	-8,820	-1,459	-1,450	-1,446	-1,4518

8-4-14 16:00	7,06	598,36	600,07	600,94	-8,880	-8,860	-8,850	-1,462	-1,455	-1,451	-1,4562
8-4-14 17:00	7,10	598,36	600,07	600,93	-8,880	-8,860	-8,860	-1,462	-1,455	-1,453	-1,4568
9-4-14 11:00	7,85	598,15	599,87	600,74	-9,090	-9,060	-9,050	-1,497	-1,488	-1,484	-1,4896
9-4-14 12:15	7,90	598,14	599,85	600,72	-9,100	-9,080	-9,070	-1,499	-1,491	-1,487	-1,4924
9-4-14 13:00	7,93	598,13	599,84	600,71	-9,110	-9,090	-9,080	-1,500	-1,493	-1,489	-1,4940
9-4-14 14:00	7,97	598,12	599,83	600,70	-9,120	-9,100	-9,090	-1,502	-1,494	-1,491	-1,4957
9-4-14 15:00	8,01	598,11	599,82	600,69	-9,130	-9,110	-9,100	-1,504	-1,496	-1,492	-1,4973
9-4-14 16:00	8,06	598,09	599,80	600,67	-9,150	-9,130	-9,120	-1,507	-1,499	-1,496	-1,5006
9-4-14 17:00	8,10	598,09	599,80	600,67	-9,150	-9,130	-9,120	-1,507	-1,499	-1,496	-1,5006
10-4-14 12:20	8,90	597,90	599,61	600,49	-9,340	-9,320	-9,300	-1,538	-1,531	-1,525	-1,5313
10-4-14 13:20	8,94	597,89	599,60	600,47	-9,350	-9,330	-9,320	-1,540	-1,532	-1,528	-1,5334
10-4-14 15:20	9,03	597,88	599,59	600,46	-9,360	-9,340	-9,330	-1,541	-1,534	-1,530	-1,5351
10-4-14 16:20	9,07	597,87	599,57	600,45	-9,370	-9,360	-9,340	-1,543	-1,537	-1,532	-1,5373
10-4-14 17:20	9,11	597,85	599,55	600,43	-9,390	-9,380	-9,360	-1,546	-1,540	-1,535	-1,5406
11-4-14 11:30	9,87	597,70	599,42	600,28	-9,540	-9,510	-9,510	-1,571	-1,562	-1,560	-1,5641
11-4-14 12:30	9,91	597,69	599,41	600,28	-9,550	-9,520	-9,510	-1,573	-1,563	-1,560	-1,5652
11-4-14 13:30	9,95	597,69	599,40	600,28	-9,550	-9,530	-9,510	-1,573	-1,565	-1,560	-1,5658
11-4-14 14:30	9,99	597,68	599,39	600,26	-9,560	-9,540	-9,530	-1,574	-1,567	-1,563	-1,5680
11-4-14 15:30	10,03	597,68	599,38	600,26	-9,560	-9,550	-9,530	-1,574	-1,568	-1,563	-1,5685
11-4-14 16:30	10,08	597,66	599,38	600,25	-9,580	-9,550	-9,540	-1,578	-1,568	-1,564	-1,5701
14-4-14 12:00	12,89	597,22	598,93	599,80	-10,020	-10,000	-9,990	-1,650	-1,642	-1,638	-1,6435
14-4-14 14:00	12,97	597,20	598,92	599,78	-10,040	-10,010	-10,010	-1,653	-1,644	-1,642	-1,6463
14-4-14 16:00	13,06	597,18	598,90	599,77	-10,060	-10,030	-10,020	-1,657	-1,647	-1,643	-1,6490
15-4-14 13:00	13,93	597,07	598,79	599,66	-10,170	-10,140	-10,130	-1,675	-1,665	-1,661	-1,6671
15-4-14 15:00	14,01	597,07	598,78	599,65	-10,170	-10,150	-10,140	-1,675	-1,667	-1,663	-1,6682
15-4-14 17:00	14,10	597,06	598,77	599,64	-10,180	-10,160	-10,150	-1,676	-1,669	-1,665	-1,6698
16-4-14 13:15	14,94	596,94	598,66	599,53	-10,300	-10,270	-10,260	-1,696	-1,687	-1,683	-1,6884
16-4-14 16:15	15,07	596,94	598,66	599,53	-10,300	-10,270	-10,260	-1,696	-1,687	-1,683	-1,6884
17-4-14 12:20	15,90	596,88	598,59	599,45	-10,360	-10,340	-10,340	-1,706	-1,698	-1,696	-1,6999
17-4-14 15:20	16,03	596,85	598,57	599,44	-10,390	-10,360	-10,350	-1,711	-1,701	-1,697	-1,7032
18-4-14 11:45	16,88	596,77	598,48	599,35	-10,470	-10,450	-10,440	-1,724	-1,716	-1,712	-1,7175
18-4-14 14:35	17,00	596,77	598,48	599,34	-10,470	-10,450	-10,450	-1,724	-1,716	-1,714	-1,7180
22-4-14 11:05	20,85	596,44	598,16	599,02	-10,800	-10,770	-10,770	-1,779	-1,769	-1,766	-1,7711
23-4-14 10:30	21,83	596,38	598,09	598,95	-10,860	-10,840	-10,840	-1,788	-1,780	-1,778	-1,7821
23-4-14 13:30	21,95	596,37	598,09	598,95	-10,870	-10,840	-10,840	-1,790	-1,780	-1,778	-1,7826
24-4-14 15:20	23,03	596,30	598,02	598,88	-10,940	-10,910	-10,910	-1,802	-1,792	-1,789	-1,7941
28-4-14 11:30	26,87	596,07	597,79	598,65	-11,170	-11,140	-11,140	-1,839	-1,829	-1,827	-1,8319
28-4-14 15:30	27,03	596,07	597,78	598,65	-11,170	-11,150	-11,140	-1,839	-1,831	-1,827	-1,8325
29-4-14 14:45	28,00	596,02	597,74	598,60	-11,220	-11,190	-11,190	-1,848	-1,838	-1,835	-1,8401

5-EUC

DRY

Data	Time (min)	Measure			Mass difference (Dg)			% weight lost			Average
		FREE-1	FREE-2	FREE-3	FREE-1	FREE-2	FREE-3	FREE-1	FREE-2	FREE-3	
		(g)			(g)			%			
16-4-14 13:35	0,00	570,47	577,68	588,31	0,000	0,000	0,000	0,000	0,000	0,000	0,0000
16-4-14 14:15	0,03	569,54	576,87	587,53	-0,930	-0,810	-0,780	-0,163	-0,140	-0,133	-0,1453
16-4-14 14:35	0,04	569,10	576,45	587,11	-1,370	-1,230	-1,200	-0,240	-0,213	-0,204	-0,2190
16-4-14 15:05	0,06	568,59	575,96	586,65	-1,880	-1,720	-1,660	-0,330	-0,298	-0,282	-0,3032
16-4-14 15:35	0,08	568,16	575,55	586,22	-2,310	-2,130	-2,090	-0,405	-0,369	-0,355	-0,3763
16-4-14 16:05	0,10	567,75	575,17	585,85	-2,720	-2,510	-2,460	-0,477	-0,434	-0,418	-0,4431
16-4-14 16:35	0,13	567,37	574,80	585,48	-3,100	-2,880	-2,830	-0,543	-0,499	-0,481	-0,5077
17-4-14 12:20	0,95	561,81	569,22	579,96	-8,660	-8,460	-8,350	-1,518	-1,464	-1,419	-1,4673
17-4-14 12:50	0,97	561,72	569,12	579,87	-8,750	-8,560	-8,440	-1,534	-1,482	-1,435	-1,4834
17-4-14 13:20	0,99	561,65	569,05	579,78	-8,820	-8,630	-8,530	-1,546	-1,494	-1,450	-1,4966
17-4-14 13:50	1,01	561,78	568,97	579,70	-8,690	-8,710	-8,610	-1,523	-1,508	-1,464	-1,4982
17-4-14 14:20	1,03	561,50	568,89	579,62	-8,970	-8,790	-8,690	-1,572	-1,522	-1,477	-1,5237
17-4-14 14:50	1,05	561,43	568,82	579,54	-9,040	-8,860	-8,770	-1,585	-1,534	-1,491	-1,5364
17-4-14 15:20	1,07	561,36	568,73	579,45	-9,110	-8,950	-8,860	-1,597	-1,549	-1,506	-1,5507
18-4-14 11:45	1,92	559,32	566,66	577,33	-11,150	-11,020	-10,980	-1,955	-1,908	-1,866	-1,9095
18-4-14 14:35	2,04	559,11	566,45	577,11	-11,360	-11,230	-11,200	-1,991	-1,944	-1,904	-1,9464
22-4-14 11:05	5,90	555,46	562,77	573,38	-15,010	-14,910	-14,930	-2,631	-2,581	-2,538	-2,5833
23-4-14 10:30	6,87	554,99	562,27	572,87	-15,480	-15,410	-15,440	-2,714	-2,668	-2,624	-2,6685
23-4-14 13:30	7,00	554,94	562,22	572,81	-15,530	-15,460	-15,500	-2,722	-2,676	-2,635	-2,6777
24-4-14 15:20	8,07	554,52	561,81	572,39	-15,950	-15,870	-15,920	-2,796	-2,747	-2,706	-2,7497
24-4-14 16:20	8,11	554,50	561,78	572,37	-15,970	-15,900	-15,940	-2,799	-2,752	-2,709	-2,7538
28-4-14 11:30	11,91	553,46	560,72	571,28	-17,010	-16,960	-17,030	-2,982	-2,936	-2,895	-2,9375
28-4-14 13:30	12,00	553,44	560,70	571,26	-17,030	-16,980	-17,050	-2,985	-2,939	-2,898	-2,9409
28-4-14 15:30	12,08	553,42	560,67	571,23	-17,050	-17,010	-17,080	-2,989	-2,945	-2,903	-2,9455
29-4-14 12:00	12,93	553,26	560,51	571,06	-17,210	-17,170	-17,250	-3,017	-2,972	-2,932	-2,9737
29-4-14 14:00	13,02	553,24	560,49	571,04	-17,230	-17,190	-17,270	-3,020	-2,976	-2,936	-2,9772
30-4-14 13:00	13,98	553,08	560,33	570,87	-17,390	-17,350	-17,440	-3,048	-3,003	-2,964	-3,0054
30-4-14 15:30	14,08	553,06	560,31	570,86	-17,410	-17,370	-17,450	-3,052	-3,007	-2,966	-3,0083
5-5-14 10:50	18,89	552,94	560,21	570,71	-17,530	-17,470	-17,600	-3,073	-3,024	-2,992	-3,0296
5-5-14 12:50	18,97	552,86	560,12	570,62	-17,610	-17,560	-17,690	-3,087	-3,040	-3,007	-3,0445
5-5-14 16:00	19,10	552,81	560,06	570,57	-17,660	-17,620	-17,740	-3,096	-3,050	-3,015	-3,0537
6-5-14 13:30	20,00	552,64	559,88	570,37	-17,830	-17,800	-17,940	-3,125	-3,081	-3,049	-3,0854
6-5-14 15:00	20,06	552,62	559,86	570,36	-17,850	-17,820	-17,950	-3,129	-3,085	-3,051	-3,0883
7-5-14 9:40	20,84	552,51	559,75	570,24	-17,960	-17,930	-18,070	-3,148	-3,104	-3,072	-3,1079
7-5-14 15:00	21,06	552,47	559,70	570,20	-18,000	-17,980	-18,110	-3,155	-3,112	-3,078	-3,1154

8-5-14 15:00	22,06	552,35	559,57	570,06	-18,120	-18,110	-18,250	-3,176	-3,135	-3,102	-3,1378
9-5-14 13:10	22,98	552,26	559,47	569,96	-18,210	-18,210	-18,350	-3,192	-3,152	-3,119	-3,1545
12-5-14 15:00	26,06	552,04	559,24	569,72	-18,430	-18,440	-18,590	-3,231	-3,192	-3,160	-3,1942
13-5-14 16:00	27,10	551,96	559,16	569,64	-18,510	-18,520	-18,670	-3,245	-3,206	-3,173	-3,2080
14-5-14 16:00	28,10	551,89	559,09	569,56	-18,580	-18,590	-18,750	-3,257	-3,218	-3,187	-3,2207

6-NANO DRY

Data	Time	Measure			Mass difference (Dg)			% weight lost			Average
		FREE-1	FREE-2	FREE-3	FREE-1	FREE-2	FREE-3	FREE-1	FREE-2	FREE-3	
	(min)	(g)		(g)			%			%	
8-4-14 14:40	0,00	589,97	593,48	593,72	0,000	0,000	0,000	0,000	0,000	0,000	0,0000
8-4-14 15:00	0,01	589,29	592,85	593,08	-0,680	-0,630	-0,640	-0,115	-0,106	-0,108	-0,1097
8-4-14 15:30	0,03	588,96	592,44	593,73	-1,010	-1,040	0,010	-0,171	-0,175	0,002	-0,1149
8-4-14 16:00	0,06	588,46	592,01	592,31	-1,510	-1,470	-1,410	-0,256	-0,248	-0,237	-0,2470
8-4-14 16:30	0,08	588,18	591,75	592,06	-1,790	-1,730	-1,660	-0,303	-0,292	-0,280	-0,2915
8-4-14 17:00	0,10	587,89	591,48	591,77	-2,080	-2,000	-1,950	-0,353	-0,337	-0,328	-0,3393
8-4-14 17:30	0,12	587,67	591,26	591,56	-2,300	-2,220	-2,160	-0,390	-0,374	-0,364	-0,3759
9-4-14 11:00	0,85	584,35	587,96	588,26	-5,620	-5,520	-5,460	-0,953	-0,930	-0,920	-0,9341
9-4-14 11:30	0,87	584,30	587,90	588,20	-5,670	-5,580	-5,520	-0,961	-0,940	-0,930	-0,9437
9-4-14 12:15	0,90	584,22	587,83	588,13	-5,750	-5,650	-5,590	-0,975	-0,952	-0,942	-0,9561
9-4-14 13:00	0,93	584,15	587,75	588,05	-5,820	-5,730	-5,670	-0,986	-0,965	-0,955	-0,9690
9-4-14 14:00	0,97	584,05	587,66	587,96	-5,920	-5,820	-5,760	-1,003	-0,981	-0,970	-0,9848
9-4-14 15:00	1,01	583,97	587,57	587,87	-6,000	-5,910	-5,850	-1,017	-0,996	-0,985	-0,9994
9-4-14 16:00	1,06	583,88	587,48	587,78	-6,090	-6,000	-5,940	-1,032	-1,011	-1,000	-1,0146
9-4-14 16:30	1,08	583,85	587,45	587,76	-6,120	-6,030	-5,960	-1,037	-1,016	-1,004	-1,0191
9-4-14 17:00	1,10	583,81	587,40	587,71	-6,160	-6,080	-6,010	-1,044	-1,024	-1,012	-1,0269
10-4-14 12:20	1,90	582,59	586,21	586,53	-7,380	-7,270	-7,190	-1,251	-1,225	-1,211	-1,2290
10-4-14 13:20	1,94	582,54	586,16	586,48	-7,430	-7,320	-7,240	-1,259	-1,233	-1,219	-1,2374
10-4-14 14:20	1,99	582,49	586,10	586,42	-7,480	-7,380	-7,300	-1,268	-1,244	-1,230	-1,2470
10-4-14 15:20	2,03	582,43	586,05	586,37	-7,540	-7,430	-7,350	-1,278	-1,252	-1,238	-1,2560
10-4-14 16:20	2,07	582,38	586,00	586,32	-7,590	-7,480	-7,400	-1,287	-1,260	-1,246	-1,2644
10-4-14 17:20	2,11	582,33	585,95	586,26	-7,640	-7,530	-7,460	-1,295	-1,269	-1,256	-1,2734
11-4-14 11:30	2,87	581,62	585,23	585,56	-8,350	-8,250	-8,160	-1,415	-1,390	-1,374	-1,3933
11-4-14 12:30	2,91	581,58	585,18	585,50	-8,390	-8,300	-8,220	-1,422	-1,399	-1,384	-1,4017
11-4-14 13:30	2,95	581,54	585,16	585,48	-8,430	-8,320	-8,240	-1,429	-1,402	-1,388	-1,4062
11-4-14 14:30	2,99	581,51	585,13	585,45	-8,460	-8,350	-8,270	-1,434	-1,407	-1,393	-1,4113
11-4-14 15:30	3,03	581,48	585,10	585,42	-8,490	-8,380	-8,300	-1,439	-1,412	-1,398	-1,4163
11-4-14 16:30	3,08	581,45	585,07	585,38	-8,520	-8,410	-8,340	-1,444	-1,417	-1,405	-1,4220
14-4-14 12:00	5,89	579,92	583,55	583,87	-10,050	-9,930	-9,850	-1,703	-1,673	-1,659	-1,6786
14-4-14 13:00	5,93	579,90	583,53	583,84	-10,070	-9,950	-9,880	-1,707	-1,677	-1,664	-1,6825
14-4-14 14:00	5,97	579,88	583,51	583,82	-10,090	-9,970	-9,900	-1,710	-1,680	-1,667	-1,6859

14-4-14 15:00	6,01	579,85	583,48	583,80	-10,120	-10,000	-9,920	-1,715	-1,685	-1,671	-1,6904
14-4-14 16:00	6,06	579,84	583,47	583,79	-10,130	-10,010	-9,930	-1,717	-1,687	-1,673	-1,6921
15-4-14 13:00	6,93	579,55	583,18	583,49	-10,420	-10,300	-10,230	-1,766	-1,736	-1,723	-1,7416
15-4-14 14:00	6,97	579,54	583,16	583,48	-10,430	-10,320	-10,240	-1,768	-1,739	-1,725	-1,7438
15-4-14 15:00	7,01	579,52	583,16	583,47	-10,450	-10,320	-10,250	-1,771	-1,739	-1,726	-1,7455
15-4-14 16:00	7,06	579,52	583,14	583,45	-10,450	-10,340	-10,270	-1,771	-1,742	-1,730	-1,7478
15-4-14 17:00	7,10	579,50	583,12	583,44	-10,470	-10,360	-10,280	-1,775	-1,746	-1,731	-1,7506
16-4-14 13:15	7,94	579,25	582,87	583,19	-10,720	-10,610	-10,530	-1,817	-1,788	-1,774	-1,7928
16-4-14 14:15	7,98	579,24	582,86	583,18	-10,730	-10,620	-10,540	-1,819	-1,789	-1,775	-1,7945
16-4-14 15:15	8,02	579,23	582,85	583,17	-10,740	-10,630	-10,550	-1,820	-1,791	-1,777	-1,7962
16-4-14 16:15	8,07	579,23	582,85	583,17	-10,740	-10,630	-10,550	-1,820	-1,791	-1,777	-1,7962
17-4-14 12:20	8,90	579,03	582,65	582,98	-10,940	-10,830	-10,740	-1,854	-1,825	-1,809	-1,8294
17-4-14 13:20	8,94	579,02	582,64	582,97	-10,950	-10,840	-10,750	-1,856	-1,827	-1,811	-1,8311
17-4-14 14:20	8,99	579,01	582,63	582,95	-10,960	-10,850	-10,770	-1,858	-1,828	-1,814	-1,8333
17-4-14 15:20	9,03	579,00	582,62	582,94	-10,970	-10,860	-10,780	-1,859	-1,830	-1,816	-1,8350
18-4-14 11:45	9,88	578,83	582,45	582,77	-11,140	-11,030	-10,950	-1,888	-1,859	-1,844	-1,8637
18-4-14 14:35	10,00	578,81	582,43	582,75	-11,160	-11,050	-10,970	-1,892	-1,862	-1,848	-1,8671
22-4-14 11:05	13,85	578,22	581,83	582,15	-11,750	-11,650	-11,570	-1,992	-1,963	-1,949	-1,9678
23-4-14 10:30	14,83	578,11	581,73	582,05	-11,860	-11,750	-11,670	-2,010	-1,980	-1,966	-1,9852
23-4-14 13:30	14,95	578,09	581,71	582,03	-11,880	-11,770	-11,690	-2,014	-1,983	-1,969	-1,9886
24-4-14 15:20	16,03	577,99	581,60	581,92	-11,980	-11,880	-11,800	-2,031	-2,002	-1,987	-2,0066
24-4-14 16:20	16,07	577,98	581,59	581,91	-11,990	-11,890	-11,810	-2,032	-2,003	-1,989	-2,0083
28-4-14 11:30	19,87	577,66	581,26	581,57	-12,310	-12,220	-12,150	-2,087	-2,059	-2,046	-2,0640
28-4-14 13:30	19,95	577,65	581,26	581,57	-12,320	-12,220	-12,150	-2,088	-2,059	-2,046	-2,0646
28-4-14 15:30	20,03	577,64	581,24	581,56	-12,330	-12,240	-12,160	-2,090	-2,062	-2,048	-2,0668
29-4-14 12:00	20,89	577,59	581,20	581,51	-12,380	-12,280	-12,210	-2,098	-2,069	-2,057	-2,0747
29-4-14 14:00	20,97	577,57	581,19	581,50	-12,400	-12,290	-12,220	-2,102	-2,071	-2,058	-2,0769
30-4-14 13:00	21,93	577,52	581,13	581,44	-12,450	-12,350	-12,280	-2,110	-2,081	-2,068	-2,0865
30-4-14 15:30	22,03	577,53	581,14	581,45	-12,440	-12,340	-12,270	-2,109	-2,079	-2,067	-2,0848
5-5-14 10:50	26,84	577,55	581,14	581,47	-12,420	-12,340	-12,250	-2,105	-2,079	-2,063	-2,0826
5-5-14 12:50	26,92	577,49	581,10	581,41	-12,480	-12,380	-12,310	-2,115	-2,086	-2,073	-2,0916
5-5-14 16:00	27,06	577,46	581,06	581,38	-12,510	-12,420	-12,340	-2,120	-2,093	-2,078	-2,0972
6-5-14 13:30	27,95	577,38	580,98	581,30	-12,590	-12,500	-12,420	-2,134	-2,106	-2,092	-2,1107
6-5-14 15:00	28,01	577,38	580,97	581,29	-12,590	-12,510	-12,430	-2,134	-2,108	-2,094	-2,1118

POW **DRY**

Data	Time (min)	Measure			Dim. difference (DL)			Deform			Average
		FREE-1	FREE-2	FREE-3	FREE-1	FREE-2	FREE-3	FREE-1	FREE-2	FREE-3	Deform
		(mm)			(mm)			(ε)			(με)
9-6-15 11:20	0,00	593,32	587,68	586,24	0,000	0,000	0,000	0,000	0,000	0,000	0,0000
9-6-15 12:00	0,03	592,71	587,11	585,64	-0,610	-0,570	-0,600	-0,103	-0,097	-0,102	-0,1007
9-6-15 13:15	0,08	592,13	586,45	584,99	-1,190	-1,230	-1,250	-0,201	-0,209	-0,213	-0,2077
9-6-15 13:50	0,10	591,86	586,16	584,72	-1,460	-1,520	-1,520	-0,246	-0,259	-0,259	-0,2547
9-6-15 14:20	0,13	591,69	585,99	584,53	-1,630	-1,690	-1,710	-0,275	-0,288	-0,292	-0,2847
9-6-15 15:00	0,15	591,48	585,77	584,32	-1,840	-1,910	-1,920	-0,310	-0,325	-0,328	-0,3209
9-6-15 15:35	0,18	591,29	585,60	584,13	-2,030	-2,080	-2,110	-0,342	-0,354	-0,360	-0,3520
10-6-15 10:50	0,98	588,30	582,64	581,12	-5,020	-5,040	-5,120	-0,846	-0,858	-0,873	-0,8590
10-6-15 11:30	1,01	588,21	582,57	581,04	-5,110	-5,110	-5,200	-0,861	-0,870	-0,887	-0,8726
10-6-15 12:10	1,03	588,15	582,52	580,98	-5,170	-5,160	-5,260	-0,871	-0,878	-0,897	-0,8822
10-6-15 12:50	1,06	588,08	582,46	580,91	-5,240	-5,220	-5,330	-0,883	-0,888	-0,909	-0,8935
10-6-15 13:40	1,10	588,02	582,39	580,85	-5,300	-5,290	-5,390	-0,893	-0,900	-0,919	-0,9043
10-6-15 14:20	1,13	587,97	582,35	580,80	-5,350	-5,330	-5,440	-0,902	-0,907	-0,928	-0,9122
10-6-15 15:05	1,16	587,93	582,31	580,77	-5,390	-5,370	-5,470	-0,908	-0,914	-0,933	-0,9184
11-6-15 15:05	2,16	586,47	580,80	579,32	-6,850	-6,880	-6,920	-1,155	-1,171	-1,180	-1,1685
11-6-15 15:55	2,19	586,43	580,77	579,28	-6,890	-6,910	-6,960	-1,161	-1,176	-1,187	-1,1748
12-6-15 9:45	2,93	585,64	579,98	578,45	-7,680	-7,700	-7,790	-1,294	-1,310	-1,329	-1,3112
12-6-15 10:35	2,97	585,59	579,93	578,42	-7,730	-7,750	-7,820	-1,303	-1,319	-1,334	-1,3185
12-6-15 13:45	3,10	585,48	579,83	578,30	-7,840	-7,850	-7,940	-1,321	-1,336	-1,354	-1,3372
12-6-15 15:05	3,16	585,44	579,77	578,25	-7,880	-7,910	-7,990	-1,328	-1,346	-1,363	-1,3457
15-6-15 10:30	5,97	583,76	578,09	576,55	-9,560	-9,590	-9,690	-1,611	-1,632	-1,653	-1,6320
15-6-15 13:00	6,07	583,72	578,04	576,50	-9,600	-9,640	-9,740	-1,618	-1,640	-1,661	-1,6399
15-6-15 15:40	6,18	583,67	578,00	576,45	-9,650	-9,680	-9,790	-1,626	-1,647	-1,670	-1,6479
16-6-15 9:40	6,93	583,39	577,71	576,17	-9,930	-9,970	-10,070	-1,674	-1,697	-1,718	-1,6960
16-6-15 15:15	7,16	583,31	577,63	576,09	-10,010	-10,050	-10,150	-1,687	-1,710	-1,731	-1,7095
17-6-15 9:50	7,94	583,03	577,38	575,83	-10,290	-10,300	-10,410	-1,734	-1,753	-1,776	-1,7542
17-6-15 14:10	8,12	582,98	577,32	575,77	-10,340	-10,360	-10,470	-1,743	-1,763	-1,786	-1,7639
22-6-15 12:15	13,04	581,96	576,30	574,73	-11,360	-11,380	-11,510	-1,915	-1,936	-1,963	-1,9381
23-6-15 10:05	13,95	581,83	576,16	574,60	-11,490	-11,520	-11,640	-1,937	-1,960	-1,986	-1,9608
23-6-15 15:40	14,18	581,79	576,13	574,56	-11,530	-11,550	-11,680	-1,943	-1,965	-1,992	-1,9670
24-6-15 10:20	14,96	581,70	576,03	574,45	-11,620	-11,650	-11,790	-1,958	-1,982	-2,011	-1,9840
24-6-15 15:35	15,18	581,65	575,99	574,41	-11,670	-11,690	-11,830	-1,967	-1,989	-2,018	-1,9913
25-6-15 12:05	16,03	581,80	576,08	574,59	-11,520	-11,600	-11,650	-1,942	-1,974	-1,987	-1,9676
26-6-15 10:15	16,95	581,88	576,17	574,64	-11,440	-11,510	-11,600	-1,928	-1,959	-1,979	-1,9551
26-6-15 15:20	17,17	581,89	576,18	574,66	-11,430	-11,500	-11,580	-1,926	-1,957	-1,975	-1,9529

29-6-15 9:35	19,93	582,04	576,35	574,81	-11,280	-11,330	-11,430	-1,901	-1,928	-1,950	-1,9263
29-6-15 14:45	20,14	582,07	576,36	574,83	-11,250	-11,320	-11,410	-1,896	-1,926	-1,946	-1,9229
30-6-15 10:20	20,96	582,12	576,41	574,88	-11,200	-11,270	-11,360	-1,888	-1,918	-1,938	-1,9144
30-6-15 14:55	21,15	582,12	576,40	574,88	-11,200	-11,280	-11,360	-1,888	-1,919	-1,938	-1,9150
1-7-15 9:50	21,94	582,16	576,45	574,92	-11,160	-11,230	-11,320	-1,881	-1,911	-1,931	-1,9076
1-7-15 13:50	22,10	582,18	576,48	574,94	-11,140	-11,200	-11,300	-1,878	-1,906	-1,928	-1,9036
2-7-15 9:50	22,94	582,23	576,25	574,97	-11,090	-11,430	-11,270	-1,869	-1,945	-1,922	-1,9122
2-7-15 15:10	23,16	582,27	576,51	574,99	-11,050	-11,170	-11,250	-1,862	-1,901	-1,919	-1,8940
3-7-15 8:50	23,90	582,32	576,56	575,05	-11,000	-11,120	-11,190	-1,854	-1,892	-1,909	-1,8850
6-7-15 9:40	26,93	582,47	576,63	575,17	-10,850	-11,050	-11,070	-1,829	-1,880	-1,888	-1,8658
6-7-15 15:30	27,17	582,47	576,64	575,18	-10,850	-11,040	-11,060	-1,829	-1,879	-1,887	-1,8646
7-7-15 10:55	27,98	582,51	576,76	575,26	-10,810	-10,920	-10,980	-1,822	-1,858	-1,873	-1,8510
7-7-15 15:30	28,17	582,53	576,77	575,26	-10,790	-10,910	-10,980	-1,819	-1,856	-1,873	-1,8493

ST+SIS.SAT	DRY
------------	-----

Data	Time (min)	Measure			Dim. difference (DL)			Deform			Average
		FREE-1	FREE-2	FREE-3	FREE-1	FREE-2	FREE-3	FREE-1	FREE-2	FREE-3	Deform
		(mm)	(mm)	(mm)	(mm)	(mm)	(mm)	(ε)	(ε)	(ε)	(με)
5-5-15 11:40	0,00	629,57	633,16	633,50	0,000	0,000	0,000	0,000	0,000	0,000	0,0000
5-5-15 12:10	0,02	628,91	632,42	632,82	-0,660	-0,740	-0,680	-0,105	-0,117	-0,107	-0,1097
5-5-15 12:40	0,04	628,45	632,01	632,41	-1,120	-1,150	-1,090	-0,178	-0,182	-0,172	-0,1772
5-5-15 13:10	0,06	628,04	631,63	631,94	-1,530	-1,530	-1,560	-0,243	-0,242	-0,246	-0,2436
5-5-15 13:40	0,08	627,72	631,28	631,57	-1,850	-1,880	-1,930	-0,294	-0,297	-0,305	-0,2985
5-5-15 14:10	0,10	627,44	630,98	631,20	-2,130	-2,180	-2,300	-0,338	-0,344	-0,363	-0,3486
5-5-15 14:40	0,13	627,09	630,67	630,93	-2,480	-2,490	-2,570	-0,394	-0,393	-0,406	-0,3976
5-5-15 15:10	0,15	626,86	630,39	630,64	-2,710	-2,770	-2,860	-0,430	-0,437	-0,451	-0,4398
5-5-15 15:40	0,17	626,58	630,12	630,40	-2,990	-3,040	-3,100	-0,475	-0,480	-0,489	-0,4815
5-5-15 16:10	0,19	626,34	629,85	630,16	-3,230	-3,310	-3,340	-0,513	-0,523	-0,527	-0,5210
5-5-15 16:40	0,21	626,12	629,64	629,97	-3,450	-3,520	-3,530	-0,548	-0,556	-0,557	-0,5537
6-5-15 10:20	0,94	622,43	625,99	626,41	-7,140	-7,170	-7,090	-1,134	-1,132	-1,119	-1,1286
6-5-15 10:50	0,97	622,38	625,94	626,37	-7,190	-7,220	-7,130	-1,142	-1,140	-1,125	-1,1360
6-5-15 11:20	0,99	622,32	625,88	626,28	-7,250	-7,280	-7,220	-1,152	-1,150	-1,140	-1,1470
6-5-15 11:50	1,01	622,25	625,81	626,21	-7,320	-7,350	-7,290	-1,163	-1,161	-1,151	-1,1581
6-5-15 12:20	1,03	622,19	625,75	626,15	-7,380	-7,410	-7,350	-1,172	-1,170	-1,160	-1,1676
6-5-15 12:50	1,05	622,14	625,70	626,09	-7,430	-7,460	-7,410	-1,180	-1,178	-1,170	-1,1760
6-5-15 13:20	1,07	622,07	625,63	626,02	-7,500	-7,530	-7,480	-1,191	-1,189	-1,181	-1,1871
6-5-15 13:50	1,09	622,04	625,59	625,98	-7,530	-7,570	-7,520	-1,196	-1,196	-1,187	-1,1929
6-5-15 14:20	1,11	621,98	625,52	625,91	-7,590	-7,640	-7,590	-1,206	-1,207	-1,198	-1,2034
6-5-15 14:50	1,13	621,92	625,47	625,86	-7,650	-7,690	-7,640	-1,215	-1,215	-1,206	-1,2119
6-5-15 15:20	1,15	621,86	625,42	625,81	-7,710	-7,740	-7,690	-1,225	-1,222	-1,214	-1,2203
6-5-15 15:50	1,17	621,81	625,37	625,76	-7,760	-7,790	-7,740	-1,233	-1,230	-1,222	-1,2282

6-5-15 16:20	1,19	621,76	625,31	625,70	-7,810	-7,850	-7,800	-1,241	-1,240	-1,231	-1,2372
7-5-15 10:20	1,94	620,39	623,96	624,34	-9,180	-9,200	-9,160	-1,458	-1,453	-1,446	-1,4524
7-5-15 11:20	1,99	620,32	623,84	624,26	-9,250	-9,320	-9,240	-1,469	-1,472	-1,459	-1,4666
7-5-15 12:20	2,03	620,27	623,79	624,20	-9,300	-9,370	-9,300	-1,477	-1,480	-1,468	-1,4750
7-5-15 13:20	2,07	620,21	623,73	624,14	-9,360	-9,430	-9,360	-1,487	-1,489	-1,478	-1,4845
7-5-15 14:20	2,11	620,15	623,67	624,09	-9,420	-9,490	-9,410	-1,496	-1,499	-1,485	-1,4935
7-5-15 15:20	2,15	620,09	623,60	624,02	-9,480	-9,560	-9,480	-1,506	-1,510	-1,496	-1,5040
11-5-15 14:50	6,13	617,21	620,73	621,13	-12,360	-12,430	-12,370	-1,963	-1,963	-1,953	-1,9597
11-5-15 16:50	6,22	617,18	620,70	621,09	-12,390	-12,460	-12,410	-1,968	-1,968	-1,959	-1,9650
12-5-15 10:20	6,94	616,92	620,43	620,83	-12,650	-12,730	-12,670	-2,009	-2,011	-2,000	-2,0066
12-5-15 12:20	7,03	616,89	620,39	620,80	-12,680	-12,770	-12,700	-2,014	-2,017	-2,005	-2,0119
12-5-15 14:20	7,11	616,86	620,37	620,79	-12,710	-12,790	-12,710	-2,019	-2,020	-2,006	-2,0151
12-5-15 16:20	7,19	616,83	620,35	620,75	-12,740	-12,810	-12,750	-2,024	-2,023	-2,013	-2,0198
13-5-15 10:00	7,93	616,60	620,12	620,52	-12,970	-13,040	-12,980	-2,060	-2,060	-2,049	-2,0562
13-5-15 12:00	8,01	616,58	620,09	620,49	-12,990	-13,070	-13,010	-2,063	-2,064	-2,054	-2,0604
13-5-15 14:00	8,10	616,56	620,06	620,46	-13,010	-13,100	-13,040	-2,066	-2,069	-2,058	-2,0646
14-5-15 8:50	8,88	616,35	619,86	620,27	-13,220	-13,300	-13,230	-2,100	-2,101	-2,088	-2,0963
14-5-15 10:50	8,97	616,33	619,84	620,24	-13,240	-13,320	-13,260	-2,103	-2,104	-2,093	-2,1000
14-5-15 12:50	9,05	616,31	619,82	620,23	-13,260	-13,340	-13,270	-2,106	-2,107	-2,095	-2,1026
15-5-15 9:00	9,89	616,12	619,63	620,04	-13,450	-13,530	-13,460	-2,136	-2,137	-2,125	-2,1327
15-5-15 11:00	9,97	616,09	619,61	620,01	-13,480	-13,550	-13,490	-2,141	-2,140	-2,129	-2,1369
15-5-15 13:00	10,06	616,08	619,60	619,99	-13,490	-13,560	-13,510	-2,143	-2,142	-2,133	-2,1390
18-5-15 8:50	12,88	615,59	619,11	619,51	-13,980	-14,050	-13,990	-2,221	-2,219	-2,208	-2,2160
18-5-15 15:50	13,17	615,55	619,07	619,45	-14,020	-14,090	-14,050	-2,227	-2,225	-2,218	-2,2234
19-5-15 12:10	14,02	615,42	618,95	619,35	-14,150	-14,210	-14,150	-2,248	-2,244	-2,234	-2,2418
19-5-15 14:10	14,10	615,42	618,94	619,35	-14,150	-14,220	-14,150	-2,248	-2,246	-2,234	-2,2424
19-5-15 16:10	14,19	615,42	618,94	619,35	-14,150	-14,220	-14,150	-2,248	-2,246	-2,234	-2,2424
20-5-15 11:10	14,98	615,35	618,90	619,27	-14,220	-14,260	-14,230	-2,259	-2,252	-2,246	-2,2524
20-5-15 13:10	15,06	615,34	618,89	619,27	-14,230	-14,270	-14,230	-2,260	-2,254	-2,246	-2,2534
21-5-15 10:00	15,93	615,16	618,75	619,14	-14,410	-14,410	-14,360	-2,289	-2,276	-2,267	-2,2772
21-5-15 12:00	16,01	615,15	618,75	619,13	-14,420	-14,410	-14,370	-2,290	-2,276	-2,268	-2,2782
25-5-15 8:50	19,88	614,88	618,40	618,81	-14,690	-14,760	-14,690	-2,333	-2,331	-2,319	-2,3278
25-5-15 12:45	20,05	614,85	618,37	618,79	-14,720	-14,790	-14,710	-2,338	-2,336	-2,322	-2,3320
26-5-15 10:25	20,95	614,78	618,31	618,71	-14,790	-14,850	-14,790	-2,349	-2,345	-2,335	-2,3431
26-5-15 12:25	21,03	614,78	618,30	618,71	-14,790	-14,860	-14,790	-2,349	-2,347	-2,335	-2,3436
26-5-15 15:25	21,16	614,78	618,30	618,71	-14,790	-14,860	-14,790	-2,349	-2,347	-2,335	-2,3436
27-5-15 11:05	21,98	614,73	618,24	618,66	-14,840	-14,920	-14,840	-2,357	-2,356	-2,343	-2,3520
27-5-15 13:05	22,06	614,71	618,23	618,65	-14,860	-14,930	-14,850	-2,360	-2,358	-2,344	-2,3542
27-5-15 15:05	22,14	614,71	618,23	618,65	-14,860	-14,930	-14,850	-2,360	-2,358	-2,344	-2,3542
28-5-15 10:50	22,97	614,65	618,18	618,60	-14,920	-14,980	-14,900	-2,370	-2,366	-2,352	-2,3626
28-5-15 12:50	23,05	614,64	618,17	618,58	-14,930	-14,990	-14,920	-2,371	-2,367	-2,355	-2,3647
28-5-15 14:50	23,13	614,63	618,16	618,57	-14,940	-15,000	-14,930	-2,373	-2,369	-2,357	-2,3663
29-5-15 11:40	24,00	614,58	618,11	618,50	-14,990	-15,050	-15,000	-2,381	-2,377	-2,368	-2,3753

29-5-15 13:45	24,09	614,57	618,09	618,50	-15,000	-15,070	-15,000	-2,383	-2,380	-2,368	-2,3768
29-5-15 13:45	24,09	614,57	618,09	618,50	-15,000	-15,070	-15,000	-2,383	-2,380	-2,368	-2,3768
3-6-15 10:40	28,96	614,32	617,85	618,26	-15,250	-15,310	-15,240	-2,422	-2,418	-2,406	-2,4153

ST+SIS.NS		DRY									
Data	Time (min)	Measure			Dim. difference (DL)			Deform			Average
		FREE-1	FREE-2	FREE-3	FREE-1	FREE-2	FREE-3	FREE-1	FREE-2	FREE-3	Deform
		(mm)	(mm)	(mm)	(mm)	(mm)	(mm)	(ε)	(ε)	(ε)	(με)
5-5-15 11:40	0,00	611,18	611,08	610,94	0,000	0,000	0,000	0,000	0,000	0,000	0,0000
5-5-15 12:10	0,02	610,68	610,56	610,36	-0,500	-0,520	-0,580	-0,082	-0,085	-0,095	-0,0873
5-5-15 12:40	0,04	610,22	610,11	609,88	-0,960	-0,970	-1,060	-0,157	-0,159	-0,174	-0,1631
5-5-15 13:10	0,06	609,75	609,69	609,50	-1,430	-1,390	-1,440	-0,234	-0,227	-0,236	-0,2324
5-5-15 13:40	0,08	609,35	609,29	609,10	-1,830	-1,790	-1,840	-0,299	-0,293	-0,301	-0,2978
5-5-15 14:10	0,10	609,01	608,95	608,75	-2,170	-2,130	-2,190	-0,355	-0,349	-0,358	-0,3540
5-5-15 14:40	0,13	608,69	608,63	608,45	-2,490	-2,450	-2,490	-0,407	-0,401	-0,408	-0,4053
5-5-15 15:10	0,15	608,40	608,33	608,15	-2,780	-2,750	-2,790	-0,455	-0,450	-0,457	-0,4539
5-5-15 15:40	0,17	608,18	608,11	607,92	-3,000	-2,970	-3,020	-0,491	-0,486	-0,494	-0,4904
5-5-15 16:10	0,19	607,90	607,86	607,67	-3,280	-3,220	-3,270	-0,537	-0,527	-0,535	-0,5329
5-5-15 16:40	0,21	607,70	607,66	607,45	-3,480	-3,420	-3,490	-0,569	-0,560	-0,571	-0,5668
6-5-15 10:20	0,94	603,95	603,90	603,65	-7,230	-7,180	-7,290	-1,183	-1,175	-1,193	-1,1837
6-5-15 10:50	0,97	603,90	603,84	603,60	-7,280	-7,240	-7,340	-1,191	-1,185	-1,201	-1,1925
6-5-15 11:20	0,99	603,83	603,77	603,53	-7,350	-7,310	-7,410	-1,203	-1,196	-1,213	-1,2039
6-5-15 11:50	1,01	603,75	603,70	603,46	-7,430	-7,380	-7,480	-1,216	-1,208	-1,224	-1,2159
6-5-15 12:20	1,03	603,70	603,65	603,41	-7,480	-7,430	-7,530	-1,224	-1,216	-1,233	-1,2241
6-5-15 12:50	1,05	603,63	603,58	603,34	-7,550	-7,500	-7,600	-1,235	-1,227	-1,244	-1,2355
6-5-15 13:20	1,07	603,56	603,51	603,27	-7,620	-7,570	-7,670	-1,247	-1,239	-1,255	-1,2470
6-5-15 13:50	1,09	603,50	603,45	603,22	-7,680	-7,630	-7,720	-1,257	-1,249	-1,264	-1,2563
6-5-15 14:20	1,11	603,45	603,40	603,17	-7,730	-7,680	-7,770	-1,265	-1,257	-1,272	-1,2645
6-5-15 14:50	1,13	603,38	603,33	603,10	-7,800	-7,750	-7,840	-1,276	-1,268	-1,283	-1,2759
6-5-15 15:20	1,15	603,33	603,29	603,05	-7,850	-7,790	-7,890	-1,284	-1,275	-1,291	-1,2835
6-5-15 15:50	1,17	603,28	603,23	603,01	-7,900	-7,850	-7,930	-1,293	-1,285	-1,298	-1,2917
6-5-15 16:20	1,19	603,24	603,19	602,96	-7,940	-7,890	-7,980	-1,299	-1,291	-1,306	-1,2988
7-5-15 10:15	1,94	601,88	601,81	601,57	-9,300	-9,270	-9,370	-1,522	-1,517	-1,534	-1,5241
7-5-15 11:15	1,98	601,82	601,74	601,50	-9,360	-9,340	-9,440	-1,531	-1,528	-1,545	-1,5350
7-5-15 12:15	2,02	601,75	601,68	601,44	-9,430	-9,400	-9,500	-1,543	-1,538	-1,555	-1,5454
7-5-15 13:15	2,07	601,69	601,61	601,37	-9,490	-9,470	-9,570	-1,553	-1,550	-1,566	-1,5563
7-5-15 14:15	2,11	601,64	601,57	601,33	-9,540	-9,510	-9,610	-1,561	-1,556	-1,573	-1,5634
7-5-15 15:15	2,15	601,57	601,50	601,26	-9,610	-9,580	-9,680	-1,572	-1,568	-1,584	-1,5748
11-5-15 14:45	6,13	598,64	598,59	598,35	-12,540	-12,490	-12,590	-2,052	-2,044	-2,061	-2,0521
11-5-15 16:45	6,21	598,59	598,54	598,30	-12,590	-12,540	-12,640	-2,060	-2,052	-2,069	-2,0603
12-5-15 10:15	6,94	598,31	598,26	598,02	-12,870	-12,820	-12,920	-2,106	-2,098	-2,115	-2,1062

12-5-15 12:15	7,02	598,28	598,23	598,00	-12,900	-12,850	-12,940	-2,111	-2,103	-2,118	-2,1105
12-5-15 14:15	7,11	598,24	598,20	597,95	-12,940	-12,880	-12,990	-2,117	-2,108	-2,126	-2,1171
12-5-15 16:15	7,19	598,22	598,18	597,92	-12,960	-12,900	-13,020	-2,120	-2,111	-2,131	-2,1209
13-5-15 10:00	7,93	597,97	597,93	597,68	-13,210	-13,150	-13,260	-2,161	-2,152	-2,170	-2,1612
13-5-15 12:00	8,01	597,94	597,90	597,66	-13,240	-13,180	-13,280	-2,166	-2,157	-2,174	-2,1656
13-5-15 14:00	8,10	597,92	597,88	597,63	-13,260	-13,200	-13,310	-2,170	-2,160	-2,179	-2,1694
14-5-15 8:45	8,88	597,71	597,67	597,43	-13,470	-13,410	-13,510	-2,204	-2,194	-2,211	-2,2033
14-5-15 10:45	8,96	597,69	597,64	597,40	-13,490	-13,440	-13,540	-2,207	-2,199	-2,216	-2,2076
14-5-15 12:45	9,05	597,67	597,63	597,38	-13,510	-13,450	-13,560	-2,210	-2,201	-2,220	-2,2103
15-5-15 9:00	9,89	597,47	597,43	597,18	-13,710	-13,650	-13,760	-2,243	-2,234	-2,252	-2,2431
15-5-15 11:00	9,97	597,45	597,41	597,16	-13,730	-13,670	-13,780	-2,246	-2,237	-2,256	-2,2463
15-5-15 13:30	10,08	597,43	597,40	597,14	-13,750	-13,680	-13,800	-2,250	-2,239	-2,259	-2,2491
18-5-15 8:50	12,88	596,92	596,88	596,63	-14,260	-14,200	-14,310	-2,333	-2,324	-2,342	-2,3331
18-5-15 15:50	13,17	596,86	596,83	596,59	-14,320	-14,250	-14,350	-2,343	-2,332	-2,349	-2,3413
19-5-15 12:15	14,02	596,75	596,73	596,48	-14,430	-14,350	-14,460	-2,361	-2,348	-2,367	-2,3587
19-5-15 14:10	14,10	596,74	596,71	596,46	-14,440	-14,370	-14,480	-2,363	-2,352	-2,370	-2,3614
19-5-15 16:10	14,19	596,74	596,72	596,47	-14,440	-14,360	-14,470	-2,363	-2,350	-2,368	-2,3604
20-5-15 11:05	14,98	596,66	596,63	596,38	-14,520	-14,450	-14,560	-2,376	-2,365	-2,383	-2,3745
20-5-15 13:05	15,06	596,66	596,62	596,37	-14,520	-14,460	-14,570	-2,376	-2,366	-2,385	-2,3756
21-5-15 10:00	15,93	596,57	596,56	596,30	-14,610	-14,520	-14,640	-2,390	-2,376	-2,396	-2,3876
21-5-15 12:00	16,01	596,56	596,55	596,29	-14,620	-14,530	-14,650	-2,392	-2,378	-2,398	-2,3893
21-5-15 14:00	16,10	596,56	596,54	596,29	-14,620	-14,540	-14,650	-2,392	-2,379	-2,398	-2,3898
25-5-15 8:50	19,88	596,18	596,15	595,92	-15,000	-14,930	-15,020	-2,454	-2,443	-2,459	-2,4520
25-5-15 12:40	20,04	596,15	596,13	595,89	-15,030	-14,950	-15,050	-2,459	-2,446	-2,463	-2,4564
26-5-15 10:30	20,95	596,08	596,06	595,82	-15,100	-15,020	-15,120	-2,471	-2,458	-2,475	-2,4678
26-5-15 12:35	21,04	596,07	596,06	595,81	-15,110	-15,020	-15,130	-2,472	-2,458	-2,477	-2,4689
26-5-15 15:15	21,15	596,07	596,06	595,80	-15,110	-15,020	-15,140	-2,472	-2,458	-2,478	-2,4695
27-5-15 11:00	21,97	596,00	595,99	595,73	-15,180	-15,090	-15,210	-2,484	-2,469	-2,490	-2,4809
27-5-15 13:00	22,06	596,00	595,99	595,73	-15,180	-15,090	-15,210	-2,484	-2,469	-2,490	-2,4809
27-5-15 15:00	22,14	595,99	595,97	595,72	-15,190	-15,110	-15,220	-2,485	-2,473	-2,491	-2,4831
28-5-15 10:55	22,97	595,94	595,92	595,67	-15,240	-15,160	-15,270	-2,494	-2,481	-2,499	-2,4913
28-5-15 12:55	23,05	595,92	595,91	595,66	-15,260	-15,170	-15,280	-2,497	-2,482	-2,501	-2,4935
28-5-15 14:55	23,14	595,92	595,90	595,66	-15,260	-15,180	-15,280	-2,497	-2,484	-2,501	-2,4940
29-5-15 11:45	24,00	595,87	595,86	595,60	-15,310	-15,220	-15,340	-2,505	-2,491	-2,511	-2,5022
29-5-15 13:50	24,09	595,86	595,85	595,59	-15,320	-15,230	-15,350	-2,507	-2,492	-2,513	-2,5038
29-5-15 15:50	24,17	595,86	595,84	595,59	-15,320	-15,240	-15,350	-2,507	-2,494	-2,513	-2,5044
3-6-15 10:35	28,95	595,58	595,57	595,31	-15,600	-15,510	-15,630	-2,552	-2,538	-2,558	-2,5496

ST+EUC

DRY

Data	Time (min)	Measure			Dim. difference (DL)			Deform			Average
		FREE-1	FREE-2	FREE-3	FREE-1	FREE-2	FREE-3	FREE-1	FREE-2	FREE-3	Deform
		(mm)			(mm)			(ε)			(με)
19-5-15 12:20	0,00	596,62	601,34	606,02	0,000	0,000	0,000	0,000	0,000	0,000	0,0000 €
19-5-15 12:50	0,02	596,25	600,92	605,63	-0,370	-0,420	-0,390	-0,062	-0,070	-0,064	-0,0654 €
19-5-15 13:25	0,05	595,65	600,31	605,02	-0,970	-1,030	-1,000	-0,163	-0,171	-0,165	-0,1663 €
19-5-15 13:50	0,06	595,31	599,97	604,70	-1,310	-1,370	-1,320	-0,220	-0,228	-0,218	-0,2217 €
19-5-15 14:30	0,09	594,82	599,47	604,22	-1,800	-1,870	-1,800	-0,302	-0,311	-0,297	-0,3032 €
19-5-15 14:50	0,10	594,53	599,22	603,95	-2,090	-2,120	-2,070	-0,350	-0,353	-0,342	-0,3481 €
19-5-15 15:20	0,13	594,07	598,77	603,51	-2,550	-2,570	-2,510	-0,427	-0,427	-0,414	-0,4230 €
19-5-15 15:50	0,15	593,91	598,59	603,33	-2,710	-2,750	-2,690	-0,454	-0,457	-0,444	-0,4518 €
19-5-15 16:20	0,17	593,56	598,23	602,99	-3,060	-3,110	-3,030	-0,513	-0,517	-0,500	-0,5100 €
20-5-15 11:20	0,96	588,45	593,05	597,86	-8,170	-8,290	-8,160	-1,369	-1,379	-1,346	-1,3648 €
20-5-15 11:55	0,98	588,38	592,96	597,77	-8,240	-8,380	-8,250	-1,381	-1,394	-1,361	-1,3787 €
20-5-15 12:20	1,00	588,31	592,89	597,69	-8,310	-8,450	-8,330	-1,393	-1,405	-1,375	-1,3909 €
20-5-15 12:45	1,02	588,24	592,82	597,62	-8,380	-8,520	-8,400	-1,405	-1,417	-1,386	-1,4025 €
20-5-15 13:15	1,04	588,14	592,73	597,53	-8,480	-8,610	-8,490	-1,421	-1,432	-1,401	-1,4180 €
20-5-15 14:15	1,08	588,01	592,59	597,39	-8,610	-8,750	-8,630	-1,443	-1,455	-1,424	-1,4408 €
20-5-15 14:45	1,10	587,93	592,51	597,32	-8,690	-8,830	-8,700	-1,457	-1,468	-1,436	-1,4535 €
20-5-15 15:15	1,12	587,85	592,43	597,23	-8,770	-8,910	-8,790	-1,470	-1,482	-1,450	-1,4674 €
21-5-15 10:15	1,91	586,55	591,65	596,43	-10,070	-9,690	-9,590	-1,688	-1,611	-1,582	-1,6272 €
21-5-15 11:15	1,95	586,51	591,59	596,38	-10,110	-9,750	-9,640	-1,695	-1,621	-1,591	-1,6355 €
21-5-15 12:15	2,00	586,48	591,54	596,35	-10,140	-9,800	-9,670	-1,700	-1,630	-1,596	-1,6416 €
21-5-15 13:15	2,04	586,42	591,50	596,32	-10,200	-9,840	-9,700	-1,710	-1,636	-1,601	-1,6489 €
25-5-15 9:10	5,87	581,77	586,32	591,11	-14,850	-15,020	-14,910	-2,489	-2,498	-2,460	-2,4824 €
25-5-15 13:05	6,03	581,68	586,21	591,01	-14,940	-15,130	-15,010	-2,504	-2,516	-2,477	-2,4990 €
26-5-15 11:35	6,97	581,24	585,78	590,56	-15,380	-15,560	-15,460	-2,578	-2,588	-2,551	-2,5722 €
26-5-15 14:20	7,08	581,20	585,73	590,53	-15,420	-15,610	-15,490	-2,585	-2,596	-2,556	-2,5788 €
26-5-15 16:05	7,16	581,15	585,69	590,48	-15,470	-15,650	-15,540	-2,593	-2,603	-2,564	-2,5866 €
27-5-15 10:30	7,92	580,85	585,38	590,17	-15,770	-15,960	-15,850	-2,643	-2,654	-2,615	-2,6376 €
27-5-15 12:30	8,01	580,82	585,35	590,14	-15,800	-15,990	-15,880	-2,648	-2,659	-2,620	-2,6426 €
27-5-15 15:30	8,13	580,78	585,31	590,10	-15,840	-16,030	-15,920	-2,655	-2,666	-2,627	-2,6492 €
28-5-15 10:00	8,90	580,52	585,04	589,83	-16,100	-16,300	-16,190	-2,699	-2,711	-2,672	-2,6936 €
28-5-15 12:00	8,99	580,49	585,02	589,80	-16,130	-16,320	-16,220	-2,704	-2,714	-2,676	-2,6980 €
28-5-15 14:00	9,07	580,46	584,99	589,77	-16,160	-16,350	-16,250	-2,709	-2,719	-2,681	-2,7030 €
29-5-15 11:20	9,96	580,22	584,75	589,53	-16,400	-16,590	-16,490	-2,749	-2,759	-2,721	-2,7429 €
29-5-15 13:30	10,05	580,18	584,71	589,48	-16,440	-16,630	-16,540	-2,756	-2,765	-2,729	-2,7501 €
29-5-15 15:30	10,13	580,16	584,69	589,45	-16,460	-16,650	-16,570	-2,759	-2,769	-2,734	-2,7540 €
3-6-15 10:15	14,91	579,22	583,74	588,49	-17,400	-17,600	-17,530	-2,916	-2,927	-2,893	-2,9120 €
3-6-15 12:25	15,00	579,19	583,72	588,47	-17,430	-17,620	-17,550	-2,921	-2,930	-2,896	-2,9158 €

3-6-15 14:20	15,08	579,18	583,71	588,46	-17,440	-17,630	-17,560	-2,923	-2,932	-2,898	-2,9175 €
4-6-15 10:30	15,92	579,08	583,61	588,36	-17,540	-17,730	-17,660	-2,940	-2,948	-2,914	-2,9341 €
4-6-15 12:30	16,01	579,05	583,57	588,33	-17,570	-17,770	-17,690	-2,945	-2,955	-2,919	-2,9397 €
4-6-15 15:30	16,13	579,03	583,56	588,31	-17,590	-17,780	-17,710	-2,948	-2,957	-2,922	-2,9425 €
5-6-15 10:45	16,93	578,97	583,49	588,24	-17,650	-17,850	-17,780	-2,958	-2,968	-2,934	-2,9535 €
5-6-15 12:25	17,00	578,93	583,45	588,20	-17,690	-17,890	-17,820	-2,965	-2,975	-2,940	-2,9602 €
8-6-15 8:10	19,83	578,64	583,16	587,91	-17,980	-18,180	-18,110	-3,014	-3,023	-2,988	-3,0084 €
8-6-15 14:55	20,11	578,62	583,12	587,88	-18,000	-18,220	-18,140	-3,017	-3,030	-2,993	-3,0134 €
9-6-15 8:20	20,83	578,56	583,07	587,82	-18,060	-18,270	-18,200	-3,027	-3,038	-3,003	-3,0228 €
9-6-15 15:20	21,13	578,52	583,04	587,78	-18,100	-18,300	-18,240	-3,034	-3,043	-3,010	-3,0289 €
10-6-15 11:15	21,95	578,47	582,98	587,71	-18,150	-18,360	-18,310	-3,042	-3,053	-3,021	-3,0389 €
10-6-15 14:45	22,10	578,45	582,97	587,70	-18,170	-18,370	-18,320	-3,045	-3,055	-3,023	-3,0411 €
11-6-15 15:30	23,13	578,33	582,85	587,59	-18,290	-18,490	-18,430	-3,066	-3,075	-3,041	-3,0605 €
12-6-15 10:05	23,91	578,26	582,78	587,52	-18,360	-18,560	-18,500	-3,077	-3,086	-3,053	-3,0722 €
12-6-15 15:20	24,13	578,25	582,77	587,50	-18,370	-18,570	-18,520	-3,079	-3,088	-3,056	-3,0744 €
15-6-15 10:50	26,94	578,05	582,57	587,29	-18,570	-18,770	-18,730	-3,113	-3,121	-3,091	-3,1082 €
16-6-15 15:00	28,11	577,96	582,49	587,21	-18,660	-18,850	-18,810	-3,128	-3,135	-3,104	-3,1220 €

ST+NANO		DRY									
Data	Time	Measure			Dim. difference (DL)			Deform			Average
		FREE-1	FREE-2	FREE-3	FREE-1	FREE-2	FREE-3	FREE-1	FREE-2	FREE-3	Deform
	(min)	(mm)			(mm)			(ε)			(με)
19-5-15 12:25	0,00	614,95	614,46	621,69	0,000	0,000	0,000	0,000	0,000	0,000	0,0000
19-5-15 12:55	0,02	614,70	614,19	621,40	-0,250	-0,270	-0,290	-0,041	-0,044	-0,047	-0,0437
19-5-15 13:25	0,04	614,43	613,90	621,11	-0,520	-0,560	-0,580	-0,085	-0,091	-0,093	-0,0897
19-5-15 13:55	0,06	614,17	613,66	620,86	-0,780	-0,800	-0,830	-0,127	-0,130	-0,134	-0,1302
19-5-15 14:30	0,09	613,94	613,40	620,63	-1,010	-1,060	-1,060	-0,164	-0,173	-0,171	-0,1691
19-5-15 14:55	0,10	613,68	613,20	620,44	-1,270	-1,260	-1,250	-0,207	-0,205	-0,201	-0,2042
19-5-15 15:25	0,13	613,46	613,00	620,25	-1,490	-1,460	-1,440	-0,242	-0,238	-0,232	-0,2372
19-5-15 15:55	0,15	613,34	612,85	620,11	-1,610	-1,610	-1,580	-0,262	-0,262	-0,254	-0,2593
19-5-15 16:25	0,17	613,09	612,59	619,89	-1,860	-1,870	-1,800	-0,302	-0,304	-0,290	-0,2988
20-5-15 11:30	0,96	609,98	609,53	616,83	-4,970	-4,930	-4,860	-0,808	-0,802	-0,782	-0,7974
20-5-15 12:00	0,98	609,83	609,46	616,77	-5,120	-5,000	-4,920	-0,833	-0,814	-0,791	-0,8126
20-5-15 12:25	1,00	609,79	609,41	616,72	-5,160	-5,050	-4,970	-0,839	-0,822	-0,799	-0,8201
20-5-15 12:55	1,02	609,75	609,37	616,68	-5,200	-5,090	-5,010	-0,846	-0,828	-0,806	-0,8266
20-5-15 13:25	1,04	609,69	609,32	616,63	-5,260	-5,140	-5,060	-0,855	-0,837	-0,814	-0,8353
20-5-15 14:25	1,08	609,56	609,20	616,52	-5,390	-5,260	-5,170	-0,876	-0,856	-0,832	-0,8547
20-5-15 14:55	1,10	609,52	609,16	616,48	-5,430	-5,300	-5,210	-0,883	-0,863	-0,838	-0,8612
20-5-15 15:25	1,13	609,48	609,12	616,44	-5,470	-5,340	-5,250	-0,890	-0,869	-0,844	-0,8677
21-5-15 10:15	1,91	608,34	608,09	615,40	-6,610	-6,370	-6,290	-1,075	-1,037	-1,012	-1,0411

21-5-15 11:15	1,95	608,29	608,07	615,38	-6,660	-6,390	-6,310	-1,083	-1,040	-1,015	-1,0460
21-5-15 12:15	1,99	608,26	608,04	615,34	-6,690	-6,420	-6,350	-1,088	-1,045	-1,021	-1,0514
25-5-15 9:10	5,86	605,56	605,20	612,40	-9,390	-9,260	-9,290	-1,527	-1,507	-1,494	-1,5094
25-5-15 13:00	6,02	605,45	605,13	612,34	-9,500	-9,330	-9,350	-1,545	-1,518	-1,504	-1,5224
25-5-15 14:00	6,07	605,38	605,07	612,29	-9,570	-9,390	-9,400	-1,556	-1,528	-1,512	-1,5321
26-5-15 11:25	6,96	605,15	604,82	612,03	-9,800	-9,640	-9,660	-1,594	-1,569	-1,554	-1,5721
26-5-15 14:15	7,08	605,10	604,77	611,99	-9,850	-9,690	-9,700	-1,602	-1,577	-1,560	-1,5797
26-5-15 16:05	7,15	605,07	604,73	611,95	-9,880	-9,730	-9,740	-1,607	-1,584	-1,567	-1,5856
27-5-15 10:40	7,93	604,87	604,54	611,79	-10,080	-9,920	-9,900	-1,639	-1,614	-1,592	-1,6153
27-5-15 12:40	8,01	604,84	604,51	611,76	-10,110	-9,950	-9,930	-1,644	-1,619	-1,597	-1,6202
27-5-15 14:40	8,09	604,81	604,48	611,73	-10,140	-9,980	-9,960	-1,649	-1,624	-1,602	-1,6251
28-5-15 10:40	8,93	604,59	604,27	611,51	-10,360	-10,190	-10,180	-1,685	-1,658	-1,637	-1,6602
28-5-15 12:40	9,01	604,57	604,24	611,48	-10,380	-10,220	-10,210	-1,688	-1,663	-1,642	-1,6645
28-5-15 14:40	9,09	604,56	604,15	611,46	-10,390	-10,310	-10,230	-1,690	-1,678	-1,646	-1,6710
29-5-15 11:30	9,96	604,38	603,97	611,28	-10,570	-10,490	-10,410	-1,719	-1,707	-1,674	-1,7002
29-5-15 13:40	10,05	604,35	603,94	611,25	-10,600	-10,520	-10,440	-1,724	-1,712	-1,679	-1,7050
29-5-15 15:40	10,14	604,34	603,93	611,25	-10,610	-10,530	-10,440	-1,725	-1,714	-1,679	-1,7061
3-6-15 10:25	14,92	603,57	603,17	610,48	-11,380	-11,290	-11,210	-1,851	-1,837	-1,803	-1,8304
3-6-15 12:35	15,01	603,57	603,16	610,47	-11,380	-11,300	-11,220	-1,851	-1,839	-1,805	-1,8314
3-6-15 14:25	15,08	603,56	603,16	610,47	-11,390	-11,300	-11,220	-1,852	-1,839	-1,805	-1,8320
4-6-15 10:40	15,93	603,47	603,06	610,36	-11,480	-11,400	-11,330	-1,867	-1,855	-1,822	-1,8482
4-6-15 12:40	16,01	603,45	603,05	610,35	-11,500	-11,410	-11,340	-1,870	-1,857	-1,824	-1,8503
4-6-15 15:40	16,14	603,44	603,03	610,34	-11,510	-11,430	-11,350	-1,872	-1,860	-1,826	-1,8525
5-6-15 10:55	16,94	603,38	602,98	610,28	-11,570	-11,480	-11,410	-1,881	-1,868	-1,835	-1,8617
5-6-15 14:30	17,09	603,47	602,94	610,24	-11,480	-11,520	-11,450	-1,867	-1,875	-1,842	-1,8611
8-6-15 8:20	19,83	603,09	602,70	609,99	-11,860	-11,760	-11,700	-1,929	-1,914	-1,882	-1,9082
8-6-15 15:05	20,11	603,09	602,69	609,99	-11,860	-11,770	-11,700	-1,929	-1,916	-1,882	-1,9087
9-6-15 8:30	20,84	603,05	602,66	609,95	-11,900	-11,800	-11,740	-1,935	-1,920	-1,888	-1,9146
9-6-15 15:30	21,13	603,02	602,63	609,92	-11,930	-11,830	-11,770	-1,940	-1,925	-1,893	-1,9195
10-6-15 11:25	21,96	602,96	602,57	609,88	-11,990	-11,890	-11,810	-1,950	-1,935	-1,900	-1,9281
10-6-15 14:55	22,10	602,95	602,56	609,86	-12,000	-11,900	-11,830	-1,951	-1,937	-1,903	-1,9303
11-6-15 15:40	23,14	602,87	602,47	609,77	-12,080	-11,990	-11,920	-1,964	-1,951	-1,917	-1,9443
12-6-15 10:15	23,91	602,82	602,43	609,72	-12,130	-12,030	-11,970	-1,973	-1,958	-1,925	-1,9519
12-6-15 15:30	24,13	602,80	602,41	609,70	-12,150	-12,050	-11,990	-1,976	-1,961	-1,929	-1,9552
15-6-15 11:00	26,94	602,63	602,24	609,53	-12,320	-12,220	-12,160	-2,003	-1,989	-1,956	-1,9827
16-6-15 15:05	28,11	602,57	602,18	609,46	-12,380	-12,280	-12,230	-2,013	-1,999	-1,967	-1,9930

ST+POW

DRY

Data	Time	Measure			Dim. difference (DL)			Deform			Average
		FREE-1	FREE-2	FREE-3	FREE-1	FREE-2	FREE-3	FREE-1	FREE-2	FREE-3	Deform
	(min)	(mm)		(mm)			(ε)			(με)	
9-6-15 11:25	0,00	599,89	594,23	601,30	0,000	0,000	0,000	0,000	0,000	0,000	0,0000
9-6-15 12:05	0,03	599,36	593,70	600,77	-0,530	-0,530	-0,530	-0,088	-0,089	-0,088	-0,0886
9-6-15 13:20	0,08	598,85	593,17	600,28	-1,040	-1,060	-1,020	-0,173	-0,178	-0,170	-0,1738
9-6-15 13:55	0,10	598,56	592,87	600,05	-1,330	-1,360	-1,250	-0,222	-0,229	-0,208	-0,2195
9-6-15 14:25	0,13	598,40	592,72	599,88	-1,490	-1,510	-1,420	-0,248	-0,254	-0,236	-0,2462
9-6-15 15:05	0,15	598,22	592,53	599,70	-1,670	-1,700	-1,600	-0,278	-0,286	-0,266	-0,2769
9-6-15 15:40	0,18	598,06	592,36	599,56	-1,830	-1,870	-1,740	-0,305	-0,315	-0,289	-0,3030
10-6-15 10:55	0,98	595,74	589,96	597,23	-4,150	-4,270	-4,070	-0,692	-0,719	-0,677	-0,6957
10-6-15 11:35	1,01	595,67	589,88	597,10	-4,220	-4,350	-4,200	-0,703	-0,732	-0,698	-0,7113
10-6-15 12:15	1,03	595,62	589,79	597,04	-4,270	-4,440	-4,260	-0,712	-0,747	-0,708	-0,7225
10-6-15 12:55	1,06	595,55	589,73	596,98	-4,340	-4,500	-4,320	-0,723	-0,757	-0,718	-0,7331
10-6-15 13:45	1,10	595,49	589,65	596,92	-4,400	-4,580	-4,380	-0,733	-0,771	-0,728	-0,7442
10-6-15 14:25	1,13	595,43	589,62	596,87	-4,460	-4,610	-4,430	-0,743	-0,776	-0,737	-0,7520
10-6-15 15:10	1,16	595,38	589,57	596,85	-4,510	-4,660	-4,450	-0,752	-0,784	-0,740	-0,7587
11-6-15 15:10	2,16	594,10	588,34	595,56	-5,790	-5,890	-5,740	-0,965	-0,991	-0,955	-0,9703
11-6-15 15:55	2,19	594,01	588,29	595,51	-5,880	-5,940	-5,790	-0,980	-1,000	-0,963	-0,9809
12-6-15 9:50	2,93	593,36	587,62	594,86	-6,530	-6,610	-6,440	-1,089	-1,112	-1,071	-1,0906
12-6-15 10:40	2,97	593,33	587,57	594,83	-6,560	-6,660	-6,470	-1,094	-1,121	-1,076	-1,0968
12-6-15 13:50	3,10	593,22	587,46	594,73	-6,670	-6,770	-6,570	-1,112	-1,139	-1,093	-1,1146
12-6-15 15:10	3,16	593,18	587,41	594,70	-6,710	-6,820	-6,600	-1,119	-1,148	-1,098	-1,1213
15-6-15 10:35	5,97	591,80	586,02	593,31	-8,090	-8,210	-7,990	-1,349	-1,382	-1,329	-1,3530
15-6-15 13:05	6,07	591,74	585,96	593,25	-8,150	-8,270	-8,050	-1,359	-1,392	-1,339	-1,3630
15-6-15 15:45	6,18	591,70	585,91	593,21	-8,190	-8,320	-8,090	-1,365	-1,400	-1,345	-1,3703
16-6-15 9:45	6,93	591,46	585,66	592,97	-8,430	-8,570	-8,330	-1,405	-1,442	-1,385	-1,4109
16-6-15 15:20	7,16	591,38	585,53	592,86	-8,510	-8,700	-8,440	-1,419	-1,464	-1,404	-1,4288
17-6-15 9:55	7,94	591,15	585,32	592,63	-8,740	-8,910	-8,670	-1,457	-1,499	-1,442	-1,4661
17-6-15 14:15	8,12	591,12	585,27	592,59	-8,770	-8,960	-8,710	-1,462	-1,508	-1,449	-1,4728
22-6-15 12:20	13,04	590,24	584,40	591,71	-9,650	-9,830	-9,590	-1,609	-1,654	-1,595	-1,6192
23-6-15 10:10	13,95	590,12	584,28	591,59	-9,770	-9,950	-9,710	-1,629	-1,674	-1,615	-1,6393
23-6-15 15:45	14,18	590,07	584,23	591,54	-9,820	-10,000	-9,760	-1,637	-1,683	-1,623	-1,6477
24-6-15 10:25	14,96	589,99	584,14	591,46	-9,900	-10,090	-9,840	-1,650	-1,698	-1,636	-1,6616
24-6-15 15:40	15,18	589,96	584,07	591,41	-9,930	-10,160	-9,890	-1,655	-1,710	-1,645	-1,6699
25-6-15 12:10	16,03	589,99	584,16	591,49	-9,900	-10,070	-9,810	-1,650	-1,695	-1,631	-1,6588
26-6-15 10:15	16,95	590,08	584,25	591,54	-9,810	-9,980	-9,760	-1,635	-1,679	-1,623	-1,6460
26-6-15 15:25	17,17	590,06	584,24	591,54	-9,830	-9,990	-9,760	-1,639	-1,681	-1,623	-1,6477
29-6-15 9:40	19,93	590,27	584,41	591,72	-9,620	-9,820	-9,580	-1,604	-1,653	-1,593	-1,6165
29-6-15 14:50	20,14	590,27	584,42	591,73	-9,620	-9,810	-9,570	-1,604	-1,651	-1,592	-1,6154
30-6-15 10:25	20,96	590,32	584,48	591,77	-9,570	-9,750	-9,530	-1,595	-1,641	-1,585	-1,6070

30-6-15 15:00	21,15	590,32	584,47	591,78	-9,570	-9,760	-9,520	-1,595	-1,642	-1,583	-1,6070
1-7-15 9:55	21,94	590,34	584,50	591,80	-9,550	-9,730	-9,500	-1,592	-1,637	-1,580	-1,6031
1-7-15 13:55	22,10	590,35	584,51	591,82	-9,540	-9,720	-9,480	-1,590	-1,636	-1,577	-1,6009
2-7-15 9:55	22,94	590,38	584,53	591,87	-9,510	-9,700	-9,430	-1,585	-1,632	-1,568	-1,5953
2-7-15 15:15	23,16	590,40	584,55	591,88	-9,490	-9,680	-9,420	-1,582	-1,629	-1,567	-1,5925
3-7-15 8:40	23,89	590,43	584,60	591,91	-9,460	-9,630	-9,390	-1,577	-1,621	-1,562	-1,5864
6-7-15 9:45	26,93	590,57	584,72	592,05	-9,320	-9,510	-9,250	-1,554	-1,600	-1,538	-1,5641
6-7-15 15:35	27,17	590,59	584,74	592,06	-9,300	-9,490	-9,240	-1,550	-1,597	-1,537	-1,5613
7-7-15 11:00	27,98	590,64	584,80	592,10	-9,250	-9,430	-9,200	-1,542	-1,587	-1,530	-1,5530
7-7-15 15:30	28,17	590,66	584,82	592,11	-9,230	-9,410	-9,190	-1,539	-1,584	-1,528	-1,5502

SIS+EUC		DRY									
Data	Time	Measure			Dim. difference (DL)			Deform			Average
		FREE-1	FREE-2	FREE-3	FREE-1	FREE-2	FREE-3	FREE-1	FREE-2	FREE-3	Deform
	(min)	(mm)	(mm)	(mm)	(mm)	(mm)	(mm)	(ε)	(ε)	(ε)	(με)
26-5-15 11:45	0,00	588,06	591,93	585,35	0,000	0,000	0,000	0,000	0,000	0,000	0,0000
26-5-15 12:15	0,02	587,68	591,58	584,88	-0,380	-0,350	-0,470	-0,065	-0,059	-0,080	-0,0680
26-5-15 12:45	0,04	587,17	591,11	584,52	-0,890	-0,820	-0,830	-0,151	-0,139	-0,142	-0,1439
26-5-15 13:55	0,09	586,54	590,23	584,92	-1,520	-1,700	-0,430	-0,258	-0,287	-0,073	-0,2064
26-5-15 14:25	0,11	586,15	589,92	583,52	-1,910	-2,010	-1,830	-0,325	-0,340	-0,313	-0,3257
26-5-15 14:55	0,13	585,87	589,65	583,30	-2,190	-2,280	-2,050	-0,372	-0,385	-0,350	-0,3693
26-5-15 15:25	0,15	585,55	589,41	583,00	-2,510	-2,520	-2,350	-0,427	-0,426	-0,401	-0,4180
26-5-15 15:55	0,17	585,37	589,14	582,75	-2,690	-2,790	-2,600	-0,457	-0,471	-0,444	-0,4577
26-5-15 16:25	0,19	585,08	588,80	582,43	-2,980	-3,130	-2,920	-0,507	-0,529	-0,499	-0,5115
27-5-15 10:20	0,94	580,29	584,72	578,39	-7,770	-7,210	-6,960	-1,321	-1,218	-1,189	-1,2428
27-5-15 10:50	0,96	580,20	584,63	578,29	-7,860	-7,300	-7,060	-1,337	-1,233	-1,206	-1,2587
27-5-15 11:20	0,98	580,13	584,55	578,18	-7,930	-7,380	-7,170	-1,349	-1,247	-1,225	-1,2734
27-5-15 11:50	1,00	580,03	584,45	578,08	-8,030	-7,480	-7,270	-1,366	-1,264	-1,242	-1,2904
27-5-15 12:20	1,02	579,95	584,35	577,90	-8,110	-7,580	-7,450	-1,379	-1,281	-1,273	-1,3108
27-5-15 12:50	1,05	579,87	584,26	577,81	-8,190	-7,670	-7,540	-1,393	-1,296	-1,288	-1,3255
27-5-15 13:20	1,07	579,80	584,18	577,69	-8,260	-7,750	-7,660	-1,405	-1,309	-1,309	-1,3408
27-5-15 14:20	1,11	579,74	584,04	577,57	-8,320	-7,890	-7,780	-1,415	-1,333	-1,329	-1,3590
27-5-15 14:50	1,13	579,68	583,98	577,47	-8,380	-7,950	-7,880	-1,425	-1,343	-1,346	-1,3714
27-5-15 15:20	1,15	579,57	583,85	577,47	-8,490	-8,080	-7,880	-1,444	-1,365	-1,346	-1,3850
27-5-15 15:50	1,17	579,51	583,78	577,40	-8,550	-8,150	-7,950	-1,454	-1,377	-1,358	-1,3963
28-5-15 10:20	1,94	577,59	581,80	575,48	-10,470	-10,130	-9,870	-1,780	-1,711	-1,686	-1,7260
28-5-15 11:20	1,98	577,53	581,71	575,40	-10,530	-10,220	-9,950	-1,791	-1,727	-1,700	-1,7390
28-5-15 12:20	2,02	577,46	581,62	575,31	-10,600	-10,310	-10,040	-1,803	-1,742	-1,715	-1,7532
28-5-15 13:20	2,07	577,37	581,20	575,22	-10,690	-10,730	-10,130	-1,818	-1,813	-1,731	-1,7870
28-5-15 14:20	2,11	577,26	581,42	575,12	-10,800	-10,510	-10,230	-1,837	-1,776	-1,748	-1,7866
28-5-15 15:20	2,15	577,22	581,35	575,05	-10,840	-10,580	-10,300	-1,843	-1,787	-1,760	-1,7968
29-5-15 11:10	2,98	576,14	580,20	573,77	-11,920	-11,730	-11,580	-2,027	-1,982	-1,978	-1,9957

29-5-15 13:20	3,07	576,04	580,05	573,68	-12,020	-11,880	-11,670	-2,044	-2,007	-1,994	-2,0149
29-5-15 15:20	3,15	575,93	579,95	573,59	-12,130	-11,980	-11,760	-2,063	-2,024	-2,009	-2,0319
3-6-15 10:05	7,93	572,80	576,65	570,49	-15,260	-15,280	-14,860	-2,595	-2,581	-2,539	-2,5717
3-6-15 12:15	8,02	572,77	576,62	570,46	-15,290	-15,310	-14,890	-2,600	-2,586	-2,544	-2,5768
3-6-15 14:10	8,10	572,74	576,58	570,42	-15,320	-15,350	-14,930	-2,605	-2,593	-2,551	-2,5830
4-6-15 10:20	8,94	572,42	576,32	570,15	-15,640	-15,610	-15,200	-2,660	-2,637	-2,597	-2,6312
4-6-15 12:20	9,02	572,39	576,29	570,12	-15,670	-15,640	-15,230	-2,665	-2,642	-2,602	-2,6363
4-6-15 15:20	9,15	572,36	576,24	570,07	-15,700	-15,690	-15,280	-2,670	-2,651	-2,610	-2,6436
5-6-15 10:35	9,95	572,13	576,02	569,84	-15,930	-15,910	-15,510	-2,709	-2,688	-2,650	-2,6821
5-6-15 14:15	10,10	572,10	575,96	569,80	-15,960	-15,970	-15,550	-2,714	-2,698	-2,657	-2,6895
8-6-15 8:00	12,84	571,45	575,30	569,14	-16,610	-16,630	-16,210	-2,825	-2,809	-2,769	-2,8011
8-6-15 14:45	13,13	571,41	575,25	569,10	-16,650	-16,680	-16,250	-2,831	-2,818	-2,776	-2,8085
9-6-15 8:10	13,85	571,27	575,13	568,96	-16,790	-16,800	-16,390	-2,855	-2,838	-2,800	-2,8311
9-6-15 15:10	14,14	571,22	575,07	568,91	-16,840	-16,860	-16,440	-2,864	-2,848	-2,809	-2,8402
10-6-15 11:05	14,97	571,08	574,93	568,75	-16,980	-17,000	-16,600	-2,887	-2,872	-2,836	-2,8651
10-6-15 14:35	15,12	571,06	574,92	568,75	-17,000	-17,010	-16,600	-2,891	-2,874	-2,836	-2,8668
11-6-15 15:20	16,15	570,87	574,73	568,54	-17,190	-17,200	-16,810	-2,923	-2,906	-2,872	-2,9002
12-6-15 9:55	16,92	570,73	574,58	568,39	-17,330	-17,350	-16,960	-2,947	-2,931	-2,897	-2,9252
12-6-15 15:15	17,15	570,70	574,55	568,38	-17,360	-17,380	-16,970	-2,952	-2,936	-2,899	-2,9291
15-6-15 10:40	19,95	570,30	574,17	567,98	-17,760	-17,760	-17,370	-3,020	-3,000	-2,967	-2,9960
15-6-15 15:50	20,17	570,27	574,13	567,94	-17,790	-17,800	-17,410	-3,025	-3,007	-2,974	-3,0022
16-6-15 9:50	20,92	570,19	574,05	567,85	-17,870	-17,880	-17,500	-3,039	-3,021	-2,990	-3,0164
16-6-15 15:25	21,15	570,16	574,02	567,83	-17,900	-17,910	-17,520	-3,044	-3,026	-2,993	-3,0209
17-6-15 10:00	21,93	570,07	573,92	567,74	-17,990	-18,010	-17,610	-3,059	-3,043	-3,008	-3,0368
17-6-15 14:20	22,11	570,06	573,91	567,73	-18,000	-18,020	-17,620	-3,061	-3,044	-3,010	-3,0385
22-6-15 12:25	27,03	569,58	573,44	567,26	-18,480	-18,490	-18,090	-3,143	-3,124	-3,090	-3,1189
23-6-15 10:15	27,94	569,54	573,39	567,22	-18,520	-18,540	-18,130	-3,149	-3,132	-3,097	-3,1263
23-6-15 15:50	28,17	569,50	573,36	567,18	-18,560	-18,570	-18,170	-3,156	-3,137	-3,104	-3,1325

SIS+NANO

DRY

Data	Time (min)	Measure			Dim. difference (DL)			Deform			Average
		FREE-1	FREE-2	FREE-3	FREE-1	FREE-2	FREE-3	FREE-1	FREE-2	FREE-3	Deform
		(mm)			(mm)			(ε)			(με)
26-5-15 11:50	0,00	599,68	591,23	585,82	0,000	0,000	0,000	0,000	0,000	0,000	0,0000
26-5-15 12:20	0,02	599,21	590,58	585,32	-0,470	-0,650	-0,500	-0,078	-0,110	-0,085	-0,0912
26-5-15 12:50	0,04	598,59	590,11	584,86	-1,090	-1,120	-0,960	-0,182	-0,189	-0,164	-0,1784
26-5-15 14:00	0,09	597,94	589,21	584,08	-1,740	-2,020	-1,740	-0,290	-0,342	-0,297	-0,3096
26-5-15 14:30	0,11	597,47	588,78	583,64	-2,210	-2,450	-2,180	-0,369	-0,414	-0,372	-0,3850
26-5-15 15:00	0,13	597,17	588,41	583,29	-2,510	-2,820	-2,530	-0,419	-0,477	-0,432	-0,4425
26-5-15 15:30	0,15	596,85	588,07	582,91	-2,830	-3,160	-2,910	-0,472	-0,534	-0,497	-0,5010
26-5-15 16:00	0,17	596,62	587,87	582,71	-3,060	-3,360	-3,110	-0,510	-0,568	-0,531	-0,5365
26-5-15 16:30	0,19	596,38	587,61	582,46	-3,300	-3,620	-3,360	-0,550	-0,612	-0,574	-0,5787
27-5-15 10:25	0,94	593,06	584,15	578,91	-6,620	-7,080	-6,910	-1,104	-1,198	-1,180	-1,1603
27-5-15 10:55	0,96	593,02	584,11	578,88	-6,660	-7,120	-6,940	-1,111	-1,204	-1,185	-1,1665
27-5-15 11:25	0,98	592,94	584,05	578,81	-6,740	-7,180	-7,010	-1,124	-1,214	-1,197	-1,1783
27-5-15 11:55	1,00	592,89	583,99	578,76	-6,790	-7,240	-7,060	-1,132	-1,225	-1,205	-1,1873
27-5-15 12:25	1,02	592,85	583,95	578,71	-6,830	-7,280	-7,110	-1,139	-1,231	-1,214	-1,1947
27-5-15 12:55	1,05	592,80	583,91	578,69	-6,880	-7,320	-7,130	-1,147	-1,238	-1,217	-1,2008
27-5-15 13:25	1,07	592,76	583,87	578,65	-6,920	-7,360	-7,170	-1,154	-1,245	-1,224	-1,2076
27-5-15 14:25	1,11	592,65	583,78	578,56	-7,030	-7,450	-7,260	-1,172	-1,260	-1,239	-1,2239
27-5-15 14:55	1,13	592,62	583,72	578,50	-7,060	-7,510	-7,320	-1,177	-1,270	-1,250	-1,2324
27-5-15 15:25	1,15	592,59	583,68	578,45	-7,090	-7,550	-7,370	-1,182	-1,277	-1,258	-1,2391
27-5-15 15:55	1,17	592,53	583,62	578,40	-7,150	-7,610	-7,420	-1,192	-1,287	-1,267	-1,2487
28-5-15 10:25	1,94	591,40	582,52	577,33	-8,280	-8,710	-8,490	-1,381	-1,473	-1,449	-1,4344
28-5-15 11:25	1,98	591,34	582,45	577,25	-8,340	-8,780	-8,570	-1,391	-1,485	-1,463	-1,4462
28-5-15 12:25	2,02	591,27	582,37	577,20	-8,410	-8,860	-8,620	-1,402	-1,499	-1,471	-1,4575
28-5-15 13:25	2,07	591,23	582,35	577,16	-8,450	-8,880	-8,660	-1,409	-1,502	-1,478	-1,4631
28-5-15 14:25	2,11	591,17	582,31	577,11	-8,510	-8,920	-8,710	-1,419	-1,509	-1,487	-1,4715
28-5-15 15:25	2,15	591,14	582,27	577,06	-8,540	-8,960	-8,760	-1,424	-1,515	-1,495	-1,4783
29-5-15 11:15	2,98	590,39	581,54	576,34	-9,290	-9,690	-9,480	-1,549	-1,639	-1,618	-1,6021
29-5-15 13:25	3,07	590,33	581,48	576,28	-9,350	-9,750	-9,540	-1,559	-1,649	-1,628	-1,6123
29-5-15 15:25	3,15	590,26	581,41	576,21	-9,420	-9,820	-9,610	-1,571	-1,661	-1,640	-1,6241
3-6-15 10:10	7,93	588,17	579,37	574,18	-11,510	-11,860	-11,640	-1,919	-2,006	-1,987	-1,9708
3-6-15 12:20	8,02	588,14	579,33	574,15	-11,540	-11,900	-11,670	-1,924	-2,013	-1,992	-1,9764
3-6-15 14:10	8,10	588,13	579,32	574,13	-11,550	-11,910	-11,690	-1,926	-2,014	-1,995	-1,9787
4-6-15 10:25	8,94	587,93	579,13	573,94	-11,750	-12,100	-11,880	-1,959	-2,047	-2,028	-2,0113
4-6-15 12:25	9,02	587,91	579,10	573,92	-11,770	-12,130	-11,900	-1,963	-2,052	-2,031	-2,0152
4-6-15 15:25	9,15	587,88	579,08	573,89	-11,800	-12,150	-11,930	-1,968	-2,055	-2,036	-2,0197
5-6-15 10:40	9,95	587,75	578,95	573,76	-11,930	-12,280	-12,060	-1,989	-2,077	-2,059	-2,0417
5-6-15 14:20	10,10	587,71	578,90	573,72	-11,970	-12,330	-12,100	-1,996	-2,085	-2,065	-2,0490

8-6-15 8:05	12,84	587,28	578,49	573,31	-12,400	-12,740	-12,510	-2,068	-2,155	-2,135	-2,1194
8-6-15 14:50	13,13	587,26	578,47	573,29	-12,420	-12,760	-12,530	-2,071	-2,158	-2,139	-2,1227
9-6-15 8:15	13,85	587,17	578,38	573,20	-12,510	-12,850	-12,620	-2,086	-2,173	-2,154	-2,1379
9-6-15 15:15	14,14	587,16	578,38	573,19	-12,520	-12,850	-12,630	-2,088	-2,173	-2,156	-2,1391
10-6-15 11:10	14,97	587,09	578,28	573,12	-12,590	-12,950	-12,700	-2,099	-2,190	-2,168	-2,1526
10-6-15 14:40	15,12	587,09	578,28	573,11	-12,590	-12,950	-12,710	-2,099	-2,190	-2,170	-2,1531
11-6-15 15:25	16,15	587,00	578,20	573,03	-12,680	-13,030	-12,790	-2,114	-2,204	-2,183	-2,1672
12-6-15 10:00	16,92	586,92	578,12	572,95	-12,760	-13,110	-12,870	-2,128	-2,217	-2,197	-2,1807
12-6-15 15:20	17,15	586,89	578,10	572,93	-12,790	-13,130	-12,890	-2,133	-2,221	-2,200	-2,1846
15-6-15 10:45	19,95	586,64	577,86	572,68	-13,040	-13,370	-13,140	-2,174	-2,261	-2,243	-2,2263
15-6-15 15:55	20,17	586,63	577,84	572,66	-13,050	-13,390	-13,160	-2,176	-2,265	-2,246	-2,2291
16-6-15 9:55	20,92	586,57	577,79	572,60	-13,110	-13,440	-13,220	-2,186	-2,273	-2,257	-2,2387
16-6-15 15:30	21,15	586,55	577,78	572,59	-13,130	-13,450	-13,230	-2,190	-2,275	-2,258	-2,2409
17-6-15 10:05	21,93	586,49	577,72	572,55	-13,190	-13,510	-13,270	-2,200	-2,285	-2,265	-2,2499
17-6-15 14:25	22,11	586,48	577,70	572,52	-13,200	-13,530	-13,300	-2,201	-2,288	-2,270	-2,2533
22-6-15 12:30	27,03	586,21	577,43	572,26	-13,470	-13,800	-13,560	-2,246	-2,334	-2,315	-2,2983
23-6-15 10:20	27,94	586,17	577,40	572,22	-13,510	-13,830	-13,600	-2,253	-2,339	-2,322	-2,3045
23-6-15 15:50	28,17	586,17	577,38	572,22	-13,510	-13,850	-13,600	-2,253	-2,343	-2,322	-2,3057

SIS+POW

DRY

Data	Time	Measure			Dim. difference (DL)			Deform			Average
		FREE-1	FREE-2	FREE-3	FREE-1	FREE-2	FREE-3	FREE-1	FREE-2	FREE-3	Deform
	(min)	(mm)		(mm)			(ε)			(με)	
10-6-15 11:00	0,00	590,63	601,03	591,45	0,00	0,00	0,00	0,000	0,000	0,000	0,0000
10-6-15 11:40	0,03	589,97	600,36	590,83	-0,66	-0,67	-0,62	-0,112	-0,111	-0,105	-0,1093
10-6-15 12:20	0,06	589,64	600,02	590,55	-0,99	-1,01	-0,90	-0,168	-0,168	-0,152	-0,1626
10-6-15 13:00	0,08	589,31	599,69	590,18	-1,32	-1,34	-1,27	-0,223	-0,223	-0,215	-0,2204
10-6-15 13:50	0,12	589,02	599,40	589,86	-1,61	-1,63	-1,59	-0,273	-0,271	-0,269	-0,2709
10-6-15 14:30	0,15	588,83	599,19	589,67	-1,80	-1,84	-1,78	-0,305	-0,306	-0,301	-0,3040
10-6-15 15:15	0,18	588,61	598,97	589,45	-2,02	-2,06	-2,00	-0,342	-0,343	-0,338	-0,3410
11-6-15 15:15	1,18	585,41	595,82	586,12	-5,22	-5,21	-5,33	-0,884	-0,867	-0,901	-0,8839
11-6-15 15:45	1,20	585,35	595,75	586,07	-5,28	-5,28	-5,38	-0,894	-0,878	-0,910	-0,8940
11-6-15 16:10	1,22	585,33	595,72	586,05	-5,30	-5,31	-5,40	-0,897	-0,883	-0,913	-0,8979
12-6-15 9:40	1,94	584,30	594,67	585,00	-6,33	-6,36	-6,45	-1,072	-1,058	-1,091	-1,0735
12-6-15 10:30	1,98	584,28	594,66	584,98	-6,35	-6,37	-6,47	-1,075	-1,060	-1,094	-1,0763
12-6-15 13:40	2,11	584,11	594,47	584,81	-6,52	-6,56	-6,64	-1,104	-1,091	-1,123	-1,1060
12-6-15 15:00	2,17	584,06	594,42	584,76	-6,57	-6,61	-6,69	-1,112	-1,100	-1,131	-1,1144
12-6-15 15:35	2,19	584,03	594,39	584,74	-6,60	-6,64	-6,71	-1,117	-1,105	-1,134	-1,1189
15-6-15 10:25	4,98	582,13	592,43	582,84	-8,50	-8,60	-8,61	-1,439	-1,431	-1,456	-1,4419
15-6-15 12:55	5,08	582,08	592,38	582,79	-8,55	-8,65	-8,66	-1,448	-1,439	-1,464	-1,4503

15-6-15 15:35	5,19	582,02	592,33	582,73	-8,61	-8,70	-8,72	-1,458	-1,448	-1,474	-1,4599
16-6-15 9:35	5,94	581,72	592,03	582,43	-8,91	-9,00	-9,02	-1,509	-1,497	-1,525	-1,5104
16-6-15 15:10	6,17	581,63	591,94	582,34	-9,00	-9,09	-9,11	-1,524	-1,512	-1,540	-1,5255
17-6-15 9:45	6,95	581,36	591,66	582,08	-9,27	-9,37	-9,37	-1,570	-1,559	-1,584	-1,5709
17-6-15 14:05	7,13	581,32	591,62	582,04	-9,31	-9,41	-9,41	-1,576	-1,566	-1,591	-1,5776
22-6-15 12:10	12,05	580,18	590,48	580,91	-10,45	-10,55	-10,54	-1,769	-1,755	-1,782	-1,7689
23-6-15 10:00	12,96	580,06	590,34	580,78	-10,57	-10,69	-10,67	-1,790	-1,779	-1,804	-1,7908
23-6-15 15:35	13,19	580,01	590,30	580,74	-10,62	-10,73	-10,71	-1,798	-1,785	-1,811	-1,7981
24-6-15 10:15	13,97	579,91	590,20	580,65	-10,72	-10,83	-10,80	-1,815	-1,802	-1,826	-1,8143
24-6-15 15:30	14,19	579,87	590,16	580,60	-10,76	-10,87	-10,85	-1,822	-1,809	-1,834	-1,8216
25-6-15 10:30	14,98	579,99	590,24	580,72	-10,64	-10,79	-10,73	-1,801	-1,795	-1,814	-1,8036
25-6-15 12:05	15,05	579,99	590,31	580,79	-10,64	-10,72	-10,66	-1,801	-1,784	-1,802	-1,7958
26-6-15 10:15	15,97	580,14	590,43	580,91	-10,49	-10,60	-10,54	-1,776	-1,764	-1,782	-1,7739
26-6-15 15:15	16,18	580,16	590,45	580,90	-10,47	-10,58	-10,55	-1,773	-1,760	-1,784	-1,7722
29-6-15 9:30	18,94	580,46	590,61	581,35	-10,17	-10,42	-10,10	-1,722	-1,734	-1,708	-1,7211
29-6-15 14:40	19,15	580,51	590,63	581,36	-10,12	-10,40	-10,09	-1,713	-1,730	-1,706	-1,7166
30-6-15 10:15	19,97	580,59	590,67	581,39	-10,04	-10,36	-10,06	-1,700	-1,724	-1,701	-1,7082
30-6-15 14:50	20,16	580,59	590,70	581,42	-10,04	-10,33	-10,03	-1,700	-1,719	-1,696	-1,7048
1-7-15 9:45	20,95	580,61	590,77	581,49	-10,02	-10,26	-9,96	-1,696	-1,707	-1,684	-1,6959
1-7-15 13:45	21,11	580,62	590,80	581,54	-10,01	-10,23	-9,91	-1,695	-1,702	-1,676	-1,6908
2-7-15 9:45	21,95	580,73	590,86	581,56	-9,90	-10,17	-9,89	-1,676	-1,692	-1,672	-1,6801
2-7-15 15:05	22,17	580,75	590,91	581,56	-9,88	-10,12	-9,89	-1,673	-1,684	-1,672	-1,6762
3-7-15 8:35	22,90	580,80	590,93	581,56	-9,83	-10,10	-9,89	-1,664	-1,680	-1,672	-1,6723
6-7-15 8:00	25,88	580,88	591,02	581,63	-9,75	-10,01	-9,82	-1,651	-1,665	-1,660	-1,6589
6-7-15 8:00	25,88	580,89	591,03	581,64	-9,74	-10,00	-9,81	-1,649	-1,664	-1,659	-1,6572
7-7-15 8:00	26,88	580,92	591,60	581,68	-9,71	-9,43	-9,77	-1,644	-1,569	-1,652	-1,6216
7-7-15 8:00	26,88	580,93	591,17	581,70	-9,70	-9,86	-9,75	-1,642	-1,641	-1,648	-1,6438

ANEXO 4

ANEXO 4

A continuación se muestran los cálculos realizados para la obtención de la variación de masa por la retracción autógena.

STEEL 0,64%		AUTO										
Data	Time (min)	Measure			Mass difference (Dg)			% weight lost			Average	
		FREE-1	FREE-2	FREE-3	FREE-1	FREE-2	FREE-3	FREE-1	FREE-2	FREE-3		
28-4-15 11:55	0,00	641,42	634,30	645,39	0,000	0,000	0,000	0,000	0,000	0,000	0,0000	
28-4-15 12:25	0,02	641,39	634,28	645,06	-0,030	-0,020	-0,330	-0,005	-0,003	-0,051	-0,0197	
28-4-15 12:54	0,04	641,37	634,28	645,03	-0,050	-0,020	-0,360	-0,008	-0,003	-0,056	-0,0223	
28-4-15 13:24	0,06	641,37	634,27	645,01	-0,050	-0,030	-0,380	-0,008	-0,005	-0,059	-0,0238	
28-4-15 13:54	0,08	641,36	634,26	645,00	-0,060	-0,040	-0,390	-0,009	-0,006	-0,060	-0,0254	
28-4-15 14:24	0,10	641,36	634,26	645,00	-0,060	-0,040	-0,390	-0,009	-0,006	-0,060	-0,0254	
28-4-15 14:54	0,12	641,34	634,25	644,99	-0,080	-0,050	-0,400	-0,012	-0,008	-0,062	-0,0275	
28-4-15 15:24	0,15	641,33	634,25	644,98	-0,090	-0,050	-0,410	-0,014	-0,008	-0,064	-0,0285	
28-4-15 15:54	0,17	641,32	634,25	644,97	-0,100	-0,050	-0,420	-0,016	-0,008	-0,065	-0,0295	
28-4-15 16:24	0,19	641,33	634,25	644,98	-0,090	-0,050	-0,410	-0,014	-0,008	-0,064	-0,0285	
28-4-15 16:54	0,21	641,32	634,24	644,97	-0,100	-0,060	-0,420	-0,016	-0,009	-0,065	-0,0301	
28-4-15 17:24	0,23	641,31	634,26	644,96	-0,110	-0,040	-0,430	-0,017	-0,006	-0,067	-0,0300	
29-4-15 10:10	0,93	641,10	634,16	644,83	-0,320	-0,140	-0,560	-0,050	-0,022	-0,087	-0,0529	
29-4-15 10:40	0,95	641,09	634,15	644,83	-0,330	-0,150	-0,560	-0,051	-0,024	-0,087	-0,0540	
29-4-15 12:30	1,02	641,08	634,15	644,82	-0,340	-0,150	-0,570	-0,053	-0,024	-0,088	-0,0550	
29-4-15 12:45	1,03	641,07	634,15	644,81	-0,350	-0,150	-0,580	-0,055	-0,024	-0,090	-0,0560	
29-4-15 13:15	1,06	641,03	634,14	644,81	-0,390	-0,160	-0,580	-0,061	-0,025	-0,090	-0,0586	
29-4-15 13:45	1,08	641,02	634,14	644,80	-0,400	-0,160	-0,590	-0,062	-0,025	-0,091	-0,0597	
29-4-15 14:15	1,10	641,02	634,14	644,80	-0,400	-0,160	-0,590	-0,062	-0,025	-0,091	-0,0597	
29-4-15 14:45	1,12	641,02	634,13	644,80	-0,400	-0,170	-0,590	-0,062	-0,027	-0,091	-0,0602	
29-4-15 15:15	1,14	641,02	634,13	644,79	-0,400	-0,170	-0,600	-0,062	-0,027	-0,093	-0,0607	
29-4-15 15:45	1,16	641,01	634,13	644,79	-0,410	-0,170	-0,600	-0,064	-0,027	-0,093	-0,0612	
30-4-15 10:00	1,92	640,83	634,05	644,69	-0,590	-0,250	-0,700	-0,092	-0,039	-0,109	-0,0800	
30-4-15 11:00	1,96	640,82	634,05	644,69	-0,600	-0,250	-0,700	-0,094	-0,039	-0,109	-0,0805	
30-4-15 12:00	2,00	640,81	634,04	644,67	-0,610	-0,260	-0,720	-0,095	-0,041	-0,112	-0,0826	
30-4-15 13:00	2,05	640,80	634,04	644,66	-0,620	-0,260	-0,730	-0,097	-0,041	-0,113	-0,0836	
30-4-15 14:00	2,09	640,79	634,04	644,65	-0,630	-0,260	-0,740	-0,098	-0,041	-0,115	-0,0846	
30-4-15 15:00	2,13	640,78	634,03	644,65	-0,640	-0,270	-0,740	-0,100	-0,043	-0,115	-0,0857	
30-4-15 16:00	2,17	640,77	634,02	644,64	-0,650	-0,280	-0,750	-0,101	-0,044	-0,116	-0,0873	
4-5-15 8:45	5,87	640,13	633,73	644,23	-1,290	-0,570	-1,160	-0,201	-0,090	-0,180	-0,1569	
4-5-15 11:45	5,99	640,11	633,72	644,21	-1,310	-0,580	-1,180	-0,204	-0,091	-0,183	-0,1595	
4-5-15 13:45	6,08	640,10	633,72	644,20	-1,320	-0,580	-1,190	-0,206	-0,091	-0,184	-0,1606	
5-5-15 10:30	6,94	640,00	633,67	644,14	-1,420	-0,630	-1,250	-0,221	-0,099	-0,194	-0,1715	
5-5-15 12:30	7,02	640,00	633,66	644,13	-1,420	-0,640	-1,260	-0,221	-0,101	-0,195	-0,1725	

5-5-15 14:30	7,11	639,98	633,65	644,12	-1,440	-0,650	-1,270	-0,225	-0,102	-0,197	-0,1746
5-5-15 16:30	7,19	639,97	633,66	644,12	-1,450	-0,640	-1,270	-0,226	-0,101	-0,197	-0,1746
6-5-15 10:30	7,94	639,87	633,62	644,06	-1,550	-0,680	-1,330	-0,242	-0,107	-0,206	-0,1850
6-5-15 12:30	8,02	639,86	633,60	644,06	-1,560	-0,700	-1,330	-0,243	-0,110	-0,206	-0,1866
6-5-15 14:30	8,11	639,85	633,60	644,05	-1,570	-0,700	-1,340	-0,245	-0,110	-0,208	-0,1876
6-5-15 16:30	8,19	639,85	633,60	644,05	-1,570	-0,700	-1,340	-0,245	-0,110	-0,208	-0,1876
7-5-15 10:00	8,92	639,76	633,56	643,99	-1,660	-0,740	-1,400	-0,259	-0,117	-0,217	-0,1975
7-5-15 12:00	9,00	639,75	633,56	643,99	-1,670	-0,740	-1,400	-0,260	-0,117	-0,217	-0,1980
7-5-15 14:00	9,09	639,75	633,55	643,98	-1,670	-0,750	-1,410	-0,260	-0,118	-0,219	-0,1991
11-5-15 15:00	13,13	639,38	633,37	643,75	-2,040	-0,930	-1,640	-0,318	-0,147	-0,254	-0,2396
11-5-15 17:00	13,21	639,38	633,37	643,75	-2,040	-0,930	-1,640	-0,318	-0,147	-0,254	-0,2396
12-5-15 10:30	13,94	639,33	633,35	643,73	-2,090	-0,950	-1,660	-0,326	-0,150	-0,257	-0,2443
12-5-15 12:30	14,02	639,32	633,35	643,72	-2,100	-0,950	-1,670	-0,327	-0,150	-0,259	-0,2454
12-5-15 14:30	14,11	639,31	633,34	643,72	-2,110	-0,960	-1,670	-0,329	-0,151	-0,259	-0,2464
12-5-15 16:30	14,19	639,31	633,34	643,71	-2,110	-0,960	-1,680	-0,329	-0,151	-0,260	-0,2469
13-5-15 10:00	14,92	639,26	633,32	643,68	-2,160	-0,980	-1,710	-0,337	-0,155	-0,265	-0,2521
13-5-15 12:00	15,00	639,26	633,32	643,68	-2,160	-0,980	-1,710	-0,337	-0,155	-0,265	-0,2521
13-5-15 14:30	15,11	639,24	633,30	643,67	-2,180	-1,000	-1,720	-0,340	-0,158	-0,267	-0,2547
14-5-15 9:00	15,88	639,18	633,29	643,64	-2,240	-1,010	-1,750	-0,349	-0,159	-0,271	-0,2599
14-5-15 11:00	15,96	639,18	633,28	643,64	-2,240	-1,020	-1,750	-0,349	-0,161	-0,271	-0,2604
14-5-15 13:30	16,07	639,18	633,28	643,64	-2,240	-1,020	-1,750	-0,349	-0,161	-0,271	-0,2604
15-5-15 9:00	16,88	639,12	633,26	643,61	-2,300	-1,040	-1,780	-0,359	-0,164	-0,276	-0,2662
15-5-15 11:00	16,96	639,12	633,26	643,61	-2,300	-1,040	-1,780	-0,359	-0,164	-0,276	-0,2662
15-5-15 13:00	17,05	639,12	633,25	643,60	-2,300	-1,050	-1,790	-0,359	-0,166	-0,277	-0,2672
18-5-15 8:45	19,87	638,94	633,15	643,49	-2,480	-1,150	-1,900	-0,387	-0,181	-0,295	-0,2875
18-5-15 15:45	20,16	638,91	633,15	643,48	-2,510	-1,150	-1,910	-0,391	-0,181	-0,296	-0,2896
19-5-15 12:05	21,01	638,86	633,12	643,45	-2,560	-1,180	-1,940	-0,399	-0,186	-0,301	-0,2953
19-5-15 14:05	21,09	638,86	633,12	643,45	-2,560	-1,180	-1,940	-0,399	-0,186	-0,301	-0,2953
19-5-15 16:05	21,17	638,86	633,11	643,45	-2,560	-1,190	-1,940	-0,399	-0,188	-0,301	-0,2958
20-5-15 10:30	21,94	638,83	633,11	643,45	-2,590	-1,190	-1,940	-0,404	-0,188	-0,301	-0,2974
20-5-15 12:30	22,02	638,83	633,11	643,44	-2,590	-1,190	-1,950	-0,404	-0,188	-0,302	-0,2979
21-5-15 10:30	22,94	638,80	633,08	643,40	-2,620	-1,220	-1,990	-0,408	-0,192	-0,308	-0,3031
21-5-15 12:30	23,02	638,79	633,08	643,40	-2,630	-1,220	-1,990	-0,410	-0,192	-0,308	-0,3036
25-5-15 10:30	26,94	638,57	632,98	643,29	-2,850	-1,320	-2,100	-0,444	-0,208	-0,326	-0,3260
25-5-15 12:30	27,02	638,57	632,98	643,29	-2,850	-1,320	-2,100	-0,444	-0,208	-0,326	-0,3260
26-5-15 10:20	27,93	638,51	632,95	643,26	-2,910	-1,350	-2,130	-0,454	-0,213	-0,330	-0,3322
26-5-15 12:20	28,02	638,50	632,95	643,26	-2,920	-1,350	-2,130	-0,455	-0,213	-0,330	-0,3328

STEEL 1,28%

AUTO

Data	Time (min)	Measure			Dim. difference (DL)			Deform			Average
		FREE-1	FREE-2	FREE-3	FREE-1	FREE-2	FREE-3	FREE-1	FREE-2	FREE-3	Deform
											(με)
28-1-14 15:05	0,00	633,90	629,29	634,96	0,000	0,000	0,000	0,000	0,000	0,000	0,0000
28-1-14 15:20	0,01	633,90	629,28	634,95	0,000	-0,010	-0,010	0,000	-0,002	-0,002	-0,0011
28-1-14 15:40	0,02	633,90	629,28	634,95	0,000	-0,010	-0,010	0,000	-0,002	-0,002	-0,0011
28-1-14 15:45	0,03	633,90	629,28	634,95	0,000	-0,010	-0,010	0,000	-0,002	-0,002	-0,0011
28-1-14 16:00	0,04	633,90	629,28	634,95	0,000	-0,010	-0,010	0,000	-0,002	-0,002	-0,0011
28-1-14 16:11	0,05	633,90	629,28	634,95	0,000	-0,010	-0,010	0,000	-0,002	-0,002	-0,0011
28-1-14 16:21	0,05	633,90	629,28	634,94	0,000	-0,010	-0,020	0,000	-0,002	-0,003	-0,0016
28-1-14 16:31	0,06	633,90	629,27	634,94	0,000	-0,020	-0,020	0,000	-0,003	-0,003	-0,0021
28-1-14 16:41	0,07	633,90	629,27	634,94	0,000	-0,020	-0,020	0,000	-0,003	-0,003	-0,0021
29-1-14 10:35	0,81	633,87	629,23	634,91	-0,030	-0,060	-0,050	-0,005	-0,010	-0,008	-0,0074
29-1-14 10:50	0,82	633,87	629,22	634,91	-0,030	-0,070	-0,050	-0,005	-0,011	-0,008	-0,0079
29-1-14 11:20	0,84	633,86	629,21	634,90	-0,040	-0,080	-0,060	-0,006	-0,013	-0,009	-0,0095
29-1-14 11:50	0,86	633,86	629,22	634,90	-0,040	-0,070	-0,060	-0,006	-0,011	-0,009	-0,0090
29-1-14 12:20	0,89	633,86	629,22	634,90	-0,040	-0,070	-0,060	-0,006	-0,011	-0,009	-0,0090
29-1-14 12:50	0,91	633,85	629,21	634,90	-0,050	-0,080	-0,060	-0,008	-0,013	-0,009	-0,0100
29-1-14 13:20	0,93	633,86	629,21	634,89	-0,040	-0,080	-0,070	-0,006	-0,013	-0,011	-0,0100
29-1-14 13:50	0,95	633,85	629,20	634,86	-0,050	-0,090	-0,100	-0,008	-0,014	-0,016	-0,0126
29-1-14 14:20	0,97	633,85	629,20	634,89	-0,050	-0,090	-0,070	-0,008	-0,014	-0,011	-0,0111
29-1-14 14:50	0,99	633,86	629,21	634,89	-0,040	-0,080	-0,070	-0,006	-0,013	-0,011	-0,0100
29-1-14 15:20	1,01	633,85	629,21	634,89	-0,050	-0,080	-0,070	-0,008	-0,013	-0,011	-0,0105
29-1-14 15:50	1,03	633,85	629,20	634,88	-0,050	-0,090	-0,080	-0,008	-0,014	-0,013	-0,0116
29-1-14 16:20	1,05	633,85	629,20	634,88	-0,050	-0,090	-0,080	-0,008	-0,014	-0,013	-0,0116
29-1-14 17:50	1,11	633,84	629,20	634,88	-0,060	-0,090	-0,080	-0,009	-0,014	-0,013	-0,0121
29-1-14 18:20	1,14	633,85	629,20	634,88	-0,050	-0,090	-0,080	-0,008	-0,014	-0,013	-0,0116
29-1-14 18:50	1,16	633,85	629,20	634,88	-0,050	-0,090	-0,080	-0,008	-0,014	-0,013	-0,0116
30-1-14 11:30	1,85	633,83	629,15	634,86	-0,070	-0,140	-0,100	-0,011	-0,022	-0,016	-0,0163
30-1-14 12:35	1,90	633,82	629,16	634,85	-0,080	-0,130	-0,110	-0,013	-0,021	-0,017	-0,0169
30-1-14 13:30	1,93	633,82	629,15	634,85	-0,080	-0,140	-0,110	-0,013	-0,022	-0,017	-0,0174
30-1-14 14:30	1,98	633,82	629,15	634,85	-0,080	-0,140	-0,110	-0,013	-0,022	-0,017	-0,0174
30-1-14 15:30	2,02	633,82	629,14	634,84	-0,080	-0,150	-0,120	-0,013	-0,024	-0,019	-0,0185
30-1-14 17:30	2,10	633,81	629,13	634,84	-0,090	-0,160	-0,120	-0,014	-0,025	-0,019	-0,0195
31-1-14 10:10	2,80	633,77	629,07	634,80	-0,130	-0,220	-0,160	-0,021	-0,035	-0,025	-0,0269
31-1-14 11:10	2,84	633,77	629,07	634,80	-0,130	-0,220	-0,160	-0,021	-0,035	-0,025	-0,0269
31-1-14 12:00	2,87	633,77	629,07	634,80	-0,130	-0,220	-0,160	-0,021	-0,035	-0,025	-0,0269
31-1-14 13:40	2,94	633,77	629,07	634,79	-0,130	-0,220	-0,170	-0,021	-0,035	-0,027	-0,0274
31-1-14 15:00	3,00	633,77	629,07	634,79	-0,130	-0,220	-0,170	-0,021	-0,035	-0,027	-0,0274
31-1-14 16:00	3,04	633,76	629,06	634,79	-0,140	-0,230	-0,170	-0,022	-0,037	-0,027	-0,0285

3-2-14 8:40	5,73	633,66	628,89	634,67	-0,240	-0,400	-0,290	-0,038	-0,064	-0,046	-0,0490
3-2-14 10:40	5,82	633,66	628,89	634,67	-0,240	-0,400	-0,290	-0,038	-0,064	-0,046	-0,0490
3-2-14 12:15	5,88	633,66	628,89	634,67	-0,240	-0,400	-0,290	-0,038	-0,064	-0,046	-0,0490
3-2-14 13:40	5,94	633,66	628,89	634,67	-0,240	-0,400	-0,290	-0,038	-0,064	-0,046	-0,0490
3-2-14 14:40	5,98	633,66	628,89	634,67	-0,240	-0,400	-0,290	-0,038	-0,064	-0,046	-0,0490
3-2-14 15:45	6,03	633,65	628,88	634,67	-0,250	-0,410	-0,290	-0,039	-0,065	-0,046	-0,0501
4-2-14 11:10	6,84	633,62	628,84	634,64	-0,280	-0,450	-0,320	-0,044	-0,072	-0,050	-0,0554
4-2-14 12:40	6,90	633,62	628,84	634,64	-0,280	-0,450	-0,320	-0,044	-0,072	-0,050	-0,0554
4-2-14 13:55	6,95	633,63	628,84	634,64	-0,270	-0,450	-0,320	-0,043	-0,072	-0,050	-0,0548
4-2-14 15:40	7,02	633,63	628,83	634,64	-0,270	-0,460	-0,320	-0,043	-0,073	-0,050	-0,0554
4-2-14 17:40	7,11	633,62	628,83	634,63	-0,280	-0,460	-0,330	-0,044	-0,073	-0,052	-0,0564
5-2-14 12:00	7,87	633,60	628,80	634,61	-0,300	-0,490	-0,350	-0,047	-0,078	-0,055	-0,0601
5-2-14 13:00	7,91	633,60	628,79	634,61	-0,300	-0,500	-0,350	-0,047	-0,079	-0,055	-0,0606
5-2-14 14:00	7,95	633,60	628,80	634,61	-0,300	-0,490	-0,350	-0,047	-0,078	-0,055	-0,0601
5-2-14 14:30	7,98	633,60	628,80	634,61	-0,300	-0,490	-0,350	-0,047	-0,078	-0,055	-0,0601
5-2-14 15:30	8,02	633,60	628,79	634,61	-0,300	-0,500	-0,350	-0,047	-0,079	-0,055	-0,0606
6-2-14 10:30	8,81	633,58	628,76	634,59	-0,320	-0,530	-0,370	-0,050	-0,084	-0,058	-0,0643
6-2-14 11:30	8,85	633,59	628,76	634,59	-0,310	-0,530	-0,370	-0,049	-0,084	-0,058	-0,0638
6-2-14 12:30	8,89	633,59	628,77	634,60	-0,310	-0,520	-0,360	-0,049	-0,083	-0,057	-0,0627
6-2-14 13:30	8,93	633,57	628,76	634,59	-0,330	-0,530	-0,370	-0,052	-0,084	-0,058	-0,0649
6-2-14 14:30	8,98	633,58	628,76	634,59	-0,320	-0,530	-0,370	-0,050	-0,084	-0,058	-0,0643
6-2-14 15:30	9,02	633,58	628,75	634,59	-0,320	-0,540	-0,370	-0,050	-0,086	-0,058	-0,0649
7-2-14 11:30	9,85	633,57	628,73	634,58	-0,330	-0,560	-0,380	-0,052	-0,089	-0,060	-0,0670
7-2-14 12:30	9,89	633,56	628,73	634,57	-0,340	-0,560	-0,390	-0,054	-0,089	-0,061	-0,0680
7-2-14 13:30	9,93	633,57	628,73	634,57	-0,330	-0,560	-0,390	-0,052	-0,089	-0,061	-0,0675
7-2-14 14:30	9,98	633,56	628,73	634,57	-0,340	-0,560	-0,390	-0,054	-0,089	-0,061	-0,0680
7-2-14 15:30	10,02	633,55	628,72	634,56	-0,350	-0,570	-0,400	-0,055	-0,091	-0,063	-0,0696
10-2-14 10:40	12,82	633,51	628,63	634,52	-0,390	-0,660	-0,440	-0,062	-0,105	-0,069	-0,0786
10-2-14 11:40	12,86	633,50	628,63	634,52	-0,400	-0,660	-0,440	-0,063	-0,105	-0,069	-0,0791
10-2-14 12:40	12,90	633,50	628,63	634,52	-0,400	-0,660	-0,440	-0,063	-0,105	-0,069	-0,0791
10-2-14 13:40	12,94	633,50	628,63	634,52	-0,400	-0,660	-0,440	-0,063	-0,105	-0,069	-0,0791
10-2-14 15:00	13,00	633,50	628,62	634,51	-0,400	-0,670	-0,450	-0,063	-0,106	-0,071	-0,0801
10-2-14 16:00	13,04	633,50	628,62	634,51	-0,400	-0,670	-0,450	-0,063	-0,106	-0,071	-0,0801
11-2-14 11:20	13,84	633,49	628,60	634,50	-0,410	-0,690	-0,460	-0,065	-0,110	-0,072	-0,0823
11-2-14 12:20	13,89	633,49	628,60	634,50	-0,410	-0,690	-0,460	-0,065	-0,110	-0,072	-0,0823
11-2-14 13:20	13,93	633,49	628,60	634,50	-0,410	-0,690	-0,460	-0,065	-0,110	-0,072	-0,0823
11-2-14 14:45	13,99	633,49	628,60	634,50	-0,410	-0,690	-0,460	-0,065	-0,110	-0,072	-0,0823
11-2-14 15:45	14,03	633,49	628,60	634,50	-0,410	-0,690	-0,460	-0,065	-0,110	-0,072	-0,0823
12-2-14 11:00	14,83	633,48	628,59	634,49	-0,420	-0,700	-0,470	-0,066	-0,111	-0,074	-0,0838
12-2-14 13:50	14,95	633,48	628,59	634,49	-0,420	-0,700	-0,470	-0,066	-0,111	-0,074	-0,0838
12-2-14 14:45	14,99	633,47	628,58	634,49	-0,430	-0,710	-0,470	-0,068	-0,113	-0,074	-0,0849
12-2-14 15:45	15,03	633,47	628,58	634,49	-0,430	-0,710	-0,470	-0,068	-0,113	-0,074	-0,0849
13-2-14 11:20	15,84	633,45	628,53	634,46	-0,450	-0,760	-0,500	-0,071	-0,121	-0,079	-0,0902
13-2-14 12:20	15,89	633,45	628,52	634,46	-0,450	-0,770	-0,500	-0,071	-0,122	-0,079	-0,0907

13-2-14 13:40	15,94	633,45	628,52	634,46	-0,450	-0,770	-0,500	-0,071	-0,122	-0,079	-0,0907
13-2-14 14:40	15,98	633,45	628,52	634,46	-0,450	-0,770	-0,500	-0,071	-0,122	-0,079	-0,0907
13-2-14 16:00	16,04	633,44	628,52	634,46	-0,460	-0,770	-0,500	-0,073	-0,122	-0,079	-0,0912
14-2-14 12:10	16,88	633,42	628,47	634,43	-0,480	-0,820	-0,530	-0,076	-0,130	-0,083	-0,0965
14-2-14 13:55	16,95	633,41	628,46	634,43	-0,490	-0,830	-0,530	-0,077	-0,132	-0,083	-0,0976
14-2-14 15:55	17,03	633,41	628,45	634,42	-0,490	-0,840	-0,540	-0,077	-0,133	-0,085	-0,0986
17-2-14 11:40	19,86	633,32	628,30	634,33	-0,580	-0,990	-0,630	-0,091	-0,157	-0,099	-0,1160
17-2-14 13:40	19,94	633,32	628,30	634,33	-0,580	-0,990	-0,630	-0,091	-0,157	-0,099	-0,1160
17-2-14 15:40	20,02	633,31	628,30	634,33	-0,590	-0,990	-0,630	-0,093	-0,157	-0,099	-0,1165
18-2-14 12:00	20,87	633,29	628,26	634,30	-0,610	-1,030	-0,660	-0,096	-0,164	-0,104	-0,1213
18-2-14 14:00	20,95	633,29	628,26	634,30	-0,610	-1,030	-0,660	-0,096	-0,164	-0,104	-0,1213
18-2-14 16:00	21,04	633,28	628,25	634,30	-0,620	-1,040	-0,660	-0,098	-0,165	-0,104	-0,1223
19-2-14 12:20	21,89	633,26	628,21	634,28	-0,640	-1,080	-0,680	-0,101	-0,172	-0,107	-0,1266
19-2-14 16:00	22,04	633,26	628,20	634,27	-0,640	-1,090	-0,690	-0,101	-0,173	-0,109	-0,1276
20-2-14 11:40	22,86	633,23	628,16	634,25	-0,670	-1,130	-0,710	-0,106	-0,180	-0,112	-0,1324
20-2-14 16:00	23,04	633,22	628,15	634,24	-0,680	-1,140	-0,720	-0,107	-0,181	-0,113	-0,1339
21-2-14 11:20	23,84	633,20	628,11	634,22	-0,700	-1,180	-0,740	-0,110	-0,188	-0,117	-0,1382
21-2-14 15:45	24,03	633,20	628,11	634,22	-0,700	-1,180	-0,740	-0,110	-0,188	-0,117	-0,1382
24-2-14 10:30	26,81	633,12	627,99	634,14	-0,780	-1,300	-0,820	-0,123	-0,207	-0,129	-0,1529
24-2-14 15:50	27,03	633,11	627,98	634,14	-0,790	-1,310	-0,820	-0,125	-0,208	-0,129	-0,1540
25-2-14 10:15	27,80	633,08	627,95	634,11	-0,820	-1,340	-0,850	-0,129	-0,213	-0,134	-0,1587
25-2-14 15:00	28,00	633,08	627,94	634,11	-0,820	-1,350	-0,850	-0,129	-0,215	-0,134	-0,1593

3-SISAL.SAT

AUTO

Data	Time (min)	Measure			Dim. difference (DL)			Deform			Average
		FREE-1	FREE-2	FREE-3	FREE-1	FREE-2	FREE-3	FREE-1	FREE-2	FREE-3	Deform
		(mm)			(mm)			(ε)			(με)
4-2-14 12:30	0,00	590,77	596,41	597,04	0,000	0,000	0,000	0,000	0,000	0,000	0,0000
4-2-14 13:00	0,02	590,77	596,41	597,04	0,000	0,000	0,000	0,000	0,000	0,000	0,0000
4-2-14 13:30	0,04	590,77	596,41	597,04	0,000	0,000	0,000	0,000	0,000	0,000	0,0000
4-2-14 14:00	0,06	590,76	596,40	597,03	-0,010	-0,010	-0,010	-0,002	-0,002	-0,002	-0,0017
4-2-14 14:30	0,08	590,76	596,41	597,03	-0,010	0,000	-0,010	-0,002	0,000	-0,002	-0,0011
4-2-14 15:00	0,10	590,76	596,40	597,03	-0,010	-0,010	-0,010	-0,002	-0,002	-0,002	-0,0017
4-2-14 15:30	0,13	590,75	596,40	597,02	-0,020	-0,010	-0,020	-0,003	-0,002	-0,003	-0,0028
4-2-14 16:00	0,15	590,76	596,40	597,02	-0,010	-0,010	-0,020	-0,002	-0,002	-0,003	-0,0022
4-2-14 17:30	0,21	590,75	596,40	597,02	-0,020	-0,010	-0,020	-0,003	-0,002	-0,003	-0,0028
5-2-14 11:50	0,97	590,70	596,36	596,95	-0,070	-0,050	-0,090	-0,012	-0,008	-0,015	-0,0118
5-2-14 12:30	1,00	590,69	596,35	596,95	-0,080	-0,060	-0,090	-0,014	-0,010	-0,015	-0,0129
5-2-14 13:00	1,02	590,69	596,35	596,95	-0,080	-0,060	-0,090	-0,014	-0,010	-0,015	-0,0129
5-2-14 13:30	1,04	590,69	596,35	596,95	-0,080	-0,060	-0,090	-0,014	-0,010	-0,015	-0,0129
5-2-14 14:00	1,06	590,69	596,35	596,95	-0,080	-0,060	-0,090	-0,014	-0,010	-0,015	-0,0129
5-2-14 14:30	1,08	590,69	596,35	596,95	-0,080	-0,060	-0,090	-0,014	-0,010	-0,015	-0,0129
5-2-14 15:05	1,11	590,69	596,35	596,94	-0,080	-0,060	-0,100	-0,014	-0,010	-0,017	-0,0135
5-2-14 15:35	1,13	590,69	596,35	596,94	-0,080	-0,060	-0,100	-0,014	-0,010	-0,017	-0,0135
6-2-14 10:30	1,92	590,64	596,32	596,90	-0,130	-0,090	-0,140	-0,022	-0,015	-0,023	-0,0202
6-2-14 11:30	1,96	590,65	596,32	596,90	-0,120	-0,090	-0,140	-0,020	-0,015	-0,023	-0,0196
6-2-14 12:30	2,00	590,65	596,32	596,90	-0,120	-0,090	-0,140	-0,020	-0,015	-0,023	-0,0196
6-2-14 13:30	2,04	590,64	596,31	596,89	-0,130	-0,100	-0,150	-0,022	-0,017	-0,025	-0,0213
6-2-14 14:30	2,08	590,64	596,31	596,89	-0,130	-0,100	-0,150	-0,022	-0,017	-0,025	-0,0213
6-2-14 15:30	2,13	590,63	596,31	596,88	-0,140	-0,100	-0,160	-0,024	-0,017	-0,027	-0,0224
7-2-14 11:30	2,96	590,59	596,28	596,85	-0,180	-0,130	-0,190	-0,030	-0,022	-0,032	-0,0280
7-2-14 12:30	3,00	590,58	596,27	596,83	-0,190	-0,140	-0,210	-0,032	-0,023	-0,035	-0,0303
7-2-14 13:30	3,04	590,58	596,27	596,84	-0,190	-0,140	-0,200	-0,032	-0,023	-0,033	-0,0297
7-2-14 14:30	3,08	590,58	596,27	596,84	-0,190	-0,140	-0,200	-0,032	-0,023	-0,033	-0,0297
7-2-14 15:30	3,13	590,59	596,28	596,84	-0,180	-0,130	-0,200	-0,030	-0,022	-0,033	-0,0286
10-2-14 10:40	5,92	590,49	596,20	596,74	-0,280	-0,210	-0,300	-0,047	-0,035	-0,050	-0,0443
10-2-14 11:40	5,97	590,49	596,20	596,74	-0,280	-0,210	-0,300	-0,047	-0,035	-0,050	-0,0443
10-2-14 12:40	6,01	590,49	596,20	596,74	-0,280	-0,210	-0,300	-0,047	-0,035	-0,050	-0,0443
10-2-14 13:40	6,05	590,49	596,20	596,74	-0,280	-0,210	-0,300	-0,047	-0,035	-0,050	-0,0443
10-2-14 15:00	6,10	590,49	596,20	596,73	-0,280	-0,210	-0,310	-0,047	-0,035	-0,052	-0,0448
10-2-14 16:00	6,15	590,49	596,20	596,73	-0,280	-0,210	-0,310	-0,047	-0,035	-0,052	-0,0448
11-2-14 11:20	6,95	590,46	596,18	596,71	-0,310	-0,230	-0,330	-0,052	-0,039	-0,055	-0,0488
11-2-14 12:20	6,99	590,46	596,18	596,71	-0,310	-0,230	-0,330	-0,052	-0,039	-0,055	-0,0488

11-2-14 13:20	7,03	590,46	596,18	596,71	-0,310	-0,230	-0,330	-0,052	-0,039	-0,055	-0,0488
11-2-14 14:45	7,09	590,46	596,18	596,71	-0,310	-0,230	-0,330	-0,052	-0,039	-0,055	-0,0488
11-2-14 15:45	7,14	590,46	596,17	596,71	-0,310	-0,240	-0,330	-0,052	-0,040	-0,055	-0,0493
12-2-14 11:00	7,94	590,45	596,17	596,71	-0,320	-0,240	-0,330	-0,054	-0,040	-0,055	-0,0499
12-2-14 13:50	8,06	590,45	596,17	596,70	-0,320	-0,240	-0,340	-0,054	-0,040	-0,057	-0,0505
12-2-14 14:45	8,09	590,44	596,16	596,70	-0,330	-0,250	-0,340	-0,056	-0,042	-0,057	-0,0516
12-2-14 15:45	8,14	590,44	596,16	596,69	-0,330	-0,250	-0,350	-0,056	-0,042	-0,059	-0,0521
13-2-14 11:20	8,95	590,40	596,12	596,65	-0,370	-0,290	-0,390	-0,063	-0,049	-0,065	-0,0589
13-2-14 12:20	8,99	590,40	596,12	596,65	-0,370	-0,290	-0,390	-0,063	-0,049	-0,065	-0,0589
13-2-14 13:40	9,05	590,41	596,12	596,65	-0,360	-0,290	-0,390	-0,061	-0,049	-0,065	-0,0583
13-2-14 14:40	9,09	590,40	596,12	596,65	-0,370	-0,290	-0,390	-0,063	-0,049	-0,065	-0,0589
13-2-14 16:00	9,15	590,40	596,12	596,65	-0,370	-0,290	-0,390	-0,063	-0,049	-0,065	-0,0589
14-2-14 12:10	9,99	590,37	596,08	596,61	-0,400	-0,330	-0,430	-0,068	-0,055	-0,072	-0,0650
14-2-14 13:55	10,06	590,36	596,08	596,60	-0,410	-0,330	-0,440	-0,069	-0,055	-0,074	-0,0661
14-2-14 15:55	10,14	590,36	596,08	596,61	-0,410	-0,330	-0,430	-0,069	-0,055	-0,072	-0,0656
17-2-14 11:40	12,97	590,27	595,99	596,50	-0,500	-0,420	-0,540	-0,085	-0,070	-0,090	-0,0818
17-2-14 13:40	13,05	590,26	595,98	596,50	-0,510	-0,430	-0,540	-0,086	-0,072	-0,090	-0,0830
17-2-14 15:40	13,13	590,26	595,98	596,50	-0,510	-0,430	-0,540	-0,086	-0,072	-0,090	-0,0830
18-2-14 12:00	13,98	590,23	595,95	596,47	-0,540	-0,460	-0,570	-0,091	-0,077	-0,095	-0,0880
18-2-14 14:00	14,06	590,22	595,95	596,46	-0,550	-0,460	-0,580	-0,093	-0,077	-0,097	-0,0891
18-2-14 16:00	14,15	590,22	595,96	596,46	-0,550	-0,450	-0,580	-0,093	-0,075	-0,097	-0,0886
19-2-14 12:20	14,99	590,20	595,93	596,44	-0,570	-0,480	-0,600	-0,096	-0,080	-0,100	-0,0925
19-2-14 16:00	15,15	590,19	595,93	596,44	-0,580	-0,480	-0,600	-0,098	-0,080	-0,100	-0,0931
20-2-14 11:40	15,97	590,17	595,90	596,41	-0,600	-0,510	-0,630	-0,102	-0,086	-0,106	-0,0975
20-2-14 16:00	16,15	590,16	595,89	596,41	-0,610	-0,520	-0,630	-0,103	-0,087	-0,106	-0,0987
21-2-14 11:20	16,95	590,13	595,87	596,38	-0,640	-0,540	-0,660	-0,108	-0,091	-0,111	-0,1031
21-2-14 15:45	17,14	590,13	595,87	596,38	-0,640	-0,540	-0,660	-0,108	-0,091	-0,111	-0,1031
24-2-14 10:30	19,92	590,05	595,80	596,30	-0,720	-0,610	-0,740	-0,122	-0,102	-0,124	-0,1160
24-2-14 15:50	20,14	590,05	595,80	596,30	-0,720	-0,610	-0,740	-0,122	-0,102	-0,124	-0,1160
25-2-14 10:30	20,92	590,02	595,77	596,26	-0,750	-0,640	-0,780	-0,127	-0,107	-0,131	-0,1216
25-2-14 15:00	21,10	590,01	595,76	596,26	-0,760	-0,650	-0,780	-0,129	-0,109	-0,131	-0,1228
26-2-14 10:05	21,90	589,99	595,74	596,24	-0,780	-0,670	-0,800	-0,132	-0,112	-0,134	-0,1261
26-2-14 15:15	22,11	589,98	595,73	596,24	-0,790	-0,680	-0,800	-0,134	-0,114	-0,134	-0,1272
27-2-14 10:20	22,91	589,96	595,71	596,22	-0,810	-0,700	-0,820	-0,137	-0,117	-0,137	-0,1306
27-2-14 15:20	23,12	589,96	595,70	596,21	-0,810	-0,710	-0,830	-0,137	-0,119	-0,139	-0,1317
28-2-14 10:50	23,93	589,95	595,69	596,20	-0,820	-0,720	-0,840	-0,139	-0,121	-0,141	-0,1334
28-2-14 15:30	24,13	589,94	595,69	596,19	-0,830	-0,720	-0,850	-0,140	-0,121	-0,142	-0,1345
3-3-14 10:30	26,92	589,86	595,61	596,13	-0,910	-0,800	-0,910	-0,154	-0,134	-0,152	-0,1469
3-3-14 15:40	27,13	589,85	595,60	596,12	-0,920	-0,810	-0,920	-0,156	-0,136	-0,154	-0,1485
4-3-14 11:15	27,95	589,83	595,57	596,10	-0,940	-0,840	-0,940	-0,159	-0,141	-0,157	-0,1525
4-3-14 15:30	28,13	589,83	595,57	596,10	-0,940	-0,840	-0,940	-0,159	-0,141	-0,157	-0,1525

4-SISAL.NS

AUTO

Data	Time (min)	Measure			Dim. difference (DL)			Deform			Average
		FREE-1	FREE-2	FREE-3	FREE-1	FREE-2	FREE-3	FREE-1	FREE-2	FREE-3	Deform
		(mm)			(mm)			(ε)			(με)
4-2-14 12:30	0,00	603,26	601,98	598,60	0,000	0,000	0,000	0,000	0,000	0,000	0,0000
4-2-14 13:00	0,02	603,26	601,97	598,59	0,000	-0,010	-0,010	0,000	-0,002	-0,002	-0,0011
4-2-14 13:30	0,04	603,25	601,96	598,59	-0,010	-0,020	-0,010	-0,002	-0,003	-0,002	-0,0022
4-2-14 14:00	0,06	603,25	601,97	598,59	-0,010	-0,010	-0,010	-0,002	-0,002	-0,002	-0,0017
4-2-14 14:30	0,08	603,25	601,97	598,59	-0,010	-0,010	-0,010	-0,002	-0,002	-0,002	-0,0017
4-2-14 15:00	0,10	603,24	601,96	598,58	-0,020	-0,020	-0,020	-0,003	-0,003	-0,003	-0,0033
4-2-14 15:30	0,13	603,25	601,97	598,58	-0,010	-0,010	-0,020	-0,002	-0,002	-0,003	-0,0022
4-2-14 16:00	0,15	603,25	601,97	598,58	-0,010	-0,010	-0,020	-0,002	-0,002	-0,003	-0,0022
4-2-14 17:30	0,21	603,24	601,96	598,58	-0,020	-0,020	-0,020	-0,003	-0,003	-0,003	-0,0033
5-2-14 11:50	0,97	603,21	601,93	598,54	-0,050	-0,050	-0,060	-0,008	-0,008	-0,010	-0,0089
5-2-14 12:30	1,00	603,21	601,93	598,54	-0,050	-0,050	-0,060	-0,008	-0,008	-0,010	-0,0089
5-2-14 13:00	1,02	603,22	601,93	598,54	-0,040	-0,050	-0,060	-0,007	-0,008	-0,010	-0,0083
5-2-14 13:30	1,04	603,21	601,93	598,54	-0,050	-0,050	-0,060	-0,008	-0,008	-0,010	-0,0089
5-2-14 14:00	1,06	603,21	601,93	598,54	-0,050	-0,050	-0,060	-0,008	-0,008	-0,010	-0,0089
5-2-14 14:30	1,08	603,21	601,93	598,54	-0,050	-0,050	-0,060	-0,008	-0,008	-0,010	-0,0089
5-2-14 15:05	1,11	603,22	601,93	598,55	-0,040	-0,050	-0,050	-0,007	-0,008	-0,008	-0,0078
5-2-14 15:35	1,13	603,22	601,93	598,55	-0,040	-0,050	-0,050	-0,007	-0,008	-0,008	-0,0078
6-2-14 10:30	1,92	603,18	601,89	598,51	-0,080	-0,090	-0,090	-0,013	-0,015	-0,015	-0,0144
6-2-14 11:30	1,96	603,18	601,90	598,51	-0,080	-0,080	-0,090	-0,013	-0,013	-0,015	-0,0139
6-2-14 12:30	2,00	603,19	601,91	598,51	-0,070	-0,070	-0,090	-0,012	-0,012	-0,015	-0,0128
6-2-14 13:30	2,04	603,19	601,90	598,50	-0,070	-0,080	-0,100	-0,012	-0,013	-0,017	-0,0139
6-2-14 14:30	2,08	603,18	601,89	598,50	-0,080	-0,090	-0,100	-0,013	-0,015	-0,017	-0,0150
6-2-14 15:30	2,13	603,17	601,89	598,49	-0,090	-0,090	-0,110	-0,015	-0,015	-0,018	-0,0161
7-2-14 11:30	2,96	603,16	601,87	598,47	-0,100	-0,110	-0,130	-0,017	-0,018	-0,022	-0,0189
7-2-14 12:30	3,00	603,15	601,87	598,48	-0,110	-0,110	-0,120	-0,018	-0,018	-0,020	-0,0189
7-2-14 13:30	3,04	603,16	601,87	598,47	-0,100	-0,110	-0,130	-0,017	-0,018	-0,022	-0,0189
7-2-14 14:30	3,08	603,15	601,86	598,47	-0,110	-0,120	-0,130	-0,018	-0,020	-0,022	-0,0200
7-2-14 15:30	3,13	603,16	601,86	598,46	-0,100	-0,120	-0,140	-0,017	-0,020	-0,023	-0,0200
10-2-14 10:40	5,92	603,11	601,83	598,42	-0,150	-0,150	-0,180	-0,025	-0,025	-0,030	-0,0266
10-2-14 11:40	5,97	603,11	601,83	598,41	-0,150	-0,150	-0,190	-0,025	-0,025	-0,032	-0,0272
10-2-14 12:40	6,01	603,11	601,83	598,41	-0,150	-0,150	-0,190	-0,025	-0,025	-0,032	-0,0272
10-2-14 13:40	6,05	603,11	601,83	598,41	-0,150	-0,150	-0,190	-0,025	-0,025	-0,032	-0,0272
10-2-14 15:00	6,10	603,11	601,82	598,41	-0,150	-0,160	-0,190	-0,025	-0,027	-0,032	-0,0277
10-2-14 16:00	6,15	603,11	601,82	598,41	-0,150	-0,160	-0,190	-0,025	-0,027	-0,032	-0,0277
11-2-14 11:20	6,95	603,09	601,81	598,39	-0,170	-0,170	-0,210	-0,028	-0,028	-0,035	-0,0305
11-2-14 12:20	6,99	603,09	601,81	598,39	-0,170	-0,170	-0,210	-0,028	-0,028	-0,035	-0,0305
11-2-14 13:20	7,03	603,09	601,80	598,39	-0,170	-0,180	-0,210	-0,028	-0,030	-0,035	-0,0311
11-2-14 14:45	7,09	603,09	601,80	598,38	-0,170	-0,180	-0,220	-0,028	-0,030	-0,037	-0,0316
11-2-14 15:45	7,14	603,09	601,80	598,38	-0,170	-0,180	-0,220	-0,028	-0,030	-0,037	-0,0316

12-2-14 11:00	7,94	603,09	601,81	598,39	-0,170	-0,170	-0,210	-0,028	-0,028	-0,035	-0,035
12-2-14 13:50	8,06	603,09	601,81	598,39	-0,170	-0,170	-0,210	-0,028	-0,028	-0,035	-0,035
12-2-14 14:45	8,09	603,09	601,80	598,39	-0,170	-0,180	-0,210	-0,028	-0,030	-0,035	-0,0311
12-2-14 15:45	8,14	603,09	601,80	598,39	-0,170	-0,180	-0,210	-0,028	-0,030	-0,035	-0,0311
13-2-14 11:20	8,95	603,06	601,78	598,36	-0,200	-0,200	-0,240	-0,033	-0,033	-0,040	-0,0355
13-2-14 12:20	8,99	603,07	601,78	598,36	-0,190	-0,200	-0,240	-0,031	-0,033	-0,040	-0,0349
13-2-14 13:40	9,05	603,07	601,77	598,35	-0,190	-0,210	-0,250	-0,031	-0,035	-0,042	-0,0360
13-2-14 14:40	9,09	603,07	601,77	598,35	-0,190	-0,210	-0,250	-0,031	-0,035	-0,042	-0,0360
13-2-14 16:00	9,15	603,06	601,77	598,35	-0,200	-0,210	-0,250	-0,033	-0,035	-0,042	-0,0366
14-2-14 12:10	9,99	603,04	601,75	598,33	-0,220	-0,230	-0,270	-0,036	-0,038	-0,045	-0,0399
14-2-14 13:55	10,06	603,04	601,75	598,32	-0,220	-0,230	-0,280	-0,036	-0,038	-0,047	-0,0405
14-2-14 15:55	10,14	603,04	601,75	598,32	-0,220	-0,230	-0,280	-0,036	-0,038	-0,047	-0,0405
17-2-14 11:40	12,97	602,98	601,69	598,26	-0,280	-0,290	-0,340	-0,046	-0,048	-0,057	-0,0505
17-2-14 13:40	13,05	602,98	601,69	598,25	-0,280	-0,290	-0,350	-0,046	-0,048	-0,058	-0,0510
17-2-14 15:40	13,13	602,97	601,68	598,24	-0,290	-0,300	-0,360	-0,048	-0,050	-0,060	-0,0527
18-2-14 12:00	13,98	602,95	601,66	598,22	-0,310	-0,320	-0,380	-0,051	-0,053	-0,063	-0,0560
18-2-14 14:00	14,06	602,95	601,66	598,22	-0,310	-0,320	-0,380	-0,051	-0,053	-0,063	-0,0560
18-2-14 16:00	14,15	602,95	601,66	598,21	-0,310	-0,320	-0,390	-0,051	-0,053	-0,065	-0,0566
19-2-14 12:20	14,99	602,94	601,64	598,20	-0,320	-0,340	-0,400	-0,053	-0,056	-0,067	-0,0588
19-2-14 16:00	15,15	602,93	601,64	598,19	-0,330	-0,340	-0,410	-0,055	-0,056	-0,068	-0,0599
20-2-14 11:40	15,97	602,92	601,63	598,17	-0,340	-0,350	-0,430	-0,056	-0,058	-0,072	-0,0621
20-2-14 16:00	16,15	602,92	601,62	598,17	-0,340	-0,360	-0,430	-0,056	-0,060	-0,072	-0,0627
21-2-14 11:20	16,95	602,90	601,60	598,15	-0,360	-0,380	-0,450	-0,060	-0,063	-0,075	-0,0660
21-2-14 15:45	17,14	602,90	601,61	598,15	-0,360	-0,370	-0,450	-0,060	-0,061	-0,075	-0,0654
24-2-14 10:30	19,92	602,85	601,55	598,08	-0,410	-0,430	-0,520	-0,068	-0,071	-0,087	-0,0754
24-2-14 15:50	20,14	602,85	601,55	598,08	-0,410	-0,430	-0,520	-0,068	-0,071	-0,087	-0,0754
25-2-14 10:30	20,92	602,84	601,54	598,07	-0,420	-0,440	-0,530	-0,070	-0,073	-0,089	-0,0771
25-2-14 15:00	21,10	602,83	601,53	598,05	-0,430	-0,450	-0,550	-0,071	-0,075	-0,092	-0,0793
26-2-14 10:05	21,90	602,81	601,51	598,03	-0,450	-0,470	-0,570	-0,075	-0,078	-0,095	-0,0826
26-2-14 15:15	22,11	602,81	601,51	598,03	-0,450	-0,470	-0,570	-0,075	-0,078	-0,095	-0,0826
27-2-14 10:20	22,91	602,79	601,50	598,01	-0,470	-0,480	-0,590	-0,078	-0,080	-0,099	-0,0854
27-2-14 15:20	23,12	602,78	601,49	598,01	-0,480	-0,490	-0,590	-0,080	-0,081	-0,099	-0,0865
28-2-14 10:50	23,93	602,78	601,48	598,00	-0,480	-0,500	-0,600	-0,080	-0,083	-0,100	-0,0876
28-2-14 15:30	24,13	602,78	601,48	597,99	-0,480	-0,500	-0,610	-0,080	-0,083	-0,102	-0,0882
3-3-14 10:30	26,92	602,73	601,43	597,93	-0,530	-0,550	-0,670	-0,088	-0,091	-0,112	-0,0970
3-3-14 15:40	27,13	602,72	601,43	597,93	-0,540	-0,550	-0,670	-0,090	-0,091	-0,112	-0,0976
4-3-14 11:15	27,95	602,71	601,42	597,91	-0,550	-0,560	-0,690	-0,091	-0,093	-0,115	-0,0998
4-3-14 15:30	28,13	602,71	601,41	597,91	-0,550	-0,570	-0,690	-0,091	-0,095	-0,115	-0,1004

5-EUC

AUTO

Data	Time (min)	Measure			Dim. difference (DL)			Deform			Average
		FREE-1	FREE-2	FREE-3	FREE-1	FREE-2	FREE-3	FREE-1	FREE-2	FREE-3	Deform
		(mm)			(mm)			(ε)			(με)
29-4-14 13:00	0,00	568,50	566,55	569,65	0,000	0,000	0,000	0,000	0,000	0,000	0,0000
29-4-14 13:15	0,01	568,50	566,55	569,65	0,000	0,000	0,000	0,000	0,000	0,000	0,0000
29-4-14 13:45	0,03	568,49	566,54	569,64	-0,010	-0,010	-0,010	-0,002	-0,002	-0,002	-0,0018
29-4-14 14:00	0,04	568,49	566,53	569,64	-0,010	-0,020	-0,010	-0,002	-0,004	-0,002	-0,0023
29-4-14 14:15	0,05	568,49	566,53	569,63	-0,010	-0,020	-0,020	-0,002	-0,004	-0,004	-0,0029
29-4-14 14:45	0,07	568,49	566,53	569,64	-0,010	-0,020	-0,010	-0,002	-0,004	-0,002	-0,0023
29-4-14 15:15	0,09	568,48	566,53	569,63	-0,020	-0,020	-0,020	-0,004	-0,004	-0,004	-0,0035
29-4-14 15:30	0,10	568,48	566,53	569,63	-0,020	-0,020	-0,020	-0,004	-0,004	-0,004	-0,0035
30-4-14 12:30	0,98	568,43	566,41	569,54	-0,070	-0,140	-0,110	-0,012	-0,025	-0,019	-0,0188
30-4-14 14:30	1,06	568,42	566,40	569,55	-0,080	-0,150	-0,100	-0,014	-0,026	-0,018	-0,0194
30-4-14 15:30	1,10	568,43	566,41	569,55	-0,070	-0,140	-0,100	-0,012	-0,025	-0,018	-0,0182
5-5-14 10:50	5,91	568,21	566,07	569,31	-0,290	-0,480	-0,340	-0,051	-0,085	-0,060	-0,0651
5-5-14 12:50	5,99	568,20	566,06	569,30	-0,300	-0,490	-0,350	-0,053	-0,086	-0,061	-0,0669
5-5-14 16:00	6,13	568,20	566,05	569,30	-0,300	-0,500	-0,350	-0,053	-0,088	-0,061	-0,0675
6-5-14 13:30	7,02	568,16	566,00	569,27	-0,340	-0,550	-0,380	-0,060	-0,097	-0,067	-0,0745
6-5-14 15:00	7,08	568,15	566,00	569,26	-0,350	-0,550	-0,390	-0,062	-0,097	-0,068	-0,0757
7-5-14 9:40	7,86	568,13	565,96	569,24	-0,370	-0,590	-0,410	-0,065	-0,104	-0,072	-0,0804
7-5-14 15:00	8,08	568,10	565,94	569,21	-0,400	-0,610	-0,440	-0,070	-0,108	-0,077	-0,0851
8-5-14 15:00	9,08	568,05	565,90	569,20	-0,450	-0,650	-0,450	-0,079	-0,115	-0,079	-0,0910
9-5-14 13:10	10,01	568,02	565,87	569,17	-0,480	-0,680	-0,480	-0,084	-0,120	-0,084	-0,0962
9-5-14 15:00	10,08	568,01	565,86	569,16	-0,490	-0,690	-0,490	-0,086	-0,122	-0,086	-0,0980
12-5-14 15:00	13,08	567,88	565,75	569,09	-0,620	-0,800	-0,560	-0,109	-0,141	-0,098	-0,1162
13-5-14 16:00	14,13	567,83	565,71	569,06	-0,670	-0,840	-0,590	-0,118	-0,148	-0,104	-0,1232
14-5-14 16:00	15,13	567,78	565,67	569,03	-0,720	-0,880	-0,620	-0,127	-0,155	-0,109	-0,1303
15-5-14 15:30	16,10	567,74	565,64	569,00	-0,760	-0,910	-0,650	-0,134	-0,161	-0,114	-0,1361
16-5-14 15:30	17,10	567,71	565,62	568,98	-0,790	-0,930	-0,670	-0,139	-0,164	-0,118	-0,1402
20-5-14 16:00	21,13	567,55	565,50	568,91	-0,950	-1,050	-0,740	-0,167	-0,185	-0,130	-0,1608
21-5-14 15:30	22,10	567,51	565,47	568,88	-0,990	-1,080	-0,770	-0,174	-0,191	-0,135	-0,1666
22-5-14 11:30	22,94	567,49	565,46	568,87	-1,010	-1,090	-0,780	-0,178	-0,192	-0,137	-0,1690
26-5-14 16:30	27,15	567,33	565,34	568,77	-1,170	-1,210	-0,880	-0,206	-0,214	-0,154	-0,1913
27-5-14 15:30	28,10	567,30	565,32	568,77	-1,200	-1,230	-0,880	-0,211	-0,217	-0,154	-0,1942

6-NANO

AUTO

Data	Time (min)	Measure			Dim. difference (DL)			Deform			Average
		FREE-1	FREE-2	FREE-3	FREE-1	FREE-2	FREE-3	FREE-1	FREE-2	FREE-3	Deform
		(mm)			(mm)			(ε)			(με)
4-2-14 12:30	0,00	604,28	596,07	607,35	0,000	0,000	0,000	0,000	0,000	0,000	0,0000
4-2-14 13:00	0,02	604,27	596,06	607,34	-0,010	-0,010	-0,010	-0,002	-0,002	-0,002	-0,0017
4-2-14 13:30	0,04	604,27	596,06	607,34	-0,010	-0,010	-0,010	-0,002	-0,002	-0,002	-0,0017
4-2-14 14:00	0,06	604,27	596,06	607,34	-0,010	-0,010	-0,010	-0,002	-0,002	-0,002	-0,0017
4-2-14 14:30	0,08	604,27	596,06	607,34	-0,010	-0,010	-0,010	-0,002	-0,002	-0,002	-0,0017
4-2-14 15:00	0,10	604,27	596,06	607,34	-0,010	-0,010	-0,010	-0,002	-0,002	-0,002	-0,0017
4-2-14 15:30	0,13	604,27	596,06	607,34	-0,010	-0,010	-0,010	-0,002	-0,002	-0,002	-0,0017
4-2-14 16:00	0,15	604,26	596,05	607,33	-0,020	-0,020	-0,020	-0,003	-0,003	-0,003	-0,0033
4-2-14 17:30	0,21	604,26	596,05	607,33	-0,020	-0,020	-0,020	-0,003	-0,003	-0,003	-0,0033
5-2-14 11:50	0,97	604,22	596,02	607,29	-0,060	-0,050	-0,060	-0,010	-0,008	-0,010	-0,0094
5-2-14 12:30	1,00	604,22	596,03	607,29	-0,060	-0,040	-0,060	-0,010	-0,007	-0,010	-0,0088
5-2-14 13:00	1,02	604,22	596,02	607,28	-0,060	-0,050	-0,070	-0,010	-0,008	-0,012	-0,0099
5-2-14 13:30	1,04	604,22	596,03	607,29	-0,060	-0,040	-0,060	-0,010	-0,007	-0,010	-0,0088
5-2-14 14:00	1,06	604,22	596,03	607,29	-0,060	-0,040	-0,060	-0,010	-0,007	-0,010	-0,0088
5-2-14 14:30	1,08	604,22	596,03	607,29	-0,060	-0,040	-0,060	-0,010	-0,007	-0,010	-0,0088
5-2-14 15:05	1,11	604,22	596,02	607,28	-0,060	-0,050	-0,070	-0,010	-0,008	-0,012	-0,0099
5-2-14 15:35	1,13	604,22	596,02	607,28	-0,060	-0,050	-0,070	-0,010	-0,008	-0,012	-0,0099
6-2-14 10:30	1,92	604,18	595,99	607,24	-0,100	-0,080	-0,110	-0,017	-0,013	-0,018	-0,0160
6-2-14 11:30	1,96	604,18	595,99	607,25	-0,100	-0,080	-0,100	-0,017	-0,013	-0,016	-0,0155
6-2-14 12:30	2,00	604,20	596,01	607,25	-0,080	-0,060	-0,100	-0,013	-0,010	-0,016	-0,0133
6-2-14 13:30	2,04	604,18	595,99	607,24	-0,100	-0,080	-0,110	-0,017	-0,013	-0,018	-0,0160
6-2-14 14:30	2,08	604,18	596,00	607,24	-0,100	-0,070	-0,110	-0,017	-0,012	-0,018	-0,0155
6-2-14 15:30	2,13	604,18	595,99	607,23	-0,100	-0,080	-0,120	-0,017	-0,013	-0,020	-0,0166
7-2-14 11:30	2,96	604,15	595,97	607,20	-0,130	-0,100	-0,150	-0,022	-0,017	-0,025	-0,0210
7-2-14 12:30	3,00	604,15	595,97	607,20	-0,130	-0,100	-0,150	-0,022	-0,017	-0,025	-0,0210
7-2-14 13:30	3,04	604,15	595,97	607,19	-0,130	-0,100	-0,160	-0,022	-0,017	-0,026	-0,0215
7-2-14 14:30	3,08	604,14	595,96	607,19	-0,140	-0,110	-0,160	-0,023	-0,018	-0,026	-0,0227
7-2-14 15:30	3,13	604,15	595,97	607,20	-0,130	-0,100	-0,150	-0,022	-0,017	-0,025	-0,0210
10-2-14 10:40	5,92	604,08	595,92	607,09	-0,200	-0,150	-0,260	-0,033	-0,025	-0,043	-0,0337
10-2-14 11:40	5,97	604,08	595,91	607,09	-0,200	-0,160	-0,260	-0,033	-0,027	-0,043	-0,0342
10-2-14 12:40	6,01	604,08	595,91	607,09	-0,200	-0,160	-0,260	-0,033	-0,027	-0,043	-0,0342
10-2-14 13:40	6,05	604,08	595,91	607,09	-0,200	-0,160	-0,260	-0,033	-0,027	-0,043	-0,0342
10-2-14 15:00	6,10	604,07	595,91	607,09	-0,210	-0,160	-0,260	-0,035	-0,027	-0,043	-0,0348
10-2-14 16:00	6,15	604,07	595,91	607,09	-0,210	-0,160	-0,260	-0,035	-0,027	-0,043	-0,0348
11-2-14 11:20	6,95	604,05	595,89	607,07	-0,230	-0,180	-0,280	-0,038	-0,030	-0,046	-0,0381
11-2-14 12:20	6,99	604,05	595,89	607,07	-0,230	-0,180	-0,280	-0,038	-0,030	-0,046	-0,0381
11-2-14 13:20	7,03	604,05	595,90	607,07	-0,230	-0,170	-0,280	-0,038	-0,029	-0,046	-0,0376

11-2-14 14:45	7,09	604,05	595,90	607,06	-0,230	-0,170	-0,290	-0,038	-0,029	-0,048	-0,0381
11-2-14 15:45	7,14	604,05	595,90	607,06	-0,230	-0,170	-0,290	-0,038	-0,029	-0,048	-0,0381
12-2-14 11:00	7,94	604,04	595,89	607,05	-0,240	-0,180	-0,300	-0,040	-0,030	-0,049	-0,0398
12-2-14 13:50	8,06	604,04	595,89	607,05	-0,240	-0,180	-0,300	-0,040	-0,030	-0,049	-0,0398
12-2-14 14:45	8,09	604,03	595,88	607,04	-0,250	-0,190	-0,310	-0,041	-0,032	-0,051	-0,0414
12-2-14 15:45	8,14	604,03	595,88	607,04	-0,250	-0,190	-0,310	-0,041	-0,032	-0,051	-0,0414
13-2-14 11:20	8,95	604,00	595,86	607,00	-0,280	-0,210	-0,350	-0,046	-0,035	-0,058	-0,0464
13-2-14 12:20	8,99	604,00	595,86	607,00	-0,280	-0,210	-0,350	-0,046	-0,035	-0,058	-0,0464
13-2-14 13:40	9,05	604,00	595,86	607,00	-0,280	-0,210	-0,350	-0,046	-0,035	-0,058	-0,0464
13-2-14 14:40	9,09	604,00	595,86	607,00	-0,280	-0,210	-0,350	-0,046	-0,035	-0,058	-0,0464
13-2-14 16:00	9,15	604,00	595,86	607,00	-0,280	-0,210	-0,350	-0,046	-0,035	-0,058	-0,0464
14-2-14 12:10	9,99	603,97	595,84	606,97	-0,310	-0,230	-0,380	-0,051	-0,039	-0,063	-0,0508
14-2-14 13:55	10,06	603,96	595,83	606,96	-0,320	-0,240	-0,390	-0,053	-0,040	-0,064	-0,0525
14-2-14 15:55	10,14	603,96	595,84	606,96	-0,320	-0,230	-0,390	-0,053	-0,039	-0,064	-0,0519
17-2-14 11:40	12,97	603,88	595,78	606,86	-0,400	-0,290	-0,490	-0,066	-0,049	-0,081	-0,0652
17-2-14 13:40	13,05	603,88	595,78	606,86	-0,400	-0,290	-0,490	-0,066	-0,049	-0,081	-0,0652
17-2-14 15:40	13,13	603,88	595,77	606,86	-0,400	-0,300	-0,490	-0,066	-0,050	-0,081	-0,0657
18-2-14 12:00	13,98	603,85	595,75	606,83	-0,430	-0,320	-0,520	-0,071	-0,054	-0,086	-0,0702
18-2-14 14:00	14,06	603,85	595,75	606,83	-0,430	-0,320	-0,520	-0,071	-0,054	-0,086	-0,0702
18-2-14 16:00	14,15	603,84	595,75	606,82	-0,440	-0,320	-0,530	-0,073	-0,054	-0,087	-0,0713
19-2-14 12:20	14,99	603,83	595,74	606,80	-0,450	-0,330	-0,550	-0,074	-0,055	-0,091	-0,0735
19-2-14 16:00	15,15	603,82	595,73	606,79	-0,460	-0,340	-0,560	-0,076	-0,057	-0,092	-0,0751
20-2-14 11:40	15,97	603,79	595,71	606,77	-0,490	-0,360	-0,580	-0,081	-0,060	-0,095	-0,0790
20-2-14 16:00	16,15	603,79	595,71	606,77	-0,490	-0,360	-0,580	-0,081	-0,060	-0,095	-0,0790
21-2-14 11:20	16,95	603,77	595,69	606,74	-0,510	-0,380	-0,610	-0,084	-0,064	-0,100	-0,0829
21-2-14 15:45	17,14	603,77	595,69	606,73	-0,510	-0,380	-0,620	-0,084	-0,064	-0,102	-0,0834
24-2-14 10:30	19,92	603,70	595,64	606,66	-0,580	-0,430	-0,690	-0,096	-0,072	-0,114	-0,0939
24-2-14 15:50	20,14	603,70	595,64	606,65	-0,580	-0,430	-0,700	-0,096	-0,072	-0,115	-0,0945
25-2-14 10:30	20,92	603,68	595,62	606,63	-0,600	-0,450	-0,720	-0,099	-0,075	-0,119	-0,0978
25-2-14 15:00	21,10	603,67	595,61	606,62	-0,610	-0,460	-0,730	-0,101	-0,077	-0,120	-0,0994
26-2-14 10:05	21,90	603,65	595,60	606,60	-0,630	-0,470	-0,750	-0,104	-0,079	-0,123	-0,1022
26-2-14 15:15	22,11	603,64	595,59	606,59	-0,640	-0,480	-0,760	-0,106	-0,081	-0,125	-0,1039
27-2-14 10:20	22,91	603,63	595,57	606,57	-0,650	-0,500	-0,780	-0,108	-0,084	-0,128	-0,1066
27-2-14 15:20	23,12	603,62	595,57	606,57	-0,660	-0,500	-0,780	-0,109	-0,084	-0,128	-0,1072
28-2-14 10:50	23,93	603,61	595,56	606,57	-0,670	-0,510	-0,780	-0,111	-0,086	-0,128	-0,1083
28-2-14 15:30	24,13	603,60	595,55	606,54	-0,680	-0,520	-0,810	-0,113	-0,087	-0,133	-0,1110
3-3-14 10:30	26,92	603,55	595,51	606,46	-0,730	-0,560	-0,890	-0,121	-0,094	-0,147	-0,1204
3-3-14 15:40	27,13	603,53	595,50	606,45	-0,750	-0,570	-0,900	-0,124	-0,096	-0,148	-0,1226
4-3-14 11:15	27,95	603,52	595,49	606,44	-0,760	-0,580	-0,910	-0,126	-0,097	-0,150	-0,1243
4-3-14 15:30	28,13	603,52	595,49	606,44	-0,760	-0,580	-0,910	-0,126	-0,097	-0,150	-0,1243

POW

AUTO

Data	Time (min)	Measure			Dim. difference (DL)			Deform			Average
		FREE-1	FREE-2	FREE-3	FREE-1	FREE-2	FREE-3	FREE-1	FREE-2	FREE-3	Deform
		(mm)	(mm)	(mm)	(mm)	(mm)	(mm)	(ε)	(ε)	(ε)	(με)
9-6-15 11:20	0,00	591,58	592,80	589,31	0,000	0,000	0,000	0,000	0,000	0,000	0,0000
9-6-15 12:00	0,03	591,57	592,79	589,30	-0,010	-0,010	-0,010	-0,002	-0,002	-0,002	-0,0017
9-6-15 13:15	0,08	591,56	592,79	589,28	-0,020	-0,010	-0,030	-0,003	-0,002	-0,005	-0,0034
9-6-15 13:50	0,10	591,56	592,78	589,26	-0,020	-0,020	-0,050	-0,003	-0,003	-0,008	-0,0051
9-6-15 14:20	0,13	591,56	592,78	589,25	-0,020	-0,020	-0,060	-0,003	-0,003	-0,010	-0,0056
9-6-15 15:00	0,15	591,56	592,77	589,24	-0,020	-0,030	-0,070	-0,003	-0,005	-0,012	-0,0068
9-6-15 15:35	0,18	591,55	592,77	589,21	-0,030	-0,030	-0,100	-0,005	-0,005	-0,017	-0,0090
10-6-15 10:50	0,98	591,43	592,63	588,82	-0,150	-0,170	-0,490	-0,025	-0,029	-0,083	-0,0457
10-6-15 11:30	1,01	591,41	592,62	588,78	-0,170	-0,180	-0,530	-0,029	-0,030	-0,090	-0,0497
10-6-15 12:10	1,03	591,40	592,62	588,78	-0,180	-0,180	-0,530	-0,030	-0,030	-0,090	-0,0502
10-6-15 12:50	1,06	591,40	592,61	588,77	-0,180	-0,190	-0,540	-0,030	-0,032	-0,092	-0,0514
10-6-15 13:40	1,10	591,40	592,60	588,75	-0,180	-0,200	-0,560	-0,030	-0,034	-0,095	-0,0531
10-6-15 14:20	1,13	591,40	592,60	588,74	-0,180	-0,200	-0,570	-0,030	-0,034	-0,097	-0,0536
10-6-15 15:05	1,16	591,40	592,60	588,73	-0,180	-0,200	-0,580	-0,030	-0,034	-0,098	-0,0542
11-6-15 15:05	2,16	591,23	592,42	588,26	-0,350	-0,380	-1,050	-0,059	-0,064	-0,178	-0,1005
11-6-15 15:55	2,19	591,23	592,42	588,26	-0,350	-0,380	-1,050	-0,059	-0,064	-0,178	-0,1005
12-6-15 9:45	2,93	591,11	592,29	587,96	-0,470	-0,510	-1,350	-0,079	-0,086	-0,229	-0,1315
12-6-15 10:35	2,97	591,11	592,27	587,94	-0,470	-0,530	-1,370	-0,079	-0,089	-0,232	-0,1338
12-6-15 13:45	3,10	591,09	592,26	587,90	-0,490	-0,540	-1,410	-0,083	-0,091	-0,239	-0,1377
12-6-15 15:05	3,16	591,09	592,25	587,88	-0,490	-0,550	-1,430	-0,083	-0,093	-0,243	-0,1394
15-6-15 10:30	5,97	590,68	591,82	587,03	-0,900	-0,980	-2,280	-0,152	-0,165	-0,387	-0,2348
15-6-15 13:00	6,07	590,68	591,81	587,02	-0,900	-0,990	-2,290	-0,152	-0,167	-0,389	-0,2359
15-6-15 15:40	6,18	590,66	591,80	586,99	-0,920	-1,000	-2,320	-0,156	-0,169	-0,394	-0,2393
16-6-15 9:40	6,93	590,55	591,68	586,80	-1,030	-1,120	-2,510	-0,174	-0,189	-0,426	-0,2630
16-6-15 15:15	7,16	590,51	591,65	586,73	-1,070	-1,150	-2,580	-0,181	-0,194	-0,438	-0,2709
17-6-15 9:50	7,94	590,38	591,52	586,55	-1,200	-1,280	-2,760	-0,203	-0,216	-0,468	-0,2957
17-6-15 14:10	8,12	590,36	591,50	586,50	-1,220	-1,300	-2,810	-0,206	-0,219	-0,477	-0,3008
22-6-15 12:15	13,04	589,76	590,91	585,62	-1,820	-1,890	-3,690	-0,308	-0,319	-0,626	-0,4175
23-6-15 10:05	13,95	589,66	590,81	585,44	-1,920	-1,990	-3,870	-0,325	-0,336	-0,657	-0,4390
23-6-15 15:40	14,18	589,64	590,79	585,41	-1,940	-2,010	-3,900	-0,328	-0,339	-0,662	-0,4429
24-6-15 10:20	14,96	589,56	590,73	585,30	-2,020	-2,070	-4,010	-0,341	-0,349	-0,680	-0,4570
24-6-15 15:35	15,18	589,52	590,70	585,27	-2,060	-2,100	-4,040	-0,348	-0,354	-0,686	-0,4627
25-6-15 12:05	16,03	589,01	590,63	585,24	-2,570	-2,170	-4,070	-0,434	-0,366	-0,691	-0,4970
26-6-15 10:15	16,95	588,94	590,59	585,20	-2,640	-2,210	-4,110	-0,446	-0,373	-0,697	-0,5055
26-6-15 15:20	17,17	588,93	590,58	585,19	-2,650	-2,220	-4,120	-0,448	-0,374	-0,699	-0,5072
29-6-15 9:35	19,93	588,82	589,98	585,11	-2,760	-2,820	-4,200	-0,467	-0,476	-0,713	-0,5517
29-6-15 14:45	20,14	588,81	589,97	585,10	-2,770	-2,830	-4,210	-0,468	-0,477	-0,714	-0,5533

30-6-15 10:20	20,96	588,80	589,96	585,09	-2,780	-2,840	-4,220	-0,470	-0,479	-0,716	-0,5550
30-6-15 14:55	21,15	588,78	589,94	585,07	-2,800	-2,860	-4,240	-0,473	-0,482	-0,719	-0,5584
1-7-15 9:50	21,94	588,77	589,93	585,06	-2,810	-2,870	-4,250	-0,475	-0,484	-0,721	-0,5601
1-7-15 13:50	22,10	588,77	589,92	585,06	-2,810	-2,880	-4,250	-0,475	-0,486	-0,721	-0,5607
2-7-15 9:50	22,94	588,75	589,88	585,05	-2,830	-2,920	-4,260	-0,478	-0,493	-0,723	-0,5646
2-7-15 15:10	23,16	588,74	589,88	585,04	-2,840	-2,920	-4,270	-0,480	-0,493	-0,725	-0,5657
3-7-15 8:50	23,90	588,72	589,88	585,03	-2,860	-2,920	-4,280	-0,483	-0,493	-0,726	-0,5674
6-7-15 9:40	26,93	588,66	589,82	585,01	-2,920	-2,980	-4,300	-0,494	-0,503	-0,730	-0,5753
6-7-15 15:30	27,17	588,65	589,81	585,01	-2,930	-2,990	-4,300	-0,495	-0,504	-0,730	-0,5764
7-7-15 10:55	27,98	588,62	589,79	584,98	-2,960	-3,010	-4,330	-0,500	-0,508	-0,735	-0,5810
7-7-15 15:30	28,17	588,64	589,80	584,99	-2,940	-3,000	-4,320	-0,497	-0,506	-0,733	-0,5787

ST+SIS.SAT

AUTO

Data	Time (min)	Measure			Dim. difference (DL)			Deform			Average
		FREE-1	FREE-2	FREE-3	FREE-1	FREE-2	FREE-3	FREE-1	FREE-2	FREE-3	Deform
		(mm)	(mm)	(mm)	(mm)	(mm)	(mm)	(ε)	(ε)	(ε)	(με)
5-5-15 11:40	0,00	634,21	636,48	636,92	0,000	0,000	0,000	0,000	0,000	0,000	0,0000
5-5-15 12:10	0,02	634,20	636,48	636,91	-0,010	0,000	-0,010	-0,002	0,000	-0,002	-0,0010
5-5-15 12:40	0,04	634,19	636,48	636,91	-0,020	0,000	-0,010	-0,003	0,000	-0,002	-0,0016
5-5-15 13:10	0,06	634,19	636,47	636,91	-0,020	-0,010	-0,010	-0,003	-0,002	-0,002	-0,0021
5-5-15 13:40	0,08	634,18	636,47	636,90	-0,030	-0,010	-0,020	-0,005	-0,002	-0,003	-0,0031
5-5-15 14:10	0,10	634,17	636,46	636,89	-0,040	-0,020	-0,030	-0,006	-0,003	-0,005	-0,0047
5-5-15 14:40	0,13	634,17	636,46	636,89	-0,040	-0,020	-0,030	-0,006	-0,003	-0,005	-0,0047
5-5-15 15:10	0,15	634,16	636,46	636,88	-0,050	-0,020	-0,040	-0,008	-0,003	-0,006	-0,0058
5-5-15 15:40	0,17	634,16	636,46	636,88	-0,050	-0,020	-0,040	-0,008	-0,003	-0,006	-0,0058
5-5-15 16:10	0,19	634,15	636,45	636,87	-0,060	-0,030	-0,050	-0,009	-0,005	-0,008	-0,0073
5-5-15 16:40	0,21	634,15	636,44	636,87	-0,060	-0,040	-0,050	-0,009	-0,006	-0,008	-0,0079
6-5-15 10:20	0,94	633,93	636,36	636,74	-0,280	-0,120	-0,180	-0,044	-0,019	-0,028	-0,0304
6-5-15 10:50	0,97	633,93	636,36	636,74	-0,280	-0,120	-0,180	-0,044	-0,019	-0,028	-0,0304
6-5-15 11:20	0,99	633,92	636,35	636,73	-0,290	-0,130	-0,190	-0,046	-0,020	-0,030	-0,0320
6-5-15 11:50	1,01	633,92	636,35	636,72	-0,290	-0,130	-0,200	-0,046	-0,020	-0,031	-0,0325
6-5-15 12:20	1,03	633,90	636,35	636,72	-0,310	-0,130	-0,200	-0,049	-0,020	-0,031	-0,0336
6-5-15 12:50	1,05	633,90	636,35	636,72	-0,310	-0,130	-0,200	-0,049	-0,020	-0,031	-0,0336
6-5-15 13:20	1,07	633,89	636,34	636,71	-0,320	-0,140	-0,210	-0,050	-0,022	-0,033	-0,0351
6-5-15 13:50	1,09	633,89	636,34	636,71	-0,320	-0,140	-0,210	-0,050	-0,022	-0,033	-0,0351
6-5-15 14:20	1,11	633,88	636,34	636,70	-0,330	-0,140	-0,220	-0,052	-0,022	-0,035	-0,0362
6-5-15 14:50	1,13	633,88	636,34	636,70	-0,330	-0,140	-0,220	-0,052	-0,022	-0,035	-0,0362
6-5-15 15:20	1,15	633,87	636,34	636,69	-0,340	-0,140	-0,230	-0,054	-0,022	-0,036	-0,0372
6-5-15 15:50	1,17	633,86	636,33	636,69	-0,350	-0,150	-0,230	-0,055	-0,024	-0,036	-0,0383
6-5-15 16:20	1,19	633,86	636,33	636,69	-0,350	-0,150	-0,230	-0,055	-0,024	-0,036	-0,0383

7-5-15 10:20	1,94	633,64	636,24	636,56	-0,570	-0,240	-0,360	-0,090	-0,038	-0,057	-0,0614
7-5-15 11:20	1,99	633,63	636,23	636,55	-0,580	-0,250	-0,370	-0,091	-0,039	-0,058	-0,0629
7-5-15 12:20	2,03	633,62	636,23	636,54	-0,590	-0,250	-0,380	-0,093	-0,039	-0,060	-0,0640
7-5-15 13:20	2,07	633,61	636,23	636,53	-0,600	-0,250	-0,390	-0,095	-0,039	-0,061	-0,0650
7-5-15 14:20	2,11	633,60	636,23	636,53	-0,610	-0,250	-0,390	-0,096	-0,039	-0,061	-0,0656
7-5-15 15:20	2,15	633,59	636,22	636,52	-0,620	-0,260	-0,400	-0,098	-0,041	-0,063	-0,0671
11-5-15 14:50	6,13	632,75	635,88	636,00	-1,460	-0,600	-0,920	-0,230	-0,094	-0,144	-0,1563
11-5-15 16:50	6,22	632,74	635,88	636,00	-1,470	-0,600	-0,920	-0,232	-0,094	-0,144	-0,1568
12-5-15 10:20	6,94	632,63	635,83	635,93	-1,580	-0,650	-0,990	-0,249	-0,102	-0,155	-0,1689
12-5-15 12:20	7,03	632,61	635,82	635,92	-1,600	-0,660	-1,000	-0,252	-0,104	-0,157	-0,1710
12-5-15 14:20	7,11	632,60	635,82	635,92	-1,610	-0,660	-1,000	-0,254	-0,104	-0,157	-0,1715
12-5-15 16:20	7,19	632,58	635,81	635,90	-1,630	-0,670	-1,020	-0,257	-0,105	-0,160	-0,1741
13-5-15 10:00	7,93	632,48	635,77	635,83	-1,730	-0,710	-1,090	-0,273	-0,112	-0,171	-0,1852
13-5-15 12:00	8,01	632,46	635,76	635,82	-1,750	-0,720	-1,100	-0,276	-0,113	-0,173	-0,1873
13-5-15 14:00	8,10	632,46	635,76	635,82	-1,750	-0,720	-1,100	-0,276	-0,113	-0,173	-0,1873
14-5-15 8:50	8,88	632,34	635,71	635,76	-1,870	-0,770	-1,160	-0,295	-0,121	-0,182	-0,1993
14-5-15 10:50	8,97	632,34	635,71	635,75	-1,870	-0,770	-1,170	-0,295	-0,121	-0,184	-0,1998
14-5-15 12:50	9,05	632,33	635,71	635,75	-1,880	-0,770	-1,170	-0,296	-0,121	-0,184	-0,2004
15-5-15 9:00	9,89	632,22	635,66	635,68	-1,990	-0,820	-1,240	-0,314	-0,129	-0,195	-0,2124
15-5-15 11:00	9,97	632,22	635,66	635,68	-1,990	-0,820	-1,240	-0,314	-0,129	-0,195	-0,2124
15-5-15 13:00	10,06	632,21	635,65	635,68	-2,000	-0,830	-1,240	-0,315	-0,130	-0,195	-0,2135
18-5-15 8:50	12,88	631,91	635,51	635,48	-2,300	-0,970	-1,440	-0,363	-0,152	-0,226	-0,2470
18-5-15 15:50	13,17	631,87	635,49	635,44	-2,340	-0,990	-1,480	-0,369	-0,156	-0,232	-0,2523
19-5-15 12:10	14,02	631,84	635,45	635,40	-2,370	-1,030	-1,520	-0,374	-0,162	-0,239	-0,2581
19-5-15 14:10	14,10	631,83	635,44	635,40	-2,380	-1,040	-1,520	-0,375	-0,163	-0,239	-0,2591
19-5-15 16:10	14,19	631,83	635,44	635,39	-2,380	-1,040	-1,530	-0,375	-0,163	-0,240	-0,2596
20-5-15 11:10	14,98	631,76	635,41	635,37	-2,450	-1,070	-1,550	-0,386	-0,168	-0,243	-0,2659
20-5-15 13:10	15,06	631,75	635,40	635,36	-2,460	-1,080	-1,560	-0,388	-0,170	-0,245	-0,2675
21-5-15 10:00	15,93	631,61	635,33	635,29	-2,600	-1,150	-1,630	-0,410	-0,181	-0,256	-0,2822
21-5-15 12:00	16,01	631,60	635,33	635,28	-2,610	-1,150	-1,640	-0,412	-0,181	-0,257	-0,2832
25-5-15 8:50	19,88	631,38	635,19	635,11	-2,830	-1,290	-1,810	-0,446	-0,203	-0,284	-0,3110
25-5-15 12:45	20,05	631,36	635,18	635,10	-2,850	-1,300	-1,820	-0,449	-0,204	-0,286	-0,3131
26-5-15 10:25	20,95	631,30	635,15	635,06	-2,910	-1,330	-1,860	-0,459	-0,209	-0,292	-0,3199
26-5-15 12:25	21,03	631,30	635,14	635,05	-2,910	-1,340	-1,870	-0,459	-0,211	-0,294	-0,3210
26-5-15 15:25	21,16	631,29	635,15	635,05	-2,920	-1,330	-1,870	-0,460	-0,209	-0,294	-0,3210
27-5-15 11:05	21,98	631,24	635,12	635,02	-2,970	-1,360	-1,900	-0,468	-0,214	-0,298	-0,3268
27-5-15 13:05	22,06	631,23	635,11	635,01	-2,980	-1,370	-1,910	-0,470	-0,215	-0,300	-0,3283
27-5-15 15:05	22,14	631,23	635,11	635,01	-2,980	-1,370	-1,910	-0,470	-0,215	-0,300	-0,3283
28-5-15 10:50	22,97	631,17	635,08	634,97	-3,040	-1,400	-1,950	-0,479	-0,220	-0,306	-0,3352
28-5-15 12:50	23,05	631,16	635,07	634,96	-3,050	-1,410	-1,960	-0,481	-0,222	-0,308	-0,3367
28-5-15 14:50	23,13	631,16	635,07	634,96	-3,050	-1,410	-1,960	-0,481	-0,222	-0,308	-0,3367
29-5-15 11:40	24,00	631,09	635,04	634,92	-3,120	-1,440	-2,000	-0,492	-0,226	-0,314	-0,3441
29-5-15 13:45	24,09	631,09	635,04	634,91	-3,120	-1,440	-2,010	-0,492	-0,226	-0,316	-0,3446

29-5-15 13:45	24,09	631,08	635,03	634,91	-3,130	-1,450	-2,010	-0,494	-0,228	-0,316	-0,3456
3-6-15 10:40	28,96	630,81	634,89	634,73	-3,400	-1,590	-2,190	-0,536	-0,250	-0,344	-0,3766

ST+SIS.NS

AUTO

Data	Time (min)	Measure			Dim. difference (DL)			Deform			Average
		FREE-1	FREE-2	FREE-3	FREE-1	FREE-2	FREE-3	FREE-1	FREE-2	FREE-3	Deform
		(mm)	(mm)	(mm)	(mm)	(mm)	(mm)	(ε)	(ε)	(ε)	(με)
5-5-15 11:40	0,00	611,44	618,61	617,45	0,000	0,000	0,000	0,000	0,000	0,000	0,0000
5-5-15 12:10	0,02	611,43	618,61	617,45	-0,010	0,000	0,000	-0,002	0,000	0,000	-0,0005
5-5-15 12:40	0,04	611,43	618,42	617,45	-0,010	-0,190	0,000	-0,002	-0,031	0,000	-0,0108
5-5-15 13:10	0,06	611,42	618,41	617,45	-0,020	-0,200	0,000	-0,003	-0,032	0,000	-0,0119
5-5-15 13:40	0,08	611,41	618,39	617,44	-0,030	-0,220	-0,010	-0,005	-0,036	-0,002	-0,0140
5-5-15 14:10	0,10	611,40	618,37	617,44	-0,040	-0,240	-0,010	-0,007	-0,039	-0,002	-0,0157
5-5-15 14:40	0,13	611,39	618,35	617,43	-0,050	-0,260	-0,020	-0,008	-0,042	-0,003	-0,0178
5-5-15 15:10	0,15	611,37	618,33	617,43	-0,070	-0,280	-0,020	-0,011	-0,045	-0,003	-0,0200
5-5-15 15:40	0,17	611,37	618,32	617,42	-0,070	-0,290	-0,030	-0,011	-0,047	-0,005	-0,0211
5-5-15 16:10	0,19	611,37	618,30	617,42	-0,070	-0,310	-0,030	-0,011	-0,050	-0,005	-0,0221
5-5-15 16:40	0,21	611,36	618,29	617,42	-0,080	-0,320	-0,030	-0,013	-0,052	-0,005	-0,0232
6-5-15 10:20	0,94	611,09	617,82	617,28	-0,350	-0,790	-0,170	-0,057	-0,128	-0,028	-0,0708
6-5-15 10:50	0,97	611,09	617,82	617,28	-0,350	-0,790	-0,170	-0,057	-0,128	-0,028	-0,0708
6-5-15 11:20	0,99	611,08	617,81	617,28	-0,360	-0,800	-0,170	-0,059	-0,129	-0,028	-0,0719
6-5-15 11:50	1,01	611,07	617,79	617,27	-0,370	-0,820	-0,180	-0,061	-0,133	-0,029	-0,0741
6-5-15 12:20	1,03	611,06	617,78	617,27	-0,380	-0,830	-0,180	-0,062	-0,134	-0,029	-0,0752
6-5-15 12:50	1,05	611,06	617,76	617,27	-0,380	-0,850	-0,180	-0,062	-0,137	-0,029	-0,0762
6-5-15 13:20	1,07	611,04	617,75	617,25	-0,400	-0,860	-0,200	-0,065	-0,139	-0,032	-0,0789
6-5-15 13:50	1,09	611,04	617,74	617,25	-0,400	-0,870	-0,200	-0,065	-0,141	-0,032	-0,0795
6-5-15 14:20	1,11	611,03	617,73	617,25	-0,410	-0,880	-0,200	-0,067	-0,142	-0,032	-0,0806
6-5-15 14:50	1,13	611,02	617,71	617,25	-0,420	-0,900	-0,200	-0,069	-0,145	-0,032	-0,0822
6-5-15 15:20	1,15	611,02	617,70	617,24	-0,420	-0,910	-0,210	-0,069	-0,147	-0,034	-0,0833
6-5-15 15:50	1,17	611,02	617,70	617,24	-0,420	-0,910	-0,210	-0,069	-0,147	-0,034	-0,0833
6-5-15 16:20	1,19	611,02	617,69	617,24	-0,420	-0,920	-0,210	-0,069	-0,149	-0,034	-0,0838
7-5-15 10:15	1,94	610,77	617,30	617,09	-0,670	-1,310	-0,360	-0,110	-0,212	-0,058	-0,1265
7-5-15 11:15	1,98	610,76	617,28	617,09	-0,680	-1,330	-0,360	-0,111	-0,215	-0,058	-0,1282
7-5-15 12:15	2,02	610,75	617,26	617,08	-0,690	-1,350	-0,370	-0,113	-0,218	-0,060	-0,1303
7-5-15 13:15	2,07	610,73	617,24	617,07	-0,710	-1,370	-0,380	-0,116	-0,221	-0,062	-0,1330
7-5-15 14:15	2,11	610,73	617,23	617,07	-0,710	-1,380	-0,380	-0,116	-0,223	-0,062	-0,1336
7-5-15 15:15	2,15	610,71	617,21	617,06	-0,730	-1,400	-0,390	-0,119	-0,226	-0,063	-0,1363
11-5-15 14:45	6,13	609,87	615,92	616,50	-1,570	-2,690	-0,950	-0,257	-0,435	-0,154	-0,2818
11-5-15 16:45	6,21	609,85	615,90	616,48	-1,590	-2,710	-0,970	-0,260	-0,438	-0,157	-0,2851
12-5-15 10:15	6,94	609,75	615,75	616,40	-1,690	-2,860	-1,050	-0,276	-0,462	-0,170	-0,3029
12-5-15 12:15	7,02	609,73	615,73	616,39	-1,710	-2,880	-1,060	-0,280	-0,466	-0,172	-0,3056

12-5-15 14:15	7,11	609,71	615,70	616,38	-1,730	-2,910	-1,070	-0,283	-0,470	-0,173	-0,3089
12-5-15 16:15	7,19	609,71	615,70	616,38	-1,730	-2,910	-1,070	-0,283	-0,470	-0,173	-0,3089
13-5-15 10:00	7,93	609,60	615,54	616,29	-1,840	-3,070	-1,160	-0,301	-0,496	-0,188	-0,3284
13-5-15 12:00	8,01	609,58	615,52	616,28	-1,860	-3,090	-1,170	-0,304	-0,500	-0,189	-0,3311
13-5-15 14:00	8,10	609,58	615,52	616,28	-1,860	-3,090	-1,170	-0,304	-0,500	-0,189	-0,3311
14-5-15 8:45	8,88	609,46	615,38	616,21	-1,980	-3,230	-1,240	-0,324	-0,522	-0,201	-0,3489
14-5-15 10:45	8,96	609,45	615,37	616,19	-1,990	-3,240	-1,260	-0,325	-0,524	-0,204	-0,3511
14-5-15 12:45	9,05	609,44	615,35	616,19	-2,000	-3,260	-1,260	-0,327	-0,527	-0,204	-0,3527
15-5-15 9:00	9,89	609,33	615,22	616,11	-2,110	-3,390	-1,340	-0,345	-0,548	-0,217	-0,3700
15-5-15 11:00	9,97	609,32	615,21	616,10	-2,120	-3,400	-1,350	-0,347	-0,550	-0,219	-0,3717
15-5-15 13:30	10,08	609,31	615,19	616,10	-2,130	-3,420	-1,350	-0,348	-0,553	-0,219	-0,3733
18-5-15 8:50	12,88	608,99	614,83	615,86	-2,450	-3,780	-1,590	-0,401	-0,611	-0,258	-0,4231
18-5-15 15:50	13,17	608,96	614,80	615,84	-2,480	-3,810	-1,610	-0,406	-0,616	-0,261	-0,4274
19-5-15 12:15	14,02	608,90	614,72	615,78	-2,540	-3,890	-1,670	-0,415	-0,629	-0,270	-0,4382
19-5-15 14:10	14,10	608,89	614,71	615,77	-2,550	-3,900	-1,680	-0,417	-0,630	-0,272	-0,4399
19-5-15 16:10	14,19	608,89	614,71	615,77	-2,550	-3,900	-1,680	-0,417	-0,630	-0,272	-0,4399
20-5-15 11:05	14,98	608,82	614,63	615,72	-2,620	-3,980	-1,730	-0,428	-0,643	-0,280	-0,4507
20-5-15 13:05	15,06	608,81	614,62	615,72	-2,630	-3,990	-1,730	-0,430	-0,645	-0,280	-0,4518
21-5-15 10:00	15,93	608,79	614,54	615,60	-2,650	-4,070	-1,850	-0,433	-0,658	-0,300	-0,4636
21-5-15 12:00	16,01	608,79	614,54	615,59	-2,650	-4,070	-1,860	-0,433	-0,658	-0,301	-0,4642
21-5-15 14:00	16,10	608,78	614,52	615,59	-2,660	-4,090	-1,860	-0,435	-0,661	-0,301	-0,4658
25-5-15 8:50	19,88	608,46	614,23	615,44	-2,980	-4,380	-2,010	-0,487	-0,708	-0,326	-0,5070
25-5-15 12:40	20,04	608,45	614,21	615,42	-2,990	-4,400	-2,030	-0,489	-0,711	-0,329	-0,5097
26-5-15 10:30	20,95	608,39	614,13	615,37	-3,050	-4,480	-2,080	-0,499	-0,724	-0,337	-0,5200
26-5-15 12:35	21,04	608,38	614,13	615,36	-3,060	-4,480	-2,090	-0,500	-0,724	-0,338	-0,5211
26-5-15 15:15	21,15	608,38	614,12	615,36	-3,060	-4,490	-2,090	-0,500	-0,726	-0,338	-0,5216
27-5-15 11:00	21,97	608,32	614,08	615,32	-3,120	-4,530	-2,130	-0,510	-0,732	-0,345	-0,5292
27-5-15 13:00	22,06	608,32	614,08	615,32	-3,120	-4,530	-2,130	-0,510	-0,732	-0,345	-0,5292
27-5-15 15:00	22,14	608,31	614,07	615,32	-3,130	-4,540	-2,130	-0,512	-0,734	-0,345	-0,5303
28-5-15 10:55	22,97	608,25	614,00	615,27	-3,190	-4,610	-2,180	-0,522	-0,745	-0,353	-0,5400
28-5-15 12:55	23,05	608,24	613,99	615,26	-3,200	-4,620	-2,190	-0,523	-0,747	-0,355	-0,5416
28-5-15 14:55	23,14	608,24	613,98	615,25	-3,200	-4,630	-2,200	-0,523	-0,748	-0,356	-0,5427
29-5-15 11:45	24,00	608,19	613,93	615,21	-3,250	-4,680	-2,240	-0,532	-0,757	-0,363	-0,5503
29-5-15 13:50	24,09	608,19	613,93	615,21	-3,250	-4,680	-2,240	-0,532	-0,757	-0,363	-0,5503
29-5-15 15:50	24,17	608,18	613,92	615,20	-3,260	-4,690	-2,250	-0,533	-0,758	-0,364	-0,5519
3-6-15 10:35	28,95	607,90	613,63	614,98	-3,540	-4,980	-2,470	-0,579	-0,805	-0,400	-0,5947

ST+EUC **AUTO**

Data	Time (min)	Measure			Dim. difference (DL)			Deform			Average
		FREE-1	FREE-2	FREE-3	FREE-1	FREE-2	FREE-3	FREE-1	FREE-2	FREE-3	Deform
		(mm)	(mm)	(mm)	(mm)	(mm)	(mm)	(ε)	(ε)	(ε)	(με)
19-5-15 12:20	0,00	606,86	606,10	607,04	0,000	0,000	0,000	0,000	0,000	0,000	0,0000
19-5-15 12:50	0,02	606,86	606,08	607,04	0,000	-0,020	0,000	0,000	-0,003	0,000	-0,0011
19-5-15 13:25	0,05	606,85	606,08	607,03	-0,010	-0,020	-0,010	-0,002	-0,003	-0,002	-0,0022
19-5-15 13:50	0,06	606,86	606,08	607,03	0,000	-0,020	-0,010	0,000	-0,003	-0,002	-0,0016
19-5-15 14:30	0,09	606,85	606,06	607,03	-0,010	-0,040	-0,010	-0,002	-0,007	-0,002	-0,0033
19-5-15 14:50	0,10	606,86	606,07	607,04	0,000	-0,030	0,000	0,000	-0,005	0,000	-0,0016
19-5-15 15:20	0,13	606,85	606,06	607,03	-0,010	-0,040	-0,010	-0,002	-0,007	-0,002	-0,0033
19-5-15 15:50	0,15	606,85	606,06	607,03	-0,010	-0,040	-0,010	-0,002	-0,007	-0,002	-0,0033
19-5-15 16:20	0,17	606,85	606,05	607,03	-0,010	-0,050	-0,010	-0,002	-0,008	-0,002	-0,0038
20-5-15 11:20	0,96	606,75	605,89	606,91	-0,110	-0,210	-0,130	-0,018	-0,035	-0,021	-0,0247
20-5-15 11:55	0,98	606,75	605,89	606,90	-0,110	-0,210	-0,140	-0,018	-0,035	-0,023	-0,0253
20-5-15 12:20	1,00	606,75	605,88	606,90	-0,110	-0,220	-0,140	-0,018	-0,036	-0,023	-0,0258
20-5-15 12:45	1,02	606,75	605,88	606,90	-0,110	-0,220	-0,140	-0,018	-0,036	-0,023	-0,0258
20-5-15 13:15	1,04	606,74	605,88	606,89	-0,120	-0,220	-0,150	-0,020	-0,036	-0,025	-0,0269
20-5-15 14:15	1,08	606,74	605,87	606,89	-0,120	-0,230	-0,150	-0,020	-0,038	-0,025	-0,0275
20-5-15 14:45	1,10	606,73	605,87	606,88	-0,130	-0,230	-0,160	-0,021	-0,038	-0,026	-0,0286
20-5-15 15:15	1,12	606,73	605,86	606,88	-0,130	-0,240	-0,160	-0,021	-0,040	-0,026	-0,0291
21-5-15 10:15	1,91	606,64	605,71	606,77	-0,220	-0,390	-0,270	-0,036	-0,064	-0,044	-0,0484
21-5-15 11:15	1,95	606,63	605,71	606,77	-0,230	-0,390	-0,270	-0,038	-0,064	-0,044	-0,0489
21-5-15 12:15	2,00	606,63	605,70	606,76	-0,230	-0,400	-0,280	-0,038	-0,066	-0,046	-0,0500
21-5-15 13:15	2,04	606,62	605,70	606,76	-0,240	-0,400	-0,280	-0,040	-0,066	-0,046	-0,0506
25-5-15 9:10	5,87	606,19	605,09	606,24	-0,670	-1,010	-0,800	-0,110	-0,167	-0,132	-0,1363
25-5-15 13:05	6,03	606,16	605,07	606,22	-0,700	-1,030	-0,820	-0,115	-0,170	-0,135	-0,1401
26-5-15 11:35	6,97	606,08	604,98	606,13	-0,780	-1,120	-0,910	-0,129	-0,185	-0,150	-0,1544
26-5-15 14:20	7,08	606,08	604,97	606,12	-0,780	-1,130	-0,920	-0,129	-0,186	-0,152	-0,1555
26-5-15 16:05	7,16	606,07	604,96	606,11	-0,790	-1,140	-0,930	-0,130	-0,188	-0,153	-0,1572
27-5-15 10:30	7,92	606,02	604,88	606,03	-0,840	-1,220	-1,010	-0,138	-0,201	-0,166	-0,1687
27-5-15 12:30	8,01	606,00	604,87	606,03	-0,860	-1,230	-1,010	-0,142	-0,203	-0,166	-0,1703
27-5-15 15:30	8,13	606,00	604,86	606,02	-0,860	-1,240	-1,020	-0,142	-0,205	-0,168	-0,1714
28-5-15 10:00	8,90	605,93	604,79	605,95	-0,930	-1,310	-1,090	-0,153	-0,216	-0,180	-0,1830
28-5-15 12:00	8,99	605,93	604,78	605,94	-0,930	-1,320	-1,100	-0,153	-0,218	-0,181	-0,1841
28-5-15 14:00	9,07	605,92	604,78	605,93	-0,940	-1,320	-1,110	-0,155	-0,218	-0,183	-0,1852
29-5-15 11:20	9,96	605,87	604,70	605,85	-0,990	-1,400	-1,190	-0,163	-0,231	-0,196	-0,1967
29-5-15 13:30	10,05	605,86	604,68	605,83	-1,000	-1,420	-1,210	-0,165	-0,234	-0,199	-0,1995
29-5-15 15:30	10,13	605,84	604,68	605,82	-1,020	-1,420	-1,220	-0,168	-0,234	-0,201	-0,2011

3-6-15 10:15	14,91	605,58	604,32	605,45	-1,280	-1,780	-1,590	-0,211	-0,294	-0,262	-0,2555
3-6-15 12:25	15,00	605,57	604,32	605,44	-1,290	-1,780	-1,600	-0,213	-0,294	-0,264	-0,2566
3-6-15 14:20	15,08	605,57	604,31	605,44	-1,290	-1,790	-1,600	-0,213	-0,295	-0,264	-0,2572
4-6-15 10:30	15,92	605,53	604,27	605,39	-1,330	-1,830	-1,650	-0,219	-0,302	-0,272	-0,2643
4-6-15 12:30	16,01	605,52	604,26	605,38	-1,340	-1,840	-1,660	-0,221	-0,304	-0,273	-0,2659
4-6-15 15:30	16,13	605,50	604,24	605,37	-1,360	-1,860	-1,670	-0,224	-0,307	-0,275	-0,2687
5-6-15 10:45	16,93	605,48	604,22	605,33	-1,380	-1,880	-1,710	-0,227	-0,310	-0,282	-0,2731
5-6-15 12:25	17,00	605,47	604,20	605,31	-1,390	-1,900	-1,730	-0,229	-0,313	-0,285	-0,2758
8-6-15 8:10	19,83	605,33	604,04	605,16	-1,530	-2,060	-1,880	-0,252	-0,340	-0,310	-0,3006
8-6-15 14:55	20,11	605,32	604,01	605,14	-1,540	-2,090	-1,900	-0,254	-0,345	-0,313	-0,3039
9-6-15 8:20	20,83	605,30	604,00	605,12	-1,560	-2,100	-1,920	-0,257	-0,346	-0,316	-0,3066
9-6-15 15:20	21,13	605,29	603,99	605,10	-1,570	-2,110	-1,940	-0,259	-0,348	-0,320	-0,3088
10-6-15 11:15	21,95	605,24	603,94	605,06	-1,620	-2,160	-1,980	-0,267	-0,356	-0,326	-0,3165
10-6-15 14:45	22,10	605,23	603,93	605,05	-1,630	-2,170	-1,990	-0,269	-0,358	-0,328	-0,3181
11-6-15 15:30	23,13	605,17	603,87	604,98	-1,690	-2,230	-2,060	-0,278	-0,368	-0,339	-0,3286
12-6-15 10:05	23,91	605,13	603,83	604,94	-1,730	-2,270	-2,100	-0,285	-0,375	-0,346	-0,3352
12-6-15 15:20	24,13	605,13	603,82	604,94	-1,730	-2,280	-2,100	-0,285	-0,376	-0,346	-0,3357
15-6-15 10:50	26,94	604,99	603,68	604,78	-1,870	-2,420	-2,260	-0,308	-0,399	-0,372	-0,3599
16-6-15 15:00	28,11	604,93	603,62	604,71	-1,930	-2,480	-2,330	-0,318	-0,409	-0,384	-0,3703

ST+NANO	AUTO
---------	------

Data	Time (min)	Measure			Dim. difference (DL)			Deform			Average
		FREE-1	FREE-2	FREE-3	FREE-1	FREE-2	FREE-3	FREE-1	FREE-2	FREE-3	Deform
		(mm)	(mm)	(mm)	(mm)	(mm)	(mm)	(ε)	(ε)	(ε)	(με)
19-5-15 12:25	0,00	625,83	621,63	631,20	0,000	0,000	0,000	0,000	0,000	0,000	0,0000
19-5-15 12:55	0,02	625,84	621,63	631,26	0,010	0,000	0,060	0,002	0,000	0,010	0,0037
19-5-15 13:25	0,04	625,83	621,63	631,26	0,000	0,000	0,060	0,000	0,000	0,010	0,0032
19-5-15 13:55	0,06	625,83	621,63	631,26	0,000	0,000	0,060	0,000	0,000	0,010	0,0032
19-5-15 14:30	0,09	625,82	621,61	631,26	-0,010	-0,020	0,060	-0,002	-0,003	0,010	0,0016
19-5-15 14:55	0,10	625,82	621,62	631,26	-0,010	-0,010	0,060	-0,002	-0,002	0,010	0,0021
19-5-15 15:25	0,13	625,82	621,61	631,26	-0,010	-0,020	0,060	-0,002	-0,003	0,010	0,0016
19-5-15 15:55	0,15	625,82	621,61	631,26	-0,010	-0,020	0,060	-0,002	-0,003	0,010	0,0016
19-5-15 16:25	0,17	625,81	621,60	631,25	-0,020	-0,030	0,050	-0,003	-0,005	0,008	0,0000
20-5-15 11:30	0,96	625,69	621,41	631,18	-0,140	-0,220	-0,020	-0,022	-0,035	-0,003	-0,0203
20-5-15 12:00	0,98	625,68	621,40	631,18	-0,150	-0,230	-0,020	-0,024	-0,037	-0,003	-0,0214
20-5-15 12:25	1,00	625,68	621,40	631,18	-0,150	-0,230	-0,020	-0,024	-0,037	-0,003	-0,0214
20-5-15 12:55	1,02	625,68	621,39	631,18	-0,150	-0,240	-0,020	-0,024	-0,039	-0,003	-0,0219
20-5-15 13:25	1,04	625,67	621,39	631,18	-0,160	-0,240	-0,020	-0,026	-0,039	-0,003	-0,0224
20-5-15 14:25	1,08	625,67	621,38	631,17	-0,160	-0,250	-0,030	-0,026	-0,040	-0,005	-0,0235
20-5-15 14:55	1,10	625,66	621,38	631,17	-0,170	-0,250	-0,030	-0,027	-0,040	-0,005	-0,0240

20-5-15 15:25	1,13	625,66	621,38	631,17	-0,170	-0,250	-0,030	-0,027	-0,040	-0,005	-0,0240
21-5-15 10:15	1,91	625,55	621,23	631,11	-0,280	-0,400	-0,090	-0,045	-0,064	-0,014	-0,0411
21-5-15 11:15	1,95	625,55	621,23	631,10	-0,280	-0,400	-0,100	-0,045	-0,064	-0,016	-0,0416
21-5-15 12:15	1,99	625,64	621,23	631,10	-0,190	-0,400	-0,100	-0,030	-0,064	-0,016	-0,0368
25-5-15 9:10	5,86	625,07	620,40	630,79	-0,760	-1,230	-0,410	-0,121	-0,198	-0,065	-0,1281
25-5-15 13:00	6,02	625,05	620,37	630,77	-0,780	-1,260	-0,430	-0,125	-0,203	-0,068	-0,1318
25-5-15 14:00	6,07	625,03	620,35	630,76	-0,800	-1,280	-0,440	-0,128	-0,206	-0,070	-0,1345
26-5-15 11:25	6,96	624,97	620,24	630,72	-0,860	-1,390	-0,480	-0,137	-0,224	-0,076	-0,1457
26-5-15 14:15	7,08	624,96	620,23	630,72	-0,870	-1,400	-0,480	-0,139	-0,225	-0,076	-0,1468
26-5-15 16:05	7,15	624,95	620,22	630,71	-0,880	-1,410	-0,490	-0,141	-0,227	-0,078	-0,1484
27-5-15 10:40	7,93	624,88	620,08	630,66	-0,950	-1,550	-0,540	-0,152	-0,249	-0,086	-0,1622
27-5-15 12:40	8,01	624,87	620,07	630,66	-0,960	-1,560	-0,540	-0,153	-0,251	-0,086	-0,1633
27-5-15 14:40	8,09	624,86	620,06	630,65	-0,970	-1,570	-0,550	-0,155	-0,253	-0,087	-0,1649
28-5-15 10:40	8,93	624,80	619,95	630,61	-1,030	-1,680	-0,590	-0,165	-0,270	-0,093	-0,1761
28-5-15 12:40	9,01	624,80	619,95	630,61	-1,030	-1,680	-0,590	-0,165	-0,270	-0,093	-0,1761
28-5-15 14:40	9,09	624,79	619,94	630,60	-1,040	-1,690	-0,600	-0,166	-0,272	-0,095	-0,1777
29-5-15 11:30	9,96	624,73	619,83	630,57	-1,100	-1,800	-0,630	-0,176	-0,290	-0,100	-0,1884
29-5-15 13:40	10,05	624,71	619,81	630,55	-1,120	-1,820	-0,650	-0,179	-0,293	-0,103	-0,1916
29-5-15 15:40	10,14	624,71	619,80	630,55	-1,120	-1,830	-0,650	-0,179	-0,294	-0,103	-0,1921
3-6-15 10:25	14,92	624,42	619,29	630,36	-1,410	-2,340	-0,840	-0,225	-0,376	-0,133	-0,2449
3-6-15 12:35	15,01	624,42	619,29	630,36	-1,410	-2,340	-0,840	-0,225	-0,376	-0,133	-0,2449
3-6-15 14:25	15,08	624,42	619,29	630,36	-1,410	-2,340	-0,840	-0,225	-0,376	-0,133	-0,2449
4-6-15 10:40	15,93	624,38	619,22	630,33	-1,450	-2,410	-0,870	-0,232	-0,388	-0,138	-0,2524
4-6-15 12:40	16,01	624,37	619,21	630,33	-1,460	-2,420	-0,870	-0,233	-0,389	-0,138	-0,2535
4-6-15 15:40	16,14	624,35	619,20	630,32	-1,480	-2,430	-0,880	-0,236	-0,391	-0,139	-0,2556
5-6-15 10:55	16,94	624,34	619,17	630,32	-1,490	-2,460	-0,880	-0,238	-0,396	-0,139	-0,2577
5-6-15 14:30	17,09	624,32	619,14	630,30	-1,510	-2,490	-0,900	-0,241	-0,401	-0,143	-0,2615
8-6-15 8:20	19,83	624,16	618,95	630,19	-1,670	-2,680	-1,010	-0,267	-0,431	-0,160	-0,2860
8-6-15 15:05	20,11	624,16	618,95	630,19	-1,670	-2,680	-1,010	-0,267	-0,431	-0,160	-0,2860
9-6-15 8:30	20,84	624,15	618,91	630,19	-1,680	-2,720	-1,010	-0,268	-0,438	-0,160	-0,2887
9-6-15 15:30	21,13	624,13	618,89	630,17	-1,700	-2,740	-1,030	-0,272	-0,441	-0,163	-0,2919
10-6-15 11:25	21,96	624,09	618,83	630,14	-1,740	-2,800	-1,060	-0,278	-0,450	-0,168	-0,2988
10-6-15 14:55	22,10	624,08	618,82	630,13	-1,750	-2,810	-1,070	-0,280	-0,452	-0,170	-0,3004
11-6-15 15:40	23,14	624,04	618,76	630,10	-1,790	-2,870	-1,100	-0,286	-0,462	-0,174	-0,3073
12-6-15 10:15	23,91	624,01	618,72	630,08	-1,820	-2,910	-1,120	-0,291	-0,468	-0,177	-0,3121
12-6-15 15:30	24,13	624,00	618,70	630,07	-1,830	-2,930	-1,130	-0,292	-0,471	-0,179	-0,3143
15-6-15 11:00	26,94	623,88	618,54	629,99	-1,950	-3,090	-1,210	-0,312	-0,497	-0,192	-0,3335
16-6-15 15:05	28,11	623,83	618,47	629,96	-2,000	-3,160	-1,240	-0,320	-0,508	-0,196	-0,3415

ST+POW

AUTO

Data	Time (min)	Measure			Dim. difference (DL)			Deform			Average
		FREE-1	FREE-2	FREE-3	FREE-1	FREE-2	FREE-3	FREE-1	FREE-2	FREE-3	Deform
		(mm)			(mm)			(ε)			(με)
9-6-15 11:25	0,00	600,24	599,06	605,73	0,000	0,000	0,000	0,000	0,000	0,000	0,0000
9-6-15 12:05	0,03	600,23	599,04	605,72	-0,010	-0,020	-0,010	-0,002	-0,003	-0,002	-0,0022
9-6-15 13:20	0,08	600,21	599,03	605,71	-0,030	-0,030	-0,020	-0,005	-0,005	-0,003	-0,0044
9-6-15 13:55	0,10	600,18	599,00	605,70	-0,060	-0,060	-0,030	-0,010	-0,010	-0,005	-0,0083
9-6-15 14:25	0,13	600,15	598,99	605,69	-0,090	-0,070	-0,040	-0,015	-0,012	-0,007	-0,0111
9-6-15 15:05	0,15	600,15	598,98	605,69	-0,090	-0,080	-0,040	-0,015	-0,013	-0,007	-0,0117
9-6-15 15:40	0,18	600,14	598,98	605,69	-0,100	-0,080	-0,040	-0,017	-0,013	-0,007	-0,0122
10-6-15 10:55	0,98	599,77	598,63	605,55	-0,470	-0,430	-0,180	-0,078	-0,072	-0,030	-0,0599
10-6-15 11:35	1,01	599,76	598,63	605,54	-0,480	-0,430	-0,190	-0,080	-0,072	-0,031	-0,0610
10-6-15 12:15	1,03	599,74	598,62	605,54	-0,500	-0,440	-0,190	-0,083	-0,073	-0,031	-0,0627
10-6-15 12:55	1,06	599,73	598,60	605,53	-0,510	-0,460	-0,200	-0,085	-0,077	-0,033	-0,0649
10-6-15 13:45	1,10	599,72	598,59	605,52	-0,520	-0,470	-0,210	-0,087	-0,078	-0,035	-0,0666
10-6-15 14:25	1,13	599,70	598,57	605,52	-0,540	-0,490	-0,210	-0,090	-0,082	-0,035	-0,0688
10-6-15 15:10	1,16	599,69	598,56	605,52	-0,550	-0,500	-0,210	-0,092	-0,083	-0,035	-0,0699
11-6-15 15:10	2,16	599,23	598,15	605,34	-1,010	-0,910	-0,390	-0,168	-0,152	-0,064	-0,1282
11-6-15 15:55	2,19	599,22	598,14	605,34	-1,020	-0,920	-0,390	-0,170	-0,154	-0,064	-0,1293
12-6-15 9:50	2,93	598,94	597,85	605,22	-1,300	-1,210	-0,510	-0,217	-0,202	-0,084	-0,1676
12-6-15 10:40	2,97	598,92	597,84	605,22	-1,320	-1,220	-0,510	-0,220	-0,204	-0,084	-0,1693
12-6-15 13:50	3,10	598,89	597,79	605,19	-1,350	-1,270	-0,540	-0,225	-0,212	-0,089	-0,1754
12-6-15 15:10	3,16	598,86	597,78	605,19	-1,380	-1,280	-0,540	-0,230	-0,214	-0,089	-0,1776
15-6-15 10:35	5,97	598,02	597,00	604,83	-2,220	-2,060	-0,900	-0,370	-0,344	-0,149	-0,2874
15-6-15 13:05	6,07	598,00	596,97	604,81	-2,240	-2,090	-0,920	-0,373	-0,349	-0,152	-0,2913
15-6-15 15:45	6,18	597,98	596,95	604,80	-2,260	-2,110	-0,930	-0,377	-0,352	-0,154	-0,2941
16-6-15 9:45	6,93	597,81	596,76	604,72	-2,430	-2,300	-1,010	-0,405	-0,384	-0,167	-0,3185
16-6-15 15:20	7,16	597,75	596,70	604,69	-2,490	-2,360	-1,040	-0,415	-0,394	-0,172	-0,3268
17-6-15 9:55	7,94	597,58	596,53	604,60	-2,660	-2,530	-1,130	-0,443	-0,422	-0,187	-0,3507
17-6-15 14:15	8,12	597,56	596,50	604,60	-2,680	-2,560	-1,130	-0,446	-0,427	-0,187	-0,3535
22-6-15 12:20	13,04	596,74	595,67	604,14	-3,500	-3,390	-1,590	-0,583	-0,566	-0,262	-0,4705
23-6-15 10:10	13,95	596,63	595,54	604,09	-3,610	-3,520	-1,640	-0,601	-0,588	-0,271	-0,4866
23-6-15 15:45	14,18	596,59	595,49	604,06	-3,650	-3,570	-1,670	-0,608	-0,596	-0,276	-0,4932
24-6-15 10:25	14,96	596,52	595,42	604,02	-3,720	-3,640	-1,710	-0,620	-0,608	-0,282	-0,5032
24-6-15 15:40	15,18	596,49	595,37	603,99	-3,750	-3,690	-1,740	-0,625	-0,616	-0,287	-0,5093
25-6-15 12:10	16,03	596,46	595,34	603,97	-3,780	-3,720	-1,760	-0,630	-0,621	-0,291	-0,5138
26-6-15 10:15	16,95	596,44	595,31	603,94	-3,800	-3,750	-1,790	-0,633	-0,626	-0,296	-0,5182
26-6-15 15:25	17,17	596,43	595,30	603,93	-3,810	-3,760	-1,800	-0,635	-0,628	-0,297	-0,5199
29-6-15 9:40	19,93	596,41	595,26	603,88	-3,830	-3,800	-1,850	-0,638	-0,634	-0,305	-0,5259
29-6-15 14:50	20,14	596,41	595,24	603,87	-3,830	-3,820	-1,860	-0,638	-0,638	-0,307	-0,5276

30-6-15 10:25	20,96	596,40	595,23	603,85	-3,840	-3,830	-1,880	-0,640	-0,639	-0,310	-0,5298
30-6-15 15:00	21,15	596,40	595,22	603,85	-3,840	-3,840	-1,880	-0,640	-0,641	-0,310	-0,5304
1-7-15 9:55	21,94	596,39	595,22	603,84	-3,850	-3,840	-1,890	-0,641	-0,641	-0,312	-0,5315
1-7-15 13:55	22,10	596,38	595,21	603,83	-3,860	-3,850	-1,900	-0,643	-0,643	-0,314	-0,5331
2-7-15 9:55	22,94	596,40	595,21	603,83	-3,840	-3,850	-1,900	-0,640	-0,643	-0,314	-0,5320
2-7-15 15:15	23,16	596,41	595,21	603,83	-3,830	-3,850	-1,900	-0,638	-0,643	-0,314	-0,5315
3-7-15 8:40	23,89	596,38	595,18	603,81	-3,860	-3,880	-1,920	-0,643	-0,648	-0,317	-0,5359
6-7-15 9:45	26,93	596,38	595,18	603,81	-3,860	-3,880	-1,920	-0,643	-0,648	-0,317	-0,5359
6-7-15 15:35	27,17	596,39	595,18	603,81	-3,850	-3,880	-1,920	-0,641	-0,648	-0,317	-0,5354
7-7-15 11:00	27,98	596,39	595,17	603,78	-3,850	-3,890	-1,950	-0,641	-0,649	-0,322	-0,5376
7-7-15 15:30	28,17	596,41	595,19	603,80	-3,830	-3,870	-1,930	-0,638	-0,646	-0,319	-0,5342

SIS+EUC	AUTO
---------	------

Data	Time (min)	Measure			Dim. difference (DL)			Deform			Average (μe)
		FREE-1	FREE-2	FREE-3	FREE-1	FREE-2	FREE-3	FREE-1	FREE-2	FREE-3	
		(mm)	(mm)	(mm)	(mm)	(mm)	(mm)	(ϵ)	(ϵ)	(ϵ)	
26-5-15 11:45	0,00	594,55	591,86	592,05	0,000	0,000	0,000	0,000	0,000	0,000	0,0000
26-5-15 12:15	0,02	594,54	591,85	592,05	-0,010	-0,010	0,000	-0,002	-0,002	0,000	-0,0011
26-5-15 12:45	0,04	594,54	591,85	592,05	-0,010	-0,010	0,000	-0,002	-0,002	0,000	-0,0011
26-5-15 13:55	0,09	594,54	591,85	592,05	-0,010	-0,010	0,000	-0,002	-0,002	0,000	-0,0011
26-5-15 14:25	0,11	594,53	591,84	592,04	-0,020	-0,020	-0,010	-0,003	-0,003	-0,002	-0,0028
26-5-15 14:55	0,13	594,52	591,84	592,04	-0,030	-0,020	-0,010	-0,005	-0,003	-0,002	-0,0034
26-5-15 15:25	0,15	594,52	591,84	592,04	-0,030	-0,020	-0,010	-0,005	-0,003	-0,002	-0,0034
26-5-15 15:55	0,17	594,50	591,83	592,04	-0,050	-0,030	-0,010	-0,008	-0,005	-0,002	-0,0051
26-5-15 16:25	0,19	594,50	591,82	592,03	-0,050	-0,040	-0,020	-0,008	-0,007	-0,003	-0,0062
27-5-15 10:00	0,93	594,32	591,71	591,94	-0,230	-0,150	-0,110	-0,039	-0,025	-0,019	-0,0275
27-5-15 10:30	0,95	594,33	591,73	591,96	-0,220	-0,130	-0,090	-0,037	-0,022	-0,015	-0,0247
27-5-15 11:00	0,97	594,33	591,73	591,96	-0,220	-0,130	-0,090	-0,037	-0,022	-0,015	-0,0247
27-5-15 11:30	0,99	594,32	591,73	591,95	-0,230	-0,130	-0,100	-0,039	-0,022	-0,017	-0,0258
27-5-15 12:00	1,01	594,32	591,72	591,94	-0,230	-0,140	-0,110	-0,039	-0,024	-0,019	-0,0270
27-5-15 12:30	1,03	594,32	591,72	591,95	-0,230	-0,140	-0,100	-0,039	-0,024	-0,017	-0,0264
27-5-15 13:00	1,05	594,31	591,71	591,95	-0,240	-0,150	-0,100	-0,040	-0,025	-0,017	-0,0275
27-5-15 13:30	1,07	594,31	591,72	591,95	-0,240	-0,140	-0,100	-0,040	-0,024	-0,017	-0,0270
27-5-15 14:00	1,09	594,31	591,72	591,95	-0,240	-0,140	-0,100	-0,040	-0,024	-0,017	-0,0270
27-5-15 14:30	1,11	594,30	591,71	591,94	-0,250	-0,150	-0,110	-0,042	-0,025	-0,019	-0,0287
27-5-15 15:00	1,14	594,30	591,71	591,94	-0,250	-0,150	-0,110	-0,042	-0,025	-0,019	-0,0287
28-5-15 10:20	1,94	594,11	591,60	591,84	-0,440	-0,260	-0,210	-0,074	-0,044	-0,035	-0,0511
28-5-15 11:20	1,98	594,10	591,60	591,84	-0,450	-0,260	-0,210	-0,076	-0,044	-0,035	-0,0517
28-5-15 12:20	2,02	594,09	591,59	591,83	-0,460	-0,270	-0,220	-0,077	-0,046	-0,037	-0,0534
28-5-15 13:20	2,07	594,09	591,59	591,83	-0,460	-0,270	-0,220	-0,077	-0,046	-0,037	-0,0534

28-5-15 14:20	2,11	594,08	591,58	591,82	-0,470	-0,280	-0,230	-0,079	-0,047	-0,039	-0,0551
28-5-15 15:20	2,15	594,08	591,58	591,82	-0,470	-0,280	-0,230	-0,079	-0,047	-0,039	-0,0551
29-5-15 11:10	2,98	593,88	591,49	591,72	-0,670	-0,370	-0,330	-0,113	-0,063	-0,056	-0,0770
29-5-15 13:20	3,07	593,87	591,48	591,71	-0,680	-0,380	-0,340	-0,114	-0,064	-0,057	-0,0787
29-5-15 15:20	3,15	593,85	591,48	591,70	-0,700	-0,380	-0,350	-0,118	-0,064	-0,059	-0,0804
3-6-15 10:05	7,93	593,02	591,06	591,23	-1,530	-0,800	-0,820	-0,257	-0,135	-0,139	-0,1770
3-6-15 12:15	8,02	593,02	591,06	591,23	-1,530	-0,800	-0,820	-0,257	-0,135	-0,139	-0,1770
3-6-15 14:10	8,10	593,01	591,06	591,22	-1,540	-0,800	-0,830	-0,259	-0,135	-0,140	-0,1781
4-6-15 10:20	8,94	592,88	590,99	591,15	-1,670	-0,870	-0,900	-0,281	-0,147	-0,152	-0,1933
4-6-15 12:20	9,02	592,87	590,99	591,14	-1,680	-0,870	-0,910	-0,283	-0,147	-0,154	-0,1944
4-6-15 15:20	9,15	592,85	590,98	591,13	-1,700	-0,880	-0,920	-0,286	-0,149	-0,155	-0,1967
5-6-15 10:35	9,95	592,75	590,94	591,08	-1,800	-0,920	-0,970	-0,303	-0,155	-0,164	-0,2073
5-6-15 14:15	10,10	592,75	590,94	591,08	-1,800	-0,920	-0,970	-0,303	-0,155	-0,164	-0,2073
8-6-15 8:00	12,84	592,38	590,74	590,85	-2,170	-1,120	-1,200	-0,365	-0,189	-0,203	-0,2523
8-6-15 14:45	13,13	592,37	590,73	590,84	-2,180	-1,130	-1,210	-0,367	-0,191	-0,204	-0,2540
9-6-15 8:10	13,85	592,29	590,70	590,79	-2,260	-1,160	-1,260	-0,380	-0,196	-0,213	-0,2630
9-6-15 15:10	14,14	592,26	590,68	590,77	-2,290	-1,180	-1,280	-0,385	-0,199	-0,216	-0,2669
10-6-15 11:05	14,97	592,18	590,64	590,73	-2,370	-1,220	-1,320	-0,399	-0,206	-0,223	-0,2759
10-6-15 14:35	15,12	592,17	590,64	590,72	-2,380	-1,220	-1,330	-0,400	-0,206	-0,225	-0,2770
11-6-15 15:20	16,15	592,07	590,56	590,65	-2,480	-1,300	-1,400	-0,417	-0,220	-0,236	-0,2911
12-6-15 9:55	16,92	592,07	590,51	590,59	-2,480	-1,350	-1,460	-0,417	-0,228	-0,247	-0,2973
12-6-15 15:15	17,15	591,99	590,51	590,59	-2,560	-1,350	-1,460	-0,431	-0,228	-0,247	-0,3018
15-6-15 10:40	19,95	591,75	590,36	590,44	-2,800	-1,500	-1,610	-0,471	-0,253	-0,272	-0,3321
15-6-15 15:50	20,17	591,72	590,34	590,42	-2,830	-1,520	-1,630	-0,476	-0,257	-0,275	-0,3360
16-6-15 9:50	20,92	591,67	590,30	590,38	-2,880	-1,560	-1,670	-0,484	-0,264	-0,282	-0,3433
16-6-15 15:25	21,15	591,64	590,29	590,37	-2,910	-1,570	-1,680	-0,489	-0,265	-0,284	-0,3462
17-6-15 10:00	21,93	591,58	590,22	590,31	-2,970	-1,640	-1,740	-0,500	-0,277	-0,294	-0,3568
17-6-15 14:20	22,11	591,58	590,22	590,09	-2,970	-1,640	-1,960	-0,500	-0,277	-0,331	-0,3692
22-6-15 12:25	27,03	591,22	589,93	589,80	-3,330	-1,930	-2,250	-0,560	-0,326	-0,380	-0,4221
23-6-15 10:15	27,94	591,18	589,90	589,78	-3,370	-1,960	-2,270	-0,567	-0,331	-0,383	-0,4271
23-6-15 15:50	28,17	591,15	589,88	589,75	-3,400	-1,980	-2,300	-0,572	-0,335	-0,388	-0,4316

SIS+NANO

AUTO

Data	Time (min)	Measure			Dim. difference (DL)			Deform			Average
		FREE-1	FREE-2	FREE-3	FREE-1	FREE-2	FREE-3	FREE-1	FREE-2	FREE-3	Deform
		(mm)			(mm)			(ε)			(με)
26-5-15 11:50	0,00	600,22	594,13	599,78	0,000	0,000	0,000	0,000	0,000	0,000	0,0000
26-5-15 12:20	0,02	600,21	594,13	599,77	-0,010	0,000	-0,010	-0,002	0,000	-0,002	-0,0011
26-5-15 12:50	0,04	600,21	594,12	599,77	-0,010	-0,010	-0,010	-0,002	-0,002	-0,002	-0,0017
26-5-15 14:00	0,09	600,20	594,11	599,77	-0,020	-0,020	-0,010	-0,003	-0,003	-0,002	-0,0028
26-5-15 14:30	0,11	600,20	594,11	599,77	-0,020	-0,020	-0,010	-0,003	-0,003	-0,002	-0,0028
26-5-15 15:00	0,13	600,20	594,11	599,77	-0,020	-0,020	-0,010	-0,003	-0,003	-0,002	-0,0028
26-5-15 15:30	0,15	600,19	594,10	599,76	-0,030	-0,030	-0,020	-0,005	-0,005	-0,003	-0,0045
26-5-15 16:00	0,17	600,19	594,10	599,76	-0,030	-0,030	-0,020	-0,005	-0,005	-0,003	-0,0045
26-5-15 16:30	0,19	600,18	594,09	599,75	-0,040	-0,040	-0,030	-0,007	-0,007	-0,005	-0,0061
27-5-15 10:25	0,94	600,06	593,97	599,65	-0,160	-0,160	-0,130	-0,027	-0,027	-0,022	-0,0251
27-5-15 10:55	0,96	600,06	593,97	599,64	-0,160	-0,160	-0,140	-0,027	-0,027	-0,023	-0,0256
27-5-15 11:25	0,98	600,05	593,96	599,64	-0,170	-0,170	-0,140	-0,028	-0,029	-0,023	-0,0268
27-5-15 11:55	1,00	600,05	593,96	599,64	-0,170	-0,170	-0,140	-0,028	-0,029	-0,023	-0,0268
27-5-15 12:25	1,02	600,04	593,96	599,63	-0,180	-0,170	-0,150	-0,030	-0,029	-0,025	-0,0279
27-5-15 12:55	1,05	600,04	593,96	599,63	-0,180	-0,170	-0,150	-0,030	-0,029	-0,025	-0,0279
27-5-15 13:25	1,07	600,04	593,96	599,63	-0,180	-0,170	-0,150	-0,030	-0,029	-0,025	-0,0279
27-5-15 14:25	1,11	600,03	593,96	599,63	-0,190	-0,170	-0,150	-0,032	-0,029	-0,025	-0,0284
27-5-15 14:55	1,13	600,03	593,95	599,62	-0,190	-0,180	-0,160	-0,032	-0,030	-0,027	-0,0295
27-5-15 15:25	1,15	600,03	593,95	599,62	-0,190	-0,180	-0,160	-0,032	-0,030	-0,027	-0,0295
27-5-15 15:55	1,17	600,02	593,94	599,61	-0,200	-0,190	-0,170	-0,033	-0,032	-0,028	-0,0312
28-5-15 10:25	1,94	599,94	593,87	599,54	-0,280	-0,260	-0,240	-0,047	-0,044	-0,040	-0,0435
28-5-15 11:25	1,98	599,92	593,84	599,51	-0,300	-0,290	-0,270	-0,050	-0,049	-0,045	-0,0479
28-5-15 12:25	2,02	599,91	593,84	599,51	-0,310	-0,290	-0,270	-0,052	-0,049	-0,045	-0,0485
28-5-15 13:25	2,07	599,90	593,83	599,50	-0,320	-0,300	-0,280	-0,053	-0,050	-0,047	-0,0502
28-5-15 14:25	2,11	599,90	593,83	599,50	-0,320	-0,300	-0,280	-0,053	-0,050	-0,047	-0,0502
28-5-15 15:25	2,15	599,90	593,82	599,49	-0,320	-0,310	-0,290	-0,053	-0,052	-0,048	-0,0513
29-5-15 11:15	2,98	599,81	593,73	599,41	-0,410	-0,400	-0,370	-0,068	-0,067	-0,062	-0,0658
29-5-15 13:25	3,07	599,80	593,73	599,40	-0,420	-0,400	-0,380	-0,070	-0,067	-0,063	-0,0669
29-5-15 15:25	3,15	599,78	593,71	599,38	-0,440	-0,420	-0,400	-0,073	-0,071	-0,067	-0,0702
3-6-15 10:10	7,93	599,36	593,32	598,98	-0,860	-0,810	-0,800	-0,143	-0,136	-0,133	-0,1377
3-6-15 12:20	8,02	599,35	593,31	598,98	-0,870	-0,820	-0,800	-0,145	-0,138	-0,133	-0,1388
3-6-15 14:10	8,10	599,35	593,31	598,97	-0,870	-0,820	-0,810	-0,145	-0,138	-0,135	-0,1393
4-6-15 10:25	8,94	599,25	593,26	598,91	-0,970	-0,870	-0,870	-0,162	-0,146	-0,145	-0,1510
4-6-15 12:25	9,02	599,24	593,25	598,91	-0,980	-0,880	-0,870	-0,163	-0,148	-0,145	-0,1521
4-6-15 15:25	9,15	599,23	593,24	598,90	-0,990	-0,890	-0,880	-0,165	-0,150	-0,147	-0,1538
5-6-15 10:40	9,95	599,18	593,21	598,87	-1,040	-0,920	-0,910	-0,173	-0,155	-0,152	-0,1599
5-6-15 14:20	10,10	599,16	593,19	598,84	-1,060	-0,940	-0,940	-0,177	-0,158	-0,157	-0,1638

8-6-15 8:05	12,84	598,96	593,04	598,69	-1,260	-1,090	-1,090	-0,210	-0,183	-0,182	-0,1917
8-6-15 14:50	13,13	598,94	593,03	598,68	-1,280	-1,100	-1,100	-0,213	-0,185	-0,183	-0,1939
9-6-15 8:15	13,85	598,94	593,03	598,68	-1,280	-1,100	-1,100	-0,213	-0,185	-0,183	-0,1939
9-6-15 15:15	14,14	598,94	593,03	598,68	-1,280	-1,100	-1,100	-0,213	-0,185	-0,183	-0,1939
10-6-15 11:10	14,97	598,83	592,94	598,58	-1,390	-1,190	-1,200	-0,232	-0,200	-0,200	-0,2106
10-6-15 14:40	15,12	598,81	592,93	598,56	-1,410	-1,200	-1,220	-0,235	-0,202	-0,203	-0,2134
11-6-15 15:25	16,15	598,75	592,90	598,52	-1,470	-1,230	-1,260	-0,245	-0,207	-0,210	-0,2207
12-6-15 10:00	16,92	598,69	592,85	598,47	-1,530	-1,280	-1,310	-0,255	-0,215	-0,218	-0,2296
12-6-15 15:20	17,15	598,69	592,84	598,46	-1,530	-1,290	-1,320	-0,255	-0,217	-0,220	-0,2307
15-6-15 10:45	19,95	598,52	592,71	598,31	-1,700	-1,420	-1,470	-0,283	-0,239	-0,245	-0,2558
15-6-15 15:55	20,17	598,51	592,70	598,31	-1,710	-1,430	-1,470	-0,285	-0,241	-0,245	-0,2569
16-6-15 9:55	20,92	598,47	592,67	598,25	-1,750	-1,460	-1,530	-0,292	-0,246	-0,255	-0,2641
16-6-15 15:30	21,15	598,46	592,65	598,25	-1,760	-1,480	-1,530	-0,293	-0,249	-0,255	-0,2658
17-6-15 10:05	21,93	598,41	592,63	598,21	-1,810	-1,500	-1,570	-0,302	-0,252	-0,262	-0,2719
17-6-15 14:25	22,11	598,40	592,61	598,19	-1,820	-1,520	-1,590	-0,303	-0,256	-0,265	-0,2747
22-6-15 12:30	27,03	598,16	592,42	597,98	-2,060	-1,710	-1,800	-0,343	-0,288	-0,300	-0,3104
23-6-15 10:20	27,94	598,12	592,38	597,94	-2,100	-1,750	-1,840	-0,350	-0,295	-0,307	-0,3171
23-6-15 15:50	28,17	598,10	592,37	597,93	-2,120	-1,760	-1,850	-0,353	-0,296	-0,308	-0,3193

SIS+POW

AUTO

Data	Time (min)	Measure			Dim. difference (DL)			Deform			Average
		FREE-1	FREE-2	FREE-3	FREE-1	FREE-2	FREE-3	FREE-1	FREE-2	FREE-3	Deform
		(mm)			(mm)			(ε)			(με)
10-6-15 11:00	0,00	598,17	583,86	598,31	0,00	0,00	0,00	0,000	0,000	0,000	0,0000
10-6-15 11:40	0,03	598,13	583,82	598,27	-0,04	-0,04	-0,04	-0,007	-0,007	-0,007	-0,0067
10-6-15 12:20	0,06	598,12	583,81	598,26	-0,05	-0,05	-0,05	-0,008	-0,009	-0,008	-0,0084
10-6-15 13:00	0,08	598,12	583,81	598,26	-0,05	-0,05	-0,05	-0,008	-0,009	-0,008	-0,0084
10-6-15 13:50	0,12	598,12	583,80	598,26	-0,05	-0,06	-0,05	-0,008	-0,010	-0,008	-0,0090
10-6-15 14:30	0,15	598,12	583,79	598,25	-0,05	-0,07	-0,06	-0,008	-0,012	-0,010	-0,0101
10-6-15 15:15	0,18	598,11	583,78	598,25	-0,06	-0,08	-0,06	-0,010	-0,014	-0,010	-0,0113
11-6-15 15:15	1,18	597,94	583,51	598,06	-0,23	-0,35	-0,25	-0,038	-0,060	-0,042	-0,0467
11-6-15 15:45	1,20	597,94	583,51	598,05	-0,23	-0,35	-0,26	-0,038	-0,060	-0,043	-0,0473
11-6-15 16:10	1,22	597,94	583,51	598,05	-0,23	-0,35	-0,26	-0,038	-0,060	-0,043	-0,0473
12-6-15 9:40	1,94	597,83	583,34	597,92	-0,34	-0,52	-0,39	-0,057	-0,089	-0,065	-0,0704
12-6-15 10:30	1,98	597,83	583,34	597,92	-0,34	-0,52	-0,39	-0,057	-0,089	-0,065	-0,0704
12-6-15 13:40	2,11	597,78	583,29	597,88	-0,39	-0,57	-0,43	-0,065	-0,098	-0,072	-0,0782
12-6-15 15:00	2,17	597,78	583,28	597,88	-0,39	-0,58	-0,43	-0,065	-0,099	-0,072	-0,0788
12-6-15 15:35	2,19	597,78	583,28	597,87	-0,39	-0,58	-0,44	-0,065	-0,099	-0,074	-0,0794
15-6-15 10:25	4,98	597,38	582,69	597,45	-0,79	-1,17	-0,86	-0,132	-0,200	-0,144	-0,1587
15-6-15 12:55	5,08	597,36	582,67	597,43	-0,81	-1,19	-0,88	-0,135	-0,204	-0,147	-0,1621

15-6-15 15:35	5,19	597,34	582,65	597,41	-0,83	-1,21	-0,90	-0,139	-0,207	-0,150	-0,1655
16-6-15 9:35	5,94	597,25	582,52	597,32	-0,92	-1,34	-0,99	-0,154	-0,230	-0,165	-0,1829
16-6-15 15:10	6,17	597,22	582,48	597,29	-0,95	-1,38	-1,02	-0,159	-0,236	-0,170	-0,1886
17-6-15 9:45	6,95	597,11	582,34	597,17	-1,06	-1,52	-1,14	-0,177	-0,260	-0,191	-0,2094
17-6-15 14:05	7,13	597,10	582,32	597,16	-1,07	-1,54	-1,15	-0,179	-0,264	-0,192	-0,2116
22-6-15 12:10	12,05	596,55	581,66	596,64	-1,62	-2,20	-1,67	-0,271	-0,377	-0,279	-0,3089
23-6-15 10:00	12,96	596,46	581,57	596,56	-1,71	-2,29	-1,75	-0,286	-0,392	-0,292	-0,3235
23-6-15 15:35	13,19	596,44	581,54	596,55	-1,73	-2,32	-1,76	-0,289	-0,397	-0,294	-0,3269
24-6-15 10:15	13,97	596,37	581,47	596,49	-1,80	-2,39	-1,82	-0,301	-0,409	-0,304	-0,3382
24-6-15 15:30	14,19	596,34	581,44	596,45	-1,83	-2,42	-1,86	-0,306	-0,414	-0,311	-0,3438
25-6-15 10:30	14,98	596,30	581,39	596,42	-1,87	-2,47	-1,89	-0,313	-0,423	-0,316	-0,3505
26-6-15 10:15	15,97	596,26	581,34	596,39	-1,91	-2,52	-1,92	-0,319	-0,432	-0,321	-0,3573
26-6-15 15:15	16,18	596,25	581,33	596,38	-1,92	-2,53	-1,93	-0,321	-0,433	-0,323	-0,3590
29-6-15 9:30	18,94	596,19	581,28	596,32	-1,98	-2,58	-1,99	-0,331	-0,442	-0,333	-0,3685
29-6-15 14:40	19,15	596,18	581,27	596,30	-1,99	-2,59	-2,01	-0,333	-0,444	-0,336	-0,3707
30-6-15 10:15	19,97	596,16	581,23	596,30	-2,01	-2,63	-2,01	-0,336	-0,450	-0,336	-0,3741
30-6-15 14:50	20,16	596,16	581,24	596,30	-2,01	-2,62	-2,01	-0,336	-0,449	-0,336	-0,3736
1-7-15 9:45	20,95	596,16	581,24	596,30	-2,01	-2,62	-2,01	-0,336	-0,449	-0,336	-0,3736
1-7-15 13:45	21,11	596,15	581,24	596,30	-2,02	-2,62	-2,01	-0,338	-0,449	-0,336	-0,3741
2-7-15 9:45	21,95	596,15	581,24	596,30	-2,02	-2,62	-2,01	-0,338	-0,449	-0,336	-0,3741
2-7-15 15:05	22,17	596,15	581,24	596,30	-2,02	-2,62	-2,01	-0,338	-0,449	-0,336	-0,3741
3-7-15 8:35	22,90	596,13	581,22	596,27	-2,04	-2,64	-2,04	-0,341	-0,452	-0,341	-0,3781
6-7-15 9:35	25,94	596,10	581,20	596,25	-2,07	-2,66	-2,06	-0,346	-0,456	-0,344	-0,3820
6-7-15 15:25	25,94	596,09	581,19	596,25	-2,08	-2,67	-2,06	-0,348	-0,457	-0,344	-0,3831
7-7-15 10:50	26,18	596,08	581,18	596,24	-2,09	-2,68	-2,07	-0,349	-0,459	-0,346	-0,3848
7-7-15 15:25	26,99	596,07	581,18	596,24	-2,10	-2,68	-2,07	-0,351	-0,459	-0,346	-0,3854
7-7-15 8:00	26,88	598,75	592,90	598,52	-1,47	-1,23	-1,26	-0,245	-0,207	-0,210	-0,2207